

Emergências no Paciente Oncológico

René Aloisio da Costa Vieira
Sérgio Luiz Brasileiro Lopes
Cristina Prata Amendola
Flávio Mavignier Cárcano
Hélio Penna Guimarães



Emergências no Paciente Oncológico

 **Thieme Revinter**

René Aloisio da Costa Vieira

Cirurgião Oncológico pelo Hospital A. C. Camargo

Mastologista, Especialista em Mastologia pela Sociedade Brasileira de Mastologia (TEMA) Titular do Colégio Brasileiro de Cirurgiões (TCBC) na Área de Cancerologia Cirúrgica Mestre em Medicina pela Faculdade de Medicina da Universidade de São Paulo (FMUSP) Doutor em Ciências na Área de Concentrado em Oncologia pela FMUSP

Pós-Doutor em Ginecologia, Obstetrícia e Mastologia pela Universidade Estadual Paulista (Unesp) Pós-Graduado *Lato Sensu* em Gestão em Saúde pela Universidade Federal de São Paulo (Unifesp) Docente no Programa de Pós-Graduação *Stricto Sensu* em Oncologia do Hospital de Câncer de Barretos e do Programa de Pós-Graduação *Stricto Sensu* em Ginecologia, Obstetrícia e Mastologia da Faculdade de Medicina de Botucatu da UNESP

Atua no Departamento de Cirurgia do Hospital de Câncer de Muriaé, Setor de Mastologia

Atuou no Departamento de Emergência do Hospital A. C. Camargo

Atuou no Departamento de Mastologia e Reconstrução Mamária e no Centro de Intercorrência Ambulatorial do Hospital de Câncer de Barretos/Hospital de Amor Barretos

Sérgio Luiz Brasileiro Lopes

Cardiologista e Intensivista

Doutor em Ciências Médicas pela Universidade de São Paulo (USP)

Foi Docente do Departamento de Medicina da Universidade Federal de São Carlos (UFSCar) Atual Coordenador do Centro de Intercorrência Ambulatorial do Hospital de Câncer de Barretos/Hospital de Amor Barretos

Cristina Prata Amendola

Título de Especialista em Medicina Intensiva pela Associação de Medicina Intensiva Brasileira (AMIB) Doutora em Medicina pela Faculdade de Medicina de São José do Rio Preto (Famerp), SP Diretora Médica do Hospital de Amor/Fundação Pio XII

Vice-Coordenadora da Pós-Graduagao da Faculdade de Ciencias da Saúde de Barretos (Facisb), SP
Presidente do Comite Paciente Crítico Oncológico da AMIB

Flávio Mavignier Cárcano

Médico Oncologista Clínico do Hospital de Câncer de Barretos
Mestre em Biotecnologia pela Universidade Estadual de Sao Paulo (Unesp)
Doutor em Ciencias da Saúde pelo IEP do Hospital de Câncer de Barretos
Docente no Curso de Medicina da Faculdade de Ciencias da Saúde de Barretos (Facisb)
Docente da Pós-Graduagao *Stricto Sensu* do Hospital de Câncer de Barretos

Hélio Penna Guimaraes

Especialista em Medicina de Emergencia pela Associagao Brasileira de Medicina de Emergencia (ABRAMEDE/AMB)
Especialista em Medicina Intensiva pela Associagao de Medicina Intensiva Brasileira (AMIB/AMB) Especialista em Cardiologia pelo Instituto Dante Pazzanese de Cardiologia
Mestre em Gestao de Servigos de Saúde pela Universidade Carlos III, Madri
Doutor em Ciencias pela Universidade de Sao Paulo (USP)
Médico do Centro de Terapia Intensiva Adulto do Hospital Albert Einstein Coordenador Médico do Instituto de Ensino do Hospital do Coragao (HCor) Médico Coordenador da Unidade de Terapia Intensiva (UTI) de Clínica Médica da Universidade Federal de Sao Paulo (EPM/Unifesp)
Professor Afiliado do Departamento de Medicina da Unifesp
Professor Titular de Medicina de Emergencia do Centro Universitário Sao Camilo (CUSC-SP) Presidente da ABRAMEDE - Gestao 2020/2021

Membro das Câmaras Técnicas de Medicina de Emergencia dos Conselhos Regional de Medicina de Sao Paulo (CREMESP) e Federal de Medicina (CFM)

Fellow do American College of Physicians (FACP) e American Heart Association (FAHA)

Emergências no Paciente Oncológico

**Desafios para a Formação e Atuação
Profissional**

René Aloisio da Costa Vieira

Sérgio Luiz Brasileiro Lopes

Cristina Prata Amendola

Flávio Mavignier Cárcano

Hélio Penna Guimarães

Thieme

Rio de Janeiro • Stuttgart • New York • Delhi

**Dados Internacionais de
Catalogação na Publicação (CIP)**

V658e

Vieira, René Aloisio da Costa

Emergências no Paciente Oncológico/René Aloisio da Costa
Vieira, Sérgio Luiz Brasileiro Lopes, Cristina Prata Amendola,
Flávio Mavignier Cárcano & Hélio Penna Guimarães – 1. Ed. –
Rio de Janeiro – RJ: Thieme Revinter Publicações, 2020.

552 p.: il; 18,5 x 27 cm.

Inclui Índice Remissivo e Bibliografia.

ISBN 978-85-5465-247-0

eISBN 978-85-5465-248-7

1. Oncologia. 2. Emergências. 3. Urgências. I. Lopes, Sérgio
Luiz Brasileiro. II. Amendola, Cristina Prata. III. Cárcano, Flávio
Mavignier. IV. Guimarães, Hélio Penna. V. Título.

CDD: 616.994

CDU: 616-006

Contato com a autora:

Ana Carolina Basso Schmitt

posgrad@hcancerbarretos.com.br

© 2020 Thieme

Todos os direitos reservados.

Rua do Matoso, 170, Tijuca

20270-135, Rio de Janeiro – RJ, Brasil

<http://www.ThiemeRevinter.com.br>

Thieme Medical Publishers

<http://www.thieme.com>

Capa: Thieme Revinter Publicações Ltda.

Ilustração de capa: AdobeStock/sudok1

Impresso no Brasil por BMF Gráfica e Editora
Ltda.

5 4 3 2 1

ISBN 978-85-5465-247-0

Também disponível como eBook:

eISBN 978-85-5465-248-7

Nota: O conhecimento em saúde está em constante evolução. À medida que a pesquisa e a experiência clínica ampliam o nosso saber, pode ser necessário alterar os métodos de atenção à saúde. Os autores deste material consultaram fontes tidas como confiáveis, a fim de fornecer informações de acordo com os padrões aceitos no momento da publicação. No entanto, em vista da possibilidade de erro humano por parte dos autores, dos editores ou da casa editorial que traz à luz este trabalho, ou ainda de alterações no conhecimento, nem os autores, nem os editores, nem a casa editorial, nem qualquer outra parte que se tenha envolvido na elaboração deste material garantem que as informações aqui contidas sejam totalmente precisas ou completas; tampouco se responsabilizam por quaisquer erros ou omissões ou pelos resultados obtidos em consequência do uso de tais informações. É aconselhável que os leitores confirmem em outras fontes as informações aqui contidas. A ocorrência de nome de produto, patentes e design sem a designação de sua propriedade intelectual não deve ser interpretada como uma indicação, por parte da editora, de que se encontra em domínio público.

Todos os direitos reservados. Nenhuma parte desta publicação poderá ser reproduzida ou transmitida por nenhum meio, impresso, eletrônico ou mecânico, incluindo fotocópia, gravação ou qualquer

outro tipo de sistema de armazenamento e transmissão de informação, sem prévia autorização por escrito.

APRESENTAÇÃO

O mundo contemporâneo assiste a uma elevação exponencial da prevalência das neoplasias. O aumento da sobrevivência dos portadores de câncer somado à complexidade das novas terapias elevou a exigência de conhecimento sobre emergências oncológicas. Além disso, o próprio tema e área de atuação em emergências se sofisticaram de modo significativo em anos recentes. A competência e atuação em emergências oncológicas são necessárias e insubstituíveis na formação dos profissionais da área. Por outro lado a literatura, principalmente dentro da realidade brasileira, ainda é escassa.

Emergências no Paciente Oncológico, de modo muito didático e efetivo, abordam este tema de impacto no dia a dia da prática da oncologia. Este livro que é texto, guia e manual, preenche, de forma concisa e precisa, uma lacuna importante no conhecimento da oncologia. Com certeza será um livro imprescindível na formação acadêmica, fonte de referência para estudos, aulas, seminários e pesquisas na área. Da mesma forma, essencial na atuação prática, aponta condutas embasadas em níveis de evidência científica de fácil consulta e aplicação.

O livro “*Emergências no Paciente Oncológico*” será em pouco tempo um guia indispensável para todos que pensam ou trabalham com oncologia e se tornará leitura obrigatória tanto para iniciantes, como iniciados.

Boa leitura!

Vinícius de Lima Vazquez
Diretor de Extensão

Rui Manuel Vieira Reis

Diretor Executivo e Científico

Instituto de Ensino e Pesquisa
Hospital de Câncer de Barretos/Hospital de Amor de Barretos –
Fundação Pio XII

MENSAGEM DOS EDITORES

Atualmente o câncer tem apresentado uma elevação da incidência, tornando-se uma das principais causas de mortalidade, principalmente em países em desenvolvimento. Melhorias no tratamento têm modificado a história natural da doença, com consequente aumento da sobrevida em alguns tipos de tumores e, em muitos casos, melhoria também na qualidade de vida.

Avaliando o contexto oncológico, observam-se diferentes estádios da doença, fato que determina a diversidade de queixas do paciente e o tipo de tratamento. O paciente oncológico possui uma complexidade peculiar no âmbito do cuidado médico, pois pode sofrer intercorrências médicas oriundas tanto da doença, quanto das intervenções terapêuticas. O número de publicações sobre o tema se avoluma, sendo muitas vezes difícil identificar e pontuar o que realmente é importante na prática clínica.

Emergências oncológicas são situações extremas que podem refletir diretamente na vida e onde a ausência de tratamento pode fatalmente levar a um desfecho desfavorável. Por outro lado, as urgências oncológicas constituem quaisquer intercorrências que necessitem de avaliação e intervenção, não necessariamente configurando risco imediato de vida. A Associação Brasileira de Medicina e o Conselho Federal de Medicina agruparam os conceitos, denominando Medicina de Emergência. Apesar de a Medicina de Emergência constituir-se uma especialidade médica, a emergência no paciente oncológico apresenta peculiaridades especiais. Deste fato nasceu a necessidade da criação de um livro, que discutisse e apresentasse as principais Emergências Oncológicas de maneira clara, sucinta e objetiva, a partir de um

Centro de Tratamento Oncológico exclusivo, ligado ao Sistema Público de Saúde, associado a profissionais da Medicina Oncológica e de Emergência. O Hospital de Câncer de Barretos, também denominado por Hospital do Amor de Barretos, é um Centro de Alta Complexidade para o Tratamento Oncológico (CRACON) e acumula experiência e vivência há mais de 50 anos; e a ABRAMEDE (Associação Brasileira de Medicina de Emergência) agrega profissionais ligados à Medicina de Emergência, refletindo na qualidade do conteúdo aqui apresentado.

De uma maneira bem objetiva, o paciente oncológico poderá passar pelos serviços de emergência, em quatro fases de tratamento. Observam-se intercorrências relacionadas com os tratamentos cirúrgico, quimioterápico ou radioterápico; ligadas à recorrência e à doença metastática; ligadas à progressão da doença e terminalidade da vida; e intercorrências clínicas/cirúrgicas não relacionadas com a doença oncológica.

Assim, os pacientes procurarão um Pronto-Socorro próximo a seus domicílios, ou diretamente o Hospital onde fazem o tratamento oncológico. Deste atendimento podem ocorrer diferentes desfechos, como avaliação clínica, medicação de suporte, internação para avaliação e controle, ou internação para óbito. O retorno do paciente ao serviço de Emergência fica fadado ao controle dos sintomas, suporte familiar, bem como evolução e/ou progressão da doença de base, ou necessidade de encaminhamento para uma Unidade de Cuidados Paliativos. Cabe, aos serviços de Emergência, uma avaliação criteriosa, com base no diagnóstico das condições associadas à extensão do tumor e diagnóstico diferencial, dentro de uma visão global e humanizada do paciente.

Ninguém trabalha sozinho, e o grupo de editores é formado por um Cirurgião Oncológico, um Oncologista Clínico e três Clínicos com extensa experiência em Medicina de Emergência geral, Emergências Oncológicas e Terapia Intensiva. Estes selecionaram profissionais afins dentro do contexto de sua especialidade, permitindo a construção do presente livro, que é formado por 72 temas abordados distribuídos em 17 partes principais.

A Editora Thieme Revinter acreditou na importância do tema e no caráter inédito da proposta apresentada, orquestrando a

organização de um livro didático, que discute os principais temas da Medicina de Emergência no Paciente Oncológico, de uma forma objetiva, visando à organização das ideias, de uma maneira sintética, rápida e efetiva.

Dedicamos esta publicação a nossos pacientes, razão de todo nosso trabalho, e esperamos que a mesma seja proveitosa aos profissionais que lidam com a Medicina de Emergência, dentro do contexto oncológico.

Os Editores

René Aloisio da Costa Vieira
Sergio Luiz Brasileiro Lopes
Cristina Prata Amendola
Flávio Mavinier Cárcano
Hélio Penna Guimarães

PREFÁCIO

A idade é o maior fator de risco isolado para se ter câncer. A média de expectativa de vida do brasileiro, em 1950, era em torno de 40 anos, e hoje, aproximadamente, de 76 anos. Isto explica o aumento da incidência da doença. Os últimos dados estatísticos mostram que o número estimado de novos casos para esta doença é, no mundo, de 18.100.000: Estados Unidos, 1.730.000, e Brasil 582.593. Assim sendo, o câncer deve ser visto como um problema de saúde pública.

A cirurgia, radioterapia, quimioterapia citotóxica, hormonoterapia e imunoterapia são as formas clássicas de tratamento da doença. Os grandes avanços no conhecimento da biologia molecular dos tumores, a descoberta de novas drogas e o tratamento multidisciplinar têm permitido ganhos significativos nas taxas de cura e sobrevida e mudado os padrões da cirurgia, tornando-a menos agressiva, sem perda da radicalidade e, com isto, permitindo uma melhor qualidade de vida aos pacientes.

Na sua evolução natural, durante o tratamento ou mesmo durante o acompanhamento, muitos pacientes com câncer desenvolvem quadros emergenciais, que podem ser classificados como: metabólicos, hematológicos, infecciosos, compressivos, obstrutivos, hemorrágicos e outros. O diagnóstico precoce destas eventualidades e o tratamento apropriado são fundamentais para diminuir as taxas de óbito e melhorar a qualidade de vida, o que está muito bem retratado neste livro.

Fiquei honrado ao receber o convite para prefaciar esta obra, que será editada por René Aloisio da Costa Vieira e seus colaboradores. René foi meu residente de Cirurgia Oncológica e aluno de Pós-graduação. Sempre me impressionou muito seu

caráter, persistência no trabalho, competência e desejo de contribuir cientificamente.

Emergências Oncológicas, como regra geral, sempre fazem parte de um capítulo dos bons livros de Oncologia, dada a importância destas intercorrências. Escrever um livro, abordando somente este tema, agrupado em 17 partes e 72 capítulos, com um seleto grupo de colaboradores, me pareceu uma feliz ideia, por dar ao assunto uma abordagem muito mais completa do que habitualmente encontramos nos capítulos de livros.

Tenho certeza que, pela abrangência e profundidade que o tema foi abordado, será um marco na literatura médica brasileira e um valioso subsídio para o aprendizado e atualização de estudantes, residentes e médicos das diferentes especialidades.

Ademar Lopes
Especialista em Cirurgia Oncológica
Vice-Presidente do A.C. Camargo Cancer Center
Livre-Docente pela FMUSP
Professor Titular de Oncologia da FMUMC
Fellow da Sociedade Americana de Cirurgia Oncológica

COLABORADORES

ALAN FELIPE BELLO SECCO

Oncologista Clínico no Departamento de Oncologia
Clínica do Hospital de Cancer de Barretos/Hospital de Amor Barretos

ALESSANDRA DEGRANDE PETTA

Hematologista e Hemoterapeuta do Departamento de Onco-Hematologia do Hospital de Cancer de Barretos/ Hospital de Amor Barretos

ALEX GOMES RODRIGUES

Cardiologista pelo Instituto Dante Pazzanese de Cardiologia da Sociedade Brasileira de Cardiologia (IDCP-SBC) Preceptor da Residencia de Cardiologia do Hospital Sao José da Universidade do Extremo Sul Catarinense (UNESC)

ALEXANDRE CESAR SANTOS

Urologista
Mestre em Oncologia pelo Hospital de Cancer de Barretos Médico do Departamento de Urologia Oncológica do Hospital de Cancer de Barretos/Hospital de Amor Barretos

ALLINI MAFRA DA COSTA

Enfermeira
Mestre e Doutora em Oncologia pelo Programa de Pós- Gradualo em Oncologia do Hospital de Cancer de Barretos
Coordenadora do Registro de Cancer Hospitalar do Hospital de Cancer de Barretos e do Registro de Cancer de Base Populacional da Cidade de Barretos

ANA PAULA PEREIRA GONCALVES

Enfermeira Especialista em Cuidados Paliativos Pós-Gradua^{ção} *Lato Sensu* em Estomoterapia

Trabalha na Unidade de Cuidados Paliativos do Hospital de Cancer de Barretos/Hospital de Amor Barretos

ANA SUELLEN BARROSO CARNEIRO

Clínica Geral

Residencia em Oncologia Clínica pelo Hospital de Cancer de Barretos

ANDRÉ LOPES CARVALHO

Cirurgiao de Cabera e Pescoso, Cirurgiao Oncológico Doutor e Livre-Docente em Oncologia pela Faculdade de Medicina da Universidade de Sao Paulo (FMUSP) Pesquisador PQ 1D no Departamento de Cabera e Pescoso Docente Permanente do Programa de Pós-Gradua^{ção} *Stricto Sensu* em Oncologia do Hospital de Cancer de Barretos

Atua na *International Agency for Research of Cancer (IARC)* Franca

ANDRÉ YUZO SUGAYAMA

Graduado em Medicina na Faculdade de Medicina de Santo Amaro, SP

Médico Emergencista pela Escola de Saúde Pública (ESP) - Fortaleza, CE

Fellow na Resus Leadership Academy

Preceptor da Residencia de Medicina de Emergencia da ESP - Fortaleza, CE

Médico do Time de Resposta Rápida na Santa Casa de Fortaleza, CE

Médico Emergencista no Hospital do Cora^{ção} e Pulmao de Messejana - Fortaleza, CE

Médico Emergencista no Hospital Geral de Fortaleza, CE

ANGELO GUSTAVO ZUCCA MATTHES

Mastologista

Doutor e Pós-Doutor pela Faculdade de Medicina de Botucatu da Universidade Estadual Paulista (Unesp) Atuou no Departamento de

Mastologia e Reconstrução Mamária do Hospital de Câncer de Barretos

ANTONIO BILAO JÚNIOR

Cirurgião Oncológico

Mestrado em Biotecnologia pela Faculdade de Medicina de Botucatu da Universidade Estadual Paulista (Unesp) Médico no Departamento de Mastologia e Reconstrução Mamária e no Centro de Intercorrência Ambulatorial do Hospital de Câncer de Barretos/Hospital de Amor Barretos

BIANCA CRISTINA SOARES

Graduada em Farmácia pelo Centro Universitário da Fundação Educacional de Barretos

Farmacêutica da Fundação Pio XII Experiência na Área de Farmácia, com ênfase em Farmácia Clínica, Assistência e Atenção Farmacêuticas Especializou em Farmácia Hospitalar e Clínica pela Universidade de Ribeirão Preto (Unaerp)

BIANCA SAKAMOTO RIBEIRO PAIVA

Enfermeira

Especialista em Saúde Coletiva/Saúde Pública Mestre e Doutora pela Faculdade de Medicina de Botucatu da Universidade Estadual Paulista (Unesp) Pós-Doutora na Linha de Cuidados Paliativos e Qualidade de Vida, Cuidador pela Fundação de Amparo à Pesquisa do Estado de São Paulo (Fapesp) Coordenadora do Grupo de Pesquisas em Cuidados Paliativos e Qualidade de Vida (CNPq)

Docente Permanente do Programa de Pós-Graduação *Stricto Sensu* do Hospital de Câncer de Barretos e do Programa de Pós-Graduação de Enfermagem em Saúde Pública da Universidade de São Paulo

BRENO DOUGLAS DANTAS OLIVEIRA

Médico Emergencista pela Escola de Saúde Pública (ESP), CE Pós-Graduado em Urgência e Emergência Pré-Hospitalar pelo Centro Universitário Christus (Unichristus) Mestrando em Ciências Médicas pela Universidade de Fortaleza (Unifor)

Preceptor da Residência de Medicina de Emergência da ESP, CE

Docente do Curso de Medicina da Unifor e da Unichristus

Coordenador do Pronto Atendimento e da Chefia de
Equipe do Hospital de Messejana Dr. Carlos Alberto Studart Gomes

BRUNA ROBERTA FANTINATI MARQUES

Graduada em Medicina pela Universidade de Mogi das Cruzes, SP
Médica Emergencista pelo Hospital Alemão Oswaldo Cruz - São
Paulo, SP

BRUNO CÉSAR BACCHIEGA DE FREITAS

Clínico Geral

Cardiologista

Mestre e Doutor em Ciências da Universidade do Estado do Rio de
Janeiro (UERJ)

CAMILA OSÓRIO SILVEIRA

Médica Emergencista pelo Hospital de Pronto-Socorro de Porto
Alegre, RS

Rotineira na Emergência do Hospital Bruno Born de Lajeado, RS

Graduada pela Faculdade de Medicina da Universidade Federal de
Santa Maria (UFSM)

CARLOS AUGUSTO RODRIGUES VEO

Cirurgião Oncológico

Mestre e Doutor em Ciências da Saúde pela Universidade Federal
de São Paulo (Unifesp)

Médico do Departamento de Cirurgia do Aparelho Digestivo Baixo e
no Centro de Intercorrência Ambulatorial do Hospital de Câncer de
Barretos/ Hospital de Amor Barretos

CARLOS EDUARDO MATTOS CUNHA ANDRADE

Cirurgião Oncológico

Mestre em Oncologia pelo Hospital de Câncer de Barretos

Professor da Faculdade de Ciências da Saúde de Barretos Dr. Paulo
Prata

Médico do Departamento de Oncogenética e do Departamento de
Ginecologia Oncológica do Hospital de Câncer de Barretos/Hospital
de Amor Barretos

CARLOS EDUARDO PAIVA

Clínico

Oncologista Clínico

Mestre e Doutor em Patologia pela Faculdade de Medicina de Botucatu da Universidade Estadual Paulista (FMB/Unesp)

Pós-Doutor pela FMB/Unesp

Docente da Pós-Graduação *Stricto Sensu* do Hospital de Cancer de Barretos Coordenador do Grupo de Pesquisas em Cuidados Paliativos e Qualidade de Vida (CNPq)

CARLOS MACIEL DA SILVA

Cirurgião Oncológico

Mestre em Gastroenterologia pela Universidade Federal de São Paulo (Unifesp)

Médico do Departamento de Cirurgia Torácica do Hospital de Câncer de Barretos/Hospital de Amor Barretos

CARLOS ROBERTO DE ALMEIDA JUNIOR

Coordenador do Departamento de Neurocirurgia Oncológica do Hospital de Câncer de Barretos/Hospital de Amor Barretos

Mestre em Neurociência e Comportamento pela Universidade de São Paulo (USP)

Professor do Curso de Medicina da Faculdade de Ciências da Saúde de Barretos (Facisb)

CARLOS SITTA SABAINI

Clínico

Hematologista e Hemoterapeuta pela Faculdade de Medicina de Botucatu da Universidade Estadual Paulista (FMB/Unesp)

Especializado em Transplante de Medula Óssea pela Fundação Amaral Carvalho/Hospital de Câncer de Jaú, SP Médico do Serviço de Transplante de Medula Óssea do Hospital de Câncer de Barretos/Hospital de Amor Barretos

Professor Coordenador da Disciplina de Hematologia da Faculdade de Ciências Médicas de Barretos (Facisb)

CINTHIA ALCÁNTARA-QUISPE

Cirurgia Geral

Pós-Graduada em Oncologia com Atuação em Onco- Urologia e Cirurgia Minimamente Invasiva Urológica pela Faculdade de Ciências da Saúde Dr. Paulo Prata/ Barretos

Médica do Departamento de Urologia Oncológica do Hospital de Câncer de Barretos/Hospital de Amor Barretos

CRISTIANE BOTELHO MIRANDA CÁRCANO

Clínica e Dermatologista

Mestre em Oncologia pelo Hospital de Câncer de Barretos

Docente do Curso de Medicina da Faculdade de Ciências da Saúde de Barretos Dr. Paulo Prata (Facisb)

CRISTINA ALESSI DA ROCHA

Clínica e Dermatologista

Mestre em Oncologia pelo Hospital de Câncer de Barretos

DANIELLA RAMONE

Clínica, Oncologista Clínica

Pós-Graduada em Terapia Intensiva

Mestre em Ciências da Saúde pela Universidade Federal de Uberlândia (UFU)

Coordenadora do Departamento de Oncologia Clínica do Hospital de Câncer de Barretos/Hospital de Amor Barretos

DENISE PEIXOTO GUIMARÃES

Endoscopista

Doutora em Biociências Nucleares pela Universidade do Estado do Rio de Janeiro (UERJ)

Pós-Doutora em Pesquisa Clínica pelo Instituto Nacional de Câncer (INCA)

Pesquisadora do Centro de Pesquisa em Oncologia Molecular, Sendo Docente no Programa de Pós- Graduação *Stricto Sensu* em Oncologia do Hospital de Câncer de Barretos

Atua no Departamento de Endoscopia e Departamento de Prevenção do Hospital de Câncer de Barretos/ Hospital de Amor Barretos

Coordenadora do Programa de Rastreamento do Câncer Colorretal no Departamento de Endoscopia e Departamento de Prevenção do

Hospital de Cancer de Barretos/Hospital de Amor Barretos

DIEGO BURGARDT

Cirurgião Oncológico

Médico do Departamento de Cirurgia do Aparelho Digestivo Alto do Hospital de Cancer de Barretos/ Hospital de Amor Barretos

DIEGO DE SOUZA LIMA FONSECA

Radio-Oncologista pelo Hospital de Cancer de Barretos

DJALMA IGOR DE OLIVEIRA GONCALVES

Cirurgião Geral

Residencia em Cirurgia Oncológica pelo Hospital de Cancer de Barretos

DRYELEN MOREIRA DE ASSIS

Médica Residente em Medicina Intensiva da Fundado Pio XII do Hospital de Cancer de Barretos

DURVAL RENATO WOHNATH

Cirurgião Oncológico

Mestre em Gastroenterologia pela Universidade Federal de São Paulo (Unifesp)

Atua no Departamento de Cancer do Aparelho Digestivo Alto do Hospital de Cancer de Barretos/Hospital de Amor Barretos

EDERSON SHIBUYA KIDA

Ortopedista

Pós-Graduado em Oncologia com Atuação em Ortopedia Oncológica pela Faculdade de Ciencias da Saúde Dr. Paulo Prata/Barretos

EDUARDO AREAS TOLLER

Ortopedista do Departamento de Ortopedia do Hospital de Cancer de Barretos/Hospital de Amor Barretos

ELIANA LOURENÇO BORGES

Clínica e Pneumologista

Atua na Unidade de Terapia Intensiva e no Centro de Intercorrência Ambulatorial do Hospital de Câncer de Barretos/Hospital de Amor Barretos

ELINEY FERREIRA FARIA

Urologista

Doutor em Oncologia pela Faculdade de Medicina da Universidade de São Paulo (FMUSP)

Pós-Doutor pela University of Texas MD Anderson Médico no Departamento de Urologia Oncológica e Como Docente no Programa de Pós-Graduação *Stricto Sensu* em Oncologia do Hospital de Câncer de Barretos

ENRICO MIGUEL STUCCHI

Diretor Técnico do Hospital dos Servidores, ES Coordenador e Diarista da UTI do Hospital dos Servidores, ES

Gestor de Clínicas do Hospital Estadual Jayme Santos Neves (HEJSN)

Professor de Medicina Intensiva da Faculdade Brasileira (MULTIVIX)

Especialista em Medicina Intensiva

Especialista em Cirurgia Geral

ERNESTO FERNANDEZ MACHIN

Ortopedista

Pós-Graduado em Oncologia com Atuação em Ortopedia Oncológica pela Faculdade de Ciências da Saúde Dr. Paulo Prata/Barretos

EUGÊNIO SANTANA FRANCO FILHO

Médico Emergencista pela Escola de Saúde Pública ESP - Fortaleza, CE

Preceptor da Residência de Medicina de Emergência ESP - Fortaleza, CE

FABIANO DE MELO PEIXOTO

Neurologista do Hospital de Câncer de Barretos/Hospital de Amor Barretos e da Santa Casa de Misericórdia de Barretos

FELIPE DALDEGAN DINIZ

Cirurgiao Oncológico

Pós-Graduado em Oncologia com Atuação em Cirurgia Colorretal Laparoscópica pela Faculdade de Ciências da Saúde Dr. Paulo Prata/Barretos

Médico do Departamento de Cirurgia do Aparelho Digestivo Baixo e no Centro de Intercorrência Ambulatorial do Hospital de Câncer de Barretos/ Hospital de Amor Barretos

FERNANDO CESAR FERREIRA CALISTRO

Cirurgiao Geral

Residência em Cirurgia Oncológica pelo Hospital de Câncer de Barretos

FERNANDO COSTA GUZZO

Médico Especialista em Clínica Médica pelo Hospital Estadual Jayme Santos Neves (HEJSN)

FERNANDO ERNESTO CRUZ FELIPPE

Cirurgiao Oncológico

Médico do Departamento de Cirurgia do Aparelho Digestivo Alto do Hospital de Câncer de Barretos/ Hospital de Amor Barretos

FERNANDO SANTOS DE AZEVEDO

Oncologista Clínico pelo Hospital das Clínicas da Universidade Federal de Goiás (UFG)

Pós-Graduação em Atenção Primária à Saúde pela UFG

FLORINDA ALMEIDA SANTOS

Médica Oncologista Clínica do Hospital de Câncer de Barretos/Hospital de Amor Barretos

Mestranda no Programa de Pós-Graduação *Stricto Sensu* do Hospital de Câncer de Barretos

FREDERICO CARLOS DE SOUSA ARNAUD

Médico Especialista em Medicina de Emergencia pela Associação Brasileira de Medicina de Emergencia (ABRAMEDE)

Presidente da ABRAMEDE - Gestão: 2018-2019

Especialista em Clínica Médica e Anestesiologia

GABRIEL PIETROBON MARTINS

Graduado em Medicina pela Universidade do Extremo Sul Catarinense - Criciúma, SC

Residente em Medicina de Emergência pelo Hospital São Lucas da Pontifícia Universidade Católica de Porto Alegre (PUCRS)

GILBERTO FAVA

Cirurgião Geral e Endoscopista

Doutor em Clínica Cirúrgica pela Faculdade de Medicina da Universidade de São Paulo (FMUSP)

Coordenador do Departamento de Endoscopia do Hospital de Câncer de Barretos/Hospital de Amor Barretos

GUILHERME BENFATTI OLIVATO

Médico Especialista em Clínica Médica pela Universidade Federal de São Paulo (Unifesp)

Especialista em Medicina Intensiva pelo Hospital Albert Einstein

Médico Instrutor do Centro de Ensino, Treinamento e Simulação do Hospital do Corado (HCOR)

HELOISA HELENA MAIA CHRISTOVAM LOPES

Residência em Clínica Médica e Cardiologia e Especializado em Ecocardiografia

Cardiologista do Hospital de Câncer de Barretos/ Hospital de Amor Barretos

IDAM DE OLIVEIRA JUNIOR

Mastologista

Mestre e Doutorando em Ginecologia, Obstetrícia e Ginecologia pela Faculdade de Medicina de Botucatu da Universidade Estadual Paulista (Unesp)

Médico do Departamento de Mastologia e Reconstrução Mamária do Hospital de Câncer de Barretos/Hospital de Amor Barretos

ILANA POLEGATTO

Cirurgia Oncológica pelo Hospital de Câncer de Barretos

ISAAC FERRARI DEL FAVERO

Médico Residente em Medicina Intensiva da Fundado Pio XII do Hospital de Cancer de Barretos

ISABELA ASSIS DE SIQUEIRA

Residencia Médica em Clínica Médica, Hematologia e Hemoterapia

ÍTALO TALES PLÁCIDO DA SILVA

Graduado pela Faculdade de Ciencias Médicas da Paraíba, PB

Médico Emergencista pela Escola de Saúde Pública

ESP - Fortaleza, CE

Especializado em Emergencias Geriátricas pela Pós-FG da Faculdade Unida - Fortaleza, CE

Pós-Graduado em Ultrassonografia Geral e Doppler pela Cetrus - Recife, PE

JOÃO NEIF ANTONIO JUNIOR

Residencia em Clínica Médica e Oncologia Clínica

Atua no Departamento de Oncologia Clínica do Hospital de Cancer de Barretos/Hospital de Amor Barretos

JOÃO PAULO ELIAS ALVES

Neurologista pela Faculdade de Medicina da Universidade de Sao Paulo (FMUSP)

Atua no Departamento de Neurologia do Hospital de Cancer de Barretos/Hospital de Amor Barretos

JOÃO PAULO PRETTI FANTIN

Urologista

Pós-Graduado em Oncologia com Atuagao em Onco- Urologia e Cirurgia Minimamente Invasiva Urológica pela Faculdade de Ciencias da Saúde Dr. Paulo Prata/ Barretos

Médico do Departamento de Urologia Oncológica do Hospital de Cancer de Barretos/Hospital de Amor Barretos

JOSÉ CARLOS IGNACIO JUNIOR

Infectologista

Médico do Departamento de Clínica Médica do Hospital de Cancer de Barretos/Hospital de Amor Barretos

JOSÉ ELIAS ABRÃO MIZIARA

Cirurgião Oncológico

Médico Coordenador do Departamento de Cirurgia Torácica do Hospital de Cancer de Barretos/Hospital de Amor Barretos

KELLY MENEZIO GIARDINA

Endoscopista, Cirurgia Geral e Coloproctologista Médica do Departamento de Endoscopia do Hospital de Cancer de Barretos/Hospital de Amor Barretos

LARISSA BELOTI SALVADOR

Médica Infectologista da Santa Casa de Misericórdia de Barretos
Residência Médica pela Universidade Estadual de Campinas (Unicamp)
Mestre em Gerontologia pela Unicamp

LAURA ERCOLIN

Clínica Médica
Pós-Graduada em Cuidados Paliativos
Residência em Radioterapia pelo Hospital de Cancer de Barretos

LAYRA MINUNCIO NOGUEIRA

Graduada em Enfermagem pela Universidade de Franca
Especialista em Cuidados Paliativos pelo Instituto Pallium Latino-América, Argentina
Curso em Gerontologia pelo Instituto Paulista de Geriatria e Gerontologia
Enfermeira de Cuidados Paliativos no Hospital de Cancer de Barretos/Hospital de Amor Barretos
Experiência na Área de Enfermagem Paliativa e Dor

LEANDRO JUNIOR LUCCA

Mestre/Doutor em Nefrologia/Clínica Médica pela Faculdade de Medicina de Ribeirão Preto da Universidade de São Paulo (FMRP/USP)

Especialista em Nefrologia pela Sociedade Brasileira de Nefrologia (SBN) e Conselho Federal de Medicina (CFM) Especialista em Distúrbio Mineral e Ósseo da Doença Renal Crônica (DMO-DRC)
Membro do Departamento de DMO-DRC da SBN Onco-Nefrologista do Hospital de Câncer de Barretos/SP Coordenador da Unidade de DMO-DRC do Hospital de Clínicas da FMRP/USP

LEONARDO AUGUSTO CANDIDO SEYBOTH

Cirurgião Oncológico pelo Hospital de Câncer de Barretos
Cirurgião Oncológico no Hospital de Câncer de Cascavel

LEONARDO GOLTARA ALMEIDA

Supervisor da Residência Médica em Medicina de Emergência da Faculdade Brasileira (MULTIVIX) Supervisor da Residência Médica em Clínica Médica - Hospital Estadual Jayme Santos Neves (HEJSN) Mestre em Gestão Pública
Especialista em Medicina de Emergência pela Associação Brasileira de Medicina de Emergência (ABRAMEDE/AMB)
Especialista em Medicina Intensiva pela Associação de Medicina Intensiva Brasileira (AMIB/AMB)
Especialista em Geriatria pela Sociedade Brasileira de Geriatria e Gerontologia (SBGG/AMB)
Emergencista Diarista da Sala Vermelha do Hospital Estadual Jayme Santos Neves (HEJSN)
Coordenador da UTI Geral B do Vila Velha Hospital Professor de Emergências Médicas da Faculdade Brasileira (MULTIVIX)

LEONARDO NOGUEIRA TAVEIRA

Endoscopista
Médico do Departamento de Endoscopia do Hospital de Câncer de Barretos/Hospital de Amor Barretos

LIA CONRADO GALVÃO

Especialista em Nefrologia pela Sociedade Brasileira de Nefrologia, Onco-Nefrologista do Hospital de Câncer de Barretos/Hospital de Amor Barretos

LÍGIA NIÉRO-MELO

Mestre e Doutora em Hematologia pela Universidade Estadual Paulista (Unesp)

Chefe da Disciplina de Hematologia da Faculdade de Medicina de Botucatu - Departamento de Clínica Médica da Unesp

Citomorfolologista do Grupo Brasileiro de Síndromes Mielodisplásicas em Pediatria -GB-SMD-Ped

Membro dos Comites de Mielodisplasia e Hematologia Laboratorial da Associação Brasileira de Hematologia e Hemoterapia (ABHH)

Professora-Colaboradora da Faculdade de Ciências Médicas de Barretos

Consultora em Hematologia Geral - Fundado Pio XII de Barretos

LORENA BEDOTTI RIBEIRO

Residência Médica em Clínica Médica, Hematologia e Hemoterapia

Atua no Hospital de Câncer de Barretos/Hospital de Amor Barretos

LUCAS CAETANO DIAS LOURENCO

Residência em Neurocirurgia pelo Hospital Universitário Alzira Velano - Unifenas - Alfenas, MG

Estagiário de Neurocirurgia Oncológica pelo Hospital de Câncer de Barretos

LUCIANA CAIEL

Residência em Medicina Intensiva da Fundado Pio XII - Hospital de Câncer de Barretos

LUCIANA COELHO SANCHES

Médica Especialista em Medicina Intensiva pela Associação de Medicina Intensiva Brasileira (AMIB) Doutora em Ciências pela Universidade Federal de São Paulo (Unifesp)

Coordenadora da Unidade de Terapia Intensiva do Hospital de Câncer de Barretos/Hospital de Amor Barretos

LÚCIO DE ALMEIDA DORNELLES

Médico Emergencista Titulado Associação Brasileira de

Medicina de Emergência (ABRAMEDE/AMB) Emergencista do Grupo Hospitalar Conceição Graduado pela Faculdade de Medicina da Universidade Federal do Rio Grande (FURG-RS)

LUIS EDUARDO ROSA ZUCCA

Residência em Clínica Médica e Oncologia Clínica Mestre em Oncologia pelo Hospital de Câncer de Barretos

LUIS GUSTAVO CAPOCHIN ROMAGNOLO

Coloproctologista e Cirurgião Geral

Coordenador do IRCAD América Latina/Unidade Barretos Médico do Departamento de Cirurgia do Aparelho Digestivo Baixo do Hospital de Câncer de Barretos/ Hospital de Amor Barretos

LUÍS HENRIQUE SIMÕES COVELLO

Intensivista Diarista do Hospital de Amor Nossa Senhora - Barretos, SP

Título de Especialista em Terapia Intensiva pela Associação de Medicina Intensiva Brasileira (AMIB) Pós-Graduado e Terapia Nutricional Hospitalar pela Faculdade de Ciências da Saúde de Barretos (Facisb)

LUIS MARCELO VENTURA

Radiologista com Atuação em Radiologia Intervencionista

Radiologia e Diagnóstico por Imagem pela Sociedade Brasileira de Radiologia Intervencionista e Cirurgia Endovascular (SOBRICE-CBR)

Neurorradiologia Terapêutica pela Sociedade Brasileira de Neurorradiologia (SBNR-CBR)

Clinical Fellow em Radiologia Intervencionista Pediátrica na Universidade de Toronto

Atua no Departamento de Radiologia, Divisão de Radiologia Intervencionista do Hospital de Câncer de Barretos/Hospital de Amor Barretos

LUIZ ALEXANDRE ALEGRETTI BORGES

Médico Especialista em Medicina de Emergência pela Associação Brasileira de Medicina de Emergência (ABRAMEDE/AMIB) e Medicina Intensiva pela Associação de Medicina Intensiva Brasileira (AMIB/AMB) Ex-Presidente da ABRAMEDE
Ex-Presidente AMIB

Coordenador da Câmara Técnica de Medicina de Emergência do Conselho Regional de Medicina do Estado do Rio Grande do Sul (CREMERS)

Membro da Câmara Técnica de Medicina de Emergência do Conselho Federal de Medicina (CFM)

Coordenador da Comissão de Residência Médica (COREME) do Hospital de Pronto-Socorro de Porto Alegre (HPS) Médico Intensivista das Unidades de Terapia Intensiva (UTI) do HPS e do Hospital Nossa Senhora da Conceição de Porto Alegre

MARCELO CARTAPATTI DA SILVA

Urologista

Fellowship em Uro-Oncologia e Cirurgia Minimamente Invasiva na Funcación PuigVert/Barcelona Pós-Graduado em Oncologia com Atuação Onco- Urologia e Cirurgia Minimamente Invasiva Urológica pela Faculdade de Ciências da Saúde Dr. Paulo Prata/ Barretos

MARCELO DE ANDRADE VIEIRA

Cirurgião Oncológico

Mestre e Doutor em Oncologia pelo Hospital de Câncer de Barretos Coordenador do Departamento de Ginecologia Oncológica do Hospital de Câncer de Barretos/Hospital de Amor Barretos

MÂRCIO LEITE RODRIGUES

Especialista em Cardiologia pela Faculdade de Medicina de São José do Rio Preto/Sociedade Brasileira de Cardiologia

Especialista em Medicina Intensiva pela Associação de Medicina Intensiva Brasileira

Coordenador do Serviço de Cardiologia do São Bernardo Apart Hospital - Colatina, ES

MARCO AURÉLIO DE SANCTIS

Cirurgião Oncológico pelo Hospital de Câncer de Barretos

Médico do Departamento de Cirurgia do Aparelho Digestivo Alto do Hospital de Câncer de Barretos/ Hospital de Amor Barretos

MARCOS RODRIGUES ALVES

Especialista em Nefrologia pela Sociedade Brasileira de Nefrologia,
Onco-Nefrologista do Hospital de Câncer de Barretos/Hospital de
Amor Barretos

MARCOS VINICIUS ARAUJO DENADAI

Cirurgião Oncológico

Mestre e Doutor em Ciências da Saúde pela Universidade Federal
de São Paulo (Unifesp) Médico do Departamento de Cirurgia do
Aparelho Digestivo Baixo e no Centro de Intercorrência Ambulatorial
do Hospital de Câncer de Barretos/ Hospital de Amor Barretos

MARIA FERNANDA BIAZOTTO FERNANDES

Clínica Médica

Residente de Cancerologia Clínica do Hospital de Câncer de
Barretos

MARIA SALETE DE ANGELIS NASCIMENTO

Médica Anestesiologista com Área de Atuação em Dor e Medicina
Paliativa pela Sociedade Brasileira de Anestesiologia (SBA) e pela
Associação Médica Brasileira (AMB)

Doutora em Ciências Médicas pela Faculdade de Medicina de
Ribeirão Preto da Universidade de São Paulo (FMRP/USP)

Médica Titular da Unidade de Cuidados Paliativos do Hospital de
Câncer de Barretos/Hospital de Amor Barretos

MARIANA GABRIELA RAPHAEL GALVÃO RIBEIRO

Infectologista

Atua na Santa Casa de Misericórdia de Barretos

MARTINS FIDELIS DOS SANTOS NETO

Doutorando em Oncologia

Professor do Programa de Pós-Graduação da Faculdade de
Ciências da Saúde de Barretos Dr. Paulo Prata Membro do Comitê
de Ética em Pesquisa (CEP) do Hospital de Câncer de Barretos

Líder da Unidade de Informação do Instituto de Ensino e Pesquisa
da Fundação Pio XII - Hospital do Câncer de Barretos

Membro do Grupo de Pesquisa Qualidade de Vida;

Cuidados Paliativos e Qualidade de Morte

MATEUS SALDANHA CARDOSO

Radiologista Intervencionista do Hospital de Amor Barretos
Membro Titular do Colégio Brasileiro de Radiologia e Diagnóstico por Imagem (CBR) e da Sociedade Brasileira de Radiologia Intervencionista e Cirurgia Endovascular (Sobrice)
Especialização em Radiologia Intervencionista pelo Instituto do Câncer do Estado de São Paulo da Faculdade de Medicina da Universidade de São Paulo (ICESP - FMUSP)

MAXIMILIANO CADAMURO NETO

Cirurgião Oncológico
Médico Instrutor AMITS-IRCAD América Latina/Barretos Médico do Departamento de Cirurgia do Aparelho Digestivo Baixo do Hospital de Câncer de Barretos/ Hospital de Amor Barretos

MOISÉS AUGUSTO DE ARAÚJO

Residência em Neurocirurgia pela Universidade Federal da Fronteira Sul
Pós-Graduando em Neurocirurgia Oncológica pelo Hospital de Câncer de Barretos

NELSON SIQUEIRA DE CASTRO

Residência Médica em Clínica Médica, Hematologia e Hemoterapia
Mestre em Farmacologia pela Universidade de São Paulo (USP)
Atua no Departamento de Hematologia do Hospital de Câncer de Barretos/Hospital de Amor Barretos

PAULA DAPHNE BRISIGUELI BORGES DE ALMEIDA

Cirurgia Oncológica
Pós-Graduanda em Oncologia em Atuação na Ginecologia Oncológica pela Faculdade de Ciências da Saúde Dr. Paulo Prata/Barretos

PAULO DE TARSO OLIVEIRA E CASTRO

Médico Infectologista
Diretor do Serviço de Controle de Infecção Hospitalar (SCIH) do Hospital de Câncer de Barretos/Hospital de Amor Barretos

RAFAEL FERRARI

Intensivista

Coordenador do Serviço de Emergência da Santa Casa de Misericórdia de Barretos - Barretos, SP

Residência de Clínica Médica pela Santa Casa de Misericórdia de Fernandópolis/Unicastelo - Fernandópolis, SP

Residência de Medicina Intensiva pelo Hospital de Base de São José do Rio Preto/Famerp - São José do Rio Preto, SP
Título de Especialista em Terapia Intensiva Associação de Medicina Intensiva Brasileira (AMIB)

RAPHAEL LEONARDO CUNHA DE ARAUJO

Cirurgião Oncológico

Doutor em Ciências em Gastroenterologia pela Faculdade de Medicina de São Paulo

Atuou no Departamento de Cirurgia do Digestivo Alto do Hospital de Câncer de Barretos

Atual Professor Adjunto da Cirurgia Hepática do Departamento de Gastroenterologia Cirúrgica na Escola Paulista de Medicina da Universidade Federal de São Paulo (Unifesp)

RAPHAEL LUIZ HAIKEL

Cirurgião Oncológico

Médico do Departamento de Mastologia e Reconstrução Mamária do Hospital de Câncer de Barretos/Hospital de Amor Barretos

RENATO DE CASTRO CAPUZZO

Cirurgião de Cabeça e Pescoço

Mestrado em Oncologia pelo Hospital de Câncer de Barretos

Médico do Departamento de Cabeça e Pescoço do Hospital de Câncer de Barretos/Hospital de Amor Barretos

RICARDO DOS REIS

Ginecologista

Mestrado e Doutorado em Medicina pela Universidade Federal do Rio Grande do Sul (UFRGS)

Professor da Faculdade de Ciências da Saúde de Barretos Dr. Paulo Prata

Coordenador da Unidade de Saúde da Mulher da Faculdade de Ciências da Saúde de Barretos Dr. Paulo Prata

Pesquisador CNPQ PQ2

Médico no Departamento de Ginecologia Oncológica Docente no Programa de Pós-Graduação *Stricto Sensu* em Oncologia do Hospital de Câncer de Barretos Coordenador do Programa de Pós-Graduação Mestrado Profissional de Inovação em Saúde da Faculdade de Ciências da Saúde Dr. Paulo Prata (Facisb)

RICARDO MIGUEL COSTA DE FREITAS

Médico Radiologista do Instituto do Câncer do Estado de São Paulo da Faculdade de Medicina da Universidade de São Paulo (FMUSP)

Doutor em Radiologia pelo Instituto de Radiologia do Hospital das Clínicas (InRad-HC) - FMUSP

Fellow em Radiologia Intervencionista Não Vascular no Hospital Civil da Universidade Louis Pasteur, Estrasburgo/França

Membro Titular do Colégio Brasileiro de Radiologia e Diagnóstico por Imagem (CBR) e da Sociedade Brasileira de Radiologia Intervencionista e Cirurgia Endovascular (Sobrice)

RICARDO RIBEIRO GAMA

Cirurgião de Cabeça e Pescoço e Cirurgião Oncológico Doutorado em Oncologia pela Faculdade de Medicina da Universidade de São Paulo (FMUSP)

Pós-Doutorando pela Universidade Federal de São Paulo (Unifesp)

Médico do Departamento de Cabeça e Pescoço do Hospital de Câncer de Barretos/Hospital de Amor Barretos

ROBERTO DIAS MACHADO

Urologista

Mestre em Clínica Cirúrgica pela Faculdade de Medicina de Ribeirão Preto (FMRP)

Coordenador do Departamento de Urologia Oncológica

Hospital de Câncer de Barretos/Hospital de Amor Barretos

RODRIGO AUGUSTO DEPIERI MICHELLI

Cirurgião Oncológico

Mestre em Oncologia pela FMUSP

Atuou no Departamento de Oncogenética e no
Departamento de Mastologia e Reconstrução Mamária do Hospital
de Câncer de Barretos
Atua no Hospital de Câncer de Catanduva

RODRIGO CASTANHO DE CAMPOS LEITE

Cirurgião Oncológico

Pós-Graduação em Oncologia com Atuação em Cirurgia Colorretal
Laparoscópica pela Faculdade de Ciências da Saúde Dr. Paulo
Prata/Barretos

RODRIGO ENOKIBARA BELTRAME

Especialista em Nefrologia pela Sociedade Brasileira de Nefrologia
Onco-Nefrologista do Hospital de Câncer de Barretos/SP
Especialista em Medicina Intensiva pela Associação de Medicina
Intensiva Brasileira (AMIB)

RONALDO LUIS SCHMIDT

Cirurgião Oncológico

Médico do Departamento de Ginecologia Oncológica do Hospital de
Câncer de Barretos/Hospital de Amor Barretos

SARAH MACIEL SILVA

Graduação em Medicina pela Universidade Federal de
Minas Gerais (UFMG)
Médica Emergencista pelo Hospital das Clínicas da
UFMG

SARITA NASBINE FRASSETTO

Médica de Família e Comunidade pela Faculdade de Medicina de
Ribeirão Preto da Universidade de São Paulo (FMRP/USP)
Especialista em Medicina Paliativa pelo Hospital de
Câncer de Barretos e pelo Instituto Pallium Latino-América
Médica Titular do Departamento de Cuidados Paliativos do Hospital
de Câncer de Barretos/Hospital de Amor Barretos

SEILA ISRAEL DO PRADO

Médica Infectologista Pediátrica do Serviço de Controle de Infecção Hospitalar (SCIH) do Hospital de Câncer de Barretos/Hospital de Amor Barretos

SYLVIO CESAR SARGENTINI

Ortopedista

Médico do Departamento de Ortopedia do Hospital de Câncer de Barretos/Hospital de Amor Barretos

THIAGO LACERDA ATAIDES

Médico Nefrologista pelo Hospital das Clínicas da Universidade Federal de Goiás (HC-UFG)

Membro Titular da Sociedade Brasileira de Nefrologia (SBN)

Membro do Comitê Jovens Nefrologistas da SBN Professor da Disciplina de Nefrologia no Curso de Medicina da UniEvangélica, GO

TOMAS RAMOS VELLOSO COELHO

Cirurgião Oncológico pelo Hospital de Câncer de Barretos

Professor da Disciplina de Cirurgia na Universidade Federal do Mato Grosso do Sul (UFMS)

VANESSA ALMEIDA PÁDUA

Residência Médica em Clínica Médica, Hematologia e Hemoterapia Atua no Departamento de Hematologia do Hospital de Câncer de Barretos/Hospital de Amor Barretos

VITOR DO CARMO JORGE

Ortopedista

Pós-Graduado em Oncologia com Atuação em Ortopedia Oncológica pela Faculdade de Ciências da Saúde de Barretos Dr. Paulo Prata (Facisb)

VÍTOR HORTA DE LIMA FILHO

Cirurgião Oncológico

Pós-Graduado em Oncologia com Atuação em Cirurgia Colorretal Laparoscópica pela Faculdade de Ciências da Saúde de Barretos Dr. Paulo Prata (Facisb)

WESLEY JUSTINO MAGNABOSCO

Urologista

Doutor em Cirurgia pela Universidade Estadual Paulista (Unesp)

Atua no Departamento de Urologia Oncológica do

Hospital de Câncer de Barretos/Hospital de Amor Barretos

WILSON CHUBASSI DE AVEIRO

Cirurgião Oncológico

Pós-Graduação *Lato Sensu* em Oncologia pelo Hospital de Câncer de Barretos

Atua no Departamento de Cirurgia Torácica do Hospital de Câncer de Barretos/Hospital de Amor Barretos

WILSON MASSAYUKI IMANISHI

Clínico Geral e Intensivista

Atua no Departamento de Clínica Médica e no Departamento de Terapia Intensiva do Hospital de Câncer de Barretos/Hospital de Amor Barretos

YURY TAVARES DE LIMA

Graduação em Medicina pela Universidade Federal de Campina Grande (UFCG)

Médico Emergencista pela Escola de Saúde Pública do Ceará (ESP/CE) - Fortaleza, CESUMÁRIO

SUMÁRIO

PRANCHA EM CORES

PARTE I **EPIDEMIOLOGIA**

1 **EPIDEMIOLOGIA DO CÂNCER NO BRASIL E EM HOSPITAL ONCOLÓGICO**

Allini Mafra da Costa ■ Flávio Mavignier Cárcano

2 **EPIDEMIOLOGIA DAS URGÊNCIAS E EMERGÊNCIAS EM HOSPITAIS ONCOLÓGICOS**

Sérgio Luiz Brasileiro Lopes ■ René Aloisio da Costa Vieira

PARTE II **EMERGÊNCIAS CLÍNICAS E METABÓLICAS**

3 **DISTÚRBIOS DO SÓDIO**

*Bruna Roberta Fantinati Marques ■ Sarah Maciel Silva
Thiago Lacerda Ataides*

4 **DISTÚRBIOS DO CÁLCIO**

*Breno Douglas Dantas Oliveira
Ítalo Tales Plácido da Silva ■ Yury Tavares de Lima*

5 **DISTÚRBIOS DO POTÁSSIO**

*Hélio Penna Guimarães ■ Gabriel Pietrobon Martins
Guilherme Benfatti Olivato*

6 DISTÚRBIOS DA GLICEMIA

André Yuuzo Sugayama

Eugênio Santana Franco Filho ■ Yury Tavares de Lima

7 DISTÚRBIOS DO MAGNÉSIO

Breno Douglas Dantas Oliveira

Eugênio Santana Franco Filho

8 DISTÚRBIOS DO FÓSFORO

Thiago Lacerda Ataides ■ Fernando Santos de Azevedo

9 INSUFICIÊNCIA RENAL AGUDA E DIÁLISE NO PACIENTE COM CÂNCER

Leandro Junior Lucca ■ Lia Conrado Galvão

Marcos Rodrigues Alves ■ Rodrigo Enokibara Beltrame

10 SÍNDROME DA SECREÇÃO INAPROPRIADA DO HORMÔNIO ANTIDIURÉTICO (ADH) EM ONCOLOGIA

Rodrigo Enokibara Beltrame ■ Isaac Ferrari Del Favero

11 SÍNDROME HEMOLÍTICO-URÊMICA EM ONCOLOGIA (SHU ATÍPICA)

Rodrigo Enokibara Beltrame

Luciana Caiel ■ Luciana Coelho Sanches

12 ACIDOSE LÁCTICA NA TERAPIA INTENSIVA ONCOLÓGICA

Rodrigo Enokibara Beltrame

Dryelen Moreira de Assis

PARTE III

TOXICIDADE ASSOCIADA AO TRATAMENTO ONCOLÓGICO

13 TRATAMENTO DE SINTOMAS

Daniella Ramone

14 COMPLICAÇÕES ORAIS.

Daniella Ramone

15 TOXICIDADES ASSOCIADAS À RADIOTERAPIA

Laura Ercolin ■ Diego de Souza Lima Fonseca

16 TOXICIDADE CARDÍACA ASSOCIADA À QUIMIOTERAPIA

João Neif Antônio Junior

17 TOXICIDADES PULMONARES RELACIONADAS COM QUIMIOTERÁPICOS

Alan Felipe Bello Secco

18 TOXICIDADES DIVERSAS ASSOCIADAS À QUIMIOTERAPIA

Florinda Almeida Santos ■ Ana Suellen Barroso Carneiro

18.1 Nefrotoxicidade

18.2 Neurotoxicidade

18.3 Hepatotoxicidade

18.4 Toxicidade Vascular

19 REAÇÕES INFUSIONAIS ASSOCIADAS À QUIMIOTERAPIA SISTÊMICA

Luis Eduardo Rosa Zucca

PARTE IV
DOR ONCOLÓGICA

20 DROGAS DE USO CLÍNICO

*Bianca Cristina Soares ■ Ana Paula Pereira Gonçalves
Martins Fideles dos Santos Neto*

21 TRATAMENTO CLÍNICO DA DOR ONCOLÓGICA

*Sarita Nasbine Frassetto
Maria Salete de Angelis Nascimento
Layra Minuncio Nogueira*

22 TRATAMENTO INTERVENCIONISTA DA DOR ONCOLÓGICA

*Mateus Saldanha Cardoso
Ricardo Miguel Costa de Freitas ■ Luis Marcelo Ventura*

PARTE V
EMERGÊNCIAS HEMATOLÓGICAS

23 HIPERLEUCOCITOSE.

Nelson Siqueira de Castro

24 SÍNDROME DE HIPERVISCOSIDADE

Nelson Siqueira de Castro

25 DISTÚRBIOS DA HEMOSTASIA NO PACIENTE ONCOLÓGICO

Carlos Sitta Sabaini ■ Lígia Niéro-Melo

26 SÍNDROME DE LISE TUMORAL

Isabela Assis de Siqueira

27 ANEMIA NO PACIENTE ONCOLÓGICO: ASPECTOS FISIOPATOLÓGICOS

Lígia Niéro-Melo ■ Carlos Sitta Sabaini

28 SUPORTE TRANSFUSIONAL NA EMERGÊNCIA

Isabela Assis de Siqueira

29 REAÇÕES TRANSFUSIONAIS

Vanessa Almeida Pádua ■ Alessandra Degrande Petta

30 URGÊNCIAS E EMERGÊNCIAS NÃO INFECCIOSAS NO TRANSPLANTE DE CÉLULAS-TRONCO HEMATOPOIÉTICAS

Lorena Bedotti Ribeiro ■ Carlos Sitta Sabaini

31 URGÊNCIAS E EMERGÊNCIAS INFECCIOSAS NO TRANSPLANTE DE CÉLULAS-TRONCO HEMATOPOIÉTICAS

Lorena Bedotti Ribeiro ■ Carlos Sitta Sabaini

PARTE VI
EMERGÊNCIAS INFECCIOSAS

32 NEUTROPENIA FEBRIL

*José Carlos Ignacio Junior ■ Seila Israel do Prado
Paulo de Tarso Oliveira e Castro*

33 COMPLICAÇÕES DOS CATETERES VENOSOS CENTRAIS

*Seila Israel do Prado ■ Luis Marcelo Ventura
Paulo de Tarso Oliveira e Castro*

34 INFECÇÕES VIRAIS EM PACIENTES ONCOLÓGICOS NO CENÁRIO DE ATENDIMENTO DE EMERGÊNCIA

*Larissa Beloti Salvador ■ Paulo de Tarso Oliveira e Castro
Seila Israel do Prado ■ José Carlos Ignacio Junior*

35 SEPSE

*Luís Henrique Simões Covello ■ Rafael Ferrari
Maria Fernanda Biazotto Fernandes*

PARTE VII EMERGÊNCIAS CARDIOVASCULARES

36 CONSIDERAÇÕES CARDIOVASCULARES NO PACIENTE ONCOLÓGICO

Bruno César Bacchiega de Freitas

37 SÍNDROME DA VEIA CAVA SUPERIOR

*Heloísa Helena Maia Christovam Lopes
Sérgio Luiz Brasileiro Lopes*

38 TROMBOSE ASSOCIADA AO CÂNCER

Wilson Massayuki Imanishi

39 INSUFICIÊNCIA CARDÍACA

*Leonardo Goltara Almeida ■ Márcio Leite Rodrigues
Alex Gomes Rodrigues*

40 HEMOPTISE

*Guilherme Benfatti Olivato ■ Hélio Penna Guimarães
Gabriel Pietrobon Martins*

41 EMERGÊNCIA HIPERTENSIVA NO PACIENTE ONCOLÓGICO

*Leonardo Goltara Almeida ■ Enrico Miguel Stucchi
Fernando Costa Guzzo*

42 ARRITMIAS

*Hélio Penna Guimarães ■ Gabriel Pietrobon Martins
Luiz Alexandre Alegretti Borges*

43 TAMPONAMENTO CARDÍACO

*Hélio Penna Guimarães ■ Gabriel Pietrobon Martins
Frederico Carlos de Sousa Arnaud*

PARTE VIII **EMERGÊNCIAS RESPIRATÓRIAS**

44 INSUFICIÊNCIA RESPIRATÓRIA AGUDA

Eliana Lourenço Borges

45 DERRAME PLEURAL NEOPLÁSICO

*Wilson Chubassi de Aveiro
Djalma Igor de Oliveira Gonçalves
Carlos Maciel da Silva*

46 OBSTRUÇÃO DE VIAS AÉREAS INFERIORES

Eliana Lourenço Borges

47 HEMOPTISE

*Wilson Chubassi de Aveiro
Fernando Cesar Ferreira Calistro
José Elias Abrão Miziara*

PARTE IX **EMERGÊNCIAS ABDOMINAIS**

48 ABDOME NÃO CIRÚRGICO

48.1 Proctite Secundária à Radioterapia

Laura Ercolin ■ Diego de Souza Lima Fonseca

48.2 Enterocolite Neutropênica

*José Carlos Ignacio Junior ■ Larissa Beloti Salvador
Paulo de Tarso Oliveira e Castro*

48.3 Ascite Relacionada com a Malignidade

Lúcio de Almeida Dornelles ■ Camila Osório Silveira

48.4 Falência Hepática Fulminante

Sarah Maciel Silva ■ Hélio Penna Guimarães

48.5 Sangramento Digestivo Alto

Leonardo Nogueira Taveira ■ Kelly Menezio Giardina

48.6 Hemorragia Digestiva Baixa

Denise Peixoto Guimarães

48.7 Colangite Aguda

Gilberto Fava ■ Leonardo Nogueira Taveira

José Carlos Ignacio Junior

49 ABDOME AGUDO CIRÚRGICO

49.1 Obstrução Digestiva Alta

Marco Aurélio de Sanctis

Raphael Leonardo Cunha de Araujo

Tomas Ramos Velloso Coelho

Leonardo Augusto Candido Seyboth

Durval Renato Wohnrath

49.2 Obstrução Intestinal Baixa no Paciente Oncológico

Felipe Daldegan Diniz

Marcos Vinicius Araújo Denadai

49.3 Abdome Agudo Perfurativo em Oncologia

Vitor Horta de Lima Filho

Carlos Augusto Rodrigues Veo

Maximiliano Cadamuro Neto

49.4 Hemorragia Intra-Abdominal em Oncologia

Diego Burgardt ■ Fernando Ernesto Cruz Felipe

49.5 Urgências Abdominais no Linfoma

Raphael Leonardo Cunha de Araujo

Marco Aurélio de Sanctis

49.6 Dor Abdominal no Paciente Imunocomprometido

Luis Gustavo Capochin Romagnolo

Rodrigo Castanho de Campos Leite

PARTE X

EMERGÊNCIAS UROLÓGICAS

50 OBSTRUÇÃO DO TRATO URINÁRIO SUPERIOR

Marcelo Cartapatti da Silva ■ Eliney Ferreira Faria

51 OBSTRUÇÃO DO TRATO URINÁRIO INFERIOR

João Paulo Pretti Fantin ■ Roberto Dias Machado

52 CISTITE HEMORRÁGICA INDUZIDA POR QUIMIOTERÁPICOS E RADIOTERAPIA

*Cinthia Alcántara-Quispe ■ Alexandre Cesar Santos
Wesley Justino Magnabosco*

PARTE XI

EMERGÊNCIAS NEUROLÓGICAS

53 ALTERAÇÃO DO ESTADO MENTAL NO PACIENTE GRAVE

*Carlos Roberto de Almeida Junior
Fabiano de Melo Peixoto*

54 ESTADO DE MAL EPILEPTICO

Carlos Roberto de Almeida Junior

55 SÍNDROME DE COMPRESSÃO MEDULAR AGUDA ONCOLÓGICA

*Moisés Augusto de Araújo
Carlos Roberto de Almeida Junior*

56 HIPERTENSÃO INTRACRANIANA

*Lucas Caetano Dias Lourenço
Carlos Roberto de Almeida Junior*

57 MENINGITE CARCINOMATOSA

João Paulo Elias Alves

PARTE XII

EMERGÊNCIAS EM CABEÇA E PESCOÇO

58 OBSTRUÇÃO DAS VIAS AÉREAS SUPERIORES

Renato de Castro Capuzzo

59 SANGRAMENTO CERVICAL – SÍNDROME DA RUPTURA DE CARÓTIDA (SRC)

Ricardo Ribeiro Gama ■ André Lopes Carvalho

PARTE XIII **EMERGÊNCIAS ORTOPÉDICAS**

60 FRATURA PATOLÓGICA

Sylvio Cesar Sargentini ■ Ederson Shibuya Kida
Eduardo Areas Toller ■ Vitor do Carmo Jorge

61 INFECÇÃO DE PRÓTESES ORTOPÉDICAS

Eduardo Areas Toller ■ Vitor do Carmo Jorge
Ernesto Fernandez Machin ■ Sylvio Cesar Sargentini

PARTE XIV **URGÊNCIAS EM MASTOLOGIA**

62 PIODERMA GANGRENOSO

Rodrigo Augusto Depieri Michelli
Angelo Gustavo Zucca Matthes

63 FASCIITE NECROSANTE DA MAMA

Idam de Oliveira Junior ■ Antonio Bailão Júnior

64 INFECÇÃO DE PRÓTESES MAMÁRIAS

René Aloisio da Costa Vieira ■ Raphael Luiz Haikel
Mariana Gabriela Raphael Galvão Ribeiro

PARTE XV **URGÊNCIAS GINECOLÓGICAS**

65 SANGRAMENTO GINECOLÓGICO

*Marcelo de Andrade Vieira ■ Ronaldo Luis Schmidt
Ilana Polegatto*

66 FÍSTULAS VAGINAIS: DIAGNÓSTICO E TRATAMENTO

*Paula Daphne Brisigueli Borges de Almeida
Carlos Eduardo Mattos Cunha Andrade
Ricardo dos Reis*

PARTE XVI AFECÇÕES DERMATOLÓGICAS

67 DERMATITE RADIOTERÁPICA

*Cristiane Botelho Miranda Cárcano
Cristina Alessi da Rocha*

68 HERPES-ZÓSTER

*Cristiane Botelho Miranda Cárcano
Cristina Alessi da Rocha*

69 DERMATOSES PARANEOPLÁSICAS

Cristiane Botelho Miranda Cárcano

70 REAÇÕES ADVERSAS DERMATOLÓGICAS GRAVES INDUZIDAS POR FÁRMACOS

Cristiane Botelho Miranda Cárcano

PARTE XVII CUIDADOS PALIATIVOS

71 COMUNICAÇÃO DE NOTÍCIAS DIFÍCEIS

Carlos Eduardo Paiva ■ Bianca Sakamoto Ribeiro Paiva

72 CUIDADOS PALIATIVOS

Carlos Eduardo Paiva ■ Bianca Sakamoto Ribeiro Paiva

ÍNDICE REMISSIVO

PRANCHA EM CORES



Fig. 62-1. Pioderma gangrenoso em pós-operatório de mastectomia com prótese. Aparência clínica; infiltrado polimorfonuclear e áreas de hemorragia. Evolução com ressecção da área e corticoterapia.

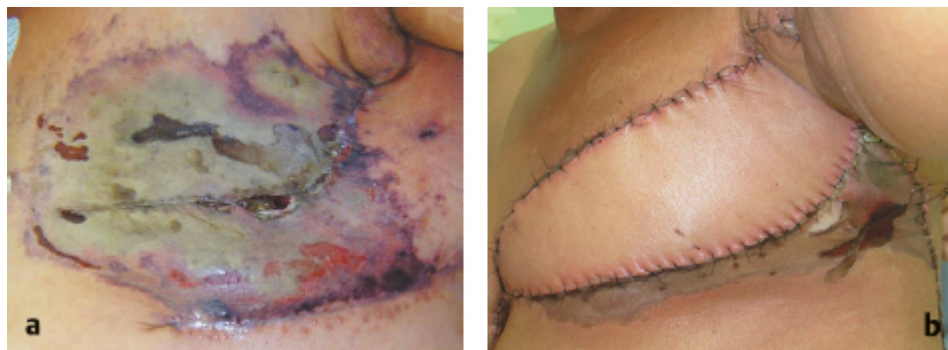


Fig. 63-2. Fasciíte necrosante da mama: (a) Infecção secundária a punções repetidas de seroma; (b) infecção de sítio cirúrgico, pós-ressecção de tumor ulcerado. (Imagens cedidas por Vieira RAC *et al.*)



Fig. 67-1. Dermatite radioterápica aguda de grau 1.

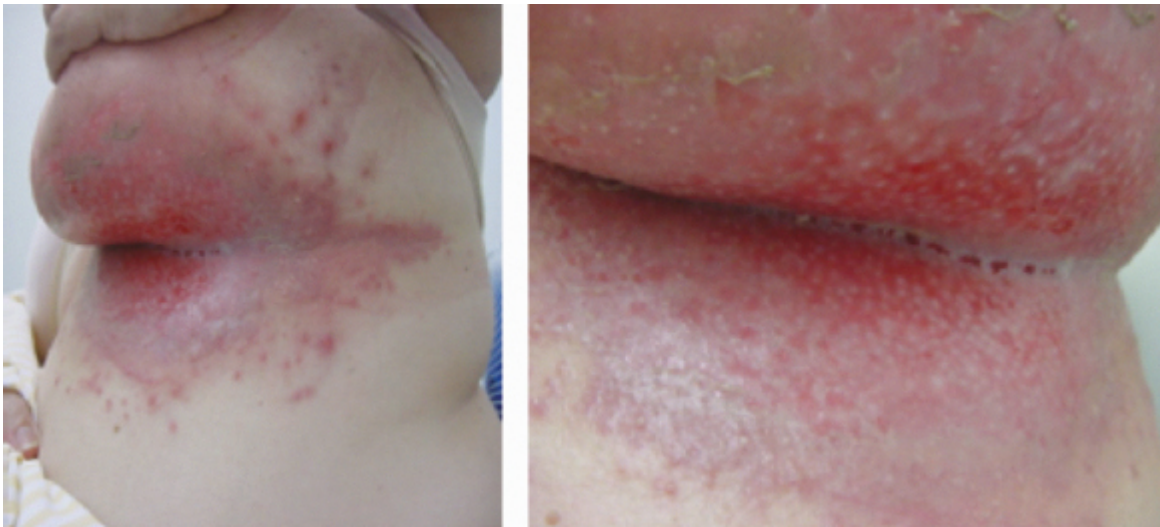


Fig. 67-2. Dermatite radioterápica aguda de grau 2.



Fig. 67-3. Dermatite radioterápica aguda de grau 3.



Fig. 67-4. Dermatite radioterápica aguda de grau 4.

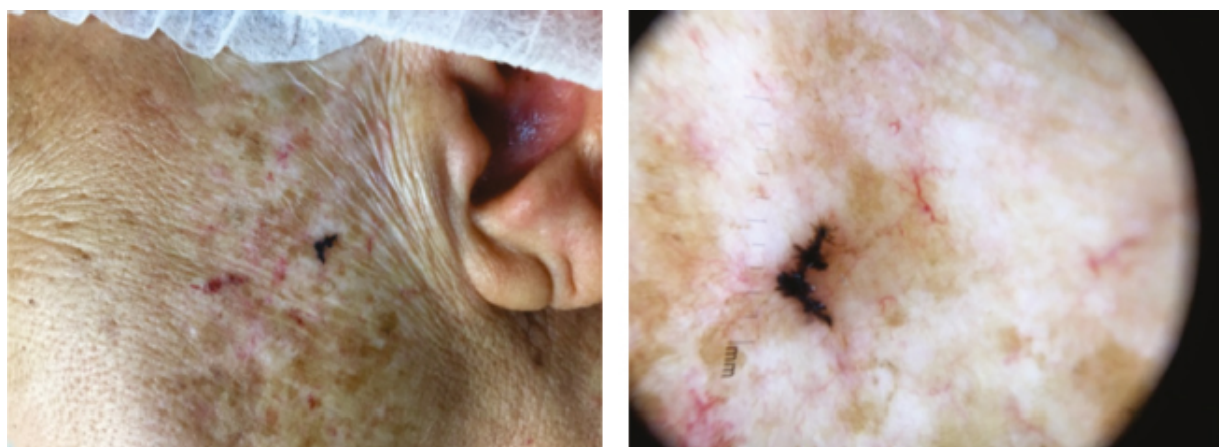


Fig. 67-5. Carcinoma basocelular pigmentado em área de RD crônica.



Fig. 68-1. (a, b) Herpes-zóster intercostal. (Imagens utilizadas com a permissão da Dra. Renata Alves.)



Fig. 68-2. Herpes-zóster. (Imagem utilizada com a permissão do Dr. Harry Dao Jr.¹⁴)



Fig. 68-3. Herpes-zóster disseminado. (Imagem utilizada com a permissão do Dr. Harry Dao Jr.¹⁴)



Fig. 69-1. Penfigo paraneoplásico com comprometimento labial.

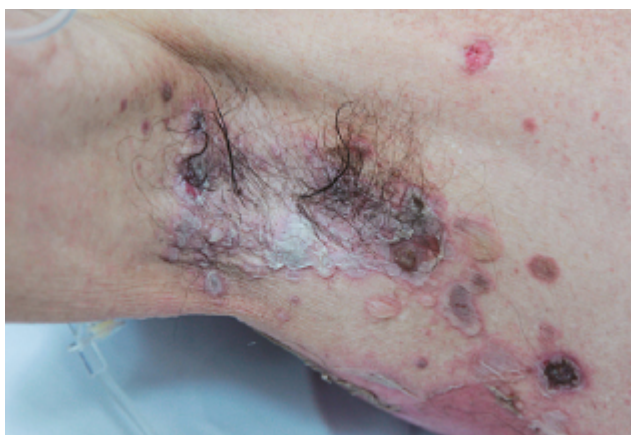


Fig. 69-2. Penfigo paraneoplásico manifestado em axila.



Fig. 69-3. Síndrome de Sweet com comprometimento ocral.

Parte I

Epidemiologia

EPIDEMIOLOGIA DO CÂNCER NO BRASIL E EM HOSPITAL ONCOLÓGICO

CAPÍTULO 1

Allini Maфра da Costa
Flávio Mavignier Cárcano

O câncer é um grande problema de saúde pública, tanto nos países em desenvolvimento, quanto em países desenvolvidos. A Organização Mundial da Saúde (OMS) estimou para o ano de 2030, aproximadamente, 22 milhões de casos incidentes de câncer (excluindo os casos de câncer de pele não melanoma), 13 milhões de mortes por câncer e, aproximadamente, 87 milhões de pessoas vivas com câncer. O maior efeito desse aumento deve acontecer em países menos desenvolvidos, onde cerca de 82% da população mundial vive atualmente.¹⁻³

No Brasil, o Ministério da Saúde, por meio do Instituto Nacional de Câncer (INCA), estima que no biênio 2018/2019, 600.000 brasileiros terão um diagnóstico de câncer por ano. Em muitas cidades brasileiras, o câncer é a segunda causa de morte dentre todos os óbitos, ficando abaixo apenas das doenças do aparelho circulatório.⁴

Mesmo com todos os avanços nas áreas médica e tecnológica nas últimas décadas, constata-se um aumento constante no número de casos novos a cada ano, especialmente, para alguns tipos de

câncer.⁵ A adoção de comportamentos de estilo de vida que aumentam o risco do câncer, como tabagismo, alimentação inadequada, inatividade física, bem como o aumento da expectativa de vida, a diminuição da mortalidade infantil e também do número de óbitos pelas doenças infectoparasitárias entre outros são alguns dos principais fatores para esse aumento.¹

Principalmente em áreas de baixa e média rendas, o crescimento e o envelhecimento da população são sabidamente conhecidos como fatores relacionados com o desenvolvimento do câncer.^{6,7} Em todo o mundo, estima-se que o número de casos de câncer aumente de 14 milhões, em 2012, para 22 milhões, em 2030, onde se espera que os maiores aumentos ocorram na África, Ásia e na América Latina. É importante destacar que essas áreas incluem países que têm recursos limitados para diagnosticar e tratar um número cada vez maior de casos de câncer.⁸

O Registro Hospitalar de Câncer (RHC) do Hospital de Câncer de Barretos foi implementado, no ano de 1987, caracteriza-se pela coleta de informações a respeito de pacientes atendidos e/ou tratados no HCB, não se importando com a origem desses pacientes, justamente por haver vieses de seleção da admissão de cada unidade hospitalar e também por não ser representativo da população em geral. Dessa forma se prestam basicamente como base de apoio às necessidades da administração hospitalar, ao programa de controle do câncer nele desenvolvido e principalmente ao paciente individualmente.

Para se ter uma ideia da magnitude dos casos admitidos pelo que o Hospital de Câncer de Barretos recebe, apresenta-se aqui uma visão global sobre a base de dados do Registro Hospitalar de Câncer, tendo como referência os casos de câncer (analíticos e não analíticos) admitidos desde janeiro de 2000 até dezembro de 2017. Por se tratar de uma instituição habilitada na Rede de Atenção Oncológica do SUS-SP, os dados são encaminhados à Fundação Oncocentro de São Paulo trimestralmente.

Os casos definidos como analíticos referem-se aos pacientes que chegaram ao hospital, já com o diagnóstico de câncer ou não, sem tratamento prévio para a doença. Entre janeiro/2000 e dezembro/2017 foram registrados 169.754 casos analíticos ([Quadro](#)

1-1). Do total de casos analíticos, a maioria dos pacientes (84,5%) chegou ao hospital sem diagnóstico anterior de câncer. Os não analíticos totalizaram 26.268 casos de câncer e são aqueles pacientes que chegaram ao hospital com tratamento oncológico já iniciado em outra instituição.

A distribuição proporcional dos tumores entre homens e mulheres ocorreu de forma semelhante, com cerca de 50% em cada sexo. Como esperado, a frequência da doença aumenta com a idade, e maiores proporções foram observadas entre idosos (Fig. 1-1).

A média e a mediana da idade no sexo masculino foram, respectivamente, de 62,7 (dp = 14,7) e 65 anos; idades menores foram observadas no sexo feminino, respectivamente, de 58,1 (dp = 17,1) e 59 anos. A grande maioria dos casos registrados refere-se a indivíduos residentes no estado de São Paulo. Os tumores infantis, aqui definidos como aqueles diagnosticados em menores de 19 anos, representam 1,7% dos casos registrados no período analisado. A distribuição dos casos segundo tipo de câncer mais frequente e sexo é mostrada no Quadro 1-2.

Quadro 1-1. Número de Casos Analíticos e Não Analíticos de Câncer Segundo o Ano de Admissão. Registro Hospitalar de Câncer do Hospital de Câncer de Barretos, Janeiro de 2000 a Dezembro de 2018

Ano	Casos analíticos (%)	Casos não analíticos (%)	Total
2000	3.119 (79,8)	790 (20,2)	3.909
2001	3.625 (81,8)	804 (18,2)	4.429
2002	4.110 (80,3)	1.009 (19,7)	5.119
2003	5.189 (81,1)	1.210 (18,9)	6.399
2004	6.403 (83,9)	1.232 (16,1)	7.635
2005	7.928 (86,0)	1.294 (14,0)	9.222
2006	9.271 (88,8)	1.164 (11,2)	10.435
2007	8.942 (87,4)	1.293 (12,6)	10.235
2008	8.948 (83,5)	1.765 (16,5)	10.713
2009	9.610 (84,5)	1.760 (15,5)	11.370
2010	8.871 (85,0)	1.563 (15,0)	10.434
2011	9.166 (83,4)	1.824 (16,6)	10.990
2012	9.869 (83,7)	1.915 (16,3)	11.784
2013	9.926 (85,7)	1.658 (14,3)	11.584
2014	9.910 (84,2)	1.863 (15,8)	11.773
2015	9.445 (83,8)	1.828 (16,2)	11.273
2016	10.028 (85,9)	1.643 (14,1)	11.671
2017	9.126 (84,7)	1.653 (15,3)	10.779
Total	143.486 (84,5)	26.268 (15,5)	169.754

No sexo feminino, os tumores de mama, de cólon/reto e de colo uterino foram os mais frequentes, representando pouco mais da metade dos casos registrados. No sexo masculino, observou-se um predomínio do câncer de próstata, seguido pelos cânceres de cólon/reto e de pulmão ([Quadro 1-2](#)).

Outra informação fundamental é o estágio clínico do tumor no momento do diagnóstico. Esta classificação auxilia o médico no planejamento terapêutico e na avaliação do tratamento proposto, além de servir para a predição do prognóstico. Na análise dos dados segundo estadiamento ([Fig. 1-2](#)) foram excluídos 17,7% casos que não foi possível realizar o estadiamento ou sem informação, e também aqueles em que não se aplica a classificação de tumores malignos TNM.

Na análise dos dados observou-se, no momento do diagnóstico da doença, que 66,3% dos casos registrados apresentaram-se em estádios iniciais (0, I ou II), enquanto que 33,7% encontravam-se nos estádios III ou IV ([Fig. 1-2](#)).

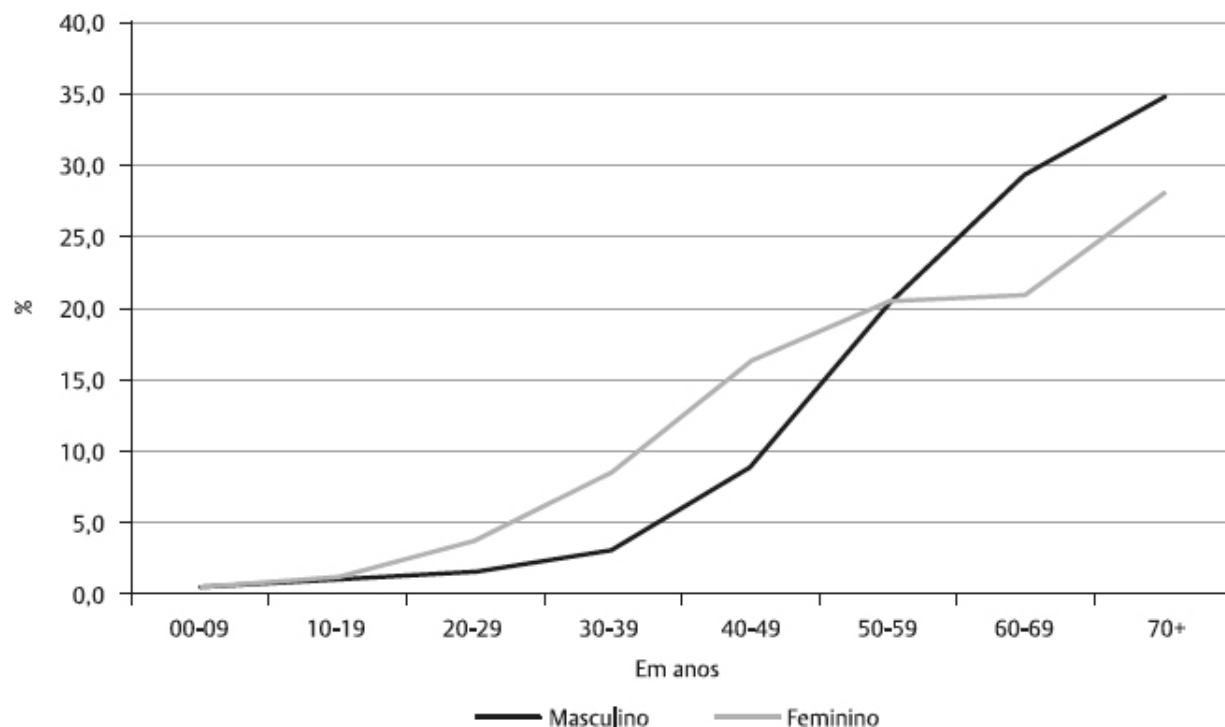


Fig. 1-1. Distribuição proporcional das neoplasias registradas segundo sexo e faixa etária. Registro Hospitalar de Câncer do Hospital de Câncer de Barretos, janeiro de 2000 a dezembro de 2017.

Quadro 1-2. Tipos de Câncer Mais Frequentes* em Homens e Mulheres. Registro Hospitalar de Câncer do Hospital de Câncer de Barretos, Janeiro de 2000 a Dezembro de 2017

Sexo feminino		Sexo masculino	
Topografia	%	Topografia	%
1º Mama (C50)	30,7	1º Próstata (C61)	30,5
2º Cólon e reto (C18-C20)	9,3	2º Cólon e reto (C18-C20)	10,0
3º Colo uterino – invasivo* (C53)	9,2	3º Pulmão (C34)	7,8
4º Tireoide (C73)	7,8	4º Estômago (C16)	7,4
5º Pulmão (C34)	4,5	5º Boca e orofaringe (C01-C06, C09-C10, C14)	6,6
6º Estômago (C16)	3,7	6º Esôfago (C15)	4,6
7º Corpo uterino (C54)	3,6	7º Bexiga (C67)	3,6
8º Melanoma cutâneo (C44 e morfologias 8720-8771)	2,9	8º Laringe (C32)	3,2
9º Ovário (C56)	2,6	9º Linfomas nodais (C77 e morfologias 9590-9729)	3,0
10º Linfomas nodais (C77 e morfologias 9590-9729)	2,6	10º Localização primária desconhecida (C80)	2,7

*Excluídas as neoplasias de pele: epiteliais (SOE), de células escamosas e as basocelulares.

* Comportamento “/3”.

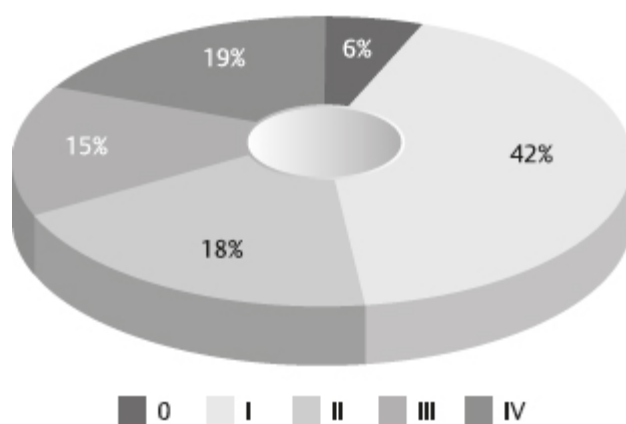


Fig. 1-2. Distribuição proporcional das neoplasias segundo estágio clínico. Registro Hospitalar de Câncer do Hospital de Câncer de Barretos, janeiro de 2000 a dezembro de 2017.

REFERÊNCIAS BIBLIOGRÁFICAS

1. Torre LA, Bray F, Siegel RL *et al.* Global cancer statistics, 2012. *CA Cancer J Clin* 2015;65(2):87-108.
2. Bray F, Ferlay J, Soerjomataram I *et al.* Global cancer statistics 2018: GLOBOCAN estimates of incidence and mortality worldwide for 36 cancers in 185 countries. *CA Cancer J Clin* 2018.
3. Ferlay J, Ervik M, Lam F *et al.* Global Cancer Observatory: Cancer Today. [Internet] Lyon, France 2018 [cited 01 de novembro de 2018]; Available from: <https://gco.iarc.fr/today>.
4. Instituto Nacional de Câncer. Estimativa 2018: Incidência de Câncer no Brasil. In: Coordenação Geral de Ações Estratégicas. Coordenação de Prevenção e Vigilância, editor. Rio de Janeiro: Ministério da Saúde; 2018.
5. Thun MJ, DeLancey JO, Center MM *et al.* The global burden of cancer: priorities for prevention. *Carcinogenesis* 2010;31(1):100-10.
6. Crocetti E, Buzzoni C, Quaglia A *et al.* Ageing and other factors behind recent cancer incidence and mortality trends in Italy. *J Geriatric Oncol* 2012;3(2):111-9.
7. Dikshit R, Gupta PC, Ramasundarahettige C *et al.* Cancer mortality in India: a nationally representative survey. *The Lancet* 2012;379(9828):1807-16.
8. Jemal A, Vineis P, Bray F *et al.* The cancer atlas: American Cancer Society Atlanta; 2014.

EPIDEMIOLOGIA DAS URGÊNCIAS E EMERGÊNCIAS EM HOSPITAIS ONCOLÓGICOS

CAPÍTULO 2

Sérgio Luiz Brasileiro Lopes
René Aloisio da Costa Vieira

O câncer tem elevado sua incidência no mundo, constituindo importante causa de mortalidade e morbidades. O tratamento do câncer tornou-se multidisciplinar, observando-se uma elevação no arsenal terapêutico, associado a aprimoramento no diagnóstico, no tratamento das neoplasias e intercorrências de pacientes oncológicos, fato que tem determinado elevação das taxas de cura.^{1,2} Nos países em desenvolvimento a mortalidade é superior, visto limitações no tratamento e no diagnóstico precoce.^{1,3}

Pacientes portadores de neoplasias apresentam intercorrências oncológicas, sendo muitas vezes atendidos em Hospitais Gerais.⁴ No Brasil, há uma hierarquização dos serviços de saúde, onde muitos pacientes são tratados em Hospitais Oncológicos ou Hospitais Gerais que possuem unidades de oncologia. A procura por atendimentos emergenciais pelos pacientes oncológicos nas unidades de atenção às urgências, sejam elas hospitalares ou pré-hospitalares, tem apresentado um incremento contínuo, tanto em

relação à demanda numérica, quanto em relação à complexidade dos processos apresentados, impondo a necessidade de capacitação dos profissionais responsáveis por esses atendimentos, uma vez, também, que o paciente oncológico apresenta particularidades que são, muitas vezes, desconhecidas por esses profissionais que se responsabilizam por essa rede de atenção emergencial geral.⁵⁻⁷

Ao se avaliar o tema, deve-se considerar o contexto hospitalar, sendo que serviços de atendimento de hospitais públicos oncológicos expressam melhor as intercorrências que ocorrem em seus pacientes. A frequência e as características dependem do tipo de população atendida no hospital; da tecnologia disponível para tratamento das intercorrências em pacientes oncológicos; do grau de complexidade hospitalar (por exemplo, serviço de medicina intervencionista, endoscopia terapêutica, transplante de medula óssea, implante de próteses, unidade de pesquisa clínica); da possibilidade de separação ou não de pacientes adultos, infantis, hematológicos ou sob cuidados paliativos; da missão hospitalar de atendimento de tipos de neoplasia específica; da disponibilidade de ambulatório especializado em cuidados paliativos, bem como da possibilidade de equipe de cuidados paliativos para atendimento domiciliar.

Apesar de dados extremamente variáveis, conforme o porte e o grau de especialização dos hospitais, urgências e emergências oncológicas não são motivos comuns de demanda por atendimentos emergenciais em hospitais gerais, perfazendo cerca de 0,6% dos pacientes que procuram as unidades de emergência destes serviços.⁸ Já nos hospitais oncológicos de referência, a demanda pelos serviços de urgência é mais intensa, não existindo dados específicos acerca do percentual de pacientes que, uma vez acompanhados em suas diversas unidades (sejam elas clínicas, cirúrgicas, radioterápicas, diagnósticas), procuram por seus serviços de emergência. Nesses hospitais oncológicos, a taxa de internação de pacientes (10 a 48% da demanda) é consideravelmente maior que nos serviços de urgência de hospitais gerais (5% em média), sendo a mortalidade também mais elevada, apesar de extremamente variável, conforme a topografia da neoplasia e a

presença de outros determinantes de risco.⁹ Outro aspecto curioso é o fato de, mesmo se tratando de prontos-socorros de hospitais oncológicos, cerca de 7% dos pacientes que procuram suas unidades de urgência não são portadores de afecções oncológicas, sendo a maioria deles representados por indivíduos preocupados com a possibilidade de suas queixas representarem um sintoma e/ou sinal de uma neoplasia qualquer, ou portadores de comorbidades.^{8,10} Somando todos esses pacientes, as unidades responsáveis pelo atendimento emergencial de pacientes oncológicos convive, em sua maioria, com uma taxa de ocupação elevada, algumas delas com percentuais que ultrapassam a capacidade instalada, o que interfere negativamente na dinâmica de trabalho.⁴

CATEGORIAS DE URGÊNCIAS E EMERGÊNCIAS ONCOLÓGICAS

Avaliando-se a epidemiologia das emergências oncológicas, devem-se considerar dois grupos principais de indivíduos, aqueles que realmente apresentam situações de urgência e emergência, condições estas que requerem atenção imediata e que podem comprometer a vida, principalmente se não abordados de maneira adequada; e aqueles que apresentam condições agudas não emergenciais, decorrentes principalmente de sinais e sintomas advindos de intercorrências clínicas simples em pacientes sob tratamentos oncológicos.¹¹ Na literatura há uma grande quantidade de artigos específicos acerca das emergências oncológicas, porém poucos relatam o fluxo de pacientes oncológicos nas Unidades de Emergência Oncológica (UEO).

Os pacientes que procuram os serviços de emergência em hospitais oncológicos públicos apresentam um certo viés frente a fase do tratamento do câncer. Estes pacientes são sintomáticos, fato que leva ao paciente procurar atendimento visando ao alívio de sintomas, sendo muitas vezes quadros urgentiais e não emergenciais. Dentre as principais condições temos: 1) evolução desfavorável da doença, fato este decorrente de limitações relacionadas com o agendamento ambulatorial; 2) controle

inadequado de sintomas, sendo a dor a queixa mais frequente; 3) intercorrências clínicas ligadas ao tratamento quimioterápico, como a neutropenia, náusea, vômito e diarreia e constipação; 4) controle de sintomas que comprometem as atividades básicas, como dispneia, ascite, quadros infecciosos.

O estadiamento da doença ao diagnóstico e os seus sintomas associados refletem diretamente na maior ou menor procura por atendimentos emergenciais. A presença de um estadiamento elevado implica em maior demanda e maior recorrência às UEO. Como muitos pacientes chegam aos serviços oncológicos já em estágio avançado, os serviços de urgência e emergência são amplamente utilizados por esses indivíduos visando o controle de seus sintomas.

Sob o aspecto prático, as urgências e emergências mais comumente vistas em UEO podem ser classificadas em quatro categorias essenciais: estruturais, metabólicas, hematológicas e relacionadas com o tratamento.¹² Essa estratificação leva em consideração o substrato fisiopatológico das alterações orgânicas capazes de ser agregadas em cada uma dessas categorias, facilitando o raciocínio clínico e, posteriormente, a tomada de decisões acerca de como conduzir cada caso em especial. Apesar disso, é certo que existe a possibilidade de uma determinada complicação perpassar por várias categorias, como facilmente vemos com a síndrome da lise tumoral: categorizada majoritariamente como urgência metabólica, ela é considerada por alguns como uma urgência hematológica e é frequentemente determinada pelo tratamento específico, empregado frente à neoplasia de base, podendo levar a alterações orgânicas significativas, como a disfunção renal aguda.¹³⁻¹⁵ O mesmo ocorre com praticamente todas as urgências hematológicas, uma vez que em sua essência a maioria dos eventos observados nos portadores de neoplasias hematológicas seja de ordem metabólica ou estrutural, como é o caso da hiponatremia, da hipercalcemia, da síndrome de compressão medular e da síndrome de hiperviscosidade.¹⁶

Ainda dentre as urgências metabólicas, destacam-se a hipercalcemia da malignidade, complicação comumente vista nas

metástases de cânceres de mama e do pulmão e nos mielomas múltiplos entre vários outros, e a hiponatremia, comumente decorrente da secreção inapropriada de hormônio antidiurético, evento frequentemente encontrado nas neoplasias, envolvendo o sistema nervoso central e os pulmões.^{17,18}

Dentre as complicações mecânicas (estruturais) mais comuns destacam-se aquelas secundárias à compressão de estruturas não tumorais, seja pela massa tumoral primária, seja por suas metástases, como a síndrome da veia cava superior, o tamponamento pericárdico, a compressão medular, as metástases intracerebrais com efeito de massa e a síndrome da hiperviscosidade geralmente associada à macroglobulinemia de Waldeström.¹⁹⁻²¹

Já as complicações relacionadas com o tratamento oncológico devem-se particularmente ao tratamento quimioterápico, sendo, muitas vezes complicações já esperadas das drogas utilizadas. Dentro desse grupo de complicações, destacam-se amplamente as neutropenias febris e as neutropenias afebris, eventos comuns frente a praticamente todos os agentes quimioterápicos antitumorais, além das colites facilmente provocadas pelos tratamentos particularmente das neoplasias do tubo digestório. Além delas, observado o uso crescente de imunoterapia em diversos grupos de neoplasias, vários eventos adversos imunomediados súbitos e, muitas vezes, potencialmente fatais são observados,²² destacando-se as lesões tóxicas teciduais que podem acometer praticamente todos os sistemas orgânicos, predominando sobre o sistema tegumentar cutâneo (prurido, *rash* macropapular, vitiligo, síndrome de Stevens-Johnson, epidermólise tóxica e DRESS (*rash* droga-induzido com eosinofilia e sintomas sistêmicos), o sistema gastrointestinal (diarreias, enterocolites e hepatites), o sistema pulmonar (pneumonite química) e o sistema endócrino (disfunção tireoidiana e hipofisite).²³

EXPERIÊNCIAS DE UNIDADES DE EMERGÊNCIA ONCOLÓGICAS (UEO)

Nos Estados Unidos, em geral, os pacientes são atendidos em Unidades de Emergência de Hospitais Gerais, merecendo destaque as UEO dos Hospitais M. D. Anderson, onde atua uma equipe multidisciplinar (clínicos, infectologistas, oncologistas, cirurgiões gerais e médicos paliativistas); e o Sloan Kettering, onde atuam preferencialmente clínicos emergencistas. Cada Hospital atende cerca de 26.000 pacientes/ano. Na Inglaterra há uma hierarquia, sendo que as pacientes são avaliadas em unidades terciárias de câncer e serviços de atendimento oncológico agudo, visando ao suporte em hospitais não oncológicos.⁴

Estudo realizado no México, em UEO, referenciada de Hospitais Gerais e Oncológicos, observou que as emergências, urgências e não condições de urgência representaram 3,7, 52,5 e 43,7% dos atendimentos, respectivamente. Nesta população os principais sintomas foram dor, desidratação, sangramento e dispneia.¹¹

Estudo realizado em UEO Geral na Coreia, onde 88,8% das neoplasias eram tumores sólidos, e 1,2% hematológicos, observou que o atendimento foi realizado decorrente da progressão da doença (55,5%), infecção (22,8%), complicações relacionadas com o tratamento (14,7%) e problemas não oncológicos (7%).²⁴

No Brasil, estudo realizado na cidade de São Paulo, no ano de 1998, em Hospital Oncológico e UEO de pacientes adultos, observou que 44% encontravam-se em tratamento oncológico e sem evidência de doença; 39,9% apresentavam doença metastática em tratamento; 12,2% apresentavam doença metastática, em cuidados paliativos, e 3,9% procuravam o serviço por vínculo institucional, porém, não apresentavam doença ou intercorrência oncológica. Neste serviço, somente 19,5% dos atendimentos foram considerados emergências oncológicas, sendo as demais urgências. Neste estudo, no período analisado (48 dias), 17,4% dos pacientes realizaram duas consultas, 9,4% três a quatro consultas, e 1% cinco a nove consultas, refletindo na falta de controle adequado dos sintomas. Dos pacientes que foram internados, 23,9% deles encontraram-se fora de possibilidades terapêuticas, em cuidados paliativos, 21,4% foram internados para controle de sintomas devidos à doença metastática e 11,7% foram internados devido a

intercorrências durante o tratamento oncológico. A taxa de óbito observada na UEO foi de apenas 0,3%.¹⁰

EXPERIÊNCIA DO HOSPITAL DE CÂNCER DE BARRETOS (HCB)

O Hospital de Amor de Barretos (HCB-HAB) configura-se como um hospital oncológico exclusivo, referência para diversos estados e municípios brasileiros na área de oncologia clínica, cirurgia oncológica e radioterapia, além de dispor de uma unidade de prevenção oncológica utilizada preferencialmente por indivíduos da Diretoria Regional de Saúde de Barretos – Estado de São Paulo (DRS V). Ingressam mensalmente para tratamento em seus ambulatórios clínicos, cirúrgicos e de radioterapia cerca de 1.100 novos usuários, sendo eles distribuídos primariamente, conforme a topografia anatômica de suas neoplasias. Esses ambulatórios eram, em grande parte, responsáveis pelas intercorrências e urgências oncológicas de seus pacientes, rotina essa que mudou com a criação de uma UEO, no ano de 2011, denominada Centro de Intercorrências Ambulatoriais (CIA). Este firmou-se como o setor responsável pelo atendimento da grande maioria das demandas de urgência e emergência que chegam ao hospital, funcionando ininterruptamente e contando, em seu quadro funcional, com profissionais médicos emergencistas e especialistas em clínica e cirurgia oncológica, além de prestar-se como campo de aprendizado para os médicos residentes da instituição.

Agora amplamente conhecido pelos usuários do hospital, o CIA atende uma média de 1.370 pacientes/mês, o que perfaz cerca de 16.500 atendimentos anuais. Todos os usuários são acolhidos em sua recepção e passam por uma triagem e classificação de risco (protocolo de Manchester) antes do atendimento médico, o que permite discriminar por cores, dentro das limitações do protocolo, as demandas emergenciais (cor vermelha) das demandas urgentes (cores laranja e amarela) e das demandas não urgentes (cores verde e azul).²⁵

Em 12 meses, de 1 de novembro de 2017 a 30 de outubro de 2018, foram atendidos no CIA 16.547 usuários, sendo que 95%

deles procuraram espontaneamente o setor, 3% deles vieram referenciados de outras unidades hospitalares ou pré-hospitalares, e 2% vieram encaminhados dos ambulatórios de especialidades oncológicas do próprio hospital. Dos usuários que espontaneamente procuraram pelo setor, 580 indivíduos (3,7%) ingressaram no hospital por meio do primeiro atendimento no CIA. Os outros usuários já eram pacientes em acompanhamento habitual no hospital. A classificação dos atendimentos prestados nesse período em relação à gravidade potencial, conforme qualificada pelo protocolo de Manchester, encontra-se representada na [Figura 2-1](#), tornando clara a existência de demandas excessivas de atendimento que não se qualificam como demandas emergenciais ou de urgência.

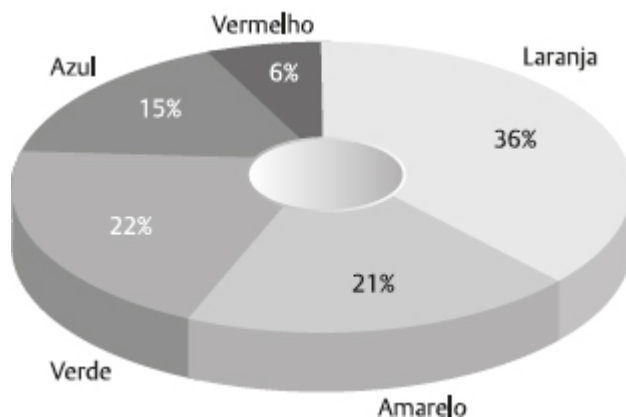


Fig. 2-1. Classificação dos atendimentos prestados no CIA do HCB, conforme o protocolo de Manchester.

Os principais motivos de atendimento emergencial (6% dos atendimentos prestados) foram, em ordem decrescente de ocorrência: insuficiências respiratórias, neutropenias febris, sepses de focos pulmonares ou urinárias principalmente, sangramentos tumorais maiores, choques circulatórios sem sepse associada, hipercalcemias malignas, compressões medulares, arritmias cardíacas (*flutter*/fibrilação atrial e taquicardia paroxística supraventricular, principalmente), síndromes da veia cava superior, derrames pericárdicos volumosos e síndrome da lise tumoral. Esses quadros representaram 94% de todas as emergências reais conduzidas no CIA, conforme demonstrado no [Quadro 2-1](#).

As insuficiências respiratórias foram mais comumente observadas em portadores de neoplasias pulmonares primárias (58% dos eventos) e de neoplasias de cavidade oral ou laringe (32% dos eventos). Nos 10% de eventos restantes as razões foram diversas, destacando-se a restrição ventilatória secundária a grandes derrames pleurais.

Os eventos de neutropenia febril ocorreram, em sua enorme maioria (98%), em pacientes sob tratamento quimioterápico ou imunoterápico. Nos pacientes em que foi possível diagnosticar um processo infeccioso associado, a maioria deles, assim como observado nos pacientes com sepse, portava infecções pulmonares ou urinárias ou de sítios operatórios recentes.

As hipercalcemias predominaram em usuários portadores de neoplasias hematológicas, mamárias e pulmonares, essas últimas com envolvimento ósseo metastático, em sua maioria.

Quadro 2-1. Principais Motivos de Atendimentos Emergenciais no CIA do HCB

Fatores determinantes	Percentual
Insuficiência respiratória	18%
Neutropenia febril	14%
Sepse	13%
Sangramentos maiores	10%
Choques circulatórios	8%
Hipercalcemias malignas	7%
Compressões medulares	6%
Arritmias cardíacas	4%
Síndrome da veia cava superior	4%
Derrames pericárdicos volumosos	4%
Síndrome da lise tumoral	3%

Paradas cardiorrespiratórias	3%
Outras emergências	6%

Quanto às arritmias cardíacas, foram observados 40 eventos em 32 usuários, sendo que em quatro deles a arritmia observada foi recorrente (mais de um episódio). Desses 40 eventos arrítmicos, 16 eventos foram de fibrilação ou *flutter* atriais agudos, 14 eventos foram de taquicardia paroxística supraventricular (13 eventos por dupla via nodal e um evento por feixe anômalo) e oito eventos foram de fibrilação atrial crônica com alta resposta ventricular. Foi observado, nesse período, apenas um evento de taquicardia ventricular (em um usuário sabidamente portador de cardiopatia chagásica), e apenas um evento foi de bloqueio atrioventricular total (BAVT). Com exceção desse evento isolado de bradiarritmia, em que o usuário foi encaminhado à UTI para implante de marca-passo, todos os eventos agudos de taquiarritmia foram revertidos no CIA, sendo os pacientes liberados após períodos variáveis de observação com estabilidades clínica e elétrica. Quanto à forma de controle dos eventos agudos de taquiarritmia, um evento de taquicardia paroxística supraventricular reverteu após manobra vagal (compressão do seio carotídeo), o evento isolado de taquicardia ventricular exigiu cardioversão elétrica, e todos os demais eventos foram revertidos quimicamente. Os eventos de fibrilação atrial crônica foram submetidos a medidas farmacológicas para controle de frequência. Finalmente, com exceção do usuário em que se observou o evento de BAVT, todos os usuários com taquiarritmias encontravam-se sob tratamento quimioterápico/imunoterápico, a maioria sob regimes terapêuticos distintos, não havendo uniformidade quanto ao tempo de latência entre a última infusão de quimioterápicos e o evento observado de arritmia cardíaca.

Interessantemente, paradas cardiorrespiratórias (3% dos atendimentos emergenciais) não foram eventos de alta prevalência no setor, provavelmente por serem assumidas nos hospitais dos municípios de origem dos usuários. Entretanto, a taxa de sucesso com as medidas de reanimação foi muito baixa, observando-se a

manutenção de um ritmo estável por mais de 24 horas em apenas 4 dos 30 usuários reanimados (mas todos eles faleceram posteriormente na Unidade de Terapia Intensiva por complicações diversas).

Já dentre os atendimentos de urgência prestados, em 57% dos atendimentos globais realizados, destacaram-se as dores oncológicas (isoladamente a principal razão de procura por atendimentos no setor, perfazendo 54% de todos os pacientes atendidos), as desidratações e distúrbios eletrolíticos associados, as complicações mecânicas obstrutivas do tubo digestório alto ou baixo, os sangramentos menores, as síndromes febris sem neutropenia, as trombooses vasculares (incluindo o tromboembolismo pulmonar sintomático ou incidental), as grandes ascites e derrames pleurais, as infecções (predominando, em ordem, as respiratórias, as urinárias e as do tecido subcutâneo), o delírio hipoativo, as hemoptises ocasionais e as crises convulsivas generalizadas com resolução espontânea ainda fora do setor de urgência. Esses quadros representaram 93% das demandas de urgência que se apresentaram no CIA, conforme demonstrado no [Quadro 2-2](#).

Finalmente, dentre as principais causas de demanda de atendimentos qualificados como não urgentes (37% dos atendimentos globais), encontram-se as náuseas e vômitos secundários à quimioterapia, as adinamias secundárias à progressão da doença de base ou ao tratamento instituído, as dores oncológicas persistentes de menor intensidade com a necessidade de adequação de doses de opioides, os edemas periféricos por compressões venosas ou linfáticas, os edemas periféricos por hipoproteinemia, as perdas de sondas nasoentéricas, os ajustes de medicamentos hipotensores ou hipoglicemiantes, as infecções de vias aéreas superiores de natureza provavelmente viral e as dores musculares e/ou tendíneas localizadas. Faz parte desse grupo de usuários um grande percentual de indivíduos com afecções não relacionadas com a doença oncológica de base (como as fraturas traumáticas de colo de fêmur, as colelitíases entre outras) e que procuram o CIA na expectativa de realização de diagnósticos por imagem e/ou resolução desses quadros não oncológicos no hospital. Esses usuários, uma vez acolhidos e atendidos no CIA e

na ausência de determinantes de necessidade de tratamento emergencial, foram referenciados para os seus municípios de origem, após prévio contato com os equipamentos de saúde locais pela equipe de assistência social.

Quadro 2-2. Principais Motivos de Atendimentos de Urgência no CIA HCB

Fatores determinantes	Percentual
Dores oncológicas	44%
Desidratação e DHE	12%
Obstrução do tubo digestório	12%
Sangramentos menores	7%
Tromboses vasculares	4%
Ascites e derrames pleurais	4%
Síndromes infecciosas	3%
Delírio hipoativo	3%
Hemoptises ocasionais	2%
Pós-crises convulsivas	2%
Outras urgências	7%

Em relação às áreas específicas responsáveis pelos acompanhamentos (tratamentos) destes usuários, considerando-se o total de atendimentos prestados nesse período de 12 meses, 45% deles estavam sob responsabilidade primária da equipe cirúrgica, 40% deles sob responsabilidade da equipe de oncologia clínica, e 15% deles sob responsabilidade da equipe de radioterapia. Das especialidades cirúrgicas destacaram-se, em número de usuários atendidos no CIA, a cirurgia do trato digestório (alto e baixo), a cirurgia urológica e a cirurgia de cabeça e pescoço, responsáveis, em conjunto, por 50% das demandas apresentadas por pacientes

acompanhados por equipes cirúrgicas. E das especialidades clínicas destacaram-se a oncologia clínica do trato digestório, a oncologia clínica mamária e a oncologia clínica urológica, responsáveis, em conjunto, por 67% das demandas apresentadas por pacientes acompanhados pelas equipes de oncologia clínica.

O percentual de óbitos verificado nesse período no CIA foi de 0,47% dos atendimentos prestados (79 indivíduos), e a taxa de internação hospitalar após o atendimento inicial no setor foi de 15% em média, sendo que apenas 5% dos usuários internados demandaram internação em leitos de terapia intensiva. A média temporal para liberação de leitos de enfermaria foi de 30 horas, fazendo com que a maioria dos usuários permanecesse por mais de 24 horas ocupando algum leito de retaguarda do setor de emergência. Por outro lado, 80% dos usuários que não demandaram internação hospitalar foram liberados do setor em até 6 horas, tempo suficiente para a compensação clínica e o retorno dos exames solicitados (84% dos usuários demandaram a realização de algum exame laboratorial ou de imagem para a tomada de decisão terapêutica final).

Finalmente, 28% dos usuários atendidos retornam ao setor com a mesma queixa em até 72 horas após sua liberação, sendo que em 92% deles a queixa perpetuada foi de dor oncológica, necessitando novos reajustes posológicos de medicações antiálgicas (96% deles, opioides).

CONCLUSÃO

A demanda por atendimentos emergenciais para pacientes oncológicos está aumentando progressivamente, seja em números absolutos, seja em complexidade, forçando a especialização de médicos emergencistas em hospitais gerais, bem como o preparo dos hospitais oncológicos para o atendimento resolutivo desses usuários, portadores de complicações graves e que demandam elevado tempo de compensação e grande investimento financeiro, visto que grande parte deles demanda a realização de exames específicos de alto custo e/ou a ocupação de leitos de internação hospitalar.

REFERÊNCIAS BIBLIOGRÁFICAS

1. Allemani C, Weir HK, Carreira H *et al*. Global surveillance of cancer survival 1995-2009: analysis of individual data for 25,676,887 patients from 279 population-based registries in 67 countries (CONCORD-2). *Lancet* 2015;385(9972):977-1010.
2. Coleman MP. Cancer survival: global surveillance will stimulate health policy and improve equity. *Lancet* 2014;383(9916):564-73.
3. da Costa Vieira RA, Biller G, Uemura G *et al* . Breast cancer screening in developing countries. *Clinics* (Sao Paulo) 2017;72(4):244-53.
4. Cooksley T, Rice T. Emergency oncology: development, current position and future direction in the USA and UK. *Support Care Cancer* 2017;25(1):3-7.
5. Purcell MG, El Majzoub I. The Oncologic Emergency Medicine Fellowship. *Emerg Med Clin North Am* 2018;36(3):637-43.
6. Nixon NA, Lim H, Elser C *et al* . Oncology education for Canadian internal medicine residents: the value of participating in a medical oncology elective rotation. *Curr Oncol* 2018;25(3):213-8.
7. Polansky M, Ross AC, Coniglio D *et al*. Cancer education in physician assistant programs. *J Physician Assist Educ* 2014;25(1):4-11.
8. Yang Z, Yang R, Kwak MJ *et al* . Oncologic emergencies in a cancer center emergency department and in general emergency departments countywide and nationwide. *PLoS One* 2018;13(2):e0191658.
9. Díaz-Couselo FA, O'Connor JM, Nervo A *et al*. Non-scheduled consultation in oncologic patients. How many of them are true emergencies? An observational prospective study. *Support Care Cancer* 2004;12(4):274-7.
10. Rigon JR HJ, Rocha AAP, Vieira RAC *et al* . Epidemiologia das emergências oncológicas. *Acta Oncol Bras* 2001;21(5):187-91.
11. Valdespino-Gomez VM, Lopez-Garza JR, Gonzalez-Aleman JC, Valdespino-Castillo VE. Emergencies and urgent medical-surgical conditions attended at a comprehensive cancer center. *Cir Cir* 2006;74(5):359-68.

12. Higdon ML, Atkinson CJ, Lawrence KV. Oncologic Emergencies: Recognition and Initial Management. *Am Fam Physician* 2018;97(11):741-8.
13. Mattu A. Hematologic and Oncologic Emergencies. *Emerg Med Clin North Am* 2018;36(3):xiii-xiv.
14. Wilson FP, Berns JS. Tumor lysis syndrome: new challenges and recent advances. *Adv Chronic Kidney Dis* 2014;21(1):18-26.
15. Maloney K, Denno M. Tumor lysis syndrome: prevention and detection to enhance patient safety. *Clin J Oncol Nurs* 2011;15(6):601-3.
16. von Bergwelt-Baildon M, Boll B, Shimabukuro-Vornhagen A, Kochanek M. [Hematologic and oncologic emergencies]. *Medizinische Klinik, Intensivmedizin und Notfallmedizin* 2013;108(3):184-90.
17. Lewis MA, Hendrickson AW, Moynihan TJ. Oncologic emergencies: Pathophysiology, presentation, diagnosis, and treatment. *CA Cancer J Clin* 2011;61(5):287-314.
18. Gorospe-Sarasúa L, Arrieta P, Muñoz-Molina GM, Almeida-Aróstegui NA. Oncologic thoracic emergencies of patients with lung cancer. *Rev Clin Esp* 2018.
19. Khan UA, Shanholtz CB, McCurdy MT. Oncologic Mechanical Emergencies. *Hematol Oncol Clin North Am* 2017;31(6):927-40.
20. Khan UA, Shanholtz CB, McCurdy MT. Oncologic Mechanical Emergencies. *Emerg Med Clin North Am* 2014;32(3):495-508.
21. Higdon ML, Higdon JA. Treatment of oncologic emergencies. *Am Fam Physician* 2006;74(11):1873-80.
22. Hryniewicki AT, Wang C, Shatsky RA, Coyne CJ. Management of Immune Checkpoint Inhibitor Toxicities: A Review and Clinical Guideline for Emergency Physicians. *J Emerg Med* 2018;55(4):489-502.
23. Lee SJ, Kim JH, Han SB *et al* . Prognostic Factors Predicting Poor Outcome in Cancer Patients with Febrile Neutropenia in the Emergency Department: Usefulness of qSOFA. *J Oncol* 2018;2018:2183179.
24. Ahn S, Lee YS, Lim KS, Lee JL. Emergency department cancer unit and management of oncologic emergencies: experience in Asan Medical Center. *Support Care Cancer* 2012;20(9):2205-10.

25. Graff I, Goldschmidt B, Glien P *et al.* The German Version of the Manchester Triage System and its quality criteria--first assessment of validity and reliability. *PLoS One* 2014;9(2):e88995.

Parte II

Emergências Clínicas e Metabólicas

Bruna Roberta Fantinati Marques
Sarah Maciel Silva
Thiago Lacerda Ataides

HIPONATREMIA

Definição

A concentração sérica normal do sódio é de 135 a 145 mEq/L, sendo o principal cátion extracelular e o principal determinante da osmolaridade sérica. A hiponatremia é definida pela concentração de sódio sérico menor que 135 mmol/L. Os sintomas associados vão desde os mais leves e inespecíficos até quadros graves e ameaçadores à vida. No contexto do paciente oncológico, a condição clínica, o tipo de câncer e os efeitos colaterais do tratamento instituído podem gerar esse distúrbio hidreletrolítico. A hiponatremia pode ser estratificada de acordo com a concentração de sódio sérico e o tempo de instalação. O distúrbio é considerado leve se a natremia estiver entre 130-135 mmol/L, moderado se estiver entre 125-129 mmol/L e grave se menor que 125 mmol/L. Se a instalação ocorrer em menos de 48 horas, a hiponatremia é considerada aguda. Caso a hiponatremia tenha se instalado em mais de 48 horas, é considerada crônica.

Epidemiologia

A hiponatremia é considerada o distúrbio eletrolítico mais comum entre os pacientes com câncer.¹ Foi observado que sua incidência à

admissão dos pacientes oncológicos foi próxima de 50%,² sendo que pacientes com câncer de próstata, pâncreas, fígado, pulmão ou rins são os mais frequentemente afetados pela hiponatremia, enquanto os pacientes com câncer de mama são os menos afetados.³ Cabe ressaltar que a hiponatremia é fator independente de mau prognóstico da doença,³⁻⁵ assim como reduz, de forma independente, a resposta ao tratamento de alguns tipos de câncer.⁶

Fisiopatologia e Etiologia

A hiponatremia pode ser causada por uma série de fatores, embora todas as diferentes apresentações dos distúrbios do sódio obedeçam aos mesmos princípios fisiopatológicos.

A hiponatremia pode ser vista como um distúrbio da água e não apenas do sódio, porque, na maior parte das vezes, a hiponatremia não é causada pela perda absoluta desse íon, mas por excesso de água no organismo. Cerca de 60% do peso corporal de um adulto médio é composto por água (aproximadamente 42 L), dos quais 3,5 L ocupam o compartimento intravascular, 10,5 L estão no interstício, e 28 L, no interstício. O sódio atua como importante regulador do trânsito de partículas entre os compartimentos extracelulares e o meio intracelular, pois assume papel preponderante na manutenção da normalidade da osmolalidade plasmática (275 a 295 mOsm/kg H₂O). Consideramos, portanto, que a avaliação da natremia é indissociável da medida da osmolalidade plasmática, da tonicidade e da volemia do paciente. Essa relação pode ser evidenciada pela equação a seguir:

$$\text{Osmolalidade} = \left([2 \times \text{Na}] + [\text{K}] + \left[\frac{\text{Glicose}}{18} \right] + \left[\frac{\text{Ureia}}{6} \right] \right)$$

Classificando o distúrbio em relação à osmolalidade, a hiponatremia pode ser hipertônica (Osm > 295 mmol/L), isotônica (Osm entre 285-295 mmol/L) ou hipotônica (“**hiponatremia verdadeira**”, com Osm < 275 mmol/L).

De acordo com a equação anterior, é intuitivo pensar que a hiponatremia cursa com redução da osmolalidade na maior parte das vezes. Exceções importantes a essa generalização são a

ocorrência de hiponatremia simultânea a estados hiperglicêmicos ou quando há uso de manitol e sorbitol. Nesses casos, o distúrbio se apresenta como hiponatremia com osmolalidade normal ou aumentada. O estado hiperglicêmico desencadeia o trânsito de água do meio intracelular para o extracelular, além de gerar diurese osmótica com perda de sódio, na tentativa de reduzir a osmolalidade plasmática. É possível calcular o sódio corrigido pela hiperglicemia do paciente de acordo com a fórmula a seguir:

$$\text{Na}^+ \text{ corrigido} = \text{Na}^+ \text{ medido} + (\text{glicemia} - 100) \times 0,016$$

Outra situação especial ocorre quando o paciente possui hiperlipidemia ou paraproteinemia. Pacientes que possuem a natremia **real** dentro da faixa de normalidade podem apresentar “hiponatremia” **medida** por artefato laboratorial. Em casos assim, definimos o achado como **pseudo-hiponatremia**.

A hiponatremia hipotônica, apresentação mais frequente do distúrbio, pode ser classificada, de acordo com a volemia do paciente, em hipovolêmica, euvolêmica e hipervolêmica.^{2,7}

A Secreção Inapropriada de Hormônio Antidiurético (SIADH) é a principal causa de hiponatremia hipotônica euvolêmica em pacientes com câncer, afetando de 1 a 2% dessa população. A Síndrome de Secreção Inapropriada de ADH (SSIADH) é caracterizada pela persistente e excessiva secreção de ADH, com consequente aumento da reabsorção de água livre pelos rins, de forma independente da natremia. Assim, o paciente com SIADH apresenta hiponatremia euvolêmica, associada à hipo-osmolalidade sérica (< 275 mOsm/kg), aumento da concentração de sódio (> 30 mEq/L) e osmolalidade urinária elevada (> 100 mOsm/kg). As principais causas de SIADH em pacientes com câncer são listadas no [Quadro 3-1](#).

A síndrome Cerebral Perdedora de Sal (SCPS) é um diagnóstico diferencial da SSIADH e ocorre mais frequentemente após uma hemorragia subaracnóide, mas pode acontecer também em pacientes com neoplasias do SNC. A SCPS cursa com poliúria (até 10 L por dia), polidipsia, natriurese aumentada (geralmente 100

mEq/L), elevação da osmolalidade urinária, redução da osmolalidade e aumento da ureia plasmática, hipovolemia e hipotensão. Por outro lado, o paciente com SIADH apresenta pressão arterial e sede normais, redução da ureia plasmática, com volume urinário geralmente preservado e natriurese maior que 40 mEq/L.⁷

Sinais e Sintomas

Os sintomas de hiponatremia são os mais diversos, a depender do tempo de evolução e da natremia do paciente. Em casos crônicos, muitos pacientes podem ser assintomáticos ou apresentar sintomas inespecíficos, mesmo com hiponatremia grave. Em condições ideais, o cérebro se adapta ao ambiente hipotônico, diminuindo o número de partículas osmoticamente ativas em suas células. Nos casos agudos, em que a hiponatremia se estabelece em tempo menor que 24 a 48 horas, os sintomas são mais graves e são consequência do aumento da pressão intracraniana. Esses sintomas correspondem à falha na adaptação do SNC ao meio hipotônico. Em caso de cefaleia, náuseas sem vômitos ou confusão mental, a hiponatremia deve ser considerada moderadamente grave. A hiponatremia é considerada grave quando evolui para rebaixamento do nível de consciência, vômitos, convulsões e coma.^{7,8}

Quadro 3-1. Causas de SIADH em Pacientes com Câncer

Câncer	Neoplasia de pulmão tipo “ <i>oat cell</i> ”, gastrointestinal, cabeça e pescoço, renal, sarcomas, linfomas, outros tumores associados à síndrome paraneoplásica
Doença pulmonar	Infecções, asma, doença pulmonar obstrutiva crônica e insuficiência respiratória aguda
Doenças do sistema nervoso central	Tumores ou implantes metastáticos, infecções, sangramentos, traumas

Fármaco-induzidas	Estimuladores da secreção de ADH	
	Quimioterápicos: <ul style="list-style-type: none"> ■ Alcaloides da Vinca (vincristina, vimblastina, etc.) ■ Derivados de platina (cisplatina, carboplatina, etc.) ■ Metotrexato, melfalan, pentostatina ■ Ciclofosfamida, ifosfamida 	Outros: <ul style="list-style-type: none"> ■ Clorpropamida ■ Inibidores seletivos da receptação de serotonina ■ Inibidores da monoamino-oxidase ■ Antidepressivos tricíclicos ■ Carbamazepina ■ Haloperidol, clorpromazina ■ Opioides
	Aumentam sensibilidades dos receptores de ADH	
	<ul style="list-style-type: none"> ■ Anti-inflamatórios não esteroides ■ Hipoglicemiantes 	

Adaptado de Berardi *et al.*² e Azevedo *et al.*⁷

Diagnóstico da Hiponatremia e da SIADH

O diagnóstico da hiponatremia pode ser acidental no paciente oncológico, mas deve ser suspeitada em todos aqueles que apresentem sintomas neurológicos ou gastrointestinais.

Além da dosagem do sódio sérico, é essencial que sejam analisados, simultaneamente, a osmolalidade e o sódio urinários, bem como a osmolalidade plasmática. A volemia do paciente também deve ser avaliada clinicamente, procurando por sinais de hipovolemia (taquicardia, hipotensão, oligúria e/ou redução da perfusão capilar) ou de hipervolemia (congestão pulmonar, edema periférico, ascite, anasarca).^{2,7}

Devem ser investigadas também as causas de modificação no estado volêmico, como perdas gastrointestinais, SIADH, uso de medicamentos e sinais de insuficiência cardíaca, hepática ou renal.

A [Figura 3-1](#) apresenta um fluxograma para diagnóstico etiológico da hiponatremia.

A SSIADH é um diagnóstico de exclusão. O [Quadro 3-2](#) mostra os critérios clássicos de Bartter Schwartz para diagnóstico de SIADH.^{2,7}

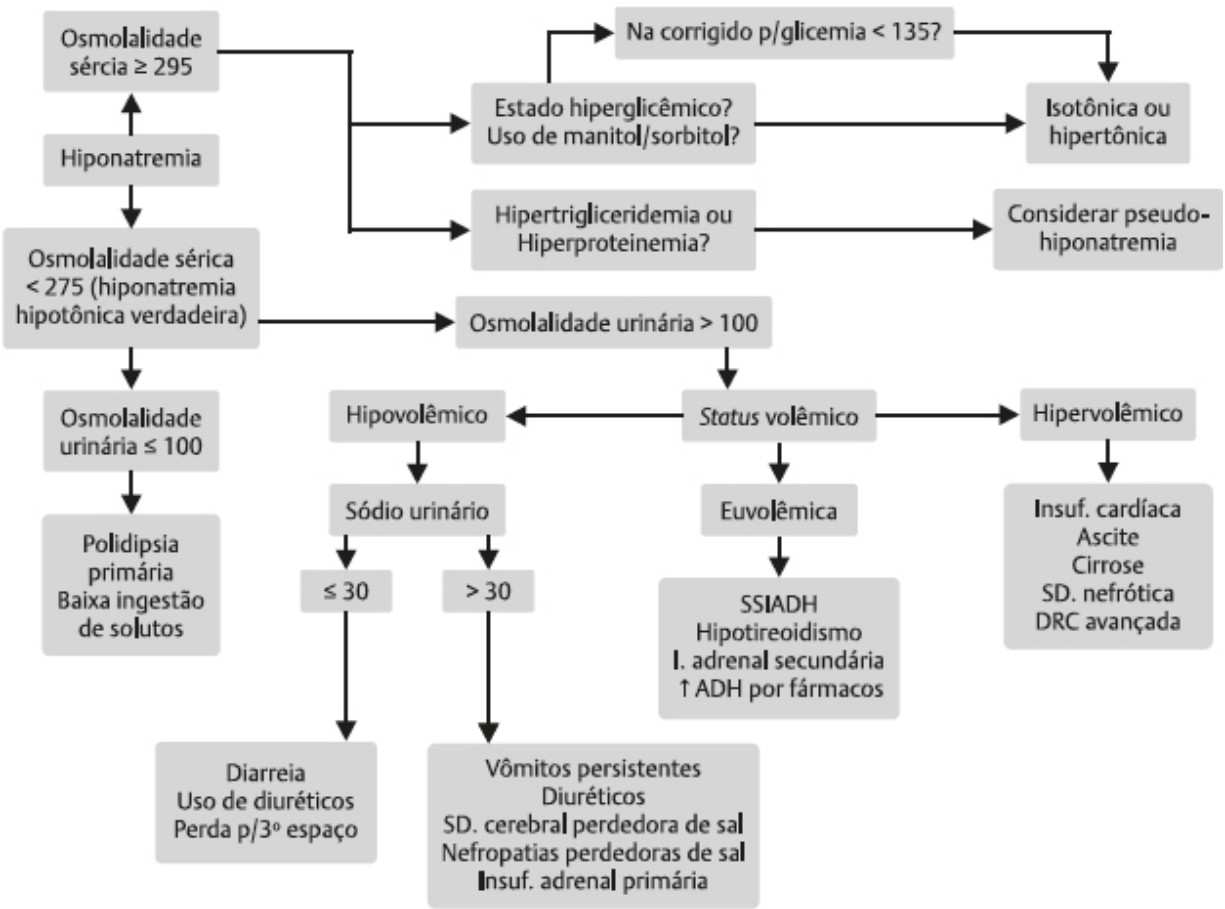


Fig. 3-1. Diagnóstico etiológico da hiponatremia. (Adaptado de Berardi *et al.*² e Azevedo *et al.*)⁷

Quadro 3-2. Critérios Essenciais

Osm Urinária > 100 mOsm/kg	Sem história recente de uso de diuréticos
Euvolemia	Ausência de hipotireoidismo, hipocortisolismo e doença renal
Osm Sérica	Sódio urinário > 30 mEq/L com ingestão

< 275 mOsm/kg	normal de água e sal
Suplementares	
Ácido úrico < 4 mg/dL	Fração de excreção de Na > 0,5%
Ureia sérica < 21,6 mg/dL	Falência na correção de hiponatremia com solução fisiológica 0,9%
Fração de excreção de Ur > 55%	Correção de hiponatremia por meio da restrição de líquidos

Adaptado de Berardi *et al.*² e Azevedo *et al.*⁷

Tratamento

Diversos algoritmos foram propostos para o tratamento da hiponatremia, levando em consideração os sintomas, o tempo de instalação, a natremia e as doenças de base do paciente.

No entanto, em casos de hiponatremia com sintomas moderadamente graves (cefaleia, náuseas sem vômitos ou confusão mental) ou graves (cefaleia com vômitos, rebaixamento do nível de consciência, convulsões e coma), é fato bem estabelecido que a rápida elevação de sódio reduz o risco de lesões neurológicas, independente do grau de hiponatremia ou do tempo de instalação. Utiliza-se principalmente a solução de NaCl a 3% para o tratamento, com a velocidade de infusão dependente das evoluções clínica e laboratorial. A [Figura 3-2](#) mostra o fluxograma de tratamento para pacientes graves e moderadamente graves. A velocidade de infusão e a variação de natremia desejada podem ser previstas pela equação de Adroguè-Madias, a seguir.⁹

$$\Delta \text{Na}^+_{\text{estimada}} = \left(\frac{\text{Na}^+_{\text{infusão}} + \text{Na}^+_{\text{paciente}}}{\text{Água corporal total} + 1} \right)$$

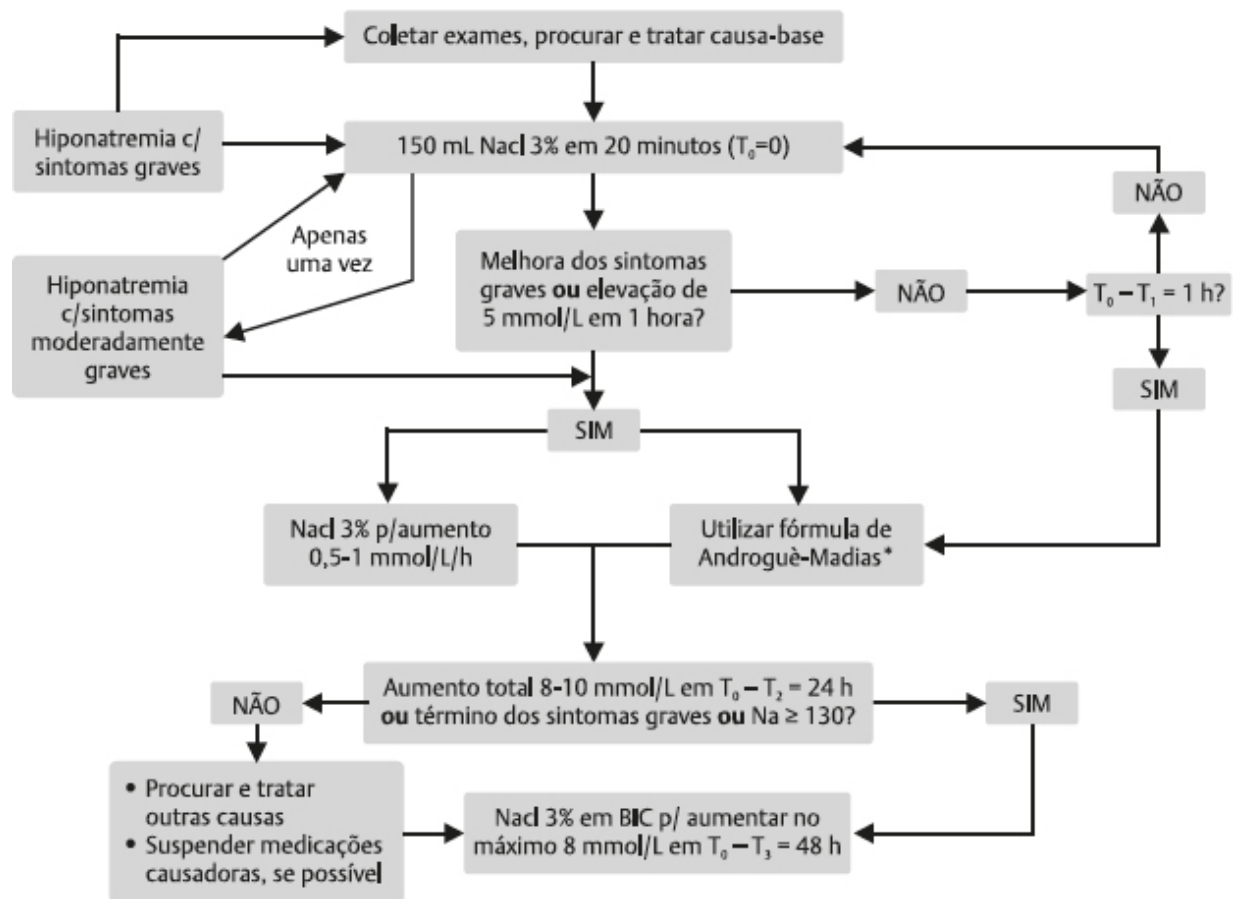


Fig. 3-2. Tratamento da hiponatremia com sintomas graves ou moderadamente graves. T₀: início do tratamento; T₃: 48 horas do início do tratamento. *Fórmula pode subestimar elevação da natremia.

O ΔNa^+ é a variação prevista da natremia, utilizando uma solução de concentração definida (Na^+ infusão). A solução de NaCl 3% possui 511 mEq/L de sódio. Para o cálculo da água corporal total, multiplicamos o peso (P) do paciente por um coeficiente específico para sua idade e sexo, como segue: homem jovem ($P \times 0,6$), homem idoso ($P \times 0,5$), mulher jovem ($P \times 0,5$) e mulher idosa ($P \times 0,45$).^{8,9}

Caso o paciente esteja recebendo reposição de potássio, esse íon deve ser incluído na fórmula de Androguè-Madias, como a seguir.⁸

$$\Delta Na^{+}_{estimada} = \left(\frac{[Na^{+} + K^{+}_{infusão}] + Na^{+}_{paciente}}{Água corporal total + 1} \right)$$

Para os pacientes assintomáticos ou com sintomas leves e inespecíficos, o tratamento da hiponatremia deve ser menos agressivo, mesmo que a natremia seja consideravelmente baixa. Na hiponatremia crônica moderada ou grave, com sintomas leves, a primeira linha de tratamento é a restrição hídrica. O aumento da ingestão de cloreto de sódio e o uso de diuréticos de alça em baixas doses podem também ser utilizados no tratamento. Nos casos agudos com sintomas leves ou assintomáticos, deve-se inicialmente reduzir o aporte hídrico diário, suspender as medicações que contribuam para hiponatremia, e, idealmente, avaliar e tratar a etiologia do distúrbio. Caso a redução da natremia seja superior a 10 mmol/L, recomenda-se a infusão de 150 mL de NaCl 3%, apenas uma vez.^{8,9}

No paciente com SIADH, deve-se investigar e tratar a etiologia. A suspensão de medicações fármaco-indutoras é recomendada, se possível. A hiponatremia causada pela SIADH geralmente não é grave e pode ser tratada com redução do aporte diário de água, mas pode ser necessário associar diuréticos de alça em baixas doses e aumentar a ingestão de sódio. Caso os sintomas sejam graves ou moderadamente graves, deve-se utilizar o fluxograma da [Figura 3-2](#). Pacientes com SCPS apresentam poliúria e natriurese aumentada, devendo receber o volume de reposição com soluções fisiológicas ou, se necessário, hipertônicas (> 150 mmol/L NaCl). Sintomas graves ou moderadamente graves devem ser tratados como na [Figura 3-2](#).^{2,8,9}

A recomendação sobre os limites diários de elevação da natremia deve ser rigorosamente seguida, já que a correção rápida pode levar a complicações neurológicas muito graves, como a síndrome de desmielinização osmótica. Os pacientes de maior risco para lesões neurológicas são aqueles com natremia < 105 mmol/L, etilistas crônicos, desnutridos, hepatopatas e os que apresentam hipocalcemia associada.^{2,8,9}

Caso a reposição de sódio ultrapasse o limite de 10-12 mmol/L no primeiro dia (24 horas) ou mais que 18 mmol/L em 48 horas, a

reposição deve ser interrompida imediatamente. Deve-se, então, ponderar sobre a necessidade de infusão de 10 mL/kg de água livre em 1 hora. Pode ser necessária a prescrição de desmopressina.⁹

HIPERNATREMIA

Definições, Epidemiologia e Fisiopatologia

Hipernatremia é caracterizada pelo nível de sódio maior que 145 mEq/L, acompanhada por estado hiperosmolar e desidratação celular. Ocorre de maneira mais frequente em indivíduos com mecanismo de sede alterado (hipodipsia) ou com incapacidade de ingerir água, como portadores de doenças neurológicas, com rebaixamento de nível de consciência, idosos e hospitalizados em uso de ventilação mecânica.^{9,10}

Com a hiperosmolaridade e a desidratação celular, ocorre acúmulo de solutos no interior da célula como forma de adaptação para evitar a perda de água para o meio extracelular.¹⁰

Principais Causas

Hipernatremia é consequência do excesso de ingesta de sódio, excesso de absorção renal de sódio, ingesta de água diminuída ou aumento da perda de água. Os pacientes podem estar hipovolêmicos, hipervolêmicos ou euvolêmicos.^{9,11}

- Hipovolêmicos e sódio corporal total reduzido:
 - Perdas pelo trato gastrointestinal: diarreia, vômitos, sonda nasogástrica com alto débito, fístulas.
 - Diureticoterapia.
 - Diurese osmótica: hiperglicemia, manitol.
 - Perdas insensíveis pela pele: grande queimado, sudorese.
 - Síndromes hipertérmicas: síndrome neuroléptica maligna, intoxicação, síndrome serotoninérgica.
- Hipervolemia e sódio corporal total aumentado:
 - Excesso da ingesta de sal.
 - Síndrome de Cushing.
 - Hiperaldosteronismo.

- Iatrogênico: infusão de salina hipertônica, hemodiálise, dieta enteral, bicarbonato de sódio, enemas com solução salina.
- Euvolemia e sódio corporal total normal:
 - Diabetes *insipidus* nefrogênico (congenito, hipercalcemia, hipocalemia, doença cística medular, diuréticos de alça, lítio e anfotericina B).
 - Diabetes *insipidus* central (traumatismo cranioencefálico, tumores do sistema nervoso central, aneurisma, encefalite, meningite, sarcoidose, histiocitose, tuberculose, cistos).
 - Disfunção hipotalâmica (hipodipsia primária, excesso de mineralocorticoide).
 - Ventilação mecânica, hiperventilação.
 - Hipodipsia no idoso.

Em pacientes oncológicos, a ingesta de água inadequada pode ser consequência de diversas causas, incluindo obstrução do trato gastrointestinal, náuseas e vômitos induzidos por quimioterapia, mucosite por quimioterapia ou radioterapia. Hipodipsia primária pode ser causada por disfunção do centro da sede no núcleo supraóptico do hipotálamo em razão de tumor primário/metástase maligna ou tratamento de tumor do sistema nervoso central usando ressecção cirúrgica e/ou radiação.^{10,11}

Diabetes Insipidus

Diabetes *insipidus* central (deficiência de ADH) ocorre na maioria das vezes por alterações na hipófise anterior ou relacionado com o núcleo hipotalâmico (cirurgia, tumor, hemorragia, trauma cranioencefálico, infartos, infecções). Diabetes *insipidus* nefrogênico (resistência a ADH) adquirido pode ser causado por nefrotoxicidade de drogas, como lítio, aminoglicosídeos, anfotericina B, cisplatina e antagonistas de vasopressina.^{9,10}

Manifestações Clínicas e Abordagem Diagnóstica

O quadro clínico da hipernatremia é relacionado principalmente por disfunção do sistema nervoso central e é mais evidente com aumento rápido e progressivo do nível de sódio.¹¹

Sintomas gerais incluem sede, fraqueza, irritabilidade, letargia, espasmos musculares, hiper-reflexia, tremores e ataxia. Dependendo do nível sérico do sódio podem estar presentes confusão mental, déficit neurológico focal, convulsão e até coma.¹⁰

A abordagem diagnóstica deve incluir exames para investigação etiológica da hipernatremia e seu adequado tratamento.⁹

■ **Eletrólitos:**

- Cálcio – Hipercalemia: diabetes *insipidus* nefrogênico.
- Potássio – Hipocalemia: diabetes *insipidus* nefrogênico.
- Sódio urinário
 - ◆ < 25 mEq/L depleção de volume.
 - ◆ > 100 mEq/L ingestão/infusão excessivas.
- Volume urinário: < 500 mL/dia.
- Osmolaridade urinária – menor que a osmolaridade sérica: diabetes *insipidus* (central tem resposta com ADH, nefrogênico está relacionado com hipercalemia e lítio).

■ **Fatores que podem mascarar a hipernatremia:** hiperglicemia (a cada aumento de 100 mg/dL da glicemia acima de 100 mg/dL, ocorre uma redução de 1,6 mEq/L no sódio sérico), hiperproteinemia e hiperlipidemia.

■ **Tomografia computadorizada de crânio:** tumores, acidente vascular encefálico, trauma.

Tratamento

O tratamento inicialmente deve viabilizar a estabilidade hemodinâmica. Se o paciente estiver instável, a salina isotônica é a medida inicial a ser realizada. Se o quadro for agudo, a correção pode ser feita rapidamente sem danos, porém, a maioria dos casos de hipernatremia é crônica (> 48 h). Nessas situações a taxa de correção deve ser mais lenta (0,5 mEq/L/h ou 10-12 mEq/24 h), para evitar o risco de edema cerebral. Um opção para correção nesses casos é:⁹

- Solução glicosada com glicose 5%, taxa de infusão de 3-6 mL/kg/h buscando diminuir o sódio em 1-2 mEq/L/h. O sódio deve ser dosado a cada 4-6 horas.

Para correção da hipernatremia é sempre necessário calcular o déficit de água livre para avaliar a volemia dos pacientes.

$$\text{Déficit de água livre (L)} = \left(\frac{[\text{sódio sérico} - 140]}{140} \right) \times \text{água corporal total}$$

$$\text{Água corporal total} = \text{peso} \times 0,6 \text{ (M) ou } 0,5 \text{ (M) / Idosos: } 0,5 \text{ (H) ou } 0,45 \text{ (M)}$$

onde:

H = homens

M = mulheres

A velocidade de infusão e a variação de natremia desejada podem ser calculadas pela equação de Adrogue-Madias:⁹

$$\Delta \text{Na}^+_{\text{estimada}} = \left(\frac{\text{Na}^+_{\text{infusão}} + \text{Na}^+_{\text{paciente}}}{\text{Água corporal total} + 1} \right)$$

Lembrando:

NaCl 0,9%: 154 mEq/L

NaCl 0,45%: 77 mEq/L

SG 5%: 0 mEq/L

- Diabetes *insipidus* central pode ser tratado com desmopressina (DDAVP) subcutânea ou intranasal. As doses são 5 mcg intranasal a cada 12-24 h (pode variar de 5 a 100 mcg ao dia), 1-4 mcg subcutânea uma vez ao dia.⁹
- Dieta com restrição de sódio e uso de diurético tiazídico que induz natriurese são o tratamento de escolha para diabetes *insipidus* nefrogênico. Pode reduzir a poliúria, pois a indução de sutil hipovolemia aumenta a reabsorção de água e sódio no túbulo proximal e diminui o aporte de água livre para os segmentos disfuncionais do néfron.⁹

- Amilorida deve ser usada para tratar diabetes *insipidus* nefrogênico induzido por lítio.

REFERÊNCIAS BIBLIOGRÁFICAS

1. Doshi SM, Shah P, Lei X *et al.* Hyponatremia in hospitalized cancer patients and its impact on clinical outcomes. *Am J Kidney Dis* 2012;59(2):222-228.
2. Berardi R, Rinaldi S, Caramanti M *et al.* Hyponatremia in cancer patients: Time for a new approach. *Crit Rev Oncol Hematol* 2016;102:15-25.
3. Abu Zeinah GF, Al-Kindi SG, Hassan AA, Allam A. Hyponatraemia in cancer: association with type of cancer and mortality. *Eur J Cancer Care (Engl)* 2015;24(2):224-231.
4. Berardi R, Caramanti M, Fiordoliva I *et al.* Hyponatraemia is a predictor of clinical outcome for malignant pleural mesothelioma. *Support Care Cancer* 2015;23(3):621-626.
5. Dhaliwal HS, Rohatiner AZ, Gregory W *et al.* Combination chemotherapy for intermediate and high-grade non-Hodgkin's lymphoma. *Br J Cancer* 1993;68(4):767.
6. Bellmunt J, Leow JJ. Hyponatremia associated with worse outcomes in metastatic renal cell cancer: a potential target for intervention? *Eur Urol* 2014;65(4):731-732.
7. Azevedo LCP, Taniguchi LU, Ladeira JP *et al.* *Medicina intensiva: abordagem prática*. São Paulo: Ed. Manole; 2018.
8. Martins HS, Brandão Neto RA, Velasco IT. *Medicina de emergência: abordagem prática*. São Paulo: Ed. Manole; 2017.
9. Spasovski G, Vanholder R, Allolio B *et al.* Clinical practice guideline on diagnosis and treatment of hyponatremia. *Nephrol Dial Transplant* 2014;29(suppl 2):i1-i39.
10. Manzullo EF, Gonzalez CE, Escalante CP, Yeung S-CJ (Eds.). *Oncologic Emergencies*. New York: Springer; 2016.
11. Khan MI, Dellinger RP, Waguespack SG. Electrolyte Disturbances in Critically Ill Cancer Patients: An Endocrine Perspective. *J Intensive Care Med* 2017;33(3):147-158.

Breno Douglas Dantas Oliveira
Ítalo Tales Plácido da Silva
Yury Tavares de Lima

HIPERCALCEMIA

Introdução

Dentre os distúrbios do cálcio, a hipercalcemia é um dos distúrbios eletrolíticos mais comuns em pacientes oncológicos, principalmente nos casos de câncer em estágios avançados da doença, variando de acordo com o tipo de neoplasia, sendo mais comum, por exemplo, em pacientes com diagnóstico de mieloma múltiplo, câncer de mama e leucemia.¹

A hipercalcemia é justificada por três principais fisiopatologias:

- **Hormonal:** produção, pelo tumor, do hormônio peptídeo relacionado com o Hormônio Paratireóideo (PTHrP), e, em menor quantidade, do próprio Hormônio Paratireóideo (PTH). Responde pela principal causa de hipercalcemia, principalmente em câncer de mama, câncer de pulmão e mieloma múltiplo. Estimulam os osteoclastos a liberar cálcio dos ossos para a circulação.
- **Osteólise:** destruição óssea, decorrente das metástases.
- **Análogos hormonais:** produção excessiva, pelo tumor, de substâncias análogas à vitamina D.

Alguns fatores podem também justificar uma hipercalcemia, de forma incomum, como a ingesta excessiva de cálcio, o uso de vitamina D, de lítio e de diuréticos tiazídicos (reduzem a excreção urinária de cálcio).

Manifestações clínicas

Os sintomas mais comuns da hipercalcemia, que dependem do seu grau e, principalmente, da velocidade de instalação, são: náuseas, anorexia, constipação, confusão mental, letargia, poliúria e polidipsia. Em casos de instalação rápida, pode desencadear arritmias, como bradicardia, encurtamento do intervalo QT e parada cardíaca. Por isso, todos os pacientes com hipercalcemia suspeita ou confirmada deve ter um eletrocardiograma para registrar alguma alteração na condução cardíaca ([Quadro 4-1](#)).

Quadro 4-1. Manifestações da Hipercalcemia Grave, por Sistemas

Sistema	Sintomas
Sistema nervoso central	Letargia, alteração do estado mental, estupor, ataxia, coma
Cardiovascular	Encurtamento do intervalo QT, depressão do segmento ST, bloqueio atrioventricular de graus variados
Gastrointestinal	Náuseas, vômitos, hiporexia, constipação, íleo paralítico, dor abdominal
Renal	Poliúria, nefrolitíase
Musculoesquelético	Fraqueza de extremidades, mialgia e artralgia

Diagnóstico

Deve-se suspeitar de hipercalcemia pelas apresentações clínicas típicas, na presença do diagnóstico, confirmado ou não, de

neoplasia. Contudo, a mensuração sérica do cálcio, em especial do cálcio ionizado, é o método de escolha. Caso haja disponibilidade apenas do cálcio sérico total, deve-se corrigir este resultado com base na albumina sérica, pela fórmula:

$$\text{Ca}^{+} \text{ corrigido} = \text{Cálcio total} + (0,8 \times [4 - \text{Albumina sérica em g/dL}])$$

Tratamento

Com base na gravidade da hipercalcemia, o tratamento pode ser realizado ambulatorialmente ou em ambiente hospitalar. Consiste na correção dos níveis elevados de cálcio, assim como, se possível, reverter suas causas. A finalidade do tratamento é diminuir a reabsorção óssea, reduzir a absorção intestinal e aumentar a excreção urinária de cálcio.

Casos em que haja neoplasia avançada, com hipercalcemia grave e prognóstico reservado, não se deve tratar especificamente a hipercalcemia, assim como deve-se respeitar o desejo do próprio paciente frente à sua doença e opções terapêuticas.

Medicações específicas devem ser iniciadas para níveis de cálcio sérico maiores que 14 mg/dL (ou 3,5 mmol/L), assim como para pacientes muito sintomáticos. Por ordem de administração, deve-se iniciar o tratamento com infusão de líquidos endovenosos (preferência para salina a 0,9%) já que estes pacientes se apresentam, na maioria das vezes, hipovolêmicos, ao mesmo tempo que esta infusão intensificará o fluxo glomerular de cálcio, aumentando seu *clearance* e diminuindo seus níveis séricos. É importante frisar, então, que não se indica o uso de diuréticos de alça de rotina (exceto em pacientes hipervolêmicos), visto que estes podem piorar uma hipovolemia e diminuir ainda mais a excreção renal de cálcio ([Quadro 4-2](#)).

HIPOCALCEMIA

Introdução

A incidência da hipocalcemia em pacientes oncológicos é um pouco menos comum que a incidência da hipercalcemia, por causa,

principalmente, de suas causas primárias.

Estados, como desnutrição, doenças neoplásicas (desproteinizados), sobrecargas de volume e as concentrações séricas totais de cálcio, podem variar, já as concentrações de cálcio ionizado (fisiologicamente importante), que é hormonalmente regulado, permanecem relativamente estáveis. Hipocalcemia pode ocorrer quando a secreção de PTH é insuficiente para agir no intestino, osso e rim. Situações, como o hipoparatiroidismo cirúrgico (destruição total ou parcial das glândulas paratireoides), podem levar à hipocalcemia transitória e até permanente. Há situações de hipocalcemia com o PTH alto, como na deficiência de vitamina D.

Quadro 4-2. Tratamento da Hipercalemia

Opção	Ação	Administração	Observações
Salina a 0,9%	<ul style="list-style-type: none"> ■ Repor volemia geralmente aos que estão desidratados ■ Aumentar <i>clearance</i> renal 	<ul style="list-style-type: none"> ■ 10 mL/kg na primeira hora ■ 1-2 mL/kg/h nas próximas horas (observar débito urinário) 	Pode ser necessário um maior volume, caso haja desidratação grave, ou menor volume, dependendo das condições cardiovasculares
Bifosfonados	Impedem a reabsorção óssea pelos osteoclastos (efeito lento, podendo levar até 1 semana ²)	<ul style="list-style-type: none"> ■ Pamidronato 60-90 mg, endovenoso, administrar em 1 hora (1 mg/min) ■ Ácido zoledrônico (zoledronato) 4-6 mg, endovenoso, em 15-30 minutos (mais eficaz) 	<ul style="list-style-type: none"> ■ São potencialmente nefrotóxicos e devem ser usados com cautela em pacientes com insuficiência renal ■ Podem causar hipocalcemia, dor óssea ou hipofosfatemia ■ Zoledronato pode desencadear necrose tubular aguda e por isso deve ser evitado em pacientes com doença renal crônica avançada
Corticoides	Útil em paciente com hipercalemia por superprodução de calcitriol, por causa de seu papel na inibição da conversão de calcidiol em calcitriol	<ul style="list-style-type: none"> ■ Prednisona 60 mg, via oral, ao dia ■ Hidrocortisona 100 mg, endovenosa, a cada 6 horas 	Diminuem os níveis de cálcio sérico dentro de 3 a 5 dias. Usar pelo tempo mínimo possível
Anticorpo monoclonal	Por meio de ligação específica, inibe a ativação e a função dos osteoclastos. Útil nas hipercalemias refratárias aos bifosfonados	<ul style="list-style-type: none"> ■ Denosumab 0,3 mg/kg/semana, subcutâneo, por 4 semanas 	Pode causar hipocalcemia, principalmente em pacientes renais crônicos, em que a dose deve ser reduzida
Hemodiálise	Indicada em casos extremamente refratários e situações em que outras medicações não podem ser usadas com segurança	-----	Propicia uma redução rápida e eficaz do cálcio sérico, principalmente em pacientes com função renal prejudicada

Quadro 4-3. Manejo da Hipocalcemia

Condição	Tratamento	Observações
Hipocalcemia severa (tetania, fadiga muscular, convulsões)	Gluconato de cálcio 1-2 g, endovenoso	Pode-se usar o cloreto de cálcio, porém existe maior risco de causar necrose tecidual, caso haja extravasamento
Hipocalcemia crônica (p. ex.: hipoparatiroidismo)	1-2 g de cálcio elementar ao dia, por via oral	As preparações podem ser o gluconato de cálcio (ou carbonato de cálcio). Nos casos de hipoparatiroidismo, devem-se administrar conjuntamente suplementos com vitamina D
Hipomagnesemia	Sulfato de magnésio a 10%, 10 mL, endovenoso, dia (ou com base no magnésio sérico)	A reposição pode ser administrada junto à hidratação basal do paciente (p. ex.: 10 mL de sulfato de magnésio a 10% para cada soro da hidratação). Pode-se manter a reposição por via oral

Manifestações Clínicas

A hipocalcemia pode ser assintomática, se for leve. Problemas com risco de vida, como convulsões, disritmias cardíacas e laringospasmo, podem ocorrer, se a hipocalcemia for grave. A hipocalcemia aguda é caracterizada por irritabilidade neuromuscular e sintomas agudos, como fraqueza de músculo, parestesia, espasmo, tetania, hiper-reflexia, sinal de Chvostek, Trousseau, convulsão, broncospasmo, espasmo da faringe e insuficiência respiratória. As apresentações cardiovasculares são bradicardia,

hipotensão, prolongamentos do intervalo QT, insuficiência cardíaca congestiva e parada cardíaca. A hipocalcemia crônica com hipoparatiroidismo causa distúrbios extrapiramidais, catarata e alterações na pele e nos cabelos. A deficiência de vitamina D causa raquitismo e osteomalácia em pacientes com hipocalcemia.

Diagnóstico

A suspeita deve ser considerada sempre que houver as manifestações clínicas citadas e deve ser confirmada pela mensuração sérica do cálcio iônico. O tratamento não deve ser postergado, principalmente, nos casos de manifestações graves e ameaçadoras. Portanto, na suspeita clínica, mas com demora dos resultados laboratoriais, deve-se proceder ao tratamento empírico com base nos sintomas já conhecidos desta condição, caso haja justificativa conhecida ou suspeita.

As principais causas de hipocalcemia nestes pacientes são o hipoparatiroidismo e a hipomagnesemia, porém outras causas entram no diagnóstico diferencial, como metástases ósseas osteoblásticas (carcinoma prostático), alguns agentes quimioterápicos e até mesmo a síndrome da lise tumoral.

Tratamento

O tratamento se baseia na gravidade do caso e dos sintomas. Como a hipomagnesemia é uma causa comum de hipocalcemia, o magnésio sérico deve ser repostado, empiricamente ou com base na sua mensuração sérica ([Quadro 4-3](#)).

REFERÊNCIAS BIBLIOGRÁFICAS

1. Aznar E, Martí R, Pérez P *et al*. Hipercalcemia de origen tumoral: estudio de 133 casos. *Rev Diagn Biol* [Internet] 2001;50(1):28-32. Disponível em: http://scielo.isciii.es/scielo.php?script=sci_arttext&pid=S0034-79732001000100005&lng=es. Acesso em 28/11/2018.
2. Stewart AF. Clinical practice. Hypercalcemia associated with cancer. *N Engl J Med* 2005;352:373-379.

DISTÚRBIOS DO POTÁSSIO

CAPÍTULO 5

Hélio Penna Guimarães
Gabriel Pietrobon Martins
Guilherme Benfatti Olivato

INTRODUÇÃO

Os distúrbios hidreletrolíticos, particularmente relacionados com o íon potássio, estão comumente associados a emergências cardiovasculares e podem causar parada cardiorrespiratória, arritmias graves e óbito.¹

O potássio é o maior cátion intracelular, sendo 98% encontrado no fluido intracelular, e apenas 2% (~ 70 mEq) no extracelular. O potássio corporal total representa cerca de 3.500 mEq (50 mEq/kg), sendo encontrado numa dieta normal: 1-1,5 mEq/kg (40-120 mEq/dia), sendo a necessidade diária mínima aproximadamente entre 1.600 a 2.000 mg (40-50 mEq). Os rins são responsáveis por 90% da excreção da sobrecarga de K diário.^{2,3}

O potássio é regulado pelo:

- Estado acidobásico.
- Concentração de insulina plasmática.
- Níveis de catecolaminas plasmáticas.

HIPOCALIEMIA

É definida por uma concentração sérica de potássio menor que 3,5 mEq/L, e ocorre por deficiência de K corpóreo ou por desequilíbrio do meio extracelular para intracelular. Os principais fatores que facilitam o aparecimento de hipocaliemia são citados a seguir.

Causas

- Baixa ingestão/desnutrição.
- Perdas gastrointestinais.
- Perdas renais (p. ex.: diuréticos, hiperaldosteronismo).
- Mudança/desvio – redistribuição celular de K^+ (p. ex.: alcalose, insulina, beta-2-agonista).
- Mudança do K transcelular: beta-adrenérgicos, agentes tocolíticos, teofilina, cafeína, diuréticos, mineralocorticoides, penicilina, oxacilina e ampicilina em altas doses e *overdose* de insulina.
- Associadas à perda de magnésio (aminoglicosídeos, anfotericina B, foscarnet, cisplatina).
- Decorrente da perda de K^+ nas fezes: fenolftaleína, sulfonato poliestireno de sódio.
- Intoxicação por bário: bloqueia os canais de potássio nas células, impedindo a translocação do potássio para o meio extracelular.

Manifestações Clínicas

As manifestações clínicas são dependentes da gravidade da hipocaliemia e raramente há qualquer manifestação com potássio maior que 3 mEq/L, exceto em pacientes com instalação abrupta. A presença de doenças associadas, como cardiopatia prévia, principalmente isquêmica, idade avançada e uso de digitálicos, aumenta o risco de complicações. A medida em que o nível sérico alcança valores menores que 3,0 mEq/L podem-se observar as: paralisia, câibras, parestesias, constipação, “íleo”, náusea, vômito, arritmias.

Eletrocardiograma

Não existe clara correlação entre a hipocaliemia e alterações de ECG. Isto significa que pacientes com potássio de 2,8 mEq/L podem

ter onda U proeminente, enquanto outros pacientes com potássio em torno de 2 mEq/L podem não apresentar esta alteração. De modo geral, as alterações eletrocardiográficas podem ser:

- Achatamento da onda T.
- Aparecimento das ondas U.
- Depressão do segmento ST.
- Prolongamento do intervalo PR e depois do intervalo QU.
- Arritmias e PCR mais frequentemente em atividade elétrica sem pulso ou assistolia.

A [Figura 5-1](#) apresenta estes achados mais comuns.

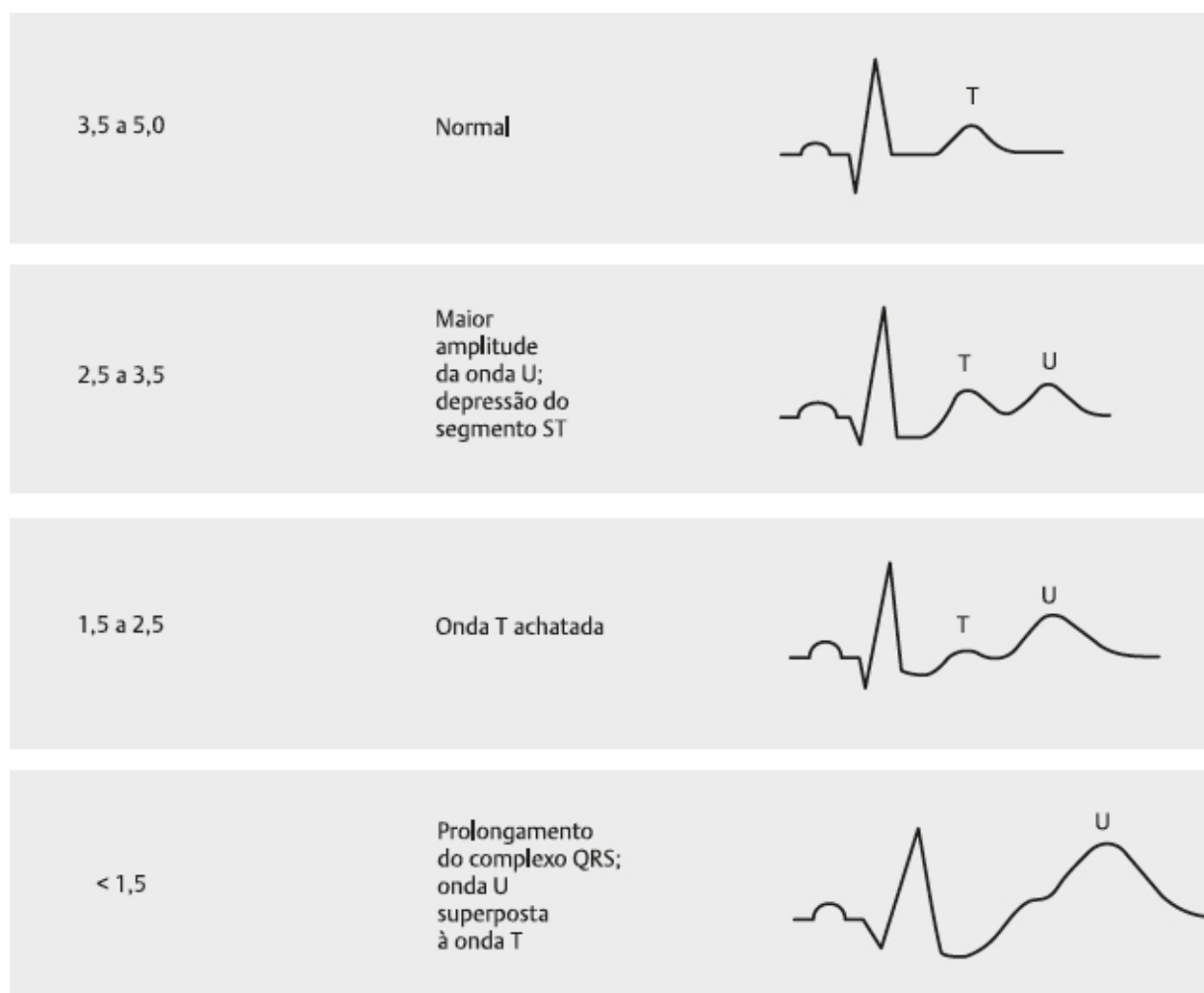


Fig. 5-1. ECG na hipocaliemia.

Exames Laboratoriais

- Dosagens de glicemia, sódio, magnésio, cálcio e função renal.
- Avaliação da excreção urinária de potássio: O modo mais acurado de medir a secreção de potássio urinário é por meio de coleções urinárias de 24 horas. Em pacientes com hipocalcemia, a excreção urinária é de 25 a 30 mEq ao dia. A mínima concentração urinária que se consegue obter é de 5 a 15 mEq ao dia. A relação do potássio urinário com a creatinina também pode ser avaliada e, em geral, esta relação é menor que 13 mEq/g de creatinina.
- Gasometria arterial.

Tratamento

A forma de reposição de K^+ mais segura é por via oral em razão da entrada na circulação mais lenta e do menor risco de hipercalemia. Caso o paciente possa tolerar a via oral/enteral, recomenda-se o aumento da ingesta de alimentos ricos em K^+ , como: banana, laranja, frutas secas, tomate, cenoura e carnes em geral.³ Em relação à reposição oral podem-se utilizar:

- Cloreto de potássio (KCl xarope a 6%) na dose de 40 a 100 mmol/dia.
- Formas microencapsuladas de liberação prolongada de potássio, SLOW-KTM/MICRO-KTM que podem ser utilizadas.

O tratamento endovenoso está indicado quando há alterações no ECG, arritmias e K^+ sérico $< 2,5$ mEq/L. A velocidade de reposição deve ser em torno de 10 a 20 mEq/h e sob monitoração do ritmo cardíaco (ECG).¹ Solução mais concentrada de K^+ pode ser infundida por um acesso central.

Em situação extrema de PCR por hipocalcemia iminente, pode-se fazer potássio de 5-10 mEq EV em 5 min.^{1,2}

Algumas regras básicas devem ser lembradas ao realizar a reposição:

- Uso da via oral, sobretudo se o potássio estiver acima de 3 mEq/L.
- Sem soluções endovenosas de potássio muito concentradas, pelo risco de flebite.
- Concentração máxima em veia periférica de 40 mEq/L.
- Concentração máxima em acesso venoso central: 60 mEq/L.
- Velocidade ideal de reposição: 5 a 10 mEq/hora.
- Velocidade máxima de reposição: 10 a 20 mEq/hora.

As principais soluções de reposição de potássio, e também as mais usadas, são as seguintes:

- KCl xarope a 6%: 15 mL contêm 12 mEq de potássio. Dose: 10 a 20 mL após as refeições, 3 a 4 vezes ao dia.
- KCl comprimidos: 1 comprimido tem 6 mEq de potássio. Dose: 1 a 2 comprimidos após as refeições, 3 a 4 vezes ao dia.
- KCl 19,1% injetável: cada 1 mL tem 2,5 mEq de potássio. As ampolas são de 10 mL, portanto, cada ampola tem 25 mEq de potássio, estas são diluídas em solução fisiológica.

Neste caso, o paciente faz uso de dois diuréticos que potencializam a perda de potássio. A retirada destes é o primeiro passo na resolução do caso, e a reposição de potássio está indicada, haja vista a gravidade da hipocaliemia.

Apresentação farmacêutica disponível de K^+ (oral e parenteral).

- KCl 10% 1 ampola (10 mL) = 13,4 mEq
- KCl 19,1% 1 ampola (10 mL) = 25 mEq
- K_2HPO_4 10% 1 ampola (10 mL) = 20 mEq
- KCl 6% xarope (15 mL) = 12 mEq

HIPERCALIEMIA

A hipercaliemia é definida como concentração sérica de potássio > 5,0-5,5 mEq/L em adultos; o intervalo em bebês e crianças é dependente da idade. Níveis acima de 7 mEq/L podem levar a consequências hemodinâmicas e neurológicas significativas,

enquanto níveis superiores a 8,5 mEq/L podem causar paralisia respiratória ou parada cardíaca e podem ser rapidamente fatais. A taxa de mortalidade pode chegar a 67% se não tratada rápida e adequadamente.¹

Sinais e Sintomas

Inicialmente a hipercaliemia em geral tende ser assintomática. Quando presentes, os sintomas são inespecíficos e predominantemente relacionados com a função muscular ou cardíaca. Fraqueza e fadiga são as queixas mais comuns. Ocasionalmente, os pacientes podem relatar: paralisia muscular, dispneia, palpitações, dor torácica, náusea ou vômito e parestesias. Em geral, os resultados do exame físico isoladamente não alertam o emergencista para o diagnóstico de hipercaliemia, exceto quando a bradicardia grave está presente ou parestesia com fraqueza muscular.

Causas^{1,4,5}

A hipercaliemia pode resultar de ingestão excessiva, diminuição da excreção, mudança de potássio do espaço intracelular para o extracelular ou combinação destes fatores.

- Pseudo-hipercaliemia: hemólise; trombocitose; leucocitose; técnica de venipunção.
- Redistribuição: acidemia; deficiência de insulina; betabloqueadores.
- Sobrecarga excessiva de K^+ endógeno; hemólise; rabdomiólise; hemorragia interna.
- Sobrecarga excessiva de K^+ exógeno: administração parenteral; excesso na dieta; suplementação de potássio.
- Excreção de potássio diminuída: diminuição da taxa de filtração glomerular; defeito na secreção tubular (p. ex.: acidose medicamentosa como AINH, ciclosporina, diuréticos poupadores de potássio).
- Erro laboratorial.

Diagnóstico

Em casos em que haja justificativa provável para hipercalemia, deve-se repetir o exame de sangue antes de tomar qualquer ação para reduzir o nível de potássio, a menos que alterações no ECG estejam presentes. Outros testes incluem o seguinte: ECG, dosagem de potássio na urina, sódio e osmolaridade, hemograma completo e perfil metabólico. Se os níveis de ureia e creatinina sérica sugerirem insuficiência renal, recomenda-se determinar a taxa de filtração glomerular estimada (eTFG). A doença renal crônica isolada geralmente não causará hipercalemia até que a TFG seja menor que 20 a 25 mL/min.

Eletrocardiograma

Sempre fundamental para avaliar impacto fisiopatológico da hipercalemia. Os achados eletrocardiográficos se correlacionam com o nível de potássio, mas arritmias potencialmente fatais podem ocorrer sem aviso em quase qualquer nível de hipercalemia. Em pacientes com doença cardíaca de base e com ECG basal já anormal, a bradicardia pode ser a única anormalidade. As alterações do ECG têm uma progressão sequencial, que se correlaciona aproximadamente com o nível de potássio, mas com as ressalvas mencionadas anteriormente ([Fig. 5-2](#)).

As primeiras alterações no ECG da hipercalemia, tipicamente observadas em **níveis séricos de potássio de 5,5-6,5 mEq/L**, incluem o seguinte:

- Ondas T altas e pontiagudas, com base estreita, mais bem visualizadas em derivações precordiais.
- Intervalo QT abreviado.
- Depressão do segmento ST.

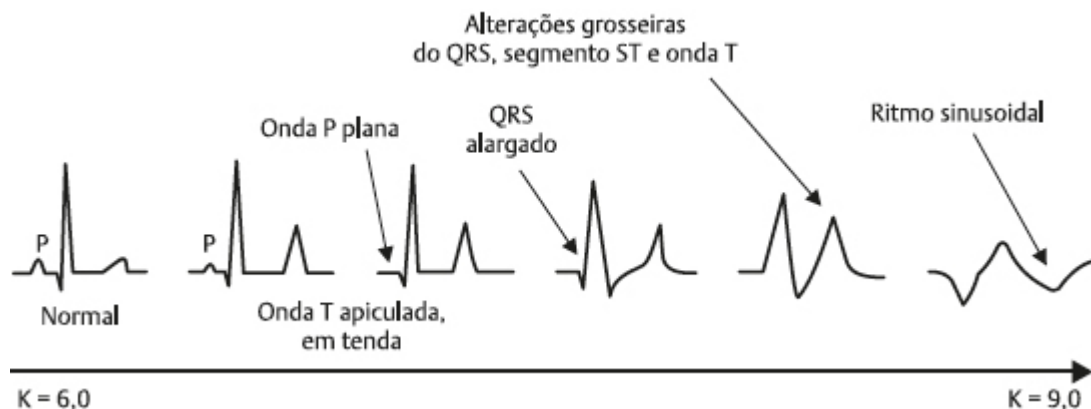


Fig. 5-2. Sequência de alterações do ECG na hipercalemiemia.

Em um nível de potássio sérico de 6,5-8,0 mEq/L, o ECG geralmente mostra o seguinte:

- Ondas T repicadas, intervalo PR prolongado.
- Onda P diminuída ou desaparecendo.
- Alargamento do QRS onda R amplificada.

Em um nível de potássio sérico maior que 8,0 mEq/L, o ECG mostra o seguinte:

- Ausência de ondas P.
- Ampliação progressiva do QRS.
- Bloqueios de ramo intraventriculares/fasciculares/de feixe.
- QRS progressivamente alargado eventualmente se funde com a onda T, formando um padrão de onda senoidal.
- Fibrilação ventricular ou assistolia (Fig. 5-2).

Tratamento^{1,4,5,6}

A agressividade da terapia a ser instalada está diretamente relacionada com a rapidez com que a hipercalemiemia se desenvolveu, ao nível absoluto de hipercalemiemia e à evidência de toxicidade. Quanto mais rápido o aumento do potássio, quanto mais alto o nível, e quanto mais forte a evidência de cardiotoxicidade, mais agressiva deve ser a terapia.

Hipercalemiemia moderada e sem anormalidades no ECG:

- Aumentar a excreção de potássio usando uma resina de troca catiônica ou diuréticos.
- Corrigir a fonte de excesso de potássio (por exemplo, aumento da ingestão ou excreção inibida).

Hipercaliemia grave:

- Cálcio IV para melhorar a toxicidade cardíaca.
- Identificar e remover fontes de ingestão de potássio.
- Infusão intravenosa de glicose e insulina para aumentar a captação de potássio pelas células.
- Corrigir acidose metabólica severa com bicarbonato de sódio.
- Considere a terapia com agonistas beta-adrenérgicos.
- Aumentar a excreção de potássio pela administração de diuréticos ou medicamentos de troca catiônica gastrointestinal.
- Diálise para pacientes com hipercaliemia potencialmente letal que não respondem a medidas mais conservadoras ou com insuficiência renal completa.

Para proteção para cardiotoxicidade em sinais de hipercaliemia no ECG:

1. Gluconato de cálcio a 10%: (10 a 20 mL) IV em 2 a 5 minutos a fim de reduzir o efeito do potássio na membrana da célula miocárdica (diminuindo o risco de fibrilação ventricular [FV]).

Para deslocar o potássio para dentro da célula:

2. Bicarbonato de sódio: 1 mEq/kg IV em 15 minutos (pode ser menos efetivo em pacientes com IRC).
3. Glicose + insulina: glicose a 50% 25 g (50 mL) + 10 U insulina regular IV em 15 a 30 minutos.
4. Nebulização com beta-2-agonista: 10 a 20 mg de salbutamol por nebulização em 15 minutos.

Para remover a excreção de potássio:

5. Diurese: furosemida 40 a 80 mg IV *bolus*.

6. Resina de troca:

- Poliestireno sulfonato de Ca^{++} - 60 g + 200 mL de sorbitol 20% por enema de retenção via retal (45 min).
- Poliestireno sulfonato de Ca^{++} - 15 g + 20 - 100 mL de água VO três × dia.
- Poliestireno sulfonato de Ca^{++} - 01 envelope = 30 g.

REFERÊNCIAS BIBLIOGRÁFICAS

1. American Heart Association. Part 10.1: Life-Threatening Electrolyte Abnormalities. *Circulation* 2005;112:IV-121–IV-125.
2. Black RM. Disorders of plasma sodium and plasma potassium. In: Irwin RS, Rippe JM (Eds.). *Irwin and Rippe's intensive care medicine*. 5th ed. Philadelphia: Lippincott Williams and Wilkins; 2003, p. 864-76.
3. Gennari FJ. Hypokalemia. *N Engl J Med* 1998;339(7):451-458.
4. Garth D. Hyperkalemia in Emergency Medicine. Medscape, Updated Feb, 2013. Available from: <http://emedicine.medscape.com/article/766479-overview>.
5. Weisberg LS. Management of severe hyperkalemia. *Crit Care Med* 2008;36(12):3246-51.
6. Xavier WS. Distúrbios do Potássio. In: Guimaraes HP, Assunção MSC, Carvalho FB, Japiassú AM *et al.* (Org.). *Manual de Medicina Intensiva*. São Paulo: Atheneu; 2014;1:761-765.

André Yuuzo Sugayama
Eugênio Santana Franco Filho
Yury Tavares de Lima

HIPOGLICEMIA

Introdução

A hipoglicemia é um distúrbio comum em pacientes hospitalizados graves, por diversos fatores, porém, é uma rara manifestação em pacientes oncológicos, se apresentando principalmente em casos de tumores neuroendócrinos produtores de insulina, ou insulinomas. Outra causa de hipoglicemia em pacientes oncológicos é a falência hepática associada à evolução da doença.

Pode ainda manifestar-se como consequência de tumores de crescimento rápido, que podem consumir uma taxa de glicose acima do disponível, causando picos de hipoglicemia, como é visto em linfomas agressivos, assim como em câncer de pulmão de pequenas células.

De maneira geral, a hipoglicemia ocorre pelo desequilíbrio entre a produção dos hormônios hipoglicemiantes (hiperinsulinemia) e dos hormônios hiperglicemiantes (glucagon, catecolaminas, hormônio de crescimento e cortisol).

A insulina é produzida nas células β -pancreáticas, inicialmente, como pré-pró-insulina, que é clivada a pró-insulina, que irá originar insulina e peptídeo C.

Em condições normais, a insulina e o peptídeo C são liberados na circulação em concentrações equivalentes. A resposta normal à hipoglicemia é a supressão da secreção de insulina e do peptídeo C. Em pacientes com insulinoma, mesmo em vigência de hipoglicemia, observam-se níveis de insulina e peptídeo C acima dos valores esperados. Já na hipoglicemia factícia decorrente do uso de insulina, o peptídeo C está suprimido.

A resposta hormonal à hipoglicemia ocorre de forma sequencial, de acordo com os valores de glicemia.

Hipoglicemias de repetição podem alterar o limiar de surgimento dos sintomas, de forma que diabéticos com controle intensivo e hipoglicemias frequentes podem ter hipoglicemias severas assintomáticas. Por outro lado, pacientes com descompensação diabética prolongada podem apresentar sintomas de hipoglicemia mesmo com níveis considerados normais.

Em pacientes diabéticos em uso de insulina, sem causa aparente de hipoglicemia, deve-se sempre investigar doença renal, pois, se presente, a dose de insulina deverá ser reduzida.

Em diabéticos que desenvolvem doença renal em uso de sulfonilureias, podem ocorrer hipoglicemias graves de repetição. Nesses casos, deve-se manter o paciente em observação por 16-24 horas, verificando sua glicemia capilar de 1/1 hora. Se for a clorpropamida, o paciente poderá manter hipoglicemia por vários dias. Metformina, glitazonas e acarbose não causam hipoglicemia, exceto se associadas à insulina, sulfonilureias ou meglitinidas (repaglinida ou nateglinida).

Diagnóstico

Os sintomas são conhecidos e típicos: tremores, visão turva, diaforese, palpitações e até alteração do nível de consciência e convulsões.

Ao suspeitar de hipoglicemia sendo causada pelo tumor em si, deve-se proceder à investigação mais específica (dosagem de insulina plasmática, pró-insulina, peptídeo-C e B-hidroxibutirato).

Deve ser suspeitada quando a glicemia for menor que 70 mg/dL em diabéticos ou valores menores que 50-55 mg/dL com sintomas típicos em não diabéticos.

Deve ser prontamente identificada e corrigida, pois é potencialmente fatal.

Já em pacientes não diabéticos, após jejum, glicemias de até 50 mg/dL podem ser consideradas normais, desde que assintomáticas. Já valores inferiores a 45 mg/dL estarão quase que invariavelmente associados a alguma patologia.

Quadro 6-1. Tratamento da Hipoglicemia em Pacientes Oncológicos

Situação	Administração	Observações
Hipoglicemia com paciente em condições de deglutir seguramente	Carboidratos (glicose, mel, água com açúcar) via oral <ul style="list-style-type: none">■ 50 mL de água com uma colher de sopa de açúcar■ 20 mL de mel■ 50 mL de glicose a 50%	Realizar nova medida de glicemia 5-10 minutos após sua administração para avaliar resposta e necessidade de nova dose
Hipoglicemia grave, com rebaixamento do nível de consciência ou paciente não tem condições de deglutir	Glicose hipertônica via endovenosa ou via retal – 50 mL de glicose a 50%, <i>bolus</i> , lento	Realizar nova medida de glicemia 5-10 minutos após sua administração para avaliar resposta e necessidade de nova dose
Hipoglicemia grave, com rebaixamento do nível de consciência ou paciente que não tem condições de deglutir e não possui acesso venoso	Glucagon (1,0 a 2,0 mg) por via intramuscular ou subcutânea	Obter acesso venoso o mais rápido possível para administração de glicose hipertônica, tendo em vista a

Para que se confirme o diagnóstico de hipoglicemia, é necessário que esteja presente a tríade:

- Hipoglicemia.
- Sintomas de hipoglicemia.
- Melhora dos sintomas após administração de glicose.

Tratamento

O tratamento inicial deve ser o usual como para qualquer tipo de hipoglicemia, ou seja, consiste na administração de carboidratos de rápida absorção por via oral em pacientes conscientes que consigam deglutir e apresentam casos pouco sintomáticos, ou, em casos mais graves, na administração de glicose hipertônica por via endovenosa ou retal.

Em pacientes sem acesso venoso, pode-se administrar glucagon por via intramuscular ou subcutânea (1,0 a 2,0 mg), embora seu efeito seja fugaz e ineficaz em segunda dose, pois depleta o estoque de glicogênio hepático.

Entretanto, em paciente sem acesso venoso fácil, há benefício em utilizá-lo como opção até o estabelecimento de uma via intravenosa ([Quadro 6-1](#)).

Pacientes que apresentam hipoglicemia sintomática decorrente de tumores neuroendócrinos produtores de insulina irão requerer terapia adjuvante para evitar episódios de hipoglicemia repetidos, como infusão contínua de glicose hipertônica, uso de diazóxido e octreotida, assim como o tratamento definitivo do tumor, eliminando sua causa primária (quimioterapia e radioterapia são opções para tumores não ressecáveis).

LEITURAS SUGERIDAS

Chabenne J, Chabenne MD, Zhao Y *et al.* A glucagon analogue chemically stabilized for immediate treatment of life-threatening hypoglycemia. *Mol Metab* 2014;3(3):293-300.

- Cryer PE, Davis SN. Hypoglycemia. In: *Harrison's principles of internal medicine*. 19th ed. New York: McGraw-Hill; 2015. p. 2430-5.
- Davis SN, Lamos EM, Younk LM. Hypoglycemia and hypoglycemic syndromes. In: Jameson JL, De Groot LJ, de Kretser DM *et al.* (Eds.). *Endocrinology: Adult and Pediatric*. 7th ed. Philadelphia, PA: Elsevier Saunders; 2016. p. 816-38.
- Flombaum CD. Metabolic emergencies in the cancer patient. *Semin Oncol* 2000;27(3):322-334.
- Mathur A, Gorden P, Libutti SK. Insulinoma. *Surg Clin North Am* 2009;89(5):1105-1121.
- Spinazzé S, Schrijvers D. Metabolic emergencies. *Crit Rev Oncol Hematol* 2006;58(1):79-89.
- Wang J, Geiss LS, Williams DE, Gregg EW. Trends in emergency department visit rates for hypoglycemia and hyperglycemic crisis among adults with diabetes, United States, 2006-2011. *PLoS One* 2015;10(8):e-0134917.

DISTÚRBIOS DO MAGNÉSIO

CAPÍTULO 7

Breno Douglas Dantas Oliveira
Eugênio Santana Franco Filho

INTRODUÇÃO

O equilíbrio do magnésio corporal se dá por meio da ingestão e excreção, de forma que o intestino delgado é o seu principal órgão de absorção, e o rim responsável pela sua eliminação. A depender da concentração plasmática, o magnésio pode ser reabsorvido pela alça de Henle, que representa seu principal mecanismo regulatório de excreção.

Diferentemente de outros íons, o magnésio não apresenta hormônios de contrarregulação para excreção renal, da mesma forma que o osso, sua principal fonte de reserva, não realiza troca com o magnésio circulante. O valor normal do magnésio gira ao redor de 1,4 a 2,5 mEq/L, sendo mantido nesta faixa por um mecanismo muito sensível de controle.

Um adulto normal pesando 70 kg contém de 21 a 28 g (aproximadamente 2.000 mEq) de magnésio, dos quais metade se encontra nos ossos e metade nos demais tecidos, principalmente no fígado e músculo estriado. O magnésio é o quarto cátion mais abundante do organismo e o segundo do intracelular.

Existe a mesma relação entre as concentrações intracelulares do K^+ e Na^+ (cátions monovalentes) e entre o Mg^{++} e o Ca^{++} (cátions bivalentes). A dieta normal fornece 25 mEq de magnésio, e os principais alimentos que o contêm são os vegetais verdes. Em

condições de carências de magnésio, os mecanismos renais conseguem restringir a perda urinária do elemento para apenas 1 mEq ao dia.

O magnésio é um ativador de vários sistemas enzimáticos críticos para o metabolismo celular, incluindo aqueles que tomam parte nas reações de síntese do ATP. Ele é requerido como cofator na fosforilação oxidativa, está envolvido na síntese proteica (RNA mensageiro e ribossomos) e contribui na estrutura macromolecular do DNA, do RNA e dos ribossomos. A enzima $\text{Na}^+ - \text{K}^+ - \text{ATPase}$, que mantém a concentração de potássio alta e a de sódio baixa no intracelular, também é ativada pelo magnésio.

DIAGNÓSTICO

O diagnóstico dos distúrbios do magnésio é feito pela análise dos níveis plasmáticos de magnésio. Também se faz necessária a avaliação da função renal por meio dos níveis séricos de ureia e creatinina.

HIPOMAGNESEMIA (MAGNÉSIO INFERIOR A 1,4 MEQ/L)

Principais Causas

Os principais mecanismos de hipomagnesemia são redistribuição compartimental (administração de glicose e aminoácidos intravenosos, realimentação do paciente desnutrido, correção da acidose em insuficiência renal, cetoacidose diabética tratada, pancreatite aguda, paratireoidectomia) perdas gastrointestinais (diarreia, vômitos, fístula biliar ou intestinal, enterite, síndrome de má absorção, ressecção intestinal extensa, tempo prolongado em sondagem nasogástrica em aspiração) e perdas renais (uso de diuréticos, diurese osmótica ou salina, hiperaldosteronismos primário e secundário, excesso de álcool etílico ou carboidrato, hipocaliemia, hipercalcemia, hipertireoidismo, nefropatia por aminoglicosídeos, glomerulonefrite, pielonefrite, hidronefrose, acidose tubular renal, nefropatia tubulointersticial familiar com hipocalemia, transplante renal). Pode ser causada ainda por fatores, como sudorese profusa, queimadura extensa, realização de

hemodiálise sem uso de magnésio, lactação excessiva, hiperparatireoidismo, neoplasia óssea maligna, alcoolismo.

Manifestações Clínicas

A sintomatologia costuma aparecer com concentrações séricas inferiores a 1 mEq/L, porém muitos pacientes são assintomáticos mesmo nesses níveis tão baixos. A hipomagnesemia leva à hiperexcitabilidade neuromuscular, às vezes acompanhada de distúrbios do comportamento.

Digno de nota é o aparecimento de tetania clinicamente impossível de distinguir daquela causada pela hipocalcemia, exceto que ela somente reverte ao normal com a administração de magnésio. É também frequente o aparecimento de convulsões generalizadas ou focais, ataxia, vertigem, fraqueza muscular, tremores, depressão, irritabilidade e comportamento psicótico. Todos esses distúrbios são revertidos com a administração do elemento em falta.

A depleção de magnésio aumenta a perda renal de potássio, a enzima $\text{Na}^{++}\text{-K}^{+}\text{-ATPase}$, que depende do magnésio, é inibida pelos digitálicos, e a depleção de magnésio aumenta a concentração de digoxina no miocárdio.

Assim, a hipomagnesemia e os digitálicos possuem efeitos aditivos, provocando a perda de potássio do músculo cardíaco e, como resultado, ela pode precipitar arritmias cardíacas, particularmente nos indivíduos digitalizados.

Essas arritmias caracterizam-se pela refratariedade parcial ou total ao tratamento usual, respondendo, entretanto, à administração de magnésio. Alguns autores não acreditam que a hipomagnesemia possa provocar arritmias no paciente digitalizado.

As alterações eletrocardiográficas, quais sejam depressão do segmento ST com achatamento ou inversão da onda T, também são reversíveis com a administração do cátion. A hipomagnesemia constitui-se em fator de risco para a aterosclerose e retinopatia diabética. Existem dados que suportam a hipótese de que a deficiência de magnésio está associada à morte súbita na moléstia isquêmica do coração por produzir espasmo de coronária. A

hipomagnesemia induz à supressão da glândula paratireoide, com consequente diminuição dos níveis circulantes de PTH.

Tratamento

O magnésio está indicado quando o quadro clínico sugestivo for confirmado por exame laboratorial ou quando uma tetania com pH normal não respondeu à administração de cálcio. A tetania, a convulsão generalizada e as síndromes relacionadas podem ser tratadas por via intravenosa com 4 mL de sulfato de magnésio a 50% (16 mEq) diluídos em 100 mL de soro fisiológico a 0,9% e infundidos em 10 min. Outra maneira é a administração de 20 mL de sulfato de magnésio a 10% a uma velocidade de 2 mL/min. Nas situações menos urgentes, podemos usar 0,5 mEq/Kg/24 h e, subsequentemente, 0,2 a 0,3 mEq/Kg/dia, dependendo da resposta clínica (1 comp. de sulfato de magnésio a 10% = 10 mL = 8 mEq).

Nas hipomagnesemias por perda intestinal ou renal são necessárias quantidades da ordem de 30-40 mEq/dia ou mais para se obter resultado terapêutico. Na cetoacidose diabética, a adição de 2,5 mEq de sulfato de magnésio por litro de solução previne o déficit do elemento. A adição de magnésio na alimentação parenteral na dose de 0,04 mEq/Kg/24 h já é suficiente para manter os níveis séricos do cátion. Alguns autores preconizam 0,25 mg/Kg/24 h. O efeito colateral mais temível do magnésio intravenoso é a depressão respiratória, que acontece com níveis séricos de 10-15 mEq/L.

É importante ressaltar que, antes da depressão respiratória, ocorre perda dos reflexos tendinosos. O sulfato de magnésio intravenoso é empregado no tratamento da toxemia gravídica para controlar convulsões, conseguindo-se um ótimo efeito sedativo com concentrações séricas de 4 a 7 mEq/L.

A injeção intravenosa de 2 g do sal (20 mL da solução a 10%) eleva os níveis séricos do normal até 4 mEq/L em minutos, caindo para 1 mEq/L após 1 a 2 h na ausência de insuficiência renal. As hipomagnesemias de grau moderado não necessitam de tratamento.

HIPERMAGNESEMIA (MAGNÉSIO SUPERIOR A 2,5 MEQ/L)

Principais Causas

A hipermagnesemia é um distúrbio incomum quando não associada à administração exagerada de magnésio (endovenoso, oral ou como um enema) e/ou comprometimento da função renal. Nos pacientes oncológicos a hipermagnesemia geralmente decorre de uma ingestão excessiva de magnésio na alimentação ou reposições em decorrência da hipomagnesemia causada pela quimioterapia. Mais raramente nesses pacientes pode estar associada à síndrome de lise tumoral, em que o íon magnésio é liberado das células.

Manifestações Clínicas

As manifestações clínicas tendem a ocorrer conforme os graus de hipermagnesemia. Geralmente os sintomas vão ocorrer quando o magnésio alcançar níveis plasmáticos a partir de 4,8 mg/dL e apresentar repercussões graves em níveis superiores a 7,2 mg/dL. ([Quadro 7-1](#))

Quadro 7-1. Manifestações Clínicas

Níveis séricos de Mg	Manifestações clínicas
4,8 a 7,2 mg/dL	<ul style="list-style-type: none">■ Náuseas e rubor■ Cefaleia, letargia e sonolência■ Diminuição de reflexos tendinosos profundos
7,2 a 12 mg/dL	<ul style="list-style-type: none">■ Sonolência■ Hipocalcemia■ Ausência de reflexos tendinosos profundos■ Hipotensão■ Bradicardia e alterações eletrocardiográficas (QRS alargado; prolongamento do

	intervalo QT e PR e anormalidades de condução)
> 12 mg/dL	<ul style="list-style-type: none"> ■ Paralisia muscular ■ Insuficiência respiratória evoluindo para parada cardiorrespiratória

Tratamento

A abordagem terapêutica dependerá da função renal, concentração sanguínea de magnésio e sintomatologia clínica.

■ Função renal normal:

- Interrupção de reposição com magnésio.
- Diuréticos de alça endovenoso (aumenta a excreção renal de magnésio):
 - ♦ *Furosemida 20 mg/2 mL: 0,5-1,0 mg/kg (40-80 mg), EV, até 4/4 h.*
- Hidratação endovenosa com SF a 0,9% (aumenta a excreção renal de magnésio e ajuda a manter o paciente euvolêmico).
- Cálcio endovenoso (antagonista da hipermagnesemia, geralmente indicado para paciente hipotensos e/ou apresentando arritmia cardíaca):
 - ♦ *Gluconato de cálcio 10% (1 g/10 mL): 10 mL + 100 mL SG a 5%, EV, em 5-10 minutos (se necessário, pode ser repetido após 10 min).*
- Diálise (indicada se falência dos tratamentos anteriores ou para qualquer caso ameaçador à vida - tratamento mais efetivo com correção do distúrbio em 4-6 horas).

Obs.: Pacientes com sintomas leves podem ser apenas observados enquanto se faz um controle laboratorial para avaliar o retorno do magnésio a níveis de normalidade.

■ Insuficiência renal:

- Hemodiálise ou diálise peritoneal.

LEITURAS SUGERIDAS

- Jaing TH, Hung IJ, Chung HT *et al.* Acute hypermagnesemia: A rare complication of antacid administration after bone marrow transplantation. *Clinica Chimica Acta* 2002;326(1-2):201-203.
- Lien JWK. Hypomagnesaemic hypocalcaemia in renal failure. *Br Med J* 1978;277:1400.
- Manzullo EF, Gonzalez CE, Escalante CP, Yeung SCJ (Eds.). Oncologic emergencies. v. 4. New York: Springer; 2016.
- Mcnair P, Christiansen C, Madsbad S *et al.* Hypomagnesemia, a risk factor in diabetic retinopathy. *Diabetes* 1978;27(11):1075-7.
- Miller PD, Krebs RA, Neal BJ, McIntyre DO. Hypomagnesemia. Suppression of secondary hyperparathyroidism in chronic renal failure. *JAMA* 1979;241(7):722-3.
- Sapolnik R. Suporte de terapia intensiva no paciente oncológico . *J Pediatr* (Rio de Janeiro) 2003;79(Supl.2):S231-S242.
- Yu ASL, Gupta A. Causes, symptoms, and treatment of hypermagnesemia. *UpToDate* 2018.

DISTÚRBIOS DO FÓSFORO

CAPÍTULO 8

Thiago Lacerda Ataides
Fernando Santos de Azevedo

INTRODUÇÃO

A concentração corporal total de fósforo em um adulto hígido é de aproximadamente 500-800 g, dos quais 80% estão presentes na forma de hidroxapatita, na matriz óssea, 10,9% nas vísceras, 9% no músculo esquelético e 0,1% no fluido extracelular.¹⁻³ O fósforo participa de funções celulares vitais, como produção de ATP e DNA, atua no processo de fosforilação, participa do tampão para manter o pH estável e ativa as principais etapas da cascata de coagulação, agregação plaquetária, atividades de coenzimas e formação de 2,3-difosfoglicerato (2,3-DPG).^{1,4,5}

A concentração plasmática normal de fósforo no organismo situa-se entre 2,5 e 4,5 mg/dL,^{4,6} e seus níveis são regulados pela ingestão dietética, absorção intestinal (jejuno), vitamina D, paratormônio (PTH), fosfatona (FGF23), função renal, equilíbrios acidobásico e eletrolítico (cálcio, magnésio e sódio) entre outras atividades fisiológicas.¹⁻⁵

A exata prevalência dos distúrbios do fósforo é desconhecida,¹ porém são relativamente frequentes na prática médica e podem ser observados em uma série de condições mórbidas, como alteração de função renal, distúrbios da paratireoide, tumores ou em consequência de tratamentos oncológicos.^{4,7}

HIPERFOSFATEMIA

Definição e Epidemiologia

É definida quando o fósforo sérico se encontra maior que 4,5 mg/dL. É um distúrbio relativamente comum em pacientes em terapia dialítica (cerca de 40 a 70% dos casos) e é encontrado em 2,5% dos pacientes oncológicos.^{1,6,8,9}

Fisiopatologia e Principais Causas

Dieta rica em fósforo, levando a aumento da absorção intestinal de fosfato, uso excessivo de laxativos ou enemas, contendo fósforo, com consequente sobrecarga renal de fosfato e intoxicação por vitamina D, com aumento de absorções renal e intestinal de fósforo podem causar hiperfosfatemia.^{1,5,6,8}

A liberação catastrófica de fosfato intracelular é relativamente comum em pacientes oncológicos e ocorre na síndrome de lise tumoral, rabdomiólise, hemólise, hipertermia, hipercatabolismo e leucemia aguda. Postula-se que a célula tumoral tenha até quatro vezes mais fosfato que uma célula normal, e sua ruptura causaria liberação excessiva de componentes intracelulares com consequente transtorno eletrolítico, sobrecarga renal e lesão renal aguda, decorrente de precipitação de fosfato de cálcio dentro dos túbulos renais, causando obstrução tubular e nefrocalcinose. Os *shifts* celulares rápidos em resposta à alcalose metabólica e/ou respiratória podem levar à hiperfosfatemia aguda.^{1,4-10} E, por último, lesão renal aguda ou doença renal crônica (queda da taxa de filtração glomerular menor que 20-25 mL/min), hipoparatiroidismo, diminuição da ação fosfatúrica do FGF23 e intoxicação pela vitamina D podem levar à hiperfosfatemia por aumento da reabsorção de fosfato pelo túbulo proximal.^{1,4,6,9}

A hiperfosfatemia aguda não promove alterações clínicas expressivas, a menos que o cálcio se precipite com fosfato e cause hipocalcemia.^{5,6} Os sinais e os sintomas estão presentes nos casos de hiperfosfatemia moderada à severa e incluem fraqueza muscular, convulsões e arritmias, como taquicardia ventricular polimórfica e *torsades de pointes* por prolongamento do intervalo Q-T.^{4,9,10} Outras

alterações eletrolíticas e acidobásicas associadas, como hipomagnesemia, hipernatremia e acidose metabólica, fazem parte do quadro laboratorial. A deposição metastática de sais de fosfato de cálcio nos tecido moles, coração, rim e vasculatura pode ser responsável pelo aparecimento das alterações clínicas da hiperfosfatemia/hipocalcemia.^{1,4,6}

Abordagem Diagnóstica

O diagnóstico é realizado por um inventário clínico e exames laboratoriais, incluindo ureia, creatinina, PTH, 25-OH-Vitamina D, sódio, potássio, fósforo, cálcio, ácido úrico, magnésio, gasometria arterial, EAS e DHL. Eletroforese e imunofixação de proteínas séricas e urinárias devem ser solicitadas para exclusão de gamopatias monoclonais, que podem cursar com pseudo-hiperfosfatemia.^{6,8}

Abordagem Terapêutica

O alvo do tratamento da hiperfosfatemia consiste na resolução da causa subjacente.^{6,10} Em pacientes com função renal intacta, o distúrbio se resolve dentro de 6 a 12 horas.¹

A restrição dietética pode ser suficiente para controle de hiperfosfatemia em pacientes com lesão renal aguda leve. Contudo, a adição por curtos períodos de quelantes de fósforo, como o hidróxido de alumínio, pode ser necessária, para inibir a absorção intestinal. Quelantes à base de cálcio, como acetato e carbonato de cálcio, não devem ser usados, se houver hipercalcemia concomitante. A infusão de soluções contendo cálcio pode ser realizada em caso de hipocalcemia sintomática, sendo sugerido o uso intravenoso de gluconato de cálcio a 10% (1.000 mg/10 mL) diluído em salina fisiológica a 0,9% 100 mL em 30 minutos.^{8,10-12}

A solução polarizante pode ser usada como método temporário para redução de fosfato, com glicose hipertônica a 50% 100 mL associados à insulina regular 10 unidades diluídas em salina fisiológica a 0,9% 100 mL, por via intravenosa em 30 minutos a cada 6 horas.⁷⁻⁹

Nos casos de síndrome de lise tumoral, expansão volêmica vigorosa com 4 a 6 litros/dia de solução isotônica pode ser necessária. Em pacientes com insuficiência cardíaca, doença renal crônica avançada ou lesão renal aguda oligúrica, contudo, a hidratação deve ser feita com parcimônia.^{5-8,11,13}

Nos casos de hiperfosfatemia severa ou refratária, hipocalcemia e prejuízo grave da função renal, pode ser necessário utilizar terapia renal substitutiva, e a hemodiálise costuma ser mais efetiva que a diálise peritoneal.^{1,4,7-11}

HIPOFOSFATEMIA

Definição e Epidemiologia

É definida como concentração de fósforo menor que 2,5 mg/dL. Pode ser classificada quanto ao grau de depleção em leve (2,0-2,5 mg/dL), moderada (1,0-2,0 mg/dL) ou severa (< 1,0 mg/dL) e, quanto à evolução temporal, em aguda ou crônica.^{1-3,6,7}

É um distúrbio raro, subdiagnosticado, ocorrendo em até 5% dos pacientes hospitalizados, 10% em etilistas e 70% dos internados em unidades de terapia intensiva sob ventilação mecânica.^{1-4,7} Pacientes com hipofosfatemia severa apresentam aumento do risco de mortalidade se comparados aos que apresentam diminuição leve à moderada dos níveis séricos de fósforo.⁴

Fisiopatologia e Principais Causas

Existem três mecanismos principais para desenvolvimento de hipofosfatemia. Primeiramente, pode ocorrer por inadequada ingestão ou baixa absorção intestinal. Ingestão menor do que 100 mg/dia, desnutrição nos pacientes etilistas crônicos, privação nutricional ou catabolismo exacerbado pela alta proliferação das células tumorais, diarreia crônica, ingestão de antiácidos, contendo magnésio ou alumínio, que formam sais não absorvíveis, podem causar depleção das reservas de fosfato no organismo.^{1-6,14} O segundo mecanismo são as perdas renais por aumento da excreção urinária. O fósforo é reabsorvido em torno de 70-80% pelo túbulo contorcido proximal (TCP) e 10-20% pelo túbulo contorcido distal (TCD). Patologias que

alteram a reabsorção proximal causam prejuízo na função tubular, levando à perda urinária de fosfato que seria reabsorvido pelo TCP, como observado na síndrome de Fanconi adquirida. Alguns medicamentos vastamente utilizados pela onco-hematologia também causam prejuízo na reabsorção proximal de fosfato, incluindo cisplatina, ifosfamida, 6-mercaptopurina, tenofovir e fator estimulador de colônia granulocítica. Hiperparatireoidismo primário ou secundário levam à perda urinária de fosfato por inibição do cotransportador de sódio-fosfato pelo PTH. Nos transplantados renais, o mecanismo é similar ao descrito anteriormente, porém, sem distúrbio de paratireoide subjacente. A secreção tumoral de FGF23 também pode ser responsável pela inibição dos cotransportadores de fosfato com consequente hipofosfatemia.^{1,3-6,14}

O terceiro mecanismo aborda as causas de redistribuição interna do íon fosfato, conhecido como *shift* celular. As causas mais frequentes são a administração de glicose com concomitante liberação endógena de insulina, administração de insulina na solução polarizante (utilizada na correção de hipercalemia) ou no manejo de cetoacidose diabética e hiperglicemia não cetótica. A síndrome de realimentação, que ocorre em pacientes desnutridos, aumenta o influxo de fosfato para o meio intracelular, pelo mesmo mecanismo citado anteriormente. A síndrome de fome óssea caracterizada por deposição maciça de cálcio e fosfato no osso, após paratireoidectomia decorrente de um hiperparatireoidismo crônico, também gera depleção de fósforo no sangue. A alta captação de fosfato decorrente do aumento do *turnover* celular, durante uma crise blástica, em pacientes com malignidades hematológicas e durante reconstituição hematopoiética depois de um transplante alogênico de células-tronco, também são possíveis causas de hipofosfatemia.^{1,3-6,8,14}

A hipofosfatemia pode ser assintomática em situações de depleção transitória, como as causas de *shift* para o meio intracelular.³ Os sinais e sintomas são somente vistos em redução moderada à severa e podem afetar diferentes órgãos por diminuição do ATP intracelular e da 2,3-DPG.^{1,3,4,6} No sistema

musculoesquelético ocorrem dor óssea, miopatia proximal, desmineralização óssea e rabdomiólise subclínica de etiologia multifatorial, por associação da depleção de fosfato e lesão muscular direta pelo álcool; no sistema cardiovascular, pode haver prejuízo na contratilidade do miocárdio e maior índice de arritmias; no sistema respiratório, foi documentada falha no desmame da ventilação mecânica por depressão da contratilidade do diafragma; no sistema neurológico, podem ocorrer parestesias, tremores, distúrbios neuropsiquiátricos, convulsões, coma, neuropatia severa, síndrome de Guillain-Barré e encefalopatia de Wernick; no sistema hematológico, hemólise pela redução do ATP, prejuízo da quimiotaxia de granulócitos e fagócitos, aumentando a incidência de sepse por Gram-negativos e redução da função plaquetária.^{1,3}

Abordagem Diagnóstica

O diagnóstico é realizado por uma abordagem ampla com exame clínico e testes laboratoriais, incluindo dosagem de eletrólitos (sódio, potássio, magnésio, fósforo e cálcio), PTH, 25-OH-Vitamina D, ureia, creatinina, EAS, gasometria arterial, ácido úrico, glicose, albumina e fosfatúria em urina de 24 horas.^{4,8,15}

Abordagem Terapêutica

Pacientes com hipofosfatemia assintomática não necessariamente precisam de tratamento. A identificação e o tratamento da causa de base levam à normalização do fósforo no plasma.^{1,3}

A terapia de reposição é necessária, quando a perda de fósforo é moderada à severa ou na presença de fatores de risco, como alcoolismo ou desnutrição.⁶

A suplementação oral de fosfato é preferível, já que o fosfato intravenoso é potencialmente perigoso em mãos inábeis, podendo aumentar o produto cálcio-fósforo, resultando em diminuição do cálcio ionizado, lesão renal aguda, arritmias potencialmente fatais e calcificação metastática.^{1,6} Um método simples e barato é a suplementação por cápsulas de fosfato de potássio ou fosfato de sódio. Dose diária total é calculada com base no peso do paciente e no grau de depleção (15 mg/kg/dia, no máximo 3 g/dia). Sugere-se a

administração de cápsulas de fosfato de sódio/potássio 250 mg, 4 vezes ao dia por 7 a 10 dias, no intuito de repor os estoques corporais. A dose diária pode ser dividida em quatro tomadas para evitar efeitos colaterais indesejáveis, como náuseas, vômitos e diarreia.^{1-5,8}

Nos pacientes intolerantes à reposição oral ou com hipofosfatemia severa potencialmente fatal, a administração pode ser realizada via intravenosa. A solução geralmente mais apropriada é a de fosfato de potássio (1,1 mmol/mL de fosfato), ampolas de 10 mL. Existem vários regimes intravenosos descritos, sendo aceitável a reposição de 4,5 mmol/h de fosfato por 3 horas, atingindo até 90 mmol em 24 horas.^{2,4} Outro esquema existente é com base no peso corporal, usando a dose de 0,08 mmol/kg a 0,16 mmol/kg em 6 horas, dependendo da severidade da hipofosfatemia, conforme demonstrado no [Quadro 8-1](#).¹⁻⁴

O objetivo da reposição parenteral é atingir níveis séricos de fósforo > 2 mg/dL, antes da conversão para via oral.² O fosfato deve ser administrado preferencialmente em soluções salinas, com velocidade de infusão de 1 a 3 mmol/h, porém, como citado anteriormente, existem esquemas que permitem até 4,5 mmol/h em 3 horas, respeitando a dose máxima de 90 mmol em 24 horas.⁶ Após 6 horas de início da infusão, checar obrigatoriamente sódio, cálcio, magnésio, potássio e fosfato. Os possíveis efeitos colaterais são hipocalcemia, calcificação metastática, hipercalemia, sobrecarga hídrica, hipernatremia, acidose metabólica e hiperfosfatemia.¹⁻³

Quadro 8-1. Método Descritivo de Infusão de Fosfato de Potássio

1 ampola de fosfato de potássio (10 mL): <ul style="list-style-type: none">■ 2 mEq/mL de potássio■ 2 mEq/mL de fósforo■ 1,1 mmol/mL de fósforo	Considerando a dose de 0,16 mmol/kg <p>Para adulto de 70 kg, 11,2 mmol/6 horas → 10 mL em 6 horas</p> <p>Diluição: 10 mL de fosfato de potássio para cada litro de</p>
---------------------------------------------------------------------------------------------------------------------------------------------------------------------------------------	-------------------------------------------------------------------------------------------------------------------------------------------------------------------------------

REFERÊNCIAS BIBLIOGRÁFICAS

1. Xing XS, Yamaguchi DT, Weintraub NT. A synopsis of phosphate disorders in the nursing home. *J Am Med Dir Assoc* 2010;11(7):468-474.
2. Miller DW, Slovis CM. Hypophosphatemia in the emergency department therapeutics. *Am J Emerg Med* 2000;18(4):457-461.
3. Gaasbeek A, Meinders AE. Hypophosphatemia: an update on its etiology and treatment. *Am J Med* 2005;118(10):1094-1101.
4. Shiber JR, Mattu A. Serum phosphate abnormalities in the emergency department. *J Emerg Med* 2002;23(4):395-400.
5. Moe SM. Disorders involving calcium, phosphorus, and magnesium. *Prim Care* 2008;35(2):215-237, v-vi.
6. Chang WT, Radin B, McCurdy MT. Calcium, magnesium, and phosphate abnormalities in the emergency department. *Emerg Med Clin North Am* 2014;32(2):349-366.
7. Thomas Jr CR, Dodhia N. Common emergencies in cancer medicine: metabolic syndromes. *J Natl Med Assoc* 1991;83(9):809-818.
8. Yeung SCJ, Liu W. Metabolic and Endocrine Oncologic Emergencies. In: Manzullo EF, Gonzalez CE, Escalante CP, Yeung SCJ (Eds.). *The MD Anderson Cancer Care Series: Oncologic Emergencies*. Springer Science+Business Media. New York; 2016. p. 21-54.
9. Wagner J, Arora S. Oncologic metabolic emergencies. *Emerg Med Clin North Am* 2014;32(3):509-525.
10. Pi J, Kang Y, Smith M *et al*. A review in the treatment of oncologic emergencies. *J Oncol Pharm Pract* 2016;22(4):625-638.
11. Namendys-Silva SA, Arredondo-Armenta JM, Plata-Menchaca EP *et al*. Tumor lysis syndrome in the emergency department: challenges and solutions. *Open Access Emerg Med* 2015;7:39-44.
12. Lewis MA, Hendrickson AW, Moynihan TJ. Oncologic emergencies: Pathophysiology, presentation, diagnosis, and

treatment. *CA Cancer J Clin* 2011;61(5):287-314.

13. Tallo FS, Vendrame LS, Lopes RD, Lopes AC. Síndrome da lise tumoral: uma revisão para o clínico. *Rev Bras Clin Med* 2013;11(2):150-154.
14. Salomon O, Holtzman EJ, Beckerman P *et al*. Hyperphosphatemia during spontaneous tumor lysis syndrome culminate in severe hypophosphatemia at the time of blast crisis of Phneg CML to acute myelomonocytic leukemia. *Exp Hematol Oncol* 2012;1(1):24.
15. Assadi F. Hypophosphatemia: An Evidence-based Problem-Solving Approach to Clinical Cases. *Iranian J Kidney Dis* 2010;4(3):195-201.

INSUFICIÊNCIA RENAL AGUDA E DIÁLISE NO PACIENTE COM CÂNCER

CAPÍTULO 9

Leandro Junior Lucca
Lia Conrado Galvão
Marcos Rodrigues Alves
Rodrigo Enokibara Beltrame

DEFINIÇÕES, EPIDEMIOLOGIA E FISIOPATOLOGIA

A sobrevida da população tem aumentado em todo o mundo, levando ao aumento das doenças crônico-degenerativas.

O câncer continua sendo a segunda causa de morte nos Estados Unidos da América (EUA)^{1,2} e no Brasil,³ tanto em homens quanto em mulheres.

As taxas de sobrevivência de pacientes com câncer vêm melhorando ao longo do tempo, permitindo um aumento do número de pacientes que desenvolveram ou desenvolverão uma doença renal associada à malignidade ou ao seu tratamento.

Entre os pacientes com câncer, a lesão renal aguda (LRA), doença renal crônica (DRC), proteinúria, síndrome nefrótica e distúrbios eletrolíticos são as doenças renais mais frequentes.

A LRA é comum em pacientes com neoplasias de alto grau recentemente diagnosticadas e está associada a menores taxas de remissão, aumento da mortalidade, tempo de internação hospitalar e custo.⁴

Segundo o KDIGO (*Kidney Disease: Improving Global Outcomes*), a LRA é caracterizada clinicamente por aumento igual ou superior a 0,3 mg/dL da creatinina sérica, em 48 horas, ou de 1,5 vez em relação ao nível basal (conhecido ou preestabelecido), ou ainda por um fluxo urinário menor que 0,5 mL/kg/h por 6 horas.⁵

Em um estudo Canadense, entre 2007 e 2014, com pacientes submetidos ao tratamento de câncer, 1 em cada 10 sofreu hospitalização ou recebeu diálise por LRA. A incidência anual de LRA aumentou de 18 para 52 por 1.000 pessoas-ano durante o período do estudo. As neoplasias malignas com a maior incidência em 5 anos de LRA foram mieloma múltiplo (26%), câncer de bexiga (19%), leucemia (15%) e câncer renal (14%). O estágio avançado do câncer, a doença renal crônica (DRC) e o diabetes foram associados a um aumento do risco de LRA, que foi acentuado durante o período de 90 dias após a terapia sistêmica.⁶

Em pacientes portadores de câncer, conforme Christiansen *et al.*, o risco em um e cinco anos para desenvolver a LRA, definida por um aumento de 50% na creatinina sérica em comparação a uma creatinina sérica basal medida dentro de um ano do diagnóstico do mesmo, foi de 17,5 e 27%, respectivamente. O risco de LRA foi maior em pacientes com câncer renal (44%), câncer de fígado (33%) e mieloma múltiplo (32%). A terapia de substituição renal (TSR) foi necessária em 5,1% dos pacientes no primeiro ano do início do câncer, e os riscos foram maiores entre os pacientes com metástases a distância no diagnóstico do mesmo.⁷

O risco de LRA é maior em certos grupos de pacientes com câncer, particularmente nos gravemente enfermos,⁸ naqueles com neoplasias hematológicas em tratamento,⁹ nos submetidos a transplante de células hematopoiéticas e nos submetidos à nefrectomia por carcinoma de células renais.⁹

A mortalidade de pacientes com câncer tem-se mostrado maior, particularmente naqueles que necessitam de TRS por LRA.^{8,9} No

estudo brasileiro de Liborio *et al.*,⁸ na Unidade de Tratamento Intensivo (UTI) oncológica, a mortalidade conforme os critérios de RIFLE, R = risco, I = injúria e F = falência foi de 49, 62 e 87%, respectivamente, em comparação a 14% naqueles sem LRA.

A LRA é uma das alterações fisiopatológicas mais frequentes e graves em pacientes hospitalizados, sendo que 20 a 40% destes encontram-se em UTI.¹⁰

Classicamente a LRA é definida como pré-renal, renal e pós-renal. Atualmente, a classificação é com base mais no contexto clínico (inserindo-a como parte de uma síndrome) e, deste modo, com aspecto mais prático e mais passível à intervenção, envolvendo-a em um processo de cuidados que incluem a estabilização hemodinâmica, ajuste de drogas para a função renal, nutrição, uso de diuréticos e a tomada de decisão do melhor tempo para o início da diálise.

O uso de quimioterápicos anticânceres requer a constante avaliação da função renal, visando ao ajuste de dose e a monitorização das terapias em curso em busca de evidências de nefrotoxicidade. É importante salientar que a avaliação da função renal entre pacientes com câncer é semelhante àquela em pacientes sem câncer.

A utilização de fórmulas para a estimativa da taxa de filtração glomerular (Cockcroft-Gault, MDRD [*Modification of Diet in Renal Disease*]¹¹ e CKD-EPI [*CKD-Epidemiology Collaboration*]^{11,12}) é preconizada à beira do leito em vista da rapidez de resultados, e a medida do *clearance* de creatinina deve ser reservada quando se necessita de um dado elaborado e/ou quando é possível aguardar a coleta e processamento dos materiais biológicos e medidas antropométricas necessárias para o cálculo.

Ser portador de câncer não deve ser um critério absoluto de exclusão para a indicação de TRS. A tomada de decisão para a instituição da mesma é sempre difícil para o Nefrologista. A gravidade geral da doença, a idade e o estado funcional devem ser considerados como os principais fatores para a definição do prognóstico e indicação de TRS nestes pacientes.

A fisiopatologia é discutida a seguir, uma vez que a classificação da LRA em pré-renal, renal (intrínseca) e pós-renal é com base na

etiologia das mesmas, desenvolvendo a fisiopatologia dentro da síndrome clínica.

PRINCIPAIS CAUSAS DE LRA E DIAGNÓSTICOS DIFERENCIAIS NO PACIENTE COM CÂNCER

O [Quadro 9-1](#) demonstra as etiologias conhecidas da LRA no paciente com câncer e contempla a fisiopatologia de forma resumida.

Quadro 9-1. Etiologia e Fisiopatologia da LRA

(A) Causas Pré-Renais

Depleção de volume

- Redução da ingestão oral
- Perdas gastrointestinais (diarreia, vômitos, drenos, sondas)
- Uso de diuréticos

Septicemia

Complexa e intensa resposta inflamatória sistêmica causada pela relação entre antígenos microbianos e componentes do sistema imune inato, levando a oscilações hemodinâmicas, como hipotensão e redução do fluxo sanguíneo renal (FSR), induzindo a isquemia renal e hipóxia tecidual com declínio da taxa de filtração glomerular (TFG);¹² expressão de espécies reativas de oxigênio (EROs) interferindo na cascata de sinalização celular com efeitos deletérios sobre as células do endotélio e epitélio renal, como a lesão oxidativa, caracterizada pela peroxidação lipídica da membrana celular, a oxidação de proteínas e a lesão no DNA^{12,13}

Hipercalecemias

A hipercalecemia se manifesta principalmente por inabilidade de concentração urinária no túbulo distal, calculose urinária, insuficiência renal aguda e crônica. O desenvolvimento da insuficiência renal em pacientes com hipercalecemia depende da gravidade e da duração da mesma. Hipercalecemia leve ($\text{CaT} < 12$

mg/dL [< 3 mmol/L]) raramente leva à insuficiência renal; hipercalcemia moderada (12-15 mg/dL [$3,0$ - $3,75$ mmol/L]) pode levar a uma queda reversível na taxa de filtração glomerular que é mediada pela vasoconstrição renal direta e pela contração do volume induzida pela natriurese;^{14,15} hipercalcemia grave (CaT > 15 mg/dL [$> 3,75$ mmol/L]) de longa duração e hipercalcúria podem levar à calcificação, degeneração e necrose das células tubulares e eventual atrofia tubular e fibrose intersticial e calcificação (nefrocalcinose)¹⁶

Medicamentos

- Contraste iodado (necrose tubular aguda [NTA] decorrente do uso de contraste iodado é descrita como secundária à vasoconstrição renal resultando em hipóxia medular, possivelmente mediada por efeitos de viscosidade e por alterações no óxido nítrico, endotelina e/ou adenosina, ou por efeito direto citotóxico em células tubulares, sendo que esta pode ser exacerbada pela vasoconstrição renal.¹⁷)
- Diuréticos (depleção de volume).
- IECA e BRA (um bloqueio da resposta à angiotensina II na arteríola eferente [pós-glomerular] com um inibidor da ECA ou BRA, pode relaxar a mesma, reduzir a pressão intraglomerular e reduzir a TFG. Pacientes com perda aguda de volume decorrente de vômitos e/ou diarreia e abuso de diuréticos podem ser particularmente suscetíveis).
- AINE (Fatores de risco para LRA induzida por AINE incluem a DRC; depleção de volume por diurese agressiva, vômitos ou diarreia, depleção de volume arterial efetivo decorrente de insuficiência cardíaca, síndrome nefrótica ou cirrose e hipercalcemia grave. Certos medicamentos, incluindo diuréticos e IECA ou BRA, podem aumentar o risco de LRA induzida por AINE.¹⁸ A inibição das enzimas ciclo-oxigenase (COX) com subsequente redução na síntese de prostaglandina (PG) pode levar à isquemia renal reversível e um declínio na pressão hidráulica glomerular e a LRA.¹⁹

Síndrome da obstrução sinusoidal hepática (doença veno-

oclusiva)

(B) Causas renais (intrínsecas)

Vasculares

- Microangiopatia trombótica (associada ao câncer primário ou, mais provavelmente, a esquemas terapêuticos, como a gencitabina ou inibidores do fator de crescimento endotelial vascular (VEGF),²⁰ uso de inibidores de calcineurina e pode coexistir com doença do enxerto *versus* hospedeiro (DECH) e nefropatia por radiação.²¹

Glomerulares

Relatos de casos isolados em pacientes com tumores sólidos e linfomas.

- Glomerulonefrite proliferativa associada à gamopatia monoclonal (elevada produção e filtração de cadeias leves, levando à lesão tubular e formação de cilindros com consequente obstrução tubular)
- Glomerulonefrite rapidamente progressiva e membranoproliferativa (secundárias a tumores sólidos e linfomas)

Túbulo-intersticiais

- Nefrite intersticial aguda (NIA)
- Necrose tubular aguda (NTA)
- Nefropatia de cadeias leves (elevada produção e filtração de cadeias leves, levando à lesão tubular e formação de cilindros com consequente obstrução tubular)
- Lisozimúria (enzima produzida por leucemias e absorvida pelos túbulos proximais levando à toxicidade aos mesmos)
- Agentes nefrotóxicos anticânceres. (A nefrotoxicidade induzida por drogas é uma causa significativa de LRA em pacientes com câncer tratados com agentes quimioterápicos convencionais, terapias direcionadas e imunoterapias)
- Tumores infiltrativos dos rins
- Síndrome de lise tumoral (SLT)

(C) Causas Pós-renal

Uropatia obstrutiva

Fibrose retroperitoneal (obstrução do trato urinário)

ECA: enzima conversora da angiotensina; IECA: inibidor da enzima conversora da angiotensina; BRA: bloqueador de receptor de angiotensina; AINE: anti-inflamatório não esteroide.

ABORDAGEM DIAGNÓSTICA

O diagnóstico da LRA é atualmente fundamentado em três propostas descritas no [Quadro 9-2](#). Akin²³ e Kdigo⁵ são utilizados tanto para diagnóstico, como para estadiamento, já Rifle²² prevê uma definição graduada da LRA que está implícita no critério de estadiamento. Todas contemplam a gravidade da lesão e o prognóstico, entretanto, não predizem mortalidade.

Na [Figura 9-1](#) pode-se observar um algoritmo de diagnóstico da LRA.

ABORDAGEM TERAPÊUTICA

As medidas clínicas de prevenção/tratamento, que devem ser instituídas em caso de LRA, podem ser observadas no [Quadro 9-3](#).

O [Quadro 9-4](#) evidencia as indicações formais para indicação de TRS.

Quadro 9-2. Abordagem diagnóstica baseado em critérios RIFLE, AKIN e KDIGO

	RIFLE ²²	AKIN ²³	KDIGO ⁵
Critério de Diagnóstico			
		<p>↑ CrS > 0,3 mg/dL ou > 50% em 48 h</p> <p>OU</p> <p>Débito urinário < 0,5 mL/kg/h p/ > 6 h</p>	<p>↑ CrS > 0,3 mg/dL em 48 h ou > 50% em 7 dias</p> <p>OU</p> <p>Débito urinário < 0,5 mL/kg/h p/ > 6 h</p>
Critério de Estadiamento			
Risco (RIFLE) OU Estádio 1 (AKIN/KDIGO)	<p>↑ CrS 50-99%</p> <p>OU</p> <p>Débito urinário: < 0,5 mL/kg/h p/ > 6-12 h</p>	<p>↑ CrS > 0,3 mg/dL ou 50-100%</p> <p>OU</p> <p>Débito urinário: < 0,5 mL/kg/h p/ > 6-12 h</p>	<p>↑ CrS > 0,3 mg/dL ou 50-99%</p> <p>OU</p> <p>Débito urinário: < 0,5 mL/kg/h p/ > 6-12 h</p>
Injúria (RIFLE) OU Estádio 2 (AKIN/KDIGO)	<p>↑ CrS 100-199%</p> <p>OU</p> <p>Débito urinário: < 0,5 mL/kg/h p/ > 12-24 h</p>	<p>↑ CrS 100-200%</p> <p>OU</p> <p>Débito urinário: < 0,5 mL/kg/h p/ > 12-24 h</p>	<p>↑ CrS 100-199%</p> <p>OU</p> <p>Débito urinário < 0,5 mL/kg/h p/ > 12-24 h</p>
Falência (RIFLE) OU Estádio 3 (AKIN/KDIGO)	<p>↑ CrS > 200%</p> <p>OU</p> <p>↑ CrS > 0,5 a > 4,0 mg/dL</p> <p>OU</p> <p>Débito urinário: 0,3 mL/kg/h p/ > 24 h ou anúria > 12 h</p> <p>OU</p> <p>Início da TRS</p>	<p>↑ CrS > 200%</p> <p>OU</p> <p>↑ CrS > 0,5 a ≥ 4,0 mg/dL</p> <p>OU</p> <p>Débito urinário: 0,3 mL/kg/h p/ > 24 h ou anúria > 12 h</p> <p>OU</p> <p>Início da TRS</p>	<p>↑ CrS > 200%</p> <p>OU</p> <p>↑ CrS ≥ 0,3 a ≥ 4 mg/dL</p> <p>OU</p> <p>Débito urinário: 0,3 mL/kg/h p/ ≥ 24 h ou anúria ≥ 12 h</p> <p>OU</p> <p>Início da TRS</p>
Lesão (RIFLE)	TRS por + 4 semanas		
Estádio final (RIFLE)	TRS por + 3 meses		

RIFLE: *risk, injury, failure, loss, end stage renal disease*; AKIN: *acute kidney injury network*; KDIGO: *kidney disease improve global outcomes*; CrS: creatinina sérica; TRS: terapia de substituição renal. Modificado de Fatehi P & Hsu CY.²⁴

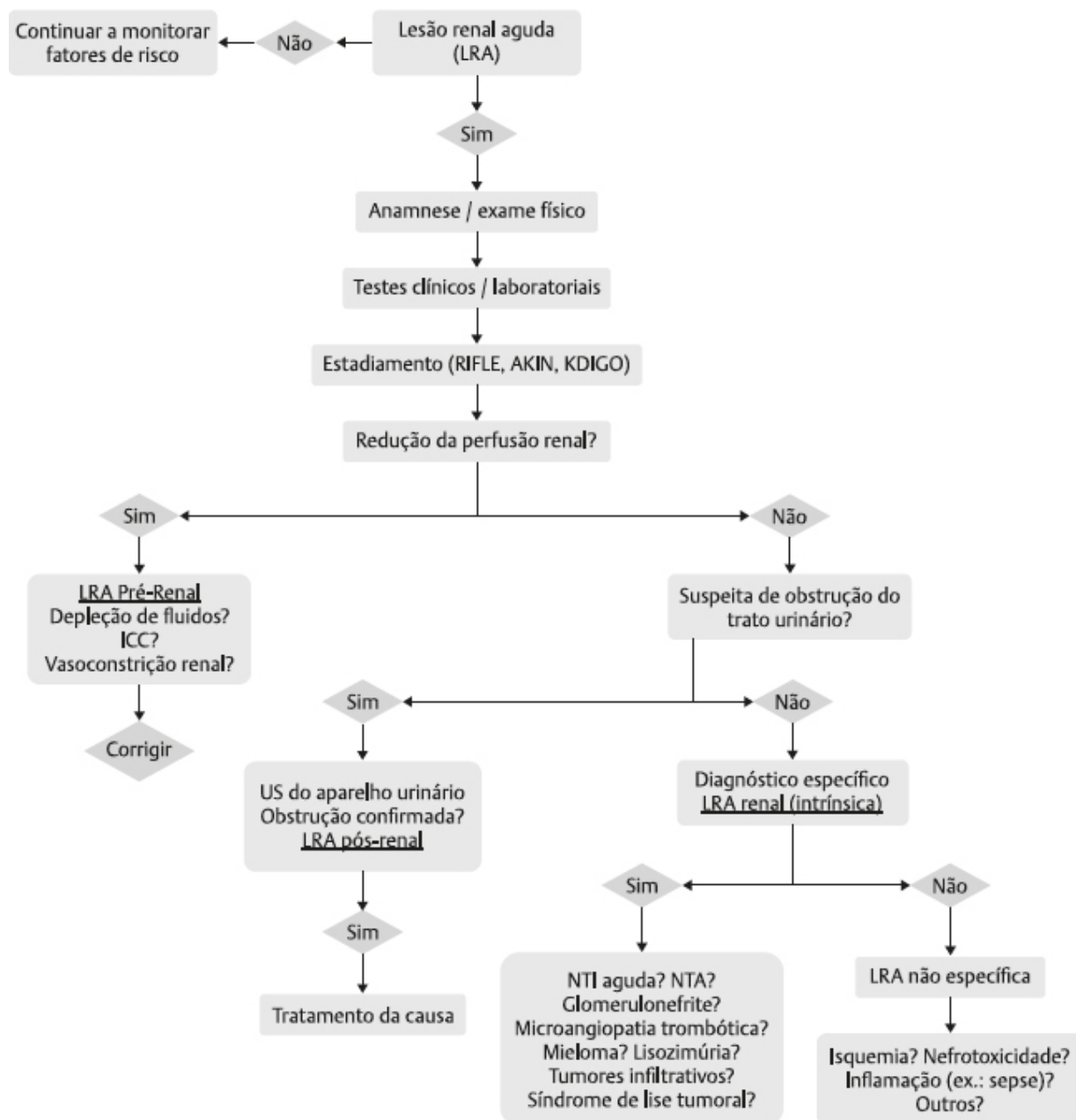


Fig. 9-1. Algoritmo de diagnóstico da Lesão Renal Aguda (LRA). *RIFLE*: risk, injury, failure, loss, end stage renal disease; *AKIN*: acute kidney injury network; *KDIGO*: kidney disease improve global outcomes; *ICC*: insuficiência cardíaca congestiva; *US*: ultrassonografia; *NTI*: nefrite túbulo-intersticial; *NTA*: necrose tubular aguda.

Quadro 9-3. Medidas Clínicas para a Prevenção e Tratamento da LRA

Pacientes de alto risco	Rifle "R" / AKIN 1 / KDIGO 1	Rifle "I" / AKIN 2 / KDIGO 2	Rifle "F" / AKIN 3 / KDIGO 3
Descontinuar ou não utilizar agentes nefrotóxicos			
Otimizar volemia e perfusão tecidual			
Considerar monitorização hemodinâmica e funcional			
Monitorizar creatinina sérica e débito urinário			
Evitar hiperglicemia			
Considerar procedimentos alternativos ao uso de radiocontrast			
Realizar monitorização não invasiva			
Considerar monitorização e tratamento invasivo			
Adequar as drogas para o nível de função renal			
Considerar Terapia Renal de Substituição (TRS)			
Considerar admissão em Unidade de Tratamento Intensivo (UTI)			
Evitar cateteres em veia subclávia			

Quadro 9-4. Indicações Formais para Indicação de TRS

Sobrecarga de volume não responsiva a diuréticos
Acidose metabólica refratária (pH persistentemente < 7,1)
Hipercalemia refratária (K persistentemente > 6,5 mEq/L) ou de elevação rápida
Sinais de uremia (encefalopatia, serosites, neuropatias, etc.)
Intoxicação por drogas ou álcool

O algoritmo apresentado na [Figura 9-2](#) ajuda a definir o tipo de TRS a ser instituída.

O [Quadro 9-5](#) nos ajuda a definir as indicações de cada método dialítico, bem como suas vantagens e desvantagens.

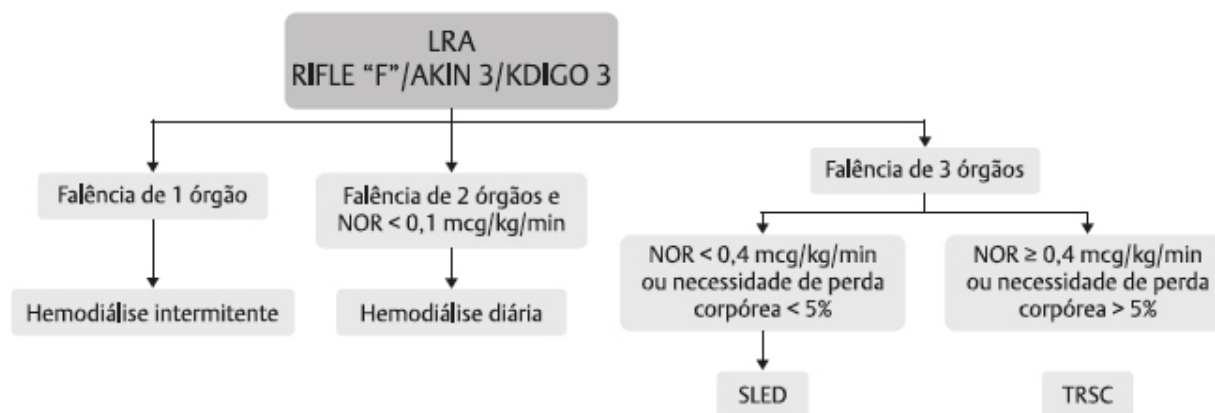


Fig. 9-2. Algoritmo para escolha da modalidade dialítica. *LRA: lesão renal aguda; NOR: noradrenalina; SLED: diálise estendida de baixa eficiência; TRSC: terapia renal de substituição contínua.*

Quadro 9-5. Indicações, Vantagens e Desvantagens dos Métodos Dialíticos

Modalidade	Indicações	Vantagens	Desvantagens
HDI	<ul style="list-style-type: none"> Estabilidade hemodinâmica 	<ul style="list-style-type: none"> Rápida remoção de toxinas de baixo peso molecular Menor exposição do paciente à anticoagulação Baixo custo 	<ul style="list-style-type: none"> Menor eficiência dialítica
SLED	<ul style="list-style-type: none"> Instabilidade hemodinâmica (Noradrenalina 0,02-0,5 mcg/Kg/h) 	<ul style="list-style-type: none"> Menor risco de síndrome do desequilíbrio Retirada lenta de toxinas e de volume Baixo custo 	<ul style="list-style-type: none"> Menor eficiência dialítica
TRSC	<ul style="list-style-type: none"> Instabilidade hemodinâmica grave (Noradrenalina > 0,5 mcg/Kg/h) Pacientes com hipertensão intracraniana 	<ul style="list-style-type: none"> Contínua remoção de toxinas Fácil controle do balanço hídrico e retirada de grandes volumes Menor risco de hipotensão 	<ul style="list-style-type: none"> Custo elevado Requer equipe especializada
DP	<ul style="list-style-type: none"> Instabilidade hemodinâmica Coagulopatia Dificuldade de acesso vascular Crianças 	<ul style="list-style-type: none"> Tecnicamente simples Menor risco de instabilidade hemodinâmica Não necessita de anticoagulação 	<ul style="list-style-type: none"> Baixa eficiência dialítica

HDI: hemodiálise intermitente; SLED: diálise estendida de baixa eficiência; TRSC: terapia renal de substituição contínua; DP: diálise peritoneal.

REFERÊNCIAS BIBLIOGRÁFICAS

- 1.Center for Disease Control and Prevention (CDC). Leading Causes of Death (LCOD) in Males United States, 2015 (current

- listing). Acessado em 05/12/2018. Disponível em: <https://www.cdc.gov/healthequity/lcod/men/2015/index.htm>
2. Center for Disease Control and Prevention (CDC). Leading Causes of Death (LCOD) in Females United States, 2015 (current listing). Acessado em 05/12/2018. Disponível em: <https://www.cdc.gov/women/lcod/2015/index.htm>
 3. Ministério da Saúde. RIPSa – Rede Interagencial de Informações para a Saúde. Indicadores e Dados Básicos – Brasil, 2012 IDB-2012: Taxa de incidência de neoplasias malignas. Acessado em 05/12/2018. Disponível em: <http://tabnet.datasus.gov.br/cgi/idb2012/d05.htm>
 4. Canet E, Zafrani L, Lambert J *et al.* Acute kidney injury in patients with newly diagnosed high-grade hematological malignancies: impact on remission and survival. *PLoS One* 2013;8(2):e55870.
 5. Kidney Disease Improving Global Outcomes (KDIGO) - Acute Kidney Injury Work Group. KDIGO Clinical Practice Guidelines for Acute Kidney Injury. *Kidney Int Suppl* 2012;2(Suppl1):1-138.
 6. Kitchlu A, McArthur E, Amir E *et al.* Acute Kidney Injury in Patients Receiving Systemic Treatment for Cancer: A Population-Based Cohort Study. *J Natl Cancer Inst* 2018; in press. PMID 30423160.
 7. Christiansen CF, Johansen MB, Langeberg WJ *et al.* Incidence of acute kidney injury in cancer patients: a Danish population-based cohort study. *Eur J Intern Med* 2011;22(4):399-406.
 8. Libório AB, Abreu KL, Silva GB Jr *et al.* Predicting hospital mortality in critically ill cancer patients according to acute kidney injury severity. *Oncology* 2011;80(3-4):160-6.
 9. Lahoti A, Kantarjian H, Salahudeen AK *et al.* Predictors and outcome of acute kidney injury in patients with acute myelogenous leukemia or high-risk myelodysplastic syndrome. *Cancer* 2010;116(17):4063-8.
 10. Case J, Khan S, Khalid R, Khan A. Epidemiology of acute kidney injury in the intensive care unit. *Crit Care Res Pract* [Internet] 2013. Acessado em 05/12/2018. Disponível em: https://www.ncbi.nlm.nih.gov/pmc/articles/PMC3618922/pdf/CCR_P2013-479730.pdf

11. Matsushita K, Selvin E, Bash LD *et al.* Risk implications of the new CKD Epidemiology Collaboration (CKD-EPI) equation compared with the MDRD Study equation for estimated GFR: the Atherosclerosis Risk in Communities (ARIC) Study. *Am J Kidney Dis* 2010;55(4):648-659.
12. Levey AS, Stevens LA. Estimating GFR using the CKD Epidemiology Collaboration (CKD-EPI) creatinine equation: more accurate GFR estimates, lower CKD prevalence estimates, and better risk predictions. *Am J Kidney Dis* 2010;55(4):622-627.
13. Bellomo R, Kellum JA, Ronco C *et al.* Acute kidney injury in sepsis. *Intensive Care Med* 2017;43(6):816-28.
14. Levi M, Ellis MA, Berl T. Control of renal hemodynamics and glomerular filtration rate in chronic hypercalcemia. Role of prostaglandins, renin-angiotensin system, and calcium. *J Clin Invest* 1983;71(6):1624-32.
15. Lins LE. Reversible renal failure caused by hypercalcemia. A retrospective study. *Acta Med Scand* 1978;203(4):309-14.
16. Peacock M. Primary hyperparathyroidism and the kidney: biochemical and clinical spectrum. *J Bone Miner Res* 2002;17 Suppl 2:N87-94.
17. Heyman SN, Rosenberger C, Rosen S. Regional alterations in renal haemodynamics and oxygenation: a role in contrast medium-induced nephropathy. *Nephrol Dial Transplant* 2005;20 Suppl 1:i6.
18. Randy L, Mark AP. NSAIDs: Acute kidney injury (acute renal failure). Acessado em 05/12/2018. Disponível em: https://www.uptodate.com/contents/nsaids-acute-kidney-injury-acute-renal-failure?topicRef=7173&source=see_link
19. Huerta C, Castellsague J, Varas-Lorenzo C *et al.* Nonsteroidal anti-inflammatory drugs and risk of ARF in the general population. *Am J Kidney Dis* 2005;45(3):531-9.
20. Izzedine H, Perazella MA. Thrombotic microangiopathy, cancer, and cancer drugs. *Am J Kidney Dis* 2015;66(5):857-68.
21. Chapin J, Shore T, Forsberg P *et al.* Hematopoietic transplant-associated thrombotic microangiopathy: case report and review of diagnosis and treatments. *Clin Adv Hematol Oncol* 2014;12(9):565-73.

22. Bellomo R, Ronco C, Kellum JÁ. Acute renal failure-definition, outcome measures, animal models, fluid therapy and information technology needs: the Second International Consensus Conference of the Acute Dialysis Quality Initiative (ADQI) Group. *Crit Care* 2004;8:B204.
23. Mehta RL, Kellum JA, Shah SV *et al.* Acute Kidney Injury Network: report of an initiative to improve outcomes in acute kidney injury. *Crit Care* 2007;11(2):R31.
24. Fatehi P, Hsu CY. Evaluation of acute kidney injury among hospitalized adult patients. Acessado em 05/12/2018. Disponível em: <https://www.uptodate.com/contents/evaluation-of-acute-kidney-injury-among-hospitalized-adult-patients>.

SÍNDROME DA SECREÇÃO INAPROPRIADA DO HORMÔNIO ANTIDIURÉTICO (ADH) EM ONCOLOGIA

CAPÍTULO 10

Rodrigo Enokibara Beltrame
Isaac Ferrari Del Favero

INTRODUÇÃO

A síndrome da secreção inapropriada do hormônio antidiurético (SIADH) corresponde a 14-40% dos casos de hiponatremia, sendo decorrente da produção ectópica de hormônio antidiurético (vasopressina) na ausência de um estímulo adequado (elevação da osmolalidade plasmática e/ou da depleção de líquido extracelular) e/ou pela toxicidade renal causada pela quimioterapia ou por outras condições subjacentes.¹⁻⁵ Na SIADH, a secreção de vasopressina não é suprimida quando ocorre depleção da osmolalidade plasmática abaixo do limiar normal para a estimulação de sua secreção.⁶

Causas comuns de SIADH incluem doença pulmonar (pneumonia, tuberculose, derrame pleural) e doenças do sistema nervoso central (tumor, hemorragia subaracnóidea, meningite). Em

nosso meio, a SIADH também ocorre em neoplasias malignas, mais comumente (75% dos casos) no câncer de pulmão de pequenas células (CPPC), mas também podem ocorrer malignidades hematológicas, câncer de cabeça e pescoço, câncer de mama, além de ser um fator complicador em uma ampla gama de outras malignidades.^{2,7-9}

Em estudo observacional multicêntrico, realizado nos Estados Unidos, no período de 2010 a 2013, de 1.597 pacientes com hiponatremia eurolêmica, a SIADH foi identificada como a causa mais provável em 1.524 (95%) indivíduos. Dos pacientes avaliados, 586 são oncológicos, sendo 358 diagnosticados com SIADH. Outra avaliação, realizada pelo estudo, mostra que, embora a média sérica do sódio no momento do diagnóstico tenha sido igual nos dois grupos, há significativamente mais casos de hiponatremia grave nos pacientes oncológicos.¹⁰ Embora essencial para o sucesso do manejo da hiponatremia, o diagnóstico apropriado é complexo e não realizado rotineiramente.¹

Além disso, diversos medicamentos antineoplásicos foram implicados como etiologia da SIADH, como, por exemplo, a Vincristina, Vinblastina e Ciclofosfamida.⁶

O impacto da hiponatremia em pacientes oncológicos hospitalizados, aponta este distúrbio eletrolítico como fator adjuvante para um maior tempo de internação, fator de mau prognóstico e maior risco de mortalidade. Sendo a correção adequada e efetiva deste distúrbio eletrolítico é importante para melhorar o prognóstico dos pacientes.^{1,11,12} Em estudos relacionados com o CPPC, pacientes tiveram aumento da sobrevida ao obter normalização precoce e efetiva deste distúrbio eletrolítico, em relação aos pacientes que permaneceram hiponatrêmicos.^{1,8,13}

FISIOPATOLOGIA

Em indivíduos normais, os níveis séricos de ADH são extremamente baixos, quando a osmolalidade plasmática é menor que 280 mOsm/Kg, permitindo a excreção do excesso da água ingerida. Os níveis de ADH aumentam progressivamente conforme exista um aumento da osmolalidade sérica acima de 280 mOsm/Kg. A

secreção do ADH resulta em concentração urinária e consequente redução do volume urinário, assim, quanto mais alto o nível plasmático de ADH, mais concentrada fica a urina. Na maioria dos pacientes com SIADH a ingestão de água não suprime adequadamente a secreção do ADH, fazendo com que a urina permaneça concentrada.

O aumento da vasopressina causa retenção de água e hipervolemia, e consequentemente o aumento da volemia estimula a secreção do peptídeo natriurético atrial, o que leva ao aumento da excreção renal de sódio e água.

Paralelamente ocorre a supressão do transporte tubular proximal e aumento da uricosúria. A doença deve, então, ser suspeitada em todos os pacientes com hiponatremia euvolêmica, hipo-osmolaridade sérica, hipouricemia e osmolaridade urinária acima de 100 mOsmol/kg, com aumento da natriurese, superior a 40 mEq/L^{3,14} (Fig. 10-1).

Há cinco padrões diferentes de secreção de vasopressina na SIADH:

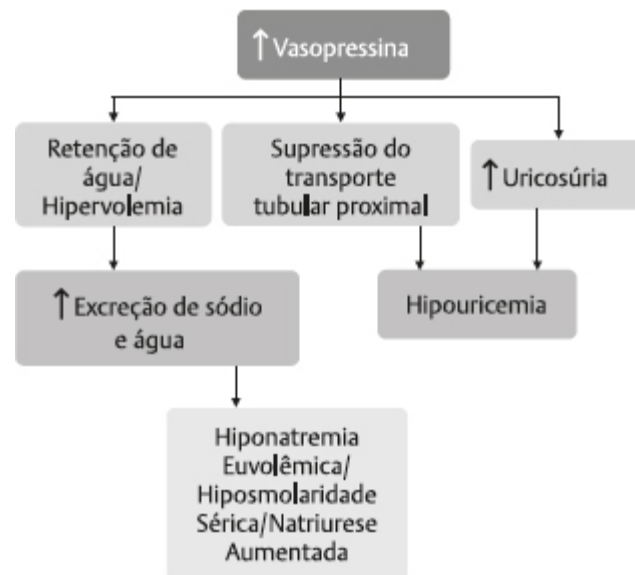


Fig. 10-1. Fisiopatologia.

- **Tipo A:** caracterizada pela elevação grosseira do ADH não responsiva à osmolalidade, o ADH plasmático habitualmente está acima do máximo requerido para antidiurese, e a osmolalidade

urinária é tipicamente muito alta. Este padrão sugere secreção ectópica do ADH, mais comumente vista no CPPC.

- *Tipo B:* caracterizada pela liberação de ADH por um gatilho osmótico baixo, ou seja, um nível de osmolalidade mais baixo promove a secreção do ADH, o que não ocorreria em indivíduos normais. Neste padrão a curva de liberação de ADH responde ao aumento linear da osmolalidade. Este padrão pode ocorrer em estados hipovolêmicos, quadriplegia, psicose, tuberculose e desnutrição.
- *Tipo C:* caracterizada pelos níveis de ADH persistentemente altos com alteração do “range” de supressão e estímulo. Como no tipo A, este padrão sugere secreção ectópica de ADH.
- *Tipo D:* caracterizada pela osmorregulação normal, ou seja, a secreção de ADH varia apropriadamente à osmolalidade plasmática, porém, a urina permanece concentrada mesmo após suprimida a liberação do ADH. Este padrão pode ocorrer na SIADH hereditária, com a mutação do receptor da vasopressina-2 (V2) ou por um defeito no transporte no canal de aquaporina-2.
- *Tipo E:* caracterizada por uma diminuição do ADH plasmático em resposta à concentração de sódio infundido por uma solução salina hipertônica. Acredita-se que este padrão possa ser causado pela alteração na sinalização dos barorreceptores a despeito da normovolemia, assim um aumento mínimo da pressão arterial ou do volume sanguíneo efetivo resulta em uma grande liberação de ADH. Similarmente, a menor queda da pressão arterial ou do volume causado pela infusão salina resultaria em uma diminuição da secreção do ADH.

EXAMES COMPLEMENTARES E DIAGNÓSTICO

Os testes laboratoriais de rotina podem identificar a hiponatremia e auxiliar os médicos na classificação dos subtipos de depleção de sódio. Sugere-se o teste de cada paciente quanto a distúrbios eletrolíticos, especialmente em casos de pacientes oncológicos, com sintomas neurológicos sugestivos (dor de cabeça, náuseas, vômitos, câibras musculares, letargia, desorientação e reflexos deprimidos) ou gastrointestinais. No entanto, na maioria dos casos, a hiponatremia é um achado incidental em testes laboratoriais

realizados antes ou durante a quimioterapia. O diagnóstico diferencial baseia-se em dados clínicos, nas histórias patológica e farmacológica e em exames laboratoriais.² A hiponatremia euvolêmica também pode estar associada ao hipotireoidismo (pacientes com mixedema ou pan-hipopituitarismo) ou insuficiência suprarrenal, portanto, a avaliação da tireoide e função suprarrenal deve ser considerada no diagnóstico diferencial.²

A SIADH é definida a partir de um diagnóstico de exclusão, portanto, para obter o diagnóstico, muitos pacientes são submetidos a uma série de procedimentos, como ultrassonografia, tomografia computadorizada, ressonância magnética, broncoscopia e eletroencefalograma, se suas causas não forem imediatamente aparentes, aumentando o tempo de permanência e custos adicionais.⁴

As complicações neurológicas graves podem ser evidentes após declínios significativos ou rápidos do sódio sérico, incluindo convulsões, coma, alucinações, tremor ou herniação do tronco cerebral.^{6,2} Nesse cenário, o risco de qualquer sintoma aumenta quando o hiponatrêmico é combinado com hipocalcemia, alcoolismo, desnutrição ou doença hepática avançada. Envolvimento cardiopulmonar com taquipneia, dispneia, bradicardia e hipertensão também pode ocorrer. Ademais, foram descritos edema pulmonar não cardiogênico, paradas cardíaca e respiratória e a morte.¹

O diagnóstico diferencial da SIADH são as demais causas de hiponatremia. Há dois sistemas de classificação para a etiologia da hiponatremia: um estratifica os pacientes de acordo com o nível de ADH circulante (incapacidade ou apropriadamente suprimidos), e outro estratifica os pacientes de acordo com o *status* de volume (hipovolêmico, normovolêmico e hipervolêmico).¹⁵⁻²²

■ Classificação conforme níveis de ADH:

- Incapacidade de suprimir ADH:
 - ◆ Depleção verdadeira: perdas gastrointestinais (vômitos ou diarreia) ou perdas renais (diuréticos tiazídicos mais frequentemente que diuréticos de alça).

- ♦ Diminuição da perfusão tecidual: insuficiência cardíaca e vasodilatação esplâncnica na cirrose.
- ♦ Aumento da liberação de ADH – SIADH.
- Supressão adequada do ADH:
 - ♦ Polidipsia.
 - ♦ Baixa ingesta de sódio.
 - ♦ Insuficiência renal avançada.
- Classificação conforme o *status* de volume:
 - Hipovolemia: perdas gastrointestinais e perdas renais.
 - Normovolemia: SIADH, polidipsia e baixa ingesta de sódio.
 - Hipervolemia: insuficiência cardíaca e cirrose.

Obs.: na hiponatremia relacionada com insuficiência renal, o paciente pode ser euvolêmico como também, se reter sal, desenvolver edema e tornar-se hipervolêmico.

Em oncologia, etiologias a serem consideradas são as histeroscopias e procedimentos transureterais e percutâneos que utilizam grandes quantidades de solução para irrigação/distensão (ressecção transuretral (RTU) de próstata, ressecção de tumores de bexiga, procedimentos transcervical histeroscópico diagnóstico e terapêutico, remoção percutânea de litíase renal etc.).^{23,24}

Os principais critérios diagnósticos para a SIADH, segundo Bartter e Schwartz, são a evidência de hiponatremia associada à hipo-osmolalidade sérica (< 275 mOsm/kg) em conjunto a um aumento inadequado da osmolalidade urinária (> 100 mOsm/kg) em pacientes em um estado euvolêmico. É também essencial avaliar a concentração urinária de sódio, que deve ser normalmente > 30 mmol/L, bem como a função renal, tireoidiana e suprarrenal, além dos níveis plasmáticos de ácido úrico (< 4 mg/dL).^{1,4}

TRATAMENTO

Diretrizes formalizadas para o tratamento da hiponatremia em pacientes oncológicos não foram estabelecidas, além de a terapêutica adequada não ser completamente compreendida.^{1,2} Na prática clínica, a taxa de correção do sódio sérico depende da etiologia, do tempo de início, da gravidade da apresentação clínica e

do volume extracelular dos pacientes. Agir de forma eficaz e oportuna na normalização dos níveis de sódio pode ter um efeito positivo no prognóstico de pacientes com câncer.¹ As opções de tratamento incluem: restrição de líquidos, administração de sódio ou o uso de antagonistas seletivos de receptores de vasopressina.

Os pacientes com hiponatremia euvolêmica decorrente da SIADH obtêm uma resposta bem-sucedida com elevação das concentrações plasmáticas de sódio, entretanto, nem todas as causas de SIADH são imediatamente reversíveis, exigindo o uso de terapia farmacológica para aumentar a concentração plasmática de sódio. A privação de água tem sido, há muito tempo, a base da terapia para a hiponatremia crônica, entretanto, os pacientes com SIADH podem ter muita dificuldade para tolerar esse tipo de tratamento, visto que a sua sede também é inapropriadamente estimulada.²⁵

Os pacientes sintomáticos necessitam de atenção imediata para prevenir complicações, e o sódio sérico deve ser corrigido mais rapidamente para evitar complicações neurológicas por causa do início do edema do SNC, independentemente da duração e do grau de hiponatremia.^{1,2} No entanto, os mecanismos adaptativos que controlem o edema cerebral durante o desenvolvimento de hiponatremia crônica também tornam o cérebro suscetível à desmielinização osmótica, se o sódio sérico for corrigido de forma excessivamente rápida. Portanto, o nível sérico de sódio deve ser aumentado de maneira controlada: a taxa de correção deve ser mantida abaixo de 8-10 mEq/L em 24 horas e abaixo de 18 mEq/L em 48 horas.^{2,3} Pacientes com início agudo de hiponatremia são menos suscetíveis à desmielinização osmótica com o rápido aumento do sódio sérico, pois os mecanismos iniciais de adaptação não estão totalmente estabelecidos.² No entanto, se o tempo de início for incerto, devem-se assumir um curso crônico e corrigir o sódio sérico de maneira controlada.^{1,2}

O tratamento da hiponatremia sintomática aguda deve incluir uma solução salina hipertônica a 3% (513 mmol), para elevação aguda da concentração de sódio em 1-2 mmol/h, até um total de 4-6 mmol/h, o que parece ser suficiente para melhorar os sintomas

graves.^{1,3} Deve ser administrada a infusão de 150 mL de solução hipertônica a 3% ao longo de 20 minutos, e então deve ser verificada a concentração sérica de sódio. A infusão de 150 mL de solução salina hipertônica a 3% a cada 20 minutos deve ser repetida duas vezes ou até um aumento de 5 mmol/L na concentração sérica de sódio. Se os sintomas melhorarem após um aumento de 5 mmol/L na concentração sérica de sódio, deve-se interromper a infusão de solução salina hipertônica e iniciar tratamento específico visando à estabilização da concentração sérica de sódio.¹ O aumento da concentração plasmática de sódio pode ser altamente imprevisível durante o tratamento com solução salina hipertônica, por causa de rápidas mudanças da fisiologia subjacente, portanto, a concentração plasmática de sódio deve ser monitorizada a cada 2-4 horas durante o tratamento.³ O objetivo deve ser aumentar o sódio sérico a um nível final não superior a 135 mEq/L.² Nenhum outro tratamento deve ser administrado concomitantemente com solução salina hipertônica para elevar os níveis séricos de sódio.¹

Os pacientes que não respondem ao tratamento com restrição hídrica podem necessitar de terapia farmacológica para aumentar a concentração plasmática de sódio. Muitos pacientes com SIADH respondem à terapia combinada com furosemida oral, objetivando inibir o mecanismo contracorrente renal e atenuar a capacidade de concentração urinária, associado a comprimidos de sal, que neutralizam a natriurese associada ao uso de diuréticos.³ Em alguns países, a demeclociclina, ureia e lítio podem ser usados para o tratamento da SIADH. No entanto, em decorrência da resposta imprevisível e potenciais toxicidades hepáticas e renais, seu uso é limitado.¹

Os antagonistas seletivos de receptores da vasopressina (vaptanas) mostram-se altamente eficazes na SIADH, pois aumentam com segurança a concentração plasmática de sódio, em razão de seu aumento da depuração de água livre. A maioria desses agentes antagoniza especificamente o receptor V_2 de AVP. A terapia com vaptanas deve ser iniciada no ambiente hospitalar, com liberação da restrição hídrica (> 2 L/dia) e monitorização rigorosa da concentração plasmática de sódio, pelos riscos de desmielinização

osmótica. A tolvaptana oral é a mais apropriada para o tratamento da SIADH significativa e persistente que não responde à restrição hídrica e/ou furosemida oral e comprimidos de sais, no entanto, não tem papel aprovado no tratamento da hiponatremia aguda.³ Os eventos adversos mais comumente relatados são sede, febre seca e frequência urinária. Quando a tolvaptana é usada, recomenda-se monitorizar os níveis séricos de sódio no início, 4 a 6 horas após a dose inicial, após 24 e 48 horas de tratamento.²⁶ O uso de tolvaptana deve ser restrito a < 1-2 meses por alteração nas provas de função hepática.³

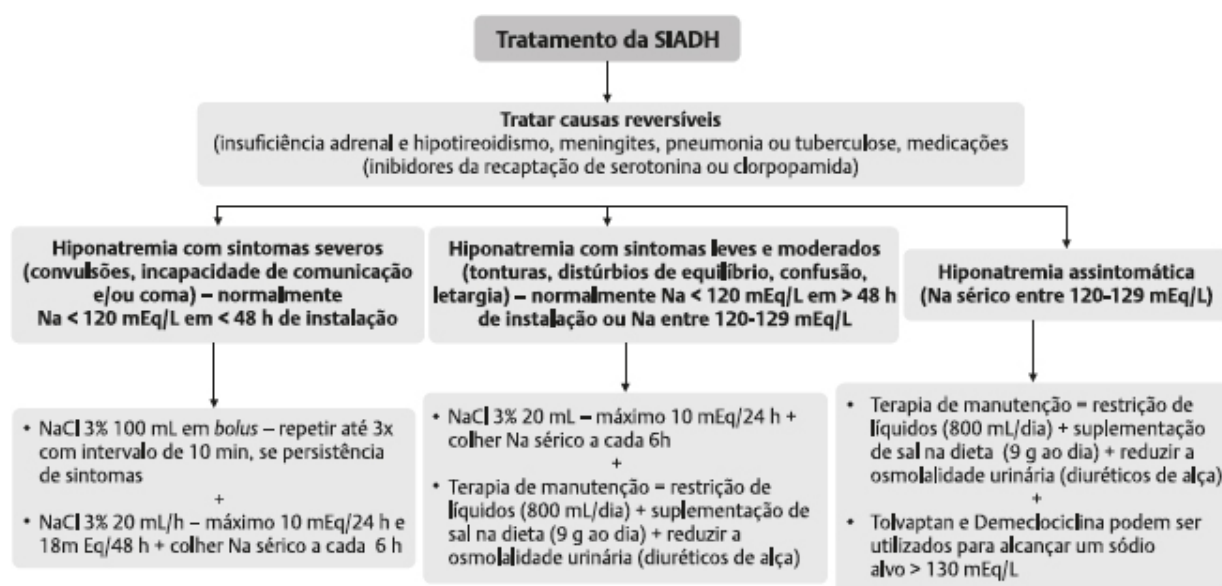


Fig. 10-2. Algoritmo de tratamento da SIADH.

Quando a hiponatremia é causada pelo tumor, o tratamento antineoplásico também pode ser uma forma de tratamento ativo da SIADH. No entanto, dado o papel prognóstico e preditivo de hiponatremia em pacientes oncológicos, há indicações de se corrigir previamente a depleção de sódio antes de iniciar a quimioterapia¹ (Fig. 10-2).

REFERÊNCIAS BIBLIOGRÁFICAS

1. Berardi R, Rinaldi S, Caramanti M *et al*. Hyponatremia in cancer patients: Time for a new approach. *Crit Rev Oncol Hematol*

2016;102:15-25.

2. Casulari LA, Costa ACF, Domingues L *et al.* Distúrbios na Secreção e Ação do Hormônio Antidiurético. *Arq Bras Endocrinol Metab* 2003;47(4):467-481.
3. Kasper D, Fauci A, Hauser S *et al.* No Title. In: *Harrison's Principles of Internal Medicine*. Vol 1. 19th ed. New York: McGraw-Hill Professional Publishing; 2015. p. 298-303.
4. Hsu CY, Chen CL, Huang WC *et al.* Retrospective Evaluation of Standard Diagnostic Procedures in Identification of the Causes of New-Onset Syndrome of inappropriate Antidiuresis. *Int J Med Sci* 2014;11(2):192-198.
5. Liamis G, Milionis H, Elisaf M. A review of drug-induced hyponatremia. *Am J Kidney Dis* 2008;52(1):144-53.
6. Adroge HJ. Consequences of Inadequate Management of Hyponatremia. *Am J Nephrol* 2005;25:240-249.
7. Castillo JJ, Vincent M, Justice E. Diagnosis and management of hyponatremia in cancer patients. *Oncologist* 2012;17(6):756-765.
8. Gralla RJ, Ahmad F, Blais JD *et al.* Tolvaptan use in cancer patients with hyponatremia due to the syndrome of inappropriate antidiuretic hormone: a post hoc analysis of the SALT-1 and SALT-2 trials. *Cancer Med* 2017;6(4):723-729.
9. Onitilo AA, Kio E, Doi SA. Tumor-related hyponatremia. *Clin Med Res* 2007;5:228-237.
10. Burst V, Grundmann F, Kubacki T *et al.* Euvolemic hyponatremia in cancer patients. Report of the Hyponatremia Registry: an observational multicenter international study. *Support Care Cancer* 2017;25:2275-2283.
11. Doshi SM, Shah P, Lei X *et al.* Hyponatremia in hospitalized cancer patients and its impact on clinical outcomes. *Am J Kidney Dis* 2012;59:222-228.
12. Nelson M, Palmer JL, Fu J. Hyponatraemia in cancer patients on an inpatient rehabilitation unit. *Eur J Cancer Care* 2014;23:363-369.
13. Hansen O, Sørensen P, Hansen KH. The occurrence of hyponatremia in SCLC and the influence on prognosis: a retrospective study of 453 patients treated in a single institution in a 10-year period. *Lung Cancer* 2010;68(1):111-114.

14. Carvalho R, Donadel C, Cortez A *et al.* Syndrome of inappropriate antidiuretic hormone secretion induced by the phytotherapy *Harpagophytum procumbens*: case report. *J Bras Nefrol* 2017;39(1):79-81.
15. Rocha PN. Hiponatremia: conceitos básicos e abordagem prática. *J Bras Nefrol* 2011;33(2):248-260.
16. Cowen LE, Hodak SP, Verbalis JG. Age-Associated Abnormalities of Water Homeostasis. *Endocrinol Metab Clin North Am* 2013;42(2):349-370.
17. Moritz ML, Ayus JC. Maintenance Intravenous Fluids in Acutely Ill Patients. *N Engl J Med* 2015;373:1350-60.
18. El-Sharkawy AM, Sahota O, Maughan RJ, Lobo DN. The pathophysiology of fluid and electrolyte balance in the older adult surgical patient. *Clin Nutr* 2014;33(1):6-13.
19. Onitilo AA, Kio E, Doi SAR. Tumor-Related Hyponatremia. *Clin Med Res* 2007;5(4):228-237.
20. Chawla A, Sterns RH, Nigwekar SU, Cappuccio JD. Mortality and Serum Sodium: Do Patients Die from or with Hyponatremia? *Clin J Am Soc Nephrol* 2011;6(5):960-965.
21. De la Peñas R, Escobar Y, Henao F *et al.* SEOM guidelines on hydroelectrolytic disorders. *Clin Transl Oncol* 2014;16:1051-1059.
22. Namendys-Silva SA, Hernández-Garay M, García-Guillén FJ *et al.* Urgencias metabólicas en pacientes críticos con cáncer. *Nutr Hosp* 2013;28(6):1851-1859.
23. Castillo JJ, Vincent M, Justice E. Diagnosis and Management of Hyponatremia in Cancer Patients. *Oncologist* 2012;17(6):756-765.
24. Takeuchi K, Nagatani T, Okumura E, Wakabayashi T. A Novel Method for Managing Water and Electrolyte Balance after Transphenoidal Surgery: Preliminary Study of Moderate Water Intake Restriction. *Nagoya J Med Sci* 2014;76:73-82.
25. Fatehi P, Hsu CY. Evaluation of acute kidney injury among hospitalized adult patients. Acessado em 05/12/2018. Disponível em: <https://www.uptodate.com/contents/evaluation-of-acute-kidney-injury-among-hospitalized-adult-patients>.
26. Runkle I, Villabona C, Navarro A *et al.* Treatment of hyponatremia induced by the syndrome of Inappropriate

antidiuretic hormone secretion: a multidisciplinary Spanish algorithm. *Nefrologia* 2014;34(4):439-450.

SÍNDROME HEMOLÍTICO-URÊMICA EM ONCOLOGIA (SHU ATÍPICA)

CAPÍTULO 11

Rodrigo Enokibara Beltrame
Luciana Caiel
Luciana Coelho Sanches

INTRODUÇÃO

A síndrome hemolítico-urêmica (SHU) é uma doença que pertence ao grupo das microangiopatias trombóticas. Caracteriza-se por uma tríade de anemia hemolítica microangiopática, trombocitopenia e lesão renal aguda.^{1,2}

É dividida em dois subtipos, a SHU típica e a SHU atípica (SHUa), essa divisão é fundamentada na apresentação clínica e, principalmente, nas causas da síndrome.

SHU Típica ou SHU com Diarreia

A SHU típica corresponde a 90% dos casos, afeta mais crianças e ocorre após infecção gastrointestinal por enterobactérias produtoras de exotoxinas da família verotoxina, em particular pela *Escherichia coli* sorotipo O157:H7, produtora de toxina “shigalike” que induz lesão endotelial, provocando alterações renais e em múltiplos

órgãos-alvo.^{1,3,4} Clinicamente apresentam dor abdominal e diarreia sanguinolenta, têm um curso autolimitado e bom prognóstico.⁵

SHU Atípica (SHUa) ou SHU sem Diarreia

A SHUa é frequentemente idiopática, vista em 5 a 10% dos casos, não está associada a *E. coli*, produtora de “Shigalike toxina”.^{3,4,6} Pode ocorrer em qualquer idade e ocorre por hiperativação da via alternativa do complemento, apresenta alta taxa de mortalidade e morbidade na fase aguda, e cerca de 50% dos casos podem evoluir para doença renal crônica terminal.^{1,3}

Consideram-se duas formas de apresentação clínica: com sintomas gastrointestinais graves, anúria e hipertensão maligna, mortalidade elevada e desenvolvimento de insuficiência renal crônica em 50% dos doentes. E a segunda, sem sintomas gastrointestinais e acompanhada de deteriorações lenta e progressiva da função renal com envolvimento neurológico.^{1,5,7}

A SHUa pode ocorrer após quimioterapia, sobretudo em esquemas envolvendo mitomicina C, cisplatina, bleomicina ou gencitabina. Em geral surge após as primeiras 4 ou 8 semanas, podendo, no entanto, surgir até vários meses após a última infusão de quimioterapia.⁸

Pode também estar associada a carcinomas metastáticos, sobretudo gástricos, colorretal e mama, podendo até antecipar o diagnóstico de neoplasia, sob a forma de síndromes paraneoplásicas⁸⁻¹⁰ (Fig. 11-1).

FISIOPATOLOGIA

Ativação do Sistema do Complemento (Fig. 11-2)



Fig. 11-1. Etiologia da síndrome hemolítico-urêmica.

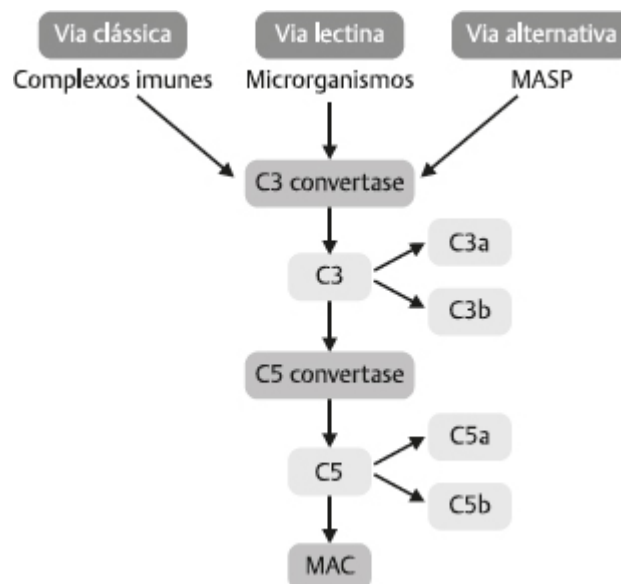


Fig. 11-2. Cascata de ativação do sistema complemento. Todas alterações genéticas do complemento provocam uma amplificação da formação de C3 convertase, com clivagem de C5. O subsequente aumento de C5a e MAC (C5b-9) danifica as células endoteliais, com exposição da matriz subendotelial, formação de trombos, consumo de plaquetas e dano eritrocitário. MAC: complexo de ataque à membrana.

- **Mutação no fator H (FH):** é uma glicoproteína predominantemente sintetizada pelo fígado e é a reguladora mais importante da via alternativa do complemento, sendo sua

mutação a anormalidade genética mais frequente na SHUa. O nível plasmático de C3 está diminuído em 40 a 60% dos doentes com anticorpos anti-FH.^{4,11-14}

- **Proteína cofator da membrana (PCM):** é uma glicoproteína de membrana presente na superfície de todas as células do corpo humano, exceto nos eritrócitos, funcionamento como cofator para clivagem do C3b mediada pelo fator de complemento I (FI). As mutações na PCM são responsáveis por cerca de 10% dos casos de SHUa. Esta mutação geralmente cursa com bom prognóstico (80% dos pacientes recuperam a função renal sem a necessidade de diálise).¹³⁻¹⁵
- **Fator de complemento I (FI):** é uma serina protease que é sintetizada no fígado, as mutações do FI são responsáveis por 4 a 10% dos casos de SHUa.¹⁶⁻¹⁹
- **Trombomodulina (THBD):** é uma glicoproteína transmembrana que facilita a inativação do complemento pelo FI e na presença do FH. Cerca de 5% dos doentes com SHUa têm mutações heterozigóticas no gene THBD, que codifica a trombomodulina. As células com THBD têm menor capacidade de degradar o C3b e de gerar o inibidor da fibrinólise ativado em trombina, que cliva o C3a e o C5a.²⁰⁻²³

HISTOPATOLOGIA RENAL

A SHUa e a SHU histopatologicamente são indistinguíveis, sendo a trombose capilar a principal lesão patológica. Na fase aguda ocorre espessamento das arteríolas e das paredes dos capilares do glomérulo, expansão endotelial e acumulação de proteínas e restos celulares entre as células subendoteliais e a membrana basal. Trombos de fibrina e plaquetas obstruem o lúmen dos vasos e causam diminuição do fluxo sanguíneo local, o que provoca isquemia tecidual. Os capilares glomerulares podem sofrer necrose fibrinoide.^{3,24}

O exame imuno-histológico revela deposição irregular de fibrina, imunoglobulina M, C3 e C1q em áreas de necrose fibrinoide e expansão edematosa de camada íntima. Na fase subaguda, ocorre remodelação da parede dos capilares glomerulares, com alteração

semelhante às observadas na glomerulonefrite membranoproliferativa. A lesão glomerular crônica causa esclerose segmentar e global, com atrofia tubular e fibrose intersticial.^{3,24,25}

MANIFESTAÇÃO CLÍNICA E DIAGNÓSTICO DIFERENCIAL

Clinicamente a SHUa inicia de maneira abrupta, porém, em 20% dos casos a apresentação pode ser insidiosa, com sintomas inespecíficos como fadiga, palidez e por vezes edema. A característica comum a todos os casos de SHU é a anemia hemolítica microangiopática associada à trombocitopenia e lesão renal aguda decorrente da ativação do complemento.^{1,5,6,26}

Outros achados clínicos incluem anormalidades neurológicas (confusão, convulsões e coma), complicações gastrointestinais (hemorragia, pancreatite, náuseas, vômitos e diarreia), complicações respiratórias (insuficiência respiratória, síndrome do desconforto respiratório agudo) e complicações cardíacas (arritmias ocasionadas por lesão no miocárdio, cardiomiopatia), se o diagnóstico for tardio pode surgir hipercalcemia grave, acidose, hiponatremia e hipertensão arterial severa. Em geral, os pacientes com SHUa tem mau prognóstico.²⁴

Podem estar associados a maior risco de desenvolver a SHUa pacientes com infecções (por ex.; *E.coli*, *Shigella dysenteriae* tipo 1, *Streptococcus pneumoniae*, HIV, Epstein-Barr vírus, herpes-vírus, *Aspergillus fumigatus*); toxicidade por drogas, particularmente em pacientes com câncer ou submetidos a transplante de órgãos sólidos (p. ex.: quinino, ciclosporina, tacrolimus, clopidogrel, ticlopidina, anticoncepcionais orais, mitomicina, cisplatina); vacinação (p. ex.: poliomielite, influenza); doenças autoimunes (p. ex.: lúpus eritematoso sistêmico); gestação e puerpério; malignidade e história familiar positiva.^{1,16}

Os principais diagnósticos diferenciais são SHU típica e a púrpura trombocitopênica trombótica (PTT). Habitualmente, os rins são mais afetados na SHUa, o SNC é o mais afetado na PTT e a SHU-ECTS (típica) cursa com alterações gastrointestinais.^{1,26}

Deve ser realizada colheita de fezes ou um esfregaço retal para a execução de técnica de reação em cadeia de polimerase e/ou culturas das fezes ou coprocultura para fazer diagnóstico diferencial da SHU típica, pois cerca de um terço dos casos de SHUa manifesta-se também com diarreia, não sendo comum na PTT. Visto que os sintomas não são suficientes para o diagnóstico, os exames de fezes permitem detectar se o doente tem uma infecção gastrointestinal por *E. coli* produtora de Shiga toxina.²⁷

A PTT é causada por níveis séricos deficientes da protease ADAMTS13, enzima responsável por clivar o fator de Von Willebrand em multímeros, sendo a atividade da ADAMTS13 inferior a 10%, é confirmado o diagnóstico de PTT, se for superior a 10%, exclui-se a PTT e é estabelecido o diagnóstico de SHUa.²⁶

DIAGNÓSTICO

Anemia hemolítica microangiopática (hemoglobina < 8g/dL, teste de Coombs negativo; esfregaço de sangue periférico com esquizócitos; achados de hemólise (elevação de bilirrubinas direta e de LDH, redução de haptoglobina); trombocitopenia (plaquetopenia geralmente em torno de 40.000/mm³) e disfunção renal aguda são os componentes da tríade clássica da SHUa.^{8,26,28}

Após o diagnóstico ou quando há forte suspeita que o doente tem SHUa, deve ser efetuada uma análise ao sistema complemento, utilizando amostra sanguínea obtida antes do início do tratamento. Devem-se medir os níveis séricos de C3, C4, FH e FI e em seguida fazer uma análise genética. As mutações no FH, FI, PCM, C3 e FB estão frequentemente associadas a níveis baixos de C3,^{24,26} no entanto, valores normais de C3 não excluem a presença de uma mutação ou de autoanticorpos contra o sistema complemento.

TRATAMENTO

Os doentes com SHUa têm um prognóstico precário. À apresentação, a taxa de mortalidade é elevada e os doentes não podem esperar pelo resultado dos testes genéticos que determinam qual a mutação específica responsável pela síndrome para iniciar o tratamento. O tratamento deve ser iniciado empiricamente quando é

estabelecido um diagnóstico clínico ou quando há uma forte suspeita que o doente tem SHUa. O tratamento alicerça-se em duas vertentes: o tratamento de suporte e o tratamento específico.

O primeiro é focado em manter a homeostasia de fluidos, eletrólitos e acidobásico, estabilização hemodinâmica e terapêutica dialítica, se necessária. O uso de plasmaterapia e de eculizumab constitui o tratamento específico.^{3,24,29}

Plasmaterapia

A função da plasmaférese é promover a remoção de autoanticorpos pela infusão de plasma fresco, há diluição dos autoanticorpos e suplementação de fatores reguladores do sistema complemento.⁴ Fármacos imunossupressores, incluindo corticoides, micofenolato de mofetila, anticorpo monoclonal C5 (eculizumab) e o anticorpo CD20 (rituximab), podem ser úteis na remissão da doença.²⁶

Na SHUa, a desregulação da via alternativa do complemento conduz a uma ativação incontrolada que provoca danos, como já foi supramencionado. Neste sentido, o bloqueio do complemento terminal com eculizumab reduz rapidamente o processo.

Eculizumab

É um anticorpo monoclonal humanizado que inibe a via terminal do complemento e forma uma ligação de alta afinidade com o C5 e bloqueia a formação de C5a e do MAC.³⁰ Previamente usado no tratamento da hemoglobinúria paroxística noturna, é o único inibidor do complemento aprovado para uso na SHUa, contribuindo para a diminuição de diálise ou terapia de plasma, melhoria sustentada na taxa de filtração glomerular estimada (eGFR).³⁰ Existe um risco acrescido de desenvolver infecção por meningite por *Neisseria*⁴ com o uso de eculizumab, e os doentes precisam receber vacina meningocócica duas semanas antes do início do tratamento, caso não seja possível, é preciso fazer profilaxia antibacteriana de preferência oral (penicilina ou macrolídeo, se alérgico à penicilina).^{4,31}

■ Dose: indução IV de 900 mg semanalmente para 4 doses.

- Manutenção: 1.200 mg na semana 5, depois 1.200 mg a cada 2 semanas.
 - Dosagem suplementar para pacientes que recebem plasmaférese ou troca de plasma:
 - Se a dose mais recente for ≥ 600 mg, administrar 600 mg no prazo de 60 minutos após cada plasmaférese ou troca de plasma.
 - Se a dose mais recente for de 300 mg, administrar 300 mg no prazo de 60 minutos após cada plasmaférese ou troca de plasma.³¹
- (Fig. 11-3)

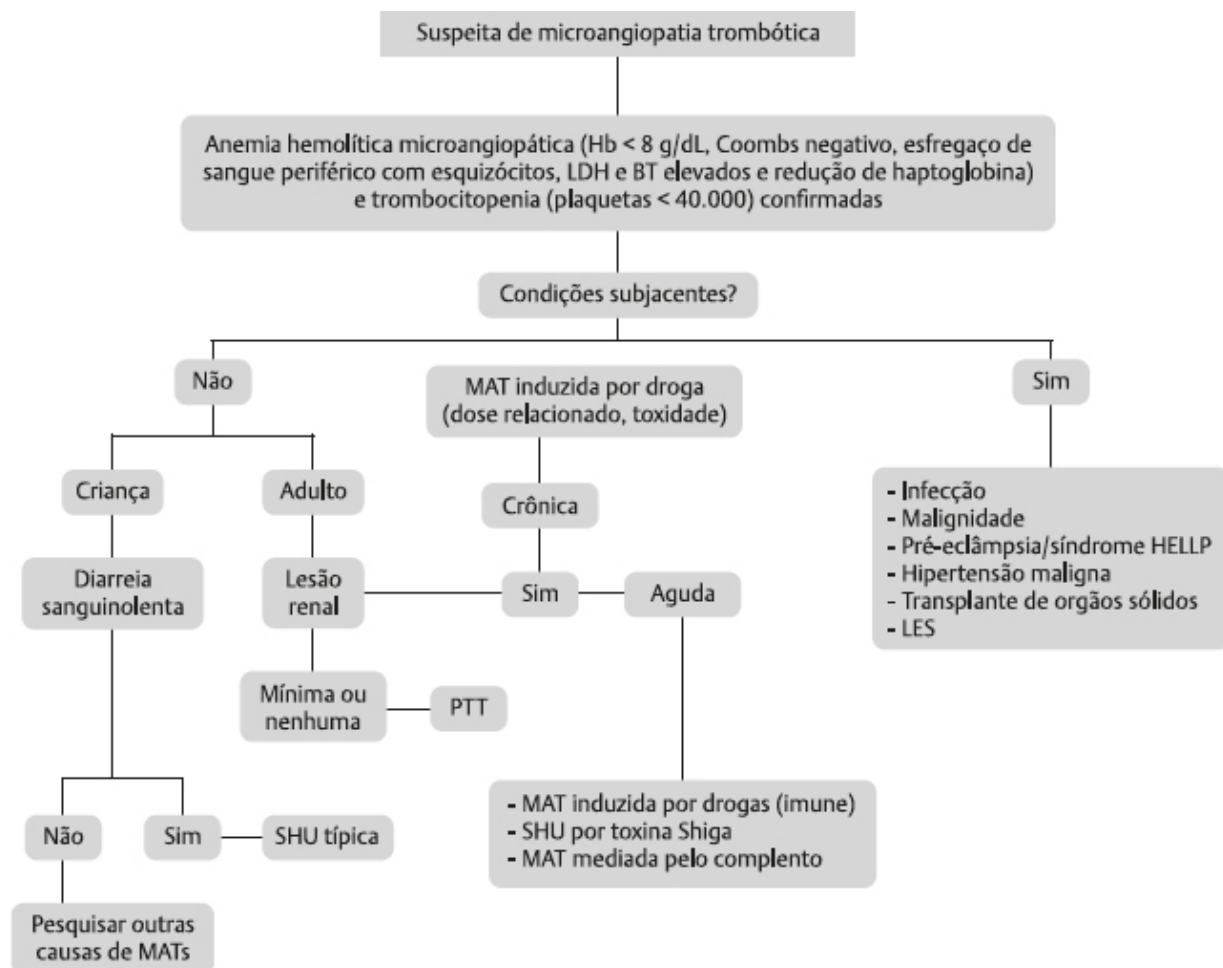


Fig. 11-3. Fluxograma na suspeita de microangiopatia trombótica. LDH: desidrogenase láctica; BT: bilirrubinas totais; MAT: microangiopatia trombótica; LES: lúpus eritematoso sistêmico.

REFERÊNCIAS BIBLIOGRÁFICAS

1. Joseph C, Gattineni J. Complement disorders and hemolytic uremic syndrome. *Curr opin Pediatr* 2013;25:209-15.
2. Kavanagh D, Goodship TH, Richards A. Atypical Hemolytic Uremic Syndrome. *Semin Nephrol* 2013;33(6):508-30.
3. Delvaeye M, Noris M, De Vriese A *et al.* Thrombomodulin mutations in atypical hemolytic-uremic syndrome. *N Engl J Med* 2009;361(4):345.
4. Waters AM, Licht C. aHUS caused by complement dysregulation: new therapies on the horizon. *Pediatr Nephrol* 2011;26(1):41-57.
5. Noris M, Caprioli J, Bresin E *et al.* Relative role of genetic complement abnormalities in sporadic and familial aHUS and their impact on clinical phenotype. *Clin J Am Soc Nephrol* 2010;5(10):1844-59.
6. Fang CJ, Fremeaux-Bacchi V, Liszewski MK *et al.* Membrane cofactor protein mutations in atypical hemolytic uremic syndrome (aHUS), fatal Stx-HUS, C3 glomerulonephritis, and the HELLP syndrome. *Blood* 2008;111(2):624-32.
7. Nester CM, Barbour T, de Cordoba SR *et al.* Atypical aHUS: State of the art. *Mol Immunol* 2015;67(1):31-42.
8. Lee HW, Chung MJ, Kang H *et al.* Gemcitabine-induced hemolytic uremic syndrome in pancreatic cancer: a case report and review of the literature. *Gut Liver* 2014;8(1):109-12.
9. Barrientos GJ, Michelangelo H. Thrombotic microangiopathy in adults. *Medicina (B Aires)* 2006;66(4):289-95 (Spanish).
10. Lechner K, Obermeier HL. Cancer-related microangiopathic hemolytic anemia: clinical and laboratory features 168 reported cases. *Medicine (Baltimore)* 2012;91(4):195-205.
11. Noris M, Brioschi S, Caprioli J *et al.* Familial haemolytic uraemic syndrome and an MCP mutation. *Lancet* 2003;362(9395):1542-7.
12. Caprioli J, Noris M, Brioschi S *et al.* Genetics of HUS: the impact of MCP, CFH, and IF mutations on clinical presentation, response to treatment, and outcome. *Blood* 2006;108(4):1267-79.
13. Heinen S, Józsi M, Hartmann A *et al.* Hemolytic uremic syndrome: a factor H mutation (E1172Stop) causes defective complement control at the surface of endothelial cells. *J Am Soc Nephrol* 2007;18(2):506-14.

14. Jokiranta TS, Jaakola VP, Lehtinen MJ *et al.* Structure of complement factor H carboxyl-terminus reveals molecular basis of atypical haemolytic uremic syndrome. *EMBO J* 2006;25(8):1784-94.
15. Richards A, Kemp EJ, Liszewski MK *et al.* Mutations in human complement regulator, membrane cofactor protein (CD46), predispose to development of familial hemolytic uremic syndrome. *Proc Natl Acad Sci (USA)* 2003;100(22):12966-71.
16. Sellier-Leclerc AL, Fremeaux-Bacchi V, Dragon-Durey MA *et al.* Differential impact of complement mutations on clinical characteristics in atypical hemolytic uremic syndrome. *J Am Soc Nephrol* 2007;18(8):2392-400.
17. Kavanagh D, Kemp EJ, Mayland E *et al.* Mutations in complement factor I predispose to development of atypical hemolytic uremic syndrome. *J Am Soc Nephrol* 2005;16(7):2150-5.
18. Fremeaux-Bacchi V, Dragon-Durey MA, Blouin J *et al.* Complement factor I: a susceptibility gene for atypical haemolytic uraemic syndrome. *J Med Genet* 2004;41(6):e84.
19. Bienaime F, Dragon-Durey MA, Regnier CH *et al.* Mutations in components of complement influence the outcome of Factor I-associated atypical hemolytic uremic syndrome. *Kidney Int* 2010;77(4):339-49.
20. Schramm EC, Roumenina LT, Rybkine T *et al.* Mapping interactions between complement C3 and regulators using mutations in atypical hemolytic uremic syndrome. *Blood* 2015;125(15):2359-69.
21. Fremeaux-Bacchi V, Miller EC, Liszewski MK *et al.* Mutations in complement C3 predispose to development of atypical hemolytic uremic syndrome. *Blood* 2008;112(13):4948-52.
22. Roumenina LT, Frimat M, Miller EC *et al.* A prevalent C3 mutation in aHUS patients causes a direct C3 convertase gain of function. *Blood* 2012;119(18):4182-91.
23. Goicoechea de Jorge E, Harris CL, Esparza-Gordillo J *et al.* Gain-of-function mutations in complement factor B are associated with atypical hemolytic uremic syndrome. *Proc Natl Acad Sci (USA)* 2007;104(1):240-5.

24. Roumenina LT, Jablonski M, Hue C *et al*. Hyperfunctional C3 convertase leads to complement deposition on endothelial cells and contributes to atypical hemolytic uremic syndrome. *Blood* 2009;114(13):2837-45.
25. Fremeaux-Bacchi V, Moulton EA, Kavanagh D *et al*. Genetic and functional analyses of membrane cofactor protein (CD46) mutations in atypical hemolytic uremic syndrome. *J Am Soc Nephrol* 2006;17(7):2017-25.
26. Fidan K, Gökner N, Gülhan B *et al*. Extra-renal manifestations of atypical hemolytic uremic syndrome in children. *Pediatr Nephrol* 2018;33(8):1395-403.
27. Slutsker L, Ries AA, Greene KD *et al*. Escherichia coli O157:H7 diarrhea in the United States: clinical and epidemiologic features. *Ann Intern Med* 1997;126(7):505-13.
28. Magro CM, Momtahn S, Mulvey JJ *et al*. Role of the skin biopsy in the diagnosis of atypical hemolytic uremic syndrome. *Am J Dermatopathol* 2015;37(5):349-56: quiz 357-9.
29. Sokol KA, Veluswamy RR, Zimmerman BS *et al*. Atypical hemolytic uremic syndrome associated with Capnocytophaga canimorsus. *Am J Hematol* 2017;92(3):322.
30. Wehling C, Amon O, Bommer M *et al*. Monitoring of complement activation biomarkers and eculizumab in complement-mediated renal disorders. *Clin Exp Immunol* 2017;187(2):304-15.
31. Lexicomp. *Eculizumab: informação sobre medicamentos pediátricos*. UptoDate [Online]. (Acesso em 22 Nov 2018). Disponível em: https://www.uptodate.com/contents/eculizumab-pediatric-drug-information?source=see_link

ACIDOSE LÁCTICA NA TERAPIA INTENSIVA ONCOLÓGICA

CAPÍTULO 12

Rodrigo Enokibara Beltrame
Dryelen Moreira de Assis

INTRODUÇÃO

O lactato é um subproduto normal do metabolismo da glicose e de aminoácidos. A acidose láctica é a causa mais comum de acidose metabólica em pacientes hospitalizados.¹ Aproximadamente 1.400 mmol de ácido láctico são produzidos diariamente, que são tamponados por 1.400 mmol de bicarbonato de sódio (NaHCO_3) para formar lactato de sódio. O fígado é responsável pela oxidação do lactato para restaurar essa quantidade de NaHCO_3 . O papel do fígado na homeostase do lactato é considerável, no entanto, a cessação total da depuração de lactato pelo fígado não leva invariavelmente à acidose láctica. Tecidos extra-hepáticos podem compensar a perda da contribuição normal do fígado. Os rins também contribuem para a remoção do lactato; as estimativas variam, mas são aproximadamente 10 a 20% do total de lactato metabolizado. A acidose láctica ocorre quando a produção de ácido láctico excede seu *clearance*, que é causado habitualmente pela queda da oxigenação tecidual, tanto pela diminuição da oferta de oxigênio (DO_2), quanto por um defeito mitocondrial da utilização do oxigênio.²

FISIOPATOLOGIA

Todos os tecidos podem produzir ácidos láctico e pirúvico a partir da glicose. Os glóbulos vermelhos produzem ácido láctico como um subproduto da regeneração da ATP durante a glicólise anaeróbica, mas não podem utilizá-lo. Todos os outros tecidos podem usar ácido láctico para produzir acetil-CoA via piruvato desidrogenase (PDH).³

A geração de lactato celular é influenciada pelo estado “redox” da célula. O estado redox no citoplasma celular é refletido pela razão entre a oxidação e redução da nicotina adenina dinucleotídeo (NAD⁺: forma oxidada e NADH: forma reduzida). O sistema de cofatores NAD⁺/NADH está envolvido em muitas reações redox celulares na troca dos átomos de hidrogênio liberados ou consumidos. Uma dessas reações redox corresponde ao equilíbrio entre os ácidos pirúvico e láctico, catalisada pela enzima lactato desidrogenase.^{4,5}

O excesso de lactato é um resultado do aumento de sua produção e/ou diminuição de sua utilização, assim pode haver três mecanismos de acúmulo:

- Aumento da produção de piruvato.
- Redução da entrada do piruvato na mitocôndria (onde seria oxidado em dióxido de carbono e água e convertido em precursores de glicose).
- Translocação do estado redox citoplasmático com acúmulo de NADH e queda do NAD⁺ que redireciona a relação piruvato/lactato a favor do lactato.^{5,7}

CLINICAMENTE

As causas de acidose láctica podem ser genericamente divididas nas associadas à queda tissular de oxigênio (tipo A) e nas que a oxigenação está deteriorada sem manifestação hemodinâmica (tipo B).

Tipos de Acidose Láctica

Tipo A

A produção excessiva tipicamente ocorre durante hipoperfusão tecidual secundária ao choque circulatório. Independentemente de sua etiologia – cardiogênico, hipovolêmico, ou distributivo – o choque circulatório provoca uma redução na oferta de oxigênio aos órgãos e tecidos (hipóxia tecidual), sendo agravada pela diminuição da metabolização de lactato no tecido hepático mal perfundido.¹

Distúrbios circulatórios, pulmonares ou de transferência de hemoglobina são comumente responsáveis. A superprodução de lactato também ocorre com envenenamento por cianeto ou certas malignidades. A subutilização envolve a remoção do ácido láctico por oxidação ou conversão em glicose.

Na doença hepática, a inibição da gliconeogênese, a deficiência de piruvato desidrogenase (tiamina) e o desacoplamento da fosforilação oxidativa são as causas mais comuns da hiperlactatemia.

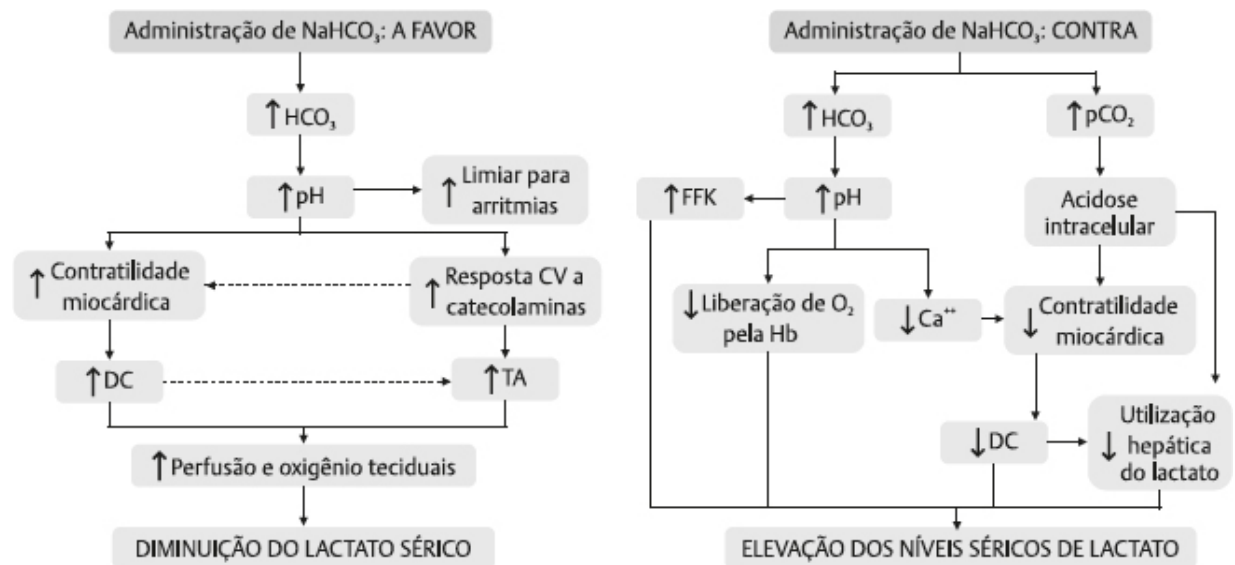


Fig. 12-1. Controvérsia do tratamento da acidose láctica e uso de bicarbonato de sódio. CV: cardiovascular; DC: débito cardíaco; TA: tensão arterial; FFK: 6-fosfofrutoquinase.

Drogas usadas para tratar a acidose láctica podem agravar a condição. O NaHCO_3 aumenta a produção de lactato, tornando o tratamento da acidose láctica tipo A particularmente insatisfatório, e

deste modo neste tipo de acidose láctica o NaHCO_3 é de pouco valor (Fig. 12-1).^{1,3}

Tipo B

Ocorre em estados de perfusão tecidual normal, os mecanismos envolvidos neste tipo de hiperlactatemia são decorrentes da degradação do metabolismo celular e isquemias regionais induzidos por toxinas, drogas ou estado de deficiência nutricional (p. ex.: tiamina). As afecções comumente envolvidas com este tipo de acidose são:

- ***Diabetes Mellitus***: o ácido láctico deriva do metilglioxal, um metabólito da acetona e fosfato de di-hidroacetona, que pode se acumular nos estados de cetoacidose diabética. Além disso, preocupações têm sido levantadas em relação ao papel da metformina na produção de acidose láctica, com base em relatos de casos individuais. O risco parece ser consideravelmente menor do que com a fenformina (embora a fenformina tenha sido retirada do mercado na maior parte do mundo, ainda está disponível na China, inclusive como componente de certos medicamentos chineses) e envolve pacientes com disfunção renal, hipovolemia e doença cardíaca grave subjacente.^{8,9}
- ***Malignidades***: raramente a acidose láctica ocorre em pacientes com leucemia, linfoma e malignidades sólidas. A patogênese não está muito bem elucidada, têm sido propostos o aumento do metabolismo anaeróbio por aglomerados de células tumorais ou metastáticas subperfundidos e/ou substituição de células hepáticas normais por neoplásicas. Outro mecanismo é o aumento da produção de lactato por células neoplásicas pela translocação da via de glicólise anaeróbia (efeito “Warburg”) e deficiência de tiamina e/ou riboflavina (ver a seguir em Tratamento Acidose Tipo B).¹⁰
 - Independente do mecanismo fisiopatogênico a remoção do tumor (quer seja por quimioterapia, radiação ou cirurgia) frequentemente corrige a acidose láctica.¹¹

- *Alcoolismo*: a oxidação do etanol gera NADH e por consequência altera a relação NADH/NAD⁺ e hiperlactatemia.
- *Infecção pelo HIV*: disfunção mitocondrial pela medicação antirretroviral.
- *Agonista Beta-adrenérgico*: aumento da atividade glicolítica da musculatura esquelética e aumento da produção de lactato pela hipoperfusão tecidual.
- *Disfunção mitocondrial*: o metabolismo do piruvato requer sua entrada na mitocôndria. O piruvato pode ser oxidado pela piruvato desidrogenase para acetil-coenzima A (convertido em lipídio ou cetoácido) ou pode ser convertido com oxaloacetato pela piruvato carboxilase em glicose. Algumas drogas podem causar a disfunção mitocondrial – antirretrovirais (inibidores da transcriptase reversa), propofol, linezolida etc.^{12,14}

Acidose D-Láctica

Esta forma única de acidose láctica pode ocorrer em pacientes com *bypass* jejunoileal, ressecções do intestino delgado ou outras formas de síndrome do intestino curto. Bactérias são responsáveis por metabolizar glicose e carboidratos em ácido D-láctico, que é então absorvido sistemicamente. A lactato desidrogenase pode efetivamente metabolizar apenas L-lactato, o D-lactato é apenas lentamente metabolizado por seres humanos. As pistas para esta condição são a acidose com amplo ânion *gap* que não pode ser explicado e sintomas neurológicos.¹

Acidose Láctica de Washout

Existem ocasiões que, em um determinado momento, por exemplo no intraoperatório, o organismo está em desequilíbrio entre oferta e demanda de nutrientes e oxigênio (clássica definição de choque), porém como a progressão da acidose láctica é lenta, ainda não se manifesta na gasometria sendo perceptível apenas na UTI durante o pós-operatório imediato.¹⁵

Um exemplo clássico ocorre quando um paciente é submetido a uma cirurgia cardíaca com suporte de circulação extracorpórea (CEC) e durante o período de anóxia pode-se instalar um choque oculto com elevação temporária e multirregional do ácido láctico,

porém não manifestado pelo fato de não possuir perfusão adequada para transportar o ácido láctico até o sítio de coleta da amostra.¹⁵

Após o paciente retornar para Unidade de Terapia Intensiva, pode ocorrer piora progressiva da acidose láctica sem piora hemodinâmica ou até reduções progressivas de drogas vasoativas (DVA) sugerindo que este aumento pode ser decorrente de uma lavagem (*Washout*) do lactato previamente acumulado. Isto pode ocorrer pela melhora da perfusão tecidual que clareia o lactato acumulado durante a lesão e que ainda não foi depurado.¹⁵

Entretanto, o diagnóstico da acidose láctica de *whashout* pode ser difícil, mas é sugerida em reavaliações nas primeiras 6 horas, com evidências de que outros parâmetros perfusionais em melhora (SVO₂, GapCO₂, redução progressiva de drogas vasoativas, paciente despertando adequadamente). Portanto, o tratamento apenas seria esperar a depuração completa do lactato excedente.¹⁵

Apesar de repercutir benéficamente no manejo pós-operatório (extubação, DVA etc.), os pacientes com acidose láctica de *whashout* podem desenvolver mais complicações (inclusive maior mortalidade) principalmente quando mantêm níveis de lactato elevados após 6 a 12 horas do procedimento, podem refletir sofrimento celular em algum momento durante o procedimento.¹⁵

TRATAMENTO

O tratamento das acidoses lácticas tipos A e B são os mesmos das demais acidoses metabólicas, consiste em líquidos intravenosos, restrição de carboidratos e, às vezes, antibióticos (metronidazol).¹

Tipo A

O único tratamento eficaz para a acidose láctica do tipo A é a cessação da produção de ácido pela melhora da oxigenação tecidual. Medidas apropriadas incluem o tratamento de choque, restauração do volume de fluido circulante, melhora ou aumento da função cardíaca, ressecção de áreas isquêmicas e melhora da sepse (que pode provocar uma série de distúrbios circulatórios que levam à hipóxia tecidual).³

Bicarbonato de sódio (NaHCO₃)

Embora haja unanimidade de que a melhor forma de corrigir a acidose orgânica é por meio da reversão da doença de base (e não com administração de bicarbonato), a controvérsia surge quando esta acidose orgânica é severa, e a doença de base não é rapidamente reversível.¹⁶ (Fig. 12-1)

Assim como qualquer outro tipo de terapia, o bicarbonato de sódio possui efeitos colaterais, como a sobrecarga de fluidos e sódio, e também causar hipervolemia, hiperosmolaridade e hipernatremia. O bicarbonato de sódio dado como um *bolus* EV rápido pode causar uma queda transitória na pressão arterial média e um aumento transitório da pressão intracraniana que provavelmente está relacionado com sua hipertonidade, e isto é aliviado quando administrado em infusão intravenosa lenta.¹⁷

O impacto no pH intracelular é desconhecido em tais pacientes, mas a extrapolação de extensos estudos em animais sugere que seja negativo. Apesar da correção da acidemia arterial, o bicarbonato de sódio não apresenta efeitos cardiovasculares favoráveis, mesmo em pacientes com acidemia grave e recebendo infusões contínuas de catecolaminas.¹⁷

Dicloroacetato

O dicloroacetato tem recebido muita atenção pelo tratamento da acidose láctica. O dicloroacetato exerce múltiplos efeitos sobre as vias do metabolismo intermediário. A droga estimula a utilização de glicose periférica e inibe a gliconeogênese, reduzindo assim a hiperglicemia em animais e seres humanos com diabetes *mellitus*.³

O dicloroacetato inibe a lipogênese e a gênese do colesterol, diminuindo assim os níveis circulantes de lipídios e lipoproteínas em estudos de curto prazo de pacientes com distúrbios adquiridos ou hereditários do metabolismo das lipoproteínas. Ao estimular a atividade da PDH, o dicloroacetato facilita a oxidação do lactato e diminui a morbidade nas formas adquiridas e congênitas de acidose láctica.³

No entanto, em um estudo controlado randomizado, os autores concluíram que o tratamento com dicloroacetato de pacientes com

acidose láctica grave resulta em alterações estatisticamente significativas, mas clinicamente sem importância, nas concentrações de lactato no sangue arterial e no pH e não altera a hemodinâmica ou as taxas de sobrevivência.³

Carbicarbe

Carbicarbe é uma mistura de carbonato dissódico (Na_2CO_3) e NaHCO_3 que tampona de forma semelhante ao NaHCO_3 , mas sem geração líquida de dióxido de carbono (CO_2). Os resultados de estudos com animais são promissores, no entanto, ensaios clínicos são escassos.³

A hemofiltração tem sido preconizada para o tratamento da acidose láctica, com base em experiências anedóticas. No entanto, estudos cinéticos de remoção de lactato não sugerem que a remoção possa contrariar a produção de lactato de qualquer maneira significativa. O tratamento ideal é parar a produção de ácido tratando o distúrbio subjacente.³

Tipo B

A acidose láctica (AL) é uma complicação rara, mas com risco de vida, em neoplasias hematológicas e tem sido relatada com uma série de malignidades hematológicas, como o linfoma de Hodgkin, o linfoma não Hodgkin (LNH), leucemias agudas e crônicas, histiocitose.¹⁹

Otto Warburg foi um fisiologista alemão premiado com o Prêmio Nobel, em 1931, por seu trabalho pioneiro com enzimas respiratórias. Mais tarde, suas investigações continuadas levaram à descoberta de que as células cancerígenas produziram lactato a partir da glicose, mesmo sob condições não alcoólicas, um processo denominado glicólise aeróbica. Acredita-se que essa reprogramação do metabolismo energético, também conhecida como efeito Warburg, que a princípio parece contra intuitivo, eventualmente permite que as células cancerígenas desviem sua maquinaria biossintética para abastecer a linha de montagem de novas células cancerígenas. Trabalhos mais recentes também demonstraram que o “fenótipo Warburg” pode ser ligado/desligado dependendo do

suprimento de oxigênio do microambiente. Assim, o metabolismo do tumor regulado positivamente desempenha um papel central no apoio à proliferação de células cancerígenas, crescimento, sobrevivência e progressão tumoral.¹⁹

O mecanismo por trás disso é compreendido de forma incompleta e provavelmente multifatorial, mas pode ser parcialmente explicado por uma atividade glicolítica aeróbia aumentada na célula cancerosa desencadeada por lesões oncogênicas, como a expressão do fator 1 α induzido por hipóxia (HIF1 α). Estas alterações podem, em última instância, promover o aumento da captação de glicose pelo tumor e o desvio do processo oxidativo normal para uma via glicolítica com geração de lactato.¹⁸

No entanto, apesar de as células cancerosas gerarem subprodutos de lactato no microambiente tumoral, os efeitos sistêmicos raramente são significativos. Então, por que é que em certas malignidades, o curso clínico é complicado pela acidose láctica sistêmica? Deficiência nutricional concomitante, como deficiência de tiamina, diminuição da depuração de lactato causada por comprometimento hepático e/ou renal concomitante ou células cancerígenas em modo de proliferação alta podem ajudar a amplificar o processo e, pelo menos, em parte, explicar essa associação. De fato, muitos dos casos relatados na literatura mostraram alguma evidência de comprometimento renal ou hepático. Além disso, a deficiência de tiamina, um cofator crítico para a piruvato desidrogenase, é frequentemente observada em malignidade e pode desviar ainda mais a glicose do ciclo de Krebs para a produção de lactato.¹⁸

Grandes avanços foram feitos na melhoria do tratamento de emergências médicas associadas a malignidades. A infusão intravenosa de bicarbonato foi utilizada na maioria dos casos para atenuar os efeitos sistêmicos da acidemia. Além disso, a implementação de terapia de substituição renal e reposição de tiamina também foi usada em alguns pacientes. A hipoglicemia, provavelmente relacionada com o alto consumo de glicose pelo tumor, foi uma característica conspícua relatada em vários casos.¹⁹

A acidose láctica do tipo B é um fenômeno paraneoplásico raro, mas potencialmente fatal, que foi descrito em associação a

malignidades hematológicas e sólidas e representa um mau prognóstico, se não for rapidamente reconhecido e tratado.¹⁹

A taxa de mortalidade de casos relatados associada a malignidades hematológicas tem sido muito alta; 25 de 27 pacientes com linfoma e 24 de 25 pacientes com leucemia morreram. A ocorrência desta continua sendo um forte marcador de mau prognóstico. Todos os pacientes cuja doença não foi tratada ou não respondeu à quimioterapia morreram com acidose láctica ativa.¹⁸ O maior perigo, no entanto, não é a acidose láctica, mas sim, a lesão do sistema nervoso central que é causada quando a glicólise é acelerada para fornecer ATP que não pode mais ser suprido pela oxidação de cetoácidos. A síndrome de Wernicke-Korsakoff pode ser melhorada ou evitada pelo fornecimento de tiamina.¹⁹

Assim, direcionar ações em várias frentes simultaneamente pode ser uma estratégia mais bem-sucedida. A otimização da depuração de AL por terapia de substituição renal, a correção de deficiências nutricionais (por exemplo, com substituição de tiamina) e o tamponamento de AL com infusão de bicarbonato parecem ser medidas de suporte apropriadas. Finalmente, o tratamento urgente e agressivo da malignidade subjacente deve ser um elemento crucial da estratégia geral, sem a qual o restante das medidas provavelmente não será muito benéfico.¹⁹

Deve-se ter o diagnóstico de acidose láctica do tipo B em qualquer paciente com neoplasias hematológicas que desenvolvem acidose anormal inexplicada com pressão arterial normal ou deterioração do seu estado respiratório sem uma causa óbvia.¹⁹ Embora a acidose láctica possa ser grave, as chances de sobrevivência são boas. As medidas necessárias são a neutralização do íon hidrogênio em excesso com NaHCO_3 , desaceleração da produção de íons hidrogênio com insulina (no caso de acidose láctica induzida por Metformina), aceleração do metabolismo do lactato e eliminação do medicamento agressor por excreção ou outros meios.³

O tratamento visando à via de lactato parece ser uma estratégia razoável. A geração local de lactato no tumor microenvi-
desidrogenase A (LDHA) e/ou os transportadores de

monocarboxilato (MCTs) demonstraram ter efeitos antitumorais no cenário pré-clínico e avançaram em testes clínicos em humanos. A exploração adicional das vias metabólicas do tumor pode não apenas ser promissora para futuras abordagens contra o câncer, mas também permitir um melhor controle da acidose láctica em pacientes como o nosso, por meio de bloqueio direcionado das vias responsáveis, em vez de tentativas ineficientes de mitigar os efeitos a jusante.¹⁹

Hemofiltração

A hemofiltração e as “terapias contínuas de substituição renal” têm sido defendidas como tratamentos para a acidose láctica. Schetz mencionou a acidose láctica como uma indicação para tal tratamento, no entanto, estudos controlados estão faltando. Hilton *et al.* recentemente apresentaram sua experiência de observação, corrigindo a acidose láctica sem induzir expansão do volume extracelular ou hipernatremia em 89 de 200 pacientes (45%) com acidose láctica, durante o tratamento com hemofiltração à base de bicarbonato.²⁰ Cinquenta e sete pacientes (29%) sobreviveram, porém o grupo de estudo de pacientes que sobreviveram, em comparação àqueles que morreram, não era pareado para idade e pressão arterial média, gravidade da acidose de apresentação e nem nas concentrações de lactato no sangue arterial.²¹

Mariano *et al.* relataram sucesso no uso de terapia de substituição renal contínua para o tratamento da acidose láctica induzida por fenformina.²² No entanto, há uma ampla razão para ceticismo em relação a esses relatos anedóticos. Levraut *et al.* investigaram os efeitos da terapia de substituição renal contínua na depuração de lactato.²³ Eles estudaram 10 pacientes criticamente doentes com insuficiência renal aguda, mediram as concentrações de lactato em amostras de soro e ultrafiltrado de pacientes que receberam hemofiltração venovenosa contínua com diálise, para calcular o *clearance* de lactato pelo hemofiltro. Além disso, eles conduziram uma avaliação da depuração de lactato total no plasma pela infusão de lactato de sódio (1 mmol/Kg de peso corporal) em 15 min. Eles descobriram que, no final da infusão de lactato, a

mediana da concentração de lactato sanguíneo aumentou apesar da terapia de substituição renal. A mediana da depuração de lactato plasmático total foi de 1.379 mL/min (variação de 754 a 1.881 mL/min), e a depuração do lactato com filtro mediano foi de 24 mL/min (variação de 7 a 36 mL/min). Portanto, a depuração do filtrado de lactato foi responsável por < 3% da depuração total de lactato.

CONSIDERAÇÕES FINAIS

- Adrenalina em bomba de infusão e nitroprussiato de sódio aumentam lactato sérico por alteração enzimática. Portanto, cuidado com interpretação isolada da hiperlactatemia nos pacientes utilizando essas medicações. Lembrem-se da avaliação multimodal da perfusão tissular pois é o mais importante.
- Não se deve interpretar lactato colhido de sangue venoso periférico pois pode refletir apenas o *status* regional. Preferencialmente amostra arterial, venosa mista ou venosa central.
- Não tenham medo da administração de Solução de Ringer Lactato nas situações de hiperlactatemia, pois sua influência no lactato sérico é mínima, e esta solução é um cristalóide balanceado muito disponível em nosso meio.
- Após coletada a amostra de sangue, evite demoras na análise já que os componentes sanguíneos produzem lactato *in vitro*, o que pode falsear o resultado.
- Podemos dialisar pacientes com acidose láctica importante como suporte, principalmente nas situações que as medidas específicas para o fator desencadeante estão sendo tomadas. A correção da acidose pela hemodiálise é mais benéfica em pacientes com disfunção ventricular esquerda, presença de arritmias, vasoplegia importante e perda da eficiência das catecolaminas pela acidose. Obviamente respeitando a tolerância hemodinâmica para o procedimento.
- Hiperlactatemia de *whashout* pode ocorrer, principalmente em pós-operatórios de cirurgias de grande porte.

REFERÊNCIAS BIBLIOGRÁFICAS

1. Lewis JL. Acidose metabólica. *Manual MSD* 2018. [Internet] Acessado em 20/08/2019. Disponível em: <https://www.msdmanuals.com/pt-br/profissional/distúrbios-endócrinos-e-metabólicos/regulação-e-distúrbios-ácido-base/acidose-metabólica>.
2. Kreisberg RA. Lactate homeostasis and lactic acidosis. *Ann Intern Med* 1980;92(2 Pt 1):227-37.
3. Luft FC. Lactic acidosis update for critical care clinicians. *J Am Soc Nephrol* 2001;12 Suppl 17:S15-9.
4. Madias NE. Lactic acidosis. *Kidney Int* 1986;29(3):752-74.
5. Arieff AI, Park R, Leach WJ, Lazarowitz VC. Pathophysiology of experimental lactic acidosis in dogs. *Am J Physiol* 1980;239(2):F135-42.
6. Arieff AI, Graf H. Pathophysiology of type A hypoxic lactic acidosis in dogs. *Am J Physiol* 1987;253(3 Pt 1):E271-6.
7. Marliss EB, Ohman JL Jr, Aoki TT, Kozak GP. Altered redox state obscuring ketoacidosis in diabetic patients with lactic acidosis. *N Engl J Med* 1970;283(18):978-80.
8. Scale T, Harvey JN. Diabetes, metformin and lactic acidosis. *Clin Endocrinol (Oxf)* 2011;74(2):191-6.
9. Sillos EM, Shenep JL, Burghen GA *et al*. Lactic acidosis: a metabolic complication of hematologic malignancies: case report and review of the literature. *Cancer* 2001;92(9):2237-46.
10. Fraley DS, Adler S, Bruns FJ, Zett B. Stimulation of lactate production by administration of bicarbonate in a patient with a solid neoplasm and lactic acidosis. *N Engl J Med* 1980;303(19):1100-2.
11. Nadiminti Y, Wang JC, Chou SY *et al*. Lactic acidosis associated with Hodgkin's disease: response to chemotherapy. *N Engl J Med* 1980;303(1):15-7.
12. Friedenbergl AS, Brandoff DE, Schiffman FJ. Type B lactic acidosis as a severe metabolic complication in lymphoma and leukemia: a case series from a single institution and literature review. *Medicine (Baltimore)* 2007;86(4):225-32.
13. Sia P, Plumb TJ, Fillaus JA. Type B lactic acidosis associated with multiple myeloma. *Am J Kidney Dis* 2013;62(3):633-7.

14. Dhup S, Dadhich RK, Porporato PE, Sonveaux P. Multiple biological activities of lactic acid in cancer: influences on tumor growth, angiogenesis and metastasis. *Curr Pharm Des* 2012;18(10):1319-1330.
15. Lima A. Acidose láctica: mais dicas práticas. *Cardio Papers* 2018 [Internet] Acessado em 20/08/2019. Disponível em: <https://cardiopapers.com.br/acidose-lactica-mais-dicas-praticas/>
16. Rocha PN. Uso de bicarbonato de sódio na acidose metabólica do paciente gravemente enfermo. *J Bras Nefrol* 2009;31(4):297-306.
17. Forsythe SM, Schmidt GA. Sodium Bicarbonate for the Treatment of Lactic Acidosis. *Chest* 2000;117(1):260-7.
18. Sayyed AH, Aleem A, Al-Katari MS *et al.* Acute Lymphoblastic Leukemia Presenting with Liver Infiltration and Severe Lactic Acidosis. *Am J Case Rep* 2018;19:453-457.
19. Claudino WM, Dias A, Tse W, Sharma VR. Type B lactic acidosis: a rare but life threatening hematologic emergency. A case illustration and brief review. *Am J Blood Res* 2015;5(1):25-9. eCollection 2015.
20. Schetz M. Non-renal indications for continuous renal replacement therapy. *Kidney Int Suppl* 1999;(72):S88-94.
21. Hilton PJ, Taylor J, Forni LG, Treacher DF. Bicarbonate-based haemofiltration in the management of acute renal failure with lactic acidosis. *QJM* 1998;91(4):279-83.
22. Mariano F, Benzi L, Cecchetti P *et al.* Efficacy of continuous venovenous haemofiltration (CVVH) in the treatment of severe phenformin-induced lactic acidosis. *Nephrol Dial Transplant* 1998;13(4):1012-5.
23. Levraut J, Ciebiera JP, Jambou P *et al.* Effect of continuous venovenous hemofiltration with dialysis on lactate clearance in critically ill patients. *Crit Care Med* 1997;25(1):58-62.

Parte III

Toxicidade Associada ao Tratamento Oncológico

Daniella Ramone

NAUSEA, VOMITO E ANTIEMÉTICOS

A área postrema e o centro do vômito são os sítios cerebrais mais importantes envolvidos no processo de náuseas e vômitos, em conjunto com mais de 30 neurotransmissores identificados; alguns destes com menor envolvimento, como histamina e acetilcolina, e outros com importante atuação nas náuseas induzidas por quimioterapia, como dopamina, serotonina (5-hidroxitriptamina, 5-HT), substância P e canabinoides. A função dos receptores de dopamina compõe uma das mais precoces intervenções sobre êmese relacionada com a quimioterapia, e a função dos receptores 5-HT se consolidou como a mais importante, com atuação mais efetiva em sítios periféricos e função incerta no sistema nervoso central (SNC). A substância P também foi reportada como sendo um dos neurotransmissores mais importantes relacionados com náuseas agudas e tardias da quimioterapia, sendo parte de uma classe de peptídeos regulatórios chamados de taquiquininas, causando náuseas quando ligados aos receptores de NK1. Para a ocorrência de êmese, os receptores 5-HT parecem ter maior relevância na fase aguda, a substância P e os receptores NK1 na tardia. As náuseas antecipatórias são geralmente vinculadas à lembrança, situação ou odores e originam-se no córtex cerebral.^{1,2}

A área postrema também pode ter suas vias ativadas por toxinas bacterianas e distúrbios metabólicos que precisam ser

descartados em pacientes em quimioterapia. Os sintomas podem acontecer de forma antecipatória (antes da administração da medicação), precoce (até 24 horas) ou tardios (um ou dois dias após o término da medicação). A anamnese é fundamental para a comprovação da etiologia, tentando-se estabelecer o tempo de relação entre as drogas administradas e o início dos sintomas. Devem-se descartar outras causas em paciente em vigência de quimioterapia, como oclusão ou suboclusão intestinal, disfunção vestibular, metástase em sistema nervoso central, distúrbio hidroeletrólítico (hipercalcemia, hiperglicemia, hipoglicemia, uremia), uso concomitante de outras medicações, como opioides, gastroparesia por tumor, ou causas sistêmicas, como diabetes *mellitus*, sialorreia (especialmente em neoplasias de cabeça e pescoço), ascite maligna e manifestações psicossomáticas, como ansiedade. Um exame físico detalhado avalia sinais de gravidade, como desidratação, sinais vitais, nível de consciência, e define a necessidade de medidas de maior suporte, como internação hospitalar.³

O National Cancer Institute (NCI), “Common Terminology Criteria for Adverse Events (CTCAE)” possui uma classificação de sintomas por graus, sendo descrito para náuseas grau 1: perda de apetite sem alteração nos hábitos alimentares; grau 2: redução da ingesta oral sem perda significativa de peso, desidratação ou desnutrição; grau 3 em que há ingesta inadequada de calorias orais ou de fluidos, indicação de alimentação por sonda, nutrição parenteral ou indicação de hospitalização. Os vômitos podem ser classificados em graus 1 a 5, sendo 1: sem indicação de intervenção; grau 2: indicação de hidratação venosa; grau 3: necessidade de alimentação por sonda, nutrição parenteral ou indicação de internação; grau 4: com consequências que ameacem a vida e grau 5: morte.⁴

A melhor forma para intervir em náuseas e vômitos é a prescrição preventiva, conforme a identificação do grau emetogênico de cada esquema quimioterápico ou radioterápico. É preconizado que os esquemas antieméticos sejam administrados ao início da infusão das drogas e mantidos, conforme grau de risco em que se apresentam. Os quimioterápicos são classificados em quatro

grupos de risco para êmese em minimamente emetogênico, com ocorrência em menos de 10% dos casos, baixo potencial emetogênico, quando ocorre entre 10 a 30% dos casos, potencial emetogênico moderado, entre 30 a 90% dos casos e alto potencial, provocando êmese em mais de 90% das administrações.⁵ Para esquemas com alto risco devem-se administrar quatro drogas, incluindo antagonista do receptor NK1, antagonista do receptor de serotonina 5-HT3, dexametasona e olanzapina. Quando o esquema de alto risco contém doxorubicina associada à ciclofosfamida, pode-se manter Olanzapina por dois a quatro dias após infusão. Na classificação com o risco moderado utilizando Carboplatina com AUC ≥ 4 , associar antagonista do receptor NK1, antagonista do receptor de serotonina 5-HT3 e Dexametasona. Para esquemas contendo ciclofosfamida, doxorubicina e/ou oxaliplatina que apresentam potencial risco de náuseas tardias, pode-se manter dexametasona no D1 ao D3 de quimioterapia. Para outros esquemas de moderado potencial de emetogenicidade, podem-se oferecer duas drogas com antagonista do receptor de serotonina 5-HT3 e dexametasona. Em esquemas com baixo risco, pode-se oferecer antagonista do receptor de serotonina 5-HT3 ou dexametasona 8 mg antes da infusão de quimioterapia. Em combinações de drogas a recomendação é utilizar sempre o esquema para a droga de maior potencial emetogênico.² Para esquema com risco emetogênico mínimo ($< 10\%$), não há recomendação para profilaxia medicamentosa.⁶ Metoclorpramida só é indicada de rotina para uso isolado na classificação de baixo risco.³

O lorazepan associado aos esquemas pode melhorar os resultados, especialmente na presença de náuseas antecipatórias, mas não deve ser oferecido sem a combinação de outros antieméticos.

Para pacientes em radioterapia classificados como alto potencial de causar êmese, deve-se oferecer antes de cada sessão antagonista do receptor de serotonina 5-HT3 associado à dexametasona e mantidos no dia posterior. Para o risco intermediário deve-se oferecer antagonista do receptor de serotonina 5-HT3 associado à dexametasona antes das cinco

primeiras sessões. Para o baixo risco irradiando sistema nervoso central pode-se oferecer Dexametasona de resgate; em sítio de cabeça, pescoço, tórax ou pelve, pode-se oferecer antagonista do receptor de serotonina 5-HT₃, dexametasona ou antagonista do receptor de dopamina de resgate.⁷ Em tratamento combinado com quimioterapia e radioterapia, prevalece o esquema para o maior risco emetogênico. Considerar o uso de bloqueador H₂ ou de bomba de prótons para evitar dispepsia que pode mimetizar náuseas.

A ondansetrona é o representante mais largamente utilizado da primeira geração dos receptores 5-HT, sendo substituída na segunda geração por Palanasetrona que confere uma meia-vida de cerca de 40 horas decorrente da forte ligação ao receptor. Aprepitanto foi a primeira droga liberada da classe dos bloqueadores de receptor NK1.¹ Yokoe T *et al.*, em uma metanálise publicada, em 2018, com 13.356 pacientes em 27 estudos randomizados sobre regimes de antieméticos, concluíram que excluindo a associação do antipsicótico olanzapina, as associações mais efetivas são com Inibidores de receptor de NK1 + palanasetrona + dexametasona e inibidor de receptor de NK1 + 5-HT₃ + dexametasona.⁵

A medicina integrativa traz opções para associação à alopatia, como ingestão de gengibre, acupuntura, meditação, relaxamento, mas não possui até o momento nível de evidência científico. O uso de canabinoides não possui liberação legal para uso medicinal no Brasil. Alterações comportamentais podem ajudar como coadjuvantes, como fazer refeições fracionadas em menor quantidade, ingerir alimentação saudável e em temperatura ambiente ([Quadro 13-1](#) e [13-2](#)).

Quadro 13-1. Potenciais de Emetogenicidade de Quimioterápicos Comumente Indicados

Potencial emetogênico	Esquemas mais frequentes
Mínimo (< 10%)	Bevacizumabe, vinorelbina, bleomicina, fludarabina, vincristina, vinorelbina, bevacizumabe, rituximabe

Baixo (10-30%)	Fluorouracil, docetaxel, paclitaxel, mitoxantrona, doxorubicina lipossomal, topotecano, etoposide, pemetrexede, metrotrexato, gencitabina, citarabina (< 100 mg/m ²), trastuzumabe, cetuximabe
Moderado (30-90%)	Carboplatina, irinitecano, oxaliplatina, citarabina (> 1 g/m ²), ifosfamida, ciclofosfamida (< 1,5 mg/m ²), doxorubicina, daunorrubicina, epirubicina, irinotecano
Elevado (> 90%)	Cisplatina, doxorubicina + ciclofosfamida, epirubicina + ciclofosfamida, carmustina, dacarbazina

Quadro 13-2. Indicações de Antieméticos Conforme Potencial Emetogênico

Potencial emetogênico	Esquemas preconizados
Mínimo	Sem esquemas regulares indicados
Baixo	<ul style="list-style-type: none"> ■ Antagonista do receptor de serotonina 5-HT₃ OU ■ Dexametasona 8 mg antes da infusão de quimioterapia
Moderado	<ul style="list-style-type: none"> ■ Antagonista do receptor NK1 ■ Antagonista do receptor de serotonina 5-HT₃ ■ Dexametasona (Manter no D1 ao D3 para drogas com potencial de êmese tardia)
Elevado	<p>Quatro classes de drogas:</p> <ul style="list-style-type: none"> ■ Antagonista do receptor NK1

- Antagonista do receptor de serotonina 5-HT₃
- Dexametasona
- Olanzapina

DIARREIA E CONSTIPAÇÃO INTESTINAL

Diarreia

A diarreia é a eliminação de fezes não moldadas ou liquefeitas ou com volume superior a 200 g/dia ou superior a três evacuações. Pode ser classificada em aguda (inferior a duas semanas), persistente (de duas a quatro semanas) ou crônica (duração maior que quatro semanas).^{1,2}

As diarreias são classificadas conforme o National Cancer Institute (NCI), “Common Terminology Criteria for Adverse Events (CTCAE)” em grau 1: até três evacuações ao dia acima do normal ou aumento leve da eliminação da ostomia comparado ao usual; grau 2: quatro a seis evacuações ao dia acima do habitual ou aumento moderado de eliminação pela ostomia; grau 3: cerca de 7 eliminações fecais acima do habitual, incontinência fecal ou aumento importante de eliminação pela ostomia, indicação de hospitalização, limitação de autocuidado; grau 4: consequências que ameacem a vida e/ou necessidade de intervenção imediata; grau 5: óbito.⁴

Alguns quimioterápicos e terapias-alvo são altamente relacionadas com a diarreia, com alguns dos mais frequentes descritos, como o fluorouracil, um análogo de pirimidina que interfere na síntese de DNA e, em menor impacto, inibe a formação de RNA, lesionando células em proliferação, como a dos enterócitos. Seu efeito está diretamente vinculado à atuação da di-hidropirimidina desidrogenase e sua deficiência (descrita em 3-5% da população caucasiana e 0,1% da população afro-americana) pode causar efeitos colaterais graves e letais. A diarreia relacionada com esta droga é descrita como toxicidade muito comum, ocorrendo em mais de 10% dos pacientes. A capecitabina é uma pró-droga do fluorouracil ativada pela timidina fosforilase, causando inibição da síntese de DNA, RNA e proteínas, tendo a diarreia como evento

comportamento.^{1,3} Contribuem para sua deflagração a presença de dor, distúrbios cognitivos prévios e condições do ambiente em que o paciente se encontra (níveis de ruído, intensidade de luz).¹

Por descrever ampla gama de respostas comportamentais, muitas vezes superponíveis, recomenda-se que, em vez de empregar termos imprecisos, o profissional descreva o estado do paciente a partir das respostas verificadas e os estímulos que foram realizados.³

NEUROANATOMIA E FISIOPATOLOGIA DOS ESTADOS ALTERADOS DE CONSCIÊNCIA

Alterações do estado mental correlacionam-se com alterações estruturais, metabólicas e/ou funcionais de circuitos talamocorticais e corticocorticais (especialmente frontoparietais).¹⁰ A gravidade do dano correlaciona-se com a severidade do quadro clínico do paciente.¹⁰

A regulação do comportamento consciente depende de ação coletivamente organizada de estruturas corticais e subcorticais.¹¹ Os componentes corticais incluem as principais áreas de processamento superior heteromodal (córtex frontal medial, córtex frontal lateral, córtex frontal orbital, ínsula anterior, cíngulo anterior, cíngulo posterior, córtex parietal medial e região temporoparietal); os componentes subcorticais incluem tálamo, hipotálamo, gânglios basais, cerebelo, amígdala e o sistema reticular ativador ascendente (SRAA).¹² Duas categorias de lesões podem causar alterações do estado mental:³

- a) **Lesões com efeitos compressivos:** as lesões compressivas promovem desvios de tecido neural (herniações), distorções do SRAA ou de seus alvos ou elevações de pressão intracraniana a ponto de comprometer o fluxo sanguíneo cerebral ou ocasionar isquemia.
- b) **Lesões com efeitos destrutivos:** doenças infecciosas, alterações metabólicas ou privações de substrato metabólico (glicose, oxigênio) ocasionam lesões destrutivas que podem

acometer difusamente o SRAA, o córtex cerebral ou a substância branca.

DIAGNÓSTICO DIFERENCIAL

- *Lesões supratentoriais (hemisférios cerebrais e diencefalo):* acidentes vasculares encefálicos, hemorragias subdurais, hemorragias subaracnoides, trombozes venosas, abscessos, neoplasias primárias ou metastáticas, traumatismo cranioencefálico.
- *Lesões infratentoriais (cerebelo e tronco encefálico):* acidentes vasculares, hemorragias, abscessos, neoplasias.
- *Causas metabólicas-infecciosas:* insultos hipóxicos-isquêmicos, hipoglicemia, encefalopatia hepática, encefalopatia urêmica, encefalopatia associada à sepse, encefalopatia hipoglicêmica ou hiperglicêmica, encefalopatia hiponatrêmica ou hipernatrêmica, intoxicações exógenas, distúrbios endocrinológicos, desnutrição, encefalite herpética.

ABORDAGEM GERAL DO PACIENTE

Importa ressaltar que, até o momento, não há exame padrão ouro para avaliar quantitativa e/ou qualitativamente a consciência, especialmente nos pacientes não comunicativos, a despeito da evolução tecnológica que inclui distintas modalidades de ressonância magnética e de registros eletroencefalográficos.^{7,13} A história clínica deve focar início dos sintomas, presença de comorbidades, uso de medicações e antecedentes de trauma.

ABORDAGEM NEUROLÓGICA DO PACIENTE

O principal elemento na determinação da natureza da alteração do estado mental do paciente é o exame neurológico.³ Devem ser avaliados:

1. *Abertura ocular:* espontânea, após estímulo verbal ou doloroso, ausente.
2. *Reações pupilares:* presentes, ausentes ou assimétricas.

3. *Resposta verbal*: discurso orientado, confuso, inapropriado, incompreensível ou ausente.
4. *Respostas motoras*: avaliação das respostas motoras compreende a determinação do tônus muscular e das respostas eliciadas pelo comando verbal ou por estímulos dolorosos (resposta normal, retirada ou localização de estímulo, resposta flexora ou extensora anormais, ausência de resposta).
5. *Padrão respiratório*: padrões anormais de respiração oferecem pistas relacionadas com as causas da alteração do estado mental:⁴
 - Respiração de Cheyne-Stokes: padrão respiratório em que há oscilação lenta entre hiperventilação e hipoventilação, intercalados por períodos de apneia; relaciona-se com as encefalopatias metabólicas, intoxicações ou com lesões hemisféricas bilaterais, diencefálicas ou da região superior da ponte.
 - Hiperventilação central: caracteriza-se por frequência respiratória elevada (entre 40 e 70 por minuto) e constante, decorrente de lesão da formação reticular situada na porção distal do mesencéfalo e nas porções proximal e média da ponte.
 - Respiração apnêustica: consiste em respiração profunda com pausa de 2 a 3 segundos no final da inspiração, por causa de lesões em região dorsomedial da metade inferior da ponte.
 - Respiração atáxica: consiste em padrão respiratório irregular (frequência, ritmo e amplitude) em que movimentos profundos e superficiais podem-se alternar, em decorrência de lesões incompletas da região dorsomedial do bulbo.

Apesar de suas limitações,¹⁴ principalmente quando os pacientes estão sob intubação, a **escala de coma de Glasgow** (ECGI), ainda é a mais usada na prática clínica para avaliar o nível de consciência e facilitar a comunicação entre profissionais.⁴

Confusão e desorientação mental precedendo o surgimento do estupor e do coma geralmente ocorre na **encefalopatia metabólica**. Não costuma haver alterações motoras (respostas flexora ou extensora anormais) localizatórias; quando ocorrem, geralmente são

alterações simétricas. Achados frequentes são mioclonias, asterixe e tremores; podem ocorrer crises convulsivas.

Encefalopatia associada à sepse (EAS) é causa negligenciada de alteração do estado mental em pacientes críticos.¹⁵ Trata-se de síndrome de disfunção cerebral difusa (agitação, confusão ou sonolência, estupor e coma), de prevalência variável (8 a 70%),¹⁶ relacionada com os efeitos da inflamação sistêmica na perfusão cerebral e na atividade neuronal, sem evidências clínicas ou laboratoriais de infecção encefálica primária ou de outros tipos de encefalopatia.^{15,17} Os pacientes não apresentam sinais localizatórios, e o quadro clínico pode-se iniciar em estágios precoces da infecção. Podem ocorrer disfunções neuroendócrinas e autonômicas; mioclonias, asterixe e convulsões são menos frequentes em relação às outras encefalopatias metabólicas.¹⁵ Não há marcadores específicos para a síndrome; após avaliação neurológica adequada, o médico intensivista deverá avaliar a fonte primária de infecção e a gravidade do quadro, por meio de análise do painel metabólico, do líquido cefalorraquidiano e de exames como ecocardiograma, tomografia e culturas.

NEUROIMAGEM

O aspecto fundamental do exame de imagem, além do auxílio diagnóstico quanto à etiologia da alteração do estado mental, é detectar prontamente lesão passível de correção cirúrgica.¹⁸ O exame de tomografia computadorizada (TC) é rápido, menos suscetível a artefatos de movimento e eficaz para identificar eventos, como isquemias e hemorragias. A ressonância magnética (RM) apresenta imagens de melhor qualidade (especialmente em relação à fossa posterior, em comparação à TC) e é mais sensível na identificação de patologias estruturais.⁴ A RM pode também evidenciar de modo mais preciso a severidade e a extensão das regiões encefálicas lesionadas.¹⁸ A escolha entre um e/ou outro dependerá do contexto clínico.

FERRAMENTAS DIAGNÓSTICAS AUXILIARES

Punção Lombar

A coleta de líquido cefalorraquidiano (LCR) é especialmente importante se houver suspeita de etiologia infecciosa como responsável pela alteração do estado mental.⁴ Devem ser obtidas amostras para contagem e quantificação celular, avaliação da composição bioquímica (glicose e proteína), realização de cultura e reação em cadeia da polimerase (PCR) para amplificação de DNA de organismos patogênicos.

Eletroencefalograma (EEG)

Trata-se de exame particularmente útil, quando a história clínica dos pacientes com alteração do estado mental não pode ser obtida. A monitorização contínua em UTI possibilita a avaliação do tratamento anticonvulsivante, auxilia no diagnóstico do estado de mal epilético não convulsivo⁴ e na determinação da etiologia de outras encefalopatias (sedação medicamentosa excessiva, encefalopatia hepática ou urêmica, encefalite infecciosa).

REFERÊNCIAS BIBLIOGRÁFICAS

1. Behrouz R, Godoy DA, Azarpazhooh MR, Di Napoli M. Altered mental status in the neurocritical care unit. *J Crit Care* 2015;30(6):1272-7.
2. Wijdicks EF, Kramer AA, Rohs T Jr *et al.* Comparison of the Full Outline of UnResponsiveness score and the Glasgow Coma Scale in predicting mortality in critically ill patients. *Crit Care Med* 2015;43(2):439-44.
3. Posner JB, Saper CB, Schiff ND, Plum F. *Plum and Posner's diagnosis of stupor and coma*. 4 th ed. Oxford: Oxford University Press; 2007.
4. Riggeal BD, Waked CS, Okun MS. Diagnosis and Treatment of Altered Mental Status. In: Layon A, Gabrielli A, Friedman W (Eds.). *Textbook of Neurointensive Care*. London: Springer; 2013. p. 521-40.
5. Di Perri C, Stender J, Laureys S, Gosseries O. Functional neuroanatomy of disorders of consciousness. *Epilepsy Behav* 2014;30:28-32.

6. Laureys S. The neural correlate of (un)awareness: lessons from the vegetative state. *Trends Cogn Sci* 2005;9(12):556-9.
7. Blume C, Del Giudice R, Wislowska M *et al.* Across the consciousness continuum-from unresponsive wakefulness to sleep. *Front Hum Neurosci* 2015;9:105.
8. Overgaard M. How can we know if patients in coma, vegetative state or minimally conscious state are conscious? *Prog Brain Res* 2009;177:11-9.
9. Gosseries O, Bruno MA, Chatelle C *et al.* Disorders of consciousness: what's in a name? *NeuroRehabilitation* 2011;28(1):3-14.
10. Lant ND, Gonzalez-Lara LE, Owen AM, Fernández-Espejo D. Relationship between the anterior forebrain mesocircuit and the default mode network in the structural bases of disorders of consciousness. *Neuroimage Clin* 2015;10:27-35.
11. Blumenfeld H. Neuroanatomical basis of consciousness. In: Laureys S, Tononi G, Gosseries O, Boly M. *The neurology of Consciousness*, 2nd ed. San Diego: Academic Press; 2016. p. 3-30.
12. Mesulam MM (Ed.). *Principles of behavioral and cognitive neurology*. 2nd ed. Oxford: Oxford University press; 2000. 540 p.
13. Kondziella D, Friberg CK, Frokjaer VG *et al.* Preserved consciousness in vegetative and minimal conscious states: systematic review and meta-analysis. *J Neurol Neurosurg Psychiatry* 2016;87(5):485-92.
14. The Brain Trauma Foundation. The American Association of Neurological Surgeons. The Joint Section on Neurotrauma and Critical Care. Glasgow coma scale score. *J Neurotrauma* 2000;17(6-7):563-71.
15. Chaudhry N, Duggal AK. Sepsis Associated Encephalopathy. *Adv Med* 2014;2014:762320.
16. Zhang QH, Sheng ZY, Yao YM. Septic encephalopathy: when cytokines interact with acetylcholine in the brain. *Mil Med Res* 2014;(1):20.
17. Hosokawa K, Gaspard N, Su F *et al.* Clinical neurophysiological assessment of sepsis-associated brain dysfunction: a systematic review. *Crit Care* 2014;18(6):674.

18. Sharma P, Eesa M, Scott JN. Scott, Toxic and acquired metabolic encephalopathies: MRI appearance. *AJR Am J Roentgenol* 2009;193(3):879-86.

Carlos Roberto de Almeida Junior

INTRODUÇÃO

O Estado de mal epilético (EME) é condição reconhecida há mais de dois mil anos. Em um artefato babilônico, que se encontra no museu de Londres, há registro de crises convulsivas que se prolongam perigosamente ou que se sucedem sem a recuperação da consciência do indivíduo que fora acometido: “se o demônio recai sobre ele muitas vezes num mesmo dia, ou ele o possuir por 7 vezes, sua vida será poupada; se o demônio recair sobre ele por 8 vezes sua vida não será poupada”.¹

EME é a segunda emergência neurológica mais frequente,² cuja mortalidade global pode atingir 30%³ – nos casos de EME refratário, quando não há resposta às medicações antiepiléticas de primeira linha, os índices são mais elevados, podendo chegar até 60%. Pico de incidência em crianças menores que um ano de idade e idosos com mais de 60 anos de idade.

EME foi definido pela Neurocritical Care Society desta forma: ocorrência de crises convulsivas clínicas e/ou eletroencefalográficas contínuas, ou crises recorrentes sem a recuperação do nível de consciência basal entre as crises, por 5 minutos ou mais.⁴ Em 2015, foi proposta uma definição operacional mais abrangente⁵ pela International League Against Epilepsy, pois além de indicar o momento adequado para o início do tratamento, também enfatiza as

possíveis morbidades associadas ao controle inadequado do evento: EME é condição resultante ou da falência dos mecanismos responsáveis pela cessação da crise, ou da ocorrência de mecanismos que conduzem a crises anormalmente prolongadas (duração maior que **5 minutos** para crises generalizadas, maior que **10 minutos** para crises focais com alterações de consciência, maior que **10-15 minutos** para crises de ausência); pode ter consequências de longo prazo para o paciente, decorridos **30 minutos** para crises generalizadas ou **60 minutos** para crises focais, e que incluem: dano neuronal, alterações de redes neuronais ou até mesmo morte neuronal, a depender do tipo e da duração das crises.⁶

CLASSIFICAÇÃO

EME pode ser classificado com base na semiologia das crises, na etiologia, em alterações no eletroencefalograma (EEG) ou na idade do paciente. Em termos operacionais, podemos utilizar uma classificação mais objetiva:

- a) EME convulsivo.
- b) EME não convulsivo: 14% dos casos;⁷ paciente apresenta variações no nível de consciência, associadas a alterações de EEG, sem apresentar comportamento convulsivo clinicamente evidente.
- c) EME refratário.

ETIOLOGIA

As principais causas são:

- Suspensão abrupta de medicação anticonvulsivante.
- Baixa concentração sanguínea de medicação anticonvulsivante.
- Tumores cerebrais.
- Abstinência alcoólica.
- Doença cerebrovascular (acidentes vasculares encefálicos isquêmicos ou hemorrágicos).
- Hipoglicemia.

- Infecção sistêmica.
- Infecção do sistema nervoso central.
- Lesões traumáticas do sistema nervoso central.
- Neurotoxicidade medicamentosa (cocaína, antibióticos, como cefalosporinas e quinolonas; e agentes quimioterapêuticos, como bevacizumabe, cisplatina, metotrexato).

EME secundário a tumor cerebral corresponde a 4-12% dos casos.⁸ Marcuse *et al.*,⁹ em estudo retrospectivo que avaliou EME não convulsivo, encontraram apenas 2% de pacientes portadores de tumores cerebrais. Dentre os tumores cerebrais, os mais comumente associados à epilepsia – portanto, com maiores chances de desenvolverem EME, são:¹⁰

- Tumores glioneurais (gangliogliomas e tumores neuroepiteliais disembrionários – DNETs): 70-80% dos pacientes apresentam crises convulsivas.
- Gliomas de baixo grau (astrocitomas e oligodendrogliomas grau II da Organização Mundial da Saúde): 60-75% dos pacientes apresentam crises convulsivas.

Os pacientes portadores de metástases cerebrais são menos propensos a apresentarem crises convulsivas (25% dos casos); as metástases de melanoma e de neoplasias primárias do pulmão são as mais propensas a manifestar convulsões (67 e 29%, respectivamente).¹⁰

FISIOPATOLOGIA

A fisiopatologia do EME envolve modificações estruturais, tanto em distribuição, quanto em composição, dos receptores para os neurotransmissores. Tais eventos acarretam crises autossustentáveis e resultam em redução de efetividade das medicações comumente utilizadas nos estágios iniciais do EME.¹¹

Efeitos Cerebrais

Em termos neuronais, ocorre diminuição de densidade sináptica de receptores do tipo GABA-A, por mecanismos de internalização ainda não completamente elucidados, e subsequente perda de mecanismos de inibição sináptica mediados pelo sistema inibitório mediado por GABA;¹² simultaneamente, ocorre aumento dos mecanismos excitatórios mediados pelos receptores N-metil-D-aspartato (NMDA), que facilitam a despolarização neuronal na presença de glutamato a partir do aumento de influxo celular de cálcio. Crises prolongadas induzem a expressão e o acúmulo de receptores NMDA em membrana pós-sináptica, o que aumenta a excitabilidade neural.¹³

Quebra da barreira hematoencefálica, ocasionada pela atividade epiléptica paroxística e prolongada ou por insulto neurológico, possibilita a entrada de células e moléculas (p. ex.: leucócitos e albumina) capazes de ativar astrócitos e micróglia e promover a produção de citocinas pró-convulsivas (interleucina 1 β , interleucina 6, ciclo-oxigenase-2, fator de necrose tumoral), contribuindo para a epileptogênese.¹¹ A cascata inflamatória, atuando como neuromoduladora, culmina na redução do limiar convulsivo das redes neuronais a inúmeros fatores, como infecções e autoimunidade.¹⁴

Nas fases iniciais do EME, persiste acoplamento metabólico (alta taxa de extração de oxigênio e elevada demanda por glicose) com a dinâmica vascular encefálica (aumento do fluxo sanguíneo cerebral). Se as convulsões persistirem, a relação hemodinâmica-metabólica fica desequilibrada, ocorrem hipóxia tecidual e metabolismo anaeróbico, com elevação da pressão intracraniana.

Efeitos Sistêmicos

Inúmeras alterações sistêmicas resultam das contrações musculares generalizadas e excessivas (hipertermia, elevação de potássio sérico, rabdomiólise) e de prejuízo das funções respiratórias, com hipóxia e acidose respiratória. Crises prolongadas aumentam o consumo celular de oxigênio e glicose, deflagrando mecanismos para tentar compensar extremas demandas metabólicas: alterações de pressão arterial, taquicardia,

hiperglicemia, vasoconstrição periférica e aumento do fluxo sanguíneo cerebral. Ocorre aumento do metabolismo anaeróbico, com elevação do lactato e acidose metabólica. Progressivamente, tais mecanismos entram em falência, ocasionando até mesmo colapso cardiocirculatório.¹⁵

DIAGNÓSTICO

O diagnóstico é basicamente clínico. Entretanto, as manifestações clínicas estereotipadas de crises persistentes podem-se tornar progressivamente mais sutis, especialmente após administração de medicações antiepiléticas – 14 a 20% dos pacientes tratados evoluem para EME não convulsivo,² daí a importância da monitorização contínua por EEG (EEGc). EEGc está indicado quando houver alteração de nível de consciência persistente pós- crise, oscilação do nível de consciência sem nova lesão aguda, ou quando houver necessidade de paralisia muscular farmacológica.¹⁶

Exames de imagens podem indicar alteração estrutural subjacente, mas não devem retardar início do tratamento. A ressonância magnética (RM) oferece mais detalhes anatômicos das estruturas encefálicas; no entanto, a tomografia computadorizada (TC) é mais rápida e mais adequada para visualizar a presença de sangue.¹⁷ A TC é capaz de identificar lesões cerebrais neoplásicas e edema vasogênico, sendo exame de escolha em situações de urgência-emergência. Conforme as circunstâncias clínicas, se houver suspeita de meningite, pode-se realizar punção lombar.

DIAGNÓSTICO DIFERENCIAL

Condições que devem ser incluídas no diagnóstico diferencial são: distúrbios de movimento, mioclonias pós-anóxia, anormalidades posturais (decorticação ou descerebração) secundárias à herniação cerebral, pseudocrises, encefalopatias tóxico-metabólicas-infecciosas.

ABORDAGEM

EME é emergência tempo-dependente, não só pela morbimortalidade, mas também porque a própria eficácia do tratamento diminui, conforme o tempo passa e as crises persistem.¹⁸

Obtenha a história clínica com os familiares ou com a equipe que prestou assistência inicial; realize exame neurológico rápido e objetivo; ofereça suporte básico para garantir e proteger a via aérea, ventilação adequada e suporte hemodinâmico adequado. Em pacientes adultos, pode ser administrado tiamina 100 mg + 50 mL glicose 50% (cuidado com a hiperglicemia). Realizar exames de triagem bioquímica-metabólica-infecciosa-toxicológica.

Tratamento Farmacológico: Subdivido em Abordagem Emergencial e Para Controle

Abordagem na Emergência

Manejo inicial requer o uso de benzodiazepínicos (BZDs), que atuam sobre receptores GABA (ácido gama-aminobutírico). Diazepam é o mais utilizado, na dose endovenosa (EV) ou via retal, até 10 mg/dose. Pode ser repetido após 5 minutos, se necessário. Midazolam (0,05 mg/kg EV ou 10 mg intramuscular) pode ser utilizado como opção. Apesar de efetivos inicialmente, os BZDs perdem eficácia à medida que as crises se prolongam, provavelmente em razão da internalização dos receptores GABA.¹⁹

Controle

Após a utilização de BZDs, os pacientes recebem medicações anticonvulsivantes adicionais, ou como terapia de manutenção, ou terapia escalonada para interromper crises ainda persistentes. As medicações mais utilizadas e suas posologias são:^{2,3,20,21}

- **Fenitoína:** estabiliza canais de sódio voltagem-dependentes.
 - Dose utilizada: 20 mg/kg EV, com infusão máxima de até 50 mg/min, seguida de dose de manutenção de 4 mg/kg dividida em três vezes ao dia.
 - Efeitos colaterais incluem: arritmias cardíacas, hipotensão, *rash* cutâneo, tromboflebite.

- *Fenobarbital*: barbitúrico de ação longa, liga-se a receptores GABA e inibe a excitabilidade neuronal.
 - Dose utilizada: 20 mg/kg EV em *bolus*, com infusão de até 50 mg/min.
 - Efeitos colaterais principais: sedação, *rash* cutâneo, hipotensão e depressão respiratória.
- *Valproato/ácido valproico*: atuação se deve por diversos mecanismos: aumento da expressão de receptores GABA, estabilização de canais de sódio, inibição de canais de cálcio.
 - Dose utilizada: 20-40 mg/kg EV em *bolus*, seguido por infusão de 1-3 mg/kg por hora.
- *Levetiracetam*: anticonvulsivante de amplo espectro de ação, com baixo potencial para interações medicamentosas e com baixas taxas de efeitos colaterais relatados.
 - Dose utilizada: 20-60 mg/kg EV em *bolus*.

Se as crises persistirem, apesar da utilização de duas medicações endovenosas (incluindo BZDs), o paciente é considerado como apresentando EME refratário, o que requer a utilização de medicações anestésicas.²

ESTADO DE MAL EPILEPTICO REFRATÁRIO

Em 30-40% dos casos, o EME não é controlado com BZDs e medicações anticonvulsivantes de controle, sendo considerados refratários.²⁰ Nesta fase, são utilizadas medicações anestésicas em infusão contínua, com monitorização contínua por EEG, com o paciente sob ventilação mecânica. As seguintes medicações podem ser utilizadas:

- *Midazolam*: administrado a 0,2 mg/kg, seguido de 0,2 a 0,4 mg/kg EV em *bolus* a cada 5 minutos, até interrupção das crises (máximo de 2 mg/kg). Infusão de manutenção é realizada após controle das crises em taxa de 0,05 a 2,9 mg/kg/h.
- *Propofol*: utilizada dose inicial de 1 a 2 mg/kg seguida por infusão contínua de 30 a 200 mg/kg/min com base nos achados de EEG. Infusões prolongadas podem ocasionar supressão respiratória, hipotensão arterial e a síndrome de infusão do propofol (bradi ou

taquiarritmia, hiperpotassemia, acidose metabólica e rabdomiólise).

CONCLUSÃO

EME é emergência neurológica potencialmente fatal, cujo tratamento torna-se progressivamente difícil à medida que as crises se prolongam. A condição deve ser reconhecida, e a abordagem deve ser, portanto, o mais precoce possível.

REFERÊNCIAS BIBLIOGRÁFICAS

1. Wilson JV, Reynolds EH. Texts and documents. Translation and analysis of a cuneiform text forming part of a Babylonian treatise on epilepsy. *Med Hist* 1990;34(2):185-98. [Internet]. (Acesso em 5 de maio de 2019). Disponível em: <https://www.ncbi.nlm.nih.gov/pmc/articles/PMC1036070>.
2. Grover EH, Nazzari Y, Hirsch LJ. Treatment of Convulsive Status Epilepticus. *Curr Treat Options Neurol* 2016;18(3):11.
3. Farrokhi S, Bon J, Erdman M, Tesoro E. Use of Newer Anticonvulsants for the Treatment of Status Epilepticus. *Pharmacotherapy* 2019;39(3):297-316.
4. Brophy GM, Bell R, Claassen J *et al*. Guidelines for the evaluation and management of status epilepticus. *Neurocrit Care* 2012;17(1):3-23.
5. Trinka E, Kälviäinen R. 25 years of advances in the definition, classification and treatment of status epilepticus. *Seizure* 2017;44:65-73.
6. Trinka E, Cock H, Hesdorffer D *et al*. A definition and classification of status epilepticus--Report of the ILAE Task Force on Classification of Status Epilepticus. *Epilepsia* 2015;56(10):1515-23.
7. Al-Mufti F, Claassen J. Neurocritical care: status epilepticus review. *Crit Care Clin* 2014;30(4):751-64.
8. Goonawardena J, Marshman LAG, Drummond KJ. Brain tumour-associated status epilepticus. *J Clin Neurosci* 2015;22(1):29-34.
9. Marcuse LV, Lancman G, Demopoulos A, Fields M. Nonconvulsive status epilepticus in patients with brain tumors.

Seizure 2014;23(7):542-7.

10. Englot DJ, Chang EF, Vecht CJ. Epilepsy and brain tumors. *Handb Clin Neurol* 2016;134:267-85.
11. Amengual-Gual M, Sánchez Fernández I, Wainwright MS. Novel drugs and early polypharmacotherapy in status epilepticus. *Seizure* 2019;68:79-88.
12. Naylor DE, Liu H, Wasterlain CG. Trafficking of GABAA Receptors, Loss of Inhibition, and a Mechanism for Pharmacoresistance in Status Epilepticus. *J Neurosci* 2005;25(34):7724-33.
13. Naylor DE, Liu H, Niquet J, Wasterlain CG. Rapid surface accumulation of NMDA receptors increases glutamatergic excitation during status epilepticus. *Neurobiol Dis* 2013;54:225-38.
14. Dey A, Kang X, Qiu J *et al.* Anti-Inflammatory Small Molecules to Treat Seizures and Epilepsy: From Bench to Bedside. *Trends Pharmacol Sci* 2016;37(6):463-84.
15. Sutter R, Dittrich T, Semmlack S *et al.* Acute systemic complications of convulsive status epilepticus - A Systematic Review. *Crit Care Med* 2018;46(1):138-45.
16. Sansevere AJ, Hahn CD, Abend NS. Conventional and quantitative EEG in status epilepticus. *Seizure* 2019;68:38-45. *Epub* 2018.
17. Guerriero RM, Gaillard WD. Imaging modalities to diagnose and localize status epilepticus. *Seizure* 2019;68:46-51. *Epub* 2018.
18. Sánchez Fernández I, Goodkin HP, Scott RC. Pathophysiology of convulsive status epilepticus. *Seizure* 2019;68:16-21. *Epub* 2018.
19. Gaínza-Lein M, Fernández IS, Ulate-Campos A *et al.* Timing in the treatment of status epilepticus: From basics to the clinic. *Seizure* 2019;68:22-30. *Epub* 2018 Jun 1.
20. Trinka E, Höfler J, Leitinger M *et al.* Pharmacologic treatment of status epilepticus. *Expert Opin Pharmacother* 2016;17(4):513-34.
21. Bank AM, Bazil CW. Emergency Management of Epilepsy and Seizures. *Semin Neurol* 2019;39(1):73–81.

SÍNDROME DE COMPRESSÃO MEDULAR AGUDA ONCOLÓGICA

CAPÍTULO 55

Moisés Augusto de Araújo
Carlos Roberto de Almeida Junior

INTRODUÇÃO

A síndrome de compressão medular (SCM) é definida como sendo o conjunto de sinais e sintomas decorrentes de compressão da medula espinal, do cone medular e/ou das raízes espinhais, secundariamente à metástase espinhal ou por extensão direta de lesão primária da vértebra.¹ Nos pacientes oncológicos, impacta significativamente a sobrevida e qualidade de vida; tem potencial devastador durante a fase aguda, com desdobramentos a médio e longo prazos e, por conseguinte, deve ser reconhecida e tratada de modo precoce, a fim de minimizar ou reverter seus efeitos.

EPIDEMIOLOGIA

A SCM pode ser causada por lesão primária ou secundária, e as lesões podem ser óssea (vertebral), extradurais, intradurais extramedulares ou intradurais intramedulares. Os tumores primários da coluna vertebral correspondem a 10% dos casos e tendem a

ocorrer em pacientes mais jovens.² Os principais tumores primários da coluna são:

- *Benignos*: hemangiomas, osteoma osteoide-osteoblastomas, tumores de células gigantes, cistos ósseos aneurismáticos.
- *Malignos*: plasmocitomas (mielomas múltiplos), osteossarcomas, cordomas, sarcomas de Ewing.

Dos pacientes com câncer, dados epidemiológicos indicam que a SCM ocorre em 5%, sendo considerado indício de doença em fase avançada. Pulmões, mamas, próstata e rins são os principais sítios de lesões primárias que mais frequentemente apresentam metástases para a coluna vertebral, constituindo aproximadamente 60% dos casos.¹ A SCM pode ser a primeira manifestação de malignidade em 20% dos pacientes.³ Os locais mais frequentemente acometidos são as colunas torácica (60%), lombar (25%) e cervical (15%).⁴

FISIOPATOLOGIA

As lesões sistêmicas primárias podem metastatizar por via extensão direta ou invasão, por via liquórica ou por via hematogênica (tanto arterial, quanto venosa, pelo plexo venoso de Batson). A forma mais comum é a hematogênica. O crescimento das células tumorais na coluna vertebral ocasiona destruição óssea e colapso vertebral, com compressão do saco dural e de seu conteúdo, de raízes vertebrais, com comprometimento vascular secundário – o que acarreta edema vasogênico e desmielinização. A deformidade resulta em instabilidade da coluna vertebral, quando submetida a cargas mecânicas fisiológicas, o que aumenta sobrecarga e o estiramento de estruturas auxiliares, como tendões, músculos, ligamentos e cápsulas articulares.⁵

QUADRO CLÍNICO

A dor é o sintoma inicial mais comum, podendo ser biológica ou mecânica. Dor biológica é ocasionada pela atividade tumoral, que leva à inflamação do periósteo ou ao seu estiramento, com

exacerbação noturna (decorrente do ingurgitamento venoso causado pelo decúbito dorsal) e não é aliviada por mudanças posturais. Dor mecânica origina-se de anormalidades estruturais da coluna vertebral, piora com atividades, modificações de postura ou manobras de esforço. A evolução insidiosa do quadro álgico é um dos fatores que atrasam o diagnóstico da SCM. Presença de dor mecânica sugere instabilidade espinhal. Dor ocasionada por compressão radicular geralmente se acompanha de outros distúrbios sensitivos, como parestesias ou hipoestésias.

A SCM pode-se apresentar como duas síndromes anatômica e semiologicamente distintas.⁶

- a) *Síndrome de neurônio motor superior*: compressão de medula espinal, ocasionando fraqueza do grupo muscular envolvido, hipertonia, hiper-reflexia com resposta cutânea plantar em extensão (sinal de Babinski).
- b) *Síndrome de neurônio motor inferior*: compressão de estruturas anteriores ao corno anterior da medula (nervo periférico), ocasionando fraqueza muscular localizada, hipotonia e hipo ou arreflexia, atrofia muscular e fasciculações.

A SCM também pode ocasionar disfunção vesical (bexiga neurogênica) e distúrbios autonômicos. Se o acometimento for medular cervical alto (até C4), pode comprometer a função respiratória do paciente.

DIAGNÓSTICO POR IMAGEM

Por causa do fato de que, em aproximadamente 30% dos pacientes com SCM por lesão secundária, podem existir metástases em outras regiões da coluna vertebral, o paciente oncológico deve ser investigado por toda a extensão da coluna vertebral.⁷ Entretanto, tal investigação não deve, em hipótese alguma, atrasar o tratamento.

O exame de ressonância magnética (RM) é o padrão ouro, pois apresenta sensibilidade de 100% para detectar SCM;⁸ a visualização de detalhes anatômicos permite avaliar não somente a lesão vertebral, mas também a compressão e/ou invasão medular e de raízes, presença de edema ou isquemia, extensão de

acometimento para partes moles e ligamentar. A tomografia computadorizada é o exame ideal para avaliação predominantemente óssea e identificação de fraturas, auxiliando na programação para cirurgia que requeira estabilização. Radiografia simples (RX) é útil em razão de sua disponibilidade, porém a perda óssea pode não ser visível até que tenha atingido 30 a 60% da vértebra.⁹ Cintilografia óssea identifica atividades osteoblásticas.

MANEJO

Abordagem do paciente deve ser interdisciplinar, envolvendo médicos emergencistas, oncologistas, neurocirurgiões, radioterapeutas, fisiatras, médicos paliativistas, além de todos os profissionais de equipe multidisciplinar (psicólogos, enfermeiros, terapeutas ocupacionais, fisioterapeutas). É essencial determinar tanto o estado geral do paciente, quanto o *status* oncológico, o grau de independência funcional e qualidade de vida e o potencial para recuperação. Apenas para fins didáticos, dividimos o manejo em perspectivas distintas:¹⁰

- a) Tratamento da dor.
- b) Tratamento clínico-oncológico.
- c) Restauração ou preservação de funções neurológicas.
- d) Tratamento paliativo.

Inicialmente, deve ser considerada a possibilidade de biópsia, se o paciente não tiver doença oncológica conhecida, por meio de procedimento percutâneo realizado por radiologista intervencionista; o procedimento permite diferenciar também entre processo infeccioso da coluna e processo neoplásico, em caso de fratura patológica, se houver dúvida quanto aos achados de exame de imagem.

Controle da dor pode ser obtido pelo uso de corticosteroides, anti-inflamatórios não esteroides, antidepressivos tricíclicos, anticonvulsivantes (para dor neuropática) e opioides. Dentre as medidas iniciais, pode ser instituída corticoterapia com Dexametasona (dose de ataque de 10 mg endovenosa em *bolus*, seguida de 4 mg 6/6 horas).^{6,8} Devemos ressaltar que a utilização

de corticoterapia tem baixo nível de evidência científica na literatura atual (nível de evidência IIIA).⁶ Corticosteroides reduzem o edema vasogênico e as complicações relacionadas com a redução de fluxo sanguíneo arterial,¹ o que pode melhorar - ou pelo menos estabilizar - o dano neurológico até a instituição do tratamento efetivo. Melhora rápida dos sintomas motores após o início do uso de corticoides indica bom prognóstico funcional. Podem exercer efeitos citotóxicos diretos sobre determinados tumores (linfomas e leucemias).^{6,11} Efeitos colaterais da corticoterapia incluem: hiperglicemia, aumento do risco de infecções, retenção de líquidos, atraso na cicatrização de feridas, miopatias, alterações de comportamento, hemorragias gastrointestinais. Ainda não se sabe qual a duração mais adequada de uso, embora se saiba que toxicidade indesejável tem sido demonstrada entre 20 a 40 dias do início da terapia.¹

Manejo clínico-oncológico do paciente requer medidas de suporte para prevenção de complicações secundárias, conforme as circunstâncias individualizadas de cada paciente: prevenção de tromboembolismo pulmonar, prevenção de úlceras de pressão, cateterismo vesical intermitente, uso de dispositivos de imobilização (órteses). Quimioterapia pode ser considerada para os tumores quimiossensíveis, porém seu papel é limitado na grande maioria dos casos por causa da necessidade de descompressão da medula espinal mais rápida. Bifosfonados podem ser usados para minimizar riscos de fraturas patológicas, alívio de dor e redução de hipercalcemia em pacientes com metástases osteolíticas.

Radioterapia foi, por muito tempo, tratamento de escolha para SCM oncológica. Com evolução da técnica, conhecimento das patologias e possibilidade de irradiação localizada (radiocirurgia ou radioterapia estereotáxica), sua aplicação ganhou mais espaço e tem-se mostrado indispensável ferramenta a ser utilizada. Alguns tumores são mais radiosensíveis (linfoma, seminoma e mieloma), outros têm sensibilidade intermediária (mama, próstata e ovário), e outros são considerados radorresistentes (pulmão de não pequenas células, melanoma, renal e trato gastrointestinal).¹² Radioterapia paliativa exclusiva tem papel de destaque para controle de dor e de crescimento tumoral, sendo indicada para pacientes com baixo

potencial de recuperação funcional e limitada expectativa de sobrevida (menor que 3 meses), a fim de evitar tratamentos invasivos desnecessários. Alguns efeitos adversos relacionados com a radioterapia, a depender da dose e do local de aplicação, são: mucosites, toxicidade gastrointestinal, supressão de medula óssea e diversos tipos de mielopatia induzida, crônica e progressiva (decorrente de dano vascular e infarto medular).^{1,8}

Tratamento cirúrgico, apesar de longe de ser consensual,¹ é indicado para pacientes com SCM e instabilidade espinhal, com boa possibilidade de recuperação funcional e boa perspectiva de sobrevida (pelo menos 3 meses). Os principais objetivos são: ressecção de tumor, descompressão medular, controle de dor e estabilização da coluna. Para auxiliar a decisão, existem escalas de pontuação que tentam guiar a decisão terapêutica e o tipo de cirurgia (cirurgia paliativa - laminectomia descompressiva; cirurgia mais radical, com vertebrectomia, reconstrução e instrumentação da coluna). As mais utilizadas são as escalas de Tomita¹³ e de Tokuhashi.¹⁴ Ambas as escalas têm limitações e não são aplicáveis a todos os pacientes.

REABILITAÇÃO

Princípios de reabilitação aplicados à SCM por trauma podem ser estendidos à SCM oncológica, com vistas ao alívio da dor, prevenção de complicações futuras, melhora da capacidade funcional e de qualidade de vida.¹

CONCLUSÃO

A SCM representa emergência oncológica e deve ser prontamente reconhecida. Clínicos e emergencistas devem reconhecer também potencial de complicações e o impacto em médio e longo prazos para o paciente e seus familiares. Por causa da enorme heterogeneidade entre os pacientes, com distintos quadros neurológicos, funcionais e oncológicos, a abordagem deve ser individualizada, o que requer boa comunicação em equipe multidisciplinar integrada.¹⁵

REFERÊNCIAS BIBLIOGRÁFICAS

1. Boussios S, Cooke D, Hayward C *et al.* Metastatic Spinal Cord Compression: Unraveling the Diagnostic and Therapeutic Challenges. *Anticancer Res* 2018;38(9):4987-97.
2. Ropper AE, Cahill KS, Hanna JW *et al.* Primary vertebral tumors: a review of epidemiologic, histological and imaging findings, part II: locally aggressive and malignant tumors. *Neurosurgery* 2012;70(1):211-9; discussion 219.
3. Loblaw DA, Laperriere NJ. Emergency treatment of malignant extradural spinal cord compression: an evidence-based guideline. *J Clin Oncol* 1998;16(4):1613-24.
4. Constans JP, de Divitiis E, Donzelli R *et al.* Spinal metastases with neurological manifestations. Review of 600 cases. *J Neurosurg* 1983;59(1):111-8.
5. Perrin RG, Laxton AW. Metastatic spine disease: epidemiology, pathophysiology, and evaluation of patients. *Neurosurg Clin N Am* 2004;15(4):365-73.
6. Kumar A, Weber MH, Gokaslan Z *et al.* Metastatic Spinal Cord Compression and Steroid Treatment: A Systematic Review. *Clin Spine Surg* 2017;30(4):156–63.
7. Pi J, Kang Y, Smith M, Earl M *et al.* A review in the treatment of oncologic emergencies. *J Oncol Pharm Pract* 2016;22(4):625-38.
8. Ropper AE, Ropper AH. Acute Spinal Cord Compression. *N Engl J Med* 2017 Apr 6;376(14):1358-69.
9. Gerszten PC, Welch WC. Current surgical management of metastatic spinal disease. *Oncology* (Williston Park) 2000;14(7):1013-24; discussion 1024, 1029-30.
10. Laufer I, Bilsky MH. Advances in the treatment of metastatic spine tumors: the future is not what it used to be. *J Neurosurg Spine* 2019;30(3):299-307.
11. Ribas ESC, Schiff D. Spinal cord compression. *Curr Treat Options Neurol* 2012;14(4):391-401.
12. Lin AL, Avila EK. Neurologic Emergencies in the Patients with Cancer. *J Intensive Care Med* 2017;32(2):99-115.
13. Tomita K, Kawahara N, Kobayashi T *et al.* Surgical strategy for spinal metastases. *Spine* (Phila Pa 1976) 2001;26(3):298-306.

14. Tokuhashi Y, Matsuzaki H, Oda H *et al*. A revised scoring system for preoperative evaluation of metastatic spine tumor prognosis. *Spine* (Phila Pa 1976) 2005;30(19):2186-91.
15. Paniagua-Collado M, Cauli O. Non-pharmacological interventions in patients with spinal cord compression: a systematic review. *J Neurooncol* 2018;136(3):423-34.

Lucas Caetano Dias Lourenço
Carlos Roberto de Almeida Junior

INTRODUÇÃO

A pressão intracraniana (PIC) elevada é complicação potencialmente devastadora da lesão neurológica. PIC elevada pode ser causada por traumatismos cranianos, acidentes vasculares encefálicos, tumores do sistema nervoso central, hidrocefalia, encefalopatia hepática, entre outras etiologias. Reconhecer os sinais e sintomas, instaurar precocemente tratamento adequado – direcionado tanto para reduzir a PIC quanto para reverter sua causa – devem ser indispensáveis aos profissionais de saúde que se integram aos serviços de emergência e/ou que lidam com pacientes neurológicos.

FISIOPATOLOGIA

Em adultos saudáveis, os valores da PIC situam-se normalmente ≤ 15 mmHg; hipertensão intracraniana patológica (HIC) corresponde a valores ≥ 20 mmHg.

Mecanismos homeostáticos estabilizam a PIC, com ocasionais elevações transitórias associadas a eventos fisiológicos, como tosse, espirro, manobras de Valsalva, mudanças de posição da cabeça e outras condições que incluem dor, agitação, convulsões.

Em adultos, o compartimento intracraniano é protegido pelo crânio, estrutura rígida com volume interno fixo de 1.400 a 1.700 mL. Em condições fisiológicas, o conteúdo intracraniano inclui (em volume):¹

- *Parênquima cerebral*: 80%.
- *Líquido cefalorraquidiano (LCR)*: 10% – aproximadamente 75 mL, situados dentro dos ventrículos cerebrais, predominantemente.
- *Sangue*: 10% – aproximadamente 75 mL, a maior parte contida na circulação venosa pós-capilar.

Como o volume total do crânio não apresenta mudanças fisiológicas significativas, aumento no volume de um dos componentes ou a presença de componentes patológicos (lesões com efeito de massa, abscessos, hematomas), exige o deslocamento de outras estruturas, ocasionando elevações na PIC. Portanto, a PIC depende do volume e complacência de cada componente do compartimento intracraniano, inter-relação conhecida como doutrina Monro-Kellie (acréscimos de volume de quaisquer dos constituintes cranianos devem ser compensados por decréscimo de outros, a fim de manter a PIC constante).

Por causa do deslocamento de LCR e de sangue venoso para fora do crânio, os conteúdos intracranianos possuem a capacidade de absorver até 100-150 mL de volume intracraniano adicional, sem aumento significativo da PIC.¹ Tal capacidade é dependente da idade do paciente e do tempo durante o qual o novo conteúdo se expande. Assim, uma criança possui menor capacidade de acomodação para lesão intracraniana com efeito de massa de aparecimento abrupto, enquanto um idoso pode-se apresentar com meningioma assintomático de grandes proporções, de crescimento lento, ocupando 1/3 da caixa craniana.

Hidrocefalia

O LCR é produzido pelo plexo coroide e por outras partes do sistema nervoso central (SNC) a uma taxa de aproximadamente 20 mL/hora (500 mL/dia). Circula regularmente pelos ventrículos laterais, forame de Monro, terceiro ventrículo, aqueduto de Sylvius,

quarto ventrículo e pelos forames de Luschka e Magendie, sendo reabsorvido pelas granulações aracnoides no sistema venoso.² Hidrocefalia obstrutiva é ocasionada por problemas na circulação e/ou na reabsorção de LCR, enquanto que a hidrocefalia comunicante é causada por hiperprodução de LCR.³

Edema Cerebral

As lesões primárias (tumor cerebral, acidentes vasculares, traumatismos) podem ocasionar inchaço cerebral e elevar a PIC. Processos isquêmicos resultam em edema citotóxico, pois a indisponibilidade de oxigênio e glicose ocasionam disfunção de bomba de sódio/potássio transmembrana, resultando em acúmulo de íons osmoticamente ativos dentro da célula e aumento de fluido intracelular; como os neurônios são mais vulneráveis à isquemia, o edema citotóxico é mais pronunciado na substância cinzenta. Lesões de barreira hematoencefálica resultam em acúmulo de fluido e proteínas osmoticamente ativas no espaço extracelular, resultando em desvio de líquido para fora dos vasos para substância branca predominantemente.⁴

Complacência Intracraniana

A relação fisiológica entre PIC e volume cerebral pode ser referida como complacência cerebral. Complacência (C) reflete a dureza do cérebro, é definida como a alteração do volume (ΔV) dividida pela alteração da pressão (ΔP): $C = \Delta V / \Delta P$. A elasticidade (E) é definida como a mudança na pressão (ΔP) dividida pela mudança no volume (ΔV), ou o inverso de complacência: $E = \Delta P / \Delta V$. Assim, a magnitude da mudança no volume de uma estrutura individual determina seu efeito sobre a PIC.

Pressão de Perfusão Cerebral (PPC)

PPC é definida como a medida de fluxo sanguíneo adequado para as necessidades metabólicas do cérebro. Matematicamente, pode ser expressa na relação entre a pressão arterial média (PAM) e a PIC: $PPC = PAM - PIC$. Existem mecanismos de autorregulação que mantêm o fluxo sanguíneo cerebral apesar de variações na PPC (o

fluxo sanguíneo se mantém constante quando as variações na PPC ocorrem entre 50-150 mmHg). Os mecanismos de autorregulação são: miogênicos (propriedade intrínseca da musculatura lisa em resposta a variações de pressão: quando há aumento do conteúdo intravascular, ocorre vasoconstrição reflexa); neurogênico (dependente das ações simpática e parassimpática) e metabólico (ocorrem alterações de contração ou relaxamento vascular dependentes da concentração de mediadores vasoativos; os mais importantes são potássio, íon hidrogênio H^+ e CO_2 ; quando há aumento de demanda metabólica neuronal com oferta de sangue insuficiente, há elevação da concentração de CO_2 e H^+ , que causam vasodilatação; a hiperventilação provoca redução de CO_2 , o que resulta em vasoconstrição). Condições patológicas que elevam a PIC e reduzem a PPC para < 30 mmHg resultam em isquemia com danos irreversíveis. Por outro lado, elevação excessiva da PPC (> 150 mmHg) pode ocasionar encefalopatia hipertensiva e edema cerebral, por causa da disfunção dos mecanismos de autorregulação.¹

QUADRO CLÍNICO

Sintomas globais de hipertensão intracraniana incluem:¹

- a) Cefaleia associada a náuseas e vômitos: ocorrem predominantemente pela manhã, logo ao despertar, ou durante a madrugada, por causa da elevação adicional da PIC durante o decúbito dorsal – pela redução de drenagem venosa – e pela discreta hipercapnia ocasionada pela depressão respiratória durante o sono.
- b) Papiledema.
- c) Alterações variáveis do nível de consciência: decorrentes de compressão de estruturas diencefálicas (tálamo e hipotálamo), da formação reticular ativadora ascendente ou de lesões corticais difusas e extensas.
- d) Tríade de Cushing: hipertensão arterial, bradicardia e irregularidades respiratórias; ocorre por causa do deslocamento do tronco encefálico com compressão de estruturas que

controlam a frequência respiratória e as funções cardíacas; aparece em estágios avançados de HIC.

- e) Hipertensão arterial sistólica: secundária à resposta simpato-suprarrenal à lesão inicial.
- f) Distúrbios visuais: secundários ao papiledema ou à compressão do 6º nervo craniano (nervo abducente), ocasionando estrabismo convergente.

Rebaixamento do nível de consciência por causa do efeito local das lesões de massa ou da pressão na formação reticular mesencefálica e vômitos.

Sintomas focais de hipertensão intracraniana podem ser causados por herniação cerebral. Herniações são deslocamentos de tecidos de áreas de maior pressão para áreas de menor pressão, e as mais comuns são: subfalcina, transtentorial central, uncal transtentorial (hérnia de úncus), cerebelar ascendente, tonsilar cerebelar. Hérnia de úncus pode-se manifestar com anisocoria ipsolateral ao local da lesão expansiva (compressão do nervo oculomotor; 3º nervo craniano em sua emergência no pedúnculo cerebral do mesencéfalo) e déficit motor (hemiparesia ou hemiplegia) contralateralmente à lesão (por compressão de vias piramidais no mesencéfalo).

Os sinais e sintomas apresentados anteriormente são inespecíficos para as diversas lesões que causam HIC. A investigação com imagens auxilia no diagnóstico etiológico: tomografia computadorizada é o exame de escolha em situações de urgência e emergência, sendo ideal para avaliar hematoma e hidrocefalia; a ressonância magnética é exame mais demorado, no entanto, apresenta maior acurácia anatômica e auxilia no planejamento terapêutico cirúrgico.

MONITORIZAÇÃO DA PIC

Terapia empírica para presumir elevação da PIC é insatisfatória porque a pressão de perfusão cerebral (PPC) não pode ser monitorizada de maneira confiável sem a medida específica da PIC. As terapias direcionadas à redução da PIC têm efeitos variáveis e são efetivas por períodos de tempo limitados. A monitorização com

cateter intraventricular, associado à derivação ventricular externa (DVE), é mais fidedigna e pode auxiliar no tratamento da hipertensão intracraniana com drenagem imediata de LCR. A principal desvantagem é a infecção, que pode ocorrer em até 20% dos pacientes e é proporcional ao tempo de uso do dispositivo, mas trocas profiláticas do cateter não parecem reduzir o risco.²⁸

HIC pode promover redução das dimensões dos ventrículos laterais, dificultando a instalação de cateter ventricular, o que requer o uso de monitorização por via subdural ou intraparenquimatosa.⁵

O objetivo da monitorização contínua tanto da PIC quanto da pressão arterial média é oferecer parâmetros para o clínico e/ou intensivista manter PPC e oxigenação cerebral adequadas. Em geral, esses pacientes são tratados em unidades de terapia intensiva (UTI) com monitor de PIC e linha arterial.

Indicações

O diagnóstico de PIC elevada geralmente é com base no quadro clínico e corroborado por exames de imagem. O traumatismo cranioencefálico é uma das mais bem conhecidas condições em que a monitorização da PIC é frequente, portanto, grande parte da prática atual de monitorização extrapolada para outros contextos (manejo de HIC secundária a tumores cerebrais pré ou pós-operatória) derivou da experiência clínica com pacientes com traumatismo craniano fechado. Como a monitorização da PIC está associada a baixo risco de complicações sérias, incluindo infecção do sistema nervoso central e hemorragia intracraniana, é razoável tentar limitar seu uso a pacientes com maior risco de elevação da PIC.⁶

Em geral, a monitorização invasiva da PIC está indicada:⁷

- a) Pacientes com pontuação < 8 na escala de coma de Glasgow.
- b) Presença de lesão grave, confirmada por exame de imagem, com risco de elevação progressiva ou de piora neurológica.

Embora a tomografia computadorizada (TC) possa sugerir elevação da PIC com base na presença de lesões de massa, desvio da linha média ou apagamento das cisternas basais, pacientes sem

esses achados na TC inicial podem apresentar valores elevados de PIC.

MANEJO DA HIC

Conforme a doutrina de Monroe-Kellie, o encéfalo está contido em caixa rígida, e o aumento de um de seus componentes deve acontecer à custa da redução de outro componente. Tais mecanismos têm limites fisiológicos e, esgotados, permitem a elevação sintomática da PIC. Os tratamentos (cirúrgicos e clínicos) para redução da PIC são direcionados para redução de um ou mais compartimentos dessa equação: procedimento neurocirúrgico reduz o volume intracraniano por drenagem líquórica ou pela craniectomia descompressiva – a fim de acomodar aumento de volume.

Manejo Clínico da HIC

Suporte Básico

Medidas que previnem aumentos de demandas metabólicas encefálicas e que auxiliam na redução do volume de conteúdo intracraniano podem ser instituídas de modo precoce:

- a) Elevação da cabeceira da cama a 30°, para facilitar retorno venoso.
- b) Manter a cabeça em posição neutra, para evitar compressão de veia jugular e prejuízo de retorno venoso.
- c) Evitar aumentos de pressão intratorácica.
- d) Controlar temperatura e glicemia (evitar hipoglicemia < 50 mg/dL e hiperglicemia > 150 mg/dL).
- e) Profilaxia para convulsões.

Manitol – Solução Salina Hipertônica

Manitol tem sido usado desde os anos 1960 para reduzir a pressão intracraniana. Atua como diurético osmótico, facilitando a excreção de água e inibindo a reabsorção tubular renal de sódio e outros solutos. No cérebro, seu principal mecanismo de ação envolve a melhora da perfusão e do controle vasomotor, seguido por uma fase mais lenta de redução do volume encefálico causado por efeito

hiperosmótico e que contribui para o transporte de água pela barreira hematoencefálica.⁸ É administrado na concentração de 20% em *bolus* endovenoso (EV), pois múltiplas infusões de manitol poderiam agravar o edema cerebral, dado que extravasaria para o interstício; a dose utilizada é de 0,25 a 1,5g/kg de peso corporal. Redução da HIC pode ser observada em aproximadamente 5 minutos após a infusão, e a duração de seus efeitos pode chegar a 6 horas.

Solução salina hipertônica é tão eficaz quanto manitol para reduzir HIC. Apresenta múltiplos mecanismos de ação: melhora as propriedades reológicas do sangue pelo aumento do volume plasmático e redução da viscosidade sanguínea; o aumento do conteúdo intravascular induz vasoconstrição reflexa de arteríolas cerebrais, reduzindo o volume sanguíneo cerebral. Suas propriedades osmóticas promovem o desvio de conteúdo líquido do interstício para os capilares. Idealmente, deve ser usada em *bolus* EV na concentração de 7,5% 1 a 3 mL/kg de peso corporal, ou a 3% na dose de 3 a 5 mL/kg de peso. Efeitos colaterais incluem: mielinólise pontina, hipernatremia, acidose metabólica hiperclorêmica e aumento da pré-carga cardíaca.

Corticosteroides

Em paciente com edema vasogênico secundário a tumor cerebral ou à radioterapia, o uso de corticosteroides reduz a permeabilidade da BHE, apresentando melhora de edema. Dose de ataque de dexametasona (preferido por conta de baixos efeitos mineralocorticoides) 10 mg EV em *bolus*, seguida por manutenção de 4 mg EV 6/6 horas, a depender das circunstâncias clínicas, costuma ser eficaz.

Hiperventilação Controlada

Hiperventilação reduz o volume sanguíneo encefálico por causa da redução do CO₂ e, consequentemente, do pH, provocando vasoconstrição, aumento da resistência pré-capilar e redução do volume sanguíneo encefálico. Sugere-se hiperventilação por curtos períodos para evitar isquemia cerebral.

Barbitúricos

Barbitúricos são capazes de reduzir a PIC por meio da vasoconstrição arterial; também reduzem o metabolismo cerebral, com aumento de risco para isquemia por conta de hipotensão arterial como efeito colateral.

Hipotermia

Atualmente, não é recomendada como tratamento padrão para HIC em qualquer cenário clínico. Sabe-se que hipotermia causa vasoconstrição e redução do metabolismo cerebral, podendo ser uma opção não padrão para tratamento de HIC em casos de exceção.⁶

MANEJO CIRÚRGICO DA HIC

Em casos de tumores cerebrais, a redução da HIC pela remoção da lesão que ocupa volume permite a acomodação dos tecidos cerebrais deslocados e a redução do edema cerebral. Craniectomia descompressiva pode ser utilizada em casos selecionados, em que a HIC é considerada refratária a todas as medidas clínicas rotineiramente instituídas.⁸

CONCLUSÃO

Existe enorme variedade de medidas para o manejo de HIC, com base em princípios, como redução de líquidos (LCR, volume sanguíneo cerebral, edema) e remoção de lesões com efeito de massa, o que requer compreensão adequada acerca da fisiopatologia da elevação da PIC. O imediato reconhecimento do quadro clínico permite a instituição precoce da terapêutica, minimizando danos secundários ao cérebro, com desfecho mais favorável para os pacientes.

REFERÊNCIAS BIBLIOGRÁFICAS

1. Sheth K, McCullough M. The Pathophysiology of Intracranial Hypertension and Cerebral Herniation Syndromes. In: Koenig M (Ed.). *Cerebral Herniation Syndromes and Intracranial*

- Hypertension*. New Jersey: Rutgers University Press Medicine; 2016. p. 1-27.
2. Gupta D, Singla R, Dash C. Pathophysiology of Hydrocephalus. In: Ammar A (Ed.). *Hydrocephalus*. Springer International Publishing; 2017. p. 35-52.
 3. Rekate HL. The definition and classification of hydrocephalus: a personal recommendation to stimulate debate. *Cerebrospinal Fluid Res* 2008;5:2.
 4. Stávale M, Patriota GC. Isquemia Encefálica Global e as Cascatas Vasodilatadora e Bioquímica. In: Joaquim MAS. *Hemodinâmica Encefálica - Fisiopatologia em Neurointensivismo e Neuroanestesia*. Editora Santos; 2013;1:1-14.
 5. Tavares WM, de Amorim RLO, Paiva WS, de Andrade AF. Hipertensão intracraniana. In: de Andrade AF, Figueiredo EG, Teixeira MJ *et al.* (Eds.) *Neurotraumatologia*. GEN; 2015. p. 30-7.
 6. Carney N, Totten AM, O'Reilly C *et al.* Guidelines for the Management of Severe Traumatic Brain Injury. 4th Ed. *Neurosurgery* 2017;80(1):6-15. Oxford Academic [Internet]. [Acesso em 6 de Maio de 2019]. Disponível em: <https://academic.oup.com/neurosurgery/article/80/1/6/2585042>
 7. Dennis LJ, Mayer SA. Diagnosis and management of increased intracranial pressure. *Neurol India* 2001;49 (Supl 1):S37-50.
 8. Timmons SD. Elevated intracranial pressure. In: Layon J, Gabrielli A, Friedman WA. *Textbook of neurointensive care*. 2nd ed. Springer; 2013. p. 729-42.

João Paulo Elias Alves

DEFINIÇÕES

A meningite carcinomatosa, também conhecida por carcinomatose leptomeníngea ou leptomeningite metastática, é complicação comum de lesões tumorais diversas, ocorrendo em cerca de 5% dos indivíduos com câncer.¹ Ocorre pelo implante de células metastáticas nas leptomeninges, tanto na pia-máter, quanto na aracnoide, provenientes de tumores sólidos, como adenocarcinoma de pulmão,² tumores primários do sistema nervoso central,³ tumores ginecológicos,⁴ câncer de mama,⁵ entre outros. A dura-máter também pode ser acometida por implantes de células tumorais metastáticas, em geral, ocorrendo concomitantemente à presença nas leptomeninges.

No caso dos tumores não sólidos, como os tumores hematológicos, a implantação de células tumorais nas meninges leva ao quadro clínico denominado linfomatose meníngea ou meningite linfomatosa, no caso de o tumor primário ser um linfoma, e meningite leucêmica, para o caso das leucemias, por exemplo.⁶

Estas complicações ocorrem com frequências variadas, de acordo com o tumor primário, e com grande heterogeneidade de apresentações clínicas. Ainda hoje, observam-se limitações diagnósticas, mas que têm apresentado avanços na sensibilidade dos métodos propedêuticos. Ademais, conferem pior prognóstico ao

tumor primário, limitando o tratamento e reduzindo a expectativa de vida dos indivíduos acometidos. No entanto, avanços no conhecimento da genética e da biologia molecular desses tumores promovem expectativa para o surgimento de terapias de melhor eficácia.

EPIDEMIOLOGIA

Carcinomatose leptomeníngea é diagnosticada em cerca de 5 a 8% dos indivíduos com tumores sólidos,³ 1 a 2% dos indivíduos com tumores primários do sistema nervoso central e em 5 a 15% dos indivíduos com tumores hematológicos.^{1,3}

ETIOLOGIA E FISIOPATOLOGIA

As primeiras descrições da doença surgiram no século XIX. Virchow, em 1855, e Eberth, em 1869, descreveram as alterações histopatológicas da leptomeninge causadas pelas células metastáticas.⁷ Desde então, pouco se tem avançado no conhecimento fisiopatológico da doença.

Em uma série de 90 casos, Wasserstrom *et al.* observaram a ocorrência da doença em 46 indivíduos (51%) com tumores de mama, 23 indivíduos (25%) com tumores de pulmão, 11 indivíduos (12%) com melanoma, 5 indivíduos (5,5%) com tumores do trato geniturinário, 2 (2,2%) com tumores de cabeça e pescoço e 1 (1,1%) com tumores de mama e cólon. Em 58 dos indivíduos, havia metástases, concomitantemente, em outros órgãos, como pulmões, ossos e fígado. Em 31 destes 90 indivíduos, havia, também, lesões no parênquima cerebral.⁸

Células tumorais se implantam nas meninges por três diferentes vias: hematogênica, por contiguidade ou pelo espaço perivascular (espaços de Virchow-Robin) e perineural. Ao entrar no espaço subaracnóideo, estas células se espalham pelo líquido cefalorraquidiano (LCR) por onde são transportadas e semeadas ao longo do neuroeixo, com particular predileção às cisternas da base e à superfície dorsal da medula espinal e da cauda equina, onde as paredes e as vênulas tendem a ser mais finas e há maior propensão à quebra da barreira hematoencefálica.¹ Boire *et al.* demonstraram

que a presença de células tumorais nas meninges promove a produção do componente 3 do complemento, o que leva à quebra da barreira hematoencefálica e a entrada de fatores de crescimento do plasma para o espaço liquórico, levando a aumento das células tumorais.⁹

Os principais tumores sólidos que geram metástases para as leptomeninges são: adenocarcinoma de mama, carcinoma pulmonar de pequenas células, melanoma, linfoma não Hodgkin e leucemia linfóide aguda.¹⁰ Em 5 a 10% dos casos pode ser a primeira manifestação clínica de um câncer.¹

Em 1990, Kaplan *et al.* analisaram 63 casos de metástases leptomeníngeas e observaram que em 90% dos casos em que o tumor primário era um tumor sólido, os sintomas de meningite carcinomatosa surgiam em associação a sintomas sistêmicos por implantes metastáticos em outros órgãos. Em tumores não sólidos, isto ocorreu menos frequentemente (35% para indivíduos com leucemia e 27% para indivíduos com linfoma), sendo mais frequente o implante metastático nas leptomeninges ocorrer sem manifestação sistêmica, sendo, então, a primeira manifestação destes tipos de tumores ou ocorrendo em períodos de aparente remissão.¹⁰ (Quadro 57-1).

MANIFESTAÇÕES CLÍNICAS

Em razão da fisiopatologia da doença, com disseminação multifocal de células metastáticas ao longo de todo o neuroeixo, o quadro clínico da doença é variável. Assim, a depender do sítio de implantação da célula tumoral e seu crescimento, pode gerar síndromes encefálicas, medulares ou de acometimento de nervos cranianos.

Sinais e sintomas que sugerem o acometimento dos hemisférios cerebrais incluem cefaleia (em geral, bifrontal ou holocraniana com irradiação para região cervical e associada a náuseas, vômitos e tonturas), que é a queixa mais comum relatada pelos pacientes,⁸ alterações do nível de consciência com letargia, confusão mental e demência rapidamente progressiva; crises epiléticas e hemiparesia. Mais raramente, pode ser observada a ocorrência de

diabetes *insipidus*, papiledema e ataxia cerebelar.⁸ Pode, também, haver lesões metastáticas no parênquima cerebral em concomitância em cerca de 30 a 40% dos casos, porém não é possível distinguir as duas localizações pelos sinais e sintomas.

Por sua vez, o acometimento dos nervos cranianos inclui oftalmoparesia (sendo mais comumente ocasionado por paralisia do músculo abducente, innervado pelo nervo abducente), hipoestesia na face ou se for neuropática nesta região (por disfunção do nervo trigêmeo), baixa acuidade auditiva (por disfunção do nervo vestibulococlear ou por disfunção coclear direta) e alterações visuais (por neuropatia do nervo óptico).

Quadro 57-1. Frequência de Meningite Carcinomatosa de Acordo com o Tumor Primário

Tumor primário	Frequência	Incidência
Mama	27-46%	5-8%
Pulmão	22-23%	9-25%
■ Adenocarcinoma	7-13%	
■ Tumor de células claras	5-6%	
■ Tumor epidermoide	2-3%	
■ Carcinoma pulmonar de grandes células	1%	
Melanoma maligno	11%	6-18%
Geniturinário	5%	
Cabeça e pescoço	2%	
Cólon	1%	

Adaptado de Wang,³ Wasserstrom *et al.*,⁸ Kaplan *et al.*¹¹

Acometimento medular pode-se apresentar por paraparesia ou tetraparesia, perda sensitiva segmentar ou respeitando

dermátomos, dor na região dorsal com características radiculares. Em 15% dos casos, podem ser observados sinais de irritação meníngea.

Complicação comum é a hidrocefalia, tanto por obstrução direta do fluxo liquórico ao longo do sistema, quanto por obstrução das granulações aracnóideas, que impedem a reabsorção do liquor circulante,¹ que ocasiona síndrome de hipertensão intracraniana, com cefaleia, baixa acuidade visual, vômitos e rebaixamento do nível de consciência.¹(Quadro 57-2).

Trata-se de uma doença grave e com prognóstico ruim, na maioria dos casos, com sobrevida de 4 a 6 semanas em indivíduos não tratados⁸ e de 8 a 12 semanas em indivíduos tratados.³ Fatores de mau prognóstico incluem a presença de sintomas de encefalopatia carcinomatosa, múltiplos déficits neurológicos e anormalidades do fluxo liquórico observados com o estudo de radionuclídeo.

Quadro 57-2. Sinais e Sintomas Sugestivos de Meningite Carcinomatosa

Acometimento encefálico	Acometimento de nervos cranianos	Acometimento medular
Cefaleia	Diplopia	Paraparesia ou tetraparesia
Letargia	Baixa acuidade auditiva	Déficit sensitivo e/ou parestesias nos membros
Confusão mental	Hipoestesia na face	Dor lombar ou dorsal
Amnésia	Baixa acuidade visual	Dor neuropática radicular
Demência rapidamente progressiva	Paralisia facial	Perda de controle dos esfíncteres vesical e retal
Crises epilépticas	Zumbido	Assimetria de

		reflexos
Hemiparesia	Disfagia	Síndrome da cauda equina
Ataxia cerebelar	Vertigem	Sinais de irritação meníngea
Diabetes <i>insipidus</i>	Disgeusia	
Disfalias		

Adaptado de Wang *et al.*,³ Wasserstrom *et al.*⁸

DIAGNÓSTICOS DIFERENCIAIS

A carcinomatose leptomeníngea deve ser distinguida de:

- Meningite infecciosa.
- Lesão actínica pela radioterapia.
- Lesão tóxica pela quimioterapia.
- Neurotuberculose.
- Infecção fúngica do sistema nervoso central.
- Sarcoidose.
- Encefalopatias tóxicas ou metabólicas.
- Lesões metastáticas no sistema nervoso central.
- Hipotensão intracraniana.
- Compressão medular.
- Síndromes paraneoplásicas: encefalite límbica, encefalomielite, degeneração cerebelar paraneoplásica.

ABORDAGEM DIAGNÓSTICA

O intervalo de tempo médio entre o diagnóstico do tumor primário e a identificação de metástases leptomeníngeas é muito variável, com intervalo de cerca de 6 meses, mas com relato de até 10 anos de diferença.⁸

O achado de alterações neurológicas multifocais em indivíduos com neoplasias malignas já conhecidas deve ser o principal fator de

suspeição inicial para o diagnóstico de meningite carcinomatosa.

A partir da suspeita inicial, exames complementares úteis para o diagnóstico desta doença incluem a análise do líquido cefalorraquidiano (LCR), a ressonância magnética (RM) com uso de contraste de gadolínio, os estudos com radionuclídeos (cintilografia tecnécio 99m ou ácido índio-dietilenotriamina penta-acética) e marcadores tumorais dos sítios primários (CEA, CA-125, β -hCG, α -FP) e os exames séricos diversos, que podem ser indicativos de meningite carcinomatosa, como a isoenzima BB da creatina-quinase (CK-BB), o ativador de plasminogênio tecidual (TPA), a β 2-microglobulina, a β -glucoronidase, a isoenzima-5 da lactato desidrogenase (LDH-5) e o fator de crescimento endotelial vascular (VEGF).¹

A realização da RM com uso de contraste de gadolínio é de extrema importância na suspeita de meningite carcinomatosa e deve ser realizada, de preferência, antes da punção para coleta de LCR, visto que este procedimento pode gerar alterações do sinal da dura-máter e da aracnoide.¹² As sequências ponderadas em T1, com e sem contraste, e ponderada em T2 com supressão de gordura são as avaliações de escolha.¹³ Possui sensibilidade de aproximadamente 70%, e especificidade entre 77 e 100%, mas, ainda assim, a RM contrastada tem taxa de falso-negativo em cerca de 30% e, deste modo, não é possível excluir o diagnóstico se o exame não demonstrar alterações.¹³ Podem demonstrar o realce leptomeníngeo de formas nodular e irregular, com depósitos subependimais.

Pelo estudo do LCR, é possível observar aumento da pressão de abertura (acima de 20 cmH₂O), qualquer aumento no número de leucócitos (acima de 4 células/mm³, podendo chegar a 1.800 células/mm³) com predomínio linfomononuclear, hiperproteiorraquia (acima de 50 mg/dL) e hipoglicorraquia (abaixo de 60 mg/dL). A pesquisa de células tumorais no LCR tem sensibilidade reduzida, com resultado positivo em 45-71% dos casos, na primeira coleta,¹¹ aumentando para além de 80% após a segunda coleta. Acima de duas coletas de LCR, não é observado aumento na sensibilidade do exame.⁸ Para volumes de LCR coletados menores que 10,5 mL e a

demora no processamento do LCR coletado são outros fatores que reduzem a sensibilidade.¹⁴

A contagem de células no líquor não condiz com a presença ou não de células tumorais, em cerca de 29% dos casos com células oncóticas presentes na análise do LCR não havia mais que 4 células/mm³.¹¹ Além disso, a proteinorraquia pode estar normal mesmo com a presença de células tumorais na análise do LCR em 71% dos casos de leucemias, em 39% dos casos de linfoma e em 17% dos casos de tumores sólidos.¹¹ Outro fator que pode reduzir a sensibilidade da análise do LCR para a meningite carcinomatosa é a distância do sítio da punção para a coleta do LCR do local onde estão implantadas as células de forma inversamente proporcional, mesmo na ausência de obstrução ao fluxo liquórico,¹⁵ de modo que não obter o LCR pela coleta por punção lombar em indivíduos com sinais e sintomas de síndromes medulares, bem como a coleta por punção suboccipital ou ventricular em indivíduos com síndrome de nervos cranianos ou sintomas de acometimento encefálico, demonstraram maiores taxas de falso-positivos.

Marcadores tumorais no LCR podem ser úteis para o diagnóstico, apesar das limitações na sensibilidade e na especificidade. Aumento dos níveis de CEA (antígeno carcinoembrionário) no LCR acima de 1 ng/mL sem o aumento nos níveis séricos acima de 100 ng/mL é considerado patológico, bem como o aumento dos níveis de LDH-5. Níveis de β -glucoronidase no LCR acima de 80 mU/L e aumento dos níveis de lactato no LCR sugerem o consumo de glicose pelas células tumorais, mas são pouco específicos, podendo ser encontrados em outras causas de meningites.

O estudo com radionuclídeos, com o ¹¹¹Índio-ácido dietilenotriamina penta-acético (¹¹¹In-DTPA) ou com macroagregados de ⁹⁹Tc-albumina), é útil para avaliar o fluxo liquórico. Isto porque em cerca de 70% dos casos foram observadas obstruções ao fluxo liquórico na base do crânio, no canal medular ou nas convexidades cerebrais.¹

Estudos citogenéticos têm sido estudados para melhorar a acurácia no diagnóstico da meningite carcinomatosa. Estudos de

citologia, como a citometria de fluxo, técnica que afere o conteúdo cromossômico das células, de hibridização *in situ* fluorescente (FISH), que detecta alterações genéticas tanto na estrutura, quanto no número como sinais de malignidade, também têm sensibilidade reduzida. A técnica da reação em cadeia da polimerase (PCR) é indicada em casos onde o estudo da citologia foi inconclusivo, no entanto, devem ser conhecidos o sítio primário e a alteração genética do tumor primário para que esta técnica seja realizada.¹

A biópsia de meninge é indicada em casos onde os estudos previamente descritos foram inconclusivos e não se conhece o sítio primário do tumor ou lesões metastáticas em outros sítios.

TRATAMENTO

O objetivo do tratamento é diminuir ou estabilizar sintomas neurológicos e prolongar a sobrevida.¹ Como descrito anteriormente, a sobrevida de indivíduos sem tratamento é de 4 a 6 semanas.⁸ Baseia-se em uma combinação de cirurgia, radioterapia e quimioterapia.

A cirurgia é indicada para a correção da hidrocefalia por meio da introdução de um *shunt* ventriculoperitoneal e para a introdução de cateter com reservatório para administração de medicações quimioterápicas intratecais.¹

A radioterapia é indicada para desobstruir o fluxo liquórico, reduzir o volume de lesões e tentar reduzir sintomas em sítios específicos, visto que a quimioterapia é capaz de entrar cerca de 2 a 3 mm em nódulos tumorais. Em pacientes de mau prognóstico, é indicada radioterapia para todo o cérebro com doses entre 30-40 Gy em frações de 2-3 Gy. Há o risco de leucoencefalopatia em casos de concomitância com quimioterapia por Metotrexato.³

A quimioterapia intratecal é a modalidade que é capaz de tratar todo o sistema nervoso central ao mesmo tempo. O esquema terapêutico utilizado é a combinação de metotrexato, citarabina e tiotepa, no entanto, não dispomos, até o momento, da tiotepa ou da citarabina lipossomal no mercado. Apesar de a quimioterapia sistêmica não ser capaz de atravessar a barreira hematoencefálica, é capaz de o fazer uma vez que há a quebra desta barreira causada

pela inflamação, o que foi demonstrado pela concentração líquórica do quimioterápico em níveis terapêuticos após infusão endovenosa. O esquema utilizado deve ser guiado pelo tumor primário, com opções como: metotrexato em altas doses (3-8 g/m), citarabina em altas doses (3 g/m), capecitabina ou trastuzumabe (em casos de câncer de mama), tiotepa, temozolomida, etoposídeo em altas doses (em casos de carcinoma pulmonar de pequenas células), vemurafenib ou dabrafenib (em casos de melanoma).

Para a infusão de quimioterápico intratecal, a via preferível é por meio de sistema de cateter ventricular com reservatório. Existem dois tipos principais de sistemas disponíveis até o momento, o reservatório de Salmon-Rickham de base plana e o reservatório de Ommaya.

A razão pela qual a quimioterapia direcionada para o tumor primário não responde à meningite carcinomatosa é que substâncias hidrossolúveis não atravessem a barreira hematoencefálica em quantidade suficiente para o tratamento desta. Por ser uma grave complicação de um tumor primário, em certos casos, não está indicada a terapia agressiva descrita anteriormente. Esta decisão pode ter por base a determinação de uma sobrevida maior que 3 meses e o índice de *performance* de Karnofsky (KPS) maior que 60%.

A avaliação à responsividade à terapêutica se baseia em critérios clínicos subjetivos e objetivos. O uso comparativo da RM não foi, até o momento, padronizado para esta finalidade, e o estudo comparativo do LCR não demonstrou uniformidade na resposta. Em 2016, a Response Assessment in Neuro-Oncology Group (RANO) propôs critérios para esta avaliação, com base no exame neurológico, na RM do neuroeixo (resolução das alterações previamente observadas na RM) e na reavaliação do LCR (citologia negativa).¹⁶

REFERÊNCIAS BIBLIOGRÁFICAS

1. Chamberlain MC. Neoplastic meningitis. *J Clin Oncol* 2005;23(15):3605-13.

2. Gimenez A, Limongi JCP, Valente ACT *et al.* Carcinomatose leptomeníngea como primeira manifestação de adenocarcinoma pulmonar: relato de caso. *Arq Neuro-Psiquiatr* 2003;61:121-4.
3. Wang N, Bertalan MS, Brastianos PK. Leptomeningeal metastasis from systemic cancer: review and update on management. *Cancer* 2018;124(1):21-35.
4. Toyoshima M, Tsuji K, Shigeta S *et al.* Leptomeningeal metastasis from gynecologic cancers diagnosed by brain MRI. *Clin Imaging* 2017;41:42-7.
5. Scott BJ, Oberheim-Bush NA, Kesari S. Leptomeningeal metastasis in breast cancer - a systematic review. *Oncotarget* 2016;7(4):3740-7.
6. Lee EQ. Nervous system metastases from systemic cancer. *Continuum* (Minneapolis Minn) 2015;21(2 Neuro-oncology):415-28.
7. CJ Eberth. Zur Entwicklung des Epithelioms (Cholesteatoms) der Pia und der Lunge. *Virchows Arch A Pathol Anat* 1869 Dec;49(1):51-63.
8. Wasserstrom WR, Glass JP, Posner JB. Diagnosis and treatment of leptomeningeal metastases from solid tumors: experience with 90 patients. *Cancer* 1982;49(4):759-72.
9. Boire A, Zou Y, Shieh J *et al.* Complement Component 3 Adapts the Cerebrospinal Fluid for Leptomeningeal Metastasis. *Cell* 2017;168(6):1101-13.e13.
10. Chamberlain M, Soffietti R, Raizer J *et al.* Leptomeningeal metastasis: a Response Assessment in Neuro-Oncology critical review of endpoints and response criteria of published randomized clinical trials. *Neuro Oncol* 2014;16(9):1176-85.
11. Kaplan JG, DeSouza TG, Farkash A *et al.* Leptomeningeal metastases: comparison of clinical features and laboratory data of solid tumors, lymphomas and leukemias. *J Neurooncol* 1990;9(3):225-9.
12. Mittl RL Jr, Yousem DM. Frequency of unexplained meningeal enhancement in the brain after lumbar puncture. *AJNR Am J Neuroradiol* 1994;15(4):633-8.
13. Freilich RJ, Krol G, DeAngelis LM. Neuroimaging and cerebrospinal fluid cytology in the diagnosis of leptomeningeal metastasis. *Ann Neurol* 1995;38(1):51-7.

14. Glantz MJ, Cole BF, Glantz LK *et al*. Cerebrospinal fluid cytology in patients with cancer: minimizing false-negative results. *Cancer* 1998;82(4):733-9.
15. Murray JJ, Greco FA, Wolff SN, Hainsworth JD. Neoplastic meningitis. Marked variations of cerebrospinal fluid composition in the absence of extradural block. *Am J Med* 1983;75(2):289-94.
16. Chamberlain M, Junck L, Brandsma D *et al*. Leptomeningeal metastases: a RANO proposal for response criteria. *Neuro Oncol* 2017;19(4):484-92.

Parte XII

Emergências em Cabeça e Pescoço

OBSTRUÇÃO DAS VIAS AÉREAS SUPERIORES

CAPÍTULO 58

Renato de Castro Capuzzo

INTRODUÇÃO

A definição anatômica de vias aéreas superiores (VAS) inclui as fossas nasais, rinofaringe, orofaringe, boca, hipofaringe e laringe. A obstrução das VAS é a principal causa de avaliação de afecções de cabeça e pescoço no contexto de urgência e emergência. É uma condição que merece avaliação imediata do médico emergencialista, pois é a primeira medida a ser resolvida em uma avaliação de suporte básico de vida. É importante que o profissional diferencie as causas de um paciente com insuficiência respiratória, pois isto afetará diretamente o manejo do suporte ventilatório que pode variar desde oxigenoterapia até a necessidade de um procedimento cirúrgico, como a traqueostomia.

O acesso cirúrgico às VAS inclui a traqueostomia e cricotireodotomia e existem diferentes indicações, situações e técnicas para suas realizações, contudo, o foco deste capítulo será abordar os tópicos relacionados com o âmbito do serviço de urgência e emergência.

FISIOPATOLOGIA

As VAS constituem um sistema de passagem de ar em forma de Y, cuja interseção do fluxo de ar nasal e da cavidade oral é a orofaringe. A partir deste ponto, o caminho do ar é único pela

hipofaringe e laringe. Este é um conceito importante para entender que os pontos mais críticos de obstrução do fluxo de ar são a **orofaringe, hipofaringe e laringe**. Lesões que obstruem as fossas nasais e nasofaringe podem levar à dificuldade de respiração pelas narinas, contudo, elas raramente são suficientes para causar uma urgência respiratória. Apesar de muitos pacientes referirem a sensação de dispneia quando não conseguem obter uma respiração por via nasal, isto não constitui uma urgência respiratória, e o tratamento da causa-base desta obstrução pode ser aguardado. Tumores ou edema de cavidade oral muito volumosos levarão à insuficiência respiratória de urgência somente quando se estenderem para a orofaringe, pois a via respiratória nasal ainda persiste íntegra e mantém um fluxo aéreo adequado para as vias aéreas centrais. O local mais estreito das VAS é a região da glote laríngea e por isto edemas, tumores ou corpos estranhos nesta região podem ser situações de alto risco para a ventilação.¹

Basicamente existem duas principais formas de redução de calibre das VAS em afecções de cabeça e pescoço, por uma **obstrução intrínseca** da luz ou por **compressão extrínseca**. Como obstrução intrínseca temos as lesões que se originaram na própria luz da via aérea, como tumores ou edema e situações onde a via aérea está obstruída por agentes que prejudiquem a ventilação, como sangue, coágulos, secreção ou corpos estranhos. Nas compressões extrínsecas, encontra-se a situação onde as vias aéreas estão íntegras, porém comprimidas por massas tumorais, edema ou infecção. As causas mais comuns de compressões extrínsecas são metástases cervicais volumosas, tumores da tireoide e abscessos cervicais.

Outro mecanismo que leva ao edema da mucosa de vias aéreas e insuficiência ventilatória é o hematoma cervical. Após cirurgias do compartimento visceral do pescoço, como, por exemplo, a tireoidectomia, em raras vezes, pode ocorrer um hematoma compressivo que diminui o retorno venoso da laringe associado à própria infiltração do sangue no interstício. Isto pode acarretar um intenso edema de mucosa e necessidade de abordagem cirúrgica de emergência para descompressão cervical e possível traqueostomia.

AVALIAÇÃO DO PACIENTE COM INSUFICIÊNCIA RESPIRATÓRIA

Quando um paciente chega ao serviço de emergência com queixa de dispneia, as informações de anamnese e de exame físico são os principais parâmetros que indicarão a necessidade de um procedimento cirúrgico de acesso às vias aéreas, como a traqueostomia ou cricotireoidostomia.²

Estridor é o sinal mais importante de dificuldade ventilatória. Ele significa um fluxo aéreo turbilhonado decorrente da redução do diâmetro da via aérea. Quando o estridor ocorre durante a inspiração, ele é em razão de uma obstrução extratorácica notadamente glótica ou supraglótica, entretanto, estridor expiratório sugere uma obstrução subglótica.¹ Outros sintomas que devem ser valorizados é a dispneia aos esforços, dificuldade de se obter um sono relaxante, necessidade de decúbito elevado para dormir e quando estes sintomas estão associados à rouquidão, suspeita-se uma lesão acometendo a laringe. Outros sinais de exame físico de relevância são esforço inspiratório, taquipneia, uso de musculatura acessória da respiração e tiragem intercostal. A gasometria arterial pode revelar diminuição de PO_2 ou aumento de PCO_2 em estágios não compensados de insuficiência ventilatória.¹ Os níveis de saturação de hemoglobina detectados por oximetria de pulso podem ser valorizados quando estão decrescendo, contudo, este parâmetro pode ser um sinal tardio e um indicativo que este paciente está caminhando para fadiga e parada respiratória. Frequentemente os pacientes com tumores de cabeça e pescoço são tabagistas e apresentam algum grau de doença pulmonar crônica e podem mostrar valores de oximetria inferiores ao da normalidade. **Portanto, a indicação de traqueostomia se baseia muito mais em uma clínica de desconforto respiratório do que no valor de oximetria isoladamente.**

A decisão de se indicar um procedimento cirúrgico de traqueostomia está relacionada com a etiologia que levou ao desconforto respiratório e que não pode ser reversível no ambiente de urgência. Muitas vezes o paciente chega ao serviço de urgência sem uma investigação prévia de patologia de cabeça e pescoço.

Nestes casos, uma investigação etiológica de fatores de risco para câncer de vias aerodigestivas superiores, como tabagismo e etilismo, é importante. A presença de metástases cervicais palpáveis indica uma neoplasia maligna de VAS. História de aumento de volume cervical, febre e manipulação dentária prévia aponta para uma causa infecciosa, e angina de Ludwig deve ser considerada.

É importante diferenciar se os sintomas de insuficiência ventilatória foram de início recente ou fazem parte de um quadro lento e progressivo. Sintomas agudos de obstrução sugerem uma etiologia inflamatória ou infecciosa, e condutas, como administração de corticoides ou inalações, podem ser consideradas. Um quadro progressivo e crônico sugere neoplasia de VAS e raramente será resolvido com corticoides. Associado à presença de sintomas ventilatórios, como estridor e esforço inspiratório, este quadro já é um indicativo de uma via alternativa cirúrgica às vias aéreas.

O tipo de redução de via aérea suspeitado, se obstrução intrínseca ou compressão extrínseca, é bastante importante na tomada de decisão, pois conduz a caminhos distintos de resolução da insuficiência respiratória. Apenas se o paciente não estiver em uma condição de emergência, pode-se lançar mão de propedêutica de exames radiológicos, como tomografias do pescoço ou laringoscopia.

Quando um paciente apresenta algum conteúdo em sua via aérea que prejudique sua ventilação, como sangue, coágulos ou secreções, estes devem ser removidos por aspiração. A tentativa de intubação orotraqueal deve ser evitada quando sabidamente está presente um tumor ulcerado e obstrutivo da glote, pelos riscos de sangramento, insucesso de transpor o tumor ou de disseminação tumoral para traqueia.

Entretanto, quando um paciente apresenta uma compressão extrínseca das VAS por uma causa cervical, temos a possibilidade de realizar a intubação orotraqueal para estabelecer uma via confiável de ventilação e assim progredir na investigação da necessidade de se realizar uma traqueostomia eletiva ou resolução da causa-base de compressão. Uma outra razão para se considerar a intubação em vez de traqueostomia com anestesia local é que a

traqueia deslocada por uma compressão extrínseca pode não ser facilmente localizada, muitas vezes encontrando-se profundamente ao músculo esternocleidomastoide contralateral à massa cervical. Nesta situação o procedimento cirúrgico com o paciente acordado pode ser tecnicamente desafiador e precipitar uma emergência respiratória.

A traqueia deslocada por compressão pode ser localizada com uma seringa com soro fisiológico e agulha. Quando se perfura a luz traqueal, a aspiração do êmbolo promove bolhas de ar no interior da seringa. É possível até mesmo deixar uma agulha longa transcutânea até a traqueia para guiar o trajeto do procedimento. Outra forma bastante confiável de localização da traqueia, quando disponível, é o uso de ultrassonografia em centro cirúrgico.

INDICAR UMA TRAQUEOSTOMIA OU CRICOTIREOIDOTOMIA?

Basicamente o que diferencia a necessidade entre uma traqueostomia ou cricotireoidotomia é o grau de emergência de insuficiência respiratória. Se o paciente estiver em franco desconforto ventilatório e caminhando para hipoxemia e parada respiratória, a cricotireoidotomia deve ser considerada pois é o acesso cirúrgico mais rápido à via aérea. Nas outras situações em que se é possível aguardar o paciente chegar a um centro cirúrgico ou mesmo permitir uma traqueostomia em sala de emergência com material apropriado, esta alternativa deve ser escolhida.

Um conceito a se ressaltar é que a cricotireoidotomia é um procedimento **temporário** de acesso às vias aéreas e deve ser convertida em traqueostomia, assim que o paciente estiver em condições clínicas estáveis. Converte-se uma cricotireoidostomia em traqueostomia para evitar complicações infecciosas nas cartilagens laríngeas, que levam a possíveis quadros de estenose subglótica, necessitando de tratamentos cirúrgicos complexos para sua resolução. Por este motivo a cricotireoidotomia deve ser evitada em crianças, pois o risco destas complicações é ainda maior na reduzida via aérea destes pacientes.

TÉCNICA E ANATOMIA CIRÚRGICA DA TRAQUEOSTOMIA

Alguns detalhes técnicos e advertências devem ser lembrados no paciente que realizará um procedimento de acesso cirúrgico às vias aéreas.

Posicionamento do paciente e preparo:

- Quando a urgência permitir, deixe todo o material para o procedimento disponível, pois, durante a execução do mesmo, pode haver emergência respiratória e não haver tempo de aguardar a busca de materiais adicionais.
- Escolha o tipo e tamanho da cânula de traqueostomia que será utilizada. Se for uma cânula com balão, este deverá ser testado antes de ser introduzido para verificar vazamentos de ar.
- O local anatômico onde se realizará a incisão da traqueia deve ser palpável no pescoço acima da fúrcula esternal. Este local se encontra a uma polpa digital caudal da borda inferior da cartilagem cricoide, que é um parâmetro anatômico bastante proeminente e confiável do pescoço. Não confundir com a palpação da proeminência laríngea (pomo de Adão) que constitui a quilha da cartilagem tireoide.
- Pacientes mais idosos tendem a ter a laringe mais baixa no pescoço e podem até mesmo não ter um segmento de traqueia cervical palpável, fazendo-se necessário, quando possível, uma hiperextensão do pescoço ou tração cranial da laringe com os dedos e afastadores no intuito de deixar um segmento de traqueia acessível.
- Dependendo do nível de desconforto respiratório, o paciente não tolerará uma hiperextensão do pescoço pois esta não é uma posição natural para a respiração. Os pacientes tendem a flexionar o pescoço na insuficiência respiratória. Se for possível palpar a traqueia no pescoço naturalmente, não há necessidade de hiperextensão cervical e nem a utilização de coxins subescapulares.
- Alguns pacientes não tolerarão o decúbito dorsal horizontal em uma situação limítrofe de compressão da orofaringe. Isto também pode ocorrer em tumores pediculados da laringe. Para isto,

utiliza-se a mesa cirúrgica em decúbito elevado suficiente, para que o paciente tolere o procedimento.

- Na ausência de emergência, **somente** inicie o procedimento depois que o paciente tiver um acesso venoso e monitorização adequada, pois se houver parada respiratória, estes serão imprescindíveis.
- **Evite utilizar sedação no preparo de um paciente com insuficiência respiratória obstrutiva** pois o paciente necessitará de todos os seus mecanismos de proteção de vias ventilatórias. O paciente sedado relaxa a musculatura auxiliar na ventilação e pode evoluir para uma emergência e parada respiratória.³

Traqueostomia Cirúrgica Aberta

Após o posicionamento adequado do paciente descrito anteriormente, realize a antisepsia cirúrgica e paramentação. Quanto à colocação de campos, sempre deixe a boca e o nariz do paciente descobertos. Uma boa alternativa é colocar um campo fenestrado com o orifício nas vias aéreas naturais do paciente.

O local de incisão na pele será a projeção cutânea entre o primeiro e o segundo anel traqueal tendo como referência a palpação da cartilagem cricoide. Em pacientes idosos com cifose torácica e com traqueia cervical não palpável, procure realizar a incisão próxima à fúrcula esternal.

A escolha da orientação da incisão depende da emergência do procedimento. Incisão transversa tem uma cicatrização mais estética e permite o procedimento sem limitações. Entretanto, a incisão longitudinal já está na orientação da abertura dos planos mais profundos e evita a lesão inadvertida das veias jugulares anteriores, sendo uma forma mais rápida de chegar à traqueia.

Uma incisão de 3 centímetros é suficiente em uma traqueostomia convencional. Quando houver fatores complicadores, como presença de bócio volumoso ou tumores, opte por incisões maiores.

O início de abertura da rafe mediana muscular começa com a separação dos músculos esterno-hioide e posteriormente esternotireóideo que devem ser separados com afastadores

Após a separação dos músculos, visualiza-se o istmo da glândula tireoide. Neste momento é necessário avaliar se será possível apenas afastar o istmo ou se será necessário realizar uma istmotomia para expor o local de abertura traqueal. Em tireoides mais volumosas, recomenda-se a istmotomia.

Como rotina, o local da abertura da traqueia será entre o primeiro e o segundo anel traqueal. Deve-se evitar deixar a cânula no primeiro anel pelo risco de infecção da cartilagem cricoide. Traqueotomia em anéis mais baixos é possível, mas deve ser evitada, pois se este paciente necessitar posteriormente de uma laringectomia total por um câncer de laringe, a maturação da traqueia na pele pode ser um procedimento mais trabalhoso.

O tipo de incisão da traqueia é bastante variável e não há uma clara comprovação de que uma técnica gere menos complicações que a outra em adultos. As opções são a secção transversal, longitudinal, em forma de “T” ou “H”, ou até mesmo a ressecção da porção anterior de um anel traqueal. Em crianças também não foram comprovadas diferenças no tipo de incisão traqueal.⁴

É possível deixar pontos de náilon reparados nas bordas da incisão traqueal no intuito de facilitar a troca precoce de cânulas pela tração e anteriorização do estoma da traqueia em direção à abertura da pele.

Este é o melhor momento de revisar hemostasia em quaisquer pontos de sangramento antes de a cânula ser introduzida.

Utilize a cânula adequada com a ogiva na ponta lubrificada com xilocaína em gel. Para facilitar a introdução da cânula, introduza-a rodada em

90 graus e após passar pelo estoma da traqueia, rode-a para a posição normal.

É interessante testar o fluxo de ar dos pulmões que sai pela cânula com uma gaze, deixando que ela se movimente com a inspiração e expiração. Cânulas em falso trajeto não apresentam fluxo de ar adequado.

Não feche hermeticamente a pele para evitar a formação de enfisema de subcutâneo. No máximo efetue um fechamento lateral.

Fixe a cânula com cadarço e pontos, se necessário. Interponha gazes entre a pele e a cânula.

Traqueostomia Percutânea

Este procedimento é utilizado principalmente em traqueostomias eletivas de pacientes com intubação orotraqueal e não será detalhado neste capítulo, pois não se enquadra no contexto de urgência e emergência.

Técnica de Cricotireoidostomia

A cricotireoidotomia cirúrgica se assemelha em técnica cirúrgica à traqueostomia, mas os detalhes relevantes distintos deste procedimento serão listados:

- A orientação da incisão cutânea cervical será preferencialmente longitudinal pela maior rapidez e menor risco de sangramentos.
- A incisão ocorrerá na membrana cricotireóidea, e algum instrumento, como uma pinça hemostática, poderá realizar a abertura romba da membrana para permitir uma rápida ventilação. Este local dificilmente será recoberto pela tireoide, podendo em algumas situações estar presente o lobo piramidal que deve ser afastado.
- Introduz-se uma cânula normalmente de menor calibre, e inicia-se a ventilação assistida, se o paciente estiver em parada respiratória.
- Procura-se, a partir deste momento, estabilizar outras condições críticas do paciente, como sangramentos ou instabilidade hemodinâmica, e, assim que possível, converta o procedimento em traqueostomia.

Cricotireoidotomia por Punção

Existem *kits* comerciais desenvolvidos para este procedimento, onde o acesso à via aérea pela membrana cricotireóidea é feito com uma punção por agulha, passagem de fio-guia e dilatação até o diâmetro da cânula de ventilação. Todos os conceitos citados anteriormente são válidos, exceto pela modificação de incisões por dilatações.

Traqueostomia Transtumoral

Pode ocorrer a situação, felizmente rara, em que um paciente apresenta insuficiência respiratória obstrutiva e a presença de um tumor no local onde será executada a traqueostomia. Esta condição pode ser bastante desafiadora, pois os parâmetros anatômicos estão possivelmente alterados. Nesta condição todas as recomendações descritas anteriormente para acesso à via aérea em compressão extrínseca são válidas, tentando se possível intubação orotraqueal e/ou localização da traqueia previamente ao procedimento. Nesta situação o exame de tomografia computadorizada de pescoço e nasofibroscopia darão informações muito importantes, se o grau de urgência permitir esperá-los.

COMPLICAÇÕES

Como complicações das traqueostomias na urgência e suas soluções serão divididas quanto ao momento que ocorrem.

Complicações Precoces

- *Falso trajeto*: esta complicação ocorre quando a cânula não foi introduzida dentro da traqueia ou se deslocou para fora da traqueia. O paciente nesta condição pode manter a dispneia, e, se não tiver obstruído, consegue vocalizar. Para evitar a introdução incorreta da cânula, coloque-a sob visão direta ou com o auxílio de um guia e teste a patência do fluxo de ar. Cânulas que se deslocam ocorrem primordialmente com a escolha de uma cânula curta para um trajeto longo entre a pele e a traqueia, principalmente em pacientes obesos, devendo sempre ser considerada a troca por uma cânula de comprimento mais adequado.
- *Sangramentos*: quando ocorrem em pequena quantidade nas primeiras horas após a traqueostomia ao redor da cânula, indicam uma hemostasia inadequada. Uma revisão cirúrgica deve ser realizada ou o uso de hemostáticos.
- *Vazamento de ar e ventilação inadequada*: isto ocorre quando o balão da cânula não permite vedar o lúmen da traqueia. Isto pode ocorrer pelo posicionamento da cânula que pode estar sendo tracionada pelos tubos da ventilação mecânica, e um ajuste no

posicionamento pode resolver a questão. Outra possibilidade é ter sido escolhida uma cânula de diâmetro não suficiente para vedar a traqueia com o balão, e a troca por uma cânula de maior diâmetro pode resolver o problema.

- *Enfisema de subcutâneo*: duas possibilidades podem ser consideradas nesta ocasião. Uma é o fechamento hermético da pele em uma cânula com vazamento ao redor do balão. A abertura de pontos que selaram a incisão leva a uma diminuição gradual desta complicação. Outra possibilidade é a presença de pneumotórax pela dissecação do ápice da pleura pulmonar, e medidas para pneumotórax devem ser realizadas.
- *Pneumomediastino*: cânulas em falso trajeto com ventilação mecânica podem levar à ventilação de ar para o mediastino. A reinserção da cânula ou escolha de uma mais adequada diminui gradualmente a complicação.

Complicações Tardias

- *Obstrução por secreção*: quando um paciente está com traqueostomia, mas apresenta desconforto respiratório, devem-se considerar as seguintes possibilidades: obstrução por secreção, lesões intratorácicas ou distúrbios pulmonares. Uma obstrução pode ocorrer no interior de uma cânula sem intermediário ou na própria cânula interna. Uma cânula sem intermediário deve ser trocada e para a que já possui, este deve ser removido e desobstruído. Se estas medidas não solucionarem, um exame endoscópico é necessário para verificar uma rolha de secreção na ponta da cânula ou alguma lesão obstruindo a traqueia intratorácica. Na ausência destas situações, considere uma causa pulmonar de dispneia.
- *Fístula traqueoesofágica*: esta complicação é bastante rara e ocorre em pacientes com cânulas com balão insuflado com pressão acima do recomendado ou em pacientes com tumores infiltrando a traqueia e esôfago proximais. Nesta situação uma alimentação exclusiva por sonda nasointestinal é mandatória, e a resolução cirúrgica eletiva, se assim for indicada.
- *Sangramentos*: quando ocorrem alguns dias após o procedimento em pequena quantidade ao redor da cânula indicam a presença

de tecido de granulação que pode ser cauterizado. Sangramentos pelo interior da cânula podem ser apenas pelo traumatismo de cânula longa ou ser considerado um sangramento sentinela de uma fístula traqueoarterial. Esta última é uma condição extremamente grave com alta mortalidade e deve ser avaliada por um especialista imediatamente. No caso de um sangramento maciço, uma cânula com balão deve ser insuflada no local do sangramento, o sangue da traqueia é aspirado, e o paciente deve ser encaminhado emergencialmente ao centro cirúrgico.

TIPOS DE CÂNULAS DE TRAQUEOSTOMIA

Existem cânulas de traqueostomias de diferentes materiais e características e cabe ao médico que realiza o procedimento selecionar o tipo mais adequado para determinadas situações. Os tipos mais comuns de cânulas são:

- *Cânula metálica*: apresenta uma cânula interna removível (intermediário) que permite a limpeza das secreções que podem obstruir o fluxo de ar. A indicação mais comum desta cânula é para pacientes com ventilação espontânea em uso domiciliar de traqueostomia.
- *Cânula de plástico com balão*: também chamadas de cânulas do tipo Portex® não apresentam cânula interna e só permitem limpeza de secreções com aspiração e normalmente apresentam balão que pode ser insuflado. A indicação padrão destas cânulas é a necessidade de ventilação mecânica ou pacientes **em ambiente hospitalar** com risco de aspiração laringotraqueal ou sangramentos.
- *Cânula de Shiley®*: é uma combinação das duas anteriores, pois apresenta intermediário e balão. Nem sempre estão disponíveis, pois são significativamente mais caras. A indicação rotineira para esta cânula é o paciente que apresenta risco de aspiração maciça, mas que pode ser liberado para casa.
- *Cânula Biesalski®*: cânula com as mesmas características da metálica, porém de plástico. Esta cânula é utilizada em pacientes que estão realizando radioterapia em regime ambulatorial. A

vantagem desta cânula é que diminui a radiodermite provocada pela associação de radioterapia e cânulas de metal.

Portanto, alguns princípios devem ser observados na escolha da cânula:

1. Pacientes que necessitem de ventilação mecânica utilizarão uma cânula com balão insuflado.
2. Pacientes só devem ir para casa com cânulas com intermediário, como as metálicas, Shiley® e Biesalski® para limpeza de secreções. Cânulas, como a Portex®, podem obstruir pelo acúmulo de secreções.
3. Pacientes com disfagia severa e com risco de aspiração maciça devem utilizar uma cânula com balão insuflado.
4. Deve-se evitar o uso de cânulas metálicas na vigência de radioterapia.

Algumas observações são pertinentes em relação ao manejo de traqueostomias no contexto de urgência para médicos que não estão habituados com patologias de cabeça e pescoço:⁵

- Pacientes que estão com suas cânulas de traqueostomia bem locadas não conseguem falar a não ser que ocluam a cânula. Quando conseguem vocalizar, desconfie de falso trajeto. Pacientes devem apresentar um fluxo aéreo perceptível ao tato quando expiram.
- Traqueostomias realizadas há menos de 7 dias devem ter suas cânulas trocadas com cuidado, porque o trajeto não está bem estabelecido. Para isto o uso de guias, fios de reparo e agilidade na troca são importantes no intuito de evitar falso trajeto.
- Pacientes não internados com traqueostomia e saída de saliva ou alimentos pela traqueostomia provavelmente apresentam aspiração laringotraqueal significativa. Uma cânula do tipo Shiley® deve ser considerada, pois apresenta intermediário para limpeza domiciliar e balão para evitar aspiração. Alimentação por sonda enteral e jejum por via oral são recomendados. Uma hipótese comumente cogitada é a de fístula traqueoesofágica.

Contudo, esta complicação é rara e está associada ao uso prolongado de balão insuflado em cânulas ou tubos traqueais ou em tumores ulcerodestrutivos com extensão para traqueia e esôfago.

- Pacientes com traqueostomia devem realizar suas inalações ou oxigenoterapia pela cânula de traqueostomia e não pelas vias aéreas naturais, pois mesmo com cânulas sem balão insuflado, a resistência para a entrada de ar é bem menor pelo traqueostoma do que pelo nariz e pela boca.
- Pacientes submetidos à laringectomia total apresentam uma traqueostomia terminal, ou seja, a traqueia é maturada diretamente na pele. Portanto, nestes pacientes não pode ser realizada intubação orotraqueal. Muitas vezes estes pacientes não utilizam cânulas de traqueostomia e têm seus traqueostomas cobertos por tecidos ou filtros.
- Um paciente que respira por um traqueostoma inspira um ar mais frio, seco e com impurezas pela ausência de respiração pelas vias naturais, portanto, ele deve ser liberado para o domicílio com medidas de umidificação de ar e inalação para evitar consolidação das secreções no interior das cânulas de traqueostomia.

CONCLUSÃO

Apesar de ser um procedimento normalmente de baixa complexidade, a traqueostomia pode ser extremamente estressante tanto para o médico como para o paciente em situações de urgência, ou mesmo, se transformar em um procedimento de emergência em que a agilidade no acesso à via aérea determinará a sobrevivência ou não do paciente. Para isto, é necessário que diversos conceitos teóricos e práticos sejam elucidados, como familiarização com a anatomia cirúrgica da região, compreensão da fisiopatologia da obstrução alta de vias aéreas, conhecimento das indicações e da resolução de problemas comuns relacionados com as traqueostomias nas salas de urgência.

REFERÊNCIAS BIBLIOGRÁFICAS

1. Benumof J, Hagberg CA. *Benumof and Hagberg's Airway management*. 3rd ed. Philadelphia, PA: Elsevier/Saunders; 2013. xxiii, 1141 p.
2. Freeman BD. Tracheostomy Update: When and How. *Crit Care Clin* 2017;33(2):311-22.
3. Ehsan Z, Mahmoud M, Shott SR *et al*. The effects of anesthesia and opioids on the upper airway: A systematic review. *Laryngoscope* 2016;126(1):270-84.
4. Watters KF. Tracheostomy in Infants and Children. *Respir Care* 2017;62(6):799-825.
5. Mitchell RB, Hussey HM, Setzen G *et al*. Clinical consensus statement: tracheostomy care. *Otolaryngol Head Neck Surg* 2013;148(1):6-20.

SANGRAMENTO CERVICAL – SÍNDROME DA RUPTURA DE CARÓTIDA (SRC)

CAPÍTULO
59

Ricardo Ribeiro Gama
André Lopes Carvalho

A síndrome da ruptura de carótida (SRC) é uma das complicações mais temidas e devastadoras do paciente com câncer de cabeça e pescoço, com uma incidência de 3-4% nesta população.¹ Quando a SRC não é tratada, a mortalidade chega a 60%, e o risco de complicações neurológicas é de aproximadamente 40%.² A mortalidade perioperatória é em torno de 30%, e o risco de acidente vascular encefálico em torno de 15%.² O risco de ressangramento após uma primeira intervenção pode chegar a 25%, durante o acompanhamento destes pacientes,² e varia de acordo com as condições clínicas do paciente e dos métodos utilizados para controle do primeiro sangramento. O prognóstico é altamente dependente da apresentação clínica do sangramento (como grau do choque), da condição clínica do paciente (*performance status*, condição nutricional, comorbidades, presença de tumor em atividade, prognóstico oncológico) e local do sangramento no corredor carotídeo (unifocal, multifocal, nos ramos da carótida

externa, na carótida comum, junto ao bulbo ou na carótida interna cervical). Em muitos pacientes, a ruptura ocorre próxima à bifurcação carotídea.³ Metade dos pacientes com SRC apresenta episódios de sangramento prévio intermitente, autolimitado, o que deve chamar atenção para um sangramento abundante iminente, potencialmente fatal, dentro de horas, dias ou semanas.⁴ Sessenta por cento dos pacientes desenvolverão um sangramento que coloque o paciente em risco de vida e que requererá uma intervenção emergencial.⁴

Com o advento do uso das modalidades não cirúrgicas de tratamento para o carcinoma de células escamosas da cabeça e pescoço (CCECP) localmente avançado (estádios clínicos III e IV), em especial aqueles que compreendem a associação de radioterapia com quimioterapia, o risco de exposição das artérias carótidas à irradiação é fato, visto que as cadeias linfonodais cervicais, alvo comum do tratamento em câncer de cabeça e pescoço, estão em íntimo contato com os grandes vasos cervicais. Sabe-se que a presença de radioterapia cervical prévia aumenta em cerca de

7,6 vezes o risco de ruptura de carótida,⁵ e quando a radioterapia é associada à linfadenectomia cervical radical com ampla exposição do vaso, este risco é ainda maior. Pacientes com SRC têm história de tratamento radioterápico em 89% das vezes, de metástases cervicais em 69% e de linfadenectomia cervical em 63%.⁴

Por ser um evento raro, a literatura apresenta relato de séries e de casos e poucas revisões sistemáticas. A falta de consenso no tratamento, a inacessibilidade de muitos centros à terapia endovascular e o prognóstico reservado destes pacientes fazem com que padrões de tratamento não sejam adequadamente estabelecidos e seguidos, e o controle a longo prazo destes pacientes seja limitado.

FATORES DE RISCO E FISIOPATOLOGIA DA RUPTURA CAROTÍDEA

Para fins didáticos, a ruptura carotídea pode ocorrer associada ou não à presença de tumor. Na presença de tumor, o envolvimento do

vaso pela massa linfonodal e/ou pelo tumor primário, em um contexto de apresentação clínica inicial ou em um contexto de tumor recidivado após tratamento multimodal, coloca a carótida sob risco de ruptura, principalmente, nas situações de recidiva em pacientes previamente operados e irradiados com tumorações ulceradas na pele com extensa área de necrose tumoral. Em contrapartida, no cenário clínico de ausência de tumor, algumas situações clínicas colocam a artéria carótida sob risco, por fragilizá-la. Estas situações são apresentadas no [Quadro 59-1](#).^{1,4-6}

Quadro 59-1. Fatores Predisponentes de Ruptura Carotídea de Causa Não Tumoral

- | |
|-------------------------------------------------------------------------------------------------------------------------|
| 1 - Fístula mucocutânea (oral, faríngea) |
| 2 - Exposição continuada dos grandes vasos à saliva |
| 3 - Linfadenectomia cervical radical em carótida previamente irradiada |
| 4 - Infecção cervical não controlada |
| 5 - Radionecrose dos retalhos cutâneos e/ou das partes moles ao redor dos grandes vasos, com ou sem exposição carotídea |
| 6 - Condições clínicas adversas, como desnutrição, diabetes <i>mellitus</i> e corticoterapia |
| 7 - Radiocondronecrose laríngea |

Este risco é ainda maior quando a radioterapia é realizada previamente ao procedimento cirúrgico, ou seja, em um contexto de resgate do pescoço com linfadenectomia cervical após falência ao tratamento radioterápico em associação ao quimioterápico. A associação dos fatores anteriores aumenta ainda mais o risco de ruptura carotídea, por exemplo: o paciente em pós-operatório de laringectomia total e linfadenectomia cervical que evolui com fístula salivar de alto débito, infecção cervical e exposição da carótida por deiscência de retalho cutâneo em razão de necrose do mesmo.

Os vasos submetidos à radioterapia apresentam fibrose multifocal, infiltração inflamatória, perda da adventícia, aterosclerose secundária e perda do suporte dos tecidos circundantes que também se encontram irradiados.⁴ Radicais livres produzidos no campo irradiado causam trombose e obliteração da *vasa vasorum*, aterosclerose prematura, fibrose da adventícia, alteração da espessura arterial e enfraquecimento do vaso, que pode ser potencializado por mediadores inflamatórios oriundos da infecção tecidual, que é comumente vista nas fístulas salivares, necrose de tecidos ou exposição vascular à saliva. A decomposição da parede arterial resulta na formação de pseudoaneurismas e, finalmente, em ruptura vascular.⁴

Outra teoria que procura associar a radioterapia da carótida à sua ruptura diz que este tratamento induz endarterite, que resulta em hipóxia e hipovascularização e consequente ruptura tecidual. Finalmente, alguns autores associam a hipocelularidade de fibroblastos, decorrente da irradiação, à depleção de colágeno e consequente enfraquecimento da parede do vaso.⁷

Com o advento das técnicas modernas de irradiação, como o IMRT (Radioterapia de Intensidade Modulada do Feixe), é possível aplicar doses para controle tumoral maiores do que com as técnicas convencionais, o que pode gerar maior controle da neoplasia, à custa de maior dose de irradiação sobre os vasos cervicais. Mesmo assim, é possível minimizar dose sobre os grandes vasos, especialmente, na neoplasia com baixo volume de doença cervical ou no contexto do pescoço clinicamente negativo.⁸ Nas situações de amplo envolvimento da carótida, ou de íntimo e extenso contato da neoplasia com a mesma ou de amplo comprometimento linfonodal cervical (conglomerados linfonodais ou metástases linfonodais maiores que 6 cm ou qualquer massa com amplo extravasamento linfonodal extracapsular – pescoço N3), retirar a carótida do campo de irradiação é crítico em razão de não se conseguir obter adequado controle tumoral, mesmo porque o envolvimento tumoral por si deste grande vaso já é acompanhado de maior risco de ruptura vascular, independente do tratamento a ser escolhido.

A infecção cervical é outro fator predisponente comum de ruptura de carótida. Em sua fisiopatogenia, o processo infeccioso,

muitas vezes decorrente de fístula cervical e/ou necrose tecidual, leva à trombose da *vasa vasorum* por infecção bacteriana, com subsequente lesão da parede da artéria.⁴ A necrose tecidual e fístula, comumente associadas à hipóxia, contribuem para contaminação dos tecidos, o que leva à infecção da bainha carotídea, fragilizando-a.⁴

APRESENTAÇÃO CLÍNICA E ABORDAGEM DIAGNÓSTICA

A ruptura de carótida pode ser classificada de acordo com sua apresentação clínica em:^{1,4}

- a) Ameaça de ruptura (*threatened*).
- b) Ruptura iminente (*impending*).
- c) Episódio agudo (*acute*).

Na ameaça de ruptura, existem situações clínicas que colocam a carótida sob risco de ruptura, sem que haja sinais de sangramento. Situações como exposição vascular, associada à fístula salivar ou infecção cervical, necrose tecidual ou recorrência tumoral, colocam a carótida sob risco. Estudo angiográfico poderá mostrar invasão tumoral do vaso ou formação de pseudoaneurismas não hemorrágicos.^{1,4}

Na ruptura iminente, podemos ter os mesmos cenários clínicos, associados a sangramento cervical recorrente, autolimitado, também chamada de “hemorragia sentinela”. Geralmente, estes sangramentos cessam com compressão local e são sinais iminentes de que uma ruptura está por acontecer. Estudo angiográfico poderá mostrar pseudoaneurismas hemorrágicos.^{1,4}

O sangramento também poderá ser intraoral, com relato de sangramentos orais intermitentes, autolimitados, via de regra em paciente previamente tratado, com alta suspeição de recidiva local, muitas vezes não evidente ao exame clínico. Presença de úlceras orais ou faríngeas (especialmente em parede lateral da faringe, em razão da proximidade da artéria carótida externa e seus ramos), pós-tratamento, com ou sem evidência anatomopatológica de

recidiva é um cenário comum e propício para exposição vascular no tubo aerodigestivo, levando a sangramentos intermitentes por estas úlceras, até a ruptura completa/parcial da carótida ou um de seus ramos dentro da via aerodigestiva superior, o que pode ser fatal pelo volume sanguíneo perdido e pelo risco de aspiração maciça de sangue, em especial nos pacientes não traqueostomizados.

No episódio agudo, existe ruptura completa/parcial do vaso, com sangramento profuso, não controlável por compressão local, via cervical ou intraoral. A investigação diagnóstica dependerá da apresentação clínica e, na maioria dos casos, necessita de abordagem terapêutica imediata, via de regra, cirúrgica e é acompanhada de alta morbimortalidade.

Com base no exposto, medidas diagnósticas e preventivas deverão ser tomadas nas situações de ameaça de ruptura e ruptura iminente, para que o episódio agudo, quase sempre fatal ou acompanhado de sequelas neurológicas graves, tenha sua ocorrência minimizada ou até não venha a ocorrer.

Os principais exames diagnósticos são: angiotomografia ou angiorressonância que podem mostrar invasão tumoral da parede arterial, em contexto da presença de tumor ou na suspeição da mesma. A angiografia é um exame invasivo que pode identificar pseudoaneurismas hemorrágicos ou não e poderá orientar um tratamento imediato com embolizações ou *stent*.

ABORDAGEM TERAPÊUTICA

Na prática clínica do tratamento do CCECP no Brasil, os centros de tratamento ao redor do país não possuem uma unidade de cirurgia endovascular intervencionista que possa oferecer de forma multiprofissional assistência diagnóstica e intervencionista para os pacientes que se apresentam na iminência da ruptura. Via de regra, os pacientes que se apresentam na iminência de ruptura, são tratados com medidas clínicas, como transfusão e compressão local e até, eventualmente, procedimentos cirúrgicos variados, como a ligadura profilática da artéria carótida comum ou externa. Comumente este procedimento é realizado no episódio agudo, já que o mesmo carrega altos índices de morbimortalidade e ressangramentos. No episódio agudo, os procedimentos

endovasculares dificilmente terão algum papel. Para fins didáticos, estratificamos o tratamento de acordo com a fase de apresentação clínica:

a) *Ameaça de ruptura*: nesta fase encontra-se a chave para o reconhecimento de alto risco de ruptura ([Quadro 59-1](#)), e devem-se adotar procedimentos, em geral, cirúrgicos, para que a mesma seja evitada. São exemplos de medidas a serem tomadas na presença das seguintes situações clínicas:

- Presença de fístula salivar: garantir que a mesma esteja adequadamente drenada por meio de drenos que desviem ao máximo a secreção salivar do corredor carotídeo. Caso seja possível, reparar com sutura a fístula (nem que seja parcialmente). Na impossibilidade desta reparação, garantir a limpeza do pescoço por procedimentos cirúrgicos, drenagem plena e controle rigoroso da infecção com auxílio de antibioticoterapia sistêmica. Cultura e antibiograma da secreção cervical poderão auxiliar o direcionamento da antibioticoterapia.
- Linfadenectomia cervical radical em carótida previamente irradiada: caso não haja abordagem concomitante do trato aerodigestivo superior, e os retalhos cutâneos estejam vascularizados, a simples cobertura com retalho cutâneo cervical é suficiente. Em situações de ampla contaminação cervical por abertura do trato aerodigestivo superior, com alto risco de fístula salivar ou na situação em que há sofrimento de retalho cutâneo com alto risco de exposição vascular, a cobertura profilática da carótida com retalhos miocutâneos auxilia na prevenção de ruptura da mesma. Caso a carótida apresente-se exposta no pós-operatório por necrose tecidual ou haja indícios de infecção cervical com fístula salivar abundante, a reabordagem cervical com limpeza, desbridamentos, drenagem e interposição de retalho entre a fístula e a carótida com adequada cobertura da mesma se faz necessária para prevenção de ruptura. No caso de ressecção da adventícia da carótida, deve-se ter cuidado redobrado para garantir cobertura do vaso com tecidos cutâneos vitalizados

ou, na impossibilidade, cobertura com retalhos locorregionais, como o de grande peitoral.

- Radionecrose e infecção cervical: O desbridamento precoce de retalhos desvitalizados e o tratamento precoce da infecção cervical são cruciais para prevenção de futuros sangramentos. Sempre quando houver exposição vascular ou risco de exposição, deve-se cogitar a cobertura dos vasos com retalhos, de preferência miocutâneos.

b) *Ruptura iminente*: nesta fase, os procedimentos endovasculares diagnósticos e terapêuticos têm maior relevância. O uso de técnicas endovasculares vem ganhando espaço no contexto da SRC, por serem seguras e terem o potencial de controlarem o sangramento, com melhor qualidade de vida, por estarem associadas a menor índice de sequelas neurológicas e à menor mortalidade que o tratamento cirúrgico padrão.⁹ Caso, após tomar todas as medidas citadas anteriormente, o paciente apresentar episódios de “hemorragia sentinela”, sendo disponível, o cirurgião endovascular poderá ser acionado para auxílios diagnóstico e terapêutico. A angiografia com teste de oclusão (balão ou teste do retorno venoso) poderá selecionar o paciente passível de ligadura cirúrgica da artéria carótida ou embolização com balão ou pela oclusão do lúmen vascular por embolização com partículas de oclusão (molas endovasculares), técnicas estas chamadas de destrutivas,^{4,5,10} caso haja sinais de sangramento da carótida. Caso o teste mostre não ser possível a ligadura cirúrgica ou o emprego de qualquer técnica destrutiva endovascular, pelo risco de ocasionar extenso acidente vascular isquêmico com grave sequela neurológica ou morte, como nas situações de polígono de Willis incompleto, não tolerância ao teste do balão ou carótida contralateral ocluída,¹¹ a opção será tentar manter o lúmen do vaso patente pela colocação de *stents* endovasculares, que é uma técnica considerada construtiva.^{4,5,10} A colocação de uma prótese vascular após ressecção do segmento frágil do vaso é inviável no contexto de tumor invadindo a carótida, fístula salivar, infecção cervical e grande extensão de comprometimento carotídeo.¹ A colocação do *stent*

é preferível sempre à colocação de próteses, visto que uma carótida irradiada é mais propensa à ruptura após manipulação. Deve-se lembrar que a colocação de *stent* ou prótese acarreta a necessidade de anticoagulação plena, o que muitas vezes não é possível nestes pacientes. É fato que o emprego das técnicas construtivas minimiza os acidentes isquêmicos e consequente sequela neurológica, sendo menos mórbidos, em especial, na situação de presença de sangramento que possa ser manejado com procedimento endovascular, mas de forma rápida, quando não se conhece a patência do polígono de Willis, por falta de tempo hábil para realizar os testes de oclusão. Em contrapartida, é o que acompanha maior risco de recidiva de ruptura a longo prazo que pode chegar a 44%,¹ assim como também poderá acarretar trombose ou oclusão arterial a longo prazo. Por isto, é vista, muitas vezes, como um procedimento temporário, a fim de conter o sangramento de princípio, sem ocluir o lúmen, até que exames de oclusão possam ser feitos para determinar a possibilidade de oclusão definitiva, empregando as técnicas destrutivas, como embolização, que carregam risco de recorrência hemorrágica de 10% e de complicações isquêmicas em cerca de 15-20%^{1,4} dos pacientes e que por isso são geralmente reservadas para pacientes com sangramento controlável quando é possível tempo para realizar teste de oclusão previamente à decisão de embolizar.

Uma revisão sistemática com relato de série de casos, com um total de 266 pacientes, mostrou que a embolização das artérias carótidas comum ou interna esteve associada à maior taxa de acidente vascular encefálico – 10,3%, comparada à colocação de *stent* que apresentou taxa de isquemia cerebral de 2,5%; em contrapartida, a embolização esteve associada a menor taxa de recorrência do sangramento –9,1% na comparação ao uso de *stent* que esteve associado a uma taxa de ressangramento de 31,9%.⁹ É também importante ressaltar que, de todas as técnicas citadas, a que é mais improvável de ser realizada, até pela presença de recursos locais, e em especial no paciente com invasão vascular tumoral, é a construtiva.

Na presença de sangramento iminente, caso não haja disponibilidade de uma unidade de cirurgia endovascular e/ou o paciente estando instável, a opção é a ligadura cirúrgica da artéria carótida, via de regra a comum, que apresenta alto risco de complicação neurológica e 25% de risco de nova ruptura.¹ Caso o paciente esteja estável, deve-se estudar a possibilidade de transferir o paciente para um centro com unidade endovascular, visto que os procedimentos não cirúrgicos são menos mórbidos. Vale ressaltar que a possibilidade de transferência para um centro com cirurgia endovascular é remota no Brasil, por motivos que variam desde a disponibilidade destes centros, profissional capacitado, recursos financeiros, dificuldades inerentes ao deslocamento e condições clínicas vigentes do paciente, bem como de seu prognóstico.

- c) *Episódio agudo*: nas situações de ruptura vascular com grande perda volêmica, os procedimentos endovasculares são de pouca valia. Controle adequado da via aérea, reposição volêmica, incluindo hemoderivados, manobras de ressuscitação cardiopulmonar em pacientes com prognóstico oncológico e compressão local até transferência para o bloco cirúrgico, deverão ser realizados. A laqueadura da artéria carótida comum é o procedimento frequentemente empregado e carrega alta morbimortalidade neurológica. Muitos pacientes falecem em função do sangramento excessivo e/ou da extensão do acidente vascular encefálico, caso ele ocorra. A mortalidade da SRC é em torno de 60%.² É importante lembrar que a ligadura e/ou reparo da artéria carótida irradiada ou exposta a processo infeccioso são procedimentos tecnicamente complexos.

Na [Figura 59-1](#) segue proposta de esquemas diagnóstico e terapêutico da SRC não tumoral com base na apresentação clínica inicial.

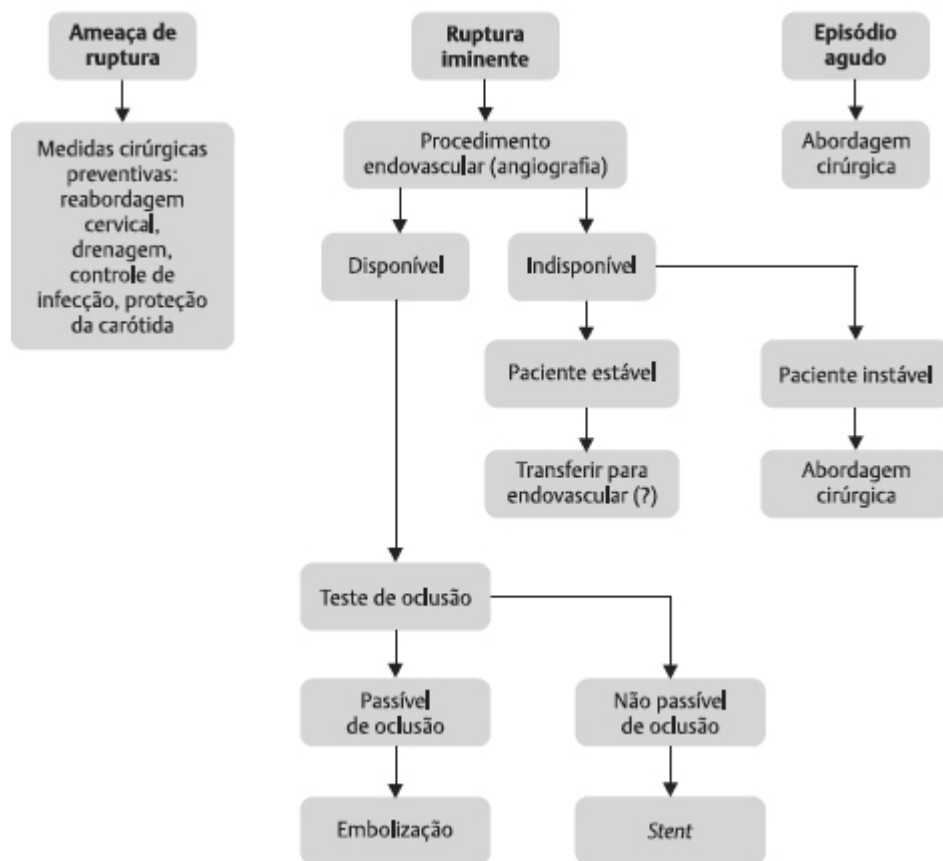


Fig. 59-1. Proposta de esquemas diagnóstico e terapêutico da SRC não tumoral.

REFERÊNCIAS BIBLIOGRÁFICAS

1. Chang FC, Lirng JF, Luo CB *et al.* Carotid blowout syndrome in patients with head-and-neck cancers: reconstructive management by self-expandable stent-grafts. *AJNR Am J Neuroradiol* 2007;28(1):181-8.
2. Chaloupka JC, Putman CM, Citardi MJ *et al.* Endovascular therapy for the carotid blowout syndrome in head and neck surgical patients: diagnostic and managerial considerations. *AJNR Am J Neuroradiol* 1996;17(5):843-52.
3. Dequanter D, Shahla M, Paulus P *et al.* Transarterial endovascular treatment in the management of life-threatening carotid blowout syndrome in head and neck cancer patients: review of the literature. *J Mal Vasc* 2013;38(6):341-4.
4. Powitzky R, Vasan N, Krempf G, Medina J. Carotid blowout in patients with head and neck cancer. *Ann Otol Rhinol Laryngol*

2010;119(7):476-84.

5. Kim HS, Lee DH, Kim HJ *et al.* Life-threatening common carotid artery blowout: rescue treatment with a newly designed self-expanding covered nitinol stent. *Br J Radiol* 2006;79(939):226-31.
6. McDonald MW, Moore MG, Johnstone PA. Risk of carotid blowout after reirradiation of the head and neck: a systematic review. *Int J Radiat Oncol Biol Phys* 2012;82(3):1083-9.
7. Jacobson AS, Buchbinder D, Hu K, Urken ML. Paradigm shifts in the management of osteoradionecrosis of the mandible. *Oral Oncol* 2010;46(11):795-801.
8. Bahl A, Basu KS, Sharma DN *et al.* Integral dose to the carotid artery in intensity modulated radiotherapy of carcinoma nasopharynx: extended field IMRT versus split-field IMRT. *J Cancer Res Ther* 2010;6(4):585-7.
9. Wong DJY, Donaldson C, Lai LT *et al.* Safety and effectiveness of endovascular embolization or stent-graft reconstruction for treatment of acute carotid blowout syndrome in patients with head and neck cancer: Case series and systematic review of observational studies. *Head Neck* 2018;40(4):846-54.
10. Janjua N, Alkawi A, Georgiadis AL *et al.* Covered stent graft for treatment of a pseudoaneurysm and carotid blowout syndrome. *J Vasc Interv Neurol* 2008;1(1):5-8.
11. Lesley WS, Chaloupka JC, Weigele JB *et al.* Preliminary experience with endovascular reconstruction for the management of carotid blowout syndrome. *AJNR Am J Neuroradiol* 2003;24(5):975-81.

Parte XIII

Emergências Ortopédicas

Sylvio Cesar Sargentini
Ederson Shibuya Kida
Eduardo Areas Toller
Vitor do Carmo Jorge
Fratura patológica

Por definição, fratura patológica é aquela que ocorre no osso com alguma doença ou deficiência adquirida, seja ela neoplásica, osteometabólica, infecciosa entre outras. Geralmente relacionada com um mecanismo de trauma com baixa energia cinética, que geralmente não causaria a fratura em um osso saudável.¹

O acometimento ósseo por neoplasias primárias (benignas ou malignas) é incomum, sendo mais frequente diagnosticar lesões ósseas secundárias a carcinomas metastáticos ou mieloma múltiplo. As fraturas patológicas decorrentes de uma lesão óssea neoplásica, seja primária ou secundária, maligna ou benigna, têm grande potencial para gerar um desfecho dramático e desfavorável.²

As fraturas podem ocorrer em diferentes contextos, embora todos possam ser um grande desafio. O primeiro é a fratura em decorrência de uma lesão benigna ativa/agressiva no esqueleto apendicular, que geralmente ocorre em crianças (cistos ósseos, fibroma não ossificante, displasia fibrosa entre outros). O segundo contexto é quando a fratura ocorre sobre um tumor ósseo primário

maligno, também mais comum em uma população jovem e podendo mudar drasticamente a chance de ressecção tumoral com margens amplas. E o terceiro, e mais comum, é a fratura sobre um sítio metastático ósseo, ocorrendo predominantemente em pacientes adultos e idosos, acima de 40 anos, sendo este o tema abordado neste capítulo.

As metástases ósseas costumam ocorrer principalmente em esqueleto axial (coluna vertebral) e proximal no esqueleto apendicular (fêmur proximal e úmero proximal), sendo mais raras em regiões distais por causa de sua disseminação hematogênica. A doença óssea metastática afeta atualmente nos Estados Unidos cerca de 250.000 indivíduos por ano, com um custo anual estimado em 12 bilhões de dólares.^{3,4} Os avanços nos tratamentos cirúrgico e clínico trouxeram um impacto significativo na extensão da sobrevida dos pacientes e consequentemente uma maior incidência de doença metastática óssea.⁵

Os tumores mais comuns que metastatizam para os ossos são os carcinomas de mama, pulmão, rim, próstata e tireoide, que somam cerca de 700.000 novos casos/ano nos Estados Unidos. O esqueleto é o terceiro local mais acometido por metástases ósseas, e cerca de um terço da metade de todos os tumores causará uma metástase óssea.⁶ O prognóstico destes tumores depende muito da agressividade e histologia do sítio primário, sendo que o carcinoma pulmonar é o que tem a menor sobrevida quando ocorrem metástases ósseas. A intervenção rápida, diferente dos tumores primários que podem ser curados, apenas previne eventos, como fraturas patológicas e deve ser realizada, sempre que possível, com manejo multidisciplinar, incluindo médicos oncologistas, radiologistas, patologistas, ortopedistas, fisiatras, fisioterapeutas, psicólogos, nutricionistas e assistentes sociais.⁷

As metástases ósseas geralmente são multifocais, entretanto, o carcinoma renal e o de tireoide podem produzir metástases isoladas. Os locais mais acometidos são a coluna vertebral (esqueleto axial), seguido por fêmur proximal e úmero proximal. Em uma série de necropsias, foram encontradas metástases ósseas nos

corpos vertebrais de um terço dos pacientes que morreram por causa do câncer.⁸

A apresentação clínica do paciente pode variar entre lesões extremamente dolorosas (em casos de fraturas, compressão vascular e/ou neurológica), até as assintomáticas, que podem ser encontradas em exames de rotina ou como achados incidentais. Podem ocorrer, ou não, aumentos de partes moles associados, sendo mais comum em sarcomas primários do que nas metástases. A dor costuma estar relacionada com uma lesão óssea lítica, onde não há produção de tecido ósseo, com fissuras da estrutura óssea local. Ocorre associada a movimentos e tem natureza mecânica, piorando à noite não respondendo bem a medicamentos analgésicos comuns, opioides ou anti-inflamatórios. Déficits neurológicos (sensitivos e motores) podem acompanhar as lesões que ocorrem na coluna vertebral, com compressão de nervos, medula espinal ou cauda equina. Em pacientes com metástases ósseas conhecidas, o acompanhamento das lesões e/ou regiões dolorosas, com radiografias em dois planos e cintilografia óssea, é primordial para evitar fraturas patológicas com medidas profiláticas⁷ (Fig. 60-1).

Na presença de uma lesão óssea sugestiva de metástase, deve-se sempre investigar o sítio primário da mesma, com exames complementares que auxiliem no diagnóstico definitivo, o que consequentemente servirá de guia para o tratamento oncológico deste paciente.

Os exames laboratoriais complementares destes pacientes nem sempre corroboram com o diagnóstico preciso, porém podem auxiliar a prevenir complicações decorrentes da própria fratura ou até mesmo do tumor, tais quais a hipercalemia, anemia, insuficiência renal. A identificação de um marcador tumoral como PSA (antígeno prostático específico) ou CEA (antígeno carcinoembrionário), assim como uma proteína monoclonal na eletroforese de proteínas sérica ou urinária, entre outros exames, como função hepática, tireoidiana, provas inflamatórias etc. que também possam auxiliar no tratamento.



Fig. 60-1. (a , b) Fratura patológica diafisária de fêmur, lesão mista. Incidências anteroposterior e em perfil; (c) fratura de úmero proximal, lesão lítica; (d) pós-operatório de fratura de úmero proximal, reconstrução com endoprótese modular.

Os exames de imagem complementares começam com radiografias simples em dois planos que envolvam as articulações proximal e distal do osso em que se investiga uma possível fratura patológica. Iniciamos a avaliação da imagem procurando lesões líticas (lesões radiotransparentes, com cavitações ósseas), blásticas (lesões radiopacas, com maior formação óssea) ou mistas ([Quadro 60-1](#)).⁹ Metástases de carcinoma renal, pulmonar ou de tireoide, assim como o mieloma múltiplo, tendem a apresentar-se como lesões puramente líticas. Já as lesões metastáticas de carcinomas de mama costumam ser mistas. E, por último, as lesões compatíveis com metástases de carcinomas de próstata costumam ser blásticas. A tomografia computadorizada (TC) permite um estudo mais detalhado da cortical óssea e sua destruição, mas não consegue mostrar a medula óssea com detalhes. Já a ressonância magnética (RM) identifica as alterações medulares e pode localizar uma metástase óssea antes mesmo de ela se tornar sintomática, sendo superior à radiografia e à tomografia quanto à precocidade do diagnóstico, porém inviável no rastreamento de possíveis lesões. A cintilografia óssea e o PET-Scan (tomografia com emissão de pósitrons), são amplamente sensíveis na detecção de lesões ósseas que apresentam atividade aumentada de remodelação/reparo, porém possuem baixa especificidade, não conseguindo diferenciar doenças infecciosas, tumorais, degenerativas entre outras. A cintilografia óssea negativa não exclui a presença de um mieloma múltiplo ou até mesmo uma metástase óssea, sendo que, para estes casos, devem ser solicitadas inúmeras radiografias para inventário ósseo.

Recomendam-se as tomografias de tórax, abdome e pelve para rastreio de lesões primárias pulmonares, renais, gastrointestinais e hepáticas. Para a suspeita de lesões tireoidianas, é indicada a ultrassonografia, e nos carcinomas de mama, a mamografia ([Fig. 60-2](#)).

Quadro 60-1. Características do Tumor

Tumor primário	Tipo de destruição óssea	Consolidação óssea (%) ^a	Sobrevida relativa 5 anos (%) ^b	Radiossensibilidade
Mama	Mista	37	23,8	+++
Pulmão	Lítica	0	3,7	+
Tireoide	Lítica	?	53,9	+
Rim	Lítica	44	11,6	-
Próstata	Blástica	42	27,8	+++
Melanoma	Lítica	?	15,1	+

^aDados de Gajjar and Buchert.

^b2002-2008 SEER (Surveillance, Epidemiology, and End Results) data.¹²

+++; Muito sensível; ++; Marginalmente sensível; -; Minimamente sensível; ?; tumor não analisado.



Fig. 60-2. (a) Lesão blástica; (b) lesão lítica; (c) lesão mista.

O tratamento envolve terapia medicamentosa, radioterapia e cirurgia para prevenção ou fixação de fraturas. Geralmente os pacientes recebem terapia com bifosfonados ou denosumab, para a inibição da atividade dos osteoclastos. Um dos bifosfonados mais utilizado em metástases ósseas é o Pamidronato, que é administrado junto à quimioterapia. O uso da imunoterapia com denosumab (Prolia) já está bem determinado, ficando como uma opção no combate principalmente das metástases que promovem lesões líticas. O denosumab é um anticorpo monoclonal humano contra o receptor ativador do fator nuclear ligante *kappa* -B (RANK-L) que inibe dessa forma a interação entre RANK-L/RANK na superfície dos precursores dos osteoclastos e dos osteoclastos. Assim, não há ativação dos mesmos e por isso diminui a reabsorção

óssea.¹⁰ Outra ação antitumoral do denosumab é a ação antiangiogênica, uma vez que células endoteliais expressam o RANK inibindo sua ligação com o RANK-L, resultando na diminuição da densidade microvascular tumoral.¹¹

A radioterapia, quando bem indicada, pode prevenir a ocorrência de fratura, porém, quando mal indicada, pode até antecipar o evento. Linfomas, carcinoma de próstata e de mama são bons respondedores à radioterapia, já os carcinomas de rim, gastrointestinal e melanoma têm má resposta ao tratamento, ficando os de pulmão e tireoide como respondedores intermediários. A quimioterapia deve ser sempre utilizada, com intuito de controlar o crescimento das lesões e para o tratamento sistêmico⁷ (Fig. 60-3).

No ano de 1989, Mirels *et al.*¹³ desenvolveram um sistema de *score*, com base em radiografias simples e na avaliação clínica do paciente, que quantifica o risco de ocorrer uma fratura patológica em um osso longo combinando quatro fatores: local da lesão, tipo da lesão, tamanho da lesão em relação ao diâmetro do osso afetado e dor mecânica relatada pelo paciente (Quadro 60-2). É recomendada a fixação profilática quando o *score* soma nove ou mais pontos. A histologia do tumor primário também parece influenciar na chance de uma fratura patológica, e o fator preditor mais importante dentro do próprio *score* é a dor mecânica do paciente. Não devemos realizar uma fixação profilática em pacientes portadores de neoplasias primárias, devendo sempre estar certos de que estamos operando um paciente com metástase óssea, confirmada por biópsia, congelação intraoperatória ou presuntiva, por múltiplas metástases prévias. A fixação com uma haste em um tumor primário (p. ex.: osteossarcoma, sarcoma de Ewing etc.) de um osso longo pode arruinar as possibilidades de manutenção do membro, levando frequentemente a uma amputação.

A profilaxia para fraturas patológicas por metástases ósseas representa uma redução no custo hospitalar em cerca de 42%, uma vez que diminuem os custos com material, reabilitação, repercutindo também em menor tempo de internação e índice de complicações perioperatórias, com benefício inequívoco ao paciente, que tem menor perda sanguínea e curto tempo de mobilização, com

reabilitação muito mais rápida e eficiente. Representando a economia de U\$ 21.000,00 por paciente.^{14,15}

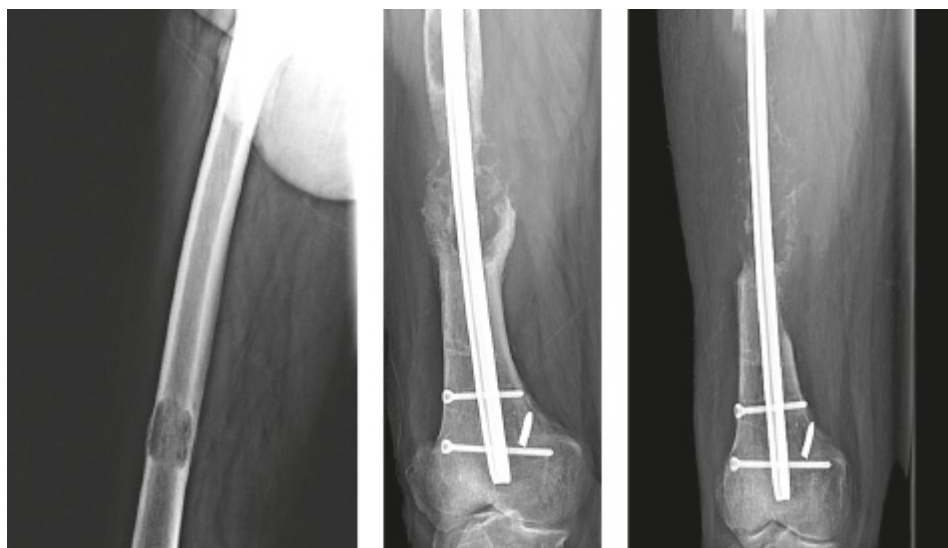


Fig. 60-3. Lesão lítica, metástase de carcinoma renal, fixada profilaticamente com progressão de doença local apesar de ressecção da lesão e adjuvância com radioterapia.

Quadro 60-2. Score de MIRELS

Score	1	2	3
Dor	Leve	Moderada	Funcional/mecânica
Tamanho da lesão/diâmetro do osso envolvido	< 1/3	1/3-2/3	> 2/3
Tipo da lesão	Blástica	Mista	Lítica
Local da lesão	Membro superior	Membro inferior	Trocantérica (fêmur proximal)

O principal objetivo do tratamento cirúrgico paliativo das lesões ósseas metastáticas é promover o alívio imediato da dor e reestabelecer a função com uma reconstrução estável e duradoura, permitindo que o paciente retorne as atividades deambulatórias o mais rápido possível. Na ocorrência de fraturas, o paciente deve ser avaliado por oncologista, radioterapeuta, oncologista ortopedista, fisiatra, neurologista, fisioterapeuta, enfermeiro, nutricionista entre outros profissionais, sendo que as condutas devem ser dirigidas de maneira multidisciplinar, sempre levando em consideração que a decisão será tomada em conjunto com o paciente e seus familiares,

com o intuito de cuidado paliativo, melhorando assim sua qualidade de vida^{16,17} (Fig. 60-4).

Vale sempre lembrar que o paciente oncológico deve ser avaliado conforme sua *performance status* (ECOG Eastern Cooperative Oncology Group), que varia entre 0: totalmente ativo sem restrições a 5: morto pela doença. Em geral, os pacientes com *performance status* acima de três não serão beneficiados com a intervenção cirúrgica, muitas vezes sendo o período de reabilitação maior que a sua sobrevivência.⁹ A reserva fisiológica dos pacientes que possuem metástases ósseas é baixa, portanto, eles suportam apenas uma cirurgia com fixação profilática e talvez não suportem da mesma maneira os eventos somados de fratura e posteriormente a cirurgia para sua correção.⁵

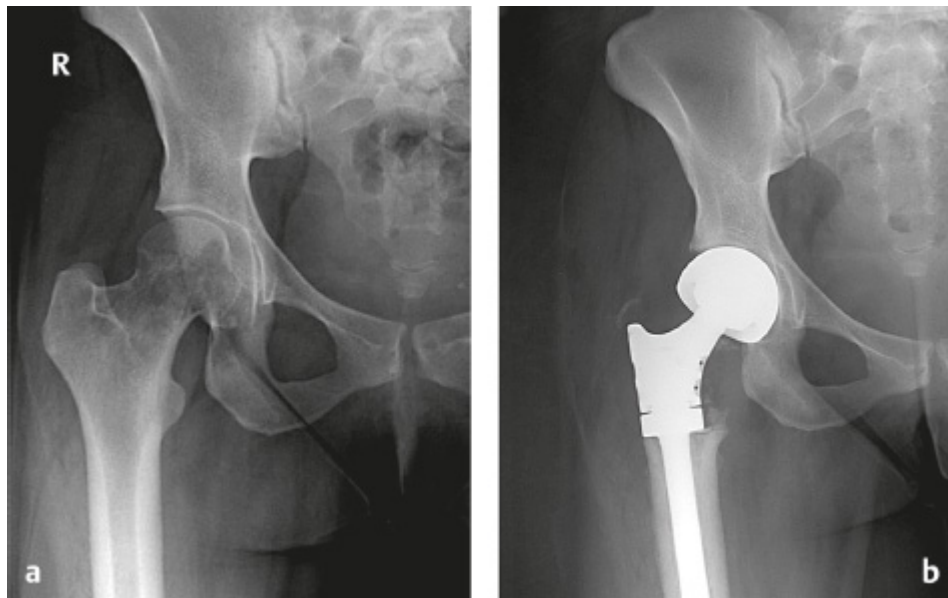


Fig. 60-4. (a) Lesão lítica articular do fêmur proximal; (b) tratamento cirúrgico com endoprótese.

ROTINA NO CENTRO DE INTERCORRÊNCIAS AMBULATORIAL ONCOLÓGICO

Paciente com Suspeita de Fratura de Membro

- *Passo 1 – analgesia e mobilização:* no pronto atendimento oncológico, atenção deve ser direcionada a otimizar a analgesia do paciente, com medicamentos analgésicos simples, opioides, anti-inflamatórios e conforto, posicionando o membro acometido em tipoia (membro superior) ou com travesseiros (membro inferior). Caso haja ferimento corto-contuso na região, o mesmo deve ser ocluído com compressas estéreis e atadura.
- *Passo 2 – diagnóstico da lesão óssea:* devem ser solicitados exames de imagem simples com radiografias em dois planos da região óssea acometida, incluindo sempre as articulações proximal e distal. Em geral as lesões costumam ser na coluna vertebral, na bacia, nos fêmures, na cintura escapular ou nos úmeros. Nas radiografias, buscar, além da fratura, a presença de lesões ósseas líticas, blásticas e mistas que possam levar a fraturas futuramente.
- *Passo 3 – diagnóstico e confirmação de sítio primário tumoral:* com anamnese completa e exames complementares prévios ou novos do paciente, deve-se tentar aproximar ao máximo de uma possível causa para a ocorrência de metástase óssea acompanhada ou não de fratura. Caso o paciente não possua diagnóstico de um tumor primário, tenha mais de 40 anos e seja diagnosticado com uma fratura patológica ou lesão óssea, o mesmo deverá ser submetido a um rastreio com exames de TC de tórax, abdome e pelve, cintilografia óssea, RM da região do tumor, ultrassonografia de tireoide, mamografia e exames laboratoriais com marcadores e antígenos (CEA, PSA etc.), eletroforese de proteínas séricas e urinárias, funções renal, hepática e tireoidiana, terminando muitas vezes com biópsia da lesão ou congelação durante a cirurgia, para diferenciar um tumor primário de uma metástase ou mieloma. **Lembrando que estes exames podem ser feitos em regime de internação ou ambulatorial com urgência para um tratamento mais rápido.**
- *Passo 4 – avaliação de performance status do paciente:* os pacientes comprometidos, com *status* funcional ECOG 4, não serão submetidos à cirurgia para correção de fraturas. Já os pacientes com ECOG 3 serão avaliados quanto à progressão da doença e sobrevida, calculando sempre se o período de

reabilitação e o dano cirúrgico não poderão sobrepor o período de sobrevida do mesmo.

- **Passo 5 – anticoagulação profilática, controle de calcemia e hidratação:** pacientes com neoplasia possuem risco aumentado de tromboembolia, portanto adequada profilaxia contra trombose venosa profunda deve ser considerada. A alta reabsorção óssea pode causar hipercalcemia, que deve ser controlada e monitorizada constantemente por conta de risco de eventos cardiovasculares e coma. Frente à fratura e labilidade hidreletrolítica destes pacientes, devemos estar atentos à necessidade de reposição volêmica e de eletrólitos.
- **Passo 6 – contato com equipe de Oncologia Ortopédica do plantão:** cabe a equipe decidir em conjunto com o paciente, com os familiares e com as demais clínicas que o assistem, o tratamento definitivo, cirúrgico ou não cirúrgico.

REFERÊNCIAS BIBLIOGRÁFICAS

1. Miller SL, Hoffer FA. Malignant and benign bone tumors. *Radiol Clin North Am* 2001;39(4):673-99.
2. Ortiz EJ, Isler MH, Navia JE, Canosa R. Pathologic fractures in children. *Clin Orthop Relat Res* 2005(432):116-26.
3. Guy Jr GP, Ekwueme DU, Yabroff KR *et al*. Economic burden of cancer survivorship among adults in the United States. *J Clin Oncol* 2013;31(30):3749-57.
4. Li S, Peng Y, Weinhandl ED *et al*. Estimated number of prevalent cases of metastatic bone disease in the US adult population. *Clin Epidemiol* 2012;4:87-93.
5. Blank AT, Lerman DM, Patel NM, Rapp TB. Is Prophylactic Intervention More Cost-effective Than the Treatment of Pathologic Fractures in Metastatic Bone Disease? *Clin Orthop Relat Res* 2016;474(7):1563-70.
6. Michaeli D, Inoue K, Hayes W, Hipp J. Density predicts the activity-dependent failure load of proximal femora with defects. *Skeletal Radiology* 1999;28(2):90-5.
7. Ontjes DA. Fractures in the Elderly: A Guide to Practical Management. *JAMA* 2011; 306 (3):319-20.

8. Wong DA, Fornasier VL, MacNab I. Spinal metastases: the obvious, the occult, and the impostors. *Spine* (Phila Pa 1976) 1990;15(1):1-4.
9. Biermann JS (Ed.). *Orthopaedic Knowledge Update: Musculoskeletal Tumors 3*. American Academy of Orthopaedic; 2014.
10. Yi J, Lee YH, Kim SK *et al*. Response evaluation of giant-cell tumor of bone treated by denosumab: Histogram and texture analysis of CT images. *J Orthop Sci* 2018;23(3):570-7.
11. Girolami I, Mancini I, Simoni A *et al*. Denosumab treated giant cell tumour of bone: a morphological, immunohistochemical and molecular analysis of a series. *J Clin Pathol* 2016;69(3):240-7.
12. DeSantis C, Ma J, Bryan L, Jemal A. Breast cancer statistics, 2013. *CA Cancer J Clin* 2014;64(1):52-62.
13. Mirels H. Metastatic disease in long bones. A proposed scoring system for diagnosing impending pathologic fractures. *Clin Orthop Relat Res* 1989(249):256-64.
14. Mc LH. Intramedullary fixation of pathologic fractures. *Clin Orthop* 1953;2:108-14.
15. Gitelis S, Sheinkop MB, Hammerberg K, Brugliera P. The role of prophylactic surgery in the management of metastatic hip disease. *Orthopedics* 1982;5(8):1004-11.
16. Bickels J, Dadia S, Lidar Z. Surgical management of metastatic bone disease. *J Bone Joint Surg Am* 2009;91(6):1503-16.
17. Biermann JS, Holt GE, Lewis VO *et al*. Metastatic bone disease: diagnosis, evaluation, and treatment. *J Bone Joint Surg Am* 2009;91(6):1518-30.

INFECÇÃO DE PRÓTESES ORTOPÉDICAS

CAPÍTULO 61

Eduardo Areas Toller
Vitor do Carmo Jorge
Ernesto Fernandez Machin
Sylvio Cesar Sargentini

INTRODUÇÃO

Define-se infecção cirúrgica toda aquela que ocorre em um prazo de 30 dias após o procedimento cirúrgico onde não se utilizaram implantes ou dentro de 1 ano, se foram utilizados materiais artificiais.¹⁻³

Em geral, a incidência de infecção após cirurgia ortopédica tem sido relatada entre 1 a 3% dos casos. Nos pacientes oncológicos, temos um aumento considerável dessa porcentagem, variando entre 2-44%, sendo menores nos membros superiores e maiores nos membros inferiores.⁴⁻¹¹

Grandes avanços na Medicina ocorreram nas últimas décadas, atualmente 90% dos sarcomas de extremidades são tratados com preservação do membro, em contrapartida ao passado em que a única modalidade cirúrgica existente seria a amputação. Isto se deve à maior eficácia da quimioterapia e radioterapia, avanços em exames de imagem e da técnica cirúrgica, além da melhoria no *design* biomecânico das próteses. Existem várias opções cirúrgicas,

dentre elas a reconstrução com endoprótese modular sob medida (megapróteses).^{3,5-7,10-12}

As vantagens da reconstrução com uso de endoprótese incluem a rápida reabilitação, o retorno precoce das atividades laborais prévias e o bom resultado funcional a longo prazo. As desvantagens ao método são o risco de desgaste, soltura asséptica, fratura e infecção periprótese.^{6,9,13-15}

Megaprótese é um dispositivo metálico de grande porte desenvolvido na década de 1980 para substituir o comprimento ósseo excisado e a sua articulação adjacente. A articulação da prótese tem um *design* específico para poder substituir a estabilidade que era dada pelas estruturas sacrificadas na ressecção tumoral (ligamentos e cápsula).^{5,12,15}

EPIDEMIOLOGIA

Pacientes com tumores ósseos possuem risco aumentado de infecção comparado aos pacientes com artrose submetidos à artroplastia por causa do uso de quimioterapia, extensa dissecação de partes moles, longo tempo cirúrgico, múltiplas cirurgias prévias e irradiação local.^{1,4,6,8} As maiores taxas de infecção são observadas na tíbia proximal, pelve e em crianças com múltiplas cirurgias para alongamento ósseo.

As endopróteses da tíbia proximal chegavam a ter uma incidência de 30% de infecção por causa do uso de enxertos sintéticos e do não uso de retalho muscular (gastrocnêmio). Atualmente as taxas são de 14%.⁵

Histologicamente, os piores resultados são encontrados nos condrossarcomas pélvicos submetidos à reconstrução (em razão do grande volume na pelve e seu envolvimento frequente com o acetábulo que delonga maior tempo cirúrgico para ressecção).^{5,6}

A infecção da prótese pode acarretar em novas cirurgias, longo tempo de reabilitação, dor, resultado funcional ruim e amputação (23-87%). Mortalidade varia de 2,7 a 18%.⁵

VIAS DE INFECÇÃO/AGENTES ETIOLÓGICOS

Existem três vias distintas possíveis para infecção periprótese: implantação direta, hematogênica e reativação de infecção latente.¹⁶

A via hematogênica tem como principais focos primários de disseminação o trato respiratório, cutâneo, urinário, dentário e gastrointestinal. A capacidade da bactéria de aderir a materiais e formar biofilmes é a característica mais importante de sua patogenicidade no contexto de uma infecção relacionada com um corpo estranho.¹²

As bactérias Gram-positivas são predominantes (65%) nas infecções de próteses articulares, em especial o *Staphylococcus aureus* e o *Staphylococcus* coagulase negativo. As infecções causadas por bacilos Gram-negativos – enterobactérias (6%) e bactérias anaeróbias (4%) vêm sendo relatadas com maior frequência em todo o mundo. As infecções fúngicas ocorrem mais raramente, na maioria causadas por *Candida albicans*. Deve-se ressaltar que 20% dos casos têm etiologia polimicrobiana.^{6,7,9}

MANIFESTAÇÕES CLÍNICAS

As manifestações clínicas de uma infecção de prótese articular variam dependendo da virulência do organismo, do modo de início da infecção, da resposta imune do hospedeiro, das estruturas de partes moles que circundam a articulação e do envolvimento articular. Os sinais e sintomas mais comuns são dor, edema ou derrame articular, eritema ou calor ao redor da articulação, febre, drenagem ou a presença de um trato fistuloso, comunicando com a prótese. A presença do trato, para muitos autores, já é considerada uma evidência definitiva de infecção protética.^{7,9,17,}

Alguns parâmetros clínicos são adotados para prevenção de complicações pós-cirúrgicas em pacientes submetidos à quimioterapia neoadjuvante: hemoglobina > 9.0, plaquetas > 100.000, neutrófilos totais > 1.200 e bilirrubinas totais < valor limite normal.⁵

CLASSIFICAÇÃO

Existem várias classificações para infecções protéticas, entre elas a de Coventry modificada por Fitzgerald dividida em: início precoce

(ocorre < 3 meses após o procedimento cirúrgico), início tardio (ocorre > 3 meses, porém, antes de 24 meses) e a tardia hematogênica ocorre > 24 meses após a cirurgia.^{3,17,18}

A classificação de Tsukayama divide em 4 categorias: tipo 1 (cultura positiva intraoperatória em uma cirurgia de revisão), tipo 2 (infecção recente, ocorre nos primeiros 30 dias), tipo 3 (infecção crônica, ocorre após 30 dias), e tipo 4 (hematogênica).¹⁹

McPherson *et al.* propuseram outro sistema de estadiamento que categoriza não apenas o tipo de infecção, mas também o hospedeiro. Este sistema inclui três dos quatro tipos da classificação de Tsukayama, infecção precoce, hematogênica e crônica tardia, que são classificadas como tipos I, II e III. O *status* sistêmico do paciente é classificado como A (sem comprometimento), B (comprometido) ou C (significativamente comprometido). Por fim a extremidade local é classificada como 1 (sem comprometimento), 2 (comprometida) ou 3 (significativamente comprometida). Este sistema permite decisões de tratamento e informações prognósticas mais individualizadas.¹⁷

DIAGNÓSTICO

O diagnóstico é feito com base em uma combinação de achados clínicos, laboratoriais e radiográficos¹⁷ (Fig. 61-1).

O diagnóstico de infecção é obtido quando o resultado das culturas realizadas no momento da cirurgia de revisão é positivo, quando o VHS e o PCR são positivos e quando há características clínicas presentes, sugerindo infecção periprótese.^{6,17}

TRATAMENTO

O tratamento clínico dos tumores ósseos após a década de 1970 com a introdução de novos quimioterápicos pôde melhorar significativamente o prognóstico desses pacientes. A neoadjuvância promove a necrose tumoral, permitindo uma remoção cirúrgica mais adequada, porém, pode comprometer o estado imunológico. Alguns tumores podem ser tratados por radioterapia neoadjuvante (Ewing), porém os riscos são de necrose da pele, comprometimento imunológico e malignização. Risco reportado de infecção por alguns

autores são de 20% com o uso de neoadjuvante e cerca de 35% com adjuvância.⁵

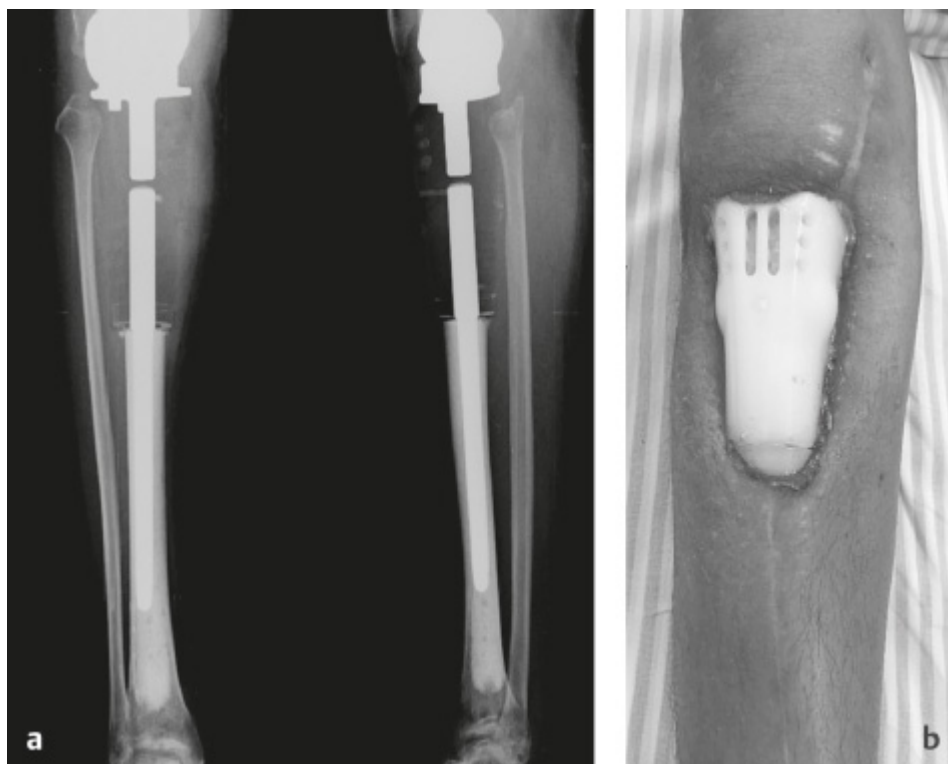


Fig. 61-1. (a) Radiografia pós-operatória de endoprótese modular em AP e em perfil da perna direita; (b) exposição do componente tibial.

Tratamento para infecções profundas devem ser feitas com antibióticos associado a algum procedimento cirúrgico (irrigação, desbridamento, revisão da prótese, um ou dois estágios utilizando espaçador de cimento, artrodese com fíbula vascularizada ou amputação).⁵

Em pacientes com tumor, a abordagem em dois tempos (padrão ouro) nas infecções de endopróteses cimentadas demonstra taxa de sucesso em torno de 90% em 1 ano e 74% em 5 anos. Ela requer a remoção total do implante original cimentado, seguido por uso de um espaçador de cimento com antibiótico por cerca de 10 semanas antes do reimplante de outro componente cimentado.⁴⁻⁶ Taxa de sucesso nas amputações são de 98-100%, e cirurgias feitas em apenas um estágio são de 42%.^{3,9}

O procedimento em um estágio consiste na remoção de todos os componentes, bem como desbridamento de tecido necrótico e infectado e o implante imediato de nova prótese. As vantagens dessa abordagem incluem: uma única cirurgia, preservação do movimento funcional, integridade dos tecidos moles e o baixo custo⁶(Fig. 61-2).

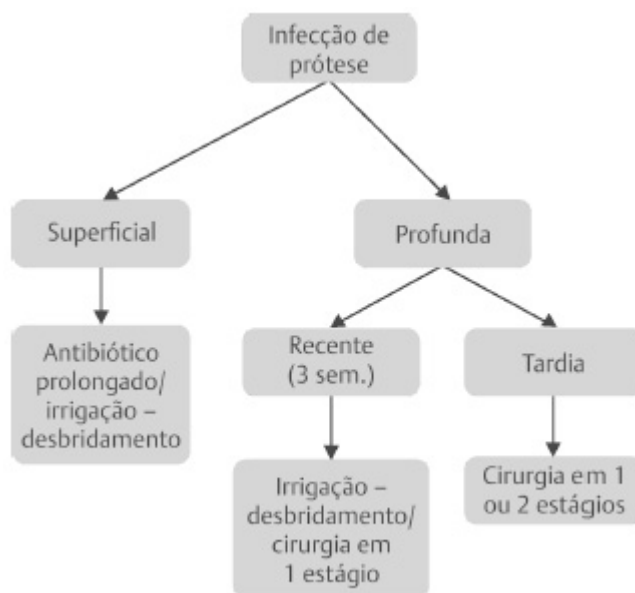


Fig. 61-2. Fluxograma de tratamento das infecções protéticas.

REFERÊNCIAS BIBLIOGRÁFICAS

1. Nagano S, Yokouchi M, Setoguchi T *et al.* Analysis of surgical site infection after musculoskeletal tumor surgery: risk assessment using a new scoring system. *Sarcoma* 2014;2014:645496.
2. Horan TC, Gaynes RP, Martone WJ *et al.* CDC definitions of nosocomial surgical site infections, 1992: a modification of CDC definitions of surgical wound infections. *Infect Control Hosp Epidemiol* 1992;13(10):606-8.
3. Dhanoa A, Ajit Singh V, Elbahri H. Deep Infections after Endoprosthesis Replacement Operations in Orthopedic Oncology Patients. *Surg Infect (Larchmt)* 2015;16(3):323-32.
4. Flint MN, Griffin AM, Bell RS *et al.* Two-stage revision of infected uncemented lower extremity tumor endoprostheses. *J*

Arthroplasty 2007;22(6):859-65.

5. Kapoor SK, Thiyam R. Management of infection following reconstruction in bone tumors. *J Clin Orthop Trauma* 2015;6(4):244-51.
6. Graci C, Maccauro G, Muratori F *et al.* Infection following bone tumor resection and reconstruction with tumoral prostheses: a literature review. *Int J Immunopathol Pharmacol* 2010;23(4):1005-13.
7. McDonald DJ, Capanna R, Gherlinzoni F *et al.* Influence of chemotherapy on perioperative complications in limb salvage surgery for bone tumors. *Cancer* 1990;65(7):1509-16.
8. Miwa S, Shirai T, Yamamoto N *et al.* Risk factors for postoperative deep infection in bone tumors. *PLoS One* 2017;12(11):e0187438.
9. Morii T, Morioka H, Ueda T *et al.* Deep infection in tumor endoprosthesis around the knee: a multi-institutional study by the Japanese musculoskeletal oncology group. *BMC Musculoskelet Disord* 2013;14:51.
10. Peel T, May D, Buising K *et al.* Infective complications following tumour endoprosthesis surgery for bone and soft tissue tumours. *Eur J Surg Oncol* 2014;40(9):1087-94.
11. Byregowda S, Puri A, Gulia A. Topical vancomycin: Does it reduce surgical site infection in bone tumors? *South Asian J Cancer* 2017;6(3):99-101.
12. Gosheger G, Goetze C, Harges J *et al.* The influence of the alloy of megaprotheses on infection rate. *J Arthroplasty* 2008;23(6):916-20.
13. Jeys LM, Grimer RJ, Carter SR, Tillman RM. Periprosthetic infection in patients treated for an orthopaedic oncological condition. *J Bone Joint Surg Am* 2005;87(4):842-9.
14. Hettwer WH, Horstmann PF, Hovgaard TB *et al.* Low infection rate after tumor hip arthroplasty for metastatic bone disease in a cohort treated with extended antibiotic prophylaxis. *Adv Orthop* 2015;2015:428986.
15. Wirganowicz PZ, Eckardt JJ, Dorey FJ *et al.* Etiology and results of tumor endoprosthesis revision surgery in 64 patients. *Clin Orthop Relat Res* 1999(358):64-74.

16. Lima ALLM, Oliveira PRD. Atualização em infecções em próteses articulares. *Rev Bras Ortop* 2010;45(6):520-3.
17. Tande AJ, Patel R. Prosthetic joint infection. *Clin Microbiol Rev* 2014;27(2):302-45.
18. Lima AL, Oliveira PR, Carvalho VC *et al.* Periprosthetic joint infections. *Interdiscip Perspect Infect Dis* 2013;2013:542796.
19. Tsukayama DT, Estrada R, Gustilo RB. Infection after total hip arthroplasty. A study of the treatment of one hundred and six infections . *J Bone Joint Surg Am* 1996;78(4):512-23.

Parte XIV

Urgências em Mastologia

Rodrigo Augusto Depieri Michelli
Angelo Gustavo Zucca Matthes

INTRODUÇÃO

Pioderma gangrenoso é uma doença inflamatória da pele com intensa proliferação de neutrófilos, ulcerativa e dolorosa, com formação de bolhas e pústulas, tipo autoimune e não infecciosa, de causa desconhecida e muitas vezes de difícil diagnóstico. É caracterizado, inicialmente, por uma lesão cutânea avermelhada de caráter inflamatório do tipo *rash* cutâneo, que evolui para necrose de pele, causando perdas cutâneas devastadoras. Pode surgir após cirurgia de mama, representando uma resposta imunológica na pele, não se sabendo ao certo a origem deste processo, podendo-se desenvolver espontaneamente, ou estar associado à doença inflamatória intestinal, doenças autoimunes, ou mesmo relacionado com qualquer trauma cirúrgico, ou doenças sistêmicas e neoplásicas.

INCIDÊNCIA E PREVALÊNCIA

A sua incidência é difícil de se determinar, já que os casos publicados são geralmente isolados ou com pequeno número de doentes. Estima-se que ocorra entre 3 a 10 casos ao ano por milhão de pessoas/ano. Pode-se manifestar em qualquer idade, sendo mais comum no adulto jovem entre 25-54 anos, mais frequente em

mulheres e raramente se manifesta em crianças (menos de 4% dos casos), quando costuma estar associado a outras doenças sistêmicas. Relatos publicados fazem referência a seu desenvolvimento em pacientes imunodeprimidos pelo uso de medicações imunossupressoras, quimioterapia e também em casos de infecções por HIV.

ETIOLOGIA

A etiologia é incerta, e uma possível chave para o esclarecimento da etiologia do pioderma gangrenoso poderia estar em sua associação frequente a doenças sistêmicas, que possuem mecanismos autoimunes conhecidos.

Vinte a quarenta por cento dos casos surgem em locais de traumatismos ou cirúrgicos, como feridas operatórias, ostomias e, também, em orifícios de punção venosa, fenômeno designado por patergia. Este fenômeno descreve o desenvolvimento de novas lesões após trauma local, sugerindo uma resposta inflamatória alterada, exagerada e incontrolável a estímulos não específicos.

Dessa forma, apesar dos avanços científicos na compreensão do pioderma gangrenoso, sua patogênese ainda permanece desconhecida. Existem evidências que apontam para distúrbios imunes como responsáveis pela sua etiologia, porém estas alterações parecem ser detectáveis apenas em pacientes de forma isolada. Mesmo assim, muitos autores consideram o pioderma gangrenoso como uma patologia com origem autoimune.

DIAGNÓSTICO

A evolução clínica é a base para o diagnóstico, cursando com lesões pustulosas superficiais, halo eritematoso doloroso, rápida progressão para ulcerações dolorosas e estéreis, sem resposta a antibióticos ou a novas intervenções cirúrgicas e, finalmente, com melhora com uso de imunossupressores.

A manifestação clínica das úlceras é característica e deve ser lembrada nas evoluções cicatriciais desfavoráveis, com intensa reação inflamatória, com posterior formação de úlceras dolorosas,

múltiplas ou solitárias, perdas teciduais e secreções sanguinolenta ou purulenta ([Fig. 62-1](#)).

O aparecimento das lesões pode ser insidioso ou, pelo contrário, fulminante, com lesões puntiformes dando origem a extensas úlceras em apenas 24 a 48 horas.

O diagnóstico, portanto, é feito com base na história e na apresentação clínica, e biópsias geralmente são requeridas para exclusão de outras causas de lesões ulcerosas, sendo que o pioderma gangrenoso é uma patologia sem aspectos histológicos ou laboratoriais patognomônicos. As culturas das pústulas são negativas, e o exame histopatológico compatível com dermatose neutrofílica, apesar de não específico, complementa o diagnóstico e afasta a possibilidade de outras afecções.

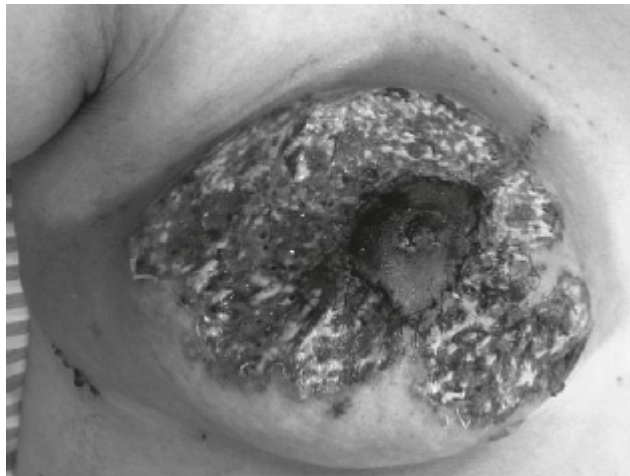


Fig. 62-1. Pioderma gangrenoso em pós-operatório de mastectomia com prótese. Aparência clínica; infiltrado polimorfonuclear e áreas de hemorragia. Evolução com ressecção da área e corticoterapia. (Ver Prancha em Cores.)

Os exames laboratoriais são inespecíficos, revelando leucocitose à custa de segmentados, e provas inflamatórias alteradas, por exemplo proteína C reativa elevada.

A [Figura 62-1](#) exemplifica um caso de pioderma gangrenoso em pós-operatório de mastectomia com prótese. O anatomopatológico revelou infiltrado polimorfonuclear e áreas de hemorragia. A paciente teve evolução favorável com ressecção da área e corticoterapia.

DIAGNÓSTICO DIFERENCIAL

Os principais diagnósticos diferenciais são: piodermite, halogenodermatose, acne fulminante, sífilis terciária e dermatite factícia.

A forma ulcerativa tem como diagnóstico diferencial vasculites sistêmicas (granulomatose de Wegener, crioglobulinemia, poliarterite nodosa e síndrome do anticorpo antifosfolípido), infecções (esporotricose, amebíase, úlcera sifilítica e ectima gangrenoso), neoplasias malignas, úlceras isquêmicas e picadas de insetos.

Na forma bolhosa são diagnósticos diferenciais a dermatose neutrofílica febril aguda (síndrome de Sweet), celulites, dermatoses bolhosas e mordidas de aranhas.

Na forma pustular deve ser feito diferencial com vasculite pustular, foliculites, erupção pustular por drogas e infecções.

E, na forma vegetativa, infecções por micobactérias, esporotricose e neoplasia maligna cutânea.

TRATAMENTO

O tratamento do pioderma gangrenoso não é específico e existem controvérsias na literatura acerca da eficácia das terapêuticas disponíveis. Não há protocolos estabelecidos e adotados, no entanto, geralmente o tratamento inicial é feito com imunossupressores. A escolha da terapia a ser adotada depende de múltiplos fatores, incluindo tamanho e profundidade da lesão, a velocidade de progressão e aparecimento de novas lesões, associação a outras doenças e ao estado geral do paciente.

Apenas lesões muito pequenas e precoces respondem a tratamentos locais, podendo ser utilizado o cromoglicato dissódico em solução a 2%, aplicado diariamente com oclusão. A ciclosporina também pode ser usada localmente, mediante injeções intralesionais de uma solução 1:3 em salina fisiológica, na frequência de duas vezes por semana.

Diferentes modalidades têm sido relatadas com sucesso, incluindo corticoides sistêmicos, dapsona, sulfapiridina, sulfassalazina, ciclofosfamida e, recentemente, tacrolimus tópico.

Nas lesões ulcerativas clássicas de pioderma gangrenoso, a primeira linha de tratamento é feita com altas doses de corticosteroides (metilprednisolona 60-120 mg/dia), por causa da rápida resposta. A medida que a doença for controlada, as doses serão gradualmente reduzidas. Se não houver melhora, a ciclosporina é dada como uma segunda opção (doses baixas, 3-6 mg/kg/dia), pois ajuda na atuação dos corticosteroides. Os pacientes devem ser cuidadosamente monitorizados quanto à elevação da pressão arterial, redução das funções renal e hepática e elevação de triglicérides. Azatioprina e tacrolimus também têm sido utilizadas isoladamente ou combinadas com os esteroides orais, e têm demonstrado resultados variados. Uma outra opção de tratamento, também usada neste caso, consiste em uma droga biológica, aprovada em diversos países para tratar doenças autoimunes, conhecida como infliximabe. Ela é classificada como inibidor de TNF- α e tem demonstrado eficácia terapêutica nos casos associados à doença inflamatória intestinal. A infecção tem que ser excluída, visto que as drogas geralmente utilizadas são imunossupressoras.

A terapêutica local poderá ser mantida como coadjuvante do tratamento geral. Os cuidados locais são importantes na prevenção de complicações e infecções secundárias neste tipo de pacientes. A área afetada deve ser mantida limpa e úmida, sendo úteis os curativos oclusivos ou de hidrogel. A área em torno da ferida não deve ser negligenciada já que sua viabilidade pode ser comprometida pelo aumento da umidade e pelo uso de adesivos utilizados nos curativos. Cremes ou pomadas, como a pasta de óxido de zinco, devem ser utilizados para prevenir a extensão do acometimento da pele.

O tratamento cirúrgico do pioderma gangrenoso deve ser evitado pelo risco de agravamento do quadro, no entanto, em casos selecionados, com a doença estabilizada ou em regressão, poderá ser necessária a remoção de tecido necrótico para evitar infecção bacteriana e, também, podem ser necessários enxertos ou retalhos para o fechamento de grandes áreas de perda cutânea.

Terapia hiperbárica também tem sido agregada ao tratamento de pioderma gangrenoso, embora o mecanismo de ação e a eficiência

desta modalidade não sejam bem conhecidas.

CONSIDERAÇÕES FINAIS

Ao deparar-se com o pioderma gangrenoso aconselha-se que o cirurgião tome uma série de cuidados especiais. Deverá documentar minuciosamente o curso da doença com anotações de prontuário e também com registros fotográficos. O auxílio de outros especialistas, como dermatologistas, reumatologistas, imunologistas e clínicos gerais, poderá ser necessário, pois o tratamento demanda o emprego de medicamentos imunossupressores, cujo manejo não está, normalmente, na alçada do cirurgião.

O pioderma gangrenoso é uma patologia rara e com elevado potencial de morbidade e mortalidade. O seu aparecimento pode ser desencadeado por traumatismo operatório podendo, neste contexto, simular uma infecção necrosante do local cirúrgico, adiando seu diagnóstico. Um elevado índice de suspeição, especialmente na ausência de resposta ao tratamento convencional, pode permitir um diagnóstico precoce e um tratamento adequado, evitando morbidades importantes e desnecessárias que podem levar os pacientes ao óbito, se não tratada.

LEITURAS SUGERIDAS

Avelar JTC, Sempértegui A, Bronzat E *et al.* Pyoderma gangrenosum after breast quadrantectomy with intraoperative radiotherapy: a case report. *Rev Bras Mastologia* 2011;21(2):86-90.

Bennett ML, Jackson JM, Jorizzo JL *et al.* Pyoderma gangrenosum. A comparison of typical and atypical forms with an emphasis on time to remission. Case review of 86 patients from 2 institutions. *Medicine* (Baltimore) 2000;79(1):37-46.

Bonamigo RR, Behar PR, Beller C, Bonfá R. Pyoderma gangrenosum after silicone prosthesis implant in the breasts and facial plastic surgery. *Int J Dermatol* 2008;47(3):289-91.

Brunsting LA, Goeckermann WH, O'Leary PA. Pyoderma (echthyma) gangrenosum clinical and experimental observations in five cases occurring in adults. *Arch Dermatol Syphilol* 1930;22:655-80.

- Callen JP, Jackson JM. Pyoderma gangrenosum: an update. *Rheum Dis Clin North Am* 2007;33(4):787-802.
- Clugston PA, Thompson RP, Schlappner OL. Pyoderma gangrenosum after reduction mammoplasty. *Can J Surg* 1991;34(2):157-61.
- Davis MD, Alexander JL, Prawer SE. Pyoderma gangrenosum of the breasts precipitated by breast surgery. *J Am Acad Dermatol* 2006;55(2):317-20.
- Friedman S, Marion JF, Scherl E *et al.* Intravenous cyclosporine in refractory pyoderma gangrenosum complicating inflammatory bowel disease. *Inflamm Bowel Dis* 2000;7(1):1-7.
- Furtado JG, Furtado GB. Pioderma gangreno em mastoplastia e abdominoplastia. *Rev Bras Cir Plast* 2010;25(4):725-7.
- Gudi VS, Julian C, Bowers PW. Pyoderma gangrenosum complicating bilateral mammoplasty. *Br Plast Surg* 2000;53(5):440-1.
- Mansur AT, Balaban D, Göktay F, Takmaz S. Pyoderma gangrenosum on the breast: A case presentation and review of the published work. *J Dermatol* 2010;37(1):107-10.
- Meyer TN. Pyoderma gangrenosum - a severe and ill-known complication of healing. *Rev Soc Bras Cir Plást* 2006;21(2):120-4.
- Petering H, Kiehl P, Breuer C *et al.* [Pyoderma gangrenosum: successful topical therapy with tacrolimus (FK506)]. *Hautarzt* 2001;52(1):47-50.
- Powell FC, Su WP, Perry HO. Pyoderma gangrenosum: classification and management. *J Am Acad Dermatol* 1996;34(3):395-409.
- Reichrath J, Bens G, Bonowitz A, Tilgen W. Treatment recommendations for pyoderma gangrenosum: an evidence-based review of the literature based on more than 350 patients. *J Am Acad Dermatol* 2005;53(2):273-83.
- Rodrigues Jr M, Marra AR. Quando indicar a oxigenoterapia hiperbárica? *Rev Assoc Med Bras* 2004;50(3):240.

FASCIITE NECROSANTE DA MAMA

CAPÍTULO 63

Idam de Oliveira Junior
Antonio Bailão Júnior

A fasciite necrosante (FN) é uma condição rara e de rápida progressão, definida pela infecção grave do tecido mole profundo, incluindo a fáscia, com preservação parcial da pele e da musculatura adjacente. Pode afetar qualquer parte do corpo, especialmente tronco, membros inferiores e superiores, períneo e genitália externa. Ocorre de forma espontânea ou após pequenos traumas, como técnicas de acupuntura ou simples intervenções (inserção de cateter suprapúbico ou dreno de toracostomia). Em até 40% dos casos, os pacientes com FN relatam história de trauma ou ruptura na pele antes do início dos sintomas. O prognóstico depende de diagnóstico e tratamento precoces, a fim de reduzir a taxa de mortalidade, que varia de 30 a 60%.

Classicamente, a FN é causada por estreptococos do grupo A; entretanto, pode ser classificada como tipos I, II, III e IV, de acordo com o agente etiológico. Na FN tipo I, a infecção é polimicrobiana e envolve aeróbicos e anaeróbicos, geralmente ocorre em idosos ou na presença de doenças subjacentes e associa-se, frequentemente, a gás no tecido, tornando-se difícil sua distinção com a gangrena gasosa. Já a tipo II é uma infecção monomicrobiana, sendo o estreptococo do grupo A o patógeno mais comum, seguido pelo

Staphylococcus aureus resistente à meticilina (MRSA). Ao contrário das infecções do tipo I, infecções do tipo II podem ocorrer em qualquer faixa etária e em pessoas sem qualquer doença subjacente.

A FN tipo III ocorre em menos de 5% dos casos e é atribuída a espécies de vibriões ou bactérias Gram-negativas, principalmente de origem marinha. A FN tipo IV, por sua vez, está associada à infecção fúngica por *Candida* sp. e *Zygomycetos*, acometendo pacientes imunocomprometidos após trauma.

A patologia inicia-se como uma infecção local e espalha-se facilmente, uma vez que as bactérias ganham acesso pelo tecido conjuntivo frouxo e pelas estruturas neurovasculares, ao aderir à fáscia e expressar as proteínas de superfície. Simultaneamente, fatores de virulência de patógenos, citocinas do hospedeiro (TNF- α , IL-1 e IL-6) e trombooses microvasculares favorecem a destruição adicional de tecidos. A trombose dos vasos perfurantes cutâneos com necrose cutânea é a principal característica fisiopatológica da doença.

Os fatores de risco padrão da FN incluem: idade avançada, comorbidades debilitantes crônicas (diabetes *mellitus*, doença vascular periférica, tabagismo, abuso de álcool, doença hepática, doença renal, obesidade e imunossupressão) e condições que comprometem a integridade da pele (cirurgia, trauma, uso de drogas IV, biópsia, úlceras de pressão e doença cutânea crônica).

APRESENTAÇÃO CLÍNICA

Distinguir a FN de outras infecções de tecidos moles é notoriamente difícil, mas crucial. As características clínicas podem, a princípio, mimetizar a celulite simples, sendo o diagnóstico tardio em muitos casos. Regularmente, até 86% dos pacientes com FN são diagnosticados, de forma equívoca, como infecções simples.

Nos estágios iniciais, os sinais clínicos são mínimos, sendo a dor localizada o sintoma predominante e, geralmente, é desproporcional aos achados cutâneos. À medida que a doença progride, associam-se edema, eritema, secreção purulenta e serosa, escurecimento da pele, crepitação (apenas em organismos formadores de gás) e odor acentuado. O processo inflamatório

progressivo causa trombose de vasos perfurantes na pele, levando à gangrena dérmica. A sensação na pele sobrejacente pode variar de dor severa à parestesia ou anestesia.

Goh *et al.*, após revisão literária acerca das apresentações clínicas da FN, evidenciaram que os principais sinais e sintomas desta condição foram: edema (81%), dor (79%), eritema (71%), bolhas (26%), necrose de pele (24%) e crepitações (20%). Estas três últimas manifestações são menos frequentes na apresentação inicial da FN, determinando achados clínicos de fase mais avançada da doença.

Três formas clínicas de FN foram identificadas. A forma fulminante apresenta sintomas associados ao choque em horas e tem alta mortalidade. Na forma aguda, os sintomas ocorrem durante vários dias com grandes áreas de necrose. Já na forma subaguda, os estágios iniciais são indistinguíveis da celulite, com ou sem sintomas sistêmicos, até que evolua para necrose.

As manifestações sistêmicas da FN são de choque séptico. Os pacientes podem apresentar rebaixamento do nível de consciência, taquicardia, taquipneia, hipotensão e febre, com evolução grave para coagulopatia intravascular disseminada.

FASCIITE NECROSANTE DA MAMA

A FN primária da mama se trata de uma condição rara, sua primeira descrição foi de uma mulher diabética de 50 anos de idade, diagnosticada com “pseudotumor” e tratada com mastectomia simples e fechamento tardio da ferida, seguido de recuperação total.

A FN da mama apresenta desafios diagnósticos adicionais por várias razões. É comumente diagnosticada como celulite, mastite, abscesso ou câncer de mama inflamatório. Além disso, a espessa camada de partes moles entre a fáscia profunda e a pele da mama pode retardar os achados cutâneos clássicos de FN, aumentando a probabilidade de atraso no diagnóstico. Esse efeito é amplificado pelo suprimento sanguíneo robusto da mama, que também pode atrasar os achados cutâneos em virtude do aspecto angiotrombótico da doença (quando os sinais cutâneos são notados, o dano já é extenso). Dada a natureza agressiva da doença e sua rápida progressão para um desfecho fatal, é fundamental que o médico

chegue a um diagnóstico rápido e correto e reconheça que o paciente necessita de atenção cirúrgica imediata.

Ao rever os poucos casos na literatura de FN mamária, vários pontos comuns são aparentes. Os fatores de risco mais comuns são história de câncer de mama, procedimentos invasivos (cirurgia ou biópsia por agulha grossa), diabetes *mellitus* e imunossupressão. Embora o câncer de mama tenha provado ser um fator de risco para infecção do sítio cirúrgico, ele sempre esteve relacionado com infecções superficiais. Infecções profundas dos tecidos moles, como a FN, são extremamente raras; de fato, a FN pós-operatória é incomum, pois representa apenas 9 a 28% de todos os tipos.

Em pacientes com FN da mama, o carcinoma associado à infecção secundária deve ser considerado e descartado pela avaliação histológica.

DIAGNÓSTICO

O diagnóstico da FN é feito com base no exame clínico apresentando sinais inflamatórios localizados e, mais importante ainda, a dor severa desproporcional aos achados locais, juntamente com a toxicidade sistêmica (Fig. 63-1). Na maioria dos trabalhos já publicados, o diagnóstico combinou achados clínicos, radiológicos, microbiológicos e laboratoriais.

Como auxílio à distinção entre FN e infecções não necrosantes de partes moles, utiliza-se o LRINEC score (*Laboratory Risk Indicator for Necrotizing Fasciitis*), que avalia proteína C reativa, contagem de leucócitos, hemoglobina, sódio sérico, creatinina e glicose, na admissão do paciente. A procalcitonina (PCT) também é outro exame laboratorial não invasivo que pode auxiliar no diagnóstico precoce da FN. Durante infecções bacterianas, seus níveis poderão estar elevados à custa de sua liberação pelo trato gastrointestinal e pulmões, atuando como estímulo pró-inflamatório. Adicionalmente, exerce papel prognóstico se dosada 48 horas após o tratamento cirúrgico, pois é indicador precoce da erradicação cirúrgica bem-sucedida do foco infeccioso.

A avaliação radiológica poderá ser útil nos casos de dúvida quanto ao diagnóstico da FN; entretanto, o tratamento não deverá ser postergado para realização destes exames.

Os principais achados de imagem são realce, edema, presença de gás na fáscia e entre os planos superficiais e profundos. A observação de quaisquer destes achados na tomografia computadorizada estão associados ao diagnóstico de FN com sensibilidade de 94,3% e especificidade de 76,6%.

A ressonância magnética é um método de imagem excelente para avaliação de tecidos moles e demonstrou-se bastante sensível e específica para o diagnóstico da FN; contudo, possui papel limitado em razão do seu alto custo, ficando reservada apenas para pacientes estáveis e colaborativos. A ecografia de partes moles poderá demonstrar tecido hiperecogênico, associado ou não à sombra acústica posterior (a depender da presença de gases provenientes das bactérias). Já a radiografia convencional é pouco útil no diagnóstico da FN, uma vez que a presença de gás não é um achado confiável por este método, fazendo-se presente em apenas 57% dos casos.

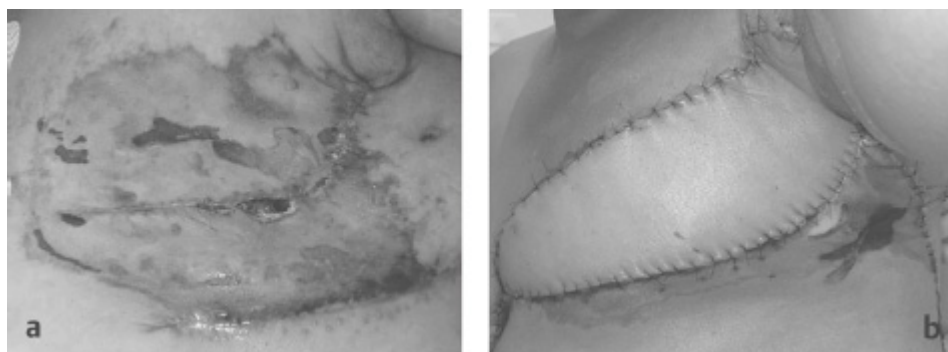


Fig. 63-1. Fasciíte necrosante da mama: (a) Infecção secundária a punções repetidas de seroma; (b) infecção de sítio cirúrgico, pós-ressecção de tumor ulcerado. (Imagens cedidas por Vieira RAC *et al.*) – (Ver Prancha em Cores.)

O diagnóstico final de FN é histológico, que identifica aspectos microscópicos sugestivos de isquemia à presença de uma zona central de necrose coagulativa, liquefativa, contendo áreas de tecido vivo associado a células inflamatórias.

TRATAMENTO

O reconhecimento precoce da FN é fundamental para redução da mortalidade, com instituição do tratamento adequado pela

ressuscitação volêmica, antibioticoterapia, analgesia, desbridamento cirúrgico, suporte nutricional para reposição proteica e internação em unidade de terapia intensiva. O atraso diagnóstico é comum e associado à falta de achados cutâneos, sendo o quadro frequentemente confundido com celulite ou abscessos. Um atraso de 24 horas ou mais no desbridamento cirúrgico aumenta a taxa de mortalidade de 36 para 70%. Apesar do tratamento rápido, no entanto, as taxas de mortalidade por infecções de tecidos moles necrosantes permanecem em até 25%.

Os pacientes devem iniciar antibioticoterapia venosa, que deve ser administrada por até 5 dias após a resolução dos sinais e sintomas locais. Os antibióticos devem ser de amplo espectro contra organismos Gram-positivos, bastonetes Gram-negativos e anaeróbios, visto que a maioria dos casos é de FN polimicrobiana, com duração média variando de 4 a 6 semanas.

Contudo, os antibióticos intravenosos isoladamente não oferecem qualquer valor, uma vez que sejam incapazes de penetrar no tecido necrótico infectado por causa da natureza trombótica da doença. Dessa forma, os pacientes devem passar pelo desbridamento independentemente do tamanho da área de necrose, até atingir margem satisfatória de sangramento saudável. A secreção purulenta deverá ser coletada e enviada para cultura e antibiograma. Dependendo do curso clínico, nova abordagem cirúrgica pode ser necessária durante as próximas 24 horas para confirmar o controle adequado do tecido desvitalizado. Na maioria dos casos de FN mamária, a necrosectomia resulta em mastectomia.

Os principais achados cirúrgicos são escassez de sangramento secundário à trombose dos vasos sanguíneos, odor fétido, coloração acinzentada dos tecidos característicos da necrose, fluido do tipo água suja, secreção purulenta e ausência de resistência tecidual à dígito-dissecção dos planos profundos.

Novas estratégias (terapia com imunoglobulina, oxigênio hiperbárico e terapia de fechamento com curativo a vácuo) estão sendo desenvolvidas para auxílio no controle da ferida. A terapia com imunoglobulinas baseia-se no princípio de que a imunoglobulina G se liga a exotoxinas estrepto e estafilocócicas,

limitando a resposta sistêmica das citocinas. O oxigênio hiperbárico aumenta a pressão de oxigênio, diminuindo a infecção e a elaboração de exotoxinas nas infecções por clostrídios. Ambos podem ser usados com sucesso como adjuntos, enquanto o fechamento secundário de ferida com curativo a vácuo pode ser aplicado para pacientes clinicamente estáveis. O sistema a vácuo, pela força de sucção, aumenta a oxigenação local pelo aumento da perfusão dérmica, acelera a formação do tecido de granulação por estimulação dos fibroblastos, evita a contaminação externa e drena a secreção, mantendo níveis aceitáveis de umidade e diminui o edema local.

Os desfechos estéticos da FN mamária são, na maioria dos casos, desfigurantes, pela frequente necessidade de realização de mastectomia. Medidas reconstrutivas são postergadas até que a paciente se recupere completamente.

BIBLIOGRAFIA

- Ablett DJ, Bakker-Dyos J, Rainey JB. Primary necrotizing fasciitis of the breast: a case report and review of the literature. *Scott Med J* 2012;57(1):60.
- Angarita FA, Acuna SA, Torregrosa L *et al.* Bilateral necrotizing fasciitis of the breast following quadrantectomy. *Breast Cancer* 2014;21(1):108-14.
- Brook I, Frazier EH. Clinical and microbiological features of necrotizing fasciitis. *J Clin Microbiol* 1995;33(9):2382-7.
- Brooks P, Malic C, Austen O. Intercostobrachial nerve injury from axillary dissection resulting in necrotizing fasciitis after a burn injury. *Breast J* 2008;14(4):385-7.
- Fayman K, Wang K, Curran R. A case report of primary necrotising fasciitis of the breast: A rare but deadly entity requiring rapid surgical management. *Int J Surg Case Rep* 2017;31:221-4.
- Fernando SM, Tran A, Cheng W *et al.* Necrotizing Soft Tissue Infection: Diagnostic Accuracy of Physical Examination, Imaging, and LRINEC Score: A Systematic Review and Meta-Analysis. *Ann Surg* 2019;269(1):58-65.

- Flandrin A, Rouleau C, Azar CC *et al*. First report of a necrotising fasciitis of the breast following a core needle biopsy. *Breast J* 2009;15(2):199-201.
- Giuliano A, Lewis Jr F, Hadley K, Blaisdell FW. Bacteriology of necrotizing fasciitis. *Am J Surg* 1977;134(1):52-7.
- Goh T, Goh LG, Ang CH, Wong CH. Early diagnosis of necrotizing fasciitis. *Brit J Surg* 2014;101(1):e119-25.
- Hanif MA, Bradley MJ. Sonographic findings of necrotizing fasciitis in the breast. *J Clin Ultrasound* 2008;36(8):517-9.
- Johnson W, Draper DO. Increased range of motion and function in an individual with breast cancer and necrotizing fasciitis-manual therapy and pulsed short-wave diathermy treatment. *Case Rep Med* 2010;2010. pii: 179581.
- Kaczynski J, Dillon M, Hilton J. Breast necrotising fasciitis managed by partial mastectomy. *BMJ Case Rep* 2012. pii: bcr0220125816.
- Kaufmann JA, Ramponi D. Recognition of risk factors and prognostic indicators in Fournier's gangrene. *Crit Care Nurs Q* 2015;38(2):143-53.
- Konik RD, Cash AD, Huang GS. Necrotizing fasciitis of the breast managed by partial mastectomy and local tissue rearrangement. *Case Reports Plast Surg Hand Surg* 2017;4(1):77-80.
- Laor E, Palmer LS, Tolia BM *et al*. Outcome prediction in patients with Fournier's gangrene. *J Urol* 1995;154(1):89-92.
- Linscheid P, Seboek D, Nylen ES *et al*. In vitro and in vivo calcitonin I gene expression in parenchymal cells: a novel product of human adipose tissue. *Endocrinology* 2003;144(12):5578-84.
- Marchesi A, Marcelli S, Parodi PC *et al*. Necrotizing Fasciitis in Aesthetic Surgery: A Review of the Literature. *Aesthetic Plast Surg* 2017;41(2):352-8.
- Mehanic S, Baljic R. The importance of serum procalcitonin in diagnosis and treatment of serious bacterial infections and sepsis. *Mater Sociomed* 2013;25(4):277-81.
- Misiakos EP, Bagias G, Papadopoulos I *et al*. Early Diagnosis and Surgical Treatment for Necrotizing Fasciitis: A Multicenter Study. *Front Surg* 2017;4:1-5.
- Rajakannu M, Kate V, Ananthakrishnan N. Necrotizing infection of the breast mimicking carcinoma. *Breast J* 2006;12(3):266-7.

- Soliman MO, Ayyash EH, Aldahham A, Asfar S. Necrotizing fasciitis of the breast: a case managed without mastectomy. *Med Princ Pract* 2011;20(6):567-9.
- Stevens DL, Bryant AE. Necrotizing Soft-Tissue Infections. *N Engl J Med* 2017;377(23):2253-65.
- Uzzan B, Cohen R, Nicolas P *et al*. Procalcitonin as a diagnostic test for sepsis in critically ill adults and after surgery or trauma: a systematic review and meta-analysis. *Crit Care Med* 2006;34(7):1996-2003.
- Velchuru VR, Van Der Walt M, Sturzaker HG. Necrotizing fasciitis in a postmastectomy wound. *Breast J* 2006;12(1):72-4.
- Vieira RAC, Mathes AGZ, Michelli RA *et al*. Necrotizing soft tissue infection of the breast: case report and literature review. *Surg Infect (Larchmt)* 2012;13(4):270-5.
- Voelzke BB, Hagedorn JC. Presentation and Diagnosis of Fournier Gangrene. *Urology* 2018;114:8-13.
- Ward ND, Harris JW, Sloan DA. Necrotizing Fasciitis of the Breast Requiring Emergent Radical Mastectomy. *Breast J* 2017;23(1):95-9.
- Wong CH, Khin LW, Heng KS *et al*. The LRINEC (Laboratory Risk Indicator for Necrotizing Fasciitis) score: a tool for distinguishing necrotizing fasciitis from other soft tissue infections. *Crit Care Med* 2004;32(7):1535-41.
- Yaji P, Bhat B, Harish E. Primary necrotising fasciitis of the breast: case report and brief review of literature. *J Clin Diagn Res* 2014;8(7):ND01-2.
- Zil EAA, Fayyaz M, Fatima A, Ahmed Z. Diagnosing Necrotizing Fasciitis Using Procalcitonin and a Laboratory Risk Indicator: Brief Overview. *Cureus* 2018;10(6):e2754.
- Zil EAA, Naqvi S, Tariq M. Procalcitonin: A Powerful Rescuer on Surgical Floors. *Cureus* 2017;9(7):e1446.

INFECÇÃO DE PRÓTESES MAMÁRIAS

CAPÍTULO 64

René Aloisio da Costa Vieira
Raphael Luiz Haikel
Mariana Gabriela Raphael Galvão Ribeiro

O câncer de mama é o principal tipo de neoplasia da mulher. Nos últimos anos muitas mudanças ocorreram no tratamento clínico, porém o tratamento cirúrgico modificou-se positivamente com a presença de cirurgias mais preservativas, com elevação das taxas de preservação da pele mamária, sendo atualmente submetida à mastectomia com preservação cutânea (*Skin Sparing Mastectomy*) ou mastectomias com preservação areolar (*Nipple Sparing Mastectomy*). Historicamente o principal tipo de reconstrução após mastectomia era realizado por tecidos autólogos,¹ nesta fase geralmente se utilizava a técnica microcirúrgica associada a duplo pedículo epigástrico inferior (DIEP),² ou o uso do grande dorsal bilateral. Posteriormente, seguiu-se o uso de expansores, e atualmente há uma tendência ao uso do implante com prótese em tempo único.³ Da mesma forma as indicações de mastectomia se expandiram e atualmente as pacientes portadoras de mutação do BRCA1, BRCA2 e p53 são consideradas candidatas à mastectomia redutora de risco. O panorama cirúrgico dos ambulatórios oncológicos modificou-se, e por causa da elevação do uso da prótese, duas complicações tiveram aumento da incidência, a contratura capsular e a infecção

das próteses mamárias, fato que determinou a inclusão deste capítulo, no contexto das urgências oncológicas. A magnitude da infecção após reconstrução mamária ocorre de 1 a 35% dos casos.⁴

FATORES DE RISCO

Alguns fatores pré-operatórios encontram-se associados à infecção no sítio cirúrgico (ISC), como o índice elevado de massa corpórea, diabetes, tabagismo, estado pós-menopausal, cirurgia mamária pregressa, quimioterapia pré-operatória, radioterapia pré-operatória.⁵ Por outro lado, estão associados à redução deste risco durante o pré-operatório a antissepsia cirúrgica das mãos, remoção dos adornos dos profissionais envolvidos no procedimento e a realização de tricotomia sem lâminas, quando indicada. Fatores intraoperatórios incluem o tempo da cirurgia, a linfadenectomia, reconstrução imediata, necessidade de transfusão e necessidade de drenos cirúrgicos.⁴ Outros fatores intraoperatórios encontram-se associados à diminuição de risco, como o fluxo laminar na sala cirúrgica, limpeza da loja cirúrgica e uso de nova luva, na manipulação da prótese, o uso na pele de solução alcoólica⁶ ou clorexidina,⁷ e a antibioticoterapia cirúrgica,⁷⁻⁹ controle glicêmico e de temperatura,¹⁰ manutenção da oxigenação tecidual otimizada,¹¹ degermação da pele próxima ao local da incisão antes da aplicação do antisséptico, antissepsia do local da incisão no sentido centrífugo circular.¹⁰ Fatores pós-operatórios associados à elevação do risco incluem diabetes, seroma e hematoma.⁴ A educação do paciente e familiares em relação aos cuidados da ferida cirúrgica, drenos e curativos pode ajudar na prevenção da infecção. Câncer e radioterapia podem estar associados a elevadas taxas de infecção. A reconstrução imediata com implante subcutâneo, é descrita como fator de risco para o quadro infeccioso, sendo inferior em procedimentos em dois tempos. Além disto temos a quimioterapia adjuvante após reconstrução imediata.⁹ Outros fatores constituem acidentes penetrantes da mama, cirurgia geral, manipulação dental, pioderma, processos infecciosos, trauma e irradiação mamária.⁹ O uso de matriz dérmica acelular (ADM), encontra-se associado a

risco de infecção (OR, 2,7; 95% IC 1,1-6,4).¹² Há a descrição da “síndrome da mama vermelha”, que constitui um eritema mamário na porção inferior da mama, que é confundido com celulite e infecção, sendo autolimitada a semanas.⁴ Porém, a ADM é pouco utilizada em nosso meio, principalmente por causa de seu custo elevado.

Visando minimizar a infecção do sítio cirúrgico, sugere-se, no intraoperatório antes da síntese da pele, a preparação da pele com líquido asséptico, porém não há estudos bem delineados sobre esta tática cirúrgica. O uso de banho com soluções antissépticas no pré-operatório não é rotineiramente recomendado, porém também há literatura que sugere que seja realizado em procedimentos onde são utilizados materiais protéticos.¹¹ Todos os membros da equipe cirúrgica devem tomar cuidado na manipulação cirúrgica da prótese. Deve-se evitar o trânsito de pessoas, especialmente no momento de implante da prótese. Antibioticoprofilaxia cirúrgica encontra-se associada à diminuição do risco de infecção, devendo ser iniciada idealmente entre 30 a 60 minutos antes da incisão cutânea, exceto para os casos onde forem indicados o uso de glicopeptídeos (vancomicina) ou fluoroquinolonas (ciprofloxacino), devendo ser iniciados neste contexto entre 60 e 120 minutos antes da incisão cirúrgica. A cefazolina na dose de 2 g é geralmente a opção de primeira linha,¹³ uma vez que oferece uma boa cobertura para os agentes da flora cutânea, devendo ter sua dose ajustada nos casos de pacientes com peso superior a 120 kg.¹³ Pacientes alérgicos às cefalosporinas ou a qualquer outro betalactâmico devem receber opções alternativas de antibioticoprofilaxia, sendo a clindamicina, as fluoroquinolonas (ciprofloxacino) ou a vancomicina opções para estes casos.¹³ Procedimentos cirúrgicos com duração prolongada devem receber dose adicional de antimicrobiano a cada 4 horas de duração. O antimicrobiano profilático também deve ser realizado como dose adicional em procedimentos cirúrgicos onde houver sangramento superior a 2 litros. O Centro de Controle de Doenças (CDC) Americano não aconselha o uso de antibioticoterapia por 24 horas. Em pacientes com alergia, pode-se utilizar a clindamicina. Embora haja um desejo do uso de antibioticoterapia prolongada

(superior a 24 horas), os achados são controversos em relação à diminuição da infecção, observando-se ausência^{4,14,15} e presença da diminuição do risco, na presença de reconstrução mamária.¹⁶ O uso de iodo povidina foi considerado no passado, porém a FDA desaprova esta prática.⁴ O uso de irrigação da prótese com antibióticos pode reduzir a contratura capsular, mas não o risco de infecção.^{9,16}

FISIOPATOLOGIA

Geralmente os agentes são encontrados nos ductos mamários ou na pele,⁴ e a contaminação durante a cirurgia constitui o principal mecanismo associado à infecção precoce, representando dois terços das infecções. Geralmente, nesta fase a infecção é causada por bactérias Gram-positivas, como *Staphylococcus aureus*, *Staphylococcus aureus* resistente à metilicina,^{4,14,17} *Staphylococcus epidermidis*, e algumas bactérias Gram-negativas, como *Pseudomonas aeruginosa*, *Serratia marcescens*, *Escherichia coli*, *Klebsiella species* e *Proteus mirabilis*, especialmente em pacientes obesos e diabéticos.^{13,18} Outros agentes descritos são o *Streptococcus pyogenes*, *Propionibacterium acnes*, *diphtheroids*, *lactobacilli*, ou *Bacillus species*.¹⁴ A infecção tardia é associada a microrganismos Gram-positivos ou Gram-negativos,⁴ mas *Staphylococcus* coagulase-negativos são os agentes mais comuns.¹⁴

Após a contaminação, pode haver a formação de biofilmes, onde a bactéria se adere à superfície da prótese, dificultando o tratamento e servindo como fator de risco para a manutenção da infecção.⁴ O biofilme é caracterizado por microrganismos que se aderem de maneira irreversível umas às outras em uma superfície de corpo estranho e produzem uma matriz polimérica, feita de polissacarídeos e glicoproteínas. Este estimula a inflamação e aumenta o risco de contratura capsular.^{14,19} No caso de tratamento da contratura capsular, o tecido deve ser encaminhado à avaliação histológica e cultura.⁹

APRESENTAÇÃO E CONDUÇÃO CLÍNICA

As infecções podem ser precoces ou tardias. Não há uma data padrão que determine que o fenômeno é precoce ou tardio, sendo geralmente considerados precoces períodos de 30¹⁷ a seis semanas.¹⁴

Clinicamente a paciente aparece com dor mamária, inchaço cutâneo e eritema com ou sem febre.^{4,14} A infecção precoce, em sua maioria ocorrida nos dias 10-12 após a cirurgia,¹⁴ pode-se associar ao seroma após a retirada do dreno, e infecção secundária.⁴ Neste caso sugere-se a retirada do dreno o mais cedo possível, a partir do 7º dia pós-operatório, desde que a drenagem seja inferior a 30 mL/ 24 horas, fato que não deve exceder a 3 semanas.²⁰ Infecção purulenta pode não estar presente.¹⁴ Quando a paciente se encontra com o dreno, pode-se constatar a presença de material com grumos junto ao dreno. Os achados laboratoriais podem ser normais ou pouco alterados. É aconselhável o uso da ultrassonografia, que procurará avaliar a presença de coleção em torno da prótese, e na sua presença, é imperiosa a punção do líquido, que permite a avaliação e controle inicial do seroma. Antibioticoterapia empírica deve ser iniciada. Todo o material retirado, seja ele líquidos suspeitos para infecção e tecidos desvitalizados da região, deve ser encaminhado à bacterioscopia e cultura para aeróbios e anaeróbios.

Infecções tardias podem ocorrer meses ou anos após o tratamento, sendo incomuns, apresentando-se como dor, edema com ou sem eritema. Nesta situação deve-se considerar a disseminação hematogênica, sendo importante avaliar um possível foco infeccioso primário, que pode ser desde infecção urinária, a infecção na cavidade oral e infecção dental.⁹ Em pacientes com uso de prótese expansora, pode-se ocorrer contaminação durante a expansão mamária.⁴ Em geral, a perda da prótese ocorre mais na infecção tardia.¹⁷

O tratamento inicialmente envolve antibioticoterapia, e na ausência de controle infeccioso após um período de antibioticoterapia, deve ser considerada a remoção da prótese. Geralmente, a partir do achado clínico, inicia-se antibioticoterapia

empírica. A escolha do antimicrobiano deve ser com base principalmente em dados microbiológicos locais, quando existentes. Caso contrário, deve ser fundamentado nos agentes mais comuns evidenciados na literatura disponível. A maior parte das infecções é causada por Gram-positivos (*S. aureus* e *Staphylococcus* coagulase negativos), como visto anteriormente, as penicilinas e cefalosporinas de primeira geração devem ser usadas como primeira opção nos casos em que o paciente não apresente sinais de instabilidade clínica ou gravidade, devendo a vancomicina ser considerada como opção de tratamento empírico, se houver critérios de sepse. Cobertura adicional para Gram-negativos pode ser realizada com penicilinas de amplo espectro ou cefalosporinas. A terapia antimicrobiana deve ser guiada assim que forem obtidos dados microbiológicos em cada caso. Após retirada do implante, antibioticoterapia deve ser mantida por 10 a 14 dias a depender da resposta clínica do paciente. A colocação de novo implante deve ser tardia, sendo considerado de 3 a 6 meses.^{4,9}

Duas situações infecciosas são descritas, porém raramente descritas na literatura, sendo eles o envolvimento sistêmico com choque tóxico,^{4,9,21} e a osteomielite do esterno e arcos costais,²² e em ambos os casos, o tratamento antimicrobiano deve ser instituído por um tempo prolongado de 6 a 8 semanas.

FLUXOGRAMA DE TRATAMENTO

No nosso serviço, a antibioticoterapia ambulatorial de primeira linha tem sido realizada com o uso de cefalexina, clindamicina, ou amoxilina associada ao ácido clavulânico. Nos casos mais extensos, ou na ausência de resposta inicial, adiciona-se cobertura para germes Gram-negativos, ciprofloxacino. As infecções complicadas, com agentes microbianos resistentes, são conduzidas com base nos dados de culturas. A [Figura 64-1](#) mostra o fluxograma de diagnóstico e tratamento. Caso o tratamento seja ambulatorial, aconselha-se retorno semanal. Os casos considerados como graves devem ser internados.

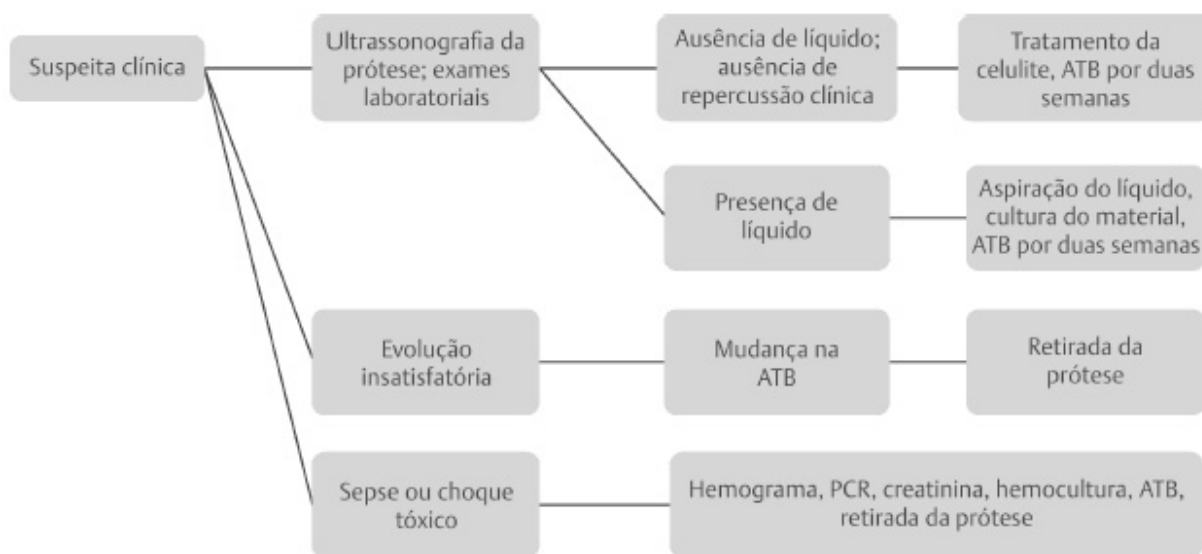


Fig. 64-1. Fluxograma de diagnóstico e tratamento. ATB: antibioticoterapia.

REFERÊNCIAS BIBLIOGRÁFICAS

1. Jagsi R, Jiang J, Momoh AO *et al.* Trends and variation in use of breast reconstruction in patients with breast cancer undergoing mastectomy in the United States. *J Clin Oncol* 2014;32(9):919-26.
2. Nestle-Kramling C, Kuhn T. Role of Breast Surgery in BRCA Mutation Carriers. *Breast Care (Basel)* 2012;7(5):378-82.
3. Casella D, Calabrese C, Orzalesi L *et al.* Current trends and outcomes of breast reconstruction following nipple-sparing mastectomy: results from a national multicentric registry with 1006 cases over a 6-year period. *Breast Cancer* 2017;24(3):451-7.
4. Washer LL, Gutowski K. Breast implant infections. *Infect Dis Clin North Am* 2012;26(1):111-25.
5. Felipe WA, Werneck GL, Santoro-Lopes G. Surgical site infection among women discharged with a drain in situ after breast cancer surgery. *World J Surg* 2007;31(12):2293-9; discussion 300-1.
6. Barr SP, Topps AR, Barnes NL *et al.* Infection prevention in breast implant surgery - A review of the surgical evidence, guidelines and a checklist. *Eur J Surg Oncol* 2016;42(5):591-603.

7. Boustany AN, Elmaraghi S, Agochukwu N *et al.* A breast prosthesis infection update: Two-year incidence, risk factors and management at single institution. *Indian J Plast Surg* 2018;51(1):7-14.
8. Hardwicke JT, Bechar J, Skillman JM. Are systemic antibiotics indicated in aesthetic breast surgery?
A systematic review of the literature. *Plast Reconstr Surg* 2013;131(6):1395-403.
9. Pittet B, Montandon D, Pittet D. Infection in breast implants. *Lancet Infect Dis* 2005;5(2):94-106.
10. Berrios-Torres SI, Umscheid CA, Bratzler DW *et al.* Centers for Disease Control and Prevention Guideline for the Prevention of Surgical Site Infection, 2017. *JAMA Surgery* 2017;152(8):784-91.
11. Agência Nacional de Vigilância Sanitária. *Medidas de Prevenção de Infecção Relacionada à Assistência à Saúde*. Série: Segurança do Paciente e qualidade em Serviços de Saúde; 2017.
12. Ho G, Nguyen TJ, Shahabi A *et al.* A systematic review and meta-analysis of complications associated with acellular dermal matrix-assisted breast reconstruction. *Ann Plast Surg* 2012;68(4):346-56.
13. Bratzler DW, Dellinger EP, Olsen KM *et al.* Clinical practice guidelines for antimicrobial prophylaxis in surgery. *Surg Infect (Larchmt)* 2013;14(1):73-156.
14. Rubino C, Brongo S, Pagliara D *et al.* Infections in breast implants: a review with a focus on developing countries. *J Infect Dev Ctries* 2014;8(9):1089-95.
15. Phillips BT, Bishawi M, Dagum AB *et al.* A systematic review of antibiotic use and infection in breast reconstruction: what is the evidence? *Plast Reconstr Surg* 2013;131(1):1-13.
16. Huang N, Liu M, Yu P, Wu J. Antibiotic prophylaxis in prosthesis-based mammoplasty: a systematic review. *Int J Surg* 2015;15:31-7.
17. Piper ML, Roussel LO, Koltz PF *et al.* Characterizing infections in prosthetic breast reconstruction:
A validity assessment of national health databases.
J Plast Reconstr Aesthet Surg 2017;70(10):1345-53.

18. Seng P, Bayle S, Alliez A *et al.* The microbial epidemiology of breast implant infections in a regional referral centre for plastic and reconstructive surgery in the south of France. *Int J Infect Dis* 2015;35:62-6.
19. Ajdic D, Zoghbi Y, Gerth D *et al.* The Relationship of Bacterial Biofilms and Capsular Contracture in Breast Implants. *Aesthet Surg J* 2016;36(3):297-309.
20. Chen CF, Lin SF, Hung CF, Chou P. Risk of infection is associated more with drain duration than daily drainage volume in prosthesis-based breast reconstruction: A cohort study. *Medicine* (Baltimore) 2016;95(49):e5605.
21. Holm C, Muhlbauer W. Toxic shock syndrome in plastic surgery patients: case report and review of the literature. *Aesthetic Plast Surg* 1998;22(3):180-4.
22. Seng P, Alliez A, Honnorat E *et al.* Osteomyelitis of sternum and rib after breast prosthesis implantation: A rare or underestimated infection? *IDCases* 2015;2(1):31-3.

Parte XV

Urgências Ginecológicas

Marcelo de Andrade Vieira
Ronaldo Luis Schmidt
Ilana Polegatto

DEFINIÇÃO

Segundo a FIGO (International Federation of Gynecology and Obstetrics) sangramento uterino em mulheres em idade reprodutiva, fora de período gestacional, é definido como sangramento que ocorre de 24 a 38 dias, regularmente, com duração de 4,5 a 8 dias e com volume de perda sanguínea de 5 a 80 mL mensais.¹ Qualquer sangramento que ocorra fora desses padrões é definido como anormal. Sangramentos antes da menarca, pós-menopausa ou entre os ciclos menstruais também estão descritos nessa classificação.

- *Sangramento menstrual irregular*: > 20 dias em ciclos individuais por mais de 1 ano.
- *Sangramento menstrual ausente*: ausência de sangramento por 90 dias ou mais.
- *Sangramento menstrual infrequente (oligomenorreia – termo preferencialmente não utilizado)*: um ou dois episódios num intervalo de 90 dias.
- *Sangramento menstrual frequente*: quatro ou mais episódios num intervalo de 90 dias.

- *Sangramento menstrual intenso (menorragia – termo preferencialmente não utilizado):* perda sanguínea excessiva que interfere na qualidade de vida física, emocional e social da mulher; pode ser prolongado ou não.
- *Sangramento menstrual prolongado:* > 8 dias.
- *Sangramento menstrual encurtado:* < 2 dias.
- *Sangramento irregular não menstrual:* sangramento entre os ciclos menstruais ou pós-coito.
- *Sangramento fora do período reprodutivo:* precoce – < 9 anos; ou pós-menopausa – após 1 ano do reconhecimento da menopausa.
- *Agudo:* necessita de intervenção para prevenir perdas futuras.
- *Crônico:* persistência dos sintomas por 6 meses ou mais.

EPIDEMIOLOGIA

O sangramento uterino anormal é uma queixa inicial comum e pode chegar até um terço do sintoma que leva as pacientes a procurarem um médico.² Nos Estados Unidos, questionário populacional de mulheres entre 18 e 50 anos mostrou uma taxa de prevalência anual de 53 a cada 1.000 mulheres.²

PRINCIPAIS CAUSAS/DIAGNÓSTICOS DIFERENCIAIS

A etiologia do sangramento menstrual pode ser multifatorial, dessa forma, o *Menstrual Disorders Working Group* da FIGO propôs um sistema de classificação para padronização da nomenclatura, aprovado pelo comitê da FIGO e apoiado pelo American College of Obstetricians and Gynecologists. De acordo com essa classificação, as causas são divididas entre anormalidades uterinas estruturais e não estruturais e categorizadas de acordo com o acrônimo PALM-COEIN: pólipo, adenomiose, leiomioma, malignidade e hiperplasia, coagulopatia, disfunção ovulatória, endometrial, iatrogenia e não classificadas ([Quadro 65-1](#)).³

ABORDAGEM DIAGNÓSTICA E TERAPÊUTICA

A abordagem inicial deve basear-se num tripé: identificação dos parâmetros clínicos e de gravidade do caso para determinar a abordagem inicial; determinação da etiologia mais provável para o sangramento; escolha do tratamento que possivelmente será mais efetivo.³

Quadro 65-1. Causas de Sangramento Uterino Anormal

Estruturais	Não estruturais
Pólipo	Coagulopatia
Adenomiose	Ovulatória – disfunção
Leiomioma	Endometrial
Malignidade e hiperplasia	Iatrogenia
	Não classificadas

Abordagem Inicial

- Monitorização contínua, garantir via aérea e acesso venoso periférico calibroso (preferencialmente dois acessos calibrosos – número 14 ou 16).
- Estabilização hemodinâmica – ressuscitação volêmica e/ou protocolo de transfusão maciça, caso paciente instável ou não responsiva a volume. Lembrar que pacientes jovens manifestam sinais vitais praticamente normais a despeito de grandes perdas volêmicas, e que o primeiro sinal de choque hipovolêmico é taquicardia.
- Colher exames laboratoriais iniciais – beta-HCG, hemoglobina, hematócrito, contagem de plaquetas, tempo de protrombina, tempo de tromboplastina parcial ativada e fibrinogênio.

Caso não seja possível estabilização da paciente, transferir para serviço especializado ou, se disponível, acionar serviço de radiologia intervencionista ou centro cirúrgico para tratamento específico, como será descrito adiante.²

Identificação dos Fatores Etiológicos

Se a paciente estiver hemodinamicamente estável, seguir investigação etiológica.

História clínica completa com duração, intensidade, frequência, fatores de melhora ou piora do sangramento, se pós-coito ou não, investigação de antecedentes ginecológicos e obstétricos e de antecedentes gerais, como cirurgias ou internações prévias.

Exame físico completo, incluindo exame ginecológico. Nesse momento, é possível identificar fatores estruturais, como lesões em colo uterino, vulva e vagina e se há sangramento ativo ou não. Caso a paciente seja gestante, encaminhá-la à avaliação obstétrica; em pacientes com idade gestacional maior que 20 semanas, o toque vaginal não deve ser realizado até que se exclua placenta prévia.^{2,3}

Em pacientes estáveis hemodinamicamente, não gestantes, é necessário identificar anemia e realizar hemotransfusão de acordo com os resultados de hematócrito e hemoglobina, bem como de comorbidades que a paciente possua.

A partir disso, é possível iniciar investigação com exames de imagem, como ultrassonografia, tomografia computadorizada ou ressonância magnética, caso estejam disponíveis.

Não será abordado aqui o tratamento de causas não estruturais. Dentre as causas estruturais, o foco desta discussão serão as neoplasias.

Tratamento

No momento do exame ginecológico, caso seja identificada a causa do sangramento, com pontos de sangramento ativo em vulva, vagina ou colo uterino, é possível utilizar-se de gases e componentes hemostáticos de aplicação local, como, por exemplo, cloreto férrico, associados a tamponamento.⁴

Paciente pode ser mantida em observação ou ser liberada para manter repouso em domicílio por 24 horas para nova avaliação, caso exames laboratoriais e sinais vitais mantenham-se estáveis.

O tamponamento com balão ou sonda é utilizado há vários anos em sangramentos nasais, urinários e esofágicos.⁵ Alguns autores têm descrito tamponamento com sonda urinária Foley ou balão de

Bakri em casos selecionados após falha no tampão inicial. Apenas cinco casos foram relatados sobre a técnica de balão em neoplasia ginecológica. Kyrgiou *et al.*⁶ usaram um balão intrauterino de Rusch em uma hemorragia grave decorrente de neoplasia endometrial por causa da dificuldade adicional de obesidade e uso de ácido acetilsalicílico. De Loo e van Dam⁷ descreveram a inserção de um cateter de Foley no canal endocervical após sangramento pós-conização a frio. Sonoo *et al.*⁸ relataram controle efetivo de hemorragia grave em um câncer do colo uterino com tamponamento de balão com cateter de Foley. Karakida *et al.*⁹ detalharam dois casos de sucesso em controle de hemorragia grave em paciente com neoplasia avançada de colo uterino e pós-conização a frio.

Apesar da escassa literatura a respeito disto, os resultados demonstraram-se satisfatórios. Ambas as técnicas de tamponamento são baratas e sem necessidade de treinamento avançado, sendo, assim, passíveis de serem realizadas em qualquer pronto atendimento ginecológico. As dúvidas permanecem quanto à quantidade de volume infundido, variando de 10 a 220 mL, e qual tamanho de sonda a ser empregado em cada situação.

Caso as tentativas de tamponamento falharem, a melhor alternativa, se disponível, é a embolização arterial seletiva por radiointervenção. Normalmente disponível em grandes centros médicos e cada vez mais acessível, apresentou evolução rápida desde meados de 1960 com Charles Dotter, que utilizou cateteres para fins diagnósticos e terapêuticos. Particularmente na Ginecologia e Obstetrícia, os relatos iniciais referem-se à contenção de sangramentos pélvicos por causa das mais diversas etiologias, incluindo o trauma, neoplasias e puerperais.

Com o desenvolvimento de microcateteres e agentes embolizantes tornou-se procedimento pouco invasivo e de baixa permanência hospitalar. As limitações principais são alergia a iodo, o custo do equipamento, materiais e principalmente profissionais treinados para o procedimento.^{10,11}

O grande questionamento frente à embolização seria a possível hipóxia induzida pelo procedimento e ocasionando desfecho oncológico negativo nas pacientes submetidas à posterior

radioterapia. Porém isso ainda não foi esclarecido pelos estudos, e a questão carece de melhores ensaios.¹²

Caso a radiologia intervencionista não esteja disponível no momento ou tratar-se de serviço sem essa infraestrutura, o procedimento cirúrgico tradicional de ligadura das artérias hipogástricas pode ser indicado.

Descrito pela primeira vez em 1893 por Howard Kelly no John Hopkins Hospital, a ligadura bilateral das artérias ilíacas internas por laparotomia ainda é realizada, quando as demais tentativas falharam ou não estão disponíveis.⁴

Caso a paciente apresente boas condições cirúrgicas e o procedimento possa ser agendado, a laparoscopia, se disponível, torna-se uma opção menos traumática e com menor tempo de atraso para tratamento radioterápico posterior.¹³

Outra opção possível, quando disponível, é o tratamento com radioterapia hemostática na urgência. É um tratamento que deve ser muito bem avaliado, em razão da dose hipofracionada e sem quimioterapia sensibilizante, com posterior diminuição na dose terapêutica e, assim sendo, de pior prognóstico para as pacientes.¹⁴ Alguns trabalhos demonstraram que, caso haja diminuição da oferta de oxigênio ao tumor, o que acontece quando os níveis de hemoglobina (Hb) caem abaixo de 12, a radioterapia é menos efetiva, portanto, é consenso a necessidade de tratamento com hemotransfusão quando $Hb < 10$.^{12,15,16}

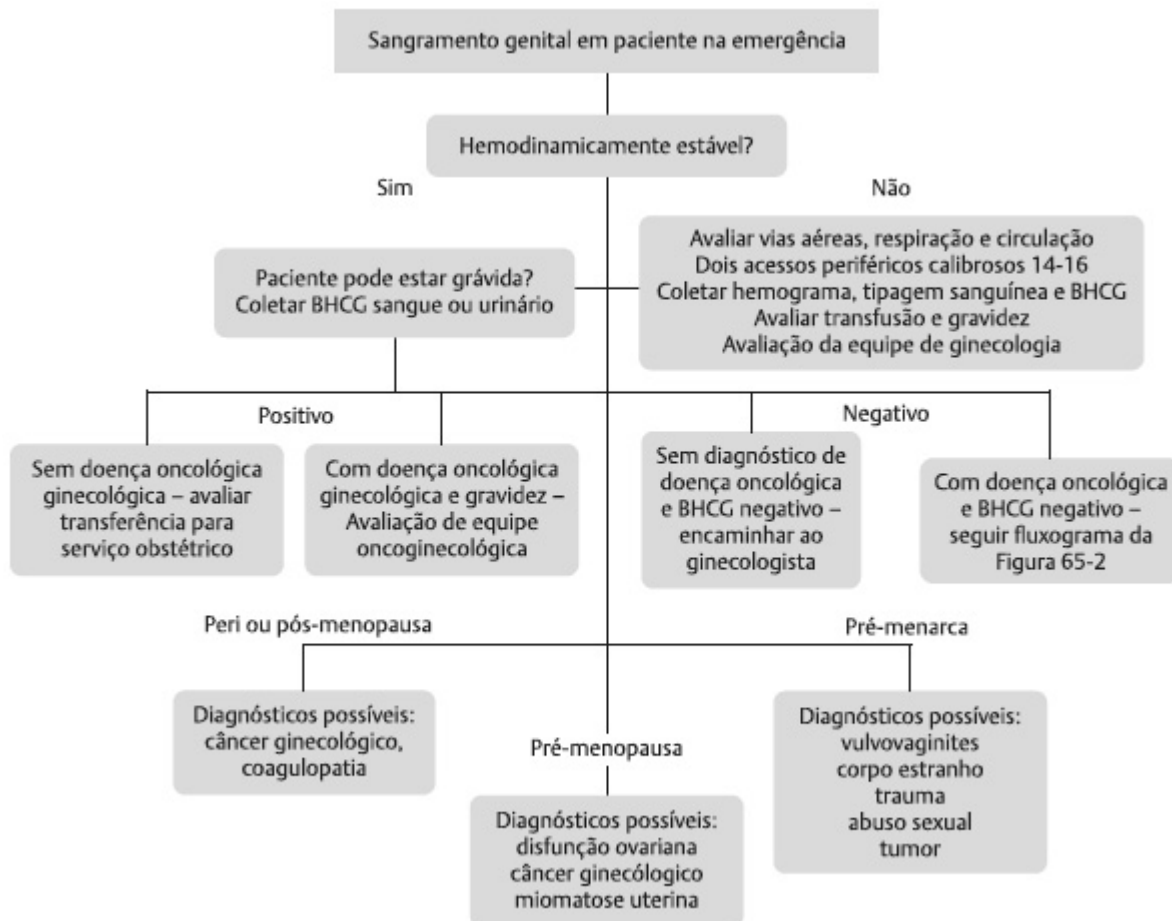


Fig. 65-1.



Fig. 65-2. Fluxograma de abordagem e tratamento do sangramento genital.

Nas Figuras 65-1 e 65-2 sugerimos dois fluxogramas para abordagem e tratamento destes casos oncológicos.

REFERÊNCIAS BIBLIOGRÁFICAS

1. Fraser IS, Critchley HOD, Broder M, Munro MG. The FIGO Recommendations on Terminologies and Definitions for Normal and Abnormal Uterine Bleeding. *Semin Reprod Med* 2011;29(5):383-90.
2. Kaunitz AM, Barbieri RL, Levine D, Falk SJ. Approach to abnormal uterine bleeding in nonpregnant reproductive-age women. [Internet]. (Acesso em 24 de novembro de 2018. Disponível em: https://www.uptodate.com/contents/approach-to-abnormal-uterine-bleeding-in-nonpregnant-reproductive-age-women?search=sangramento%20vaginal&source=search_result&selectedTitle=4~150&usage_type=default&display_rank=4.
3. American College of Obstetricians and Gynecologists. ACOG committee opinion no. 557: Management of acute abnormal uterine bleeding in nonpregnant reproductive-aged women. *Obstet Gynecol* 2013;121(4):891-6.
4. Popovici LR, Ciulcu A, Dorobat B *et al*. Therapeutic approaches in pelvic bleeding of neoplastic origin. *J Med Life* 2014;7(3):391-5.
5. Panes J, Teres J, Bosch J, Rodes J. Efficacy of balloon tamponade in treatment of bleeding gastric and esophageal varices. Results in 151 consecutive episodes. *Dig Dis Sci* 1988;33:454-9.
6. Kyrgiou M, Martin-Hirsch P, Singh M. The use of a Rusch intra-uterine balloon to cause tamponade on a severe hemorrhage in a case of endometrial cancer. *Int J Gynecol Cancer* 2014;24:946-9.
7. De Loo JA, van Dam PA. Foley catheters for uncontrollable obstetric or gynecologic hemorrhage. *Obstet Gynecol* 1996;88(4 Pt 2):737.
8. Sonoo T, Inokuchi R, Yamamoto M *et al*. Severe hemorrhage from cervical cancer managed with Foley catheter balloon tamponade. *West J Emerg Med* 2015;16(5):793-4.

9. Karakida N, Yanazume S, Mori M *et al.* Genital bleeding hemostasis in gynecologic neoplasm with balloon tamponade: New treatment option. *J Obstet Gynaecol Res* 2017;43(6):1084-8.
10. Messina ML, Deutsch F, Zlotnik E *et al.* Endovascular surgery in gynecology. *Einstein* 2010;8(4 Pt 1):488-94.
11. Chen CS, Park S, Shin JH *et al.* Endovascular treatment for the control of active vaginal bleeding from uterine cervical cancer treated with radiotherapy. *Acta Radiologica* 2018;59(11):1336-42.
12. Kapp KS, Poschauko J, Tauss J *et al.* Analysis of the prognostic impact of tumor embolization before definitive radiotherapy for cervical carcinoma. *Int J Radiation Oncology Biol Phys* 2005;62(5):1399-404.
13. Sobiczewski P, Bidzinski M, Derlatka P. Laparoscopic Ligature of the Hypogastric Artery in the Case of Bleeding in Advanced Cervical Cancer. *Gynecol Oncol* 2002;84:344-8.
14. Yanazume S, Karakida N, Higashi R *et al.* Tumor bleeding requiring intervention and the correlation with anemia in uterine cervical cancer for definitive radiotherapy. *Jpn J Clin Oncol* 2018;48(10):892-9.
15. Vaupel P, Thews O, Mayer A *et al.* Oxygenation Status of Gynecologic Tumors: What is the Optimal Hemoglobin Level? *Strahlenther Onkol* 2003;178(12):727-31.
16. Biswal BM, Lal P, Rath GK, Mohanti BK. Hemostatic radiotherapy in carcinoma of the uterine cervix. *Int J Gynaecol Obstet* 1995;50(3):281-5.

FÍSTULAS VAGINAIS: DIAGNÓSTICO E TRATAMENTO

CAPÍTULO
66

Paula Daphne Brisigueli Borges de Almeida
Carlos Eduardo Mattos Cunha Andrade
Ricardo dos Reis

INTRODUÇÃO

Por definição fístula vaginal é a comunicação anormal entre duas superfícies epitelizadas.¹ Estas fístulas causam significativo impacto psicossocial às pacientes, comprometendo sua qualidade de vida, financeira e emocionalmente às pacientes, tornando seu tratamento prioritário para o cirurgião oncológico.² Neste capítulo abordaremos especificamente sobre duas, a geniturinária (FGU) e as retovaginal, colovaginal e anovaginal.

FÍSTULAS GENITURINÁRIAS

Trata-se da comunicação anormal entre o aparelho urinário e a vagina, o que resulta, geralmente, em uma incontínência urinária contínua e incessante. Há relatos de FGU desde os primórdios da humanidade, em estudos arqueológicos foram identificadas fístulas em múmias da corte real Egípcia há cerca de 2.500 anos e, somente no final do ano 1600, foi descrito o primeiro tratamento realizado com sucesso, por Fatio na Suíça.³

Classificação

Podemos dividi-las de acordo com sua topografia em fístulas vesicovaginais (FVV), fístulas ureterovaginais (FUV), fístulas vesicouterinas (FVU) e fístulas uretrovaginais (FURV). Considerando todas as fístulas geniturinárias, as FVV são as mais comuns, com incidência variando de 0,3 a 2%.³ Outra classificação proposta por Angioli *et al.* de fístulas vesicovaginais é:

1. *Simples*: são pequenas (menor ou igual a 0,5 cm), únicas e não relacionadas com radiação.
2. *Complexas*: inclui aquelas que não obtiveram sucesso em terapêutica prévia, grande (maior ou igual a 2,5 cm), este grupo engloba fístulas que habitualmente resultaram de doenças crônicas ou radioterapia prévia.

Etiologia

Nos países menos desenvolvidos, a principal causa é a inadequada assistência ao trabalho de parto, enquanto, nos desenvolvidos, são as cirurgias ginecológicas, a citar histerectomia respondendo por 75% dos casos em ordem de frequência via laparoscópica seguida respectivamente pelas vias abdominal e, por último, vaginal, as principais responsáveis. Como fatores contribuintes destas temos endometriose, radioterapia e cesárea prévia. Além das cirurgias ginecológicas, contribuem para esta estatística cirurgias gastrointestinais, neoplasias, doenças inflamatórias intestinais, corpo estranho e doenças autoimunes.⁴

Apresentação Clínica

A incontinência urinária geralmente contínua e, geralmente, iniciada logo após trauma pélvico (habitualmente entre o 7º e 12º dias de pós-operatório) é o principal sintoma, porém é importante frisar que, no caso de radioterapia prévia, este sintoma pode surgir anos depois, relatos da literatura indicam que a média de tempo de surgimento de lesões vesicais é entre 21 e 27 meses (3 a 94 meses) após término do tratamento radioterápico. A paciente pode

apresentar febre, e a intensidade da perda urinária é diretamente proporcional ao diâmetro do orifício fistuloso.⁵

Diagnóstico

O exame físico é de vital importância em tratamento de FGU, isso porque inflamação ou necrose local são deveras importantes na tática cirúrgica e por vezes determinantes na decisão do melhor momento para realizar o tratamento cirúrgico. É preciso atentar para a consistência das paredes da vagina, cicatrizes ou radioterapia, tudo a fim de predizer o envolvimento ou não de estruturas adjacentes e, assim, melhor definir a abordagem cirúrgica. Nos casos em que a inspeção não é capaz de identificar o orifício fistuloso, pode-se lançar mão de um teste barato que consiste em preencher a bexiga com solução salina e azul de metileno e, posteriormente, introduzir um tampão na vagina e solicitar que a paciente deambule, uma vez identificada coloração azulada no tampão está feito diagnóstico.³ Todavia, outros exames podem ser necessários durante a investigação, como a cistoscopia, que se faz particularmente superior, uma vez que identifique a área em questão e permite, em casos selecionados, terapêutica local (cauterização de pequenos trajetos fistulosos; introdução de cateter ureteral quando necessário). Além desta, pode-se lançar mão de histeroscopia (para FVU), tomografia computadorizada com reconstrução de trato urinário e urografia excretora, ressonância magnética, ultrassonografia transvaginal (em especial nos casos de FUV) e até mesmo pielografia ascendente, nos casos que se mostraram inconclusivos com exames anteriores. Em suma, o método diagnóstico dependerá do tamanho e localização a ser definido, portanto, caso a caso.

Tratamento

O objetivo principal é proporcionar qualidade de vida, do ponto de vista social e emocional satisfatória às pacientes. O ponto mais crítico a ser frisado aqui é o tempo, haja vista que os dados fornecidos pela literatura revelam haver uma relação direta de sucesso na primeira abordagem, conquanto que esta se faça no

momento mais adequado. O que se recomenda é que se aguardem 2 a 4 meses após ter drenado a via urinária (cateterismo vesical e/ou cateter duplo “J”), o que culmina com a resolução de cerca de 1/4 das fístulas simples e pequenas e, no caso das complexas e maiores, diminui a inflamação local. As fístulas complexas, no entanto, que necessitam terapêutica cirúrgica em sua maioria podem ser reparadas com sucesso por via vaginal, abdominal ou laparoscópica.² Apesar de se entender a via de acesso como escolha do cirurgião, alguns princípios devem ser seguidos sempre: sutura em múltiplas camadas, sem tensão e com fios absorvíveis, identificação e retirada da área tecidual danificada e experiência do cirurgião. Eilber *et al.* publicaram, em 2003, sua experiência de 10 anos com reparo de FGU e concluíram que a interposição de tecido no reparo aumenta a taxa de sucesso deste nas FGU e que o *flap* peritoneal (onde um tecido é utilizado interpondo a fístula e a vagina) é o reparo transvaginal para FGU com menor morbidade e maior taxa de sucesso quando comparado a outras técnicas, especialmente em se tratando de reabordagens cirúrgicas.⁶

- a) O reparo vaginal é a via preferencial, exceto em se tratando de fístulas múltiplas em um mesmo órgão e concomitante com alça intestinal ou ureter. Duas técnicas podem ser empregadas neste tipo de reparo: procedimento de Latzko que consiste no fechamento por camadas separadamente da bexiga, fáscia do trajeto fistuloso e da vagina. Esta técnica possui boas taxas de sucesso e pode ser reutilizada em caso de falha mesmo que o tratamento anterior tenha sido esta técnica.

No fechamento por camadas, nesta ao contrário da anterior, primeiramente se separa a parede vesical da fístula, só então a fístula é ressecada e por fim o fechamento é feito separadamente por camadas.

- b) Reparo de Martius: preferencialmente utilizado em fístulas complexas e/ou associadas à radioterapia; consiste na tunelização intravaginal de um retalho de tecido subcutâneo agindo como *flap* vascular interposto entre a fístula e a vagina, com cerca de 6 cm de comprimento e 3 cm de largura.

- c) Técnicas abdominais necessitam abertura da parede vesical; pode ser transvesical (a abertura é feita pelo domo vesical e permite excisão da fístula com fechamento da bexiga perpendicular à vagina, porém não é possível a interposição de tecido entre os dois órgãos) ou extravesical (técnica que permite visualização do trajeto e do trígono vesical, com fechamento dos órgãos por camadas e permitindo a interposição de tecido, como o omento ou peritônio – *flap* peritoneal).
- d) Derivação urinária, indicada quando o paciente não apresenta condições clínicas para procedimentos maiores, ou a distorção de anatomia não permitir ressecções regradas descritas anteriormente. Utilizada em fístulas complexas geralmente pós-tratamento radioterápico.

FÍSTULAS ANOVAGINAIS, RETOVAGINAIS E COLOVAGINAIS

Trata-se da comunicação anormal entre o trato digestório baixo e a vagina, o que pode ser relatado pela paciente como corrimento vaginal ou odor fétido na vagina que persiste apesar de tratamento específico, ou como a eliminação de flatos e/ou fezes pela vagina.

Epidemiologia e Etiologia

A maioria é causada por trauma obstétrico, porém há um aumento no número de casos após procedimentos cirúrgicos pélvicos, o que faz desta uma complicação, hoje, mais frequente na vida do cirurgião oncológico que antigamente. Estudos recentes estimam a presença de fístula retovaginal em cerca de 10% das cirurgias retais com anastomose baixa. Também é relatado um aumento no número de fístulas após ressecção tumoral transanal. Os grampeadores de dupla linha de grampeamento são os principais causadores apontados, além de exposição prévia à quimioterapia ou radioterapia.⁴ No que tange à radioterapia é importante discernir entre as fístulas ocasionadas pelo crescimento tumoral durante o tratamento e aquelas causadas pelo dano local desta terapia às paredes vaginal e retal. Há ainda uma parcela de fístulas causadas

pelo crescimento tumoral não controlado de origem coloproctológica ou ginecológica.

Classificação

São agrupadas de acordo com os marcos anatômicos intestinais, assim temos:

- *Anovaginais*: localizadas abaixo da linha pectínea.
- *Retovaginais*: acima da linha pectínea até a junção retossigmoide.
- *Colovaginais*: acima do reto.

Apresentação Clínica

A presença de corrimento vaginal e/ou odor fétido na vagina, que persiste apesar de tratamento específico, ou a eliminação de flatos e/ou fezes pela vagina são os principais sintomas. Geralmente isto ocorre logo após a paciente realizar procedimento cirúrgico pélvico, porém assim como no caso da FGU, pode surgir até anos após a exposição à radioterapia pélvica prévia. A intensidade dos sintomas também é diretamente proporcional ao diâmetro do orifício fistuloso.

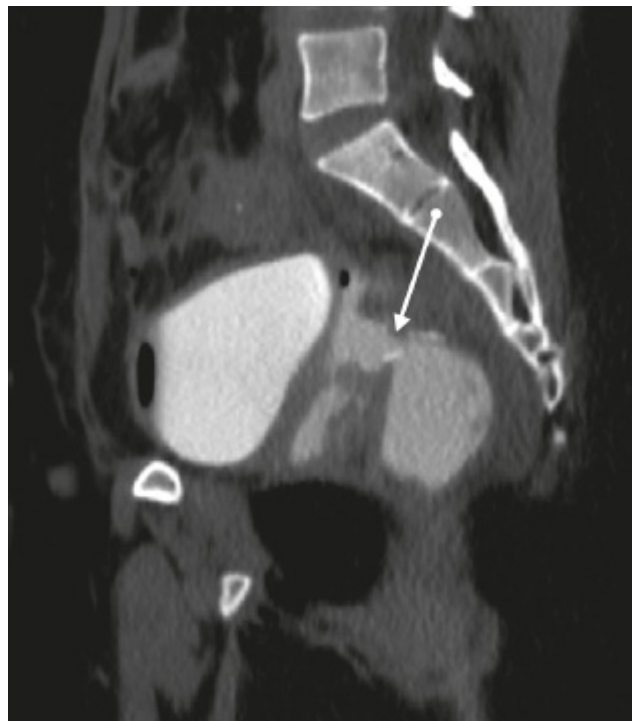


Fig. 66-1. Tomografia computadorizada onde a seta indica o extravasamento de contraste introduzido via retal para vagina.

Diagnóstico

Anamnese e exame físico apresentam-se como as mais importantes ferramentas diagnósticas aqui, uma queixa de presença de corrimento vaginal e/ou odor fétido na vagina que persiste apesar de tratamento específico, ou a eliminação de flatos e/ou fezes pela vagina, conforme supracitado, concluem o diagnóstico e deve levar o cirurgião a realizar um minucioso estudo pré-operatório para definir a abordagem terapêutica. Assim como na FGU, há casos em que a inspeção não é capaz de identificar o orifício fistuloso, e nestes o médico lançará mão de um arsenal diagnóstico (tomografia computadorizada [Figs. 66-1 e 66-2], ressonância magnética, ultrassonografia transvaginal/transanal, colonoscopia, histeroscopia) e, a depender destes, o cirurgião deve escolher a melhor via de acesso para reparo, podendo ser abdominal, perineal, vaginal ou anal, com ou sem retalhos miocutâneos.

Tratamento

O objetivo principal é proporcionar qualidade de vida, uma vez que esta entidade seja demasiada custosa a suas portadoras, do ponto de vista social, financeiro e psicológico. Como já discutido anteriormente, a escolha da técnica depende da experiência e preferência do cirurgião, no entanto, os mesmos princípios de sutura em múltiplas camadas, sem tensão e com fios absorvíveis, identificação e retirada da área tecidual danificada, devem ser seguidos. Recomenda-se dieta líquida 24-48 h antes do procedimento, limpeza do cólon 48 h antes do procedimento e antibioticoterapia profilática pré-operatória, conforme protocolo institucional. Em caso de fístulas pequenas e cujos sintomas sejam mínimos, uma abordagem conservadora com controle da diarreia pode ser tentada, no entanto, isso é raro, tendo as pacientes geralmente relato de sintomas intoleráveis. Fístulas altas devem ser reparadas preferencialmente pela técnica transabdominal com interposição de tecidos. Esta técnica permite uma melhor visualização, mobilização e reparo das estruturas envolvidas. No

caso das fístulas baixas é necessário primeiro avaliar envolvimento ou não do esfíncter anal.⁷ Após pode-se optar por duas (2) técnicas:

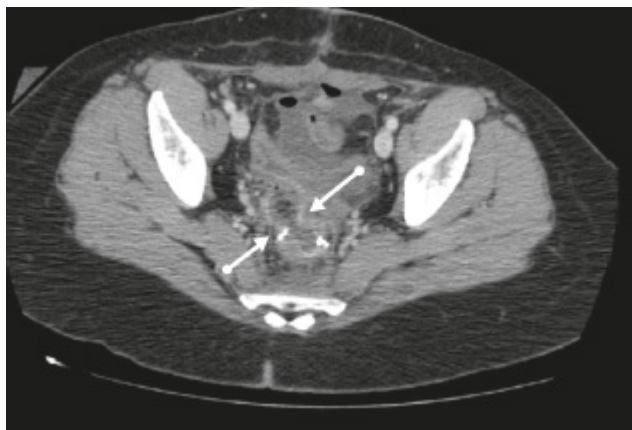


Fig. 66-2. Tomografia computadorizada onde as setas apontam para o ponto de comunicação entre a parede do reto (na área de anastomose prévia) e a vagina.

- *Transvaginal com interposição de flap tecidual:* a saber reparo de Martius e interposição m. grácil (interposição de tecido unilateral ou bilateral de uma porção do músculo grácil).
- *Transesfinctérica:* incisão transesfinctérica com mobilização da parede posterior da vagina, reparo e reconstrução dos esfíncteres externo e interno.

REFERÊNCIAS BIBLIOGRÁFICAS

1. Berger MB, Khandwala N, Fenner DE, Burney RE. Colovaginal Fistulas: Presentation, Evaluation and Management. *Female Pelvic Med Reconstr Surg* 2016;22(5):335-58.
2. Branco AW, Kondo W. Correção laparoscópica de fistula vesico-vaginal. *Rev Bras Videocir* 2006;4(3):122-30.
3. Almeida FG, Zambon JP. Fístulas Urogenitais In: Zerati Filho M, Nardozza Junior A, dos Reis RB. *Urologia Fundamental*. Sociedade Brasileira de Urologia 2010. p. 267-73.
4. Ommer A, Herold A, Berg E *et al.* German S3-Guideline: rectovaginal fistula. *Ger Med Sci* 2012;10:Doc. 15.
5. Georg P, Boni A, Ghabuous A *et al.* Time course of late rectal and urinary bladder side effects after MRI-guided adaptive

brachytherapy for cervical cancer. *Strahlenther Onkol* 2013;189:535-40.

6. Eilber KS, Kavalier E, Rodríguez LV *et al.* Ten-year experience with vesicovaginal fistula repair using tissue interposition. *J Urol* 2003;169:1033-6.
7. Angioli R, Penalver M, Muzil L *et al.* Guidelines of how to manage vesicovaginal fistula. *Crit Rev Oncol Hematol* 2003;48:295-304.

Parte XVI

Cuidados Paliativos

Cristiane Botelho Miranda Cárcano
Cristina Alessi da Rocha

DEFINIÇÃO

A dermatite radioterápica (radiodermatite, radiodermite ou dermatite por radiação) caracteriza-se pela inflamação da pele em decorrência da exposição à radiação ionizante. Cerca de 95% dos pacientes que recebem radioterapia (RT) para o tratamento do câncer desenvolverão algum sinal e/ou sintoma em detrimento da dermatite radioterápica (DR).^{1,2}

A RT é uma modalidade terapêutica que se utiliza de radiação eletromagnética de alta energia, com finalidade de destruir ou reduzir as células tumorais, podendo ter finalidade curativa ou paliativa.³ Pode provocar inúmeras reações cutâneas, além de sintomas como dor, desconforto, irritação, prurido e sensação de queimação.^{3,4} A utilização da RT pode ser limitada pelo desenvolvimento de alterações cutâneas induzidas pela radiação.⁴ Estas lesões podem ocorrer de forma aguda ou crônica, e estão relacionadas com a quantidade de radiação ionizante recebida (dose total), técnica de aplicação, local e variações individuais.⁵

A DR tem um impacto negativo na qualidade de vida dos pacientes, por causa da dor e do desconforto provocados pelas alterações cutâneas. Além disso, pode influenciar no resultado do

tratamento, podendo levar a suspensão ou parada temporária do mesmo.⁴

FISIOPATOLOGIA

A RT é muito utilizada no tratamento de tumores, de forma exclusiva ou associada (adjuvante, neoadjuvante). Utiliza prótons, nêutrons, elétrons para gerar energia ionizante e danificar as células tumorais, porém acaba lesionando a pele também, como efeito colateral.⁶

Imediatamente após receber a radiação ionizante, a pele fica exposta a radicais livres de oxigênio, e ocorrem alterações em seu DNA, em suas proteínas, lipídios e carboidratos. Células de resposta inflamatória são ativadas para corrigir o dano tecidual, e inicia-se o processo de cicatrização. A intensidade da lesão e o intervalo de tempo entre o início do tratamento e o surgimento das alterações cutâneas determinam a classificação em dano agudo ou crônico

As alterações agudas provocadas pela RT ocorrem por lesão direta à pele associadas à reação inflamatória local. O ressecamento da pele e a epilação resultam da destruição das glândulas sebáceas e dos folículos pilosos. Os efeitos crônicos induzidos pela RT ocorrem por lesão microvascular e por alterações sobre os tecidos conectivos dérmico e subcutâneo. A atrofia da pele ocorre por destruição dos fibroblastos dérmicos e insuficiente produção de colágeno.⁴

FATORES DE RISCO

Questões associadas ao tratamento radioterápico e intrínsecas ao paciente influenciam no surgimento da DR. Doses de radiação acima de 2 Gy (Grays) por fração podem levar ao desenvolvimento de alterações cutâneas.⁴ A dose total de radiação é um fator importante no desenvolvimento da toxicidade cutânea. Doses únicas de 16-22 Gy podem resultar em lesões cutâneas, porém se a dose for fracionada em frações de 2 Gy, por exemplo, a dose total pode ser aumentada até 30-40 Gy até que o dano cutâneo apareça. Portanto, há um aumento gradual da tolerância da pele à radiação com os tratamentos hiperfracionados.⁸

O uso de equipamentos com modulação da intensidade da radiação reduz os pontos quentes (*hot spots*) de radiação sobre a pele, fornecendo uma radiação mais homogênea e atuando na diminuição da gravidade da DR.⁸

A aplicação de produtos tópicos, como cremes ou sucralfatos na superfície da pele antes do tratamento radioterápico, pode atuar como um efeito *bolus*, aumentando a dose de radiação absorvida pela pele e influenciando na gravidade das reações cutâneas.⁴

O uso concomitante de RT e drogas anticâncer de uso sistêmico pode agravar a toxicidade radioterápica.³ Alguns fármacos colaboram para o aumento do dano celular quando usados em associação à RT e dificultam o reparo tecidual. Agentes quimioterápicos convencionais e terapia-alvo, como drogas inibidoras do EGFR (*Epidermal Growth Factor Receptor*), podem agravar a DR.⁸

Algumas áreas corporais são mais propensas ao desenvolvimento de DR, como face, pescoço, dorso superior e tórax superior.⁴

Alguns fatores associados ao paciente e relacionados com maior risco de reações cutâneas são a presença de dobras cutâneas na área do tratamento e a obesidade.⁴ Outros fatores, como idade avançada, sexo feminino, estado nutricional, condição geral da pele, a presença de comorbidades, como diabetes *mellitus* e doenças do tecido conectivo, imunossupressão e distúrbios radiosensíveis (p. ex.: xeroderma pigmentoso e ataxia telangiectasia), modulam o risco de reações cutâneas.⁸

APRESENTAÇÃO CLÍNICA

A DR aguda caracteriza-se pela presença de eritema de leve a intenso, associado ou não à bolha, ulceração e até necrose cutânea. Ocorre das primeiras horas até 90 dias do início do tratamento.⁵

As reações cutâneas surgem tipicamente dentro de 1 a 4 semanas do início do tratamento radioterápico.⁸

Existem algumas escalas de classificação de gravidade para a DR aguda. No [Quadro 67-1](#) observa-se o sistema de classificação

do Instituto Nacional do Câncer dos Estados Unidos (NCI – *Common Terminology Criteria for Adverse Events version 5.0*, CTCAE 5.0), um dos mais utilizados na prática clínica.⁹

Pode haver formação de bolhas e aumento do risco de infecção por *Staphylococcus aureus*. A infecção estafilocócica na DR aguda intensifica o processo inflamatório e dificulta a reparação da barreira epidérmica.¹⁰

Quadro 67-1. Escala de Classificação de Gravidade da Dermatite Radioterápica Segundo o National Cancer Institute Common Terminology Criteria for Adverse Events (CTCAE) *Version 5.0*

Scores	Características clínicas
Grau 0	Nenhuma alteração cutânea
Grau 1	Eritema leve ou descamação seca
Grau 2	Eritema moderado a intenso; descamação úmida e irregular, principalmente em dobras e sulcos; edema moderado
Grau 3	Descamação úmida confluyente, não confinada às dobras; edema intenso; sangramento cutâneo induzido por mínimo trauma ou abrasão
Grau 4	Consequências que ameaçam a vida; necrose cutânea ou ulceração de toda a derme; sangramento espontâneo do sítio envolvido
Grau 5	Morte

Outro sistema de classificação de toxicidade da DR foi desenvolvido pelo Radiation Therapy Oncology Group (RTOG) e pode ser verificado no [Quadro 67-2](#).¹¹

Na [Figura 67-1](#) é possível observar uma imagem de DR de grau 1, mostrando eritema e descamação seca.

Na [Figura 67-2](#) observa-se uma DR de grau 2 com eritema intenso, edema e descamação úmida principalmente em sulco inframamário.

A [Figura 67-3](#) mostra uma DR de grau 3 com eritema e edema intensos, além de descamação úmida confluyente.

A reepitelização se inicia cerca de 10 dias após a exposição à radiação. Na presença de dermatite severa (grau ≥ 3) com necrose cutânea, o tempo de reparação da lesão pode ser prolongado e como sequelas podem surgir fibrose e perda dos anexos cutâneos.¹²

A [Figura 67-4](#) mostra uma imagem de DR aguda de grau 4 com ulceração e sangramento espontâneo.

A apresentação clínica está relacionada com a dose radioterápica acumulada, conforme pode-se observar no [Quadro 67-3](#).^{8,13}

Quadro 67-2. Escala de classificação de gravidade da dermatite radioterápica segundo o Radiation Therapy Oncology Group (RTOG)

Scores	Características clínicas
Grau 0	Nenhuma alteração cutânea
Grau 1	Eritema, descamação seca, epilação
Grau 2	Eritema intenso, descamação úmida, edema
Grau 3	Descamação úmida confluyente, <i>pitting edema</i>
Grau 4	Ulceração, hemorragia, necrose
Grau 5	Morte



Fig. 67-1. Dermatite radioterápica aguda de grau 1. (Ver Prancha em Cores.)

O uso de quimioterápicos concomitante à radioterapia pode induzir casos mais severos e precoces de DR aguda, como descrito no uso de anti-EGFR, como o cetuximabe e o panitumumabe.¹⁴

A DR crônica pode ocorrer de 90 dias a anos após a radiação ionizante. Pode ocorrer desde edema em aspecto de casca de laranja, temporário, até atrofia cutânea, telangiectasia, hiper ou hipopigmentação (poiquilodermia). Pelo dano às glândulas sudoríparas e sebáceas, pode ocorrer xerose, alopecia e hiperqueratose. As áreas de pele danificadas são mais suscetíveis ao surgimento de tumores de pele. O couro cabeludo é mais resistente que a pele da face, pescoço e extremidades.¹⁵

A fibrose pós-RT é considerada uma das complicações mais difíceis de manejar e pode provocar dor intensa.⁸ Morfeia pós-RT é uma rara complicação tardia do tratamento que pode ocorrer em mulheres que fizeram RT para câncer de mama e está associada à considerável morbidade e dor, além de ter potencial para ser cosmeticamente desfigurante.¹⁶

Radiation recall dermatite representa um processo inflamatório agudo em área previamente irradiada, desencadeado pelo uso de fármacos, em especial alguns quimioterápicos, como taxanos (paclitaxel), bleomicina, antraciclinas (doxorrubicina, adriamicina), 5-fluorouracil, metotrexato, vimblastina.¹⁷ Esta reação ocorre predominantemente com agentes citotóxicos, mas há relatos de sua

associação com inibidores de BRAF, inibidores de EGFR e com drogas não quimioterapêuticas.⁸

O quadro clínico de *radiation recall* se caracteriza por eritema com ou sem edema, coincidente com campo previamente irradiado e ocorre meses a anos após o tratamento radioterápico.⁶ A incidência de *radiation recall* é rara, ocorrendo em até 6% dos pacientes submetidos à RT.⁸

Pacientes que foram submetidos à RT possuem risco aumentado a longo prazo de desenvolverem malignidades cutâneas, particularmente câncer de pele não melanoma.⁸ Na [Figura 67-5a](#) observam-se, uma área de DR crônica com atrofia, telangiectasias, áreas com hipo e hiperpigmentação, além de uma lesão de carcinoma basocelular (CBC) pigmentado. Na [Figura 67-5b](#) é mostrada a dermatoscopia da lesão pigmentada, com estruturas dermatoscópicas típicas de CBC pigmentado.

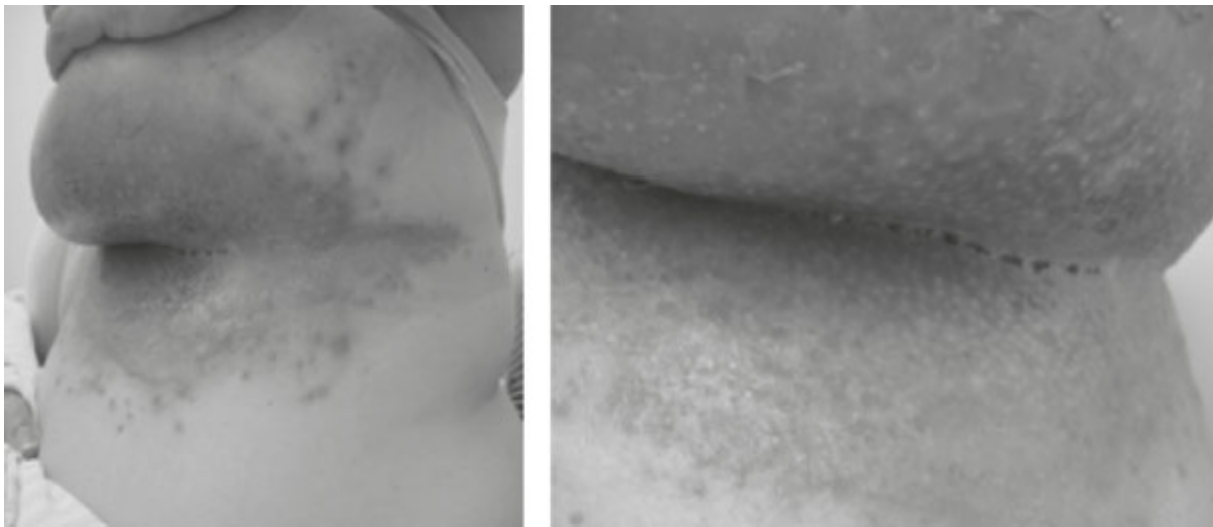


Fig. 67-2. Dermatite radioterápica aguda de grau 2. (Ver Prancha em Cores.)

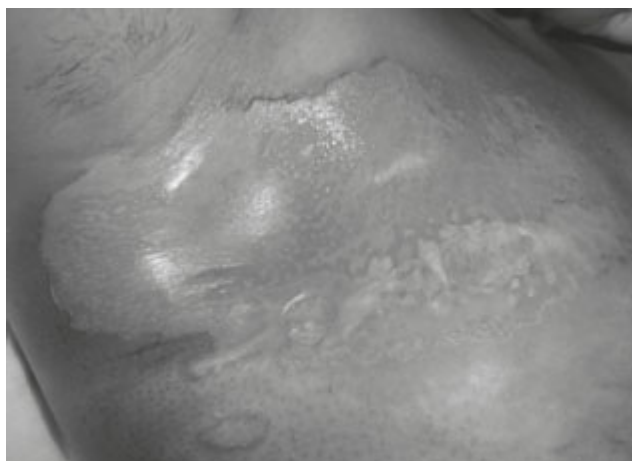


Fig. 67-3. Dermatite radioterápica aguda de grau 3. (Ver Prancha em Cores.)

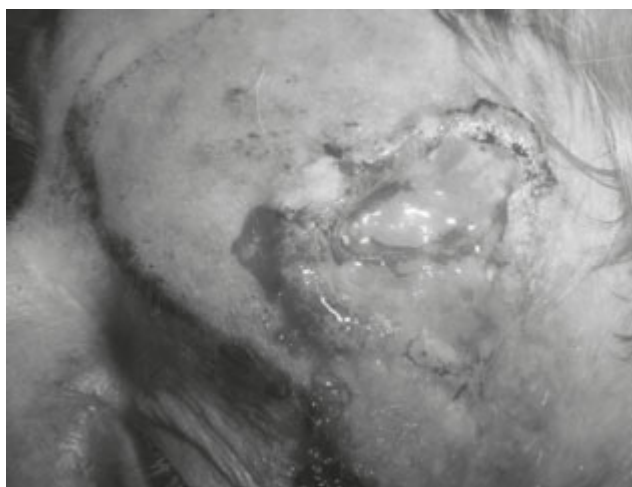


Fig. 67-4. Dermatite radioterápica aguda de grau 4. (Ver Prancha em Cores.)

Quadro 67-3. Características Clínicas da Dermatite Radioterápica Aguda em Relação ao Limiar de Dose do Tratamento Radioterápico

<i>Reação cutânea</i>	Tempo de surgimento	Limiar de dose (Gy)
Eritema	7 a 10 dias	6-10
Descamação seca	3 a 4 semanas	20-25
Descamação úmida	≥ 4 semanas	30-40
Ulceração	≥ 5 semanas	> 40

MANEJO TERAPÊUTICO E PREVENÇÃO DA DERMATITE RADIOTERÁPICA

A prevenção e o manejo terapêutico da DR são considerados grandes desafios na prática clínica. Apesar do grande número de estudos realizados com diversos agentes tópicos e curativos, muitos randomizados, os resultados são conflitantes. Até o momento, não há *guidelines* com base em evidências consistentes para guiar o tratamento e a prevenção da DR.⁴ A maioria da literatura disponível engloba estudos com amostragem pequena, de instituição única, não há um tratamento padronizado para comparação, ou seja, o grande número de vieses dificulta a avaliação entre os ensaios clínicos.¹³

Embora a literatura ainda não tenha definido um manejo ideal com base em evidência de alto nível para a DR, as recomendações em uso na prática clínica no momento não causaram nenhum dano ou interagiram de forma negativa com a RT.¹³

O tratamento da DR deve ser realizado em todos os pacientes que desenvolvem sinais e sintomas clínicos, apesar das medidas preventivas, particularmente se houver descamação úmida.¹³ Como as evidências clínicas são limitadas, e não há um manejo ideal, as recomendações são fundamentadas em consensos de especialistas, podendo haver discordâncias entre os grupos de especialistas.^{4,13}

Para pacientes com DR leve (grau 1) medidas de cuidados gerais com a pele são normalmente suficientes. Deve-se manter a área irradiada limpa e seca, evitar o uso de sabões irritantes, o uso de loções cremosas irritantes e perfumadas, evitar exposição solar, lesões por fricção, como, por exemplo, o uso de roupas apertadas.^{2,18}

Nos quadros de DR de graus 2 e 3, o tratamento deve objetivar a prevenção da infecção secundária. Diversos curativos podem ser usados, incluindo curativos absorventes, se houver descamação

úmida, como curativos não aderentes de hidrogel ou de hidrocoloide, porém não há um tipo de curativo ideal, padronizado, e as evidências científicas são inconclusivas até o momento.^{18,19}

O uso de corticosteroide tópico é controverso, porém parece trazer benefícios, já que reduz o tempo de eritema e o dano tecidual.²⁰ Vários estudos prospectivos e randomizados mostraram que os corticosteroides tópicos são eficazes na diminuição da intensidade da DR. Alguns estudos utilizaram o furoato de mometasona,^{20,21} outros foram conduzidos com a betametasona,^{22,23} porém não há estudos comparando a mometasona à betametasona.¹³

O corticosteroide tópico pode ser utilizado na prevenção da DR severa, além de atuar na redução dos sintomas, como o prurido. Um estudo que avaliou o uso profilático de um corticosteroide tópico de alta potência (creme de valerato de betametasona) durante o tratamento radioterápico para câncer de mama mostrou eficácia na prevenção e no controle da DR aguda.²⁴ O corticosteroide parece ter um papel muito mais importante no tratamento do que na prevenção da DR.²⁵

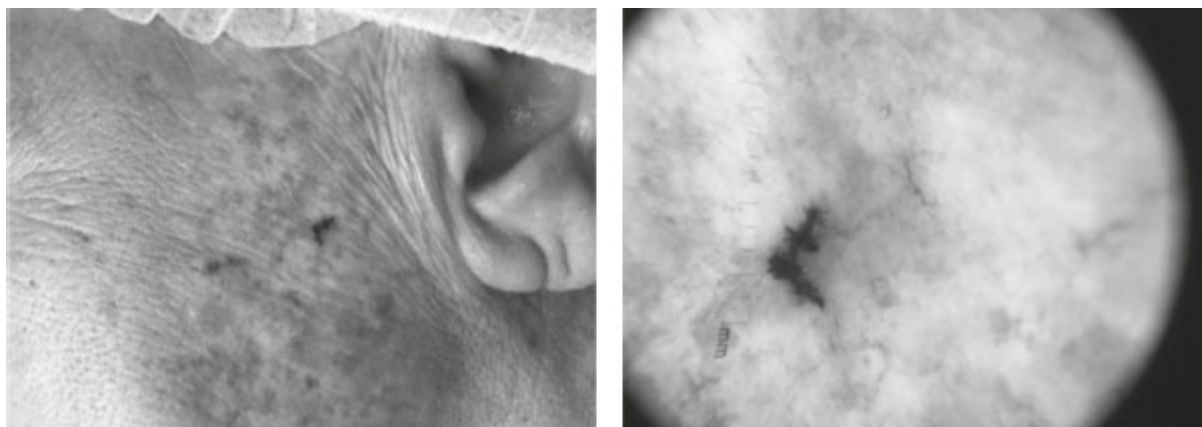


Fig. 67-5. Carcinoma basocelular pigmentado em área de RD crônica. (Ver Prancha em Cores.)

Há estudos conflitantes sobre a eficácia do gel de *aloe vera* como profilaxia da DR aguda.⁴ Uma revisão sistemática que avaliou o uso do gel de *aloe vera* na prevenção da DR não mostrou

evidência clínica de efetividade deste agente.²⁶ Em alguns estudos, o gel de *aloe vera* não mostrou eficácia na prevenção e tratamento da DR e pode até ter um efeito na piora da dor e da descamação durante a RT.^{27,28}

O Biafine®, uma emulsão de óleo em água que contém a substância ativa trolamina, não mostrou benefícios quando comparado a outros agentes na profilaxia da DR aguda.^{4,29}

A limpeza da pele irradiada com água morna e sabão com pH neutro ou não alcalino é apoiada pela maioria dos estudos.⁸

Na presença de reações cutâneas severas (grau 4), como necrose e ulceração, o tratamento deve envolver uma abordagem multidisciplinar e suspensão da RT. Pode ser necessária a realização de desbridamento e técnicas cirúrgicas de reconstrução.⁸

Os avanços tecnológicos no tratamento radioterápico, como a entrega de RT homogeneizada e o uso de cronogramas fracionados, poderão contribuir para diminuir os danos à pele.⁸

O Quadro 67-4 sumariza alguns pontos essenciais no manejo da DR.

No fenômeno *radiation recall* o tratamento pode envolver o uso de anti-histamínicos orais, corticosteroide tópico, e a suspensão ou a manutenção da droga desencadeante depende da intensidade da reação cutânea.³⁰

Na ocorrência de carcinomas cutâneos sobre área irradiada, preconiza-se a exérese cirúrgica,¹⁵ porém estudos utilizando imiquimod ou 5-fluorouracil tópicos associado à terapia fotodinâmica também foram descritos para tumores superficiais.³¹

A pentoxifilina isolada ou associada à vitamina E (tocoferol) pode ser utilizada para tratar e prevenir a fibrose induzida pela radiação.^{8,32}

CONCLUSÃO

Pacientes submetidos ao tratamento radioterápico podem desenvolver reações cutâneas agudas e/ou crônicas que podem limitar o tratamento e interferir de forma negativa na qualidade de vida. É importante monitorar o aparecimento dos sinais e sintomas e

graduar a intensidade das reações cutâneas. Até o momento, o manejo terapêutico e a prevenção da DR ainda são considerados um grande desafio na prática clínica. O tratamento deve ser orientado de acordo com a gravidade da reação cutânea, e a RT pode ser interrompida, se necessário. A DR deve ser avaliada para descartar infecção secundária, e os cuidados de suporte e o envolvimento de uma equipe multiprofissional são fundamentais nas reações graves.

AGRADECIMENTOS

Ao Departamento de Radioterapia do Hospital de Amor de Barretos, particularmente à enfermeira Talita Lozano Vanzelli, pelo fornecimento de algumas imagens inseridas neste capítulo.

Quadro 67-4. Sumário de recomendações na abordagem da dermatite radioterápica aguda.

Avaliação pré-radioterápica

- Avaliar fatores de risco para reações cutâneas, rastrear o paciente para síndromes de hipersensibilidade cutânea
- Avaliar uso de quimioterapia com potencial para causar dermatite
- Examinar o paciente quanto ao escore de dermatite (RTOG/CTCAE)* basal

Durante o tratamento radioterápico

- Proteger a pele da exposição solar
- Minimizar o trauma cutâneo: evitar movimentos excessivos, exposição a temperaturas extremas, uso de roupas apertadas
- Lavar suavemente a pele com sabão neutro e água

Planejamento do tratamento radioterápico

- Planejamento dosimétrico
- Melhorar a homogeneidade da dose para minimizar as regiões de *hot spot*

- Considerar o hipofracionamento (modulação da intensidade da radiação)

Opções para prevenção e tratamento da dermatite radioterápica

- Hidratantes (não usar antes da sessão de radioterapia)
- Examinar o paciente quanto ao escore de dermatite (RTOG/CTCAE)*
- Considerar o uso de corticosteroides tópicos (mometasona, betametasona)
- Considerar o uso de curativos absorventes para áreas de descamação úmida
- Monitorar e tratar infecções secundárias, se necessário
- Monitorar resolução clínica

*RTOG (*Radiation Therapy Oncology Group*), CTCAE (*Common Terminology Criteria for Adverse Events*). Adaptado de Kole AJ et al. *Acute radiation dermatitis in breast cancer patients: challenges and solutions*. Radiation Therapy. Dermatol Ther, 2016.

REFERÊNCIAS BIBLIOGRÁFICAS

1. Singh M, Alavi A, Wong R, Akita S. Radiodermatitis: A Review of Our Current Understanding. *Am J Clin Dermatol* 2016;17(3):277-92.
2. Ryan JL. Ionizing radiation: the good, the bad, and the ugly. *J Invest Dermatol* 2012;132(3 Pt 2):985-93.
3. Bensadoun RJ, Humbert P, Krutman J *et al*. Daily baseline skin care in the prevention, treatment, and supportive care of skin toxicity in oncology patients: recommendations from a multinational expert panel. *Cancer Manag Res* 2013;5:401-8.
4. Hegedus F, Mathew LM, Schwartz RA. Radiation dermatitis: an overview. *Int J Dermatol* 2017;56(9):909-14.
5. Goldschmidt H, Sherwin WK. Reactions to ionizing radiation. *J Am Acad Dermatol* 1980;3(6):551-79.
6. Hernandez Aragues I, Pulido Perez A, Suarez Fernandez R. Inflammatory Skin Conditions Associated with Radiotherapy.

Actas Dermosifiliogr 2017;108(3):209-20.

7. Denham JW, Hauer-Jensen M. The radiotherapeutic injury--a complex 'wound'. *Radiother Oncol* 2002;63(2):129-45.
8. Bray FN, Simmons BJ, Wolfson AH, Nouri K. Acute and Chronic Cutaneous Reactions to Ionizing Radiation Therapy. *Dermatol Ther* (Heidelb) 2016;6(2):185-206.
9. US Department of Health and Human Services. Common Terminology Criteria for Adverse Events (CTCAE). Version 5.0 Published: November 27, 2017.
10. Hill A, Hanson M, Bogle MA, Duvic M. Severe radiation dermatitis is related to *Staphylococcus aureus*. *Am J Clin Oncol* 2004;27(4):361-3.
11. Cox JD, Stetz J, Pajak TF. Toxicity criteria of the Radiation Therapy Oncology Group (RTOG) and the European Organization for Research and Treatment of Cancer (EORTC). *Int J Radiat Oncol Biol Phys* 1995;31(5):1341-6.
12. Benderitter M, Gourmelon P, Bey E *et al*. New emerging concepts in the medical management of local radiation injury. *Health Phys* 2010;98(6):851-7.
13. Kole AJ, Kole L, Moran MS. Acute radiation dermatitis in breast cancer patients: challenges and solutions. *Breast Cancer*(Dove Med Press) 2017;9:313-23.
14. Bernier J, Bonner J, Vermorken J, *et al*. Consensus guidelines for the management of radiation dermatitis and coexisting acne-like rash in patients receiving radiotherapy plus EGFR inhibitors for the treatment of squamous cell carcinoma of the head and neck. *Ann Oncol* 2008;19(1):142-9.
15. Hymes SR, Strom EA, Fife C. Radiation dermatitis: clinical presentation, pathophysiology, and treatment 2006. *J Am Acad Dermatol* 2006;54(1):28-46.
16. Walsh N, Rheaume D, Barnes P *et al*. Post irradiation morphea: an under recognized complication of treatment for breast cancer. *Hum Pathol* 2008;39(11):1680-8.
17. Ristic B. Radiation recall dermatitis. *Int J Dermatol* 2004;43(9):627-31.
18. McQuestion M. Evidence-based skin care management in radiation therapy: clinical update. *Semin Oncol Nurs*

2011;27(2):e1-17.

19. Macmillan MS, Wells M, MacBride S *et al.* Randomized comparison of dry dressings versus hydrogel in management of radiation-induced moist desquamation. *Int J Radiat Oncol Biol Phys* 2007;68(3):864-72.
20. Bostrom A, Lindman H, Swartling C *et al.* Potent corticosteroid cream (mometasone furoate) significantly reduces acute radiation dermatitis: results from a double blind, randomized study. *Radiother Oncol* 2001;59(3):257-65.
21. Miller RC, Schwartz DJ, Sloan JA *et al.* Mometasone furoate effect on acute skin toxicity in breast cancer patients receiving radiotherapy: a phase III double blind, randomized trial from the North Central Cancer Treatment Group N06C4. *Int J Radiat Oncol Biol Phys* 2011;79(5):1460-6.
22. Omidvari S, Saboori H, Mohammadianpanah M *et al.* Topical betamethasone for prevention of radiation dermatitis. *Indian J Dermatol Venereol Leprol* 2007;73(3):209.
23. Ulf E, Maroti M, Serup J, Falkmer U. A potent steroid cream is superior to emollients in reducing acute radiation dermatitis in breast cancer patients treated with adjuvant radiotherapy. A randomized study of betamethasone versus two moisturizing creams. *Radiother Oncol* 2013;108(2):287-92.
24. Ulf E, Maroti M, Serup J *et al.* Prophylactic treatment with a potent corticosteroid cream ameliorates radiodermatitis, independent of radiation schedule: A randomized double blinded study. *Radiother Oncol* 2017;122(1):50-3.
25. Schmuth M, Wimmer MA, Hofer S *et al.* Topical corticosteroid therapy for acute radiation dermatitis: a prospective, randomized, double-blind study. *Br J Dermatol* 2002;146(6):983-91.
26. Richardson J, Smith JE, McIntyre M *et al.* Aloe vera for preventing radiation-induced skin reactions: a systematic literature review. *Clin Oncol (R Coll Radiol)* 2005;17(6):478-84.
27. Williams MS, Burk M, Loprinzi CL *et al.* Phase III double blind evaluation of an aloe vera gel as a prophylactic agent for radiation-induced skin toxicity. *Int J Radiat Oncol Biol Phys* 1996;36(2):345-9.

28. Heggie S, Bryant GP, Tripcony L *et al.* A Phase III study on the efficacy of topical aloe vera gel on irradiated breast tissue. *Cancer Nurs* 2002;25(6):442-51.
29. Fisher J, Scott C, Stevens R *et al.* Randomized phase III study comparing Best Supportive Care to Biafine as a prophylactic agent for radiation-induced skin toxicity for women undergoing breast irradiation: Radiation Therapy Oncology Group (RTOG) 97-13. *Int J Radiat Oncol Biol Phys* 2000;48(5):1307-10.
30. Kim GE, Song HS, Ahn KJ, Kim YS. Radiation recall dermatitis triggered by sorafenib after radiation therapy for hepatocellular carcinoma. *Radiat Oncol J* 2017;35(3):289-94.
31. Vidal D, Matias-Guiu X, Alomar A. Open study of the efficacy and mechanism of action of topical imiquimod in basal cell carcinoma. *Clin Exp Dermatol* 2004;29(5):518-25.
32. Jacobson G, Bhatia S, Smith BJ *et al.* Randomized trial of pentoxifylline and vitamin E vs. standard follow-up after breast irradiation to prevent breast fibrosis, evaluated by tissue compliance meter. *Int J Radiat Oncol Biol Phys* 2013;85(3):604-8.

Cristiane Botelho Miranda Cárcano
Cristina Alessi da Rocha

INTRODUÇÃO

O herpes-zóster (HZ) é uma infecção viral aguda causada pela reativação do vírus varicela-zóster (VZV). O VZV pertence à família *herpesviridae*, da subfamília *alphaherpesvirinae human* (HHV-3), gênero *Varicellovirus*, e é o causador das doenças varicela e HZ. Trata-se de um vírus altamente contagioso e disseminado por todo o mundo.¹ A infecção pelo VZV causa duas doenças clinicamente distintas, o primeiro contágio resulta na varicela, e o HZ ocorre por reativação da infecção latente, presente nos gânglios nervosos sensoriais.²

Nos Estados Unidos, o HZ ocorre em aproximadamente 1 milhão de pessoas por ano, causando substancial morbidade.³ As taxas de incidência do HZ aumentam com a idade, acometendo preferencialmente adultos acima dos 60 anos. Apenas 5% dos casos ocorrem em menores de 15 anos de idade.⁴

O HZ clinicamente se manifesta com um *rash* vesicular de distribuição unilateral e comumente doloroso. Pode cursar com complicações, sendo a principal delas a neuralgia pós-herpética (NPH), mas também podem ocorrer comprometimentos oftálmico e neurológico. A NPH é caracterizada por uma dor neuropática crônica que pode ser altamente debilitante.⁵ O comprometimento oftálmico pode ocorrer em 10 a 25% dos pacientes e pode resultar em perda da visão. Aproximadamente 3% dos pacientes com HZ

são hospitalizados, particularmente os que possuem uma ou mais condições imunossupressoras.³

A varicela e o HZ disseminado podem ser considerados uma emergência dermatológica em pacientes imunocomprometidos e em mulheres grávidas.

FISIOPATOLOGIA

O VZV é de transmissão aérea, por meio de gotículas de saliva. Habitualmente infecta o homem na primeira infância, onde inicialmente ocorre uma disseminação hematogênica que causa a varicela. A varicela cursa exantema difuso inicialmente maculopapular e que evolui com aspecto vesicular e/ou pustuloso. Subsequentemente, surgem as crostas. As lesões cutâneas são polimórficas e são comumente acompanhadas de prurido. Podem ocorrer febre, anorexia, cefaleia e dor abdominal. Além disso, o vírus atinge os nervos periféricos e através deles chega aos gânglios nervosos, lá permanecendo em latência por muitos anos. Em um determinado momento, o vírus é reativado e chega novamente à pele, causando a erupção cutânea conhecida como HZ.^{6,7} Estímulos externos e imunológicos favorecem a reativação viral.

Desde a introdução da vacinação contra a varicela, as taxas de infecção primária pelo VZV têm diminuído drasticamente.⁸

FATORES DE RISCO

O HZ ocorre preferencialmente na idade adulta, com risco adquirido de 20% após os 50 anos.⁹ O aumento da idade representa um fator de risco importante para o HZ. A incidência de HZ em pessoas com mais de 75 anos de idade é maior que 10 casos por 1.000 pessoas/ano.² A idade é o principal fator de risco para o desenvolvimento do HZ.³

Outro fator de risco bem definido para o HZ é o comprometimento da imunidade mediada por células, situação que pode ocorrer em pacientes com neoplasias, particularmente nas doenças linfoproliferativas, em uso de drogas imunossupressoras e

receptores de transplante de órgãos.² Uma forma mais grave da doença, generalizada, pode ser notada em pacientes com imunodeficiências, como transplantados de células hematopoiéticas, linfomas, leucemias, AIDS e terapia com corticosteroide oral. Há relatos de ocorrência de 20 a 53% de HZ em pacientes transplantados de células hematopoiéticas.¹⁰

Alguns tratamentos com quimioterápicos, como ciclofosfamida e doxorrubicina, também são favoráveis ao surgimento da doença.¹¹ A deficiência da imunidade celular favorece a reativação viral.¹ As taxas de recorrência do HZ em pacientes imunocomprometidos podem chegar a 12%.¹² O HZ também tem uma incidência mais elevada em pacientes HIV positivos.²

Pacientes com artrite reumatoide e que fazem uso de tofacitinibe, um inibidor da Janus Quinase 1 e 3 (JAK-1 e 3) possuem risco elevado de infecção pelo HZ, principalmente se associado ao uso de corticosteroide sistêmico.¹³

APRESENTAÇÃO CLÍNICA

O HZ é resultado da reativação do vírus latente no gânglio neural que caminha até a periferia do nervo e chega à pele.⁷ Na pele, o vírus desencadeia uma erupção cutânea unilateral em um dermatomo específico, com vesículas sobre base eritematosa, acompanhados ou precedidos de dor neurálgica. Comumente, as lesões não ultrapassam a linha média. O dermatomo mais frequentemente acometido é o torácico, seguido do cranial, lombar e cervical. A dor neurálgica ocorre em até 95% dos pacientes acima de 50 anos.⁷

Na [Figura 68-1](#) observam-se lesões cutâneas características do HZ típico acometendo a região intercostal direita. A [Figura 68-1a](#) mostra lesões cutâneas eritematosas intercaladas com pele normal, de configuração linear, dermatomal, e [Figura 68-1b](#), em uma visão aproximada, notam-se as lesões características de vesículas e crostículas, agrupadas, sobre base eritematosa. Na [Figura 68-2](#) notam-se vesículas agrupadas sobre base eritematosa.

A dor é o sintoma mais comum do HZ, e cerca de 75% dos pacientes apresentam um pródromo de dor no dermatomo afetado antes do aparecimento do *rash*.¹⁵

Na forma disseminada da doença (Fig. 68-3), as lesões se propagam, e são vistas mais de 20 lesões vesiculares distantes do dermatomo inicialmente comprometido.⁹ As formas disseminadas também estão relacionadas com aumento do risco de hepatite, encefalite e pneumonite.⁷ Pacientes imunocomprometidos possuem um risco mais elevado de HZ disseminado. Pacientes com disseminação cutânea possuem maior risco de ter envolvimento visceral (SNC, pulmões, fígado e trato gastrointestinal) e pode ser fatal.¹⁶

Uma forma especial da doença ocorre quando o vírus acomete o gânglio geniculado, lesionando os nervos facial e auditivo, o que leva à paralisia facial e zumbido ou distúrbio da audição, recebendo o nome de Síndrome de Ramsay-Hunt. Também pode ocorrer comprometimento do nervo trigêmeo, e em especial se acometer o ramo oftálmico, leva à lesão da córnea. O acometimento exclusivo do nervo facial leva à paralisia de Bell.⁷

O HZ oftálmico pode cursar com diversos quadros inflamatórios intraoculares, como conjuntivite, ceratite, esclerite, episclerite, uveíte, coroidite, neurite retrobulbar entre outros. A presença de lesões vesiculosas na ponta nasal (sinal de Hutchinson) sugere acometimento do ramo nasociliar do nervo trigêmeo. A avaliação oftalmológica deve ser garantida para tratamento precoce e prevenção de complicações, particularmente da perda da visão.¹⁷

Formas incomuns de HZ também podem ocorrer, como meningite asséptica, mielite transversa e encefalite.¹⁸ Apresentações atípicas do HZ e suas complicações associadas são consideradas grandes desafios diagnóstico e terapêutico.¹⁴

Cerca de 10% dos doentes persiste com neuralgia por meses, mesmo após tratamento e completa cicatrização das lesões de pele.¹⁹

ABORDAGEM DIAGNÓSTICA

A forma clássica da doença é diagnosticada clinicamente, porém, formas atípicas podem ser confundidas com herpes simples, reação a drogas ou outras infecções. Testes confirmatórios incluem pesquisa direta do vírus (teste de Tzanck), que é incapaz de diferenciar herpes simples do HZ, porém a presença de células de inclusão viral confirma a presença de herpes-vírus.¹¹

O padrão ouro é a cultura viral, pouco utilizada pela demora no resultado, dada a importância da terapêutica precoce. A metodologia de escolha hoje em dia é a pesquisa da reação em cadeia da polimerase (PCR) na pele ou líquido das vesículas, que é capaz de encontrar o DNA viral e confirmar o diagnóstico.²⁰

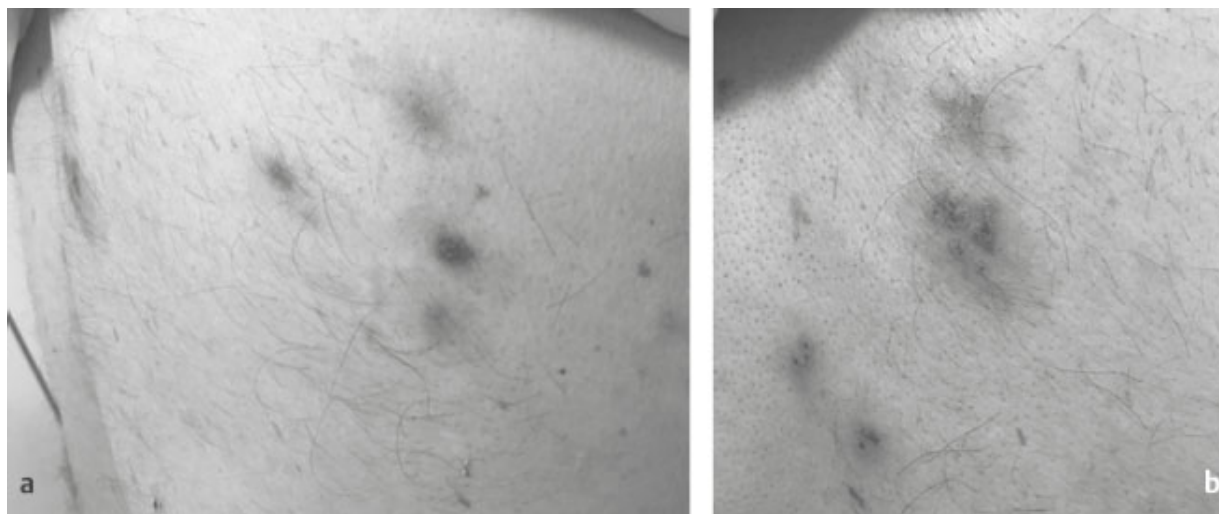


Fig. 68-1. (a,b) Herpes-zóster intercostal. (Imagens utilizadas com a permissão da Dra. Renata Alves.) – (Ver Prancha em Cores.)

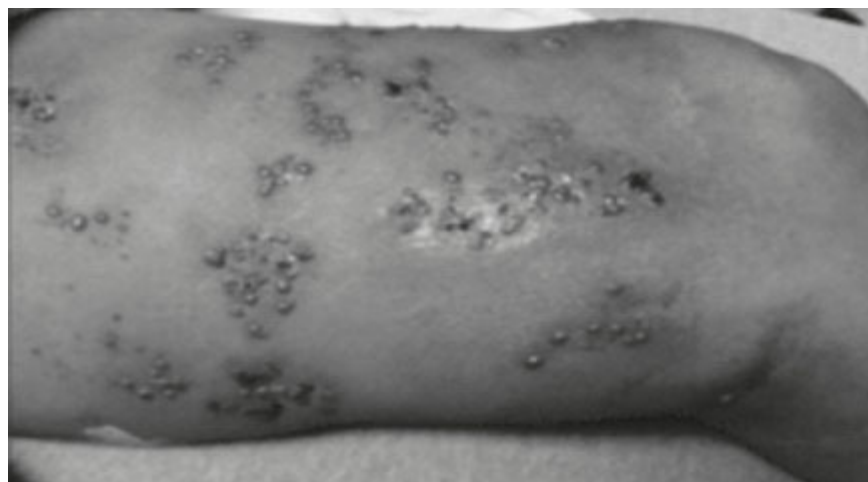


Fig. 68-2. Herpes-zóster. (Imagem utilizada com a permissão do Dr. Harry Dao Jr.¹⁴) – (Ver Prancha em Cores.)



Fig. 68-3. Herpes-zóster disseminado. (Imagem utilizada com a permissão do Dr. Harry Dao Jr.¹⁴) – (Ver Prancha em Cores.)

ABORDAGEM TERAPÊUTICA

O início precoce do tratamento com terapia antiviral, em especial nas primeiras 72 horas da doença, minimiza o dano cutâneo e a dor, além de diminuir o risco de neuralgia prolongada.⁷ Lesões disseminadas ou pacientes com imunodeficiência podem necessitar de internação hospitalar e terapia endovenosa.¹⁴

O tratamento do HZ acelera a cicatrização das lesões, limita a severidade e a duração da dor aguda e crônica e reduz as complicações. Em pacientes imunocomprometidos, o tratamento do HZ objetiva reduzir o risco de disseminação da doença.²

No [Quadro 68-1](#) notam-se as drogas antivirais e os esquemas de tratamento do HZ localizado em pacientes imunocompetentes. As drogas de escolha são aciclovir, o mais comumente utilizado, valaciclovir e fanciclovir, os dois últimos de mais fácil posologia. O valaciclovir e o fanciclovir são pró-drogas do aciclovir e do penciclovir, respectivamente. Todas as três (3) drogas são consideradas seguras e são bem toleradas. Em pacientes com insuficiência renal, é necessário fazer o ajuste da dose. Não é indicado o uso de antivirais tópicos no manejo terapêutico do HZ.

Nenhuma das drogas antivirais é aprovada pela FDA (Food and Drug Administration) para uso em mulheres grávidas.²

Quadro 68-1. Tratamento do Herpes-Zóster em Adultos
Imunocompetentes com Doença Localizada

Aciclovir (Zovirax®)	800 mg a cada 4 h (5 vezes ao dia) por 7 a 10 dias*
Valaciclovir (Valtrex®)	1.000 mg a cada 8 h (3 vezes ao dia) por 7 dias*
Fanciclovir (Penvir®)	500 mg a cada 8 h (3 vezes ao dia) por 7 dias*

*Posologia recomendada para pacientes com função renal normal.

A primeira linha de tratamento do HZ em pacientes pediátricos é o aciclovir na dose de 20 mg/kg, 4 vezes ao dia, até o máximo de 800 mg 4 vezes ao dia por 7 a 10 dias. Em pacientes severamente imunocomprometidos ou pacientes com doença ocular ou disseminação visceral, aciclovir intravenoso (10 mg/kg a cada 8 h) é o tratamento recomendado.¹⁴ O tempo de uso do antiviral nestes casos é controverso na literatura, devendo-se considerar manter o tratamento por pelo menos 21 dias.

O uso de corticosteroide sistêmico associado ao antiviral é indicado para reduzir a duração da dor neural e prevenir o dano neural, por sua ação anti-inflamatória. É recomendado dose de 60 mg ao dia de prednisona, por 10 a 14 dias.⁷ Porém, um estudo de metanálise que avaliou a eficácia do uso de corticosteroide na prevenção da NPH não mostrou evidência suficiente de efetividade e segurança neste desfecho clínico.²¹ Portanto, o uso desse medicamento deve ser avaliado individualmente. Pacientes com risco de toxicidade, como diabéticos, por exemplo, devem evitar o uso de corticosteroides. Seu uso sem a utilização concomitante do antiviral não é recomendado.²

A dor neuropática aguda pode variar de leve à intensa e deve ser manejada com analgésicos comuns, opioides e/ou anti-inflamatórios não esteroides. O paciente deve ser orientado a realizar a higiene local diária para evitar infecção bacteriana secundária.

NEURALGIA PÓS-HERPÉTICA

A complicação mais comum do HZ, a neuralgia pós-herpética (NPH), é definida como a dor que persiste por mais de 3 meses após a cura das lesões cutâneas.⁷ Ocorre em 5 a 22% dos casos, sendo de maior risco em pacientes acima dos 50 anos e nos que apresentam alguma imunodeficiência.¹¹ Há algumas evidências que o tratamento com fanciclovir e valaciclovir pode diminuir a incidência da NPH.²⁰ Relatos também de que a vacina contra o HZ (cepa Oka) previne a NPH surgem em 66% dos casos.²⁰

O manejo da NPH é realizado com medicamentos que modulam a dor. Pode ser utilizado antidepressivos tricíclicos (amitriptilina e nortriptilina), antiepilépticos (gabapentina e pregabalina), inibidores de recaptação da serotonina e noradrenalina (venlafaxina e duloxetina). Terapia tópica com *patch* de lidocaína e capsaicina em creme ou loção também faz parte do arsenal terapêutico.¹ No [Quadro 68-2](#) observam-se algumas opções de tratamento para a NPH.

PROFILAXIA

Takahashi *et al.* desenvolveram uma vacina que utiliza vírus vivo atenuado contra a varicela, em 1974.²² Atualmente, a vacina é utilizada em todo o mundo, em crianças, e duas doses fornecem 98% de proteção contra a varicela. Houve uma dramática queda de hospitalização e morte pela varicela nos Estados Unidos após o uso rotineiro da vacina.²³ No calendário Nacional (SUS) atual, a vacina contra a varicela é dada aos 15 meses de vida, e um reforço é fornecido aos 4 anos de idade.

Em 2005, foram publicados resultados de um estudo conduzido por Oxman *et al.* mostrando efetividade da vacina contra o HZ (Zostavax®, cepa Oka produzida pela Merck) em pessoas imunocompetentes acima de 60 anos na proteção contra o HZ e a NPH em 50 a 60% dos indivíduos.²⁴ Esta vacina de vírus atenuado se mostrou eficaz na prevenção da varicela e do HZ e é indicada para adultos imunocompetentes acima dos 50 anos.⁹ A vacina é

contraindicada para pacientes em imunodepressão confirmada, podendo até mesmo ser fatal.²⁵

Nos pacientes com doenças hematológicas, é indicada pelo menos 24 meses após transplante de medula óssea, na ausência de doença enxerto *versus* hospedeiro e com células T CD 4 acima de 200 células/microlitro. Também se orienta, no pré-transplante, remissão da doença por pelo menos 4 semanas, mas não antes de 3 meses da última quimioterapia ou pelo menos 12 meses de terapia anticélulas B.¹⁰

Em 2017, foi aprovada a vacina recombinante contra o HZ que contém a glicoproteína E do VZV juntamente com o adjuvante AS01B (Shingrix®, produzida pela Glaxo Smith Kline) inicialmente nos Estados Unidos, mas já aprovada no Brasil, indicada para adultos acima de 50 anos com sorologia negativa para varicela.¹ Esta vacina tem mostrado maior grau de proteção contra o HZ, e a NPH em vários estudos e atualmente está sendo testada quanto à segurança e imunogenicidade em pacientes imunocomprometidos.²⁶ Estudos em pacientes com AIDS e transplantados de células hematopoiéticas estão sendo feitos para comprovar a segurança da vacina.¹⁰

Quadro 68-2. Opções de Tratamento da Neuralgia Pós-Herpética

Medicamento	Posologia	Potenciais eventos adversos
Amitriptilina	25 a 100 mg/dia	Sonolência, ganho de peso, glaucoma, alterações na condução ventricular
Gabapentina	900 a 3.600 mg/dia	Tontura, sonolência, dor de cabeça, boca seca
Pregabalina	75 a 450 mg/dia	Tontura, sonolência, aumento do apetite, aumento do peso, irritabilidade, constipação, edema periférico, boca seca
Venlafaxina	37,5 a 225 mg/dia	Insônia, dor de cabeça, tontura, náusea, constipação,

		boca seca, fadiga
Duloxetina	30 a 120 mg/dia	Boca seca, náuseas, dor de cabeça, palpitação, diarreia, fadiga, tontura, sonolência, constipação
Capsaicina creme ou loção (0,025 a 0,075%)	Aplicar na região afetada (pele intacta) 2 a 3 vezes ao dia	Sensação de queimação, eritema e dor após aplicação do creme, prurido, ressecamento da pele

Outra forma de profilaxia, especificamente para pacientes transplantados, é o uso prolongado de antivirais, como aciclovir e valaciclovir, em doses profiláticas.⁷ Após transplante de células-tronco hematopoiéticas é recomendada a profilaxia com antiviral por 1 ano e após transplante de órgão sólido por 6 meses.¹⁴

PONTOS ESSENCIAIS

- O HZ é uma infecção aguda provocada pela reativação do VZV causando um *rash* unilateral, de distribuição dermatomal, associado à dor neuropática (dor em pontada ou queimação).
- A apresentação clínica típica é de fácil diagnóstico, porém o HZ pode-se manifestar com inúmeras formas atípicas, principalmente em pacientes com função imune prejudicada.
- A NPH é uma complicação razoavelmente comum do HZ e é caracterizada por uma dor crônica ou disestesia na região previamente afetada pelo HZ. A NPH pode ser incapacitante e deve ser tratada com medicamentos moduladores da dor.
- O HZ disseminado pode causar complicações viscerais potencialmente fatais, como encefalite, hepatite e pneumonite, portanto o médico deve manter um limiar baixo para a suspeição clínica, principalmente em pacientes imunocomprometidos, e iniciar tratamento antiviral o mais rapidamente possível nestes casos.
- A terapia antiviral deve ser iniciada preferencialmente nas primeiras 72 horas do início do quadro clínico.

- Em pacientes severamente imunocomprometidos, nos quadros de HZ disseminado, com comprometimento visceral e oftálmico deve-se realizar tratamento com antiviral intravenoso (aciclovir). A posologia deve ser corrigida para a função renal.
- Em relação à profilaxia do HZ, recomenda-se o uso da vacina contra o HZ em pacientes imunocompetentes ≥ 60 anos de idade e em pacientes ≥ 50 anos de idade que planejam fazer terapia imunossupressora (p. ex.: quimioterapia, tratamento de doenças autoimunes etc.). Até o momento, os estudos mostraram que a vacina recombinante (Shingrix®) parece fornecer maior grau de proteção contra o HZ e há menor preocupação em relação ao *status* imunológico do paciente. Entretanto, a segurança do uso desta vacina em alguns subgrupos de risco elevado para o HZ, como pacientes com doenças autoimunes e receptores de transplante de órgãos, ainda se encontra em estudo.
- O paciente com HZ deve manter isolamento aéreo e de contato até a fase de formação de crostas de todas as lesões vesicobolhosas.

AGRADECIMENTOS

À Dra. Renata Alves e ao Dr. Harry Dao Jr por nos fornecer autorização para a publicação de imagens utilizadas neste capítulo.

REFERÊNCIAS BIBLIOGRÁFICAS

1. Wang L, Verschuuren EAM, van Leer-Buter CC *et al.* Herpes Zoster and Immunogenicity and Safety of Zoster Vaccines in Transplant Patients: A Narrative Review of the Literature. *Front Immunol* 2018;9:1632.
2. Gnann JW Jr, Whitley RJ. Clinical practice. Herpes zoster. *N Engl J Med* 2002;347(5):340-6.
3. Harpaz R, Ortega-Sanchez IR, Seward JF *et al.* Prevention of herpes zoster: recommendations of the Advisory Committee on Immunization Practices (ACIP). *MMWR Recomm Rep* 2008;57(RR-5):1-30; quiz CE2-4.
4. Donahue JG, Choo PW, Manson JE, Platt R. The incidence of herpes zoster. *Arch Intern Med* 1995;155(15):1605-9.

5. Gabutti G, Bonanni P, Conversano M *et al.* Prevention of Herpes Zoster and its complications: From clinical evidence to real life experience. *Hum Vaccin Immunother* 2017;13(2):391-8.
6. Zerboni L, Sen N, Oliver SL, Arvin AM. Molecular mechanisms of varicella zoster virus pathogenesis. *Nat Rev Microbiol* 2014;12(3):197-210.
7. Bader MS. Herpes zoster: diagnostic, therapeutic, and preventive approaches. *Postgrad Med* 2013;125(5):78-91.
8. American Academy of Pediatrics Committee on Infectious D. Prevention of varicella: recommendations for use of varicella vaccines in children, including a recommendation for a routine 2-dose varicella immunization schedule. *Pediatrics* 2007;120(1):221-31.
9. McCrary ML, Severson J, Tyring SK. Varicella zoster virus. *J Am Acad Dermatol* 1999;41(1):1-14; quiz 5-6.
10. Lee CJ, Savani BN, Ljungman P. Varicella Zoster Virus Reactivation in Adult Survivors of Hematopoietic Cell Transplantation: How Do We Best Protect Our Patients? *Biol Blood Marrow Transplant* 2018;24(9):1783-7.
11. Osborn LP, Cohen PR. Non-dermatomal varicella-zoster skin infection: disseminated cutaneous herpes zoster without dermatome in an immunosuppressed woman. *Dermatol Online J* 2017;23(10).
12. Yawn BP, Wollan PC, Kurland MJ *et al.* Herpes zoster recurrences more frequent than previously reported. *Mayo Clin Proc* 2011;86(2):88-93.
13. Winthrop KL, Curtis JR, Lindsey S *et al.* Herpes Zoster and Tofacitinib: Clinical Outcomes and the Risk of Concomitant Therapy. *Arthritis Rheumatol* 2017;69(10):1960-8.
14. Lewis DJ, Schlichte MJ, Dao H Jr. Atypical disseminated herpes zoster: management guidelines in immunocompromised patients. *Cutis* 2017;100(5):321(4):30.
15. Dworkin RH, Johnson RW, Breuer J *et al.* Recommendations for the management of herpes zoster. *Clin Infect Dis* 2007;44 (Suppl 1):S1-26.
16. Gnann JW Jr. Varicella-zoster virus: atypical presentations and unusual complications. *J Infect Dis* 2002;186 Suppl 1:S91-8.

17. Zaal MJ, Volker-Dieben HJ, D'Amaro J. Prognostic value of Hutchinson's sign in acute herpes zoster ophthalmicus. *Graefes Arch Clin Exp Ophthalmol* 2003;241(3):187-91.
18. Elliott KJ. Other neurological complications of herpes zoster and their management. *Ann Neurol* 1994;35 Suppl:S57-61.
19. Nalamachu S, Morley-Forster P. Diagnosing and managing postherpetic neuralgia. *Drugs Aging* 2012;29(11):863-9.
20. Gershon AA, Gershon MD. Pathogenesis and current approaches to control of varicella-zoster virus infections. *Clin Microbiol Rev* 2013;26(4):728-43.
21. He L, Zhang D, Zhou M, Zhu C. Corticosteroids for preventing postherpetic neuralgia. *Cochrane Database Syst Rev* 2008(1):CD005582.
22. Takahashi M, Otsuka T, Okuno Y *et al*. Live vaccine used to prevent the spread of varicella in children in hospital. *Lancet* 1974;2(7892):1288-90.
23. Shaw J, Gershon AA. Varicella Virus Vaccination in the United States. *Viral Immunol* 2018;31(2):96-103.
24. Oxman MN, Levin MJ, Johnson GR *et al*. A vaccine to prevent herpes zoster and postherpetic neuralgia in older adults. *N Engl J Med* 2005;352(22):2271-84.
25. Alexander KE, Tong PL, Macartney K *et al*. Live zoster vaccination in an immunocompromised patient leading to death secondary to disseminated varicella zoster virus infection. *Vaccine* 2018;36(27):3890-3.
26. Kennedy PGE, Gershon AA. Clinical Features of Varicella-Zoster Virus Infection. *Viruses* 2018;10(11).

Cristiane Botelho Miranda Cárcano

INTRODUÇÃO

A pele pode ser acometida de forma direta ou indireta por neoplasias malignas. A presença de células tumorais na pele pode ocorrer por envolvimento primário da mesma ou por metástase tumoral. O acometimento indireto da pele e de seus anexos pode surgir em síndromes herdadas associadas a achados dermatológicos característicos, que cursam com aumento da incidência de câncer, e por várias condições dermatológicas que podem ser consideradas como marcadores ou possíveis marcadores de malignidade interna, denominadas de dermatoses paraneoplásicas ou síndromes paraneoplásicas dermatológicas.¹

Neste capítulo serão abordadas as principais manifestações cutâneas paraneoplásicas, com foco na apresentação clínica e nas neoplasias associadas, uma vez que a suspeição ou o diagnóstico de uma dermatose paraneoplásica (DPN) deve indicar uma minuciosa investigação de um câncer interno.

DEFINIÇÃO

As dermatoses paraneoplásicas (DPNs) podem ser definidas como um grupo de doenças dermatológicas associadas à malignidade subjacente, porém não diretamente relacionadas com o próprio tumor primário ou com as suas metástases. Ocorrem em cerca de 7

a 15% dos pacientes com câncer, podendo preceder o diagnóstico de uma malignidade desconhecida, ocorrer tardiamente no curso da doença ou ser o primeiro sinal de recorrência de uma neoplasia maligna. São causadas por envolvimento indireto da pele, desencadeado por uma série de substâncias, como polipeptídeos, hormônios, citocinas, anticorpos ou fatores de crescimento relacionados com a neoplasia sobrejacente.²

O diagnóstico precoce da DPN é fundamental para que intervenções apropriadas sejam tomadas, com o objetivo de melhorar o prognóstico e prolongar a expectativa de vida do paciente.² Algumas DPNs respondem favoravelmente ao tratamento da malignidade sobrejacente.³

Quadro 69-1. Critérios de Curth

1. A dermatose e a malignidade se iniciam simultaneamente
2. A dermatose e a malignidade possuem um curso paralelo. O sucesso do tratamento do tumor leva à regressão da doença cutânea, e a recorrência do tumor leva ao retorno dos sinais e sintomas dermatológicos
3. Um tipo determinado de tumor está relacionado com uma dermatose característica
4. Existe uma associação estatística entre a malignidade e a doença cutânea específica
5. Existe associação genética entre a malignidade e o distúrbio cutâneo específico

Nem sempre é fácil identificar a correlação entre o achado dermatológico e a presença de uma malignidade interna. Curth^{4,5} descreveu critérios para caracterizar as DPNs, conforme pode-se observar no [Quadro 69-1](#). Todos os critérios não precisam ser preenchidos para caracterizar uma dermatose como paraneoplásica.

As DPNs obrigatórias são caracterizadas por distúrbios dermatológicos que estão associados a malignidades internas em quase 100% dos casos. Nas DPNs facultativas, a existência do

achado cutâneo e da neoplasia maligna pode ser considerada coincidental, e a correlação entre ambos é controversa, estando associadas à malignidade em 3 a 30% dos casos.²

PRINCIPAIS DERMATOSES PARANEOPLÁSICAS

O [Quadro 69-2](#) sumariza as principais DPNs, suas principais características clínicas e as neoplasias mais associadas.

Quadro 69-2. Principais Dermatoses Paraneoplásicas

Dermatose paraneoplásica	Características clínicas	Principais neoplasias associadas
Acroceratose paraneoplásica	Placas eritematovioláceas e descamativas em áreas acrais, orelhas e nariz; quase 100% dos casos são associados à malignidade; 60% surgem antes, e 20% concomitantes com a neoplasia	CEC de orofaringe, laringe, esôfago e pulmão
Acantose <i>nigricans</i> maligna	Hiperpigmentação aveludada em áreas de dobras cutâneas, podendo acometer outras áreas corporais, inclusive mucosas; aparece concomitante à malignidade em 60% dos casos; 25% dos casos são associados à <i>tripe palms</i>	Adenocarcinomas intraabdominais (70-90%), particularmente gástrico
Paquidermatoglia adquirida (<i>tripe palms</i>)	Palmas rugosas e aveludadas; pode estar associado à acantose	Câncer de pulmão; câncer gástrico ou

	<i>nigricans</i> ; associada à malignidade em mais de 90% dos casos	pulmonar quando associado à acantose <i>nigricans</i>
Sinal de Leser-Trélat	Aumento no tamanho e no número de ceratoses seborreicas de forma súbita; pode estar associado à acantose <i>nigricans</i> em 20% dos casos	Adenocarcinoma gastrointestinal e doenças linfoproliferativas
Ictiose adquirida	Escamas romboidais difusas no tronco e superfícies extensoras. Pode surgir antes, durante ou após o diagnóstico da malignidade	Linfoma de Hodgkin (70-80%)
Eritema <i>gyratum</i> repens	Placas eritematosas, de aspecto serpiginoso, produzindo figuras concêntricas semelhantes à superfície da madeira, rapidamente progressivas e que acometem, preferencialmente, a região proximal das extremidades; 80% dos casos são associados a neoplasias	Câncer de pulmão (mais comum), câncer de esôfago e câncer de mama
Eritema necrolítico migratório	Máculas e pápulas eritematosas, migratórias, de configuração anular, acometendo a face, abdome, coxas, regiões perianal e oral; ocorre em	Glucagonoma

	65 a 70% dos pacientes com glucagonoma	
Hipertricose lanuginosa adquirida	Súbito aparecimento de pelos finos, macios e despigmentados, tipo lanugo, acometendo principalmente a face e as orelhas	Homens: câncer de pulmão seguido do colorretal Mulheres: câncer colorretal, seguido de pulmão e mama
Pitiríase rotunda	Placa hiper ou hipocrômica, única ou múltipla, redonda ou oval, bem delimitada, com superfície descamativa; acomete o tronco, as nádegas ou braços mais comumente	Cânceres hepatocelular, gástrico, esofágico, de próstata, leucemia linfocítica crônica e mieloma múltiplo
Pênfigo paraneoplásico	Lesões cutâneas polimórficas (vesículas, bolhas, crostas, erosões, pápulas liquenoides) associado a envolvimento de mucosa oral	Neoplasias hematológicas (84%): leucemia linfocítica crônica, linfoma não Hodgkin, doença de Castleman e timoma
Síndrome de Sweet	Placas eritemato-edematosas, dolorosas, de início súbito, podendo estar associado à febre e leucocitose; 20% dos casos estão associados a neoplasias	Leucemia mieloide aguda e linfoma (85%)
Pioderma	Lesões pustulosas e/ou	Leucemia

gangrenoso	nodulares, dolorosas, que evoluem para úlceras com bordas bem delimitadas, solapadas e violáceas com fundo exsudativo hemorrágico, parcialmente recoberto por tecido necrótico; predomina em região pré-tibial; 7% dos casos estão associados a neoplasias	mieloide aguda e mieloma múltiplo
Dermatomiosite	<i>Rash</i> periorbital (heliótrofo), pápulas de Gottron; 25 a 30% dos casos são associados à neoplasia	Câncer de ovário

Acroceratose Paraneoplásica (Síndrome de Bazex)

A acroceratose paraneoplásica (AP) é uma dermatose rara e obrigatoriamente paraneoplásica caracterizada por lesões eritematovioláceas e descamativas, de aspecto psoriasiforme, comprometendo as hélices auriculares, mãos, pés, nariz e couro cabeludo.⁴ As lesões cutâneas são assintomáticas e simétricas. Alterações ungueais também podem ocorrer, como onicodistrofia, onicolise e hiperqueratose subungueal.² Mais frequentemente acomete homens na quarta década de vida.⁴

O carcinoma espinocelular (CEC) do trato aerodigestivo superior é a neoplasia mais comumente associada ao quadro, principalmente de laringe, orofaringe, pulmão e esôfago.⁵ Raramente a AP pode estar associada a cânceres de colo uterino, vulva e ovário.⁶ Em 65 a 70% dos casos a acroceratose paraneoplásica precede o surgimento do tumor em 2 a 6 meses.² O diagnóstico é clínico, e o quadro anatomopatológico é inespecífico, apresentando características psoriasiformes.

O tratamento da neoplasia pode levar à resolução completa ou parcial do quadro em quase todos os casos. A recidiva das lesões pode indicar recorrência do tumor ou metástases.⁶

Acantose *Nigricans* Maligna

A acantose *nigricans* (AN) é caracterizada pelo espessamento cutâneo associado à hiperpigmentação local, formando placas de aspecto aveludado, hipercrômicas, localizadas em áreas de dobras cutâneas, como pescoço, axilas e virilhas, preferencialmente.⁴

AN pode ser classificada em benigna ou maligna. AN benigna (ANB) comumente está associada à obesidade, endocrinopatia, síndrome dos ovários policísticos e ao uso de algumas drogas. Pode ser um sinal de hiperinsulinemia ou de resistência periférica à insulina.⁷

Na AN maligna (ANM), que está associada à malignidade, as lesões cutâneas surgem de forma súbita e podem atingir várias áreas do corpo, inclusive mucosas.⁴ Na maioria dos casos, a ANM ocorre em associação a adenocarcinomas, particularmente do trato gastrointestinal.⁸ Em 90% dos casos, a ANM está associada a carcinomas abdominais, sendo o adenocarcinoma de origem gástrica o mais encontrado.^{5,9} Outras malignidades descritas na literatura incluem os cânceres de bexiga, mama, pancreático, hepatobiliar e pulmão.⁸

A ANM aparece simultaneamente com o diagnóstico do tumor em 61,3% dos casos, mas pode aparecer antes em 17,6% dos pacientes e após o diagnóstico do tumor em 21,1% dos casos.⁴

Em 25% dos casos, a ANM pode estar associada ao envolvimento da região palmoplantar, em uma apresentação de hiperqueratose amarelada descrita como *tripe palms* (paquidermatoglia adquirida). O sinal de Leser-Trélat, caracterizado pelo surgimento súbito de múltiplas lesões de ceratose seborreica, também pode ocorrer simultaneamente com a ANM.⁴

O diagnóstico da AN é clínico. Deve-se investigar neoplasia interna na presença de quadros extensos, com localização atípica e/ou de rápida evolução. A ANM tende a possuir uma evolução

paralela ao quadro neoplásico, melhora com o tratamento da malignidade e recidiva na progressão ou recorrência do tumor.^{3,4}

Paquidermatoglifia Adquirida (*Tripe Palms*)

A paquidermatoglifia adquirida, também chamada de *tripe palms*, acantose palmar ou acantose *nigricans* das palmas, está associada à malignidade em mais de 90% dos casos. As palmas apresentam uma hiperkeratose difusa, amarelada e de aspecto aveludado, assumindo uma aparência rugosa, semelhante às vilosidades intestinais.⁵ Pode coexistir com ANM e com o sinal de Leser-Trélat sugerindo que as 3 condições podem estar relacionadas.¹

O carcinoma gástrico e o pulmonar são responsáveis por 50% das neoplasias associadas à paquidermatoglifia adquirida.⁵ O câncer de pulmão é o mais frequente, quando a *tripe palms* existe isoladamente, porém na coexistência de ANM predominam os cânceres gástrico e pulmonar.¹⁰

Portanto, todo paciente que apresenta ANM e *tripe palms* deve ser investigado para adenocarcinoma do trato gastrointestinal. Quando *tripe palms* ocorre isoladamente, carcinoma de células escamosas do pulmão deve ser suspeitado.¹

Sinal de Leser-Trélat

O sinal de Leser-Trélat ocorre quando há aumento súbito no número e/ou tamanho das ceratoses seborreicas e ocorre mais frequentemente em associação a tumores do trato gastrointestinal.^{1,5} Os tumores mais comumente associados são o gástrico, o colorretal e o de mama seguido de linfoma e câncer de pulmão.¹¹ Distúrbios linfoproliferativos ocorrem em 20% dos casos.⁴ As lesões de ceratose seborreica acometem mais comumente as extremidades, face, abdome e pescoço. Como o surgimento das ceratoses seborreicas aumenta com a idade, o valor deste sinal como uma manifestação paraneoplásica é controverso.⁴ Muitos pacientes possuem ANM também.¹

Todo paciente com o sinal de Leser-Trélat deve ser avaliado para uma neoplasia escondida.^{11,12}

Ictiose Adquirida

A ictiose é um transtorno de queratinização, caracterizado pela presença de escamas romboidais, secas, aderidas à superfície da pele e que ocorre nas pernas, no tronco ou de forma disseminada.²

Ictiose pode representar uma manifestação dermatológica de diversas doenças sistêmicas, como hanseníase, hipotireoidismo, linfoma, AIDS, pode estar associada a uma malignidade interna ou ocorrer por uso de alguns fármacos (p. ex.: clofazimina). Os principais cânceres associados à ictiose adquirida são: linfoma de Hodgkin, linfoma não Hodgkin, mieloma múltiplo, sarcoma de Kaposi, leiomiossarcoma e carcinomas de pulmão, ovário, cervical e mama.³ Linfoma de Hodgkin é a malignidade mais frequentemente associada à ictiose adquirida (cerca de 70% dos casos).¹³

A ictiose adquirida melhora com o tratamento da malignidade subjacente.³

Eritema *Gyratum Repens*

O eritema *gyratum repens* (EGR) é uma rara dermatose paraneoplásica composta por placas eritematosas, de aspecto serpiginoso, produzindo figuras concêntricas semelhantes à superfície da madeira e que comumente aumenta cerca de 1 cm ao dia. As bordas são levemente descamativas, podendo aparecer vesículas e bolhas. Normalmente é um quadro pruriginoso. Uma neoplasia associada ao EGR está presente em mais de 80% dos casos.⁴

Diante de um quadro de EGR é mandatória investigar um câncer interno. O câncer de pulmão é o mais encontrado, seguido pelos cânceres de esôfago e mama. Outras malignidades que podem estar relacionadas com o EGR são: cólon, estômago, bexiga, próstata, útero, reto, pâncreas e mieloma múltiplo. O EGR precede o diagnóstico da neoplasia em 80% dos casos com uma média de 4 a 9 meses.²

Eritema Necrolítico Migratório (Síndrome do Glucagonoma)

O glucagonoma é um tumor pancreático secretante de glucagon. A síndrome do glucagonoma é composta pelo eritema necrolítico migratório (ENM), intolerância à glicose e hiperglucagonemia. Níveis de glucagon acima de 1.000 pg/mL são altamente sugestivos de glucagonoma.^{2,5} Os pacientes podem apresentar também emagrecimento, diarreia, anemia, esteatorreia, glossite dolorosa, distúrbios psiquiátricos e doença tromboembólica.⁸ O ENM ocorre em cerca de 65 a 70% dos pacientes com glucagonoma.⁵

O ENM se inicia como máculas ou placas eritematosas com crescimento centrífugo e com aspecto policíclico. Podem existir bolhas e vesículas, que se rompem facilmente.⁸ As lesões predominam em joelhos e áreas intertriginosas.⁵

O surgimento do ENM na ausência de glucagonoma pode ocorrer em síndromes de má absorção intestinal, doença inflamatória intestinal, pancreatite e neoplasias não pancreáticas, sendo denominado pseudoglucagonoma.⁸

A resolução do ENM pode ocorrer com a ressecção do tumor na ausência de metástases.⁵

Hipertricose Lanuginosa Adquirida

A hipertricose lanuginosa adquirida (HLA) caracteriza-se pelo surgimento súbito de pelos finos, macios e despigmentados, tipo lanugo, acometendo principalmente a face e as orelhas, porém várias áreas do corpo podem ser afetadas. Pode estar associada a alterações metabólicas, endocrinológicas, ao uso de medicamentos (ciclosporina, penicilamida, glicocorticoide, interferon, minoxidil, fenitoína, espironolactona e cetuximabe) e malignidades internas. As neoplasias mais encontradas são as de cólon, reto, pulmão e mama.⁴ Em homens a HLA se associa mais comumente ao câncer de pulmão, seguido pelo colorretal. Em mulheres, predomina o colorretal, seguido pelos cânceres de pulmão e mama.²

A HLA predomina em mulheres (3:1) e surge mais frequentemente dos 40 aos 70 anos.⁵

Em pacientes com HLA uma anamnese e exame físico minuciosos devem ser realizados, em conjunção com exames

laboratoriais e de imagem (radiografia de tórax, colonoscopia e mamografia em mulheres) para afastar as possíveis causas.⁵

Pitiríase Rotunda

A pitiríase rotunda (PR) é uma dermatose rara e geralmente descrita em associação a neoplasias internas, com doenças infecciosas (tuberculose, hanseníase) ou doenças sistêmicas.^{2,4} Pode estar relacionada com cânceres hepatocelular, gástrico, esofágico, de próstata, leucemia linfocítica crônica e mieloma múltiplo.²

A PR apresenta-se clinicamente como placa hiper ou hipocrômica, única ou múltipla, redonda ou oval, bem delimitada, com superfície descamativa e que acomete o tronco, as nádegas ou braços mais comumente, porém pode afetar qualquer região do corpo, mas costuma poupar as mãos, os pés e a face.² A remissão da dermatose após o tratamento do tumor tem sido relatada.⁴

Pênfigo Paraneoplásico

O pênfigo paraneoplásico (PPN) foi primeiramente descrito, em 1990, por Anhalt *et al.* em cinco (5) pacientes que apresentaram uma forma atípica de pênfigo associada a doenças linfoproliferativas.¹⁴

Clinicamente o PPN se manifesta com *rash* polimórfico variando desde lesões vesicobolhosas que evoluem para erosões e exulcerações por perda de tecido epidérmico, até lesões liquenoides. A mucosa oral é quase sempre afetada, e as lesões são dolorosas. Pode haver comprometimento multiorgânico, e o envolvimento pulmonar é um marcador de prognóstico reservado.^{3,15} Nas Figuras 69-1 e 69-2 podem-se observar imagens de PPN em um paciente portador de leucemia linfocítica. O intenso comprometimento labial, com presença de crostas hemorrágicas, pode ser evidenciado.



Fig. 69-1. Penfigo paraneoplásico com comprometimento labial. (Ver Prancha em Cores.)



Fig. 69-2. Penfigo paraneoplásico manifestado em axila. (Ver Prancha em Cores.)

Em 84% dos casos o PPN está associado a neoplasias hematológicas, como leucemia linfocítica crônica, linfoma não Hodgkin, doença de Castleman e timoma.¹⁶

PPN é desencadeado por autoanticorpos, que formam complexos imunes que se ligam às cadeias polipeptídicas das desmogleínas 1 e 3 e das desmocolinas, responsáveis pelas junções celulares. O diagnóstico do PPN depende da correlação clinicopatológica. É uma doença de tratamento difícil, e o prognóstico é reservado, com a taxa de mortalidade muito elevada.¹⁵

Síndrome de Sweet (Dermatose Neutrofílica Aguda Febril)

A síndrome de Sweet é caracterizada por lesões cutâneas papulosas, nodulares ou em placas eritemato-edematosas, dolorosas, de início súbito, febre e leucocitose. As lesões cutâneas acometem preferencialmente as extremidades superiores, face e o pescoço. O edema lesional pode ser intenso e causar uma aparência de pseudovesiculação, podendo ocorrer vesículas, bolhas e ulcerações, além de lesões em mucosa oral. Pode haver comprometimento extracutâneo por envolvimento articular, gastrointestinal, oftalmológico, meningite asséptica, miosite e hepatite.¹⁷ Na [Figura 69-3](#) podem-se observar imagens de síndrome de Sweet com comprometimento acral.

Cerca de 20% dos casos estão associados à malignidade interna, principalmente com neoplasias malignas hematológicas, particularmente a leucemia mieloide aguda e síndrome mielodisplásica.^{5,17}

Na síndrome de Sweet associada à malignidade, a fisiopatologia pode estar relacionada com uma reação de hipersensibilidade a antígenos tumorais. A biópsia de pele evidencia um denso infiltrado dérmico neutrofílico.¹

A síndrome de Sweet pode também estar associada ao uso de alguns fármacos, como o fator estimulador de colônia de granulócitos (G-CSF), ATRA lipossomal, Azacitidina, inibidores FLT3.¹⁷



Fig. 69-3. Síndrome de Sweet com comprometimento ocral. (Ver Prancha em Cores.)

O manejo terapêutico deve ser feito com corticoterapia sistêmica em primeira linha. Iodeto de potássio, colchicina e dapsona são alternativas, quando a corticoterapia não pode ser utilizada.¹⁷

Pioderma Gangrenoso

O pioderma gangrenoso (PG) é caracterizado por lesões pustulosas e/ou nodulares, dolorosas, que evoluem para úlceras com bordas bem delimitadas, solapadas e violáceas com fundo exsudativo hemorrágico, parcialmente recoberto por tecido necrótico.¹⁸ A região pré-tibial é a área mais afetada.⁵ Pode estar associada a doenças sistêmicas, como doença inflamatória intestinal, artrite, diverticulite, hepatite crônica, Doença de Behçet e a neoplasias hematológicas, embora possa ser idiopático.^{1,18}

Cerca de 70% dos casos estão relacionados com a doença inflamatória intestinal e com a artrite reumatoide, e 7% dos casos com neoplasias, como síndrome mielodisplásica, mieloma múltiplo, paraproteinemia (IgA) e leucemias.⁵ Uma forma superficial de PG denominada de atípica e a forma bolhosa da doença, que podem acometer a região da cabeça e do pescoço, têm sido associadas à malignidade hematológica.¹

Qualquer paciente com PG deve ser investigado para neoplasia hematológica. O manejo terapêutico do PG é baseado no uso de imunossupressores sistêmicos, e os corticosteroides representam a primeira linha de tratamento.¹

Dermatomiosite

A dermatomiosite (DM) é uma doença inflamatória que acomete a pele e os músculos e que está associada à malignidade em 15 a 25% dos casos.⁴ Manifesta-se por lesões cutâneas características, como o eritema heliótropo, que acomete a região periorbital, e pelas pápulas de Gottron, principalmente localizadas sobre as articulações metacarpofalangianas e interfalangianas. Outros sinais cutâneos são eritema malar, poiquilodermia em áreas fotoexpostas, telangiectasias periungueais, hipertrofia cuticular e alopecia não cicatricial.⁴ A miopatia é proximal e simétrica. Sintomas sistêmicos, como fadiga, febre, anorexia, perda de peso e fenômeno de Raynaud, podem ocorrer.¹⁸

A DM é mais comum em pacientes acima dos 50 anos de idade. Pode preceder, ocorrer concomitantemente ou surgir após o diagnóstico do câncer. O câncer mais associado é o de ovário, porém há relatos de associação a neoplasias de pulmão, mama, estômago, colorretal, pâncreas e linfoma não Hodgkin.⁴

A maioria dos cânceres é diagnosticada dentre de 2 anos após o diagnóstico da DM, portanto, pacientes que apresentam DM devem ter uma vigilância para neoplasia interna por, pelo menos, 3 anos após o diagnóstico.¹⁸

CONCLUSÃO

A pele pode ser acometida em inúmeras doenças sistêmicas. Malignidades internas podem estar associadas a uma grande variedade de manifestações cutâneas e podem, ainda, fornecer um indicador de atividade de doença e de prognóstico. As dermatoses paraneoplásicas são manifestações dermatológicas heterogêneas que podem preceder, ocorrer simultaneamente ou surgir após a descoberta de um câncer. O reconhecimento de alterações cutâneas associadas a malignidades pode fornecer uma

oportunidade para o diagnóstico precoce e tratamento de uma neoplasia interna, além de possibilitar uma vigilância para a recidiva do tumor.

REFERÊNCIAS BIBLIOGRÁFICAS

1. Thiers BH, Sahn RE, Callen JP. Cutaneous manifestations of internal malignancy. *CA Cancer J Clin* 2009;59(2):73-98.
2. Caccavale S, Brancaccio G, Agozzino M *et al.* Obligate and facultative paraneoplastic dermatoses: an overview. *Dermatol Pract Concept* 2018;8(3):191-7.
3. Kleyn CE, Lai-Cheong JE, Bell HK. Cutaneous manifestations of internal malignancy: diagnosis and management. *Am J Clin Dermatol* 2006;7(2):71-84.
4. Ramos ESM, Carvalho JC, Carneiro SC. Cutaneous paraneoplasia. *Clin Dermatol* 2011;29(5):541-7.
5. Silva JA, Mesquita Kde C, Igreja AC *et al.* Paraneoplastic cutaneous manifestations: concepts and updates . *An Bras Dermatol* 2013;88(1):9-22.
6. Squires B, Daveluy SD, Joiner MC *et al.* Acrokeratosis Paraneoplastica Associated with Cervical Squamous Cell Carcinoma. *Case Rep Dermatol Med* 2016;2016:7137691.
7. Stone SP, Buescher LS. Life-threatening paraneoplastic cutaneous syndromes. *Clin Dermatol* 2005;23(3):301-6.
8. Shah KR, Boland CR, Patel M *et al.* Cutaneous manifestations of gastrointestinal disease: part I. *J Am Acad Dermatol* 2013;68(2):189 e1-21; quiz 210.
9. Rigel DS, Jacobs MI. Malignant acanthosis nigricans: a review. *J Dermatol Surg Oncol* 1980;6(11):923-7.
10. Cohen PR, Grossman ME, Almeida L, Kurzrock R. Tripe palms and malignancy . *J Clin Oncol* 1989;7(5):669-78.
11. Chakradeo K, Narsinghpura K, Ekladios A. Sign of Leser-Trelat. *BMJ Case Rep* 2016;2016.
12. Husain Z, Ho JK, Hantash BM. Sign and pseudo-sign of Leser-Trelat: case reports and a review of the literature. *J Drugs Dermatol* 2013;12(5):e79-87.

13. Akpınar TS, Ozkok A, Bakkaloglu OK, Saka B. Acquired ichthyosis as a presenting finding of Hodgkin's lymphoma. *Int J Hematol* 2012;96(4):401-2.
14. Anhalt GJ, Kim SC, Stanley JR *et al.* Paraneoplastic pemphigus. An autoimmune mucocutaneous disease associated with neoplasia. *N Engl J Med* 1990;323(25):1729-35.
15. Konichi-Dias RL, Ramos AF, de Almeida Santos Yamashita ME, Carcano CBM. Paraneoplastic pemphigus associated with chronic lymphocytic leukemia: a case report. *J Med Case Rep* 2018;12(1):252.
16. Tirado-Sanchez A, Bonifaz A. Paraneoplastic Pemphigus. A Life-Threatening Autoimmune Blistering Disease . *Actas Dermosifiliogr* 2017;108(10):902-10.
17. Gabutti G, Bonanni P, Conversano M *et al.* Prevention of Herpes Zoster and its complications: From clinical evidence to real life experience. *Hum Vaccin Immunother* 2017;13(2):391-8.
18. Abreu Velez AM, Howard MS. Diagnosis and treatment of cutaneous paraneoplastic disorders. *Dermatol Ther* 2010;23(6):662-75.

REAÇÕES ADVERSAS DERMATOLÓGICAS GRAVES INDUZIDAS POR FÁRMACOS

CAPÍTULO 70

Cristiane Botelho Miranda Cárcano

INTRODUÇÃO

A pele é o órgão mais frequentemente afetado em reações adversas medicamentosas. A maioria das erupções cutâneas induzidas por fármacos é benigna e autolimitada. Entretanto, algumas reações carregam alto risco de morbidade e mortalidade, devendo ser prontamente reconhecidas para melhor prognóstico.¹ As reações adversas cutâneas graves provocadas por drogas geralmente necessitam de internação hospitalar, frequentemente em Unidade de Terapia Intensiva ou de queimados, com monitorização das funções vitais e do envolvimento visceral.

Reações adversas dermatológicas provocadas por fármacos afetam cerca de 2 a 3% dos pacientes hospitalizados, e em 0,05% dos casos são potencialmente fatais. Qualquer medicamento pode provocar reações cutâneas, entretanto os anti-inflamatórios não esteroides (AINEs), antibióticos e antiepiléticos são as classes de drogas mais envolvidas.²

Eventos adversos dermatológicos ocorrem com frequência em pacientes que fazem uso de drogas antitumorais sistêmicas. Casos de reações graves, como síndrome de Stevens-Johnson (SSJ) e

necrólise epidérmica tóxica (NET) por exemplo, apesar de raras, têm sido relatados com diversas drogas anticâncer.³

As reações medicamentosas cutâneas podem ser classificadas em leves a moderadas e graves, estas últimas são potencialmente fatais. As reações graves comumente cursam com necrose e descolamento ou destacamento da epiderme (perda da epiderme, que pode ocorrer em forma de retalhos), além de envolvimento de mucosas, podendo haver comprometimento multiorgânico.² São fatores de risco para o desenvolvimento de reações medicamentosas cutâneas graves: gênero feminino, idosos, presença de infecções virais concomitantes, imunossupressão, doenças autoimunes e câncer.²

Reações medicamentosas cutâneas podem simular inúmeras doenças dermatológicas. A pronta retirada da droga culpada é a ação mais importante para minimizar a morbidade.⁴

Algumas reações medicamentosas cutâneas são imunomediadas, e outras são de causa não imunológica, provocadas por toxicidade, fotossensibilidade, interação com outras drogas ou diferentes vias metabólicas.²

Neste capítulo serão discutidas as características clínicas e a abordagem terapêutica de algumas reações dermatológicas graves provocadas por medicamentos, incluindo a síndrome de Stevens-Johnson (SSJ), a necrólise epidérmica tóxica (NET) e a DRESS (*Drug Reaction with Eosinophilia and Systemic Symptoms*). Estas reações, apesar de raras, são consideradas emergências dermatológicas, e exigem um pronto diagnóstico e manejo terapêutico adequado por estarem associadas à mortalidade e morbidade elevadas.

SÍNDROME DE STEVENS-JOHNSON E NECRÓLISE EPIDÉRMICA TÓXICA

A SSJ e a NET (doença de Lyell) são doenças bolhosas agudas com acometimento mucocutâneo, diferenciadas pelo percentual de superfície corporal afetado, frequentemente induzida por drogas.^{3,5} São consideradas reações cutâneas epidermolíticas que evoluem com descolamento epidérmico (perda da epiderme) por causa de

necrose dos queratinócitos, com intensidade variável. A SSJ ocorre quando o destacamento epidérmico é menor do que 10% da superfície corporal, e a NET, quando a perda epidérmica é acima de 30%. Casos com descolamento epidérmico entre 10 e 30% são definidos como SSJ/NET (grupo de sobreposição).³

Apesar de serem consideradas reações cutâneas raras, possuem mortalidade considerável, variando de 1 a 10% para a SSJ e de 20 a 40% para a NET.³ A incidência dessas reações é de 1,89 caso por 1.000.000 de indivíduos anualmente.⁵ Diferenças regionais na prescrição das drogas, o perfil genético do paciente, como a metabolização enzimática e subtipos de HLA (*Human Leukocyte Antigen*) e a presença de malignidade sobrejacente, são fatores que podem impactar na incidência da SSJ/NET.⁶ SSJ é mais comum do que NET, e a incidência destas doenças é consideravelmente mais elevada na população HIV-positiva, provavelmente em razão do maior número de drogas usadas por estes pacientes, do quadro de imunodeficiência intrínseco e/ou da associação a doenças infecciosas.⁶

A histopatologia das lesões da SSJ e da NET mostra necrose de queratinócitos. Os achados clínicos, imunológicos e histopatológicos suportam o conceito atual de que a SSJ e a NET são reações de hipersensibilidade a drogas específicas, em que o linfócito T citotóxico tem um papel importante.⁷ Portanto, a SSJ e a NET são reações mediadas por células T. As drogas e seus metabólitos tóxicos agem como haptenos, fornecendo estímulo antigênico. A apoptose disseminada ocorre por causa da liberação maciça de várias citocinas e fatores solúveis, como perforina, granzima B e granulicina. A granulicina liberada por linfócitos T citotóxicos e células NK (*natural killer*) induz à apoptose dos queratinócitos. A apoptose também é desencadeada via interação entre o receptor de superfície celular Fas (receptor de morte) e o seu ligante fisiológico (FasL).² Alguns autores sugerem que alterações no metabolismo das drogas e deficiência dos mecanismos envolvidos na destoxificação de metabólitos intermediários, também, tenham participação na fisiopatogenia da SSJ e da NET.⁸

Fatores genéticos estão associados à hipersensibilidade às drogas e têm sido estudados em diferentes etnias.⁷ Estudos de farmacogenômica podem auxiliar na identificação de alelos de HLA com risco para o desenvolvimento de reações medicamentosas cutâneas graves.⁶ Estudo realizado na população chinesa, conduzido por Chung *et al.*, mostrou que o alelo HLA-B 1502 está fortemente associado a risco de SSJ/NET induzido por carbamazepina. Esta descoberta levou à recomendação para triagem na população chinesa de HLA-B 1502 antes da administração de carbamazepina.⁹ Outro estudo, também realizado na população chinesa, mostrou que o alelo HLA-B 5801 foi associado à SSJ/NET induzido por alopurinol, sendo considerado um importante fator de risco genético para reações medicamentosas graves.¹⁰

Medicamentos são as principais causas da SSJ e da NET (variando de 50 a 80% dos casos de SSJ e pelo menos 80% dos casos de NET), porém há casos desencadeados por infecções pelo *Mycoplasma pneumoniae* e pelo vírus herpes simples, e relatos em que nenhuma causa é identificada.⁶ Em até 25% dos casos nenhum fator causador pode ser determinado.¹¹

Um estudo europeu avaliou o risco dos medicamentos na indução de reações cutâneas medicamentosas graves (*severe cutaneous adverse reactions*, SCAR). Algumas drogas tiveram forte associação a reações graves (Quadro 70-1).¹² O tempo entre a introdução da droga e o aparecimento das reações cutâneas é muito variável. A maioria das drogas de alto risco é prescrita para serem usadas por longos períodos, e a maioria das reações cutâneas provocadas por estas drogas surge com menos de 8 semanas do início da droga, principalmente entre 4 a 28 dias do início do fármaco.¹² Em números absolutos, o alopurinol é o fármaco mais envolvido no desencadeamento de SSJ/NET na Europa e em Israel.^{7,13}

Quadro 70-1. Fármacos Fortemente Associados à Síndrome de Stevens-Johnson e Necrólise Epidérmica Tóxica

Alopurinol

Antibióticos da classe sulfonamidas
Penicilinas
Cefalosporinas
Carbamazepina
Fenitoína
Fenobarbital
Lamotrigina
AINE do tipo oxicam
Nevirapina

AINE: anti-inflamatório não esteroide.

Clinicamente as lesões cutâneas da SSJ e da NET se iniciam como máculas purpúricas ou lesões em alvo atípico (lesões redondas ou em forma de disco, menores que 3 cm de diâmetro, constituídas por

2 zonas distintas e/ou bordas não definidas), localizadas em face, região superior do tronco e membros.⁶ Posteriormente, em curto espaço de tempo, surgem lesões bolhosas, dolorosas, que progridem rapidamente, coalescendo e aumentando de tamanho, afetando a pele e as membranas mucosas. À medida que vai ocorrendo o descolamento epidérmico (perda da epiderme, algumas vezes em forma de retalhos), surgem erosões, que podem ser confluentes, gerando áreas de pele não íntegra.^{2,6}

Quanto maior o descolamento epidérmico, mais severo é o quadro clínico, portanto, a extensão do envolvimento cutâneo é o fator prognóstico mais importante.⁷ No exame físico, pode-se identificar o sinal de *Nikolsky* (ao se comprimir a pele fazendo uma pressão tangencial com a ponta dos dedos, surge um descolamento da mesma, por causa da perda de coesão entre os queratinócitos). Nas membranas mucosas podem-se observar erosões e crostas hemorrágicas em quase todos os pacientes.² O envolvimento ocular

pode variar de uma conjuntivite leve até ulceração da córnea e sequelas cicatriciais.⁷

Comumente, antes do surgimento das lesões cutâneas há um período prodromico com febre, mal-estar e sintomas respiratórios.⁶ Manifestações sistêmicas, incluindo elevação de enzimas hepáticas, dispneia e manifestações gastrointestinais, podem ocorrer.^{6,7}

Na fase tardia, é comum ocorrer hipo ou hiperpigmentação cutânea, distrofias ungueais e complicações oculares, como olho seco, triquíase, perda visual, entrópio, lagoftalmo e úlcera de córnea.⁷

A severidade da SSJ/NET pode ser avaliada pela escala SCORTEN (*score for Toxic Epidermal Necrosis*) dentro de 24 horas da admissão.¹⁴ Esta escala é com base em sete (7) fatores clínicos e laboratoriais, conforme mostrado no [Quadro 70-2](#). Quanto maior o escore, maior a taxa de mortalidade (*score* 0-1 a taxa é de 3,2% e aumenta para valores acima de 90% em escores maiores ou iguais a 5).^{6,14}

O diagnóstico pode ser confirmado pela avaliação histológica de biópsia de pele, e a imunofluorescência direta auxilia na diferenciação da SSJ/NET de outras doenças bolhosas autoimunes.⁷ Os diagnósticos diferenciais devem ser feitos com inúmeras doenças, como dermatose bolhosa por IgA linear, pênfigo paraneoplásico, pênfigo vulgar, penfigoide bolhoso, pustulose exantemática generalizada aguda e síndrome da pele escaldada estafilocócica.⁷

O diagnóstico precoce, a suspensão do medicamento “culpado” e as medidas de suporte são os pontos essenciais no manejo terapêutico da SSJ/NET. Não há tratamento medicamentoso *gold standard*, e cuidados de suporte intensivo devem ser prontamente iniciados.⁶ Como o curso da doença pode ser progressivo e fulminante e há risco elevado de infecção decorrente da perda de tecido epidérmico por falência cutânea aguda, cuidados intensivos e atenção a complicações infecciosas são essenciais no manejo da SSJ/NET.¹⁵ O tratamento de suporte intensivo é considerado ponto crucial e mais importante no manejo da SSJ e da NET.¹⁶

Quadro 70-2. Escala SCORTEN (*severity-of-illness score*)

Fatores de risco	Score 0	Score 1
Idade	< 40 anos	> 40 anos
Malignidade	Não	Sim
Frequência cardíaca	< 120 bpm	> 120 bpm
Área de superfície corporal descolada	< 10%	>10%
Ureia sérica	< 10 mmol/L (< 180 mg/dL)	> 10 mmol/L (> 180 mg/dL)
Glicose sérica	< 14 mmol/L (< 252 mg/dL)	> 14 mmol/L (> 252 mg/dL)
Bicarbonato sérico	> 20 mmol/L	< 20 mmol/L

bpm: batimentos por minuto.

Mortalidade prevista: 3,2% (score 0-1); 12,1% (score 2); 35,8% (score 3); 58,3% (score 4); 90% (score ≥ 5).

Estudos utilizando corticosteroides em altas doses, em pulsoterapia, como dexametasona e metilprednisolona, foram realizados e parecem contribuir para a redução da taxa de mortalidade, se utilizados em fase precoce da doença.¹⁷⁻¹⁹ Porém, estes estudos possuem qualidade científica fraca (são compostos por séries de casos, não há estudos controlados e randomizados e são estudos retrospectivos). Até o momento, não há dados consistentes para recomendar fortemente o uso de corticosteroides no manejo terapêutico da SSJ/NET.²⁰ O benefício do uso dos corticosteroides parece existir se administrado precocemente, em pulsoterapia e para grupos selecionados. Estudos adicionais prospectivos, randomizados e controlados deverão ser realizados no futuro.¹⁶

Imunoglobulina intravenosa (IG IV) em altas doses tem sido usada no tratamento da SSJ/NET, porém os estudos científicos são conflitantes quanto ao seu real benefício. Dois estudos de

metanálise publicados, em 2012 e 2016, que avaliaram a eficácia da IG IV em altas doses no tratamento da NET, não mostraram redução da mortalidade com este tratamento.^{21,22} Porém, um estudo de metanálise publicado, em 2015, mostrou que o uso da IG IV em altas doses (≥ 2 g/kg) contribuiu para a diminuição significativa da mortalidade em pacientes com SSJ e NET.²³

O *guideline* europeu para o uso de IG IV em alta doses em dermatologia (*European guidelines on the use of high-dose intravenous immunoglobulin in dermatology*), realizado por um consenso de opiniões de *experts*, recomenda que embora o mecanismo de ação da IG na SSJ/NET não seja totalmente compreendido, a administração precoce de IG IV em altas doses (≥ 2 g/kg) pode ser considerada na ausência de outra alternativa terapêutica com evidência científica consistente. A IG IV deve ser administrada o mais rapidamente possível, assim que o diagnóstico for confirmado. Somente 1 ciclo de tratamento é realizado, e dose da IG IV na SSJ/NET difere da dose utilizada nas doenças autoimunes. O *guideline* recomenda o uso de 3 g/kg de peso corporal, fracionada em 3 a 5 dias. Os parâmetros clínicos para avaliar a eficácia do tratamento são a parada de descolamento epidérmico e o início da reepitelização, porém, a sobrevida permanece a principal medida de resultado clínico.¹⁵ O alto custo do tratamento com IG IV é considerado um fator limitante para o seu uso na prática clínica.¹⁵

A ciclosporina pode ser uma opção terapêutica interessante por causa do seu efeito imunomodulador. Um estudo francês que utilizou ciclosporina 3 mg/kg administrada por via oral durante 10 dias e retirada gradual durante 1 mês obteve resultados favoráveis na taxa de mortalidade e na diminuição da progressão da doença.²⁴ Uma recente metanálise publicada que avaliou o uso da ciclosporina na SSJ e na NET mostrou redução da mortalidade, porém ressalta-se a existência de poucos estudos, a maioria retrospectiva e a necessidade da realização de estudos com metodologias científicas mais robustas para avaliar o real benefício da ciclosporina.²⁵

Antagonistas do fator de necrose tumoral alfa (TNF- α) foram utilizados em estudos de relatos de casos e série de casos no

tratamento da NET e da SSJ. Infliximabe (5 mg/kg intravenoso, em ciclo único) e Etanercept (50 mg por via subcutânea) demonstraram ser eficazes na interrupção da progressão da doença. Estudos adicionais deverão ser realizados para avaliar a efetividade dessas drogas no manejo da SSJ e da NET, pois, apesar de serem consideradas uma terapia promissora, o risco de infecções não deve ser negligenciado.²⁶⁻²⁸

Um estudo realizado com talidomida (400 mg/dia por 5 dias), considerada um agente anti-TNF- α , mostrou que essa droga foi detrimental no tratamento da NET quando comparada ao placebo.²⁹

O **Quadro 70-3** mostra um sumário de opções utilizadas no manejo terapêutico da SSJ/NET. Atualmente, não há tratamento padronizado para a SSJ e para a NET. A grande maioria dos estudos realizados é observacional e de baixa qualidade científica. É consenso que a realização de estudos prospectivos e de boa qualidade no futuro poderá fornecer embasamento científico para a melhor abordagem terapêutica dessas doenças.

Aproximadamente 60% dos pacientes evoluem com complicações infecciosas, principalmente pneumonia, bacteriemia e infecção do trato urinário.¹ Acima de 50% dos pacientes que sobrevivem à NET sofrerão com sequelas relacionadas com a doença, como cicatrizes cutâneas, alterações de pigmentação da pele, sinéquia conjuntival, entrópico, nevus eruptivos, sinéquia vaginal, distrofias ungueais, alopecia difusa entre outras.⁷

Quadro 70-3. Abordagem Terapêutica da Síndrome de Stevens-Johnson e da Necrólise Epidérmica Tóxica

Cuidados de suporte

- Suspende a possível droga causadora
- Internação em Unidade de Terapia Intensiva ou de queimados
- Manutenção do equilíbrio hemodinâmico
- Prevenção de complicações
- Evitar trauma cutâneo
- Tratar infecção associada (se houver suspeita ou confirmação)
- Cuidados oftalmológicos

Corticosteroides sistêmicos

- Dexametasona 100 mg intravenoso ao dia durante 3 dias
- Metilprednisolona 1 g intravenoso ao dia durante 3 dias

Imunoglobulina intravenosa

- 3 g/kg intravenoso (fracionar a dose em 3 a 5 dias)

Ciclosporina

- 3 mg/kg por via oral durante 7 dias com retirada gradual na sequência

Agentes biológicos

- Infliximabe: 5 mg/kg intravenoso
- Etanercept: 50 mg subcutâneo (dose única)

DRESS (*DRUG REACTION WITH EOSINOPHILIA AND SYSTEMIC SYMPTOMS*)

DRESS (*Drug Reaction with Eosinophilia and Systemic Symptoms*) é uma rara e potencialmente fatal reação adversa à droga que cursa com manifestações cutâneas, febre, linfadenopatia, alterações hematológicas (linfócitos atípicos e eosinofilia periférica) e envolvimento de órgãos internos.³⁰ A taxa estimada de mortalidade desta reação é de 5 a 10% e está tipicamente associada à falência hepática.³¹ O acrônimo inglês DRESS foi proposto por Bocquet *et al.*, em 1996.³²

A patogênese da DRESS não é totalmente compreendida, mecanismos tóxicos e imunológicos podem estar envolvidos. Além da exposição à droga, é necessário que haja uma predisposição individual para o desenvolvimento desta reação.¹ Infecções virais agudas, particularmente infecções por herpes-vírus, como citomegalovírus, Epstein-Barr vírus, herpes-vírus humano tipos 6 e 7, podem ser fatores predisponentes.³³ A reativação dos herpes-vírus, particularmente do herpes-vírus humano tipo 6, parece ter um papel na patogênese da DRESS.³⁰

Inúmeros fármacos podem estar associados à DRESS, principalmente carbamazepina, alopurinol, fenitoína, nevirapina, sulfametoxazol-trimetoprim, sulfassalazina, dapsona, penicilina, anti-inflamatórios não esteroides, lamotrigina, vancomicina, minociclina e

isoniazida.³⁴ A carbamazepina é a droga mais frequentemente reportada. O início dos sintomas ocorre mais comumente entre 2 a 6 semanas do início do fármaco.³⁰ Os sintomas podem persistir ou sofrer agravamento mesmo após a retirada da droga culpada.²

DRESS se inicia com sintomas prodrômicos de prurido, dor em queimação, sintomas *flu-like*, linfadenopatia, disfagia e febre alta. A febre costuma preceder o aparecimento das lesões cutâneas. O *rash* morbiliforme (exantema macular ou maculopapular eritematoso difuso) é a apresentação dermatológica mais comum. O *rash* pode envolver toda a pele e produzir uma dermatite esfoliativa ou ter um padrão eritrodérmico. O envolvimento mucoso é frequente, porém, comumente é leve (diferentemente da SSJ e da NET).³⁵ Aproximadamente 25% dos pacientes apresentam edema facial proeminente.³⁰

Em um estudo realizado por Ang *et al.*, *rash* morbiliforme foi encontrado em 81,5% dos pacientes, 7,4% dos casos tiveram eritrodermia, 7,4% apresentaram erupção pustular, 7,4% tiveram lesões targetoides e 29,6% apresentaram mucosite.³⁶

Qualquer órgão pode ser afetado na DRESS. O acometimento hepático é o mais prevalente, de intensidade variável e ocorre em 75 a 95% dos pacientes. A lesão renal ocorre em 15 a 40% dos casos, sendo mais prevalente na DRESS associada ao alopurinol, podendo acometer até 80% dos pacientes. O comprometimento pulmonar ocorre em até 1/3 dos pacientes.¹ A linfadenopatia ocorre em até 75% dos casos de DRESS. O envolvimento linfonodal pode ser localizado ou generalizado.³⁰

O exame histológico de biópsia de pele mostra infiltrado linfocítico perivascular na derme papilar com eosinófilos e linfócitos atípicos, espongiose pode estar presente.³⁰

O diagnóstico da DRESS pode ser realizado pelos achados clínicos e laboratoriais. Existem alguns sistemas de escore com base em critérios clínicos e laboratoriais. No [Quadro 70-4](#) podem-se observar os critérios de Bocquet *et al.*³² e os critérios do grupo japonês (J-SCAR, *Japanese Research Committee on Severe Cutaneous Adverse Reaction*) para o diagnóstico de DRESS.³⁷

A DRESS deve ser diferenciada de outras reações dermatológicas provocadas por fármacos graves, como SSJ e NET, das infecções virais agudas, principalmente mononucleose e síndromes *mononucleose-like*, e das vasculites acompanhadas de eosinofilia.³⁸

Quadro 70-4. Critérios Diagnósticos para DRESS (*Drug Rash with Eosinophilia and Systemic Symptoms syndrome*)

Critérios de Bocquet et al.

1. Reação cutânea medicamentosa
2. Anormalidades hematológicas
 - Eosinófilos $\geq 1.500/\text{mm}^3$
 - Presença de linfócitos atípicos
3. Comprometimento sistêmico (adenopatias (> 2 cm de diâmetro) e/ou hepatite (transaminases > 2 o valor normal) e/ou nefrite intersticial e/ou pneumonite intersticial e/ou cardite)

Critérios J-SCAR

1. *Rash* maculopapular de aparecimento após 3 semanas do início da droga suspeita
2. Sintomas clínicos prolongados após a descontinuação da droga
3. Febre $> 38^\circ \text{C}$
4. Anormalidade hepática (ALT > 100 U/L) ou envolvimento de outro órgão
5. Anormalidades hematológicas (pelo menos 1)
 - Leucócitos $> 11.000/\text{mm}^3$
 - Linfócitos atípicos ($> 5\%$)
 - Eosinofilia $> 1.500/\text{mm}^3$
6. $>$ Linfadenopatia
7. Ativação do Herpes-vírus tipo 6 (HHV-6)

Critérios de Bocquet et al.: Todos os 3 critérios são necessários (pelo menos 1 hematológico e 1 envolvimento sistêmico).

Critérios J-SCAR (*Japanese Research Committee on Severe Cutaneous Adverse Reaction*): DRESS típica (presença de 7 critérios) e DRESS atípica (presença dos primeiros 5 critérios).

O manejo terapêutico deve ser realizado com a suspensão da droga causadora e início precoce de corticosteroides sistêmicos (1 mg/kg/dia de prednisona) com retirada gradual em 3 a 6 meses após estabilização clínica e laboratorial. Em casos graves pode-se optar pela metilprednisolona intravenosa (30 mg/kg/dia por 3 dias).³⁸

A Sociedade Francesa de Dermatologia³⁹ recomenda que, em casos graves de DRESS (hemofagocitose com falência da medula óssea, encefalite, hepatite severa, falência renal ou falência respiratória), devem-se associar corticosteroides ao uso de imunoglobulina intravenosa (IG IV) na dose de 2 g/kg, fracionada em 5 dias. Se houver reativação viral confirmada, o ganciclovir pode ser utilizado em associação a corticosteroides e/ou IG IV.^{38,39}

O comprometimento cutâneo pode durar 3 a 4 semanas. Sobreviventes de DRESS podem desenvolver doenças autoimunes, incluindo tireoidite, diabetes *mellitus* tipo I, artrite reumatoide, artrite reativa, lúpus eritematoso sistêmico, alopecia e vitiligo, meses após a resolução da DRESS. A mortalidade varia de 4 a 10% e ocorre principalmente por insuficiência hepática aguda.¹

CONCLUSÃO

Reações medicamentosas comumente afetam a pele e as reações graves, que ameaçam diretamente a vida, apesar de raras, possuem mortalidade elevada. O diagnóstico precoce e a retirada da droga culpada são essenciais no manejo das reações cutâneas medicamentosas graves, como, por exemplo, a SSJ, a NET e a DRESS. Monitorar as funções orgânicas vitais e promover tratamento de suporte e cuidados intensivos são fundamentais para minimizar a morbidade nestes casos.

REFERÊNCIAS BIBLIOGRÁFICAS

1. Alvarado SA, Munoz-Mendoza D, Bahna SL. High-risk drug rashes. *Ann Allergy Asthma Immunol* 2018;121(5):552-60.
2. Marzano AV, Borghi A, Cugno M. Adverse drug reactions and organ damage: the skin *Eur J Intern Med* 2016;28:17-24.

3. Rosen AC, Balagula Y, Raisch DW *et al.* Life-threatening dermatologic adverse events in oncology. *Anticancer Drugs* 2014;25(2):225-34.
4. Roujeau JC, Stern RS. Severe adverse cutaneous reactions to drugs. *Engl J Med* 1994;331(19):1272-85.
5. Mockenhaupt M, Schopf E. Epidemiology of drug-induced severe skin reactions. *Semin Cutan Med Surg* 1996;15(4):236-43.
6. Harris V, Jackson C, Cooper A. Review of Toxic Epidermal Necrolysis. *Int J Mol Sci* 2016;17(12).
7. Harr T, French LE. Stevens-Johnson syndrome and toxic epidermal necrolysis. *Chem Immunol Allergy* 2012;97:149-66.
8. Wolkenstein P, Carriere V, Charue D *et al.* A slow acetylator genotype is a risk factor for sulphonamide-induced toxic epidermal necrolysis and Stevens-Johnson syndrome *Pharmacogenetics* 1995;5(4):255-8.
9. Chen P, Lin JJ, Lu CS *et al.* Carbamazepine-induced toxic effects and HLA-B*1502 screening in Taiwan. *Engl J Med* 2011;364(12):1126-33.
10. Hung SI, Chung WH, Liou LB *et al.* HLA-B*5801 allele as a genetic marker for severe cutaneous adverse reactions caused by allopurinol. *Proc Natl Acad Sci (USA)* 2005;102(11):4134-9.
11. Jarrett B, Ghazala S, Chao J, Chaudhary S. Case of Steven-Johnson Syndrome in a male with breast cancer secondary to docetaxel/cyclophosphamide therapy. *BMJ Case Rep* 2016;2016.
12. Mockenhaupt M, Viboud C, Dunant A *et al.* Stevens-Johnson syndrome and toxic epidermal necrolysis: assessment of medication risks with emphasis on recently marketed drugs. The EuroSCAR-study. *Invest Dermatol* 2008;128(1):35-44.
13. Halevy S, Ghislain PD, Mockenhaupt M *et al.* Allopurinol is the most common cause of Stevens-Johnson syndrome and toxic epidermal necrolysis in Europe and Israel. *Am Acad Dermatol* 2008;58(1):25-32.
14. Bastuji-Garin S, Fouchard N, Bertocchi M *et al.* SCORTEN: a severity-of-illness score for toxic epidermal necrolysis. *Invest Dermatol* 2000;115(2):149-53.
15. Enk AH, Hadaschik EN, Eming R *et al.* European Guidelines (S1) on the use of high-dose intravenous immunoglobulin in

dermatology. *J Eur Acad Dermatol Venereol* 2016;30(10):1657-69.

16. Zimmermann S, Sekula P, Venhoff M *et al.* Systemic Immunomodulating Therapies for Stevens-Johnson Syndrome and Toxic Epidermal Necrolysis: A Systematic Review and Meta-analysis. *JAMA Dermatol* 2017;153(6):514-22.
17. Choonhakarn C, Limpawattana P, Chaowattanapanit S. Clinical profiles and treatment outcomes of systemic corticosteroids for toxic epidermal necrolysis: A retrospective study *J Dermatol* 2016;43(2):156-61.
18. Kardaun SH, Jonkman MF. Dexamethasone pulse therapy for Stevens-Johnson syndrome/toxic epidermal necrolysis. *Acta Derm Venereol* 2007;87(2):144-8.
19. Hirahara K, Kano Y, Sato Y *et al.* Methylprednisolone pulse therapy for Stevens-Johnson syndrome/toxic epidermal necrolysis: clinical evaluation and analysis of biomarkers. *Am Acad Dermatol* 2013;69(3):496-8.
20. Creamer D, Walsh SA, Dziewulski P *et al.* U.K. guidelines for the management of Stevens-Johnson syndrome/toxic epidermal necrolysis in adults 2016. *Br J Dermatol* 2016;174(6):1194-227.
21. Huang YC, Li YC, Chen TJ. The efficacy of intravenous immunoglobulin for the treatment of toxic epidermal necrolysis: a systematic review and meta-analysis. *Br J Dermatol* 2012;167(2):424-32.
22. Huang YC, Chien YN, Chen YT *et al.* Intravenous immunoglobulin for the treatment of toxic epidermal necrolysis: a systematic review and meta-analysis. *Ital Dermatol Venereol* 2016;151(5):515-24.
23. Barron SJ, Del Vecchio MT, Aronoff SC. Intravenous immunoglobulin in the treatment of Stevens-Johnson syndrome and toxic epidermal necrolysis: a meta-analysis with meta-regression of observational studies. *Int J Dermatol* 2015;54(1):108-15.
24. Valeyrie-Allanore L, Wolkenstein P, Brochard L *et al.* Open trial of ciclosporin treatment for Stevens-Johnson syndrome and toxic epidermal necrolysis. *Br J Dermatol* 2010;163(4):847-53.

25. Ng QX, De Deyn M, Venkatanarayanan N *et al.* A meta-analysis of cyclosporine treatment for Stevens-Johnson syndrome/toxic epidermal necrolysis. *J Inflamm Res* 2018;11:135-42.
26. Woolridge KF, Boler PL, Lee BD. Tumor necrosis factor alpha inhibitors in the treatment of toxic epidermal necrolysis. *Cutis* 2018;101(1):E15-E21.
27. Paradisi A, Abeni D, Bergamo F *et al.* Etanercept therapy for toxic epidermal necrolysis. *Am Acad Dermatol* 2014;71(2):278-83.
28. Zarate-Correa LC, Carrillo-Gomez DC, Ramirez-Escobar AF, Serrano-Reyes C. Toxic epidermal necrolysis successfully treated with infliximab. *Investig Allergol Clin Immunol* 2013;23(1):61-3.
29. Wolkenstein P, Latarjet J, Roujeau JC *et al.* Randomised comparison of thalidomide versus placebo in toxic epidermal necrolysis. *Lancet* 1998;352(9140):1586-9.
30. Husain Z, Reddy BY, Schwartz RA. DRESS syndrome: Part I. Clinical perspectives. *Am Acad Dermatol* 2013;68(5):693 e1-14; quiz 706-8.
31. Helmandollar KJ, Hoverson KR, Falkner RC, Meyerle JH. Diffuse vesiculobullous eruption with systemic findings. *Dermatol Online J* 2018;24(5).
32. Bocquet H, Bagot M, Roujeau JC. Drug-induced pseudolymphoma and drug hypersensitivity syndrome (Drug Rash with Eosinophilia and Systemic Symptoms: DRESS). *Semin Cutan Med Surg* 1996;15(4):250-7.
33. Shiohara T, Inaoka M, Kano Y. Drug-induced hypersensitivity syndrome (DIHS): a reaction induced by a complex interplay among herpesviruses and antiviral and antidrug immune responses. *Allergol Int* 2006;55(1):1-8.
34. Kardaun SH, Sekula P, Valeyrie-Allanore L *et al.* Drug reaction with eosinophilia and systemic symptoms (DRESS): an original multisystem adverse drug reaction. Results from the prospective RegiSCAR study. *Br J Dermatol* 2013;169(5):1071-80.
35. Marzano AV, Ishak RS, Saibeni S *et al.* Autoinflammatory skin disorders in inflammatory bowel diseases, pyoderma gangrenosum and Sweet's syndrome: a comprehensive review

and disease classification criteria. *Clin Rev Allergy Immunol* 2013;45(2):202-10.

36. Ang CC, Wang YS, Yoosuff EL, Tay YK. Retrospective analysis of drug-induced hypersensitivity syndrome: a study of 27 patients. *J Am Acad Dermatol* 2010;63(2):219-27.
37. Shiohara T, Iijima M, Ikezawa Z, Hashimoto K. The diagnosis of a DRESS syndrome has been sufficiently established on the basis of typical clinical features and viral reactivations. *Br J Dermatol* 2007;156(5):1083-4.
38. Husain Z, Reddy BY, Schwartz RA. DRESS syndrome: Part II. Management and therapeutics. *J Am Acad Dermatol* 2013;68(5):709 e1-9; quiz 18-20.
39. Descamps V, Ben Said B, Sassolas B *et al.* [Management of drug reaction with eosinophilia and systemic symptoms (DRESS)]. *Ann Dermatol Venereol* 2010;137(11):703-8.

Parte XVII

Cuidados Paliativos

Carlos Eduardo Paiva
Bianca Sakamoto Ribeiro Paiva

INTRODUÇÃO

Uma comunicação efetiva entre médicos e pacientes está associada a desfechos importantes do tratamento, incluindo maior adesão ao tratamento, maior satisfação do paciente, maior participação do paciente nas decisões de tratamento e melhor ajuste psicossocial, maior recordação das informações, melhor entendimento e menores taxas de reclamações.¹⁻⁴ Por causa de seu impacto nos pacientes e da qualidade do atendimento, a comunicação é considerada uma habilidade clínica essencial que exige treinamento.⁵ Embora seja reconhecida a importância da comunicação médico-paciente, estima-se que haja algum problema de comunicação em mais de 80% das consultas médicas.⁶⁻⁸

Considerando o processo de comunicação como um todo, várias situações podem ser consideradas difíceis de serem comunicadas aos pacientes com câncer. Dentre elas, merecem destaque a comunicação sobre o diagnóstico inicial de câncer, a recorrência do mesmo após um período de acompanhamento e o diagnóstico de metástases a distância. Comunicar o diagnóstico de uma complicação grave secundária ao tratamento oncológico, que impeça a continuidade do mesmo, é tarefa difícil e relativamente comum em serviços de emergência. Outra comunicação

potencialmente complexa é a informação de mudança nos objetivos do tratamento, como foco no cuidado paliativo e não mais no tratamento antineoplásico. Muitas vezes, a comunicação de suspensão do tratamento antineoplásico com acompanhamento exclusivo pelos cuidados paliativos é bastante complexa, especialmente em casos onde o paciente e a família apresentam expectativa irreal sobre o tratamento e pensamento mágico ou negação.

Uma notícia difícil (ou má notícia) pode ser considerada como qualquer informação que altere negativamente as expectativas sobre o futuro do paciente.⁹ Comunicar uma notícia difícil tem impacto não só ao paciente e seus familiares (receptores), mas também pode influenciar negativamente o próprio médico (comunicador). Um em cada cinco médicos relataram ansiedade e fortes emoções quando tiveram que dizer a um paciente que sua condição o levaria à morte. Além do mais, o estresse percebido após uma consulta com comunicação de notícia difícil pode durar de horas até alguns dias.¹⁰ Treinamento de capacitação sobre estratégias adequadas de comunicação diminui as taxas de *burnout* e estresse ocupacional.^{11,12}

Comunicar uma má notícia é mais difícil quando o paciente é jovem, quando o médico tem uma relação de longa data com o mesmo e nas situações onde o otimismo é maior que a expectativa real.¹³ Por outro lado, quando a comunicação é guiada por atitudes de empatia por parte do médico, o paciente tem maior chance de reportar satisfação e menores níveis de ansiedade e depressão.

A medicina de emergência é uma disciplina onde o foco principal é diagnosticar rapidamente, estabilizar e iniciar tratamento curativo. Em oncologia, muitas são as condições que levam os pacientes a procurarem serviços de emergência. Dentre elas, as mais comuns são as complicações secundárias ao tratamento oncológico (como as infecções, êmese, diarreia, entre outras) e as secundárias ao próprio câncer (como a dor e fadiga relacionada com o câncer). Não raramente, o médico emergencista tem a responsabilidade de comunicar uma notícia difícil a um paciente com câncer, como, por exemplo, uma recorrência inicial do câncer ou uma nova progressão de doença.

BARREIRAS PARA UMA ADEQUADA COMUNICAÇÃO NOS SERVIÇOS DE EMERGÊNCIA

Conforme referido anteriormente neste capítulo, o processo de comunicação de notícias difíceis é complexo e exige treinamento adequado. Nas situações de urgência e emergência, a complexidade da comunicação é acrescida de outras barreiras:

1. *Falta de vínculo com o paciente:* embora a comunicação pareça ser mais difícil quando o vínculo do médico com o paciente seja de longa data, por outro lado, quando não há qualquer vínculo prévio, a situação é bastante complexa. Em departamentos de emergência, quando frequentemente o médico de plantão nunca atendeu o paciente em questão, entender o que o paciente sabe e o que ele de fato deseja saber é de extrema importância.
2. *Local para comunicação:* outra barreira inerente aos serviços de emergência é local onde a comunicação deve ocorrer. Muitas vezes, a tendência é a utilização de salas de emergência com pouca privacidade, onde outras pessoas (profissionais de saúde ou não) podem escutar o que está sendo comunicado. Esta situação pode gerar constrangimento nos pacientes e produzir resultados negativos.
3. *Demanda de tempo:* com muita frequência, os serviços de emergência são sobrecarregados de pacientes que necessitam atendimento rápido. No entanto, o processo de comunicação de notícias difíceis exige tempo, para que etapas sejam cumpridas, e o paciente tenha tempo suficiente para entender e ser entendido.

ESTRATÉGIAS PARA UMA BOA COMUNICAÇÃO

Durante o processo de comunicação de notícias difíceis, alguns comportamentos devem ser evitados e outros, estimulados, para que a comunicação tenha mais chance de ser adequada.⁹

Comportamentos que devem ser evitados:

- **Bloqueio** (“blocking”)¹⁴: ocorre quando um paciente levanta uma preocupação, mas o médico não responde diretamente ou responde redirecionando a conversa.
 - Exemplo: “Doutor, quanto tempo você acha que eu tenho de vida?”
Médico responde: “Não se preocupe com isso”, ou “Como está a sua respiração?”
- **“Palestrar”**¹⁵: quando o médico fornece uma grande quantidade de informação sem dar ao paciente a chance de responder ou fazer perguntas.
- **Conluio**¹⁶: quando o paciente hesita em trazer temas difíceis e o médico, por sua vez, não questiona especificamente. Uma situação classificada como “não me pergunte que assim não falarei”.
- **Afirmação prematura**¹⁷: quando o médico responde a uma preocupação do paciente rapidamente (prematuramente), antes mesmo de explorá-la e compreendê-la de forma adequada.

Comportamentos Que Devem Ser Estimulados

Em linhas gerais, os médicos precisam lembrar sobre a necessidade de 1) não utilizar jargões médicos; 2) evitar grande quantidade de informações no mesmo encontro e 3) usar frases curtas e simples. O inadequado entendimento das informações comunicadas pelo médico é importante contribuinte para o sofrimento emocional do paciente.¹⁸ Ao comunicar informações sobre o prognóstico, sugere-se evitar expectativas de vida em função de tempos medianos ou médios. Neste caso, quando necessário, o ideal é comunicar a estimativa em predições intervalares de tempo (“horas a dias”, “dias a semanas”, “semanas a meses”, “meses a anos”). Da mesma forma, informações inacuradas ou aproximadas são potencialmente não entendidas pelos pacientes (por exemplo, “boa” chance de sobrevivência).

O médico deve cultivar o comportamento de responder às emoções dos pacientes, por meio da tentativa genuína de compreender a perspectiva do paciente e evitar julgamentos prematuros (tanto refutando, quanto concordando).⁹ Importante

ressaltar que aceitar a resposta do paciente é diferente de concordar com a mesma. O médico precisa se colocar em uma posição compassiva e respeitosa, levando sempre em consideração os valores e desejos do paciente a respeito do quanto quer (de fato) saber sobre seu problema de saúde, especialmente nas condições de doença avançada e/ou incurável.

- *Pergunte-fale-pergunte* (em inglês, Ask–Tell–Ask)⁹: esse comportamento se fundamenta no princípio educacional de compreender o que o “aluno” já sabe sobre o assunto para somente depois fornecer o conhecimento em questão. Ao final, a validação do entendimento do paciente por meio do questionamento sobre o que foi compreendido.
 - Exemplo de fala de “validação” da compreensão: “Para ter certeza de que eu fiz um bom trabalho ao explicar isso para você, poderia me dizer o que você vai dizer aos seus familiares quando chegar em casa?”
- *Me fale mais um pouco...*⁹: em geral, as comunicações interpessoais envolvem três níveis: 1) “O que está acontecendo?”; 2) “Como eu me sinto em relação a isso?”; e 3) “O que isso significa para mim?”. Assim, muitas vezes, o “me fale mais um pouco” ajuda o médico a compreender em que “caminho cognitivo” se encontra o paciente, facilitando as próximas etapas da comunicação.
 - Exemplos de falas: “Você poderia dizer algo sobre como você está se sentindo em relação ao que acabamos de conversar?”. “Você poderia me dizer o que isso significa para você?”

PROTOCOLO SPIKES

Embora o processo de comunicação não deva ser compreendido como algo rígido, a divisão didática do processo de etapas sequenciais pode ser bastante útil, particularmente para médicos com pouca experiência em comunicar notícias difíceis. O protocolo SPIKES foi desenvolvido por Baile *et al.*,¹⁹ publicado inicialmente no ano de 2000 e amplamente utilizado no mundo para facilitar o processo de comunicação. É dividido didaticamente em seis (6)

etapas sequenciais. No Hospital de Câncer de Barretos, cursos com base no SPIKES têm sido frequentemente realizados. No Brasil, o protocolo PACIENTE foi desenvolvido tendo como base o SPIKES e adaptado para a realidade médica brasileira. Neste capítulo, optamos por descrever em detalhes os passos do protocolo SPIKES, conforme originalmente proposto:

S – Setup: Planejando a Entrevista

Nesta etapa, é necessário ter a consciência de planejar a entrevista. Nos serviços de emergência, idealmente devem-se disponibilizar salas específicas para comunicações difíceis com os pacientes e/ou familiares. É preciso um local em que haja privacidade, para que a comunicação transcorra sem interrupções e que permita uma conexão com o paciente. Ao antecipar alguma comunicação difícil, o médico precisa estar preparado para lidar com a restrição de tempo e possíveis interrupções, desligando o celular, avisando antecipadamente a equipes de enfermagem, colegas ou eventualmente colocando avisos na porta (“não interrompa”). O local deve idealmente ter cadeiras para que o médico e o paciente/familiares estejam confortáveis durante a entrevista, assim como fácil acesso a copos d’água e lenços de papel (caso o paciente chore, por exemplo).

P – Perception: Avaliando a Percepção do Paciente

Esta etapa é de extrema relevância. Antes de comunicar a notícia, deve-se entender o que o paciente já sabe sobre o que será comunicado e corrigir eventuais desinformações, moldando a situação para a etapa seguinte. Nesta etapa, o médico pode identificar negação da doença, pensamento mágico ou miraculoso e expectativas não realistas sobre a doença. Além do mais, pode identificar omissões de detalhes médicos essenciais para o entendimento da doença, mas que podem ter sido omitidos por serem desfavoráveis. Embora incomum, em alguns casos, o médico pode preferir postergar a comunicação da má notícia para que o

paciente converse com seu médico oncologista ou seja avaliado por um psicólogo ou psiquiatra.

- Sugestão de perguntas norteadoras:
 - “O que já lhe foi dito sobre seu quadro clínico (sua doença) até agora?”
 - “Você realizou alguns exames, saberia me dizer por qual motivo?”.

I – *Invitation*: Obtendo o Convite do Paciente

Após compreender a percepção do paciente sobre sua doença, o médico precisa saber se o paciente gostaria ou não de receber mais informações. Além do mais, é necessário entender quanto e como ele gostaria de receber as informações. A pergunta/convite deve ser feita de forma natural, para que não pareça que o médico esteja forçando algo e crie uma atmosfera de empatia.

- Sugestão de perguntas norteadoras:
 - “Como você gostaria que eu lhe informasse sobre os resultados dos seus exames?”
 - “Você gostaria de saber todas as informações em detalhes ou apenas um resumo delas?”

Caso o paciente não queira receber as informações, o médico deve-se colocar à disposição para outras conversas futuramente e oferecer-se para falar com um parente ou amigo.

K – *Knowledge*: Fornecendo a Informação ao Paciente

Esta é a etapa da comunicação da notícia *per se*. Imediatamente antes de fornecer a informação, introduza de forma suave o que irá comunicar. Algo como “infelizmente eu tenho más notícias a lhe dar”; ou “Sinto ter que lhe dizer que...”. A comunicação é mais eficaz quando o médico está atento para o nível de compreensão e vocabulário do paciente, evitando termos técnicos e, de preferência, usando os mesmos vocábulos usados pelo próprio paciente nas etapas anteriores (especialmente a “P”). Outra dica importante é

fragmentar a informação e conferir periodicamente a compreensão do paciente (lembre-se do “pergunte-fale-pergunte”).

E – *Empathy*: Abordar as Emoções com Respostas Afetivas

Esta etapa talvez seja a mais difícil para médicos inexperientes. As reações emocionais do paciente podem variar muito, sendo por vezes intempestivas e raivosas. O médico precisa oferecer uma atitude compassiva, que transmita empatia genuína. Alguns comportamentos simples podem fazer muita diferença no âmbito da comunicação não verbal: olhar nos olhos do paciente; não demonstrar pressa ou impaciência; tocar o paciente, segurar as suas mãos ou abraçá-lo; colocar-se mais próximo do paciente entre outras tantas atitudes que gerem empatia. Nesta etapa, além de reconhecer as emoções do paciente, deve-se tentar entender a real razão da emoção. O médico deve disponibilizar um tempo para o paciente expressar seus sentimentos, e fazer o paciente compreender que a emoção dele “ligou” a emoção do médico.

S – *Summarize and Strategize*: Estabelecendo a Estratégia Futura e o Resumo da Comunicação

Neste momento, ao final do processo, o médico deve fazer um resumo do que foi comunicado atentando-se para as informações mais relevantes. Além disso, deve esclarecer a estratégia de tratamento/acompanhamento que se seguirá. A compreensão clara dos próximos passos é capaz de diminuir a ansiedade do paciente. Independentemente da situação em que o paciente se encontra, a arte de recolocar a esperança junto à realidade é uma tarefa árdua, embora fantástica e factível com treinamento.

REFERÊNCIAS BIBLIOGRÁFICAS

1. Epstein R, Street JL R. *Patient-Centered Communication in Cancer Care*. Promoting Healing and Reducing Suffering [Internet]. Disponível em: https://healthcaredelivery.cancer.gov/pcc/pcc_monograph.pdf

2. Stewart M, Brown JB, Boon H *et al*. Evidence on patient-doctor communication. *Cancer Prev Control* [Internet] 1999 [Acessado em 2019 Jan 6];3:25-30. Disponível em: <http://www.ncbi.nlm.nih.gov/pubmed/10474749>.
3. Ong LM, Visser MR, Lammes FB, de Haes JC. Doctor-patient communication and cancer patients' quality of life and satisfaction. *Patient Educ Couns* [Internet] 2000 [Acessado em 2019 Jan 6];41:145-56. Disponível em: <http://www.ncbi.nlm.nih.gov/pubmed/12024540>.
4. Arora NK. Interacting with cancer patients: the significance of physicians' communication behavior. *Soc Sci Med* [Internet] 2003 [Acessado em 2019 Jan 6];57:791-806. Disponível em: <http://www.ncbi.nlm.nih.gov/pubmed/12850107>.
5. Fallowfield L, Jenkins V. Effective communication skills are the key to good cancer care. *Eur J Cancer* [Internet] 1999 [Acessado em 2019 Jan 6];35:1592-7. Disponível em: <http://www.ncbi.nlm.nih.gov/pubmed/10673967>.
6. Foot G, Sanson-Fisher R. Measuring the unmet needs of people living with cancer. *Cancer Forum* [Internet] 1995;19:131-5. Disponível em: <https://cancerforum.org.au/forum/2009/november/measuring-the-unmet-needs-of-those-with-cancer-a-critical-overview/>
7. Lerman C, Daly M, Walsh WP *et al*. Communication between patients with breast cancer and health care providers. Determinants and implications. *Cancer* [Internet] 1993 [Acessado em 2019 Jan 6];72:2612-20. Disponível em: <http://www.ncbi.nlm.nih.gov/pubmed/8402483>.
8. Fallowfield L, Lipkin M, Hall A. Teaching senior oncologists communication skills: results from phase I of a comprehensive longitudinal program in the United Kingdom. *J Clin Oncol* [Internet] 1998 [Acessado em 2019 Jan 6];16:1961-8. Disponível em: <http://ascopubs.org/doi/10.1200/JCO.1998.16.5.1961>.
9. Back AL, Arnold RM, Baile WF *et al*. Approaching difficult communication tasks in oncology. *CA Cancer J Clin* [Internet]. [Acessado em 2019 Jan 6];55:164-77. Disponível em: <http://www.ncbi.nlm.nih.gov/pubmed/15890639>.

10. Butow P, Devine R, Boyer M *et al.* Cancer consultation preparation package: changing patients but not physicians is not enough. *J Clin Oncol* [Internet] 2004 [Acessado em 2019 Jan 6];22:4401-9. Disponível em: <http://ascopubs.org/doi/10.1200/JCO.2004.66.155>.
11. Graham J, Potts HWW, Ramirez AJ. Stress and burnout in doctors. *Lancet* (London, England) [Internet] 2002 [Acessado em 2019 Jan 6];360:1975–6; author reply 1976. Disponível em: <http://www.ncbi.nlm.nih.gov/pubmed/12493290>.
12. Ramirez AJ, Graham J, Richards MA, *et al.* Burnout and psychiatric disorder among cancer clinicians. *Br J Cancer* [Internet] 1995 [Acessado em 2019 Jan 6];71:1263-9. Disponível em: <http://www.ncbi.nlm.nih.gov/pubmed/7540037>.
13. Roberts CS, Cox CE, Reintgen DS *et al.* Influence of physician communication on newly diagnosed breast patients' psychologic adjustment and decision-making. *Cancer* [Internet] 1994 [Acessado em 2019 Jan 6];74:336-41. Disponível em: <http://www.ncbi.nlm.nih.gov/pubmed/8004605>.
14. Maguire P, Faulkner A, Booth K *et al.* Helping cancer patients disclose their concerns. *Eur J Cancer* [Internet] 1996 [Acessado em 2019 Jan 6];32A:78–81. Disponível em: <http://www.ncbi.nlm.nih.gov/pubmed/8695247>.
15. Siminoff LA, Ravdin P, Colabianchi N, Sturm CMS. Doctor-patient communication patterns in breast cancer adjuvant therapy discussions. *Health Expect* [Internet] 2000 [Acessado em 2019 Jan 6];3:26-36. Disponível em: <http://www.ncbi.nlm.nih.gov/pubmed/11281909>.
16. The AM, Hak T, Koëter G, van Der Wal G. Collusion in doctor-patient communication about imminent death: an ethnographic study. *BMJ* [Internet] 2000 [Acessado em 2019 Jan 6];321:1376-81. Disponível em: <http://www.ncbi.nlm.nih.gov/pubmed/11099281>.
17. Faulkner A, Maguire P. *Talking to Cancer Patients and their Relatives*. Oxford: Oxford University Press; 1994.
18. Lobb EA, Butow PN, Kenny DT, Tattersall MH. Communicating prognosis in early breast cancer: do women understand the language used? *Med J Aust* [Internet] 1999 [Acessado em 2019 Jan 6];171:137-40. Disponível em: <http://www.ncbi.nlm.nih.gov/pubmed/10444444>.

Jan 6];171:290-4. Disponível em:
<http://www.ncbi.nlm.nih.gov/pubmed/10560442>.

19. Baile WF, Buckman R, Lenzi R *et al*. SPIKES-A six-step protocol for delivering bad news: application to the patient with cancer. *Oncologist* [Internet] 2000 [Acessado em 2019 Jan 6];5:302-11. Disponível em: <http://www.ncbi.nlm.nih.gov/pubmed/10964998>.

Carlos Eduardo Paiva
Bianca Sakamoto Ribeiro Paiva

Os profissionais de saúde que atuam nos serviços de emergência não somente gerenciam o processo de morrer de pacientes com eventos terminais relacionados com lesões agudas, mas também cuidam rotineiramente de pacientes com doenças crônicas e suas complicações. Espera-se um aumento no número de pacientes com doenças crônicas graves, potencialmente fatais, que procuram os departamentos de emergência por episódios de “crise”.^{1,2} Assim, ao longo das últimas décadas tem sido dada atenção à integração dos princípios dos cuidados paliativos (CPs) nos departamentos de emergência, particularmente naqueles que recebem pacientes oncológicos.

CUIDADOS PALIATIVOS: HISTÓRICO, CONCEITOS E PRINCÍPIOS

A origem dos primeiros *hospices* é ainda controversa. Provavelmente, os primeiros *hospices* eram comandados por voluntários e surgiram em locais que abrigavam peregrinos doentes que buscavam curas milagrosas para suas doenças. As instituições foram se aprimorando ao longo dos séculos, inicialmente destinadas a serem locais para repouso (hospedaria) e, posteriormente, incluindo aspectos importantes do “cuidar”. Com o tempo, passaram a objetivar o atendimento dos mais necessitados que não tinham

onde morrer, enquanto os mais ricos adoeciam e morriam em suas próprias casas.^{3,4}

Por volta de 1880-1890, outras instituições foram fundadas com a finalidade de cuidar de doentes crônicos. Em Nova York (EUA), o *Calvary Hospital* e, em Dublin (Austrália), o *Madre Mary Aikenhead*. Já no final do século XIX e começo do século XX, em Londres (Inglaterra), foram fundados dois hospitais que são considerados até hoje centros de referência no tratamento de CPs: o *St. Luke's Home for the Dying Poor* (1893) e o *St. Joseph's Hospice* (1905).^{3,5}

No período pós-guerras, com avanços importantes no campo científico (p. ex.: descoberta dos antibióticos, anestesia, ressuscitação cardiopulmonar etc.), “curar doenças” passou a ser uma obsessão para a medicina. No campo da oncologia, a descoberta do uso terapêutico das mostardas nitrogenadas e drogas antifolato a partir da década de 1940 gerou grande expectativa de cura para os doentes.⁶ Os pacientes com câncer avançado, em sua maioria, morriam esquecidos em quartos de hospital com grande carga de sintomas. Nesse contexto, emerge Cicely Saunders, considerada hoje como a grande pioneira da medicina paliativa moderna. Em 1967, fundou em conjunto com outros médicos e autoridades da época, o *St. Christopher's Hospice*, considerado por muitos como o ponto inicial do movimento “*hospice*” moderno.⁷⁻⁹ Após a criação do *St. Christopher's*, outros hospitais surgiram com o mesmo objetivo, tanto na Inglaterra, como ao redor do mundo.⁸

Em 1963, após uma clássica palestra sobre CP proferida por Cicely Saunders na Universidade de Yale (Estados Unidos da América [EUA]), dava-se início à implantação desse tipo de cuidado nos EUA. Foi a partir deste momento que Cicely conhece a psiquiatra Elizabeth Kübler-Ross. Em 1969, Kübler-Ross publica o livro seminal “Sobre a Morte e o Morrer”, onde entrevista pacientes com doenças incuráveis e descreve as cinco fases do processo de morrer. É hoje conhecida como a fundadora da Tanatologia (estudo da morte). Juntas, Cicely Saunders e Kübler-Ross, disseminaram mundialmente a importância do cuidado da pessoa que sofre e que está em processo de morte.^{8,10}

No Reino Unido, a expansão dos CPs atingiu o ápice na década de 1980, mas no restante da Europa uma década depois. Nos EUA, após um período importante de discussões com seguradoras de saúde a respeito do financiamento do mesmo, houve um avanço considerável na rede assistencial em CPs com progresso mais evidente após a década de 1990, sendo hoje provavelmente o país com maior oferta de *hospices* no mundo.^{8,9} Na América do Sul, os CPs tiveram início de atividades na década de 1990, com avanços mais pronunciados em termos assistenciais somente na última década.

Em 1982, o comitê de câncer da Organização Mundial da Saúde (OMS) criou um grupo de trabalho para definir políticas que objetivassem o alívio da dor, estimulassem a oferta de cuidados do tipo *Hospice* para doentes com câncer e que fossem recomendáveis a todos os países. Em função das dificuldades de tradução genuína do termo *Hospice* em alguns idiomas, o nome “Cuidados Paliativos” passou a ser adotado pela OMS. Seu conceito foi definido, em 1986, e atualizado, no ano de 2002, como:

“abordagem que promove qualidade de vida de pacientes e seus familiares diante de doenças que ameaçam a continuidade da vida, através de prevenção e alívio do sofrimento. Requer a identificação precoce, avaliação e tratamento impecável da dor e outros problemas de natureza física, psicossocial e espiritual”¹¹

BENEFÍCIOS DOS CUIDADOS PALIATIVOS EM ONCOLOGIA

Em linhas gerais, os CPs estão centrados no paciente (e não na doença)¹² e objetivam melhorar a qualidade de vida de pacientes com doenças crônicas, potencialmente ameaçadoras à vida, durante toda a trajetória da doença. Entende-se, dentro do conceito de CPs, a importância de equipes multidisciplinares atuando em coordenação interdisciplinar, o olhar multidimensional do paciente (físico, social, psicológico, espiritual), atenção especial ao processo de comunicação, auxílio no processo de decisão, cuidados de fim de

vida e a importância da integração da família nos cuidados.¹³ Os CPs podem ser oferecidos por meio de alguns modelos de assistência, principalmente a nível hospitalar, ambulatorial e domiciliar (tipo *home care*).

Em termos científicos, vários ensaios clínicos randomizados foram conduzidos para mensurar o impacto dos CPs em desfechos clínicos relevantes; a maior parte deles, em oncologia. No estudo clássico de Temel *et al.*,¹⁴ pacientes com câncer de pulmão de células não pequenas iniciando quimioterapia paliativa foram randomizados para receber quimioterapia de primeira linha padrão em associação ou não aos CPs oferecidos precocemente. Os autores concluíram que a integração precoce dos CPs oferece potencial resolutivo na diminuição dos cuidados agressivos no final de vida, além de promover maior registro quanto a preferências de reanimação, menor taxa de depressão, redução no uso de serviços médicos e melhora significativa na qualidade de vida após 12 semanas da inclusão no estudo.

Zimmermann *et al.*¹⁵ avaliaram os efeitos do CP precoce em pacientes com câncer avançado em vários aspectos da qualidade de vida. Embora não houvesse diferença significativa na qualidade de vida espiritual após três meses (objetivo primário do estudo) e relativa escassez de alterações nos sintomas, o estudo mostrou melhora na qualidade de vida global, melhora na qualidade de vida espiritual após 4 meses e na satisfação com os cuidados em favor do grupo que recebeu o CP precoce.

Uma metanálise recente de 43 ensaios clínicos randomizados,¹⁶ em um total de 12.731 pacientes, não apenas oncológicos, mostrou que o CP tem impacto positivo, de pequeno a moderado tamanho de efeito, na qualidade de vida e controle de sintomas após 1 e 3 meses da intervenção. Embora sem metanálise específica, uma melhora consistente foi observada também no planejamento de cuidados, satisfação do paciente e seu cuidador, além de menor utilização dos serviços de saúde.

Embora as evidências apontem para a importância da integração precoce dos CPs na assistência a pacientes com doenças crônicas potencialmente ameaçadoras à vida, o momento

ideal de encaminhamento ao CP, considerando cada perfil de doença e condições do paciente, ainda precisa ser esclarecido.

Dentro de um contexto mais abrangente, em oncologia, os cuidados tipo-*Hospice* são aqueles oferecidos a pacientes em fase final da vida, mais precisamente nos últimos seis meses de vida e incluindo o período de luto. Por outro lado, os CPs são aqueles oferecidos aos pacientes com câncer avançado, independentemente do momento em que se encontram no *continuum* do tratamento oncológico. Alguns autores consideram os cuidados de suporte oncológico (*Supportive Care*, em inglês) como uma denominação mais ampla que engloba também os CPs. Assim, o dito “paciente paliativo” deve ser interpretado com muita cautela, estando em momentos muito distintos do tratamento e com expectativas de vida por vezes muito díspares. Importante ressaltar ainda que, no setor de Urgências e Emergências (U/E), a interpretação da funcionalidade física é limitada, sendo necessária uma interpretação dinâmica da mesma: como o paciente estava nos últimos dias? E nas últimas semanas ou meses?

URGÊNCIA E EMERGÊNCIA COMO OPORTUNIDADE DE INTEGRAÇÃO

Embora seja recomendado que os pacientes com câncer avançado sejam referenciados aos CPs de forma precoce, uma parcela significativa dos mesmos, por motivos diversos, é consultada pelos CPs apenas tardiamente. No Hospital de Câncer de Barretos, em uma amostra retrospectiva de 1.284 pacientes, 65,3% dos pacientes com câncer avançado que foram a óbito chegaram a ser consultados pela equipe de CPs; destes, apenas 46,7% com pelo menos 3 meses antes do óbito, o que pode ser considerado um tempo aceitável para uma abordagem paliativa eficaz. Assim, mesmo considerando o Hospital de Câncer de Barretos como uma instituição de vanguarda em integração dos CPs em oncologia, muito ainda precisa ser melhorado.¹⁷

Assim, o atendimento de pacientes com câncer avançado em unidades de U/E precisa ser entendido como uma oportunidade ímpar para identificação de pacientes potencialmente elegíveis para

o acompanhamento por equipe especializada em CPs. Em essência, todos os pacientes com câncer avançado e incurável, independente do tratamento oncológico em andamento, ao procurar atendimento por um quadro agudo, precisam de avaliação imediata do paliativista e/ou encaminhamento ao CP após o controle do quadro agudo.

PRINCIPAIS CONDIÇÕES DO PACIENTE PALIATIVO NA URGÊNCIA E EMERGÊNCIA

Atualmente, a agressividade do tratamento oncológico é entendida como um critério de má qualidade do cuidado. Dentre os indicadores mais utilizados para a definição de agressividade do tratamento oncológico encontra-se o de Earle.¹⁸ Atendimento em unidade de U/E por duas ou mais vezes no último mês de vida é uma das variáveis desse indicador, sugerindo que pacientes em final de vida devam ser tratados de forma a não necessitarem de atendimentos de U/E, mas sim atendimentos dentro da filosofia *Hospice*, preferencialmente em seus próprios domicílios.

No entanto, até mesmo os pacientes tratados em hospitais terciários oncológicos, que dispõem de equipes especializadas em CPs, unidades específicas de atendimento ambulatorial e serviços de atendimento domiciliar, precisam das unidades de U/E.

Existem inúmeras razões pelas quais os pacientes com câncer avançado procuram as unidades de U/E. A dor é o problema mais comum, além de dispneia, náusea, vômito, deficiências nutricionais, fadiga, sangramentos, anemia, insônia, convulsões e *delirium*.¹⁹⁻²³ Condições mais subjetivas, mas não menos desconfortáveis, como a percepção de piora do desempenho funcional, fragilidade, solidão, sintomas de ansiedade e depressão, também podem ser razões de busca por serviços de U/E.²⁴ A equipe de saúde precisa estar treinada para identificar condições que necessitam apoio de equipe especializada em CPs e/ou outros profissionais, como psicólogos e assistentes sociais. Além do mais, muitos cuidadores familiares encontram-se em situações de grande sobrecarga e se sentem mais confortáveis e seguros ao levar o paciente à unidade de saúde.²⁴

SERVIÇOS DE EMERGÊNCIA E URGÊNCIA DEDICADOS A PACIENTES EM CUIDADOS PALIATIVOS

A maior parte dos pacientes com câncer avançado, quando da ocorrência de complicações agudas, acaba por procurar serviços de U/E de hospitais gerais ou de Hospitais oncológicos. No entanto, raramente, tem a oportunidade de procurar serviços de U/E dedicados exclusivamente aos CPs. Em geral, os serviços de U/E estão capacitados para atendimentos habituais do paciente oncológico, com protocolos bem estabelecidos de triagem por gravidade. Porém, pouco se tem definido quanto às prioridades de atendimento de pacientes com câncer avançado e incurável, particularmente aqueles refratários ao tratamento sistêmico ou sem condições clínicas para serem tratados.

Estes pacientes com doença avançada e incurável apresentam habitualmente carga sintomática importante, sofrimento psicossocial, queda da funcionalidade, fadiga relacionada com o câncer, síndrome de caquexia e anorexia entre outras condições debilitantes, levando muitas vezes aos sofrimentos físico e emocional de seus cuidadores familiares. A busca por atendimento de urgência precisa ser interpretada neste contexto, sendo que as prioridades de atendimento não devem seguir protocolos focados em critérios de instabilidade hemodinâmica, mas sim em tratamento de sintomas e medidas de conforto. Nos pacientes em final de vida, por exemplo, taquicardia ou hipotensão arterial podem ser condições menos urgentes que o tratamento de uma crise de dor ou náuseas e vômitos.

PLANEJAMENTO ANTECIPADO DE CUIDADOS

Uma das principais dificuldades ao avaliar um paciente com câncer avançado em uma unidade de U/E é a definição quanto à indicação de medidas invasivas. Dentre essas medidas invasivas podemos citar a própria hospitalização, indicação de referência às unidades de terapias intensivas (UTIs), reanimação cardiopulmonar, intubação orotraqueal, uso de antibióticos, procedimentos de diálise entre outros.

Entende-se como planejamento antecipado de cuidados (PAC) o processo de discussão entre pacientes, familiares, cuidadores e profissionais da saúde no esclarecimento de objetivos futuros de cuidados e tomada de decisão em situações em que o paciente responde ou comunica suas próprias preferências.²⁵ Inclui discussões sobre metas de atendimento no final da vida, designação de uma procuração de saúde e conclusão de uma diretiva antecipada de vontade (DAV) ou testamento vital.²⁶

O PAC tem sido associado a resultados positivos em cuidados de fim de vida, principalmente no que se refere à redução de alterações psicológicas, como estresse, ansiedade e depressão entre familiares enlutados, mais satisfação com os cuidados, menor taxa de morte em hospitais, encaminhamento mais precoce aos CPs ou *hospice* e redução de medidas agressivas em fim de vida. Assim, faz-se necessário incorporar discussões rotineiras sobre PAC com pacientes com câncer ao longo de seu tratamento oncológico.^{27,28} No entanto, percebe-se que essas discussões sobre fim de vida, ao longo do tratamento, não têm sido tão frequentes, na grande maioria das instituições de saúde.²⁹ Discussões sobre metas de cuidado e sobre Diretivas Antecipadas de Vontade (DAV) raramente são realizadas e, quando são, frequentemente os pacientes já se encontram nos últimos estágios antes da morte.³⁰

Órgãos internacionais que avaliaram as evidências relativas ao PAC sugerem que os pacientes deveriam discutir com seus médicos sobre seus planos de fim de vida quando tivessem pelo menos uma expectativa de vida em torno de um ano.³¹

Existe todo um processo para que ocorra um efetivo PAC de fim de vida, mas que necessariamente depende principalmente da atitude médica para efetivá-las. Médicos relatam uma série de barreiras para a discussão do PAC, como a falta de tempo,³² preocupação com as alterações emocionais que isso possa gerar no paciente³³ e incerteza prognóstica.³⁴

Para realizar um PAC os profissionais podem utilizar algumas documentações, como as Diretivas antecipadas de vontade (DAV) – documentos elaborados pelo paciente, em estado de plena capacidade cognitiva, em que ele pode registrar preferências em

relação aos seus cuidados de fim de vida, desde que seus desejos estejam de acordo com a constituição do país. A DAV é composta por um testamento vital ou por um mandato duradouro.³⁵

Atualmente, observa-se que os profissionais ainda não são muito adeptos as DAV.³⁶ As DAV vêm evoluindo ao longo do tempo em muitos países, mas no Brasil este processo ainda não tem sido colocado em prática por grande parte de pacientes e profissionais da saúde, talvez por falta de conhecimento de ambos. Desta forma, os médicos que atuam em Serviços de U/E frequentemente têm dificuldades em definir o nível de intervenções de cuidado em fim de vida. “Devo reanimar este paciente?”. “Devo encaminhá-lo aos cuidados de terapia intensiva?”. Estas perguntas são frequentes na prática clínica e poderiam ser reduzidas, caso tivéssemos um PAC de fim de vida.

Outra forma de PAC é por meio do POLST (*Physician Orders for Life Sustaining Treatment*.) Recentemente traduzido e adaptado para o Brasil,³⁷ o POLST (Ordens médicas para tratamento de manutenção da vida) tem como objetivo traduzir os valores e as preferências de cuidados atuais dos pacientes, levando em consideração um conjunto de ordens médicas sobre tratamentos prolongadores da vida. Essas ordens são documentadas em um formulário que deve acompanhar o paciente por seu trânsito entre diferentes cenários de cuidados (p. ex.: hospital, domicílio e instituições de longa permanência). O formulário é composto por três seções (A, B e C), sendo que a seção A está relacionada com a não Ressuscitação Cardiopulmonar (RCP), a seção B, ordens como hidratação artificial e uso de antibióticos até intubação traqueal e ventilação mecânica em UTI e, por fim, a seção C contém ordens médicas sobre nutrição por via artificial.

Desde a sua criação, em 1995, tem sido difundido nos Estados Unidos e considerado como uma ferramenta importante no planejamento de cuidados no fim da vida, demonstrando eficácia e aplicabilidade na prática clínica.^{38,39}

DIFICULDADES E POTENCIAIS SOLUÇÕES

Uma das dificuldades para a integração dos CPs em U/E é a carência de médicos que atuam em emergência oncológica com formação em CPs. Esta dificuldade pode ser resolvida ou minimizada de várias maneiras: 1) treinamento dos emergencistas a respeito de conceitos de CPs primários; 2) inclusão de médicos com formação mista (incluindo CPs) entre o corpo clínico que atua em serviço de U/E; 3) capacitação de enfermeiros assistencialistas de U/E em CPs; 4) equipe de consultoria em CPs disponível para discussão de casos e avaliações rápidas.

Outra dificuldade prática, conforme detalhado neste capítulo, é a falta de PAC. Assim, as Instituições de Saúde que atuam em Oncologia devem fomentar a criação de protocolos que estimulem e capacitem as equipes de saúde a realizarem o PAC, seja por meio de DAV e/ou POLST. Adicionalmente, o estímulo ao encaminhamento precoce de pacientes com câncer avançado aos CPs facilitaria sobremaneira nas decisões terapêuticas em situações de “crise aguda”.

REFERÊNCIAS BIBLIOGRÁFICAS

1. Roberts DC, McKay MP, Shaffer A. Increasing rates of emergency department visits for elderly patients in the United States, 1993 to 2003. *Ann Emerg Med* [Internet] 2008 [Acessado em 2018 Dec 10];51:769-74. Disponível em: <http://linkinghub.elsevier.com/retrieve/pii/S019606440701548X>.
2. Barbera L, Taylor C, Dudgeon D. Why do patients with cancer visit the emergency department near the end of life? *CMAJ* [Internet] 2010 [Acessado em 2018 Dec 10];182:563-8. Disponível em: <http://www.cmaj.ca/cgi/doi/10.1503/cmaj.091187>.
3. Figueiredo M. *Cuidados Paliativos no currículo de formação médica: o ensino como lugar de comunidade de aprendizagem*. Universidade Federal de Itajubá; 2013.
4. Figueiredo M. Educação em Cuidados Paliativos: uma experiência brasileira. *Rev Mundo Saude* 2003;27:65-70.
5. Floriani CA, Schramm FR. Casas para os que morrem: a história do desenvolvimento dos hospices modernos. *História, Ciências, Saúde-Manguinhos* [Internet] 2010 [Acessado em 2018 Apr

- 20];17:165-80. Disponível em: http://www.scielo.br/scielo.php?script=sci_arttext&pid=S0104-59702010000500010&lng=pt&tlng=pt
6. Chabner BA, Roberts TG. Chemotherapy and the war on cancer. *Nat Rev Cancer* [Internet] 2005 [Acessado em 2018 Apr 21];5:65-72. Disponível em: <http://www.ncbi.nlm.nih.gov/pubmed/15630416>.
 7. Brooksbank M. Palliative care: Where have we come from and where are we going? *Pain* [Internet] 2009 [Acessado em 2018 Apr 20];144:233-5. Disponível em: <http://www.ncbi.nlm.nih.gov/pubmed/19564077>.
 8. Clark D. From margins to centre: a review of the history of palliative care in cancer. *Lancet Oncol* [Internet] 2007 [Acessado em 2018 Apr 20];8:430-8. Disponível em: <http://www.ncbi.nlm.nih.gov/pubmed/17466900>.
 9. Connor SR. Development of hospice and palliative care in the United States. *Omega* [Internet] [Acessado em 2018 Apr 20];56:89-99. Disponível em: <http://www.ncbi.nlm.nih.gov/pubmed/18051022>.
 10. Elisabeth Kubler-Ross. *Sobre a morte e o morrer*. 9th ed. São Paulo: WMF Martins Fontes, 2008.
 11. Organization WH. WHO Definition of Palliative Care [Internet]. 2014. Disponível em: <http://www.who.int/cancer/palliative/definition/en/>
 12. Mierendorf SM, Gidvani V. Palliative care in the emergency department. *Perm J* [Internet] 2014 [Acessado em 2018 Dec 10];18:77-85. Disponível em: <http://www.thepermanentejournal.org/issues/2014/spring/5603-palliative-care.html>
 13. Hui D, Bruera E. Integrating palliative care into the trajectory of cancer care. *Nat Rev Clin Oncol* [Internet] 2016 [Acessado em 2018 Apr 21];13:159-71. Disponível em: <http://www.ncbi.nlm.nih.gov/pubmed/26598947>.
 14. Temel JS, Greer JA, Muzikansky A et al. Early palliative care for patients with metastatic non-small-cell lung cancer. *Engl J Med* [Internet] 2010 [Acessado em 2014 Oct 29];363:733-42. Disponível em: <http://www.ncbi.nlm.nih.gov/pubmed/20818875>.

15. Zimmermann C, Swami N, Krzyzanowska M *et al.* Early palliative care for patients with advanced cancer: a cluster-randomised controlled trial. *Lancet* [Internet] 2014 [Acessado em 2014 Sep 10];383:1721-30. Disponível em: <http://www.ncbi.nlm.nih.gov/pubmed/24559581>.
16. Kavalieratos D, Corbelli J, Zhang D *et al.* Association Between Palliative Care and Patient and Caregiver Outcomes. *JAMA* [Internet] 2016 [Acessado em 2018 Apr 21];316:2104. Disponível em: <http://www.ncbi.nlm.nih.gov/pubmed/27893131>.
17. de Oliveira Valentino TC, Paiva BSR, de Oliveira MA *et al.* Factors associated with palliative care referral among patients with advanced cancers: a retrospective analysis of a large Brazilian cohort. *Support. Care Cancer* [Internet] 2018 [Acessado em 2018 Sep 11];26:1933-41. Disponível em: <http://link.springer.com/10.1007/s00520-017-4031-y>.
18. Earle CC, Park ER, Lai B *et al.* Identifying Potential Indicators of the Quality of End-of-Life Cancer Care From Administrative Data *J Clin Oncol* [Internet] 2003 [Acessado em 2018 Jul 26];21:1133-8. Disponível em: <http://www.ncbi.nlm.nih.gov/pubmed/12637481>.
19. Nauck F, Alt-Epping B. Crises in palliative care--a comprehensive approach. *Lancet Oncol* [Internet] 2008 [Acessado em 2018 Dec 10];9:1086-91. Disponível em: <http://linkinghub.elsevier.com/retrieve/pii/S147020450870278X>.
20. Shin SH, Hui D, Chisholm GB *et al.* Characteristics and outcomes of patients admitted to the acute palliative care unit from the emergency center. *Pain Symptom Manage* [Internet] 2014 [Acessado em 2018 Dec 10];47:1028-34. Disponível em: <https://linkinghub.elsevier.com/retrieve/pii/S0885392413004855>.
21. Radbruch L, Nauck F, Ostgathe C *et al.* What are the problems in palliative care? Results from a representative survey. *Support Care Cancer* [Internet] 2003 [Acessado em 2018 Dec 10];11:442-51. Disponível em: <http://link.springer.com/10.1007/s00520-003-0472-6>.
22. Teunissen SC, de Graeff A, de Haes HC, Voest EE. Prognostic significance of symptoms of hospitalised advanced cancer patients. *Eur J Cancer* [Internet] 2006 [Acessado em 2019 Jan

- 6];42:2510-6. Disponível em: <http://linkinghub.elsevier.com/retrieve/pii/S0959804906005260>.
23. Schrijvers D, van Fraeyenhove F. Emergencies in palliative care. *Cancer J* [Internet] 2010 [Acessado em 2019 Jan 6];16:514-20. Disponível em: <https://insights.ovid.com/crossref?an=00130404-201009000-00015>.
24. Hjermstad MJ, Kolflaath J, Løkken AO *et al*. Are emergency admissions in palliative cancer care always necessary? Results from a descriptive study. *BMJ Open* [Internet] 2013 [Acessado em 2018 Dec 10];3:e002515. Disponível em: <http://bmjopen.bmj.com/lookup/doi/10.1136/bmjopen-2012-002515>.
25. Sudore RL, Fried TR. Redefining the “planning” in advance care planning: preparing for end-of-life decision making. *Ann Intern Med* [Internet] 2010 [Acessado em 2018 Dec 10];153:256-61. Disponível em: <http://annals.org/article.aspx?doi=10.7326/0003-4819-153-4-201008170-00008>.
26. Epstein AS, Volandes AE, O'Reilly EM. Building on Individual, State, and Federal Initiatives for Advance Care Planning, an Integral Component of Palliative and End-of-Life Cancer Care. *Oncol Pract* [Internet] 2011 [Acessado em 2018 Dec 10];7:355-9. Disponível em: <http://ascopubs.org/doi/10.1200/JOP.2011.000355>.
27. Bischoff KE, Sudore R, Miao Y *et al*. Advance care planning and the quality of end-of-life care in older adults. *Am Geriatr Soc* [Internet] 2013 [Acessado em 2018 Dec 10];61:209-14. Disponível em: <http://doi.wiley.com/10.1111/jgs.12105>.
28. Detering KM, Hancock AD, Reade MC, Silvester W. The impact of advance care planning on end of life care in elderly patients: randomised controlled trial. *BMJ* [Internet] 2010 [Acessado em 2018 Dec 10];340:c1345. Disponível em: <http://www.bmj.com/cgi/doi/10.1136/bmj.c1345>.
29. Brinkman-Stoppelenburg A, Rietjens JAC, van der Heide A. The effects of advance care planning on end-of-life care: a systematic review. *Palliat Med* [Internet] 2014 [Acessado em 2018 Dec 10];28:1000-25. Disponível em: <http://journals.sagepub.com/doi/10.1177/0269216314526272>.

30. Dy SM, Asch SM, Lorenz KA *et al.* Quality of End-of-Life Care for Patients with Advanced Cancer in an Academic Medical Center. *Palliat Med* [Internet] 2011 [Acessado em 2018 Dec 10];14:451-7. Disponível em: <http://www.ncbi.nlm.nih.gov/pubmed/21391819>.
31. Garrido MM, Prigerson HG. The end-of-life experience: Modifiable predictors of caregivers' bereavement adjustment. *Cancer* [Internet] 2014 [Acessado em 2018 Dec 10];120:918-25. Disponível em: <http://www.ncbi.nlm.nih.gov/pubmed/24301644>.
32. Knauff E, Nielsen EL, Engelberg RA *et al.* Barriers and facilitators to end-of-life care communication for patients with COPD. *Chest* [Internet] 2005 [Acessado em 2018 Dec 10];127:2188-96. Disponível em: <http://linkinghub.elsevier.com/retrieve/pii/S0012369215498253>.
33. Rhee JJ, Zwar NA, Kemp LA. Advance care planning and interpersonal relationships: a two-way street. *Fam Pract* [Internet] 2013 [Acessado em 2018 Dec 10];30:219-26. Disponível em: <https://academic.oup.com/fampra/article-lookup/doi/10.1093/fampra/cms063>.
34. Gott M, Gardiner C, Small N *et al.* Barriers to advance care planning in chronic obstructive pulmonary disease. *Palliat Med* [Internet] 2009 [Acessado em 2018 Dec 10];23:642-8. Disponível em: <http://journals.sagepub.com/doi/10.1177/0269216309106790>.
35. Dadalto L. Aspectos registraes das diretivas antecipadas de vontade. *civilistica.com* [Internet]. 2013 [Acessado em 2019 Jan 6];2. Disponível em: <http://civilistica.com/aspectos-registraes-das-diretivas-antecipadas-de-vontade/>
36. Mack JW, Cronin A, Keating NL *et al.* Associations between end-of-life discussion characteristics and care received near death: a prospective cohort study. *Clin Oncol* [Internet] 2012 [Acessado em 2018 Dec 10];30:4387-95. Disponível em: <http://ascopubs.org/doi/10.1200/JCO.2012.43.6055>.
37. Mayoral VFS, Fukushima FB, Rodrigues AM *et al.* Cross-Cultural Adaptation of the Physician Orders for Life-Sustaining Treatment Form to Brazil. *J Palliat Med* [Internet] 2018 [Acessado em 2018 Dec 10];21:815-9. Disponível em: <http://www.liebertpub.com/doi/10.1089/jpm.2017.0590>.

38. Fromme EK, Guthrie AE, Grueber CM. Transitions in end-of-life care: the Oregon trail. *Front Health Serv Manage* [Internet] 2011 [Acessado em 2018 Dec 10];27:3-16. Disponível em: <http://www.ncbi.nlm.nih.gov/pubmed/21488559>.
39. Hickman SE, Keevern E, Hammes BJ. Use of the Physician Orders for Life-Sustaining Treatment Program in the Clinical Setting: A Systematic Review of the Literature. *Am Geriatr Soc* [Internet] 2015 [Acessado em 2018 Dec 10];63:341-50. Disponível em: <http://www.ncbi.nlm.nih.gov/pubmed/25644280>.

ÍNDICE REMISSIVO

Entradas acompanhadas por um *f* ou *q* em itálico indicam figuras e quadros, respectivamente.

A

AAP (Abdome Agudo Perfurativo)

- em oncologia, [357-361](#)
 - cólon, [360](#)
 - diagnóstico, [359](#), [360](#)
 - diferencial, [360](#)
 - esôfago, [357](#)
 - estômago, [357](#)
 - GIST, [358](#)
 - linfoma, [358](#)
 - NET, [358](#)
 - intestino delgado, [357](#), [359](#)
 - reto, [360](#)
 - tratamento, [360](#)

Abdome

- agudo cirúrgico, [341-373](#)
 - dor abdominal, [370-373](#)
 - no paciente imunocomprometido, [370-373](#)
 - em oncologia, [357-361](#), [363-365](#)
 - AAP, [357-361](#)
 - hemorragia intra-abdominal, [363-365](#)
- linfoma, [366-369](#)
 - urgências abdominais no, [366-369](#)
- obstrução intestinal, [351-354](#)

- baixa, [351-354](#)
- ODA, [341-347](#)
- não cirúrgico, [305-339](#)
 - ascite, [310-311](#)
 - relacionada com a malignidade, [310-311](#)
 - colangite aguda, [331-339](#)
 - EN, [307-309](#)
 - FHF, [313-315](#)
 - HDB, [323-329](#)
 - proctite, [305-306](#)
 - secundária à radioterapia, [305-306](#)
 - sangramento digestivo alto, [316-320](#)
- toxicidade no, [82](#)
 - associada à radioterapia, [82](#)

Acidose

- D-lática, [64](#)

ADH (Hormônio Antidiurético), [51](#)

- secreção inapropriada de, *ver SIADH*

- síndrome de, *ver SSIADH*

ADIC (Anemia das Doenças Inflamatórias Crônicas), [157](#)

ADV (Adenovírus)

- infecção por, [192](#)

- pós-TCTH, [192](#)

Afecção(ões)

- dermatológicas, [467-495](#)

- DPNs, [481-486](#)

- DR, [469-473](#)

- HZ, [475-479](#)

- reações adversas graves, [489-493](#)

- induzidas por fármacos, [489-493](#)

Agente(s)

- antineoplásicos, [102q](#)

- causadores de lesão, [102q](#)

- no SNC, [102q](#)

biológicos, [109](#)

reações infusionais aos, [109](#)

anticorpos monoclonais, [111](#)

antraciclinas, [110](#)

asparaginase, [110](#)

bleomicina, [110](#)

etoposídeo, [110](#)

imunoterapia, [110](#)

platinas, [109](#)

taxanos, [110](#)

AI (Aspergilose Invasiva)

pré-TCTH, [190](#)

AKIN (*Acute Kidney Injury Network*), [47f](#)

critério, [46q](#)

abordagem diagnóstica por, [46q](#)

AL (Acidose Láctica)

na terapia intensiva oncológica, [63-67](#)

cl clinicamente, [63](#)

tipos de, [63](#)

A, [63](#)

B, [64](#)

D-láctica, [64](#)

de Washout, [65](#)

fisiopatologia, [63](#)

tratamento, [65](#)

tipo A, [65](#)

tipo B, [66](#)

tratamento da, [64f](#)

controversia do, [64f](#)

bicarbonato de sódio, [64f](#)

Alteração

do estado mental, [395-397](#)

no paciente grave, [395-397](#)

abordagem, [396](#)

- geral, 396
- neurológica, 396
- diagnóstico diferencial, 396
- ferramentas diagnósticas auxiliares, 397
- fisiopatologia, 396
- neuroanatomia, 396
- neuroimagem, 397
- terminologia, 395

Alvo Transfusional

- desejado, 147q
- na emergência, 147q
- na urgência, 147q

Anafilaxia

- critérios clínicos para, 107q
- manejo de, 109

Anemia

- câncer-relacionada, 155f, 162q
- alterações envolvidas, 162q
- nas diferentes fases, 162q
- fatores etiológicos envolvidos na, 155f
- evolução temporal de, 155f
- no paciente oncológico, 155-162
- abordagem diagnóstica, 160
- anamnese, 160
- exames laboratoriais, 160
- bioquímicos, 160
- hemograma, 160
- raciocínio clínico inicial, 160
- abordagem terapêutica, 161
- aspectos, 155-162
- fisiopatológicos, 155-162
- gerais, 155
- epidemiologia, 156
- mecanismos fisiopatológicos, 156

- perneoplasia, [159f](#)
- por insuficiência de MO, [159f](#)
 - por infiltração, [159f](#)
 - por metástases, [159f](#)
- pré-neoplasia, [157f](#)

Angiectasia

- HDB por, [324](#)
- tratamento endoscópico, [327](#)

ANM (Acantose *Nigricans* Maligna), [483](#)

Antibioticoterapia

- duração recomendada de, [337q](#)
- nas complicações dos CVC, [205](#)
 - infecções, [205](#)
- para infecções biliares, [336q](#)
 - agudas, [336q](#)

Anticoagulação

- sangramento secundário ao uso de, [149](#)
 - profilática, [149](#)
 - terapêutica, [149](#)

Anticorpo(s)

- monoclonais, [111](#)
 - reações infusionais, [111](#)

Antieméticos(s)

- no tratamento oncológico, [71](#)

Antraciclina(s)

- reações infusionais, [110](#)

AP (Acroceratose Paraneoplásica), [483](#)

APC (Coagulação com Plasma de Argônio), [318](#)

- na obstrução esofágica, [343](#)
 - maligna, [343](#)

Apendicite

- aguda, [368](#), [372](#)
 - dor abdominal por, [372](#)
 - no paciente imunocomprometido, [372](#)

linfoma como, [368](#)

Arritmia

quimioterápicos e, [229](#)

Arritmia(s), [269-276](#)

bradiarritmias, [272](#)

quadro clínico, [274](#)

tipos de, [272](#)

bloqueios atrioventriculares, [272](#)

sinusal, [272](#)

tratamento, [274](#)

algoritmo de, [274f](#)

estável, [274](#)

instável, [274](#)

MP, [276](#)

transcutâneo, [276](#)

transvenoso, [276](#)

principais fármacos, [275](#)

como efeito cardiotóxico, [87](#)

da quimioterapia, [87](#)

condição hemodinâmica, [269](#)

manifestações da, [269](#)

CVC e, [208](#)

taquiarritmias, [269](#)

abordagem terapêutica das, [269](#)

diagnóstico das, [269](#)

taquicardias de complexo QRS estreito, [269](#)

Ascite

relacionada com a malignidade, [310-311](#)

abordagem diagnóstica, [310](#)

exames de imagem, [311](#)

paracentese diagnóstica, [310](#)

etiologia, [310](#)

principais causas, [310](#)

fisiopatologia, [310](#)

- quadro clínico, [310](#)
- tratamento, [311](#)
 - cateteres permanentes, [311](#)
 - diuréticos, [311](#)
 - paracentese, [311](#)
 - quimioterapia intracavitária, [311](#)

Asma

- crônica, [295](#)
 - avaliação de gravidade, [295](#)
 - diagnóstico, [295](#)
 - tratamento, [295](#)
 - anticolinérgicos, [296](#)
 - avaliação de complicações, [296](#)
 - broncodilatadores beta₂ adrenérgicos, [296](#)
 - corticosteroides, [296](#)
 - intubação orotraqueal, [296](#)
 - sulfato de magnésio, [296](#)
 - suplementação de oxigênio, [295](#)
 - ventilação mecânica invasiva, [296](#)
- VNI, [296](#)

Asparaginase

- reações infusionais, [110](#)

Aspirina

- uso de, [150](#)
 - sangramento secundário ao, [150](#)

Atropina

- nas bradiarritmias, [275](#)

B

Baixo Débito

- avaliando a presença de, [252q](#)

Barbitúrico(s)

- na HIC, [410](#)

BAVT (Bloqueio Atrioventricular Total), [10](#), [273](#)

Bazex

síndrome de, [483](#)

Bevacizumabe

nefrotoxicidade por, [100](#)

Bleomicina

reações infusionais, [110](#)

Bloqueio(s)

atrioventriculares, [272](#), [273](#)

de 1º grau, [273](#)

de 2º grau, [273](#)

tipo I, [273](#)

tipo II, [273](#)

de 3º grau, [273](#)

Bortezomibe

neuropatia por, [101](#)

periférica, [101](#)

Bradiarritmia(s)

quadro clínico, [274](#)

tipos de, [272](#)

bloqueios atrioventriculares, [272](#)

sinusal, [272](#)

tratamento, [274](#)

algoritmo de, [274f](#)

estável, [274](#)

instável, [274](#)

MP, [276](#)

transcutâneo, [276](#)

transvenoso, [276](#)

principais fármacos, [275](#)

atropina, [275](#)

dopamina, [275](#)

epinefrina, [275](#)

Broncoconstrição

aguda, [93](#)

Broncoscopia

na obstrução esofágica, [342](#)

maligna, [342](#)

BTP (*Breakthrough Pain*), [120](#)

C

CAA (Colangite Aguda), [331-339](#)

causas de, [333q](#)

comentários, [338](#)

critérios diagnósticos para, [335q](#)

diagnóstico, [334](#)

diferencial, [334q](#)

epidemiologia, [332](#)

etiologia, [332](#)

exames, [332](#)

laboratoriais, [332](#)

radiológicos, [332](#)

fisiopatologia, [331](#)

gravidade de, [336q](#)

avaliação de, [336q](#)

critérios para, [336q](#)

histórico, [331](#)

manifestações clínicas, [332](#)

microbiologia, [332](#)

prognóstico, [338](#)

tratamento, [334](#)

Cabeça

e pescoço, [417-429](#)

emergência em, [417-429](#)

obstrução das VAS, [419-424](#)

sangramento cervical, [425-429](#)

SRC, [425-429](#)

toxicidade na, [80](#)

associada à radioterapia, [80](#)

- mucosite oral, [81](#)
- xerostomia, [81](#)

Cálcio

- distúrbios do, [23-25](#)
- hipercalcemia, [23](#)
- hipocalcemia, [24](#)

Câncer

- causas da HDB, [323](#), [324](#)
- associadas ao, [324](#)
 - ao tratamento oncológico, [324](#)
 - metastático gastrointestinal, [324](#)
 - primário, [324](#)
- não associadas ao, [323](#)
 - angiectasia, [324](#)
 - colite isquêmica, [324](#)
 - diverticulose, [323](#)
 - hemorroidas, [324](#)
 - sangramento pós-polipectomia, [324](#)

- epidemiologia do, [3-5](#)
 - em hospital oncológico, [3-5](#)
 - no Brasil, [3-5](#)

- obstrução por, [353f](#), [354f](#)
 - de cólon, [353f](#), [354f](#)
 - direito, [353f](#)
 - esquerdo, [354f](#)
 - de reto, [354f](#)
 - distal, [354f](#)
 - médio, [354f](#)

- paciente com, [43-49](#)
 - diálise no, [43-49](#)
 - abordagem, [46](#)
 - diagnóstica, [46](#)
 - terapêutica, [46](#)
 - definições, [43](#)

- epidemiologia, [43](#)
- fisiopatologia, [43](#)
- LRA, [44](#)
- insuficiência renal aguda no, [43-49](#)
 - abordagem, [46](#)
 - diagnóstica, [46](#)
 - terapêutica, [46](#)
 - definições, [43](#)
 - epidemiologia, [43](#)
 - fisiopatologia, [43](#)
 - LRA, [44](#)
- sangramento relacionado com o, [145](#)
- Candidemia
 - pré-TCTH, [190](#)
- Candidíase
 - oral, [78](#)
 - no tratamento oncológico, [78](#)
- Carboplatina
 - nefrotoxicidade por, [99](#)
 - neuropatia por, [101](#)
 - periférica, [101](#)
- Cardiomiopatia
 - relacionada a quimioterápicos, [227](#)
 - acompanhamento, [227](#)
 - definição, [227](#)
 - fatores de risco, [227](#)
 - incidência, [227](#), [228q](#)
 - terapia, [228](#)
 - medicamentosa, [228](#)
 - não farmacológica, [228](#)
- Cardiotoxicidade
 - TCTH e, [182](#)
- CAT (Trombose Associada ao Câncer), [239-245](#)
 - TEP, [244](#)

TEV, [239](#)

- contradições à anticoagulação, [240](#)

- profilática, [240](#)

- terapêutica, [240](#)

- diagnóstico de, [240](#)

- epidemiologia do, [239](#)

- prevenção do, [240](#)

- tratamento do, [241](#)

- tratamento de, [242q](#)

- anticoagulante para, [242q](#)

- advertências, [243q](#)

- contraindicações, [243q](#)

- opções de, [242q](#)

- recomendações de, [242q](#)

Cateter(es)

- de Schiller, [208f](#)

- trajeto anormal do, [208f](#)

- estreitamento do, [210f](#)

- extremidade distal do, [208f](#), [209f](#)

- em arco aórtico, [208f](#)

- em veia ázigo, [209f](#)

- fraturado, [210f](#)

- na artéria pulmonar, [210f](#)

- direita, [210f](#)

- inserção pleural, [291](#)

- pleurodese *versus*, [291](#)

- permanentes, [311](#)

- na ascite, [311](#)

- relacionada com a malignidade, [311](#)

- totalmente implantados, [205q](#)

- infecções locais associadas a, [205q](#)

- diagnóstico de, [205q](#)

- tunelizados, [205q](#)

- infecções locais associadas a, [205q](#)

- diagnóstico de, [205q](#)
- CBC (Carcinoma Basocelular)
 - pigmentado, [472f](#)
 - em área de DR, [472f](#)
- CCR (Câncer Colorretal), [324](#), [360](#)
 - tratamento endoscópico, [327](#)
- CEC (Carcinoma Espinocelular), [483](#)
- Cetamina
 - uso clínico, [117](#)
- Cetorolaco
 - uso clínico, [116](#)
- CH (Cistite Hemorrágica)
 - induzida, [389-391](#)
 - por produtos químicos, [389q](#)
 - causas de, [389q](#)
 - por quimioterápicos, [389-391](#)
 - por radioterapia, [389-391](#)
 - refratária, [391](#)
 - manejo cirúrgico da, [391](#)
 - tratamento, [390](#)
 - viral, [192](#)
 - infecção pós-TCTH por, [192](#)
 - diagnóstico, [192](#)
 - tratamento, [192](#)
- Child-Pugh
 - classificação de, [315q](#)
 - para estratificação, [315q](#)
 - de pacientes cirróticos, [315q](#)
- CIA (Centro de Intercorrências Ambulatoriais), [9](#)
 - do HCB, [9f](#), [10q](#)
 - atendimento prestado no, [9f](#)
 - classificação, [9f](#)
 - principais motivos de atendimentos no, [10q](#), [11q](#)
 - de urgência, [11q](#)

emergenciais, [10q](#)

Ciclofosfamida

nefrotoxicidade por, [99](#)

CIPN (Neuropatia Induzida por Quimioterapia)

abordagem da, [102](#)

preventiva, [102](#)

terapêutica, [102](#)

Cirurgia

na obstrução intestinal, [353](#)

baixa, [353](#)

Cisplatina

nefrotoxicidade por, [99](#)

neuropatia por, [101](#)

periférica, [101](#)

Citorredução

na hiperleucocitose, [138](#)

CIVD (Coagulação Intravascular Disseminada), [137](#), [145](#)

abordagem, [148](#)

CMV (Citomegalovírus)

infecção por, [190](#)

pós-TCTH, [190](#)

Coagulação

distúrbios de, [150](#)

hereditários, [150](#)

Colangite

ascendente, *ver* CAA

Colecistite

aguda, [372](#)

dor abdominal por, [372](#)

no paciente imunocomprometido, [372](#)

Colite

isquêmica, [324](#)

HDB por, [324](#)

Cólon

direito, [353](#)

neoplasia do, [353](#)

obstrutiva, [353](#)

obstrução de, [353f](#)

por câncer, [353f](#)

esquerdo, [353](#)

neoplasia do, [353](#)

obstrutiva, [353](#)

obstrução de, [354f](#)

por câncer, [354f](#)

perfuração do, [360](#)

Colonoscopia

na HDB, [326](#)

diagnóstico, [326](#)

momento de realização, [326](#)

Complicação(ões) Oral(is)

no tratamento oncológico, [77-78](#)

candidíase oral, [78](#)

Comunicação

de notícias difíceis, [499-502](#)

estratégias para, [500](#)

nos serviços de emergência, [499](#)

barreiras, [499](#)

protocolo SPIKES, [500](#)

Congestão

avaliando a presença de, [252q](#)

Consideração(ões) Cardiovascular(es)

no paciente oncológico, [227-231](#)

arritmia, [229](#)

cardiomiopatia, [227](#)

quimioterápicos e, [227](#)

derrame pericárdico, [230](#)

doenças, [230](#), [231](#)

arterial periférica, [231](#)

- orovalvares, [230](#)

- HAP, [230](#)

- HAS, [230](#)

- prolongamento do intervalo QT, [229](#)

- SCA, [228](#)

Constipação

- intestinal, [73](#)

- no tratamento oncológico, [73](#)

- tratamento da, [73](#)

Consumo

- plaquetário, [147](#)

- abordagem, [147](#)

Contaminação

- bacteriana, [174](#)

- diagnóstico, [174](#)

- etiologia, [174](#)

- prevalência, [174](#)

- prevenção, [174](#)

- quadro clínico, [174](#)

- reações transfusionais por, [174](#)

- tratamento, [174](#)

Corticosteroide(s)

- na HIC, [410](#)

CPM (Colite Pseudomembranosa)

- dor abdominal por, [371](#)

- no paciente imunocomprometido, [371](#)

CPPC (Câncer de Pulmão de Pequenas Células), [51](#)

CPs (Cuidados Paliativos), [497-508](#)

- comunicação, [499-502](#)

- de notícias difíceis, [499-502](#)

- histórico, [503](#)

- conceitos, [503](#)

- princípios, [503](#)

- em oncologia, [504](#)

- benefícios dos, 504
- urgência, 504
 - como oportunidade de integração, 504
 - paciente na, 505
 - principais condições do, 505
 - serviços dedicados a, 505
- emergência, 504
 - como oportunidade de integração, 504
 - paciente na, 505
 - principais condições do, 505
 - serviços dedicados a, 505
- PAC, 505
- dificuldades, 506
 - potenciais soluções, 506
- Cricotireoidotomia
 - indicar uma, 420
 - por punção, 422
 - técnica de, 422
- Crioprecipitado
 - transusão de, 166
- Crise
 - de dor, 123
 - manejo da, 132
 - adjuvantes no, 123q
 - em oncologia, 123
- CTCAE (*Common Terminology Criteria for Adverse Events*), 107, 108q
- CTH (Células-Tronco Hematopoiéticas), 179
- Curth
 - critérios de, 481q
- CVC (Cateteres Venosos Centrais)
 - complicações dos, 203-210
 - infecciosas, 203
 - diagnóstico, 204

- epidemiologia, [203](#)
- fatores de risco, [203](#)
- fisiopatologia, [204](#)
- tratamento, [205](#)
 - antibioticoterapia, [205](#)
 - das infecções locais, [207](#)
 - lock therapy*, [205](#)
 - retirada do cateter, [205](#)
 - tempo de, [206](#)
 - terapia de selo, [205](#)
- não infecciosas, [207](#)
 - agudas, [207](#)
 - arritmias, [208](#)
 - embolias aéreas, [208](#)
 - hemorragias, [207](#)
 - lesões vasculares, [207](#)
 - pneumotórax, [207](#)
 - crônicas, [208](#)

D

DCV (Doença Cardiovascular), [227](#)

DECH (Doença do Enxerto Contra Hospedeiro), [183](#)

DECHa (Doença do Enxerto Contra Hospedeiro Aguda), [183](#)

DECHc (Doença do Enxerto Contra Hospedeiro Crônica)

- classificação, [185](#)
- diagnóstico, [184](#)
- tratamento, [185](#)

Dermatite

- radioterapia e, [80](#)

Dermatose

- neutrofílica aguda, [485](#)
- febril, [485](#)

Derrame

- pericárdico, [230](#)

- quimioterápicos e, [230](#)
- Derrame Pleural
 - neoplásico, [289-292](#)
 - avaliação diagnóstica, [290](#)
 - conceitos gerais, [289](#)
 - diagnóstico diferencial, [290](#)
 - maligno, [291](#)
 - abordagem terapêutica, [291](#)
 - prognóstico, [292](#)
 - quadro clínico, [290](#)
- Descompressão
 - entérica, [347](#)
 - gastrostomia percutânea, [347](#)
 - descompressiva, [347](#)
 - sonda nasogástrica, [347](#)
- Desleucocitação
 - dos hemocomponentes, [166](#)
- Destruição
 - plaquetária, [147](#)
 - precoce, [147](#)
 - abordagem, [147](#)
- Dexametasona
 - uso clínico, [116](#)
- Diálise
 - no paciente com câncer, [43-49](#)
 - abordagem, [46](#)
 - diagnóstica, [46](#)
 - terapêutica, [46](#)
 - definições, [43](#)
 - epidemiologia, [43](#)
 - fisiopatologia, [43](#)
 - LRA, [44](#)
- Diarreia
 - no tratamento oncológico, [73](#)

- tratamento da, [73](#)
- SHU com, [57](#)
- Dilatação
 - esofágica, [343](#)
 - na obstrução esofágica, [343](#)
 - maligna, [343](#)
- Dipirona
 - uso clínico, [116](#)
- Disfunção
 - do dispositivo vascular, [209f](#)
 - investigação da, [209f](#)
 - algoritmo da, [209f](#)
- Dispositivo
 - vascular, [209f](#)
 - disfunção do, [209f](#)
 - algoritmo da investigação da, [209f](#)
- Distúrbio(s)
 - da glicemia, [33-34](#)
 - hipoglicemia, [33](#)
 - de coagulação, [150](#)
 - hereditários, [150](#)
 - do cálcio, [23-25](#)
 - hipercalcemia, [23](#)
 - hipocalcemia, [24](#)
 - do fósforo, [39-41](#)
 - hiperfosfatemia, [39](#)
 - hipofosfatemia, [40](#)
 - do magnésio, [35-37](#)
 - diagnóstico, [35](#)
 - hipermagnesemia, [36](#)
 - hipomagnesemia, [35](#)
 - do potássio, [27-30](#)
 - hipercaliemia, [29](#)
 - hipocaliemia, [27](#)

- do sódio, [15-20](#)
 - hipernatremia, [19](#)
 - hiponatremia, [15](#)
- hemorrágicos, [146q](#)
 - diagnóstico laboratorial de, [146q](#)
- hemostáticos, [146q](#)
 - mais prevalentes, [146q](#)
 - nos pacientes oncológicos, [146q](#)
- respiratórios, [286q](#)
 - etiologia dos, [286q](#)
 - diagnóstico diferencial da, [286q](#)
- Distúrbio(s) da Hemostasia
 - no paciente oncológico, [145-151](#)
 - epidemiologia, [145](#)
 - fisiopatologia, [145](#)
 - sangramento disfuncional, [145](#)
 - na emergência oncológica, [145](#)
 - diagnosticando, [145](#)
 - tratando, [145](#)
- Diurético(s)
 - na ascite, [311](#)
 - relacionada com a malignidade, [311](#)
- Diverticulite
 - dor abdominal por, [372](#)
 - no paciente imunocomprometido, [372](#)
- Diverticulose
 - HDB por, [323](#)
 - tratamento endoscópico, [327](#)
- DM (Dermatomiosite), [486](#)
- DOACs (Anticoagulantes Orais Diretos)
 - uso de, [150](#)
 - sangramento secundário ao, [150](#)
- Docetaxel
 - neuropatia por, [101](#)

periférica, [101](#)

Doença(s)

de Lyell, [489](#)

pulmonar, [93](#)

veno-oclusiva, [93](#)

quimioterápicos e, [93](#)

quimioterápicos e, [230](#), [231](#)

arterial periférica, [231](#)

orovalvares, [230](#)

Dopamina

nas bradiarritmias, [275](#)

Dor

abdominal, [370-373](#)

no paciente imunocomprometido, [370-373](#)

apendicite aguda, [372](#)

colecistite aguda, [372](#)

CPM, [371](#)

diagnósticos diferenciais, [371](#)

diverticulite, [372](#)

EN, [371](#)

neutropenia, [370](#)

principais causas, [371](#)

tratamento inicial, [373f](#)

aguda, [175](#)

relacionada com transfusão, [175](#)

diagnóstico, [175](#)

etiologia, [175](#)

prevalência, [175](#)

prevenção, [175](#)

quadro clínico, [175](#)

tratamento, [175](#)

Dor Oncológica, [113-133](#)

características da, [121q](#)

etiológicas, [121q](#)

- temporais, [121q](#)
- drogas de uso clínico, [115-117](#)
- tratamento clínico da, [119-124](#)
 - achados clínicos, [120](#)
 - anamnese, [122](#)
 - exames complementares, [122](#)
 - definições, [119](#)
 - etiologia, [119](#)
 - fisiopatologia, [119](#)
 - manejo da crise, [123](#)
 - medicamentos analgésicos, [123](#)
 - na urgência, [124f](#)
 - fluxograma do, [124f](#)
- tratamento intervencionista da, [126-132](#)
 - cuidados pré-procedimentos, [127](#)
 - G1, [130](#)
 - G2, [131](#)
 - G3, [132](#)
 - indicação, [127](#)
 - investigação, [127](#)
- DPNs (Dermatoses Paraneoplásicas), [481-486](#)
 - definição, [481](#)
 - critérios de Curth, [481q](#)
 - principais, [481](#), [482q](#)
 - ANM, [483](#)
 - AP, [483](#)
 - dermatose neutrofílica aguda, [485](#)
 - febril, [485](#)
 - DM, [486](#)
 - EGR, [484](#)
 - ENM, [484](#)
 - HLA, [484](#)
 - ictiose adquirida, [483](#)
 - paquidermatoglifia adquirida, [483](#)

- PG, [486](#)
- PPN, [484](#), [485f](#)
- PR, [484](#)
- sinal de Leser-Trélat, [483](#)
- síndrome, [483](#)
 - de Bazex, [483](#)
 - de Sweet, [485](#)
 - do glucagonoma, [484](#)
 - tripe palms*, [483](#)
- DPOC (Doença Pulmonar Obstrutiva Crônica)
 - diagnóstico, [296](#)
 - tratamento, [297](#)
 - adjuvantes, [298](#)
 - antibióticos, [297](#)
 - broncodilatadores, [297](#)
 - corticosteroides, [297](#)
 - suplementação de oxigênio, [297](#)
 - suporte ventilatório, [297](#)
 - ventilação mecânica invasiva, [297](#)
 - VNI, [297](#)
- DR (Dermatite Radioterápica), [469-473](#)
 - definição, [469](#)
 - fisiopatologia, [469](#)
 - fatores de risco, [469](#)
 - apresentação clínica, [470](#)
 - gravidade da, [470q](#)
 - escala de classificação de, [470q](#)
 - aguda, [470f](#), [471f](#), [472q](#)
 - abordagem da, [473q](#)
 - recomendações na, [473q](#)
 - características clínicas da, [472q](#)
 - manejo terapêutico, [472](#)
 - prevenção da, [472](#)
 - crônica, [472f](#)

- CBC em área de, [472f](#)
 - pigmentado, [472f](#)
- DRC (Doença Renal Crônica), [43](#)
- Drenagem
 - cirúrgica, [279](#)
 - do pericárdio, [279](#)
 - no tamponamento cardíaco, [279](#)
- DRESS (*Drug Reaction with Eosinophilia and Systemic Symptoms*), [492](#)
 - critérios diagnósticos para, [493q](#)
- Droga(s)
 - de uso clínico, [115-117](#)
 - cetamina, [117](#)
 - cetorolaco, [116](#)
 - dexametasona, [116](#)
 - dipirona, [116](#)
 - lidocaína, [117](#)
 - lorazepam, [117](#)
 - metadona, [116](#)
 - morfina, [116](#)
 - naloxona, [117](#)
 - tramadol, [115](#)

E

- EBV (Vírus Epstein-Barr)
 - infecção por, [191](#)
 - pós-TCTH, [191](#)
- ECG (Eletrocardiograma)
 - na hipercalemia, [29](#)
 - sequência de alterações do, [30f](#)
 - na hipocaliemia, [27](#), [28f](#)
- Eculizumab
 - na SHU, [59](#)
 - em oncologia, [59](#)

EDA (Endoscopia Digestiva Alta)

na obstrução esofágica, [341](#)

maligna, [341](#)

Edema

pulmonar, [93](#)

não cardiogênico, [93](#)

quimioterápicos e, [93](#)

Efeito(s)

cardiotóxicos, [87](#)

da quimioterapia, [87](#)

arritmias, [87](#)

HAS, [88](#)

isquemia miocárdica, [87](#)

tromboembolismo, [88](#)

EGR (Eritema *Gyratum Repens*), [484](#)

Embolia(s)

aéreas, [208](#)

CVC e, [208](#)

EME (Estado de Mal Epilético), [399-401](#)

abordagem, [400](#)

tratamento farmacológico, [401](#)

emergencial, [401](#)

para controle, [401](#)

classificação, [399](#)

diagnóstico, [400](#)

diferencial, [400](#)

etiologia, [399](#)

fisiopatologia, [400](#)

efeitos, [400](#)

cerebrais, [400](#)

sistêmicos, [400](#)

refratário, [401](#)

Emergência(s)

abdominais, [303-375](#)

- abdome, [305-339](#)
 - agudo cirúrgico, [341-373](#)
 - não cirúrgico, [305-339](#)
- cardiovasculares, [225-280](#)
 - arritmias, [269-276](#)
 - CAT, [239-245](#)
 - considerações, [227-231](#)
 - arritmia, [229](#)
 - cardiomiopatia, [227](#)
 - quimioterápicos e, [227](#)
 - derrame pericárdico, [230](#)
 - doenças, [230](#), [231](#)
 - arterial periférica, [231](#)
 - orovalvares, [230](#)
 - HAP, [230](#)
 - HAS, [230](#)
 - prolongamento do intervalo QT, [229](#)
 - SCA, [228](#)
- hemoptise, [257-261](#)
- hipertensiva, [263-267](#)
 - abordagem diagnóstica, [265](#)
 - definições, [263](#)
 - diagnósticos diferenciais, [264](#)
 - epidemiologia, [263](#)
 - fisiopatologia, [263](#)
 - tratamento, [266](#)
- IC, [247-254](#)
- no TCTH, [179-185](#), [189-193](#)
 - infecciosas, [189-193](#)
 - não infecciosas, [179-185](#)
- SVCS, [233-237](#)
- tamponamento cardíaco, [277-279](#)
- clínicas, [13-68](#)
 - acidose láctica, [63-67](#)

- na terapia intensiva oncológica, 63-67
- distúrbios, 15-41
 - da glicemia, 33-34
 - do cálcio, 23-25
 - do fósforo, 39-41
 - do magnésio, 35-37
 - do potássio, 27-30
 - do sódio, 15-20
- paciente com câncer, 43-49
 - diálise no, 43-49
 - insuficiência renal aguda no, 43-49
- SHU, 57-60
 - em oncologia, 57-60
- SSIADH, 51-54
 - em oncologia, 51-54
- como oportunidade de integração, 504
- em cabeça e pescoço, 417-429
 - sangramento cervical, 425-429
 - SRC, 425-429
- VAS, 419-424
 - obstrução das, 419-424
- epidemiologia das, 7-11
 - oncológicas, 7
 - categorias, 7
 - experiências, 8, 9
 - de UEO, 8
 - do HCB, 9
- hematológicas, 135-194
 - hiperleucocitose, 137-139
 - no paciente oncológico, 145-151, 155-162
 - anemia, 155-162
 - distúrbios da hemostasia, 145-151
 - reações transfusionais, 169-176
 - síndromes de hiperviscosidade, 141-143

- SLT, [153-154](#)
- suporte transfusional, [165-167](#)
- infecciosas, [195-223](#)
 - CVC, [203-210](#)
 - complicações dos, [203-210](#)
 - infecções virais em pacientes oncológicos, [213-216](#)
 - no atendimento de emergência, [213-216](#)
- NF, [197-200](#)
- sepse, [219-223](#)
- metabólicas, [13-68](#)
 - acidose láctica, [63-67](#)
 - na terapia intensiva oncológica, [63-67](#)
 - distúrbios, [15-41](#)
 - da glicemia, [33-34](#)
 - do cálcio, [23-25](#)
 - do fósforo, [39-41](#)
 - do magnésio, [35-37](#)
 - do potássio, [27-30](#)
 - do sódio, [15-20](#)
- paciente com câncer, [43-49](#)
 - diálise no, [43-49](#)
 - insuficiência renal aguda no, [43-49](#)
- SHU, [57-60](#)
 - em oncologia, [57-60](#)
- SSIADH, [51-54](#)
 - em oncologia, [51-54](#)
- neuroológicas, [393-415](#)
 - alteração do estado mental, [395-397](#)
 - no paciente grave, [395-397](#)
- EME, [399-401](#)
- HIC, [407-410](#)
- meningite carcinomatosa, [411-414](#)
- SCM aguda, [403-405](#)
 - oncológica, [403-405](#)

- ortopédicas, [431-442](#)
 - fratura patológica, [433-438](#)
 - próteses ortopédicas, [439-441](#)
 - infecção de, [439-441](#)
- paciente na, [505](#)
 - principais condições do, [505](#)
 - serviços dedicados a, [505](#)
- respiratórias, [281-302](#)
 - derrame pleural, [289-292](#)
 - neoplásico, [289-292](#)
 - hemoptise, [299-302](#)
 - IRpA, [283-286](#)
 - obstrução de vias aéreas, [295-298](#)
 - inferiores, [295-298](#)
- urológicas, [377-392](#)
 - CH induzida, [389-391](#)
 - por quimioterápicos, [389-391](#)
 - por radioterapia, [389-391](#)
 - obstrução, [379-382](#), [385-388](#)
 - do trato urinário inferior, [385-388](#)
 - do TUS, [379-382](#)
- EN (Enterocolite Neutropênica), [307-309](#)
 - diagnóstico, [307](#)
 - dor abdominal por, [371](#)
 - no paciente imunocomprometido, [371](#)
 - epidemiologia, [307](#)
 - manejo clínico, [308f](#)
 - patogênese, [307](#)
 - prognóstico, [309](#)
 - tratamento, [308](#)
- ENM (Eritema Necrolítico Migratório), [484](#)
- Enterocolite
 - necrosante, [325](#)
 - HDB e, [325](#)

Enxertia

síndrome da, [181](#)

Epidemiologia, [1-12](#)

do câncer, [3-5](#)

em hospital oncológico, [3-5](#)

no Brasil, [3-5](#)

em hospital oncológico, [7-11](#)

das emergências, [7-11](#)

categorias de, [7](#)

experiências, [8, 9](#)

de UEO, [8](#)

do HCB, [9](#)

das urgências, [7-11](#)

categorias de, [7](#)

Epinefrina

nas bradiarritmias, [275](#)

Esofagite

associada à radioterapia, [82](#)

manejo clínico, [82](#)

Esôfago

perfuração do, *ver PE*

Estado Mental

alteração do, [395-397](#)

no paciente grave, [395-397](#)

abordagem, [396](#)

geral, [396](#)

neurológica, [396](#)

diagnóstico diferencial, [396](#)

ferramentas diagnósticas auxiliares, [397](#)

fisiopatologia, [396](#)

neuroanatomia, [396](#)

neuroimagem, [397](#)

terminologia, [395](#)

Estômago, [357](#)

perfuração do, [358](#)

GIST, [358](#)

linfoma, [358](#)

NET, [358](#)

Estratificação

de pacientes cirróticos, [315q](#)

classificação de Child-Pugh para, [315q](#)

Etoposídeo

reações infusionais, [110](#)

EUS (Ultrassonografia Endoscópica)

na obstrução esofágica, [342](#)

maligna, [342](#)

Evento(s)

tromboembólicos, [105](#)

toxicidade vascular e, [105](#)

Extravasamento

capilar, [182](#)

síndrome da, [182](#)

F

Fármaco(s)

reações adversas por, [489-493](#)

graves, [489-493](#)

DRESS, [492](#)

NET, [489](#)

SSJ, [489](#)

Fêmur

fratura patológica de, [434f](#)

diafisária, [434f](#)

Fenotipagem

dos hemocomponentes, [167](#)

FGU (Fístula Geniturinária)

apresentação clínica, [463](#)

classificação, [463](#)

diagnóstico, [463](#)

etiologia, [463](#)

tratamento, [464](#)

FH (Fator H)

mutação no, [57](#)

FHF (Falência Hepática Fulminante), [313-315](#)

definição, [313](#)

diagnóstico, [313](#)

etiologia, [313](#)

manifestações clínicas, [313](#)

tratamento, [314](#)

FI (Fator de Complemento), [58](#)

Fístula(s)

vaginais, [463-466](#)

anovaginais, [464](#)

apresentação clínica, [465](#)

classificação, [465](#)

diagnóstico, [465](#)

epidemiologia, [464](#)

etiologia, [464](#)

tratamento, [455](#)

colovaginais, [464](#)

apresentação clínica, [465](#)

classificação, [465](#)

diagnóstico, [465](#)

epidemiologia, [464](#)

etiologia, [464](#)

tratamento, [455](#)

diagnóstico, [463-466](#)

retovaginais, [464](#)

apresentação clínica, [465](#)

classificação, [465](#)

diagnóstico, [465](#)

epidemiologia, [464](#)

etiologia, [464](#)

tratamento, [455](#)

tratamento, [463-46](#)

Fluxograma

na suspeita, [60f](#)

de microangiopatia trombótica, [60f](#)

FN (Fasciite Necrosante)

da mama, [449-451](#)

apresentação clínica, [449](#)

diagnóstico, [450](#)

tratamento, [451](#)

Fosfato

de potássio, [41q](#)

infusão de, [41q](#)

método descritivo de, [41q](#)

Fósforo

distúrbios do, [39-41](#)

hiperfosfatemia, [39](#)

hipofosfatemia, [40](#)

Fragilidade

capilar, [93](#)

síndrome de, [93](#)

quimioterápicos e, [93](#)

Fratura

patológica, [433-438](#)

de membro, [437](#)

diafisária, [434f](#)

de fêmur, [434f](#)

Fusariose

pré-TCTH, [190](#)

G

Gastroenterite(s)

no paciente oncológico, [213](#)

- diagnóstico, [213](#)
- modo de transmissão, [213](#)
- quadro clínico, [213](#)
- tratamento, [214](#)
- virais, [214q](#)
 - quadros de, [214q](#)
 - características dos, [214q](#)
 - manejo dos, [214q](#)
- Gastrostomia
 - percutânea, [347](#)
 - descompressiva, [347](#)
 - na descompressão entérica, [347](#)
- Gencitabina
 - nefrotoxicidade por, [100](#)
- GIST (Tumores do Estroma Gastrointestinal), [358](#)
- Glicemia
 - distúrbios da, [33-34](#)
 - hipoglicemia, [33](#)
- Glucagonoma
 - síndrome do, [484](#)
- G-NET (Tumor Neuroendócrino Gástrico, [358](#)

H

- HAB (Hospital de Amor de Barretos), [9](#)
- HAP (Hipertensão Arterial Pulmonar)
 - quimioterápicos e, [230](#)
- HAS (Hipertensão Arterial Sistêmica)
 - abordagem diagnóstica, [265](#)
 - complicações, [265](#)
 - cardiovasculares, [265](#)
 - cerebrovasculares, [265](#)
 - renais, [266](#)
 - como efeito cardiotoxico, [88](#)
 - da quimioterapia, [88](#)

- definições, [263](#)
- diagnósticos diferenciais, [264](#)
- epidemiologia, [263](#)
- fisiopatologia, [263](#)
- incidência de, [264q](#)
 - quimioterápicos e, [264q](#)
- quimioterápicos e, [230](#)
- tratamento, [266](#)
 - drogas parenterais, [267](#)
 - opções de anti-hipertensivos, [267q](#)
 - situações especiais, [266](#)
- HCB (Hospital de Câncer de Barretos), [3](#)
 - CIA do, [9f](#)
 - atendimentos prestados no, [9f](#)
 - classificação dos, [9f](#)
 - experiência do, [9](#)
 - RHC do, [4q](#), [5q](#)
 - distribuição das neoplasias, [5f](#)
 - por estágio clínico, [5f](#)
 - neoplasias registradas, [4f](#)
 - por faixa etária, [4f](#)
 - por sexo, [4f](#)
 - número de casos, [4q](#)
 - analíticos, [4q](#)
 - não analíticos, [4q](#)
 - tipos mais frequentes, [5q](#)
 - em homens, [5q](#)
 - em mulheres, [5q](#)
- HDA (Hemorragia Digestiva Alta)
 - abordagem terapêutica, [317](#)
 - avaliação, [317](#)
 - endoscópica, [317](#)
 - manejo inicial, [317](#)
 - multidisciplinar, [319](#)

- conceito, 316
- diagnósticos diferenciais, 316
- epidemiologia, 316
- fisiopatologia, 316
- principais causas, 316, 317^q
- HDB (Hemorragia Digestiva Baixa), 323-329
 - causas da, 323
 - associadas ao câncer, 324
 - ao tratamento oncológico, 324
 - metastático gastrointestinal, 324
 - primário, 324
 - não associadas ao câncer, 323
 - angiectasia, 324
 - colite isquêmica, 324
 - diverticulose, 323
 - hemorroidas, 324
 - sangramento pós-polipectomia, 324
 - principais, 323^q
- conduta na, 325
 - avaliação inicial, 325
 - colonoscopia, 326
 - diagnóstico, 326
 - momento de realização, 326
 - modalidades não endoscópicas, 328
 - no diagnóstico, 328
 - no tratamento, 328
 - tratamento endoscópico, 327
 - angiectasia, 327
 - câncer colorretal, 327
 - diverticulose, 327
 - proctopatia actínica, 328
 - sangramento pós-polipectomia, 327
- definição, 323
- fluxograma, 325^f

- de diagnóstico, [325f](#)
- de tratamento, [325f](#)
- situações especiais, [325](#)
 - enterocolite necrosante, [325](#)
 - neutropenia, [325](#)
 - trombocitopenia, [325](#)

Hemácia(s)

- transusão de, [165](#)

Hemocomponente(s)

- procedimentos nos, [166](#)
 - desleucocitação, [166](#)
 - fenotipagem, [167](#)
 - irradiação, [166](#)
 - lavagem, [167](#)

Hemólise

- não imune, [175](#)
 - diagnóstico, [175](#)
 - etiologia, [175](#)
 - prevalência, [175](#)
 - prevenção, [175](#)
 - quadro clínico, [175](#)
 - tratamento, [175](#)

Hemoptise, [257-261](#), [299-302](#)

- causas de, [258q](#)
- confirmação diagnóstica, [258](#)
- definição, [257](#)
- diagnóstico, [300](#)
 - investigação diagnóstica, [301f](#)
 - algoritmo de, [301f](#)
 - pistas diagnósticas, [300q](#)
 - anamnese, [300q](#)
- etiologia, [257](#)
 - abordagem inicial, [258](#)
 - aspectos clínicos, [258](#)

- investigação de acordo com, [258](#)
- exame, [259q](#), [260q](#)
 - complementares, [260q](#)
 - físico direcionado, [259q](#)
- história clínica direcionada, [259q](#)
 - antecedentes pessoais, [259q](#)
 - doença atual, [259q](#)
- fisiopatologia, [257](#), [299](#)
- maciça, [261f](#)
 - manejo da, [261f](#)
- tratamento, [260](#), [301](#)
 - maciça, [301](#)
 - não maciça, [301](#)
- Hemorragia(s)
 - alveolar, [93](#)
 - quimioterápicos e, [93](#)
- CVC e, [207](#)
- intra-abdominal, [363-365](#)
 - em oncologia, [363-365](#)
 - abordagem, [363](#), [364](#)
 - diagnóstica, [363](#)
 - terapêutica, [364](#)
 - causas, [363](#), [364q](#)
 - definição, [363](#)
 - diagnóstico diferencial, [363](#), [364q](#)
 - epidemiologia, [363](#)
 - paciente oncológico, [364](#), [365f](#)
 - fluxograma no, [364](#)
- Hemorroida(s)
 - HDB por, [324](#)
- Heparina
 - uso de, [149](#)
 - sangramento secundário ao, [149](#)
- Hepatotoxicidade

- quimioterapia e, [104](#)
- TCTH e, [182](#)
- HH6 (Herpes-Vírus 6)
 - infecção por, [191](#)
 - pós-TCTH, [191](#)
- HIC (Hipertensão Intracraniana), [407-410](#)
 - fisiopatologia, [407](#)
 - complacência intracraniana, [408](#)
 - edema cerebral, [407](#)
 - hidrocefalia, [407](#)
 - PPC, [408](#)
 - manejo da, [409](#), [410](#)
 - cirúrgico, [410](#)
 - clínico, [409](#)
 - barbitúricos, [410](#)
 - corticosteroides, [410](#)
 - hiperventilação controlada, [410](#)
 - hipotermia, [410](#)
 - manitol, [409](#)
 - solução salina hipertônica, [409](#)
 - suporte básico, [409](#)
 - monitorização, [408](#)
 - da PIC, [408](#)
 - quadro clínico, [408](#)
- Hipercalcemia
 - diagnóstico, [23](#)
 - fisiopatologias, [23](#)
 - grave, [23q](#)
 - manifestações da, [23q](#)
 - por sistemas, [23q](#)
 - manifestações clínicas, [23](#)
 - tratamento, [23](#), [24q](#)
- Hipercaliemia
 - causas, [29](#)

diagnóstico, 29

ECG, 29

sequência de alterações do, 30f

sinais, 29

sintomas, 29

tratamento, 30

Hiperfosfatemia

abordagem, 39, 40

diagnóstica, 39

terapêutica, 40

definição, 39

epidemiologia, 39

fisiopatologia, 39

principais causas, 39

Hiperleucocitose, 137-139

epidemiologia, 137

fisiopatologia, 137

quadro clínico, 137

tratamento, 138

citorredução, 138

leucocitaférese, 138

Hipermagnesemia

manifestações clínicas, 36

principais causas, 36

tratamento, 37

Hipernatremia

abordagem diagnóstica, 20

definições, 19

epidemiologia, 19

fisiopatologia, 19

manifestações clínicas, 20

principais causas, 19

diabetes *insipidus*, 19

tratamento, 20

Hipersensibilidade

pneumonite por, [93](#)

à radiação, [93](#)

quimioterápicos e, [93](#)

Hiperventilação

controlada, [410](#)

na HIC, [410](#)

Hipocalcemia, [24](#)

diagnóstico, [25](#)

manejo da, [25q](#)

manifestações clínicas, [25](#)

tratamento, [25](#)

Hipocaliemia

causas, [27](#)

ECG, [27](#), [28f](#)

exames laboratoriais, [28](#)

manifestações clínicas, [27](#)

tratamento, [28](#)

Hipofosfatemia

abordagem, [41](#)

diagnóstica, [41](#)

terapêutica, [41](#)

definição, [40](#)

epidemiologia, [40](#)

fisiopatologia, [40](#)

principais causas, [40](#)

Hipoglicemia

diagnóstico, [33](#)

tratamento, [34](#)

em pacientes oncológicos, [34q](#)

Hipomagnesemia

manifestações clínicas, [35](#)

principais causas, [35](#)

tratamento, [36](#)

Hiponatremia

- definição, [15](#)
- diagnóstico da, [17](#)
 - etiológico, [17f](#)
- epidemiologia, [15](#)
- etiologia, [15](#)
- fisiopatologia, [15](#)
- sinais, [16](#)
- sintomas, [16](#)
- tratamento, [18](#)

Hipotermia

- na HIC, [410](#)

HLA (Hipertricose Lanuginosa Adquirida), [484](#)

Hospital(is) Oncológico(s)

- epidemiologia em, [3-11](#)
 - do câncer, [3-5](#)
 - das emergências, [7-11](#)
 - categorias, [7](#)
 - experiências, [8, 9](#)
 - de UEO, [8](#)
 - do HCB, [9](#)
 - das urgências, [7-11](#)
 - categorias, [7](#)

HSV (Herpes-Vírus Simples)

- infecção por, [191](#)
 - pós-TCTH, [191](#)

HZ (Herpes-Zóster), [475-479](#)

- abordagem, [476, 477](#)
 - diagnóstica, [476](#)
 - terapêutica, [477](#)
- apresentação clínica, [476](#)
- disseminado, [477f](#)
- fatores de risco, [475](#)
- fisiopatologia, [475](#)

- intercostal, [476f](#)
- NPH, [478](#)
- pontos essenciais, [479](#)
- profilaxia, [478](#)
- tratamento do, [477q](#)
 - em adultos imunocompetentes, [477q](#)
 - com doença localizada, [477q](#)

I

- IC (Insuficiência Cardíaca), [247-254](#)
 - aguda, [252](#)
 - detecção de, [252q](#)
 - critérios Framingham para, [252q](#)
 - tratamento da, [254f](#)
 - algoritmo de, [254f](#)
 - cardioproteção, [251](#)
 - medidas de, [251](#)
 - cardiotoxicidade, [249q](#)
 - fatores de risco para, [249q](#)
 - definição, [247](#)
 - diagnóstico, [248](#)
 - biomarcadores, [249](#)
 - ecocardiograma, [249](#)
 - eletrocardiograma, [249](#)
 - paciente de alto risco, [248](#)
 - identificação de, [248](#)
 - ressonância magnética, [249](#)
 - epidemiologia, [247](#)
 - fisiopatologia, [247](#)
 - agentes alquilantes, [248](#)
 - ciclofosfamida, [248](#)
 - ifosfamida, [248](#)
 - antraciclinas, [248](#)
 - doxorrubicina, [248](#)

- epirrubicina, [248](#)
- idarrubicina, [248](#)
- mitoxantrona, [248](#)
- inibidores do HER2, [248](#)
 - bevacizumabe, [248](#)
 - sunitinibe, [248](#)
 - trastuzumabe, [248](#)
- quimioterápicos, [248](#)
 - outros, [248](#)
- radiação, [248](#)
- por toxicidade à quimioterapia, [85](#)
 - abordagem, [85](#)
 - diagnóstica, [85](#)
 - preventiva, [85](#)
 - terapêutica, [86](#)
- prevenção, [251](#)
 - medidas de, [251](#)
- terapêutica cardiotóxica, [249](#), [250f](#)
 - monitorização da, [249](#), [250f](#)
 - algoritmo de, [250f](#)
 - suspensão da, [249](#)
- tratamento, [251](#)
 - disfunção ventricular, [252](#)
 - assintomática, [252](#)
 - subclínica, [252](#)

ICS-CVC (Infecção da Corrente Sanguínea relacionada aos Cateteres Venosos Centrais)

- de longa permanência, [206f](#)
 - suspeita de, [206f](#)
 - conduta na, [206f](#)
- métodos diagnósticos, [204q](#)
- risco de, [203q](#)
 - por dispositivo, [203](#)
- tratamento, [206q](#)

- tempo de, [206q](#)
 - pelo agente isolado, [206q](#)

Ictiose

- adquirida, [483](#)

Ifosfamida

- nefrotoxicidade por, [99](#)

IHA (Insuficiência Hepática Aguda), [313](#)

IHCA (Insuficiência Hepática Crônica Agudizada), [313](#)

Imunoterapia

- reações infusionais, [110](#)

Infecção(ões)

- biliares, [336q](#)

- agudas, [336q](#)

- antibioticoterapia para, [336q](#)

de próteses mamárias, [453-455](#)

- apresentação, [454](#)

- condução clínica, [454](#)

- fatores de risco, [453](#)

- fisiopatologia, [454](#)

- fluxograma de, [445](#)

- de diagnóstico, [455f](#)

- de tratamento, [455](#)

de próteses ortopédicas, [439-441](#)

- agentes etiológicos, [439](#)

- classificação, [440](#)

- diagnóstico, [440](#)

- epidemiologia, [439](#)

- fluxograma de, [441f](#)

- manifestações clínicas, [440](#)

- tratamento, [440](#)

- vias de infecção, [439](#)

locais, [205q](#), [207](#)

- associadas a cateteres, [205q](#), [207q](#)

- totalmente implantados, [205q](#), [207q](#)

- tratamento das, [207q](#)
 - tunelizados, [205q](#), [207q](#)
 - tratamento das, [207q](#)
- tratamento das, [207](#)
- pós-TCTH, [190](#)
 - bacterianas, [190](#)
 - fúngicas, [193](#)
 - virais, [190](#)
- pré-TCTH, [189](#)
 - NF, [189](#)
 - fúngicas, [189](#)
 - tiflíte, [189](#)
- virais, [213-216](#)
 - em pacientes oncológicos, [213-216](#)
 - no atendimento de emergência, [213-216](#)
 - de vias aéreas, [214](#)
 - gastroenterite, [213](#)
- Influenza
 - infecção por, [193](#)
 - pós-TCTH, [193](#)
- Inibidor(es)
 - adquiridos, [149](#)
 - contra fatores de coagulação, [149](#)
 - abordagem, [149](#)
 - do *checkpoint*, [96](#)
 - toxicidades relacionadas com, [96](#)
 - pulmonares, [96](#)
- Intervalo
 - QT, [229](#)
 - prolongamento do, [229](#)
 - quimioterápicos e, [229](#)
- Intestino
 - delgado, [357](#), [359](#)
 - perfuração do, [359](#)

IRA (Insuficiência Renal Aguda), [43-49](#)

no paciente com câncer, [43-49](#)

abordagem, [46](#)

diagnóstica, [46](#)

terapêutica, [46](#)

definições, [43](#)

epidemiologia, [43](#)

fisiopatologia, [43](#)

LRA, [44](#)

TCTH e, [182](#)

IRpA (Insuficiência Respiratória Aguda), [283-286](#)

causas, [283q](#)

classificação, [283](#)

definição, [283](#)

diagnóstico, [284](#)

considerações diagnósticas, [285q](#)

distúrbios respiratórios, [286q](#)

etiologia dos, [286q](#)

diagnóstico diferencial da, [286q](#)

quadro clínico, [284](#)

tratamento, [284](#)

Irradiação

dos hemocomponentes, [166](#)

Isquemia

miocárdica, [87](#)

como efeito cardiotóxico, [87](#)

da quimioterapia, [87](#)

IVAS (Infecções de Vias Aéreas Superiores)

pós-TCTH, [192](#)

ADV, [192](#)

influenza, [193](#)

VSR, [192](#)

K

KDIGO (*Kidney Disease: Improving Global Outcomes*), [43](#), [47f](#)
critério, [46q](#)
abordagem diagnóstica por, [46q](#)

L

Laser

terapia a, [343](#)
na obstrução esofágica, [343](#)
maligna, [343](#)

Lavagem

dos hemocomponentes, [167](#)

LBA (Lavado Broncoalveolar), [301f](#)

Lenalidomida

neuropatia por, [101](#)
periférica, [101](#)

Lesão(ões)

do SNC, [102q](#)
agentes causadores de, [102q](#)
antineoplásicos, [102q](#)
pulmonar, [93](#)
aguda, [93](#)
quimioterápicos e, [93](#)
vasculares, [207](#)
CVC e, [207](#)

Leser-Trélat

sinal de, [483](#)

Leucocitaférese

na hiperleucocitose, [138](#)

LH (Linfoma de Hodgkin), [366](#)

Lidocaína

uso clínico, [117](#)

Linfoma

de alto grau, [369q](#)
índice prognóstico para, [369q](#)

- da NCCN, [369q](#)
- e perfuração do estômago, [358](#)
- urgências abdominais no, [366-369](#)
 - abordagem, [367](#)
 - apresentação clínica, [367](#)
 - como apendicite aguda, [368](#)
 - definição, [366](#)
 - diagnóstico, [367](#)
 - epidemiologia, [366](#)
 - estadiamento, [367](#)
 - fisiopatologia, [366](#)
 - gástrico, [368](#)
 - abdome agudo, [368](#)
 - obstrução intestinal, [368](#)
 - ruptura esplênica, [368](#)
 - espontânea, [368](#)
- LLA (Leucemia Linfoblástica Aguda), [137](#)
- LMA (Leucemia Mieloide Aguda), [137](#)
- LNH (Linfoma Não Hodgkin)
 - primários, [366q](#)
 - do trato gastrointestinal, [366q](#)
- Lock Therapy*
 - nas complicações dos CVC, [205](#)
 - infecciosas, [205](#)
- Lorazepam
 - uso clínico, [117](#)
- LPA (Leucemia Promielocítica Aguda), [148](#)
- LRA (Lesão Renal Aguda), [43](#)
 - diagnóstico(s), [44](#), [47f](#)
 - algoritmo de, [47f](#)
 - diferenciais, [44](#)
 - no paciente com câncer, [44](#)
 - etiologia da, [44q](#)
 - fisiopatologia da, [44q](#)

- prevenção da, [48q](#)
 - medidas clínicas para, [48q](#)
- principais causas de, [44](#)
- tratamento da, [48q](#)
 - medidas clínicas para, [48q](#)

Lyell

- doença de, [489](#)

M

Magnésio

- distúrbios do, [35-37](#)
 - diagnóstico, [35](#)
 - hipermagnesemia, [36](#)
 - hipomagnesemia, [35](#)

Mama

- FN da, [449-451](#)
 - apresentação clínica, [449](#)
 - diagnóstico, [450](#)
 - tratamento, [451](#)

Manitol

- na HIC, [409](#)

Mastectomia

- com prótese, [446f](#)
 - pós-operatório de, [446f](#)
 - PG em, [446f](#)

Mastologia

- urgências em, [443-456](#)
 - FN, [449-451](#)
 - da mama, [449-451](#)
 - PG, [445-447](#)
 - próteses mamárias, [453-455](#)
 - infecção de, [453-455](#)

MAT (Microangiopatia Trombótica Pós-Transplante)

- TCTH e, [180](#)

Medicamento(s)

- analgésicos, [123](#)
- adjuvantes, [123](#)
- uso de, [123](#)
- atuais, [129q](#)
 - recomendações de manejo, [129q](#)
- que alteram a coagulação, [128q](#)
 - classificação de risco de, [128q](#)

Meningite

- carcinomatosa, [411-414](#)
 - abordagem diagnóstica, [4131](#)
 - definições, [411](#)
 - diagnósticos diferenciais, [413](#)
 - epidemiologia, [411](#)
 - etiologia, [411](#)
 - fisiopatologia, [411](#)
 - frequência de, [412q](#)
 - manifestações clínicas, [412](#)
 - sinais sugestivos de, [412q](#)
 - sintomas sugestivos de, [412q](#)
 - tratamento, [414](#)

Metadona

- uso clínico, [116](#)

Método(s)

- dialíticos, [49q](#)
 - desvantagens dos, [49q](#)
 - indicações dos, [49q](#)
 - vantagens dos, [49q](#)

Microangiopatia

- trombótica, [60f](#)
 - suspeita de, [60f](#)
 - fluxograma na, [60f](#)

MO (Medula Óssea), [157](#)

- insuficiência de, [159f](#)

- anemia por, [159f](#)
 - por infiltração, [159f](#)
 - por metástases, [159f](#)

Monitorização

- da PIC, [408](#)
- na HI, [408](#)
- indicações, [409](#)

Morfina

- uso clínico, [116](#)

MP (Marca-Passo)

- transcutâneo, [276](#)
- transvenoso, [276](#)
- provisório, [276](#)

MTX (Metotrexato)

- nefrotoxicidade por, [100](#)

Mucormicose

- pré-TCTH, [190](#)

Mucosite

- oral, [81](#)
- associada à radioterapia, [81](#)
- TCTH e, [179](#)

N

Naloxona

- uso clínico, [117](#)

Náusea

- no tratamento oncológico, [71](#)
- tratamento da, [71](#)

NCCN (*National Comprehensive Cancer Network*)

- índice prognóstico da, [369q](#)
- para linfoma de alto grau, [369q](#)

Nefrotoxicidade

- quimioerapia e, [99-100](#)
- tratamento, [100](#)

Neoplasia

- gástrica, [318q](#)
 - sangramento digestivo alto por, [318q](#)
 - tratamento endoscópico no, [318q](#)
 - resultados do, [318q](#)
- obstrutiva, [353](#)
 - do cólon, [353](#)
 - direito, [353](#)
 - esquerdo, [353](#)
 - do reto, [354](#)
 - do retossigmoide, [353](#)

NET (Necrólise Epidérmica Tóxica), [489](#)

- abordagem terapêutica da, [492q](#)
- fármacos associados à, [490q](#)

Neuropatia

- periférica, [101](#)
 - quimioterapia e, [101](#)

Neurotoxicidade

- quimioerapia e, [101-102](#)
 - abordagem da CIPN, [102](#)
 - terapêutica, [102](#)
 - preventiva, [102](#)
- ao SNC, [102](#)
- neuropatia, [101](#)
 - periférica, [101](#)
- TCTH e, [182](#)

Neutropenia

- dor abdominal por, [370](#)
 - no paciente imunocomprometido, [370](#)
- HDB e, [325](#)

NF (Neutropenia Febril), [197-200](#)

- avaliação clínica, [198](#)
- epidemiologia, [197](#)
- exames laboratoriais, [198](#)

- gravidade, [199](#)
 - classificação, [199](#)
 - CISNE, [199q](#)
 - critérios de Talcott, [199q](#)
 - MASCC, [199q](#)
- manejo, [199](#)
- pré-TCTH, [189](#)
 - fúngicas, [189](#)
 - tiflites, [189](#)
- suspeita de, [198f](#)
 - sequência de atendimento na, [198f](#)
- tratamento, [199](#)
 - acompanhamento do, [200](#)
 - duração do, [200](#)
 - outras terapias, [200](#)
- Noradrenalina
 - associação de, [254q](#)
 - ajustes de doses, [254q](#)
 - posologia, [254q](#)
- NPH (Neuralgia Pós-Herpética), [478](#)
 - opções de tratamento da, [478q](#)

O

- Obstrução
 - das VAS, [419-424](#)
 - avaliação do paciente, [419](#)
 - com insuficiência respiratória, [419](#)
 - complicações, [422](#)
 - precoces, [422](#)
 - tardias, [423](#)
 - cricotireoidotomia, [420](#)
 - indicar uma, [420](#)
 - por punção, [422](#)
 - técnica de, [422](#)

- fisiopatologia, [419](#)
- traqueostomia, [420](#)
 - anatomia cirúrgica da, [421](#)
 - indicar uma, [420](#)
 - técnica da, [421](#)
 - tipos de cânulas de, [423](#)
- das vias biliares, [333q](#)
 - causas de, [333q](#)
 - colangite, [333q](#)
- de vias aéreas, [295-298](#)
 - inferiores, [295-298](#)
 - asma crônica, [295](#)
 - definição, [295](#)
 - DPOC, [296](#)
- do trato urinário inferior, [385-388](#)
 - achados clínicos, [386](#)
 - etiologia, [385](#)
 - exame(s), [386](#)
 - de imagem, [386](#)
 - físico, [386](#)
 - laboratoriais, [386](#)
 - manejo pós-drenagem urinária, [387](#)
 - prevalência, [385](#)
 - tratamento emergencial, [386](#)
 - homens, [387](#)
 - mulheres, [386](#)
- do TUS, [379-382](#)
 - abordagem, [379](#), [381](#)
 - diagnóstica, [379](#)
 - terapêutica, [381](#)
 - definições, [379](#)
 - diagnósticos diferenciais, [379](#)
 - epidemiologia, [379](#)
 - maligna, [380q](#)

- principais causas de, 380q
- principais causas, 379
- quadro clínico, 379
- esofágica, 341
 - maligna, 341
 - diagnóstico, 341
 - fisiopatologia, 341
 - manejo terapêutico, 342
 - manifestações clínicas, 341
- intestinal baixa, 351-354
 - abordagem terapêutica, 352
 - cirurgia, 353
 - neoplasia obstrutiva, 353
 - do cólon, 353
 - do reto, 354
 - do retossigmoide, 353
 - stent* intestinal, 353
 - volvo de sigmoide, 352
 - causas, 351
 - definição, 351
 - diagnóstico, 352
 - diferencial, 352
 - etiologia, 351
 - fisiopatologia, 351
 - sintomas, 352
 - aguda, 352
 - crônica, 352
- intestinal, 368
- maligna, 343
 - gastroduodenal, 343
 - achados laboratoriais, 344
 - diagnóstico, 344
 - exame físico, 343
 - manifestações clínicas, 343

- métodos de imagem, 344
- tratamento, 344
- jejunoileal, 344
 - epidemiologia, 345
 - exame(s), 345, 346
 - de imagem, 346
 - físico, 345
 - laboratoriais, 345
 - sinais, 345
 - sintomas, 345
- por câncer, 353f, 354f
 - de cólon, 353f, 354f
 - direito, 353f
 - esquerdo, 354f
 - de reto, 354f
 - distal, 354f
 - médio, 354f
- ODA (Obstrução Digestiva Alta), 341-347
 - maligna, 341, 343, 344
 - esofágica, 341
 - gastroduodenal, 343
 - jejunoileal, 344
 - manejo terapêutico, 346
 - cirúrgico, 346
 - inicial, 346
 - pacientes não candidatos, 347
 - ao manejo cirúrgico, 347
 - descompressão entérica, 347
 - papel da nutrição parenteral, 347
 - tratamento farmacológico, 347
 - técnicas cirúrgicas, 347
- Oncologia
 - AAP em, 357-361
 - cólon, 360

- diagnóstico, 359, 360
 - diferencial, 360
- esôfago, 357
- estômago, 357
 - GIST, 358
 - linfoma, 358
 - NET, 358
- intestino delgado, 357, 359
- reto, 360
- tratamento, 360
- crise de dor em, 123
 - manejo da, 123
- hemorragia intra-abdominal em, 363-365
 - abordagem, 363, 364
 - diagnóstica, 363
 - terapêutica, 364
 - causas, 363, 364^q
 - definição, 363
 - diagnóstico diferencial, 363, 364^q
 - epidemiologia, 363
 - paciente oncológico, 364, 365^f
 - fluxograma no, 364
- SHU em, 57-60
 - diagnóstico, 58, 59
 - diferencial, 58
 - fisiopatologia, 57
 - ativação do sistema complemento, 57
 - histopatologia renal, 58
 - manifestação clínica, 58
 - tratamento, 59
 - eculizumab, 59
 - plasmaterapia, 59
- Oseltamivir
 - tratamento do, 215^q

por faixa etária, [215q](#)

posologia, [215q](#)

tempo de, [215q](#)

Oxaliplatina

nefrotoxicidade por, [99](#)

neuropatia por, [101](#)

periférica, [101](#)

P

PA (Pressão Arterial), [263](#)

classificações de, [263q](#)

PAC (Planejamento Antecipado de Cuidados), [505](#)

Paciente(s)

cirróticos, [315q](#)

estratificação de, [315q](#)

classificação de Child-Pugh para, [315q](#)

imunocomprometido, [370-373](#)

dor abdominal no, [370-373](#)

apendicite aguda, [372](#)

colecistite aguda, [372](#)

CPM, [371](#)

diagnósticos diferenciais, [371](#)

diverticulite, [372](#)

EN, [371](#)

neutropenia, [370](#)

principais causas, [371](#)

tratamento inicial, [373f](#)

Paclitaxel

neuropatia por, [101](#)

periférica, [101](#)

Palição

na obstrução esofágica, [342](#)

maligna, [342](#)

cirúrgica, [342](#)

endoscópica, [342](#)

Paquidermatoglia

adquirida, [483](#)

Paracentese

na ascite, [310](#), [311](#)

relacionada com a malignidade, [310](#)

diagnóstica, [310](#)

PCM (Proteína Cofator da Membrana), [58](#)

PE (perfuração do Esôfago), [357](#)

Pele

toxicidade na, [80](#)

associada à radioterapia, [80](#)

manejo clínico, [80](#)

Pelve

toxicidade na, [82](#)

associada à radioterapia, [82](#)

manejo clínico, [82](#)

Pemetrexede

nefrotoxicidade por, [100](#)

Pericardiocentese

percutânea, [279](#)

no tamponamento cardíaco, [279](#)

Período

pós-enxertia, [183](#), [190](#)

infecções no, [190](#)

bacterianas, [190](#)

fúngicas, [193](#)

virais, [190](#)

precoce, [183](#)

DECH, [183](#)

DECHa, [183](#)

tardia, [184](#)

DECHc, [184](#)

pré-enxertia, [179](#), [189](#)

- complicações no, [179](#)
 - cardiotoxicidade, [182](#)
 - hepatotoxicidade, [182](#)
 - IRA, [182](#)
 - MAT, [180](#)
 - mucosite, [179](#)
 - neurotoxicidade, [182](#)
 - sangramentos, [180](#)
 - síndrome, [181](#), [182](#)
 - da enxertia, [181](#)
 - de extravasamento capilar, [182](#)
 - SOS, [180](#)
- infecções no, [189](#)
 - NF, [189](#)

Pescoço

- toxicidade no, [80](#)
 - associada à radioterapia, [80](#)
 - mucosite oral, [81](#)
 - xerostomia, [81](#)

PFC (Plasma Fresco Congelado)

- transusão de, [166](#)

PG (Pioderma Gangrenoso), [445-447](#), [486](#)

- diagnóstico, [445](#)
 - diferencial, [446](#)
- em pós-operatório, [446f](#)
 - de mastectomia com prótese, [446f](#)
- etiologia, [445](#)
- incidência, [445](#)
- prevalência, [445](#)
- tratamento, [446](#)

PIC (Pressão Intracraniana)

- monitorização da, [408](#)
 - na HI, [408](#)
 - indicações, [409](#)

Plaqueta(s)

transfusão de, [165](#)

Plaquetopenia

dilucional, [147](#)

abordagem, [147](#)

sangramento associado à, [147](#)

consumo plaquetário, [147](#)

destruição precoce, [147](#)

plaquetopenia dilucional, [147](#)

produção plaquetária reduzida, [147](#)

sequestro esplênico, [148](#)

Plasmaterapia

na SHU, [59](#)

em oncologia, [59](#)

Platina(s)

reações infusionais, [109](#)

Pleurodese

versus cateter, [291](#)

de inserção pleural, [291](#)

Pneumocistose

infecção por, [193](#)

pós-TCTH, [193](#)

Pneumonia

eosinofílica, [93](#)

quimioterápicos e, [93](#)

Pneumonite

abordagem, [96](#)

diagnóstica, [96](#)

actínica, [81](#)

associada à radioterapia, [81](#)

manejo clínico, [81](#)

definição, [96](#)

quimioterápicos e, [93](#)

intersticial, [93](#)

- por hipersensibilidade, [93](#)
- Pneumotórax
 - CVC e, [207](#)
- Pomalidomida
 - neuropatia por, [101](#)
 - periférica, [101](#)
- Potássio
 - distúrbios do, [27-30](#)
 - hipercaliemia, [29](#)
 - hipocaliemia, [27](#)
 - fosfato de, [41q](#)
 - infusão de, [41q](#)
 - método descritivo de, [41q](#)
- Potencial(is)
 - de emetogenicidade, [72q](#)
 - de quimioterápicos, [72q](#)
 - comumente indicados, [72q](#)
 - emetogênico, [72q](#)
 - indicações de antieméticos por, [72q](#)
- PPN (Pênfigo Paraneoplásico), [484](#)
 - com comprometimento, [485f](#)
 - labial, [485f](#)
 - em axila, [485f](#)
- PR (Pitíriase Rotunda), [484](#)
- Procedimento(s)
 - nos hemocomponentes, [166](#)
 - desleucocitação, [166](#)
 - fenotipagem, [167](#)
 - irradiação, [166](#)
 - lavagem, [167](#)
- Proctite
 - secundária à radioterapia, [305-306](#)
 - aguda, [305](#)
 - diagnóstico, [305](#)

- quadro clínico, 305
 - tratamento, 305
- crônica, 305
 - diagnóstico, 306
 - quadro clínico, 305
 - tratamento, 306
- Proctopatia
 - actínica, 324, 328
 - HDB e, 324
 - tratamento endoscópico, 328
- Produção Plaquetária
 - reduzida, 147
 - abordagem, 147
- Produto(s)
 - químicos, 389q
 - CH induzida por, 389q
 - causas de, 389q
- Prolongamento
 - do intervalo QT, 229
 - quimioterápicos e, 229
- Prótese(s)
 - infecção de, 439-441, 453-455
 - mamárias, 453-455
 - apresentação, 454
 - condução clínica, 454
 - fatores de risco, 453
 - fisiopatologia, 454
 - fluxograma de tratamento, 455
 - ortopédicas, 439-441
 - agentes etiológicos, 439
 - classificação, 440
 - diagnóstico, 440
 - epidemiologia, 439
 - manifestações clínicas, 440

tratamento, [440](#)
vias de infecção, [439](#)

Q

Quimioterapia

intracavitária, [311](#)
na ascite, [311](#)
relacionada com a malignidade, [311](#)
toxicidade associada à, [85-88](#), [99-106](#)
cardíaca, [85-88](#)
definição, [85](#)
IC, [85](#)
outros efeitos cardiotoxícos, [87](#)
diversas, [99-106](#)
hepatotoxicidade, [104](#)
nefrotoxicidade, [99-100](#)
neurotoxicidade, [101-102](#)
vascular, [105-106](#)

Quimioterápico(s)

cardiomiopatia relacionada a, [227](#)
acompanhamento, [227](#)
definição, [227](#)
fatores de risco, [227](#)
incidência, [227](#), [228q](#)
terapia, [228](#)
medicamentosa, [228](#)
não farmacológica, [228](#)

CH induzida por, [389-391](#)

tratamento, [390](#)

toxicidades relacionadas com, [91-96](#)

diversas, [99-106](#)
pulmonares, [91-96](#)
abordagem diagnóstica, [92](#)
diagnósticos diferenciais, [93](#)

- inibidores do *checkpoint*, [96](#)
- manifestações clínicas, [91](#)
- patogênese, [91](#)
- rastreamento, [94](#)
- síndromes clínicas, [93](#)
- terapias-alvo, [95](#)
- tratamento, [94](#)

R

Radiação

- hipersensibilidade à, [93](#)
- pneumonite secundária à, [93](#)

Radiodermatite, [80](#)

Radioquimioterapia

- concomitante, [342](#)
- na obstrução esofágica, [342](#)
- maligna, [342](#)

Reação(ões)

- transfusionais, [169-176](#)
 - abordagem, [169](#)
 - inicial, [169](#)
- agudas, [170q](#)
 - sinais relacionados com, [170q](#)
 - sintomas relacionados com, [170q](#)

- alérgicas, [171](#)
 - diagnóstico, [172](#)
 - etiologia, [171](#)
 - prevalência, [171](#)
 - prevenção, [172](#)
 - quadro clínico, [172](#)
 - sinais de, [172q](#)
 - sintomas, [172q](#)
 - tratamento, [172](#)
- anafilática, [171](#)

- diagnóstico, [172](#)
- etiologia, [171](#)
- prevalência, [171](#)
- prevenção, [172](#)
- quadro clínico, [172](#)
- sinais de, [172q](#)
- sintomas, [172q](#)
- tratamento, [172](#)

associada à transfusão maciça. [176](#)

- diagnóstico, [176](#)
- etiologia, [176](#)
- prevalência, [176](#)
- prevenção, [176](#)
- quadro clínico, [176](#)
- tratamento, [176](#)

classificação das, [169q](#)

condutas imediatas nas, [170q](#)

contaminação bacteriana, [174](#)

dor aguda, [175](#)

- relacionada com transfusão, [175](#)

hemólise não imune, [175](#)

hipotensiva, [174](#)

- diagnóstico, [174](#)
- etiologia, [174](#)
- prevalência, [174](#)
- prevenção, [175](#)
- quadro clínico, [174](#)
- tratamento, [175](#)

RFNH, [171](#)

RTHA, [170](#)

sobrecarga circulatória, [173](#)

TACO, [173](#)

TRALI, [172](#)

Reação(ões) Adversa(s)

- graves, [489-493](#)
 - induzidas por fármacos, [489-493](#)
 - DRESS, [492](#)
 - NET, [489](#)
 - SSJ, [489](#)

Reação(ões) Infusional(is)

- à quimioterapia sistêmica, [107-111](#)
 - agentes biológicos, [109](#)
 - anticorpos monoclonais, [111](#)
 - antraciclinas, [110](#)
 - asparaginase, [110](#)
 - bleomicina, [110](#)
 - etoposídeo, [110](#)
 - imunoterapia, [110](#)
 - platinas, [109](#)
 - taxanos, [110](#)
 - como documentar, [109](#)
 - manejo das, [107](#), [108f](#)
 - anafilaxia, [109](#)
 - antes da infusão, [107](#)
 - leve, [109](#)
 - moderada, [109](#)
 - observação, [107](#)
 - pós-reação, [109](#)
 - severas, [109](#)
- aos quimioterápicos, [93](#)

Retirada

- do cateter, [205](#)
 - nas complicações dos CVC, [205](#)
 - infeciosas, [205](#)

Retite

- classificação da, [306q](#)
 - aguda, [306q](#)
 - crônica, [306q](#)

Reto

perfuração do, [360](#)

RFNH (Reação Febril Não Hemolítica)

diagnóstico, [171](#)

etiologia, [171](#)

prevalência, [171](#)

prevenção, [171](#)

quadro clínico, [171](#)

tratamento, [171](#)

RHC (Registro Hospitalar de Câncer), [3](#)

do HCB, [4q](#), [5q](#)

distribuição das neoplasias, [5f](#)

por estágio clínico, [5f](#)

neoplasias registradas, [4f](#)

por faixa etária, [4f](#)

por sexo, [4f](#)

número de casos, [4q](#)

analíticos, [4q](#)

não analíticos, [4q](#)

tipos mais frequentes, [5q](#)

em homens, [5q](#)

em mulheres, [5q](#)

RI (Radiologia Intervencionista), [127](#)

RIFLE (*Risk, Injury, Failure, Loss, End stage renal disease*), [47f](#)

critério, [46q](#)

abordagem diagnóstica por, [46q](#)

RNI (Razão Normalizada Internacional), [149](#)

alteração de, [150q](#)

intervenções por, [150q](#)

RS (Células de Reed-Sternberg), [366](#)

RT (Radioterapia)

CH induzida por, [389-391](#)

tratamento, [390](#)

toxicidades associadas à, [79-82](#)

- abdome, [82](#)
- cabeça e pescoço, [80](#)
 - mucosite oral, [81](#)
 - xerostomia, [81](#)
- critérios de graduação, [80q](#)
 - aguda, [81q](#)
 - crônica, [80q](#)
- órgãos de risco, [79q](#)
 - por região do corpo, [79q](#)
- pele, [80](#)
 - manejo clínico, [80](#)
- pelve, [82](#)
 - manejo clínico, [82](#)
- SNC, [82](#)
- tórax, [81](#)
 - esofagite, [82](#)
 - pneumonite actínica, [81](#)
- RTHA (Reação Transfusional Hemolítica Aguda)
 - diagnóstico, [170](#)
 - etiologia, [170](#)
 - prevalência, [170](#)
 - prevenção, [171](#)
 - quadro clínico, [170](#)
 - tratamento, [171](#)
- RTU (Ressecção Transuretral), [53](#)
- Ruptura
 - da carótida, [425](#)
 - de causa não tumoral, [425q](#)
 - fatores predisponentes de, [425q](#)
 - fatores de risco, [425](#)
 - fisiopatologia, [425](#)
 - esplênica, [368](#)
 - espontânea, [368](#)

S

Sangramento(s)

- associado à plaquetopenia, [147](#)
 - consumo plaquetário, [147](#)
 - destruição precoce, [147](#)
 - plaquetopenia dilucional, [147](#)
 - produção plaquetária reduzida, [147](#)
 - sequestro esplênico, [148](#)

cervical, [425-429](#)

- abordagem, [426](#), [427](#)
 - diagnóstica, [426](#)
 - terapêutica, [427](#)
- apresentação clínica, [426](#)
- ruptura da carótida, [425](#)
 - fatores de risco, [425](#)
 - fisiopatologia, [425](#)

SRC, [425-429](#)

- de origem tumoral, [319q](#)
 - tratamento endoscópico para, [319q](#)
 - modalidades de, [319q](#)

digestivo, [316-320](#)

- alto, [316-320](#)
 - abordagem terapêutica, [317](#)
 - conceito, [316](#)
 - diagnósticos diferenciais, [316](#)
 - epidemiologia, [316](#)
 - fisiopatologia, [316](#)
 - por neoplasia gástrica, [318q](#)
 - principais causas, [316](#)

ginecológico, [459-462](#)

- abordagem, [459](#)
 - diagnóstica, [459](#)
 - inicial, [460](#)
 - terapêutica, [459](#)

- definição, [459](#)
- diagnósticos diferenciais, [459](#)
- epidemiologia, [459](#)
- fatores etiológicos, [460](#)
 - identificação dos, [460](#)
- principais causas, [459](#)
- tratamento, [460](#), [462f](#)
 - fluxograma de, [462f](#)
- pós-polipectomia, [324](#), [327](#)
 - HDB por, [324](#)
 - tratamento endoscópico, [327](#)
- relacionado com o câncer, [145](#)
- secundário, [149](#)
 - ao uso de anticoagulação, [149](#)
 - profilática, [149](#)
 - terapêutica, [149](#)
- TCTH e, [180](#)
- uterino, [459q](#)
 - anormal, [459q](#)
 - causas de, [459q](#)
- SCA (Síndromes Coronarianas Agudas)
 - diagnóstico, [228](#)
 - manejo, [229](#)
 - mecanismos fisiopatológicos, [228](#)
- SCM (Síndrome de Compressão Medular)
 - aguda, [403-405](#)
 - oncológica, [403-405](#)
 - diagnóstico por imagem, [404](#)
 - epidemiologia, [403](#)
 - fisiopatologia, [403](#)
 - manejo, [404](#)
 - quadro clínico, [403](#)
 - reabilitação, [405](#)
- Sepse, [219-223](#)

- abordagem, [221](#)
 - diagnóstica, [221](#)
 - terapêutica, [221](#)
- diagnósticos, [220](#), [222f](#)
 - diferenciais, [220](#)
 - fluxograma para, [222f](#)
- epidemiologia, [219](#)
- fatores de risco, [220](#)
- fisiopatologia, [220](#)
- Sequestro
 - esplênico, [148](#)
 - abordagem, [148](#)
- SG (Síndrome Gripal), [215](#)
- SHU (Síndrome Hemolítico-Urêmica)
 - atípica, *ver SHUa*
 - com diarreia, [57](#)
 - em oncologia, [57-60](#)
 - diagnóstico, [58](#), [59](#)
 - diferencial, [58](#)
 - fisiopatologia, [57](#)
 - ativação do sistema do complemento, [57](#)
 - histopatologia renal, [58](#)
 - manifestação clínica, [58](#)
 - tratamento, [59](#)
 - eculizumab, [59](#)
 - plasmaterapia, [59](#)
 - etiologia da, [57f](#)
 - sem diarreia, [57](#)
 - típica, [57](#)
- SHUa (Síndrome Hemolítico-Urêmica Atípica), [57](#)
- SIADH(Secreção Inapropriada de Hormônio Antidiurético), [51](#)
 - causas de, [16q](#)
 - em pacientes com câncer, [16q](#)
 - diagnóstico da, [17](#)

- critérios essenciais, 17q

- tratamento da, 54f

- algoritmo de, 54f

Sigmoide

- volvulo de, 352

- na obstrução intestinal, 352

- baixa, 352

Sinal

- de Leser-Trélat, 483

Síndrome(s)

- clínicas, 93

- de toxicidades pulmonares, 93

- secundárias aos quimioterápicos, 93

- da enxertia, 181

- de Bazex, 483

- de extravasamento capilar, 182

- de hiperviscosidade, 141-143

- formação de *rouleaux*, 141

- quadro clínico, 142

- síndromes clínicas, 142

- tratamento, 142

- viscosidade, 141

- de Sweet, 485

- com comprometimento oclal, 485f

- do glucagonoma, 484

Sistema do Complemento

- ativação do, 57, 58

- cascata de, 58f

- FH, 57

- FI, 58

- PCM, 58

- THBD, 58

- SLED (Diálise Estendida de Baixa Eficiência), 48f

- SLT (Síndrome de Lise Tumoral), 137, 153-154

fisiopatologia, [153](#)

laboratorial, [153q](#)

quadro clínico, [153](#)

tratamento, [153](#)

SNC (Sistema Nervoso Central)

lesão do, [102q](#)

agentes causadores de, [102q](#)

antineoplásicos, [102q](#)

toxicidade, [82](#), [102](#)

associada à radioterapia, [82](#)

Sobrecarga

circulatória, [173](#)

diagnóstico, [173](#)

etiologia, [173](#)

prevalência, [173](#)

prevenção, [173](#)

quadro clínico, [173](#)

tratamento, [173](#)

Sódio

distúrbios do, [15-20](#)

hipernatremia, [19](#)

hiponatremia, [15](#)

SOFA score(*Sequential Organ Failure Assessment*), [221q](#)

Solução

salina, [409](#)

hipertônica, [409](#)

na HIC, [409](#)

Sonda

nasogástrica, [347](#)

na descompressão entérica, [347](#)

SOS (Síndrome da Obstrução Sinusoidal Hepática)

severidade da, [181q](#)

grau de, [181q](#)

TCTH e, [180](#)

SRAG (Síndrome Respiratória Aguda Grave), [215](#)

SRC (Síndrome da Ruptura de Carótida), [425-429](#)

- abordagem, [426](#), [427](#)

- diagnóstica, [426](#)

- terapêutica, [427](#)

- apresentação clínica, [426](#)

- não tumoral, [429f](#)

- proposta de esquema da, [429f](#)

- diagnóstico, [429f](#)

- terapêutico, [429f](#)

SSIADH (Síndrome de Secreção Inapropriada de Hormônio Antidiurético), [16](#)

- em oncologia, [51-54](#)

- exames, [52](#)

- complementares, [52](#)

- diagnósticos, [52](#)

- fisiopatologia, [51](#), [52f](#)

- tratamento, [53](#)

SSJ (Síndrome de Stevens-Johnson), [489](#)

- abordagem terapêutica da, [492q](#)

- fármacos associados à, [490q](#)

Stent

- esofágico, [342](#)

- na obstrução esofágica, [342](#)

- maligna, [342](#)

- intestinal, [353](#)

- na obstrução intestinal, [353](#)

- baixa, [353](#)

Suporte Transfusional

- na emergência, [165-167](#)

- hemocomponentes, [166](#)

- procedimentos nos, [166](#)

- transusão, [165](#)

- de crioprecipitado, [166](#)

- de hemácias, [165](#)
- de PFC, [166](#)
- de plaquetas, [165](#)
- maciça, [166](#)

Suporte

- básico, [409](#)
- na HIC, [409](#)

SVCS (Síndrome da Veia Cava Superior), [233-237](#)

- anatomia, [233](#)
- diagnóstico, [234](#)
 - por malignidade, [236f](#)
 - algoritmo para, [236f](#)
- fisiopatologia, [233](#)
- quadro clínico, [233](#)
- sinais da, [234q](#)
- sintomas da, [234q](#)
- tratamento, [235](#)
 - clínico, [235](#)
 - endovascular, [237](#)
 - por malignidade, [236f](#)
 - algoritmo para, [236f](#)
- QT, [237](#)
- RT, [237](#)
- suporte, [235](#)

Sweet

- síndrome de, [485](#)

T

TACO (*Transfusion-Associated Circulatory Overload*)

- diagnóstico, [173](#)
- etiologia, [173](#)
- prevalência, [173](#)
- prevenção, [173](#)
- quadro clínico, [173](#)

tratamento, [173](#)

Talidomida

neuropatia por, [101](#)

periférica, [101](#)

Tamiflu®, [215q](#)

Tamponamento

cardíaco, [277-279](#)

diagnóstico, [278](#)

exames complementares, [278](#)

ECG, [278](#)

ecocardiograma, [278](#)

radiografia de tórax, [278](#)

ressonância cardíaca, [279](#)

tomografia, [279](#)

fisiopatologia, [277](#)

quadro clínico, [278](#)

tratamento, [279](#)

drenagem cirúrgica do pericárdio, [279](#)

pericardiocentese percutânea, [279](#)

Taquicardia(s)

de complexo QRS, [269](#), [270](#)

estreito, [269](#)

algoritmo de tratamento, [271f](#)

atrial, [270](#)

fibrilação atrial, [270](#)

flutter atrial, [270](#)

juncional, [270](#)

paroxística supraventricular, [270](#)

por reentrada nodal, [270](#)

sinusal, [270](#)

largo, [270](#)

tratamento de, [272](#), [273f](#)

ventriculares, *ver TV*

Taxano(s)

- reações infusionais, [110](#)
- TC (Tomografia Computadorizada), [352](#)
 - na obstrução esofágica, [342](#)
 - maligna, [342](#)
- TCTH (Transplante de Células-Tronco Hematopoiéticas)
 - emergências no, [179-185](#), [189-193](#)
 - infecciosas, [189-193](#)
 - não infecciosas, [179-185](#)
 - complicações no período pré-enxertia, [179](#)
 - período pós-enxertia, [183](#), [184](#)
 - precoce, [183](#)
 - tardia, [184](#)
 - urgências no, [179-185](#), [189-193](#)
 - infecciosas, [189-193](#)
 - pré-enxertia, [189](#)
 - não infecciosas, [179-185](#)
 - complicações no período pré-enxertia, [179](#)
 - período pós-enxertia, [183](#), [184](#)
 - precoce, [183](#)
 - tardia, [184](#)
- TEP (Tromboembolismo Pulmonar)
 - algoritmo de, [245f](#)
 - como efeito cardiotóxico, [88](#)
 - da quimioterapia, [88](#)
 - no câncer, [244](#)
 - tratamento de, [244q](#)
 - ambulatorial, [244q](#)
- Terapia
 - de selo, [205](#)
 - contraindicações da, [206q](#)
 - indicações da, [206q](#)
 - nas complicações dos CVC, [205](#)
 - infecciosas, [205](#)
 - na obstrução esofágica, [343](#)

- maligna, 343
 - a *laser*, 343
 - fotodinâmica, 343

Terapia Intensiva

- oncológica, 63-67
 - acidose láctica na, 63-67
 - cl clinicamente, 63
 - tipos de, 63
 - fisiopatologia, 63
 - tratamento, 65

TEV (Tromboembolismo Venoso), 105

- abordagem do, 105
- profilática, 105
- terapêutica, 105
- como efeito cardiotóxico, 88
 - da quimioterapia, 88
- diagnóstico de, 240
- epidemiologia do, 239
 - em pacientes com câncer, 239
 - fatores de risco, 240
 - fisiopatologia, 239
- prevenção do, 240
- tratamento do, 241
 - decisão de não tratar, 241
 - elementos a considerar na, 241

THBD (Trombomodulina), 58

Tiflite

- pré-TCTH, 189

Toracocentese

- de alívio, 291
- esvaziadora, 291

Tórax

- toxicidade no, 81
 - associada à radioterapia, 81

esofagite, 82

pneumonite actínica, 81

Toxicidade(s)

associada à quimioterapia, 85-88, 99-106

cardíaca, 85-88

definição, 85

IC, 85

outros efeitos cardiotóxicos, 87

diversas, 99-106

hepatotoxicidade, 104

nefrotoxicidade, 99-100

neurotoxicidade, 101-102

vascular, 105-106

associada ao tratamento oncológico, 69-112

de sintomas, 71-75

antieméticos, 71

constipação intestinal, 73

diarreia, 73

náusea, 71

vômito, 71

associadas à radioterapia, 79-82

abdome, 82

cabeça e pescoço, 80

mucosite oral, 81

xerostomia, 81

critérios de graduação, 80q

aguda, 81q

crônica, 80q

órgãos de risco, 79q

por região do corpo, 79q

pele, 80

manejo clínico, 80

pelve, 82

manejo clínico, 82

- SNC, [82](#)
- tórax, [81](#)
 - esofagite, [82](#)
 - pneumonite actínica, [81](#)
- vascular, [105-106](#)
 - abordagem do TEV, [105](#)
 - profilática, [105](#)
 - terapêutica, [105](#)
 - eventos tromboembólicos, [105](#)
- TP (Tempo de Protrombina), [149](#)
- TRALI (*Transfusion Related Acute Lung Injury*/ Lesão Pulmonar Aguda Relacionada com a Transfusão)
 - diagnóstico, [173](#)
 - etiologia, [172](#)
 - prevalência, [172](#)
 - prevenção, [173](#)
 - quadro clínico, [173](#)
 - tratamento, [173](#)
- Tramadol
 - uso clínico, [115](#)
- Transfusão
 - de crioprecipitado, [166](#)
 - de hemácias, [165](#)
 - de PFC, [166](#)
 - de plaquetas, [165](#)
 - dor aguda relacionada com, [175](#)
 - diagnóstico, [175](#)
 - etiologia, [175](#)
 - prevalência, [175](#)
 - prevenção, [175](#)
 - quadro clínico, [175](#)
 - tratamento, [175](#)
 - maciça, [166](#)
 - reação associada à, [176](#)

- diagnóstico, [176](#)
- etiologia, [176](#)
- prevalência, [176](#)
- prevenção, [176](#)
- quadro clínico, [176](#)
- tratamento, [176](#)
- raqueostomia

- anatomia cirúrgica da, [421](#)

- indicar uma, [420](#)

- técnica da, [421](#)

 - cirúrgica, [421](#)

 - aberta, [421](#)

 - percutânea, [422](#)

 - transtumoral, [422](#)

- tipos de cânulas de, [423](#)

Tratamento Oncológico

- toxicidade(s) associada(s), [69-112](#)

 - à quimioterapia, [85-88](#), [99-106](#)

 - cardíaca, [85-88](#)

 - diversas, [99-106](#)

 - complicações orais, [77-78](#)

 - sintomas, [71-75](#)

 - antieméticos, [71](#)

 - constipação intestinal, [73](#)

 - diarreia, [73](#)

 - náusea, [71](#)

 - vômito, [71](#)

 - pulmonares, [91-96](#)

 - relacionadas com quimioterápicos, [91-96](#)

 - radioterapia, [79-82](#)

 - reações infusionais, [107-111](#)

 - à quimioterapia sistêmica, [107-111](#)

Trato

- gastrointestinal, [366q](#)

- LNH do, [366q](#)
 - primários, [366q](#)
- urinário inferior, [385-388](#)
 - obstrução do, [385-388](#)
 - achados clínicos, [386](#)
 - etiologia, [385](#)
 - exame, [386](#)
 - de imagem, [386](#)
 - físico, [386](#)
 - laboratoriais, [386](#)
 - manejo pós-drenagem urinária, [387](#)
 - prevalência, [385](#)
 - tratamento emergencial, [386](#)

Tripe Palms, [483](#)

Trombocitopenia

- HDB e, [325](#)

Tromboembolismo

- como efeito cardiotóxico, [88](#)
- da quimioterapia, [88](#)

TRSC (Terapia Renal de Substituição Contínua), [48f](#)

TSR (Terapia de Substituição Renal), [43](#)

- indicação de, [48q](#)

- indicações formais para, [48q](#)

TUS (Trato Urinário Superior)

- obstrução do, [379-382](#)

- abordagem, [379](#), [381](#)

- diagnóstica, [379](#)

- terapêutica, [381](#)

- definições, [379](#)

- diagnósticos diferenciais, [379](#)

- epidemiologia, [379](#)

- maligna, [380q](#)

- principais causas de, [380q](#)

- principais causas, [379](#)

- quadro clínico, [379](#)
- TV (Taquicardias Ventriculares), [271](#)
 - monomórfica, [271](#)
 - polimórfica, [271](#)
 - recomendações nas, [272q](#)
- TVP (Trombose Venosa Profunda)
 - como efeito cardiotóxico, [88](#)
 - da quimioterapia, [88](#)

U

- UEO (Unidades de Emergência Oncológica)
 - experiências de, [8](#)
- Urgência(s)
 - abdominais, [366-369](#)
 - no linfoma, [366-369](#)
 - abordagem, [367](#)
 - apresentação clínica, [367](#)
 - como apendicite aguda, [368](#)
 - definição, [366](#)
 - diagnóstico, [367](#)
 - epidemiologia, [366](#)
 - estadiamento, [367](#)
 - fisiopatologia, [366](#)
 - gástrico, [368](#)
 - abdome agudo, [368](#)
 - obstrução intestinal, [368](#)
 - ruptura esplênica espontânea, [368](#)
 - como oportunidade de integração, [504](#)
 - em mastologia, [443-456](#)
 - FN, [449-451](#)
 - da mama, [449-451](#)
 - PG, [445-447](#)
 - próteses mamárias, [453-455](#)
 - infecção de, [453-455](#)

- epidemiologia das, 7-11
 - oncológicas, 7
 - categorias, 7
 - experiências, 8, 9
 - de UEO, 8
 - do HCB, 9
 - ginecológicas, 457-466
 - fístulas vaginais, 463-466
 - diagnóstico, 463-466
 - tratamento, 463-46
 - sangramento, 459-462
 - no TCTH, 179-185, 189-193
 - infecciosas, 189-193
 - não infecciosas, 179-185
 - complicações no período pré-enxertia, 179
 - período pós-enxertia, 183, 184
 - precoce, 183
 - tardia, 184
 - paciente na, 505
 - principais condições do, 505
 - serviços dedicados a, 505

V

Varfarina

- pacientes utilizando, 150q
 - sangramento em, 150q
 - intervenções por, 150q
- uso de, 149
 - sangramento secundário ao, 149

VAS (Vias Aéreas Superiores)

- infecções de, 214
 - diagnóstico, 215
 - modo de transmissão, 214
 - quadro clínico, 215

- tratamento, [215](#)
- obstrução das, [419-424](#)
 - avaliação do paciente, [419](#)
 - com insuficiência respiratória, [419](#)
 - complicações, [422](#)
 - precoces, [422](#)
 - tardias, [423](#)
 - cricotireoidotomia, [420](#)
 - indicar uma, [420](#)
 - por punção, [422](#)
 - fisiopatologia, [419](#)
 - traqueostomia, [420](#)
 - anatomia cirúrgica da, [421](#)
 - indicar uma, [420](#)
 - técnica da, [421](#)
 - tipos de cânulas de, [423](#)
- VCS (Veia Cava Superior), [233](#)
 - obstrução da, [235q](#)
 - estágios radiológicos da, [235q](#)
- Via(s) Aérea(s)
 - infecções, [214](#), [216q](#)
 - de etiologia viral, [216q](#)
 - características, [216q](#)
 - manejo dos quadros, [216q](#)
 - inferiores, [214](#)
 - diagnóstico, [215](#)
 - modo de transmissão, [214](#)
 - quadro clínico, [215](#)
 - tratamento, [215](#)
- Via(s)
 - biliares, [333q](#)
 - obstrução das, [333q](#)
 - causas de, [333q](#)
- Vimblastina

neuropatia por, [101](#)
periférica, [101](#)

Vincristina

neuropatia por, [101](#)
periférica, [101](#)

Vindesina

neuropatia por, [101](#)
periférica, [101](#)

Vinorelbina

neuropatia por, [101](#)
periférica, [101](#)

Volvo

de sigmoide, [352](#)
na obstrução intestinal, [352](#)
baixa, [352](#)

Vômito

no tratamento oncológico, [71](#)
tratamento do, [71](#)

VSR (Vírus Sincicial Respiratório)

infecção por, [192](#)
pós-TCTH, [192](#)

VZV (Vírus Varicela-Zóster), [475](#)

infecção por, [191](#)
pós-TCTH, [191](#)

W

Washout

acidose de, [65](#)

X

Xerostomia

associada à radioterapia, [81](#)